# БЛАГОРОДНЫЕ МЕТАЛЛЫ

Авторский коллектив:

#### СОДЕРЖАНИЕ

·
$И$ . $A$ . $AHДРЮЩЕНКО$ (разд. $6.12$ ); акад. $H$ . $A$ . $BAТОЛИН$ (разд. $3$ ); канд. техн. наук $\mathcal{J}$ . $U$ . $BOPOHOBA$ (разд. $6.10$ ); канд. физмат. наук
Э. В. ГАЛОШИНА (разд. 4.9, 4.10); канд. геолминералог. наук
А. Д. ГЕНКИН (разд. 1); канд. техн. наук Н. Б. ГОРИНА (разд. 4,
7, 5.3—5.5, приложение 2); члкор. АН СССР В. М. ГРЯЗНОВ
(разд. 6.11); докт. техн. наук А. П. ДОСТАНКО (разд. 6.8); канд.
геолминералог. наук Т. Л. ЕВСТИГНЕЕВА (разд. 1); канд. физ
мат. наук В. Е. ЗИНОВЬЕВ (разд. 4.4, 4.5); канд. физмат. наук
М. М. КИРИЛЛОВА (разд. 4.8); докт. хим. наук Е. И. КЛАБУНОВ-
СКИЙ (разд. 6.11); канд. техн. наук А. А. КУРАНОВ (разд. 6.2, 6.5);
канд. хим. наук В. Л. ЛИСИН (разд. 3); В. М. МАЛЫШЕВ (разд. 5.1,
5.2, 5.9, 6.1, 6.7); канд. физмат. наук В. А. MATBEEB (разд. 4.6);
В. А. МИТЮШОВ (разд. 6.2—6.6); канд. физмат. наук Л. В. НО-
МЕРОВАННАЯ (разд. 4.8); докт. техн. наук В. П. ПОЛЯКОВА
(историческая справка, 2.1—2.3, 4.1—4.3, 4.13, 5.6—5.8); канд. хим.
наук М. В. РАЕВСКАЯ (разд. 5.10); Д. В. РУМЯНЦЕВ (5.1, 5.2, 5.9,
6.1, 6.7); докт. техн. наук <i>Е. И. РЫТВИН</i> (разд. 6.9); докт. хим. наук
Н. М. СИНИЦЫН (разд. 4.12); канд хим. наук А. М. СКУНДИН (разд.
4.14); докт. хим. наук <i>Е. М. СОКОЛОВСКАЯ</i> (разд. 5.10); канд. техн.
наук И. П. СТАРЧЕНКО (разд. 6. 13); канд. техн. наук Н. И. ТИМО-
ФЕЕВ (разд. 2.4, 4.11, 6.1, 6.2, 6.4—6.6); докт. техн. наук Ю. Д. ЧИ-
<i>СТЯКОВ</i> (разд. 6.8); Г. С. ХАЯК (Приложение 1).

#### Ответственный секретарь Н. Б. Горина

Рецензент: главный металлург В/О «Союззолото» В. П. Никитин

УДК 669.21/23(083)

**Благородные металлы.** Справ. изд./Под ред. *Савицкого Е. М.* — М.: Металлургия, 1984. 592 с.

Обобщены и систематизированы сведения о свойствах чистых благородных металлов, об их взаимодействии с элементами периодической системы, о структуре и свойствах сплавов этих металлов, о способах получения нз них изделий. Описаны области применения благородных металлов и их сплавов. Приведены данные о физико-химическом взаимодействии благородных металлов— теоретической основе создания новых материалов с заданным комплексом свойств. Рассмотрены сплавы благородных металлов, используемые в приборостроении, электронике, медицине, химической и ювелирной промышленностн.

Приведенные в справочнике данные о свойствах в соответствии с

ГОСТ 8.310—78 относятся к категории информационных.

Предназначен для инженерно-технических работников различных отраслей промышленности, занимающихся разработкой и созданием новых материалов, устройств и приборов на основе благородных металлов. Ил. 465. Табл. 216. Библногр. список: 907 назв.

Тредисловие	
словные обозначения и единицы нзмерения	
. Основные руды и минералы. Основные типы месторождений	
.1. Золото	
.1. Золото	
. Получение благородных металлов и производство полуфабри-	-
катов из них	
1. Получение золота	
2. Получение серебра 3. Получение платиновых металлов 4. Производство полуфабрикатов из благородных металлов и	
4. Произволство полуфабрикатов из благородицу моталлов и	
сплавов 4.1. Плавка и литье 4.2. Обработка давлением 4.3. Прокатка листов, полос, ленты, фольги 4.4. Произволство проволоки	
4.1. Плавка и литье	
4.2. Обработка давлением	
4.3. Прокатка листов, полос, ленты, фольги	
4.4. Производство проволоки 4.5. Производство тонкостенных капиллярных трубок 4.6. Гидростатическое прессование 4.7. Штамповка изделий 4.8. Обработка резанием 4.9. Сварка плавлением	
4.5. Производство тонкостенных капиллярных трубок	
47 Штампоруа издолий	•
48 Обработка резаимам	•
4.9. Сварка плавлением	
4.9. Сварка плавлением 4.10. Производство биметаллов, композиций	
. Физико-химические свойства благородных металлов и спла-	
вов в жидком состоянии	
1. Плотность	
2. Гемпературный коэффициент объемного восимостия	
3. Поверхностное натяжение	
3. Поверхностное натяжение 4. Удельное электросопротивление 5. Вазмости	
5. Вязкость 6. Термодинамические свойства	
о. гермодинамические своиства ,	
Физические, механические и химические свойства благородных	
металлов в твердом состоянии	
1. Кристаллическая структура	
2. Электронная структура и поверхность Ферми	
1. Кристаллическая структура 2. Электронная структура и поверхность Ферми 3. Ядерные свойства 4. Тепловые свойства 4.1. Температуры и теплоты плавления, температуры кипення	
4. Гепловые свойства	
4.1. Гемпературы и теплоты плавления, температуры кипення	
и теплоты сублимации 4.2. Теплогать	
4.3. TOMHODOWNOODOODOODO	
4.2. Теплоемкость 4.3. Температуропроводность 4.4. Теплопроводность	
45 Температуруу колда	
5. Электрические свойства	
5. Электрические свойства 5.1. Удельное электросопротивление 5.2. Удельная электрическая проводимость	
5.2. Удельная электрическая проводимость	
проводимоств	

4.6. Термоэлектрические эффекты в благородных металлах
4.6.1. Термоэлектрические эффекты и формулы связи термоэлектрических коэффициентов
4.6.2. Методы измерения термоэлектродвижущей силы
4.0.2. Методы измерский термоэмскиродилжущей симоз 4.7. Эмиссионные и вторичноэмиссионные свойства
4.7. Эмиссионные и вторичноэмиссионные свойства
4.8. Оптические свойства
4.10. Эффект Холла
4.11. Meadin accine chonera
4.12. Химические свойства
4.14. Электрохимические и адсорбционные свойства
•
5. Взаимодействие благородных металлов с элементами Перио-
дической системы химических элементов Д. И. Менделеева
5.1. Двойные диаграммы состояния золота
5.9. Пвойные днаграммы состояния серебра
5.2. Двойные днаграммы состояния серебра
5.4. Пвойные диаграммы состояния осмия
5.5. Пвойные диаграммы состояния ролия
5.6. Пвойные диаграммы состояния иридия
5.5. Двойные диаграммы состояния родия
5.8 Пвойные диаграммы состояния платины
5.9. Тройные и многокомпонентные диаграммы состояния золота
и серебра
5.10. Тройные и многокомпонентные диаграммы состояния пла-
тиновых металлов
6. Применение благородных металлов и сплавов
6.1. Материалы для электрических контактов
6.2. Материалы для потенциометров
6.3. Термопары и термометры сопротивления
6.4. Тензодатчики
6.4. Тензодатчики
6.6. Упругие элементы
6 / HDUTOU
6.8. Материалы для микроэлектроники
6.9. Жаропрочные конструкционные материалы
6.10. Коррозионностойкие материалы
6.11. Катализаторы
6.11. Катализаторы
6.13. Материалы для ювелирного производства
•
Приложения
1. Стандартизованные благородные металлы, сплавы и изделия
UO UUV
о Этомировить и реактивы для выявления структуры олагород-
ных металлов и их полировки
2.1 Выявление структуры благородных металлов
2.2. Электролитическое полирование и травление благородных
металлов
Библиографический список
Указатель лвух- трех- и многокомпонентных диаграмм состояния
благородных металлов с элементами Периодической системы
Предметный указатель
TIPERMETHER INGUIEND

#### ПРЕДИСЛОВИЕ

Пеобходимость решения ряда важнейших проблем науки и техники и выявления наиболее перспективных направлений ставит перед работниками науки и промышленности важные задачи, одна из которых — эффективное и экономное использование благородных металлов — национального богатства нашей страны. Эти металлы — золото, серебро, рутений, осмий, родий, придий, палладий и платина — обладают комплексом уникальных физико-химических свойств и нашли широкое применение в качестве ускорителей химических процессов, коррозионностойких и жаропрочных конструкционных материалов, датчиков электрических сигналов, высокоэффективных отражателей и т. д.

в последние десятилетия благородные металлы, их сплавы и соединения все шире применяются в промышленности; возникающая в связи с этим дефицитность золота, серебра, платины и иридия требует их более рационального использования и замены менее дефицитными мате-

риалами.

Известные из отечественной и зарубежной литературы сведения об этих металлах разрозненны и подчас противоречивы, что вызывает трудности у специалистов, занимающихся использованием благородных металлов и разработкой новых сплавов на их основе. В предлагаемом справочнике впервые сделана попытка собрать и систематизировать наиболее полные и достоверные сведения о благородных металлах, их сплавах и соединениях. Значительное различие в объеме информации по разным металлам объясняется различной степенью их изученности.

В справочнике последовательно рассмотрены история, сырьевые ресурсы и перспективы использования благородных металлов, физические и химические свойства жидких и твердых металлов, двойные, тройные и многокомпонентные диаграммы состояния. Достаточно полно освещено взаимодействие благородных металлов с элементами Периодической системы, приведены свойства наиболее перспективных сплавов, их эксплуатационные характеристики. Данные приведены на основе открытых публикаций советских и зарубежных авторов.

Издание такого справочника несомненно будет способствовать бо-

лее рациональному использованию благородных металлов.

Чл.-кор. АН СССР Е. М. Савиикий

#### условные обозначения и елиницы измерения

**е.** 6. с — периоды решетки, нм:

C — молярная теплоемкость, Дж/(моль·К);

с — содержание, % (по массе), % (ат.); удельная теплоемкость,  $\coprod ж/(кг \cdot K)$ :

N — мольная доля; T, t — температура, K,  ${}^{\circ}$ С соответственно;

d — плотность, кг/м<sup>3</sup>; толщина, нм;

а — температурный коэффициент линейного (объемного) расширения — т. к. л. р., град-1; температурный коэффициент сопротивления — т. к. с., град-1;

σ — поверхностное натяжение. Дж/м2; удельная электрическая

проводимость, см/м;

ρ — удельное электрическое сопротивление, Ом м;

n — динамическая вязкость, Па·с; v — кинематическая вязкость,  $M^2/c$ ;

Е — энергия взаимодействия, Дж; модуль нормальной упругости. Па; энергия активации образования соединения, эВ; потенциал, В; напряженность электрического поля, В/м;

H — энтальпия, Дж;

G — свободная энергия, Дж; модуль сдвига, Па;

S — энтропия, Дж/град; абсолютная т. э. д. с., В/К; коэффициент тензочувствительности;

р — давление (упругость), Па:

а — термодинамическая активность; температуропроводность,

у — коэффициент термодинамической активности: энергия дефекта упаковки, эВ

Q — внутренняя энергия (теплота), Дж;

 $Q_{\Pi\Pi}$  — теплота плавления, Дж/моль;  $Q_{\text{субл}}$  — теплота сублимации, Дж/моль;

λ — коэффициент теплопроводности, Вт/(м·К); длина волны, м;

r — остаточное электрическое сопротивление;

 $T_{\rm B}$  — критическая температура перехода в сверхпроводящее состояние, К;

 $\theta_C$  — температура Кюри, К;

 $\sigma_{\sigma}$  — сечение поглощения тепловых нейтронов, б;  $\sigma_b(S)$  — сечение рассеяния тепловых нейтронов, б;

Е — т. э. д. с., В;

I — сила тока, А;

 $\Pi$  — коэффициент Пельтье, В;

 $\sigma_T$  — коэффициент Томсона, В · K $^{-1}$ ;

L — число Лоренца:

ф - работа выхода электрона, эВ;

*i* — плотность тока термоэмиссии, А/м<sup>2</sup>:

от так симальный коэффициент вторичной электронной эмиссии;  $E_{pm}$  — энергия первичных электронов, соответствующая  $\sigma_{\max}$ , эВ;

nmax — максимальный коэффициент неупругого отражения электро-

 $U_{ ext{kp}}^{ extbf{I}}$  — первый критический потенциал, В;

W — плотность потока теплового излучения, Вт/м2;

₩0 — плотность потока теплового излучения абсолютно черного тела. Вт/м<sup>2</sup>:

n — показатель преломления;

k — показатель поглощения;

R — отражательная способность;

интегральная излучательная способность;

 $\varepsilon(\lambda)$  — спектральная излучательная способность;  $\varepsilon_{\rm H}$  — нормальная излучательная способность;

 $\chi_m$  — удельная магнитная восприимчивость, м<sup>3</sup>/кг;

 $\chi_{\!\scriptscriptstyle \mathcal{D}}$  — объемная магнитная восприимчивость; M — магнитный момент,  $\mu_{\!\scriptscriptstyle \mathcal{B}}$ ;

H — напряженность магнитного поля, A/м;

 $R_H$  — коэффициент Холла, м<sup>3</sup>/Кл;

F — сила Лоренца;

n — концентрация носителей тока,  $1/м^3$ ;

 $H_{\mathbf{c}}$  — коэрцитивная сила, кА/м;

 $(BH)_{max}$  — максимальная магнитная энергия, Дж/м<sup>3</sup>;

В — магнитная индукция, Тл:  $B_r$  — остаточная индукция, Тл;

 $B_d$  — магнитная индукция в рабочем зазоре, соответствующая максимальной магнитной энергии, Тл:

 $H_d$  — коэрцитивная сила, соответствующая максимальной магнитной энергии. кА/м:

µ<sub>rev</sub> — обратимая магнитная проницаемость;

скорость ползучести;

D — коэффициент диффузии; модуль всестороннего сжатия, Па;

и — коэффициент Пуассона;

НУ, НВ, — твердость по Виккерсу, Бринеллю, Роквеллу соответствен-HRC

 $H_{\mu}$  — микротвердость, Па;

 $\sigma_{\rm B}$  — временное сопротивление. Па:

 $\sigma_{\mathbf{T}}$  — предел текучести, Па;

 $\sigma_{0.2}$  — предел текучести при растяжении, деформация 0,2 %, Па;

σ<sub>0.001</sub> — предел упругости при растяжении, деформация 0.001 %. Па:  $\delta$  — удлинение, %;

ф — сужение поперечного сечения, %;

 $E_0$  — стандартный потенциал, В;

 $E_{\text{н.з}}$  — потенциал нулевого заряда, В;

 $E_{\rm H. II. 3}$  — потенциал нулевого полного заряда, В:

 $t_0$  — ток обмена,  $A/M^2$ ;

 $\mu_{l}, \mu_{n}$  — холловская подвижность электронов и дырок соответственно:

Фв — высота потенциального барьера, эВ; Рк — контактное сопротивление. Ом · см<sup>2</sup>:

Золото

На ранних стадиях истории развития человечества, когда основой существования были собирательство и охота, когда возник культ предметов, вера в их магическое могущество, одним из важных тотемов стало золото. Яркое и блестящее самородное золото, так непохожее на обычные камни, как бы овеществляло солнечные лучи. Это получило отражение в самом названии металла у различных народов [1—6].

Добыча золота началась еще в конце каменного века. Оно известно всем древнейшим цивилизациям Земли. Так древним египтянам изделия из золота были известны за 12 тыс. лет до н. э. Древние Египет, Греция и Рим достигли высокого уровня развития технологии добычи золота из руд, их обогащения, рафинирования и обработки золота [1—6]. Интересно отметить, что технология получения тонкой фольги (0,01—0,001 мкм), известная древнеегипетским металлургам, была заново разработана в Европе только в XVIII в. н. э. В Египте в середине ІІ тысячелетия до н. э. при фараоне Тутмосе ІІ добывали до 50 т золота в год [2, 4].

С III тысячелетия до н. э. наряду с древним Египтом значительная разработка россыпей велась на территории Южной и Западной Африки,

которая и сегодня остается основным производителем золота.

Крупнейшим золотодобывающим районом в Древнем мире была также Западная Европа. В І тысячелетии до н. э. в колониях на территории Пиренейского полуострова древние римляне добывали до 8 т золота в год. Золотые монеты стали главными в денежном обращении Европы. В VI в. до н. э. вели разработку золотых россыпей на Балканах. К V в. н. э. золотые месторождения в Европе были практически полностью исчерпаны.

В Азии следы древней золотодобычи находят в Иране, по берегам Персидского залива, в Аравии. Начиная с III тысячелетия до н. э. значительное количество золота добывали в Индии и в Тибете. В Китае во II тысячелетии до н. э. уже чеканили золотую монету. В I тысячелетии до н. э. началось освоение россыпей Белуджистана (Пакистан), Кашгарии (Китай), Западной Сибири, Приамурья, Средней и Малой

Азии.

Судя по археологическим данным, разработка золота на американском коитиненте велась в основном на территории современных Мексики, Гватемалы, Колумбин, Панамы, Перу и Кубы — общая добыча золота в доколумбовый период составляет примерно 200 т [2—4]. Если учесть, что общее количество золота, добытого за всю многовековую историю развития человеческого общеетва, составляет около 80 тыс. т, то на долю древних веков приходится примерно 15 %. Для сравнения следует отметить, что с V по XV в., т. е. до открытия Америки, удалось добыть около 2500 т золота. Позднее (после XV в.) основная доля добычи золота приходится на долю Американского континента.

На территории России добыча золота началась также в глубокой древности. Имеются археологические данные о золотом промысле на Алтае в середине IV тысячелетия до н. э. Кавказским народам золотые изделия были известны за 3 тыс. лет. до н. э. В Казахстане, Сибири, на

Урале, в Заволжье найдены золотые изделия броизового века.

Древнерусское государство не имело своей золотодобывающей промышленности и покупало золото в Византии для изготовления монет и украшений. Зарождение золотодобывающей промышленности в России относится к началу XVIII в. Первоначально золото стали добывать при переработке золотосодержащих руд на Нерчинском н Колывано-

Воскресенском заводах на Урале. В 1745 г. золотая россыпь была обнаружена крестьянином Ерофеем Марковым недалеко от Екатеринбурга (Свердловска). К концу XVIII в. на Урале, Алтае и Забайкалье было открыто несколько десятков коренных месторождений золота. До 1814 г. в России была добыта всего 21 т золота.

Открытие Л. И. Брусницыным (1814 г.) способа обогащения золотоносных песков и отмена государственной монополии вызвали бурный рост золотодобывающей промышленности во всех районах Урала. Западной Сибири (1827 г.), Алтая (1830 г.), Якутии (1840 г.), Забайкалья (1832 г.), Приамурья (1850 г.), Приморского края (1870 г.). Россия стала основной золотодобывающей державой [4]. После 1850 г. произошло резкое снижение доли добычи русского золота в связи с открытием и разработкой Калифорнийских россыпей. Затем золото было найдено в Австралии, в Америке (Колорадо, Дакота, Невада). К концу XIX в. мировой центр добычи золота переместился в Южную Африку, которая до сих пор остается основным поставщиком золота в капиталистическом мире. Следует отметить, что мировая добыча золота в XX в. сильно зависела от общего состояния экономики капиталистического мира. К 1940 г. в капиталистических странах добывалось 1140 т золота в год. В 1970 г. эта добыча превысила 1380 т в год. В последующие годы наблюдается заметное снижение добычи золота.

#### Серебро [6-8]

Из благородных металлов серебро наиболее широко распространено в природе. Содержание его в земной коре составляет  $1\cdot 10^{-5}$  % (по массе), что в 20 раз превышает содержание золота и приблизительно равно содержанию металлов платиновой группы. В отличие от золота оно редко встречается в самородном виде. Чаще всего серебро присутствует в рудах цветиых металлов (цинка, свинца и др.) в виде сульфидных соединений.

Красивый внешний вид серебра и возможность длительного хранения, несомиенно, привлекали внимание. Если желтый цвет золота ассоциировался у древних людей с солнцем, то блестящий белый цвет серебра—с луной, что отразилось в названиях этого металла. Более позднее
латинское название серебра— аргентум— происходит от латинского
корня белый, блестящий. Наряду с золотом и медью относится к числу
первых металлов, освоенных человеком. Уже с глубокой древности в
Южной Европе, на Ближнем и Среднем Востоке серебряная утварь
передавалась по наследству. Серебро в виде слитков и рубленных кусков металла служило торговым эквивалентом.

Самые ранние крупные разработки серебра велись в Восточной части Малой Азии примерно в 4 тысячелетии до н. э. Позднее серебряные месторождения разрабатывались в Армении и Бактрии (верхнее и среднее течение Аму-Дарьи). Около 500 лет до н. э. началась разработка серебряно-свинцовых руд в Греции на знаменитых Лаурионских рудниках, которые в течение нескольких столетий были основой экономического могущества Афин; здесь в течение нескольких столетий было добыто более 77 тыс. т серебра. В более позднее время (VIII—XV вв.) серебро добывали в Трансильванин (Румыния) и Богемии (Чехия).

Особенно большой подъем в добыче и получении серебра произошел после открытия Америки. В Мексике, Боливии и Перу были откры-

ты крупные и богатые месторождения серебра.

На территории СССР добыча серебра велась с древних времен в Закавказье и Башкирии. Однако до XVIII в. Русское государство не имело своей промышленности благородных металлов.. Крупные месторождения серебра в Забайкалье, на Алтае, в Средней Азии н на Кавказе стали разрабатываться лишь в XVIII в. Доля русского серебра в

мировой добыче была ничтожна (2,92 % в 1912 г.). В 1900 г. в России добыли всего 3240 кг, в то время как в США— 1803 т, Мексике— 1746 т, Боливии— 355 т. Количество серебра, добываемого в царской России, было недостаточным даже для внутренних потребностей.

По мере увеличения количества добываемого серебра совершенствовалась технология его добычи и очистки. Большой вклад в развитие металлургии серебра внесли русские ученые и мастера. Ивану Мокееву, мастеру Московского монетного двора, впервые удалось отделить золото от серебра. В 1721 г. из полученного по его способу золота и серебра были отчеканены специальные медали.

В 1752 г. академик У. Х. Сальхов предложил разделить золото и серебро азотной кислотой. Иван Шлаттер ввел пирометаллургический способ разделения серебра и золота, после чего следовала гидрометаллургическая обработка азотной кислотой полученного серебристого золота. Этот комбинированный способ аффинажа применяли на Петер-

бургском монетном дворе до 1820 г.

Теоретические основы процесса цианирования были заложены П. Р. Багратионом, показавшим, что золото и серебро хорошо растворяются в слабых водных растворах щелочных цианидов. Он также установил ускоряющее действие воздуха на растворение золота и серебра и доказал возможность осаждения золота и серебра из цианистых растворов неблагородными металлами.

В 1802 г. француз д'Арсе изобрел аффинаж серебра серной кислотой. В этом процессе неочищенное серебро растворяют в кипящем медном купоросе, золото осаждается на дне, а серебро восстанавливается до металла медью или железом. Этот процесс получил широкое распространение в XIX в., но затем был вытеснен электролизом, при помощи которого из неочищенного серебряного анода получают кристаллическое серебро чистотой 99,9 %.

#### Платиновые металлы [6,8—17]

Археологические исследования показывают, что впервые люди встретились с платиной тысячелетия назад. Самородки платины находили вместе с золотом и называли «белым золотом» (Египет, Испания, Абиссиния), «лягушачьим» золотом (о. Борнео), «белым свинцом» (Восточная Сибирь) [6]. Уже в древние времена платину и ее сплавы с золотом использовали для изготовления зеркал, ювелирных изделий и украшений, бытовой утвари (Древний Египет 700 лет до н. э., римские колонии на Пиренейском полуострове 1 тыс. лет до н. э., государство инков на севере Эквадора, Колумбия).

К началу нашей эры платина была забыта и вновь открыта сравнительно недавно, после завоевания испанскими конкистадорами Южной Америки. Первое упоминание в средневековых европейских источниках о платине, как «светлом не плавящемся» металле было сделано итальчныем Ю. Скалингером в 1537 г. Приоритет же открытия платины признан за доктором Вудом (1749 г.). Первое научное описание платины было опубликовано Уотстоном в трудах Королевского общества в

1749—1750 гг. (Англия).

К концу XVIII столетия тяжелый белый металл все больше привлекает внимание химиков. Началось подробное изучение и разработка технологии получения ковкой платины. Чистую платину впервые удалось получить в 1803 г. Волластону, ему же принадлежит разработка первого промышленного способа получения ковкой платины [11]. Подробное изучение платиновой руды позволили ему в том же году обнаружить еще два элемента — палладий и родий. В 1804 году Теннант выделил иридий и осмий из черного осадка, оставшегося после растворения пла-

тиновой руды в царской водке [12]. Последний элемент платиновой группы был открыт только через 40 лет. Он был выделен из уральской платиновой руды профессором Казанского Университета К. К. Клаусом

и назван им в честь России рутеинем [13].

Открытие в России платины как спутника золота относится к первой половине XIX в. (1819 г.). Первая промышленная платиновая россыпь была обнаружена на Урале в 1824 г. управляющим Гороблагодатскими горными заводами Н. Р. Мамышевым. Ему же принадлежат первые в России работы по очистке и изготовлению изделий из платины. До 1936 г., т. е. до разработки способа получения металлов платиновой группы из шламов медноникелевого производства, Урал давал большую часть мировой продукции металлов платиновой группы.

Роль русских ученых в развитии платинового дела, в нзучении химии, металлургии, физикохимии и металловедения платиновых металлов очень велика. Большое значение для развития промышленности благородных металлов имела работа П. Г. Соболевского по изысканию сравнительно простого и безвредного способа аффинажа и получения ковкой платины [14]. Работа этого ученого по получению ковкой платины была первым научным трудом по порошковой металлургии. Современником П. Г. Соболевского К. К. Клаусом была создана химия платиновых металлов (ХІХ в.), разработаны методы разделения и аффинажа платиновых металлов, причем методы получения чистых платины и родия использовали в промышленности вплоть до 1929 г. [16]. Промышленный аффинаж уральской платины был организован в 1879 г. на Тентелевском заводе в Петербурге. Работами по аффинажу руководил Ф. В. Вильм, которому принадлежит также способ получения палладия через палладозамин, применяемый повсеместно до сих пор [16].

После Великой Октябрьской социалистической революции под руководством академиков Л. А. Чугаева и И. И. Черняева сотрудниками Института по изучению платины, а затем Института общей и неорганической химии (В. В. Лебединским, Н. К. Пшеницыным, С. Е. Красиковым, Н. И. Подкопаевым, О. Е. Звягинцевым и др.) совместно с работниками промышленности (проф. Н. Н. Барабошкиным, А. В. Мироновым, Н. Ф. Федоровым и др.) были решены важнейшие проблемы афинажа платиновых металлов, их разделения и получения спектрально чистых золота, платины и палладия. Решение этих проблем позволило обеспечить нашу промышленность необходимыми платиновыми металлами.

С начала 1900 г. Н. С. Курнаков с сотрудниками провел цикл работ по исследованию металлических сплавов, особенностей их образования и влиянию различных факторов на их структуру и свойства [17]. Эти исследования физических и химических свойств компактных благородных металлов и их сплавов, работы по построению диаграмм состояния, диаграмм состав—свойство и выявлению особенностей физико-химического взаимодействия благородных металлов в дальнейшем продолжались в АН СССР под руководством В. А. Немилова, А. А. Рудницкого, продолжаются под руководством Е. М. Савицкого, в МГУ им.

М. В. Ломоносова и других организациях страны.

За рубежом основные исследования благородных металлов сосредоточены в специальных лабораториях фирм «Джонсон Маттей и К» (Англия) и «Энгельгардт Кемикел Корпорейшен» (США), а также в Исследовательском институте металлохимии и благородных металлов (ФРГ). Среди зарубежных ученых следует отмстить Е. Рауба, Оборовского и Цвигмана, Джаффи и Кнаптона, Лоебиха и Харриса, Шуберта, Дарлинга, работы которых связаны с исследованием структуры, механических и физических свойств благородных металлов, построением диаграмм состояния, изучением влияния различных факторов на хрупкость и обрабатываемость платиновых металлов.

# ОСНОВНЫЕ РУДЫ И МИНЕРАЛЫ. ОСНОВНЫЕ ТИПЫ МЕСТОРОЖДЕНИЙ

#### 1.1. Золото

Месторождения золота бывают трех типов, различающихся по условиям образования. 1. Месторождения коренные (эндогенные), возникновение которых связано с глубинными процессами. 2. Месторождения экзогенные, представленные в основном золотоносными россыпями и возникающие при разрушении коренных месторождений золота. 3. Метаморфизованные экзогенные месторождения — золотоносные конгломераты и песчаники, представляющие собой продукт преобразования древних россыпей.

Эндогенные месторождения золота наиболее разнообразны по составу. В многочисленных классификациях этих месторождений [22] учитываются глубина образования месторождений, влияние руд сульфидов и другие признаки. Упомянем лишь главные типы золоторудных место-

рождений.

Кварц-золоторудные и кварц-сульфидно-золоторудные месторождения, формирующиеся на больших и умеренных глубинах в обстановке высоких и средних температур, представлены жилообразными или лин-зовидными рудными телами, единичными протяженными жилами, системами жил и прожилков, зонами прожилковой и вкрапленной минерали-

зации.

В кварц-золоторудных месторождениях рудные тела сложены агрегатами сливного и грубозернистого кварца с небольшим (1—5 %) количеством сульфидов (пирит, арсенопирит) [21]. Золото, обычно свободное, характеризуется неравномерным распределением с образованием столбообразных и гнездовидных обогащенных участков. В Советском Союзе месторождения этого типа встречаются в рудном поясе Енисейского кряжа, в Верхнеколымском районе, Южном Верхоянье и Узбекистане. За рубежом типичными представителями малосульфидных кварцзолоторудных месторождений являются золоторудное поле Колар (Индия), разрабатываемое на глубине более 3,3 км, месторождения Канады (Иеллоунайф), США (Мазер-Лод), Австралии (Грейт-Боулдер,

Бендиго, Балларат).

Минеральный состав кварц-сульфидно-золоторудных месторождений значительно разнообразнее, чем квари-золоторудных. Сульфиды составляют 15—30 % жильного выполнения. Кроме пирита, арсенопирита, сульфидо свинца, меди, цинка, распространены сульфосоли серебра, сурьмы, минералы висмута, теллуриды. Золото находится как в свободном, так и в дисперсном, распыленном в сульфидах состоянии. Распределение золота в рудных телах в значительной мере зависит от размещения сульфидной минерализации. Иногла сульфиды развиты в большем количестве, чем кварц (Дарасунское месторождение в Забайкалье). Кварц-сульфидно-золоторудные месторождения известны на Урале (Березовское, Кочкарское и др.), в Алтае-Саянском рудном поясе, Якутии, Казахстане. За рубежом месторождения этого типа развиты в США (Хомстейк), Канаде (Поркьюйайн), Бразилии (Морро-Велло) [21].

Промышленное значение кварц-золоторудных и кварц-сульфиднозолоторудных месторождений чрезвычайно велико. Они являются также

основным источником россыпных месторождений золота.

Отдельную формацию золоторудных месторождений составляют малоглубинные месторождения золота, развитые преимуществению в областях интенсивной вулканической и субвулканической деятельности.

Характерные минералогические признаки месторождений этой формации заключаются в преобладании тонкозернистого халцедоновидного или гребенчатого кварца, в среднем незначительном колнчестве сульфидов, существенной роли сульфосолей и сульфидов серебра, преимущественно низкопробном золоте (проба 750—550). Золото неоднородное по составу, чаще мелкое до тонкодисперсного, местами в сочетании с более крупным, в виде скелетных сростков, проволочек, дендритов. Типично наличие в рудных телах участков, очень богатых золотом («рудных столбов»). В зависимости от развития в рудах сульфидов, сульфосолей и теллуридов различного состава выделяются следующие геохимические типы малоглубинных месторождений золота [18]: 1 — золото-серебряный, 2 — золото-серебряно-сурьмяный, 3 — золото-мышьяково-сурьмяный, 4 — золото-серебряно-свинцово-цинковый, 5 — золото-теллуровый и золото-селеновый.

В Советском Союзе малоглубинные месторождения золота распространены на северо-востоке (Охотско-Чукотский вулканический пояс), в Приморье, Забайкалье, Армении [23]. За рубежом они развиты в Восточных Карпатах (СРР, Трансильвания), США (Криппл-Крик, Комсток, Голдфилд и др.), Японии, Индонезии. Высокая концентрация золота в рудных столбах определяет важное промышленное значение ма-

логлубинных месторождений.

К числу эндогенных месторождений золота принадлежат также его проявления в формациях существенно сульфидных руд [22]. Эти формации представлены колчеданными (медно-колчеданными, цинково-колчеданными, колчеданно-полиметаллическими), медно-никелевыми, медномолибденовыми, иногда свинцово-цинковыми месторождениями. Золото в рудах этих месторождений диспергировано в виде мельчайших вкраплений в сульфиды железа, меди, свинца, цинка и извлекается при переработке руд попутно.

Экзогенные месторождения золота. Различают золотоносные зоны окисления рудных месторождений и золотоносные россыпи [22]. Золотоносные окисленные руды развиваются в рудных телах сульфидного состава в результате выщелачивания сульфидов атмосферными агентами. В большинстве известных рудных полей эти руды почти отработаны. Значительно большее промышленное значение имеют золотоносные рос-

сыпи.

Золотоносные россыпи широко распространены во всех золотоносных провинциях мира. Образование россыпей обусловлено воздействием на эндогенные золоторудные месторождения процессов физического и химического выветривания, деятельности рек, морей, ледников, ветра. Различают россыпи остаточные, речные, морские, ледниковые, золовые. Наиболее распространены аллювиальные (речные) россыпи. Золото при перемещении от коренных источников в россыпи подвергается окатыванию, истиранию, коррозии, но все же сохраняет ряд особенностей морфологии и состава, присущих первичному золоту. В большинстве россыпей главная масса золота представлена частицами величиной 0,5-4 мм, причем наиболее крупное золото располагается близ коренных месторождений. Совместно с золотом в россыпях концентрируются такие тяжелые минералы, как магнетит. ильменит, минералы олова, вольфрама, а в комплексных золотоплатиновых россыпях минералы платиноидов. Многие наиболее богатые россыпи были выработаны в XIX, начале XX в. В Советском Союзе золотоносные россыпи известны на Урале, в Западной Сибири, в Забайкальс, в Ленском и других районах [23]. За рубежом круппейшие россыпи разрабатывались на Аляске, в Калифорнии и в других западных штатах США, в Австралии, Новой Зеландии, Канале, Центральной и Южной Африке. В иастоящее время роль золотоносных россыпей в общей добыче золота резко снизилась, но и для ряда стран она остается ведущей.

Метаморфизованные экзогенные месторождения золота представлены уран-золотосодержащими конгломератами [22]. Характерными представителями этого тнпа являются месторождения Витватерсранд (ЮАР), Жанобина (Бразилия), Блайнд-Ривер (Канада). Месторождение Витватерсранд является крупнейшим в мире по запасам и добыче золота. Золотосодержащие слои — рифы — в этом месторождении прослеживаются на десятки кнлометров при мощности 0,3—3 м. Они сложены гальками молочно-белого кварца, прочно сцементированными мелкозернистым кварцем, пиритом и другими минералами. Золото находится в цементе, где оно образует тонкие (1—100 мкм) пленочные выделения в сульфидах. Помимо золота и урана, в рудах содержатся также платиновые металлы. Глубина разработки месторождения достигает в настоящее время 4000 м. Подобного типа золотых месторождений в СССР не обнаружено.

#### Минералы золота

Всего известно более 20 достоверно установленных минералов золота, представленных самородным золотом, его интерметаллическими соединениями с Ag, Cu, Hg, Bi, теллуридами золота, золота и серебра, золота и меди, золота, свинца и меди, сульфидами и селенидами золота и серебра. Наибольшее число минеральных видов составляют теллуриды и интерметаллические соединения золота.

Главным и наиболее распространенным минералом золота является самородное золото. Оно служит основным источником добычи золота в рудных месторождениях. К числу минералов золота, часто встречающихся в различных типах золоторудных месторождений, принадлежат сплав золота с серебром — электрум и теллуриды золота: калаверит — AuTe<sub>2</sub>, креннерит — (Au, Ag)Te<sub>2</sub>, сильванит — AuAgTe<sub>4</sub>, петшит —

(Ag, Au)<sub>2</sub>Te.

Самородное золото. Постоянно содержит в виде примеси серебро. Не считая разновидностей, копцентрация серебра в самородном золоте  $(c_{Ag})$  колеблется от долей процента до десятков процентов. Содержание Au в самородном золоте  $(c_{Au})$ , отнесенное к сумме содержаний золота и серебра  $c_{Au}/(c_{Au}+c_{Ag})$ , получило название пробы золота. Известны также медистое, палладистое и висмутистое золото. Сингония куби-

ческая. Размер элементарной ячейки  $a_0 = 4,078$  Å. Цвет самородного золота золотисто-желтый (у богатых серебром разновидностей бледножелтый, при повышенном содержании меди появляется розоватый оттепок). Твердость 2,5—3\*, плотность (156·10<sup>2</sup>—183·10<sup>2</sup>)\*\* (для чистого золота 193·10<sup>2</sup>). Хорошо ограненные кристаллы золота встречаются редко. Наблюдались октаэдрические, кубооктаэдрические и ромбододекаэдрические формы кристаллов. Большая часть добываемого золота представлена зернами неправильной формы, включенными в кварцевую или рудную массу. Крупные золотники — «видимое золото» — встречаются относительно редко, часто золото образует мельчайшие зерна, иногда трудно различимые даже в полированных шлифах под микроскопом. Следует отметить многообразие форм выделения самородного золота в рудных месторождениях [22]. Помимо кристаллов и их сростков, наблюдаются дендриты с разнообразными рисунками ветвей и стволов, иглы, изогнутые проволочки, пленки, чешуйки, жилки. Большой интерес представляют самородки — крупные обособления золота. Самородки встречаются чаще в россыпях, чем в коренных месторожденнях, на которые приходится не более 10 % общего количества известных нахолок.

\*\* Здесь и далее плотность в кг/м3.

Масса наиболее крупных уникальных самородков золота достигает десятков килограмм. На Урале в 1842 г. был найден самородок «Большой треугольник» массой 36 кг. Самые крупные самородки золота обнаружены в Австралин: «Плита Холтернана»— 93 кг, «Желанный незнакомец»— 70,9 кг и др.

Электрум — Ац, Ag. Относится к нзоморфному ряду Au—Ag, содержит 35—45 % Ag, снигония кубическая, цвет от светло-желтого до серебряно-белого, твердость 2—3, плотность 12·10³—15·10³. Встречается значительно реже, чем самородное золото в ассоциации с серебросодер-

жашими сульфидами.

Калаверит — AuTe<sub>2</sub>. Химический состав: Au — 43,6 %, Te — 56,4 %, сингония моноклинная C2/m, a=0,719, b=0,441, c=0,508 нм,  $\beta$ =90°±30′. Цвет от латунно-желтого до серебряно-белого, твердость 2,5—3, плотность (91·10²—94·10²). Встречается в виде кристаллов, зернистых агрегатов, единичных мелких зерен в ассоциации с самородным золотом, электрумом, а также другими теллуридами. На месторождениях Криппл-Крик (США) и Калгурли (Зап. Австралия) находится в ассоциации с креннеритом и сильванитом и является главным минералом золота.

Креннерит — (Au, Ag)  $Te_2$ . Химический состав: Au: Ag=2,7; при отношении 2,5 — Au 32,99 %, Ag 7,22 %, Te 59,79 %, сингония ромбическая Pma2, a=1,654, b=0,882, c=0,446 нм; цвет серебряно-белый, твердость 2,5, плотность 8620. В золото-серебряных месторождениях представлен агрегатами мелких зерен, иногда кристаллами в ассоциации с самородным золотом, теллуридами золота и серебра и сульфидами цветных металлов.

Сильванит —  $Au_5Ag$ Te<sub>4</sub>. Химический состав: Au 24,19 %, Ag 13,22 %, Te 62,59 % (при Au: Ag=1:1); сингония моноклинная P2/c, a=0,896, b=0,449, c=1,462 нм,  $\beta$ =145°26′; цвет в свежем изломе серебряно-белый, твердость 2, плотность 8070—8240. Образует разнообразные по форме, часто сдвойникованные кристаллы, дендритообразные выделения, зернистые агрегаты. Встречается совместно с другими теллуридами.

Петцит —  $Ag_3AuTe_2$ . Химический состав: Ag 42 %, Au 25,5 %, Te 32,5 %, сингония кубическая,  $I4_132$ , a=1,038 нм; цвет от свинцово-серого до стального-серого, твердость 2,5—3, плотность  $91 \cdot 10^2$ . В виде зернистых агрегатов встречается в золото-серебряных месторождениях в

срастании с гесситом и другнми теллуридами.

К числу редких и очень редких минералов золота относятся: амальгама золота —  $Au_2Hg_3$ , купроаурид —  $AuCu_3$ , аурнкуприд —  $Au_2Cu_3$ , аргентокупроаурид —  $Au_2Cu_3$ , мальдонит —  $Au_2Bi$ , ауростибит —  $Au_2Sb_2$ , ютенбогарлтит —  $Ag_3AuS_2$ , фишессерит —  $Ag_3AuSe_2$ , мутманнит — (Ag, Au) Те, костовит —  $CuAuTe_4$ , монтбрейит —  $Au_2Te_3$ , нагиагит —  $Pb_5Au(Te, Sb)_4S_5=8$ , билибинскит —  $Au_3Cu_2PbTe_2$ , богдановит —  $Au_5(Cu, Fe)_3(Te, Pb)_2$ , бессмертновит —  $Au_4Cu(Te, Pb)$ .

#### 1.2. Серебро

Основные типы месторождений

В природе серебро представлено двумя главными типами серебряной минерализации: 1) месторождениями, в которых преобладающими являются никель, медь, молибден, свинец, цинк, золото и другие металлы, а серебро находится лишь в виде примеси, и 2) месторождениями собтвенно серебряных руд, где серебро выступает как один из главных промышленных металлов [30].

В отличие от золота основные мировые запасы серебра сосредоточены в рудах месторождений с рассеянной серебряной минерализацией, из которых серебро извлекается попутно с другими металлами. Наибо-

<sup>\*</sup> Здесь и далее твердость по шкале Мооса.

лее интенсивно этот тип серебряной минерализации проявлен в медноникелевых, медно-молибденовых, колчеданных, свинцово-цинковых, зо-

лоторудных и других месторожденнях.

В месторождениях сульфидных медно-никелевых руд главными рудными минераламн являются сульфиды железа, никеля н меди, слагающие залежи, линзы и жилы сплошных руд и вкрапления в породах. Серебро присутствует в рудах как примесь, главным образом в медьсодержащих минералах и в виде собственных минералов, представленных самородным серебром, золотосеребряными сплавами и теллуридом серебра. Одним из типичных месторождений является Садбери в Канаде. Месторождения медно-никелевых руд известны в Советском Союзе, Австралии и других странах.

Медные молибденсодержащие прожилково-вкрапленные руды характеризуются сравнительно низкими содержаниями серебра, по в связи с большими размерами добычи руд представляют важнейший промышленный источник серебра. Основными посителями серебра в рудах являются халькопирит, пирит, борнит, сфалерит, галенит и собственные минералы серебра. Известные мировые месторождения этого типа находятся в США (Биндхэм, Быотт, Эли и др.), в Советском Союзе онн расположены в Армении (Каджаран), Казахстане (Коунрад, Бощекуль) и

Средней Азии (Кальмакыр).

Колчеданные медно-свинцово-цинковые месторождения распространены в Советском Союзе (Урал, Рудный Алтай, Кавказ), Канаде, Австралии. В колчеданных рудах Урала серебряная минерализация связана в основном с наложенным медно-цинковым оруднением, развивающемся по более раннему серно-колчеданному. В алтайских месторождениях, помимо рассеяния серебра в сульфидах железа, меди, свинца и цинка, большое значение приобретают микровключения в этих сульфидах самородного серебра, его теллуридов и различных сульфосолей [20].

Одним из наиболее важных источников добычи серебра являются месторождения свинцово-цинковых руд, широко распространенные как ва рубежом, так и во многих рудных поясах Советского Союза. Большой диапазон условий образования и различия в геологическом положении этих месторождений находят отражения в значительных колебаниях содержаний серебра в рудах. Общей особенностью форм нахождения серебра в рудах месторождений этого типа является максимальное содержание его рассеянной формы в галените, достигающее десятых долей процента, и появление различных собственных минералов серебра на поздних стадиях формирования руд.

С золоторудными месторождениями постоянно бывает связаиа рассеянная серебряная минерализация, различающаяся в зависимости от минерального состава руд как по содержанию серебра, так и по формам его нахождения. В золото-кварцевых рудах серебро концентрируется в основном в самородном золоте в виде сплавов типа электрума и микровключений теллуридов серебра, а также серебра и золота. В золото-сульфидных рудах наряду с электрумом и теллуридами обычно встре-

чаются самородное серебро, аргентит и сульфосоли серебра.

Собственные месторождения серебра представлены четырьмя типами рудиых формаций: серебряно-арсенидной, серебряно-свинцовой, серебряно-золотой и серебряно-оловянной [20]. Несмотря на очень высокие содержания серебра (от 500 г/т до 20—30 кг/т), в месторождениях этих формаций их доля в мировых запасах серебра не превышает 10 %.

В месторождениях серебряно-арсенидных руд самородное серебро и сульфосоли серебра и сурьмы, серебра и мышьяка сопровождаются арсенидами никеля и кобальта, минералами висмута, иногда урановой смолкой. Типичными представителями руд этого типа являются месторождения Кобальт, Большое Медвежье озеро (Канада), Иохимсталь

(ЧССР), Шнееберг (ГДР). Близко к этому типу месторождение Конгсберг (Норвегия), где в кальцитовых жилах преобладающее самородное серебро встречалось в виде проволоковидных кристаллических сростков, пластинок, иногда крупных самородков, хранящихся во многих минера-

логических музеях мира.

Месторождения серебряно-свинцовой формации отличаются от других месторождений свинцово-цинковых руд резкой обогащенностью серебром и нахождением в рудах большого числа собственно серебряных минералов: сульфодов, сульфодитимонитов, сульфодренитов, теллуридов серебра. К числу других главных сопровождающих минералов относятся серебросодержащие галенит и блеклые руды, сфалерит, пирит. Представители месторождений этой формации в Советском Союзе встречаются в Средней Азни, Верхояно-Колымском регионе и Восточном Забакалье. За рубежом они известны в Мексике (Эль-Потози, Дель-Оро), Перу (Хуанчака, Колквикирка), ГДР (Френберг) [20].

Характерной особенностью месторождений серебряно-золотых руд является их приуроченность к районам проявления молодого вулканизма и формирование в близповерхностных условиях. Минералы серебра в рудах этих месторождений постоянно сопровождаются минералами золота. Наиболее широко развиты в рудах: сульфид серебра — аргентит, сульфоантимониты серебра, самородное серебро, электрум, теллуриды золота и серебра. В Советском Союзе месторождения этого типа располагаются на северо-востоке (Охотско-Чукотский вулканический пояс). За рубежом они развиты в США (Тонопа, Комсток), Японии (Кономан, Титэси), Мекснке (Пачука), СРР (Сасар), ЧССР (Кремница) [20].

Для месторождений серебряно-оловянной формации характерна ассоциация минералов серебра — сульфоантимонитов серебра и серебра и серебра и свинца, сульфостаннатов серебра с сульфосолями олова и касситернтом (SnO<sub>2</sub>). Типичные месторождения этой формации находятся в Боливии

(Потоси, Оруро, Чокайя) и Аргентине (Пиркитас).

#### Минералы серебра

В природе известно свыше 80 минералов серебра, представленных самородным серебром и его интерметаллическими соединениями с Аu, Сu, Hg, Sb, сульфидами, сульфосолями, теллуридами, селенидами, галогенидами серебра. Наибольшее число минеральных видов приходится на сульфосоли — сульфоантимониты, сульфоарсениты, сульфовисмутиты, сульфостаннаты серебра или его сочетания с медью, свинцом, ртутью, железом.

Следует отметить, что значительная, а во многих месторождениях основная масса серебра извлекается из галенита, блеклой руды, халькопирита, пирита и других сульфидов, в которых серебро является изоморфной примесью и возможно частично присутствует в виде мельчай-

ших зерен серебряных минералов.

К главным минералам серебра, наиболее часто и в наибольших количествах встречающихся в рудах, принадлежат: серебро самородное, аргентит — Ag<sub>3</sub>ShS<sub>3</sub>, пирсеит — (Ag, Cu)<sub>16</sub>As<sub>2</sub>S<sub>11</sub>, полибазит — (Ag, Cu)<sub>16</sub>Sb<sub>2</sub>S<sub>11</sub>, гессит — Ag<sub>2</sub>Te, керарги-

рит — AgCl.

Самородное серебро. Кроме химически чистого серебра, встречаются разновидности: кюстелит с изоморфной примесью золога до 10~% и выше, медистое серебро, сурьмянистое серебро и др. Сингония кубическая; размер элементарной ячейки  $a_0 = 0.4078$  нм. Цвет в свежем изломе серебристо-белый, твердость 2.5, плотность  $(10 \cdot 10^3 - 11 \cdot 10^3)$ . Правильно образованные кристаллы очень редки. Встречается иногда в виде дендритов, тонких неправильных пластин, листочков, волосовидных и проволочных форм. Наиболее распространены зерна неправильной формы,

большей частью очень мелкие, хотя известны и более крупные скопления— самородки, масса которых в отдельных месторождениях превычаль 100 кг

Аргентит —  $Ag_2S$ . Химический состав Ag 87,1 %, S 12,9 %. Сингония кубическая; размер элементарной ячейки  $a_0$ =0,488 нм. Известна также низкотемпературная ромбическая модификация  $Ag_2S$  — акантит, образующая параморфозы по аргентиту. Цвет аргентита свинцово-серый до железо-черного, твердость 2—2,5, плотность (72·10³—74·10³). Встречается в виде вкраплений, прожилок, примазок. Редко образует несовершенные кристаллы.

Прустит —  $Ag_3AsS_2$  (65,4 % Ag, 15,2 % As, 19,4 % S) и пираргирит —  $Ag_3SbS_2$  (59,8 % Ag) обладают во многом сходными физическими свойствами. Сингония тригональная, размеры элементарной ячейки соответственно:  $a_0$ =1,077,  $c_0$ =0,867 и  $a_0$ =1,104,  $c_0$ =0,872. Твердость 2—2,5, плотность 56⋅10² и 58⋅10². Цвет прустита ярко-красный, пираргирита темно-красный до железо-черного. Нередко встречаются в виде прекрасно образованных кристаллов, украшающих многие музем мира

 $\hat{\Pi}$ ирсеит — (Ag, Cu) 16As<sub>2</sub>S<sub>11</sub> (78,4 % Ag) и полибазит — (Ag, Cu) 16Sb<sub>2</sub>S<sub>11</sub> (75,5 % Ag) — мышьяк- и сурьмусодержащие сульфосоли серебра, моноклинные, таблитчатые. Цвет железо-черный, твердость 2—3, плотность 6150 и 63·10². В рудах образуют небольшие

неправильной формы выделения, иногда кристаллы.

Гессит — Ag₂Te (63,3 % Ag, 36,7 % Te). Существует в двух полиморфных модификациях: кубической и моноклинной. Цвет свинцовосерый, твердость 2,5—3, плотность 8350. Встречается в виде агрегатов небольших зерен в золото-серебряных жилах совместно с другими теллуридами золота и серебра, свинца, пиритом, галенитом, тетраэдритом и др.

Кераргирит — AgC1 (75,3 % Ag, 24,7 % C1). Сингония кубическая, размер элементарной ячейки  $a_0$ =0,554 нм. Цвет или серый, или бесцветный, или с бурым (зеленоватым) оттенком. Твердость 1,5—2, плотность 55·10². Встречается в зонах окисления месторождений серебряно-свинцовых руд в виде корочек, кристаллических налетов, натечных

роговидных или восковидных масс.

Большое число минералов серебра являются редкими. Они встречаются в рулах обычно в виде мельчайших выделений, обнаруживаемых лишь при наблюдении под микроскопом. Однако в отдельных месторождениях изредка встречаются более крупные скопления этих минералов. К числу редких минералов серебра относятся: мошелландсбергит — Ад2Hд3, парашахнерит — Ад3Hд2, шахнерит — Ад1,1Hд0,9, амальгама серебра — (Ag, Hg), дискразит — Ag<sub>3</sub>Sb, ютенбогардтит —  $Ag_3AuS_2$ , штромейерит —  $Ag_{1-x}CuS$ , маккинстрит — (Ag, Cu)<sub>2</sub>S, аргиродит —  $Ag_8GeS_6$ , канфильдит —  $Ag_8SnS_6$ , ксантоконит —  $Ag_3AsS_3$ , пиростильпнит —  $Ag_3SbS_3$ , миаргирит —  $AgSbS_2$ , стефанит —  $Ag_5SbS_7$ , арамайоит —  $Ag(Sb, Bi)S_2$ , матильдит —  $AgBiS_2$ , павонит —  $AgBi_3S_5$ , купропавонит —  $Cu_{0,9}Ag_{0,5}Bi_{2,5}Pb_{0,6}S_5$ , рамдорит —  $Ag_2Pb_3Sb_5S_9$ , фрейслебенит — AgPbSbS<sub>3</sub>, диафорит — Ag<sub>3</sub>Pb<sub>2</sub>Sb<sub>3</sub>S<sub>8</sub>, андорит — AgPbSb<sub>3</sub>S<sub>6</sub>, физелиит — Ag<sub>2</sub>Pb<sub>5</sub>Sb<sub>3</sub>S<sub>8</sub>, штернбергит — AgFe<sub>2</sub>S<sub>3</sub>, аргентопентландит —  $Ag(Fe, Ni)_8S_8$ , окартит —  $Ag_2FeSnS_4$ , ялпаит —  $Ag_3CuS_2$ , балканит —  $Cu_9Ag_5HgS_8$ , фурутобент — (Cu, Ag)<sub>6</sub>PbS<sub>4</sub>, кутинаит —  $Cu_2AgS$ , новакит — (Cu, Ag)<sub>4</sub>As<sub>3</sub>, антимонпирсеит — (Ag, Cu)<sub>16</sub>(Sb, As)<sub>2</sub>S<sub>11</sub>, полиаргирит —  $Ag_{24}Sb_2S_{15}$ , смитит —  $AgAsS_2$ , трехманит —  $AgAsS_2$ , лафитит —  $AgHgAsS_3$ , самсонит —  $Ag_4MnSb_2S_6$ , аркубисит —  $Ag_6CuBiS_4$ , ширмерит —  $Ag_4PbBi_4S_9$ , густавит —  $Pb_5Ag_3Bi_{11}S_{24}$ , эскимоит —  $Ag_7Pb_{10}Bi_{15}S_{36}$ , викингит —  $Ag_5Pb_8Bi_{13}S_{30}$ , аурейит —  $Ag_{12,5}Pb_{15}Bi_{20,5}S_{52}$ , трежурит —  $Ag_7P_{b_6}B_{i_{15}}S_{32}$ , биллинглеит —  $Ag_7(As, Sb)S_{6}$ , ленгенбахит —

 $(Ag, Cu)_2 Pb_6 As_4 S_{13}$ , овихиит —  $Ag_2 Pb_5 Sb_6 S_{15}$ , накасеит —  $Pb_4 Ag_3 Cu Sb_{12} S_{24}$ , гутчинсонит —  $Ag_2 (Pb, Tl) As_{10} S_{17}$ , валлисит —  $(Cu, Ag)_3 Pb_2 Bi_5 S_5$ , бенжаминит —  $(Ag, Cu)_3 (Pb, Bi)_7 S_{12}$ , берриит —  $(Cu, Ag)_2 Pb_2 Bi_5 S_{11}$ , лазорит —  $(Cu, Ag)_2 Pb_3 Bi_5 S_{11}$ , нейит —  $(Cu, Ag)_2 Pb_7 Bi_6 S_{17}$ , агвиларит —  $Ag_2 (Se, S)$ , науманит —  $Ag_2 Se$ , крукесит —  $(Cu, Tl, Ag)_2 Se$ , богдановичит —  $Ag_3 Bi_5 S_{22}$ , фишессерит —  $Ag_3 Au Se_2$ , эвкайрит —  $Ag_2 Cu Se$ , эмпрессит —  $Ag_5 - x Te_3$ , петцит —  $Ag_3 Au Se_2$ , мутманит —  $(Ag, Au)_5 Te$ , болынскит —  $Ag_5 Te_3$ , теларгпалит —  $(Pd, Ag)_3 Te$ , эмболит —  $Ag_5 Cl_3 F(OH)$ , бромирит —  $Ag_5 Te$ , йодобромит —  $Ag_5 Cl_3 F(OH)$ , бромирит —  $Ag_5 Te$ , йодобромит —  $Ag_5 Cl_3 F(OH)$ , бромирит —  $Ag_5 Te$ , аргентоярозит —  $Ag_5 Ca_5 Te_3 F(OH)_6$ , аурорит —  $Ag_5 Ca_5 Te_5 F(OH)_6$ , аурорит —  $Ag_5 Ca_5 Te_5$ 

#### 1.3. Платиновые металлы

Основные типы месторождений

Месторождения платиновых металлов относятся к следующим основным типам. 1. Эндогенные магматические месторождения, среди которых выделяют: а) самостоятельные платиновые месторождения (уральский тип) и б) комплексные сульфидные медно-никелевые. 2. Экзоген-

ные россыпные месторождения.

Қ уральскому типу принадлежат месторождения платиновых металлов в ультраосиовных породах (дунитах, реже перидотитах и пироксенитах). Платиновые минералы совместно с хромитом образуют небольшие жилообразные тела, гнезда, шлиры, вкрапленность. Реже минералы платины ассоциируются с титаномагнетитом или образуют вкрапленность среди дунита независимо от хромитовых скоплений. Минералы платиноидов в этих месторождениях представлены самородной платиной, иридистой платиной, осмиридом и иридосмином. Особенностью платиновой минерализации этого типа является преобладание тяжелых платиновых металлов: платины, иридия, осмия. Содержание палладия, родия и рутения зависит от содержания основных металлов.

В Советском Союзе, кроме месторождений платиноносного пояса Урала, ныне уже выработанных, к этому типу можно отнести и не-

большие месторождения Алданского щита [18].

Месторождения платиновых металлов в Эфиопии, ЮАР, Зимбабве и других странах встречаются связанными с платиноносными

дунитами.

Месторождения платиноносных сульфидных руд медно-никелевого типа характеризуются приуроченностью к крупным расслоенным интрузиям пород основного состава. Платиновое и медно-никелевое оруднение тесно связаны между собой. Сульфиды (пирротин, халькопирит. пентландит) и минералы платиновых металлов тяготеют к нижним дифференциатам интрузий, где они образуют вкрапленные выделения или жильные и лентообразные залежи. В отличие от руд уральского типа в медно-никелевых сульфидах платиноносных рудах значительно больше палладия (часто он преобладает над платиной), родий и рутений по содержанию превышают иридий и осмий: состав минералов платиновых металлов весьма разнообразен: кроме самородной платины и ее упорядоченных разностей, содержащих другие платиноиды и Fe, Cu, Ni, Co, широко распространены соединения платиновых металлов с Sn, Pb, Bi, As, Sb и Те [18]. В месторождениях этого типа платиновые металлы обычно извлекаются из руд попутно с медыю, никелем и другими ценными компонентами,

Среди зарубежиых платиноносных сульфидных медно-никелевых месторождений наиболее крупными являются некоторые месторождения Бушвельдского интрузивного комплекса (ЮАР) и Садбери (Онта-

рио, Канада).

Месторождения, связанные с Бушвельдским интрузивным комплексом, представляют собой пластообразную залежь, иазванную «горизоитом» или в честь открывшего ее геолога «рифом Меренского». Она протягивается на сотни километров и обладает высоким содержанием и огромными запасами платиновых металлов. В отличие от других месторождений этого типа «риф Меренского» представляет собой собствению платиновое месторождение: платина и палладий в нем основные, а не попутно добываемые компоненты руд.

Другой особениостью месторождений Бушвельда является преобладание платины над палладием. Наиболее широко распространены минералы платины — ферроплатина, брэггит, куперит, мончеит, сперрилит и др. В Бушвельдском интрузивном комплексе встречены также трубообразные и столбообразные тела крупнозернистых дунитов. Эти дунитовые «трубки» (Онфервахт, Дрикоп, Монхук и др.) содержат

значительные количества платиновых металлов.

Месторождение Садбери (Канада), разрабатывающееся еще с 1883 г., до открытия платиновых месторождений в ЮАР, являлось основным производителем платины и палладия в мире. В медно-инкелевых рудах, добываемых на многочисленных рудинках, содержания платины и палладия примерно одинаковы и значительно превышают содержания остальных платиноидов. Преобладающими минералами платиновых металлов в Садбери являются сперрилит и теллуриды платины и палладия (мончеит, майчнерит).

В Советском Союзе к месторождениям платиноносных медно-никелевых сульфидных руд относятся месторождения Норильского района [18]. В рудах палладий преобладает над платиной. Платиновые металлы распределяются в зависимости от минерального состава руд. В рудах, сложенных преимущественно сульфидом железа (пирротиновые руды), наряду с главными платиноидами — палладием и платиной концентрируется большая часть родия, иридия, рутения и осмия. Эти платиноиды-спутники не образуют собственных минералов и рассеиваются в виде твердых растворов в главных рудообразующих сульфидах. Руды, в составе которых преобладают сульфиды меди и железа — минералы группы халькопирита, характеризуются повышенным содержанием платины и палладия и практически отсутствием платиноидов-спутников. Платина и палладий образуют в этих рудах многочисленные минералы, главные из которых: ферроплатина, атокит, рустенбургит, звягинцевит, паоловит, плюмбопалладинит, полярит, сперрилит, котульскит, куперит, высоцкит [19]. Платиновые металлы определены также в составе медно-никелевых сульфидных руд Печенгского и Мончегорского месторождений из Кольском полуострове [19].

Экзогенные жесторождения. По условиям образования месторождения платиновых металлов и золота этого типа во многом сходны. Они часто встречаются совместно в золото-платиновых россыпях.

Платиноносные россыпи являются основным типом экзогенных месторождений платины. Известны на Урале (СССР), в Колумбии, на о. Тасмания, в Калифорнии и Орегоне (США) [19]. В основном отличия этих месторождений проявляются в минеральном составе россыпей и содержании в них платиновых металлов. Выделяются собственно платиновые россыпи и россыпи, обогащенные осмием и придием. Основным минералом платиновых россыпей является ферроплатина, самородная платина и ее разновидности. В россыпях вторго типа вместе с

ферроплатиной широкое распространение имеют минералы типа иридосмина и осмирида. Характерной чертой всех россыпиых месторождений платиновых металлов является практически полное отсутствие в иих паллация.

Месторождение древних метаморфизованных россыпей Витватерсранд (ЮАР) отличается от обычных россыпей ие только высокими содержаниями иридия и осмия, но и является крупнейшим в мире

по запасам золота и урана.

Месторождения в зоне выветривания при окислении на месте коренных платиноносных пород образуются довольно редко. Наиболее крупные находятся в Западной Эфиопии. Высокие коицентрации платиновых металлов связаны с латеритным элювием окислениых платиноносных дунитов.

#### Минералы платиновых металлов

Число известных минералов платиновых металлов за последние двадцать лет возросло практически в 8 раз и сейчас достигает 90 [23]. Среди минералов платиновых металлов можно выделить: 1) самородные платиноиды и природные сплавы на их основе; 2) интерметаллические соединения платиновых металлов с Sn, Pb, Bi, As, Sb и Te; 3) сульфиды, арсениды и сульфоарсениды платиноидов [19].

По числу минералов первое место заинмает палладий, затем идет платина. Иридий, рутений и осмий самостоятельных минералов образуют очень мало. Что касается родия, в настоящее время известно только два минерала (родий самородный и холлингвортит). В основном Ru и Rh входят в виде изоморфной примеси в минералы Pt, Pd,

Ir и Os.

Наиболее распространенными являются самородиая платина — Pt (и ее разновидности) и изоферроплатина —  $Pt_3$ Fe, иридосмин — Os, Iг, сперрилит —  $PtAs_2$ , куперит — PtS, брэггит — (Pt, Pd, Ni)S, лаурит —  $RuS_2$ , атокит —  $Pd_3Sn$  и рустенбургит —  $Pt_3Sn$ , паоловит —  $Pd_2Sn$ , станнопалладинит и другие минералы системы Pd—Sn—Cu. мончеит —

PtTe<sub>2</sub>, майчнерит — PdBiTe и некоторые другие.

Самородная платина, ее разновидности и ферроплатина. Содержание примесных компонентов (Fe, Ni, Co, Cu, Rh, Ir, Ru, Pd) в самородной платине составляет до 5 % (по массе). Разности с содержаинем >5 % (по массе) железа — железистая платина, меди — медистая платина (ранее купроплатииа), никеля — никелистая платина, палладня — палладистая платина, иридня — иридистая платина, родия родистая платина. При содержании железа около 20—25 % (ат.) мииерал называется изоферроплатииой (Pt<sub>3</sub>Fe). Соединение с 50 % (ат.) Fe—PtFe — тетраферроплатииа. Цвет всех минералов и разиовидностей от серебряно-белого до стального-серого. Твердость около 4-4,5, ковкие; плотиость колеблется от 15·10<sup>3</sup> до 21·10<sup>3</sup> (примеси, особенио группы железа, понижают плотность); кубическая сингония (за исключением тетрагональной тетраферроплатины). В ряду: самородная платина и разновидности — изоферроплатина (Рt<sub>3</sub>Fe) — тетраферроплатина (PtFe) — наблюдается упорядочение атомов Fe в структуре, что приводит к превращению кубической граиецентрированной ячейки  $(Fm3m, a_0=0.39237 \text{ нм})$  самородной платины в кубическую примитивную (Pm3m) изоферроплатины и тетрагональную тетраферроплатины.

Богатые железом разновидности, особенно ферроплатииа, сильно магнитны. Это свойство используется при извлечении их из руд мето-

дом магнитной сепарации.

Самородная платина и ферроплатина встречаются в россыпях в виде самородков комковатой неправильной формы. По величине они

обычно значительно уступают золотым самородкам, хотя известны и гиганты массой более 5 кг. Самый крупный из добытых в мире самородков платины весил 9635 г (Урал, россыпи).

В рудах магматических месторождений разновидиости самородной платины образуют каймы в сложных срастаниях с другими минералами платиновых металлов и хорошо образованные кристаллы (пластинчатые и кубические) размером до сотни микрон.

Иридосмин [55—80 % (ат.) Os, 45—20 % (ат.) Iг] характерен для россыпных месторождений. Часто образует включения в железистой платине. Самостоятельные образования — таблитчатые кристаллы гексагонального или тригонального облика. Цвет серовато-желтоватый, спайность по (0001) совершенная, твердость 6—7, плотность около  $2 \cdot 10^3$ . Может содержать Pt, Rh, Ru, Pd, Cu, Fe. В отраженном свете белый, слегка желтоватый; анизотропеи (цветные эффекты в оранжево-красных и синевато-голубых тонах). Двуотражение заметно на воздухе (голубовато-серые и желтовато-белые тона). Гексагональный,  $a_0 = 0.27361$ ,  $c_0 = 0.43417$  им (для  $Os_{65}Ir_{35}$ ).

Сперрилит — минерал, обнаруженный в месторождениях платиновых металлов практически всех типов. В составе, кроме Pt (56,53 %) и As (43,42 %), могут присутствовать Rh, Sn, Fe, Sb, Cu. Образует ромбические и октаэдрические кристаллы размером иногда до 1,5—2 см. В шлифах серебристо-серый. Под микроскопом белый со слабым голубоватым оттенком. Изотропный, твердость 8, кубическая сингония;

структура типа пирита,  $a_0 = 0.594$  нм.

Куперит (85,89 % Pt, 14,11 % S). Иногда содержит палладий (единицы %), следы никеля, рутения, иридия. Твердость 4,5, спайкость проявляется по (101), плотность  $95\cdot 10^2$ . В отраженном свете серовато-коричневый, аиизотропный (цветные эффекты от коричнево-желтого до серого тонов); тетрагональная сингония;  $a_0 = 0,348$ ,  $c_0 = 0,6113$  нм, c/a = 1,758.

*Брэггит* (58,2 % Pt; 18,1 % Pd; 4,7 % Ni; 19,0 % S) был открыт при рентгенометрическом анализе продуктов переработки руд Бушвельдского интрузивного комплекса. Всегда содержит, помимо основных компонентов (Pt, Pd и S), до 5 % Ni. В полированных шлифах коричневатосрый, двуотражение слабое, анизотропен, твердость примерно 5, тетрагональный;  $a_0$ =0,6383,  $c_0$ =0,06593 им, c/a=1,033. Структура сходиа со структурой синтетического PdS.

*Лаурит* (61,33 % Ru, 38,67 % S) характерен для платино-золотых россыпей о. Борнео. Ииогда содержит Os, Ir. Образует кристаллы октаэдрического, кубического и додекаэдрического вида. Твердость 7,5—8,0, плотность  $7 \cdot 10^3$ . В полированных шлифах серовато-белый (с голубоватым оттенком); изотропен; кубический; структура типа пирита;  $a_0$ =

=0.5601 HM.

Атокит и рустенбургит — минералы, характерные для медно-никелевых месторождений. Разности, отвечающие чистым Pd<sub>3</sub>Sn (атокит) и Pt<sub>3</sub>Sn (рустенбургит), в природе встречаются крайне редко. Обычиыми, являются платинистый атокит — (Pd, Pt)<sub>3</sub>Sn и палладистый рустенбургит — (Pt, Pd)<sub>3</sub>Sn, содержащие также до 6 % Pb, никель, медь, мышьяк, сурьму и т. д. (доли %). Минералы образуют ряд твердых растворов Pd<sub>3</sub>Sn—Pt<sub>3</sub>Sn, тесно смыкающийся со звятинщевитом (Pd<sub>3</sub>Pb). Свойства всех разновидиостей очень сходиы. Иногда образуют кристаллики округлой формы размером до 150—200 мкм, чаще участвуют в срастаниях, содержащих и другие минералы платиновых металлов. Цвет отдельных зерен розовато-серебристый, под микроскопом белый; кристаллы изотропные; отражение высокое; ковкие; кубические. Структура типа меди, но с частично упорядоченым расположением атомов в кубической ячей-

ке. Пространственная группа Pm3m,  $a_0=0,401$  им (для чистых  $Pd_3Sm$ 

и  $Pt_3Sn$ ; примеси поиижают  $a_0$ ).

Паоловит (63,8 % Pd; 36,2 % Sn) — один из характерных минералов платиновых металлов медно-никелевых сульфидных руд. Образует выделения неправильной формы в срастании с соболевскитом (PdBi), сперрилитом и др. Иногда можно наблюдать кристаллы тригонального вида. В качестве примесей отмечаются Pt, Pb и Bi (десятые доли %). Твердость примерно 6; ковкий; в отражением свете сиреневато-розовый. Двуотражение отчетливое (от темиого сиреневато-розового до бледнорозового). Анизотропия сильная с яркими цветиыми эффектами в оранжево-красных и темно-синих тонах. Ромбический; структура типа  $\delta$  =  $Ni_2Si$ ,  $a_0$  = 0,811;  $b_0$  = 0,5662;  $c_0$  = 0,4324 нм.

Станиопалладинит и другие минералы системы Pd—Sn—Cu — группа минералов платиновых металлов, представители которой обнаружены только в Норильских месторождениях. Содержат переменные количества меди [от 6 до 16 % (по массе)]. Часто в составе определяют

платииу.

Эти минералы встречаются в богатых медью сплошиых рудах, отличительным их признаком является розоватый цвет и неправильная форма выделений. Часто наблюдаются срастания с другими минералами платиновых металлов. Очень ковкие; твердость 3,5—4. Выделяются следующие природные фазы: Pd<sub>2</sub>SnCu (кабриит), Pd<sub>5</sub>Sn<sub>4</sub>Cu<sub>3</sub> (таймырит?), Pd<sub>5</sub>Sn<sub>2</sub>Cu<sub>1</sub> (станнопалладинит?). Твердость их в пределах 4,5—5,5. Под микроскопом розовые разных оттенков; анизотропные.

В основе структуры всех этих минералов лежит кубическая структура типа Cu<sub>3</sub>Au. Упорядоченное распределение атомов Pd и Cu вызывает понижение симметрии структуры до тетрагональной и ромбической.

Мончеит (43,33 % Pt и 56,67 % Te), кроме основных компонентов (Pt и Te), содержит Pd, Bi, Ni, Sb. Встречается в виде мельчайших зереи среди сульфидов. Чаще всего образует срастания с майчнеритом и котульскитом. Твердость 3,5; в отраженном свете белый; даже в воздухе заметно двуотражение. Сильно анизотропный (цветиые эффекты от желто-коричневого до темио-коричневого); гексагональный;  $a_0$ =0,4049,  $c_0$ =0,5288 им, c/a=1,281. Структура типа CdI<sub>2</sub>.

Майчнерит (24,0 % Pd, 28,8 % Te, 47,2 % Bi) образует срастание с другими висмуто-теллуридами палладия и платииы. Твердость примерно 5,5; плотность 104⋅10². Под микроскопом серовато-белый. Изотропный; кубический; структура типа NiSbBi (упорядоченный FeS₂ — пирит), отдельные разности с отношением Те: Ві>1 имеют иеупорядоченную

структуру типа пирита;  $a_0 = 0.665$  им.

Большинство отдельных минералов платиновых металлов встречается крайне редко. Миогие из них известны лишь в единичных наход-

ках.

Можно представить эти известные (и достовериые) в настоящее время мииералы в виде следующего перечия: 1) минералы платииы: туламинит —  $Pt_2$ FeCu; нигглинт — PtSn; геверсит —  $PtSb_2$ ; инсизваит —  $PtBi_2$ ; штумпфлиит —  $PtSb_3$ ; хоигшиит — PtCuAs; йиксунит — PtIn; платарсит — PtAsS; геикинит —  $Pt_3$ , масловит —  $PtBi_3$ ; 2) минералы палладия: палладий самородный; потарит — PdHg; темагамит —  $Pd_3$ HgTe3; арсенопалладинит —  $Pd_6$ (As, Sb)3; атенеит —  $(Pd, Hg)_3$ As; боровскит —  $PdSbTe_4$ ; фрудит —  $PdBi_2$ ; гуанглинит —  $Pd_3$ As; котульскит —  $PdTe_3$ ; соболевскит —  $PdBi_3$ ; меренксинт —  $PdTe_2$ ; остербошит —  $(Pd, Cu)_7$ Se5; кейтконит —  $Pd_5$ + $_x$ Te2- $_x$ ; палладоарсенид —  $Pd_2$ As; плюмбопалладинит —  $Pd_3$ Pb2; полярнт — Pd(Pb, Bi)—Pd(Bi, Pb); стибиопалладинит —  $Pd_5$ + $_x$ Sb2- $_x$ ; стиллуотерит —  $Pd_8$ As3; садбериит — PdSb; теларгпалит —  $(Pd, Ag)_4$ + $_x$ Te; теллуропалладинит —  $Pd_9$ Te4; тестибиопалладит — PdSbTe; виисентит —  $(Pd, Pt)_3$ (As, Sb, Te); мертиит —  $(Pd, Pt)_3$ 

Сu) $_5$ (Sb, As) $_2$ ; изомертилит — (Pd, Cu) $_{11}$ (Sb, As) $_4$ ; высоцкит — (Pd, Ni, Pt)S; звягинцевит — Pd $_3$ Pb; маякит — PdNiAs; урванцевит — Pd (Bi, Pb) $_2$ ; 3) минералы родия: родий самородный; холлингвортит — RhAsS; 4) минералы иридия; иридий самородный и разновидности; осмирид — Ir, Os; иридоарсенид — IrAs $_2$ ; ирарсит — IrAsS; 5) минералы рутения: рутений самородный и разновидности; рутенарсенид — RuAs; 6) минералы осмия: осмий самородный и разновидности; осарсит — OsAsS; эрилкманит — OsS $_2$ ; омейнт — OsAs $_2$ .

2

# ПОЛУЧЕНИЕ БЛАГОРОДНЫХ МЕТАЛЛОВ И ПРОИЗВОДСТВО ПОЛУФАБРИКАТОВ ИЗ НИХ

## 2.1. Получение золота

Основными факторами, определяющими схему переработки золотосодержащих руд, являются:

1. Минеральный состав и физические характеристики руд, в частно-

сти их крупность, твердость и абразивность;

2. Состояние золота в рудах (крупность частиц, ассоциации с другими минералами, характеристики поверхности золотин).

Одиа из комбинированных технологических схем приведена на рис.

2.1 [25].

За последнее десятилетие в СССР получила широкое развитие гидрометаллургия на основе сорбционных и экстракционных процессов. Использование этих процессов и особенно сорбции из пульп открыло доступ к весьма бедным источникам сырья и обеспечило наиболее эффек-

тивную комплексиую переработку руд и концентратов.

Впервые в мировой практике процесс сорбции золота из рудных пульп был осуществлен в СССР в 1969 г. В настоящее время процесс успешно используется на ряде предприятий, перерабатывающих различные типы бедиых золотосодержащих руд [26]. При использовании процесса сорбционного выщелачивания или сорбщии из пульп весьма эффективио решается задача комплексного использования минерального сырья, попутно извлекаются серебро, металлы платиновой группы, вольфрам и др.

Золотосодержащие руды весьма различны по химическому и минералогическому составам, вследствие чего их переработка осуществляется по различным технологическим схемам, включающим там, где это целесообразно, операции гравитационного и флотационного обогащения.

При разработке сорбционной технологии извлечения золота следует выделять три основных типа технологических схем переработки зо-

лотосодержащих руд.

24

1. Сорбционное извлечение золота, осуществляемое из всей массы руды при наличии в ней мелкодисперсного золота, не извлекаемого гра-

витационным обогащением (рис. 2.2).

2. Сорбционное извлечение золота, осуществляемое из хвостов гравитационного обогащения руды при наличии в ней свободиого золота (рис. 2.3). Следует отметить, что первичиые гравиоконцентраты во мио-

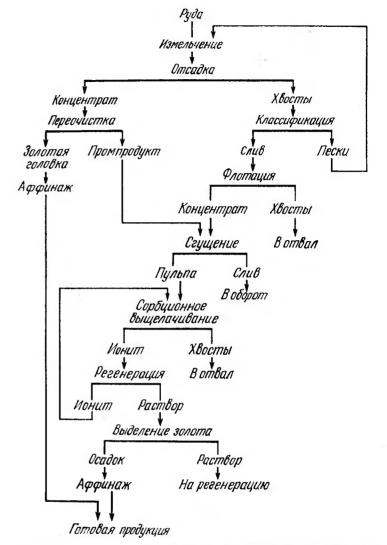


Рис. 2.1. Флотационно-сорбционное извлечение золота из руд, содержащих сульфидные минералы

гих случаях удается довести путем переочистки на концентрационных столах до золотой головки, содержащей 20—40 % золота.

3. Сорбциоиное извлечение золота, осуществляемое из флотаконцентратов в случаях, когда химический и минералогический составы руд позволяют проводить флотационное обогащение с получением отвальных по золоту хвостов флотации. Если вещественно-минералогический

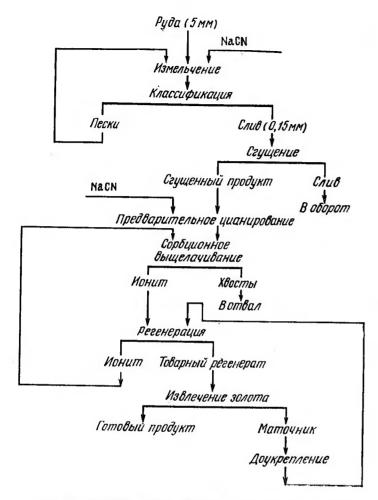


Рис. 2.2. Сорбционное извлечение золота из руд глинистого типа

состав руд определяет необходимость флотационного обогащения и при этом не обеспечивается получение отвальных хвостов флотации, сорбционное извлечение золота осуществляется по раздельной или совмещенной схемам как из флотаконцентратов, так и хвостов флотации. Золотосодержащие сульфидиые минералы подвергают окислительному обжигу или автоклавному окислению.

В последиие годы повышенное внимание уделяется методам подземного выщелачивания бедных золотосодержащих руд, а также разработке безотжиговой схемы извлечения золота из упорных мышьяксодержащих руд н концентратов с применением бактериального выщелачивания.

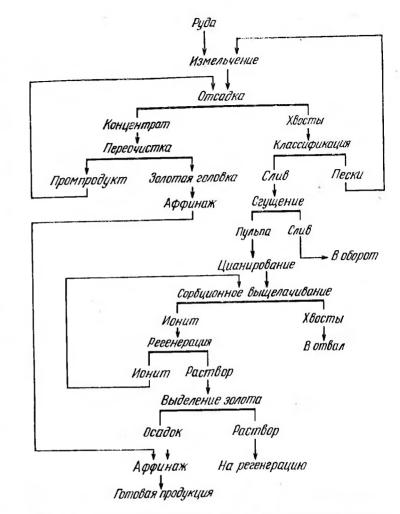


Рис. 23. Сорбционное извлечение золота из руд, содержащих свободное золото

## 2.2. Получение серебра

Из серебряных руд добывается лишь 20 % всего серебра, остальная же часть извлекается при комплексной переработке руд цветных металлов: свинцово-цииковых, медных, золотых, оловянистых и др. [27].

Руды, серебро в которых составляет основную, а в ряде случаев и единственную цеиность перерабатываемого сырья, относят к категории серебряных.

Наиболее употребляемые схемы переработки серебряных руд при-

ведены на рис. 2.4 [27].

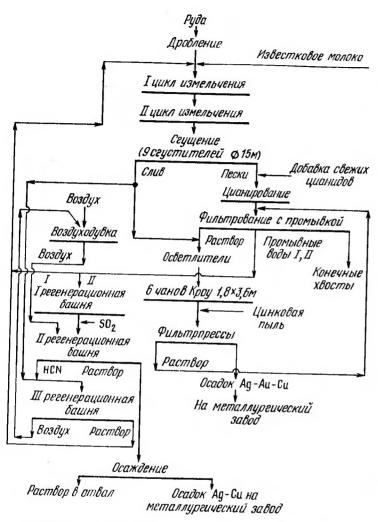


Рис. 2.4. Схема переработки руды на цианистом заводе «Лорето»

# 2.3. Получение платиновых металлов

Основными источниками получения металлов платиновой группы являются отходы медио-никелевого производства, полученные в результате переработки сульфидиых полиметаллических руд [24].

Химический передел богатых платиновыми металлами шламов на аффинажных заводах первичного и вторичного сырья за некоторыми отклонениями проводится по схемам, аналогичным представленным на рис. 2.5 [28].

Национальным институтом металлургии (ЮАР) разработана новая технология аффинажа металлов платиновой группы: иридия, родия, рутения [29]. Технология основана на образовании сплава платиноидов с аммонием, который облегчает перевод их в раствор для последующего разделения. В результате сокращения числа операций время переработки снижается с 4—6 мес. до 20 сут. Чистота получаемых металлов выросла до 99—95 %, а их извлечение повысилось до 97—98 %.

# 2.4. Производство полуфабрикатов из благородных металлов и сплавов

За последние 20—25 лет в связи с развитием электротехники, электроники, радиотехники, химии и других отраслей промышленности резковозросло потребление изделий из благородных металлов.

Актуальнее стали вопросы разработки технологических процессов, повых материалов, экономии и рационального использования благород-

ных металлов, повышения качества изделий из них [29].

#### 2.4.1. Плавка и литье

Благородные металлы обладают довольно широким диапазоном отпосительно высоких температур плавления от 960,5 до 3050 °С, плотностей от 10500 до 22650 кг/м³, большой растворимостью водорода, кислорода и другими специфическими свойствами, от которых зависит выбор тех или иных методов плавки и литья. Плавка и литье золота, серебра известны с древнейших времен и в основном не представляют трудностей. На практике используется большое количество различных видов плавки и литья платиновых металлов и сплавов, а вследствие небольшой массы получаемого слитка (от нескольких грамм до нескольких десятков килограмм) технологию плавки и литья платиновых металлов можно отнести к области микрометаллургии.

В первой половиие прошлого века изделия из платины изготавливали методом порошковой металлургии, разработанным впервые в России. Следующим этапом в металлургии платины явилась плавка платины водородно-кислородным пламенем в печи, сделанной из блоков обожженного известняка. С изобретением высокочастотной индукционной печи типа АЯКС фирма «Джоисон Маттей и К°» (Аиглия, 1920 г.) впервые использовала ее для плавки платины. Тигель для печи готовился из размолотого очищенного песка циркоиа; в одном тигле произ-

водилось до 50 плавок платины массой около 3 кг.

В настоящее время в промышленности используется более десяти различных видов плавки (табл. 2.1) и литья (табл. 2.2) благородных металлов и их сплавов, но наиболее распространенным является индукционный метод плавки. Масса плавки платины достигла 25—30 кг и более, стойкость отдельных тиглей доходит до 150—200 плавок, при плавке в вакууме стойкость тиглей резко сиижается до 40—50 плавок.

Вместе с тем перспективными для плавки платиновых металлов и сплавов являются современные высокоэффективные иовые методы плавки: плазмеино-дуговая, электронно-лучевая, левитационная, в которых отсутствует огнеупорный плавильный тигель и связанные с ним проблемы неметаллических засоров, включений, загрязнения расплава платины металлами, восстановленными из отнеупорных окислов.

#### Вакуумно-индукционная плавка

Как отмечалось выше, плавка платиновых металлов и сплавов иа их основе производится в основном в индукциониых высокочастотных пе-

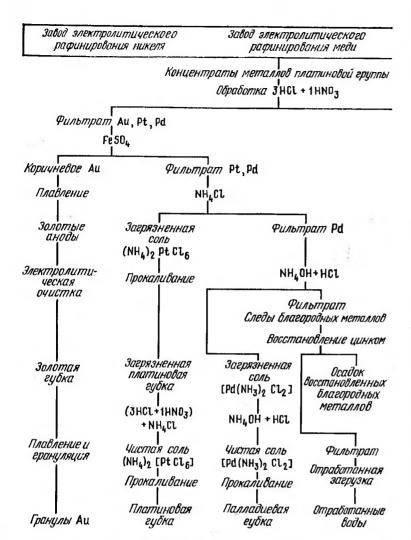
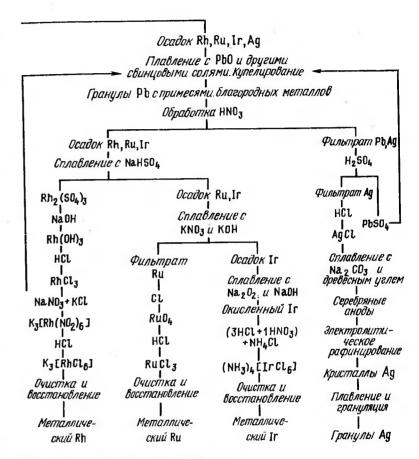


Рис. 2.5. Технологическая схема извлечения н разделения металлов платиновой

чах, обеспечивающих высокую производительность, стабильный химический состав, возможность создания простой системы защитной среды или вакуумирования.

Для плавки платииовых металлов вакуум 13,3—106,4 Па является оптимальным и достаточным для получения плотных слитков. Более глубокий вакуум (1,3·10<sup>-1</sup>—1,3·10<sup>-3</sup> Па) необходим для плавки сплавов, в состав которых входят легко окисляющиеся элементы, например вольфрам, рений, молибдеи, хром, цирконий и др. Увеличение глубины вакуума и соответствению времени плавки приводит к повышению по-

Завод карбонильной очистки никеля фирмы "Монд"



группы на Садберийских рудниках в Канаде

терь благородных металлов, а также ускорению разрушения тигля, что ведет к интенсивному загрязнению расплава примесями и неметаллическими включениями.

Существенное влияние на качество выплавляемого металла наряду с защитной средой или вакуумом оказывает материал огнеупорных тиглей; для их изготовления используют оксиды магния, алюминия, бериллия, кремния, иттрия, циркония, кальция и тория, а также других металлов.

ТАБЛИЦА 2.1

#### СОВРЕМЕННЫЕ ВИДЫ ПЛАВКИ БЛАГОРОДНЫХ МЕТАЛЛОВ И ИХ СПЛАВОВ [30, 31]

Вид плавки	Тнгель	Защнтная среда	Выплавляемые металлы, сплавы
Вакуумио-ин- дукционная (высокочастот- ная)	Оксидный (магнезит, корунд, двуоксид циркония)	Вакуум 13,3— 13,3·10 <sup>-2</sup> Па или водород (аргон + водо- род)	Pt, Pd и их спла- вы Pd и его сплавы
Электроиндук- ционная (низ- кочастотная)	Графитовый, графито-ша- мотный	роду Уголь березовый, природный газ	Ag, Au и их спла- вы Ag—Pt (до 12 % Pt) Ag—Pd (до 20 % Pd)
Плазмениая	Кристаллиза- тор медный, водоохлажда- емый	Аргон	Ag — припой Все чистые метал- лы Pt, их сплавы
Вакуумио-ду- говая (с нерас- ходуемым или расходуемым электродом)	То же	Вакуум или ге- лий	Pt, Pd и их сплавы с неблагородными металлами
Иидукциоиная бестигельная (левитацион-иая)	Магнитное поле	Вакуум до 1,3·10 <sup>–3</sup> Па или гелий	Тугоплавкие платиновые металлы и их сплавы с W, Mo, Re, Та и с ме-
Электроино- лучевая (зон- ная, бестигель- ная или в кри- сталлизаторе)	_	Вакуум до 1,3·10 <sup>-4</sup> Па	таллоидами Все платиновые металлы и их сплавы, сплавы тугоплавких металлов

ТАБЛИЦЛ 2.2 СОВРЕМЕННЫЕ ВИДЫ ЛИТЬЯ ПЛАТИНОВЫХ МЕТАЛЛОВ И ИХ СПЛАВОВ [30, 31]

Вид литья	Масса слитка, кг	Металлы и сплавы для литья
В наполняемые изложницы (стальные, чугупные или мед- иые, водоохлаждаемые)	<30	Pt, Pd и их сплавы
Непрерывное (в медный кристаллизатор или в электромагинтном поле)	<b>&lt;2</b> 00	Серебро и его сплавы

Вид литья	Масса слитка, кг	Металлы н сплавы для литья
Вакуумиое всасывание (в медиую водоохлаждаемую излож-	<10	Сплавы Pt c Co, Ag, Cu
иицу, в кварцевые трубки) Центробежное (в металлические изложницы, в оболочковые	<b>&lt;</b> 5	Сплавы для ювелирной тех- иики
формы) Под давлением	<l< td=""><td>Сплавы для ювелириой техники с Pd, Ag, Au и легкоплавкими элементами</td></l<>	Сплавы для ювелириой техники с Pd, Ag, Au и легкоплавкими элементами
Кристаллизация по методу Чохральского	<b>&lt;</b> 5	Сплавы Pd с тугоплавкими элементами
Кристаллизация по методу Бриджмена	<1	Pd и его сплавы
Литье по методу Улитовского Грануляция в жидкости	< 0.001 < 0.0001	Ag—Au, Pt, Rh Тугоплавкие сплавы с Os, Pt. Rh
Литье в быстровращающиеся валки, диски	<0,05	Сплавы — металлические стекла

Качество тиглей из высокоогнеупорных оксидов зависит прежде всего от чистоты применяемых оксидов, качества их предварительной обработки (грануляция, фракционный состав и т. п.). В состав огнеупорной массы вводят добавки для улучшения спекания, получения более плотного изделия, повышения термостойкости, для уменьшения смачиваемости расплавами, предупреждения разложения в вакууме, уменьшения скорости испарения, устранения значительных усадочных явлений в процессе обжига тиглей.

Наиболее подходящим материалом, удовлетворяющим большинству требований является оксид магния (электроплавленый периклаз) максимальной чистоты с добавками оксидов иттрия или кальция.

### Электронно-лучевая плавка (ЭЛП)

ЭЛП является едииственным высокоэффективным методом получения тугоплавких платиновых металлов высокой чистоты. Она сопровождается снижением содержания газов, неметаллических включений и примесей с высокой упругостью пара; после этой плавки наиболее высоки пластические свойства металлов.

К настоящему времени разработаны методы выращивания монокристаллов всех металлов платиновой группы вплоть до осмия, а также некоторых двойных сплавов. Чистота монокристаллов в значительной мере зависит от чистоты исходного материала. Оценку чистоты монокристаллов, кроме масс-спектрального анализа, косвенно производят по изменению величины остаточного сопротивления. Миогократным зонным рафинированием получены монокристаллы с величиной остаточного сопротивления: Ru — 2500, Os — 2400, Rh — 2400 [31].

Монокристаллы ЭЛП более пластичны по сравнению с поликристаллами; так, пластичность иридия возрастает от иескольких процентов до 70—100 %. На установках электронно-лучевой зоиной плавки возможно выращивание монокристаллов платиновых металлов диаметром до 40 мм. Такие монокристаллы могут быть использованы для дальнейшей обработки (получения листа, проволоки).

#### 2.4.2. Обработка давлением

Из восьми благородных металлов золото, серебро, платина и палладий являются наиболее пластичными металлами, обработка которых в холодиом или горячем состоянии не вызывает особых затрудиений. Из остальных платиновых металлов осмий и рутений наименее пластичны. Пластичность платиновых металлов в большой степени зависит от концентрации примесей в металлах, особенио это относится к рутению, иридию, родию.

Рутений [31]. Поликристаллический рутений — практически недеформируемый металл, с трудом поддающийся пластическому деформированию при температуре выше 1500 °С. При холодной обработке спеченного рутения допустимая величина обжатия за проход между отжигами ие превышает 10 %, а максимальное суммариое обжатие — 50 %. Зоннорафииированный монокристаллический рутений пластичеи уже при комиатной температуре (выдерживает изгиб более чем на 90 °).

Родий [31]. В холодном состоянии родий с трудом поддается пластическому деформированию, его можно ковать при температуре 1200—1500 °С и протягивать в проволоку днаметром до 0,5 мм при температуре 800—1000 °С, родий в виде листа толщиной 0,7—1 мм прокатывают в горячем состоянии при температуре 1000—1200 °С. После горячей обработки родий становится достаточно пластичным для холодной прокатки или волочения с промежуточными отжигами. Монокристаллы родия, получениые электронио-лучевой зонной плавкой, можио деформировать в холодном состоянии с общим обжатием на 90 % без промежуточных отжигов.

Палладий [31]. Палладий легко поддается ковке, штамповке, прокатке в тончайшие листы, волочению в тонкую проволоку, ои отлично полируется и сваривается. При холодной деформации палладий значительно упрочияется; так, при деформации на 50 % временное сопротивление разрыву и твердость возрастают в 2—2.5 раза.

Осмий [31]. Осмий практически не деформируется; имеются сведения, что горячая обработка давлением осмия при использовании обо-

лочки из молибдена не дала положительных результатов.

Иридий [31]. При комнатной температуре иридий с трудом поддается пластической обработке, при температуре 1500—2000 °С его можно ковать, прокатывать в лист, при температуре около 1000 °С из иридия можно изготовить проволоку диаметром до 0,5 мм. Дальнейшая прокатка и волочение выполняются при комнатиой температуре с миогократными промежуточиыми отжигами. Зоннорафииированные монокристалы иридия пластичны при комнатной температуре, выдерживают обжатия до 25 % и более.

Платина [31]. Платина — самый пластичный металл платиновой группы, легко поддается всем видам обработки металлов давлением как в горячем, так и в холодиом состоянии. Платина может быть прокатана в фольгу 2—1 мкм, протянута в проволоку диаметром 1—2 мкм. Платина с трудом поддается полировке обычными механическими методами, при обработке резанием наблюдается значительный износ ре-

жущего инструмента.

#### 2.4.3. Прокатка листов, полос, ленты, фольги

Прокатка большинства благородных металлов и сплавов не вызывает особых затруднений и мало чем отличается от прокатки цветных металлов; для иих ие требуется каких-либо особых техиологических опера-

ций. За исключением немногих металлов и сплавов, прокатка производится в холодном состоянии на двух- или четырехвалковых прокатных станах с промежуточными отжигами после деформации в среднем на от от 0. 1901

75—85 % [29].

Кроме обычной технологии прокатки фольги иа многовалковых прокатных станах, при производстве небольших объемов фольги применяют пакетную прокатку. Таким способом можно изготовить фольгу из пластичных металлов толщиной до 1 мкм, а из родия и иридия — до 3—5 мкм. Особенность изготовления фольги пакетом заключается в том, что фольга толщиной до 25—50 мкм прокатывается в 4—8 слоев, а более тонкая фольга прокатывается в специальных металлических прокладках — «рубашке» [29].

Изготовление тончайшей фольги (до 1 мкм) — технологически сложный процесс, хотя внешне он выглядит просто: карточки заготовок прокатываемых металлов перекладываются листами парафинироваиной бумаги, и пакет прокатывается на стане. Бумага обеспечивает смазку заготовок, облегчает их деформацию и в то же время препятствует слипанию листов фольги между собой. При прокатке тончайшей фольги пакетом подбираются режимы прокатки: толщина пакета, дробная и общая деформация до замены пакета или до термообработки и т. д. [29].

Из благородных металлов и сплавов (золото, платииа, сплавы платииа — серебро, платииа — никель и др.) изготавливают плющеную ленту прокаткой проволоки в валках. По толщине плющеная лента подразделяется на несколько групп от ультратонкой (0.5—3 мкм) до тол-

стой (более 0,5 мм).

Для плющения применяют специальные плющильные станы или обычные двухвалковые прокатные станы. При производстве тончайших лент для плюшения высокопрочной проволоки (твердостью 4000—6000 МПа и временным сопротивлением до 2000—2500 МПа) применяют малогабаритные многовалковые прокатные станы с твердосплавными рабочими валками днаметром 6—10 мм. При плющении на валках определенного днаметра определенного металла на заданные размеры плющеной ленты для определенного днаметра проволоки, а также единичного и суммарного обжатия обычно используют номограммы, построенные опытно-расчетным путем [29].

Для получения листов из малопластичных окисляемых металлов — родия, рутения или иридия — эффективным является прокатка металлов в вакууме в горячем состоянии. Так, при деформировании клиновидных образцов рутения (выплавленных в вакуумно-дуговой печи при температурах 1100, 1200, 1300 °С в вакууме 1,3·10-2 Па) с обжатиями от 10 до 50 % разрушения не наблюдалось. При прокатке таких же образцов на воздухе при обжатиях выше 30 % происходило их разрушение. При 1400 °С рутений хорошо деформировался в вакууме за шесть

проходов с суммарным обжатием 78 %.

Горячая прокатка в вакууме является малопроизводительным процессом, поэтому проблему повышения пластичности тугоплавких платиновых металлов, по-видимому, следует решать за счет повышения их чистоты, получения монокристаллической структуры и холодной или теплой деформации их на воздухе с последующим отжигом в вакууме.

Производство сусального золота [32]

Сусальным золотом называют фольгу из золота и его сплавов толщиной 0,1—1 мкм, получаемую ковкой главиым образом вручиую. Сущность процесса изготовления сусального золота заключается в том, что карточки фольги, разделениые друг от друга прокладками, собирают в пакет, пакет закладывают в кожаную обойму, по обойме ианосят удары молотком, в результате происходит утоиение (вытяжка) карточек. Масса бойка молотка составляет 2—8 кг, наковальии (гранитиой или мра-

мориой) — 0,5 кг. Прокладки обычно изготовляют из оболочки слепой кишки, которые специально обрабатываются для придания им целостности и эластичности при нанесении по ним ударов; прокладки не должны прилипать к вытягиваемому золоту. Пока ие найдено полиоцеиных заменителей натуральных прокладок, особенио при последиих операциях ковки. Схема операций производства сусального золота приведена ииже:

	Операция	Размер фольги после операции, мм
	Подготовка первого пакета	$0.03\times25\times25$
	кета в кожаную обойму Первая ковка Ковка металлическим сферическим молотком массой 8 кг. Скорость 50—60 ударов/мии, общее количество ударов 1200, время ковки (с	0,002×120×120
3.	контролем хода вытяжки) 15—20 мин Разборка первого и подготовка второго пакета Листы прокладывают папиросной бумагой по 10—12 шт., разрезают на 4 квадрата, из кото- рых собирают пакет с тонкими органическими прокладками. Пакет разделяют двумя кожаны- ми прокладками (дубль-пакет) и закладывают в кожаную обойму. В пакете 600—640 шт. кар- точек	0,002×60×60
4.	Вторая ковка	0,0005×120×120
5.	Разборка второго и подготовка третьего пакета Листы укладывают в бумажную тетрадь и нагревают на прессе до 60—80 °С в течение 1—2 ч до прекращения прилипания золота к бумаге. Листы укладывают по 10—12 шт. без прокладок, режут на 4 квадрата и собирают третий дубль-пакет. В пакете 1000—1100 шт. карточек	0,0005×60×60
6.	Третья ковка	0,00014×120×120
7.	ми) 3 ч Окончательные операции	0,00014× <i>l</i> × <i>l</i>

Несмотря на то что производство сусального золота известно около 3000 лет, в настоящее время во всем мире оно производится почти

без изменений ковкой вручную. Иногда первую операцию ковки удается заменить прокаткой на многовалковом прокатном стаие.

Сусальное золото коррозионностойкое, применяется для наклеек,

тисиений, декоративных покрытий и др.

По технологии сусального золота производят сусальное серебро, сусальный биметалл (золото+серебро), сусальные латуни (томпак).

#### 2.4.4. Производство проволоки [32]

Платина и ее сплавы высокой химической чистоты. Основным недостаком термоэлектродной платиновой проволоки является низкая механическая стойкость при высоких температурах. Высокая чистота металла снижает температуру рекристаллизации, уже при относительно низкой температуре эксплуатации происходит собирательная рекристаллизация, и даже небольшие мехаиические иапряжения приводят к разрушению проволоки. Наиболее удачиым вариантом получения термоэлектродной платиновой проволоки является технологический процесс создания волокнистой структуры без ухудшения термоэлектрических свойств. Суть процесса состоит в том, что прессуется пучок проволоки днаметром 0,25 мм в заготовку, которая дальше обрабатывается ковкой и волочением в проволоку до 0,5 мм. Отдельные волокна имеют поперечный размер от 0,12 до 4 мкм. Временное сопротивление такой проволоки возрастает с 89 до 163 МПа, а относительное удлинение с 5 до 33 % при комиатной температуре. При температуре испытания 1200 °C временное сопротивление волокнистой проволоки выше почти в 1.5 раза. Добавки в волокнистый материал окислов алюминия и бария создают эффект упрочнения: на 15-20 % дополнительно возрастают времениое сопротивление и удлинение. Окислы бария улучшают не только механические, но и термоэлектрические свойства.

Золото. Для пленочных элементов микросхем с высокой электропроводностью достаточно широко используется золотая микропроволока, в основном диаметром 20—40 мкм. Основное требование к проволоке стабильность механических свойств. Проволока высокой чистоты обладает свойствами «самоотжига» при комиатиой температуре. Время, необходимое для «самоотжига» проволоки, зависит от степени чистоты металла, от количества контролируемых и неконтролируемых примесей, в итоге от металлургической предыстории проволоки. Наиболее вероятный путь стабилизации свойств золотой проволоки — микролегирование. Было доказано, что добавки 0,01 % Fe, Cu, Ag, Pt и Pb к золоту чистотой 99, 9999 % сдвигают температуру рекристаллизации от комиатной до 100 °C. Золото, микролегированное 0,01 % Mg, Al, Si, Ni, Sb, Te,

Ві, отжигается при 200 °С или выше.

Платиноиридиевые сплавы. Сплавы платины с 15 % (по массе) Іг обрабатываются волочением в колодном состоянии с промежуточными отжигами. Сплавы с содержанием иридия 15—30 % (по массе) обрабатываются в горячем состоянии на ротационно-ковочных машинах до определенных размеров, затем следует колодное волочение с промежуточными отжигами.

Платинородиевые сплавы. Обрабатываются сплавы аиалогично платиноиридиевым; в горячем состоянии обрабатываются сплавы пла-

тины с 20-40 % Rh.

Платиномедные сплавы. Сплавы платины с 2,5 и 8,5 % Си допускают деформацию волочением не более 85 %, затем отжигаются в защитной среде. Ответственной операцией при изготовлении проволоки из сплава Рt—8,5 Си является стабилизирующий отжиг готовой проволоки при 500 °C, при изменении температуры отжига на ∓10° удельное электросопротивление может меняться от 4,4 до 5,5⋅10-8 Ом⋅м.

Платиноникелевые сплавы. Сплавы платины с 4,5—10 % (по массе)

Ni обрабатываются волочением без особых затрудиеий. Для получения оптимальных свойств, требующихся для растяжек, разработаны температурные режимы упорядочения перспективного для приборостроения сплава Pt-23 Ni. Хорошо обрабатывается сплав с неупорядоченной структурой. Однако на конечных этапах обработки необходимо получить не только высокие прочностные характеристики, но и достаточную пластичность для дальнейшего плющения проволоки в ленту. Это обеспечивается получением сплавов с мелкозернистой структурой с минимальным количеством доменных границ. Такая структура формируется в результате одиовременного прохождения процессов рекристаллизации и упорядочения при изотермических выдержках деформированного сплава при температуре несколько ниже критической температуры упорядочения  $(T_{\kappa}=645\,^{\circ}\text{C})$ . Проволоку получают волочением с обжатием 90-97 %, затем отжигают в безокислительной среде при 560-610°C в течение 3-20 ч. Времениое сопротивление проволоки составляет 2100 МПа, относительное удлинение — до 12 %, удельное электросопротивление — 0,2 мкОм м. Свойства проволоки можно еще улучшить, если ее дополнительно продеформировать на 10-50 % и затем отжечь при 560-610°C в течение 30-150 мии. При этом временное сопротивление возрастает до 2500 МПа без снижения других свойств.

#### 2.4.5. Производство тонкостенных капиллярных трубок [32]

В последнее десятилетие в технике нашли широкое применение диффузионные очистители водорода из сплавов на основе палладия. В конструкции трубчатых диффузионных фильтров используются тоикостенные капиллярные бесшовные трубки диаметром 0,5—2,5 мм с толщиной стенки 0,05—0,12 мм. Такие трубки могут эксплуатироваться при перепаде давлений до  $2\cdot10^7$ —2,5· $10^7$  Па, при циклической иагрузке и колебании температур. В таких условиях могут работать иадежно только бесшовиые трубки; трубные же заготовки, сваренные из листа, не выдерживают длительных циклических напряжений выше  $6\cdot10^5$ — $10^6$  Па; разрушение капилляриых трубок в атмосфере водорода происходит в основиом по сварному шву.

Для производства тоикостенных капиллярных бесшовных труб в последнее время применяется только прессованная трубиая заготовка.

Эффективность процесса волочения и качество труб можно повысить за счет применения ультразвуковых колебаний (УЗК) инструмента. Воздействие УЗК обусловлено влиянием его на свойства и структуру деформируемого металла, изменением характера контактного трения и схемы напряженного состояния при пластической деформации. Акустическое разупрочнение осуществляется в процессе облучения металла ультразвуком. При этом уменьшается статическое напряжение, необходимое для осуществления пластической деформации.

Показано, что при производстве капиллярных трубок с применением УЗК усилие волочения снижается на 30—35 %, что позволяет увеличить вытяжки, сократить промежуточные операции, остаточное напряжение в трубках уменьшается на 15—25 %, стойкость волок увеличивается в несколько раз.

личивается в несколько раз.

#### 2.4.6. Гидростатическое прессование [32]

Оптимальная схема напряженного и деформированного состояний позволяет гидростатически деформировать при комнатной температуре малопластичные и хрупкие сплавы и давать большие степени деформации без промежуточных отжигов для пластичных сплавов. Кроме того, при этом «залечиваются» микро- и макродефекты, имеющиеся в литом металле. Это весьма существенио при производстве изделий из благо-

родных металлов, для которых характерио большое разнообразие размеров и форм исходных заготовок и готовых изделий при незначительном объеме выпуска.

В связи с встречающейся обрывностью при волочении золотой проволоки предполагалось гидростатическим прессованием «залечить» дефекты в золотой заготовке. Прессовалась рыхлая часть слитка, которая не использовалась для получения проволоки. Прессование велось через матрицу с углом наклона образующей конуса 20°, с вытяжкой 5,35. В качестве рабочей жидкости и смазки использовалось машинное масло. Полученный пруток диаметром 10,8 мм подвергали волочению до диаметра 25—30 мкм. По сравиению с существующей технологией выход годного тонкой проволоки, полученной из рыхлой, но гидропрессованной заготовки, возрос с 25 до 48 %. В дальнейшем прессование заготовок из золота проводилось при вытяжках до 16, выход годного при тонком волочении до диаметра 20—50 мкм составлял 52,4—71,4 %.

Гидростатическое прессование полезно использовать для получения тонкостенных труб, биметаллических заготовок, тонкой проволоки

0,013-0,74 мм.

#### 2.4.7. Штамповка изделий [32]

Серебро, золото, платина, палладий, их сплавы с ириднем, роднем (до 10—15%) обладают высокой штампуемостью. Изделия из иридия удается получить штамповкой только при температурах нагрева до 1000—1500°С, из родия изделия штампуются при 300—500°С.

#### 2.4.8. Обработка резаиием [35]

Благородные металлы и их сплавы в процессе производства полуфабрикатов, технических и ювелириых изделий подвергаются точению, строжке, сверлению, фрезерованию, резке и другим механическим операциям. При обработке с успехом применяется стальной, твердосплавный или алмазный инструмент. Трудностей при обработке благородных металлов и их сплавов практически не существует, за исключением некоторых металлов, особенио платины.

Несмотря на то что платина считается ковким, нетвердым металлом, пригодным для механической обработки тралиционными методами, наблюдается быстрый и интенсивный износ режущего инструмента с последующим задиранием поверхности платины. Затупление инструмента при обработке платины наступает в сотни раз быстрее, чем при обработке золота и серебра. Это справедливо как для стального, так и для твердосплавного инструмента (карбид вольфрама).

Доказано, что износ алмазного инструмента на два порядка выше при резании предварительно деформированиой платины, чем мягкой

платины (HV 1230 и 440 МПа соответственно).

С увеличением глубины и скорости резания возрастают усилие резания и износ инструмента. После обработки микротвердость поверхности возрастала у платины с 450 до 1900 МПа, у золота — с 250 до 560 МПа, а отдельные частицы стружки платины имели твердость 2100 МПа.

Твердость платины, деформированной на 90 %, составляет не более 1300 МПа. Металлографическими методами было установлено, что происходило палипание платины к режущей кромке резца, разогрев и как следствие износ инструмента. Близкими по стойкости к алмазным яв-

ляются сапфировые резцы.

За счет изменения конфигурации резца можно повысить стойкость инструмента, обточку рекомендуется производить резцами с нулевым углом передней режущей кромки. Ниже режущей кромки находится узкая грань (плоский срез), которая предназначена для полирования

платииы в процессе выполнения операции резания. При такой конфигурации стойкость инструмента в несколько раз превосходила стойкость инструмента с отринательным или положительным передним углом более 5°.

Применение смазки при механической обработке дает положительный эффект, уменьшает износ инструмента, улучшает качество обрабатываемой поверхности платины, что особенно важно при производстве ювелирных изделий.

При обточке родия и иридия рекомендуются резцы с отрицательным углом передней режущей кромки: применение активных смазок при

резании незначительно повышает стойкость инструмента.

Торцовое фрезерование платины, палладия, иридия, а также серебра и золота осуществлять гораздо труднее, чем токариую обработку.

При фрезеровании происходит более интенсивное налипание стружки к режущей кромке фрезы и задирание поверхности изделия, особенно это относится к платине. Практически установлено, что меньший износ быстрорежущих или твердосплавных фрез наблюдается при небольшом положительном угле заточки (0—10°) радиальной режущей кромки и при нулевом угле осевой кромки.

Сверление осуществлять еще труднее, чем фрезерование. Когда нет опасности загрязнения примесями серы (особенно изделий, работающих при повышенных температурах), рекомендуется применение

смазки — дисульфида молибдена.

#### 2.4.9. Сварка плавлением

Для сварки благородных металлов и их сплавов применяются практически все известные виды сварки, широко используемые для других металлов. Некоторые особенности современных видов сварки плавлением благородных металлов и сплавов приведены в табл. 2.3.

ТАБЛИЦА 2.3 СОВРЕМЕННЫЕ ВИДЫ СВАРКИ ПЛАВЛЕНИЕМ БЛАГОРОДНЫХ МЕТАЛЛОВ и их сплавов 133-361

Вид сварки	Оптимальные толщины, мм, свариваемых металлов	Некоторые особенности сварки
Газовая	Серебро <10 Платина и ее сплавы с родием и иридием <2— 3	Восстановительное пламя Окислительное пламя
	Палладий и его сплавы <4	Нейтральное пламя
Аргоно-дуговая неплавящимся электродом	Платина и ее сплавы с родием и иридием <5—6 Иридий, родий и их сплавы <3—4	
Микроплазменная	Все благородные металлы и их сплавы толщиной <0,01—1,5	Сварочный ток 0,2—50 А, мощность сварки 0,02—1,5 кВт, плазмообразующий газ аргон, защитный газ аргон или смесь азота с водородом

Вид сварки	Оптимальные толщины, мм, свариваемых маталлов	Некоторые особенности сварки
Сжатой дугой	Все благородные металлы и их сплавы 0,5—10	Сварочный ток 40—400 А мощность сварки 1,2— 15 кВт
Электронно- лучевая	Все благородные металлы и их сплавы, особенно тугоплавкие 0,001—10	Ускоряющее напряжени 1,5—10 кВ и 30—150 кВ мощность 0,5—100 кВ диаметр луча 0,01—1 м
Лазерная	Все благородные металлы, особенио с высокой теплопроводностью, — серебро, золото и их сплавы — <3—4	Выходная мощность ла зера: иепрерывная $10^{-2}$ - $10^3$ Вт, импульсная $10^4$ -

Несмотря на то что платиновые сплавы с родием, палладием обладают высокой пластичностью при комнатной и высоких температурах, при сварке конструкций из тонколистовых деталей иногда иаблюдается трещинообразование в околошовной зоне или на границе шовоколошовная зона, реже в сварном шве.

В работах [29, 30] установлено, что разрушение платиновых сплавов происходит по границам зерен в температурном интервале 1700-1460°C. Определено, что наиболее вредной примесью для платиновых

металлов является кремний.

С увеличением содержания в платине легирующих элементов (Rh,

Ru, Ir, Os) склонность к образованию трещин при сварке растет.

При увеличении концентрации водорода в сплавах (при увеличении соотношения  $c_{H_0}/c_{O_0}$ ) склонность к образованию трещин при сварке увеличивается.

#### 2.4.10. Производство биметаллов, композиций

Развитие новых отраслей техники, повышение технологических параметров процессов, дефицит благородных металлов вызвали развитие производства композиционных материалов трех основных видов: материалы, армированные волокнами; слоистые материалы; материалы, упрочненные частицами. Для получения композитов применяются самые различные способы: холодное и горячее прессование с последующим спеканием, диффузионная сварка, холодная и горячая прокатка, литье, прессование, экструзия, холодное и горячее волочение с последующим спеканием, гальванические покрытия, плазменное и электронно-лучевое напыление и др.

Основные способы получения биметаллов, композитов, характерные примеры композиций и основные области применения приведены в

табл. 2.4.

Разработка композиционных материалов является технически сложной и трудоемкой задачей, однако только в композитах можно получить комплекс высоких эксплуатационных свойств: жаропрочиость, жаростойкость, коррозионную стойкость, электрическую проводимость и др.

СПОСОБЫ ПРОИЗВОДСТВА БИМЕТАЛЛОВ, КОМПОЗИЦИЙ [37, 38]

№ п.п	Способы получения бнметаллов	Характерные композиции биметаллов	Основные области применення
1	Сварка в горячем состоянии прессованием	Ag—Cu	Трубы для химических аппаратов, проволока для высокочастотных
2	То же	PtCd	кабелей Детали для химических аппаратов
3	Кузнечная сварка в горя- чем состоянии	Платиновые сплавы	Жаропрочные компози-
4	Сварка в холодном состоянии прокаткой	Латунь—Ag	<b>Контакты</b>
5	Сварка в холодном состоянии волочением	Ag—30Pd—Cu, Au—Ni	Контакты телефоиных реле
6	Сварка в холодном состоянии гидропрессова-	Ag—Al	Проволока для высокочастотных кабелей
7		AgCu	Контакты неответствен- ного назначения
8		AgCu	Контакты ответственного назначения
9	ком Сварка взрывом	Ag—Си, Ag—	Контакты для приборов химической аппаратуры
10		Ag—Al	Шашки для прессования
	Наплавка	Ag — латунь	Контактные элементы
12	Пайка	Сталь — Ag	Химические аппараты, контакты
13	Диффузиониая сварка	AgW — бронза	Силовые контакты хими- ческих аппаратов
14	Металлизация напылени-	Аи—Та, Аи — ковар	Детали вакуумных при- боров
15	Химические и электрохи-		Контакты, коррозионно-
16	мические покрытия Сварка сплавлением	Pt-Mo	Жаропрочные изделия
17	Методом порошковой металлургии	Ag—Ni, Ag—Fe, Ag—W	<b>К</b> онтак <b>ты</b>

# З ФИЗИКО-ХИМИЧЕСКИЕ СВОЙСТВА БЛАГОРОДНЫХ МЕТАЛЛОВ И СПЛАВОВ В ЖИДКОМ СОСТОЯНИИ

#### 3.1. Плотность

Анализ и характеристика методов, применяемых для измерения плотности жидких металлов и сплавов, приведены в работах [39, 40] (табл. 3.1). Наиболее распространенными являются методы: гидроста-

ҚОЭФФІЩИЕНТЫ УРАВНЕНИЙ ПОЛИТЕРМ ПЛОТНОСТИ ЧИСТЫХ МЕТАЛЛОВ  $d=d_0-\partial d/\partial t\cdot (t-t_0)$ 

Me	d <sub>0</sub> , 10 <sup>8</sup> кг/м <sup>8</sup> ў	∂d//∂t, 10 <sup>—1</sup> кг/м <sup>8</sup>	<i>t</i> ₀, °C	t, °C	Метод, литература
Ag Au Ru Os Rh Ir Pd Pt	9,320 17,19 10,9 20,1 10,7 19,39 10,49 18,91	9,7 12,7 — 8,955 — 11,94 26,9	961 1063 2250 3045 1966 2443 1552 1774	1400 1405 — 2200 — 1805 1870	а [40] ∂ [41] Расчетный [42] » [42] ∂ [43] ж [44] є [40] є [40]

тического взвешивания, имеющего две разновидиости — прямой (a) и косвенной (b), максимального давления в пузырьках (b), пикнометрический (c), лежачей капли (d), дилатометрический (e) и метод отрыва капли от стержня (m).

Сплавы серебра

Серебро—висмут. Метод (а, в) [39]:

Ag, % (ar.)	•	90	80	70	60	50	40	30	20	10
$d, 10^3 \text{ kr/m}^3$ ,										
при <i>t</i> , °C:		_		_	9,80	9,73	9,61	9,54	9,48	9,45
900	_				9,66	9,64	9,50	9,47	9,40	9,37
1055		9,41	9,50	9,53	9,53	9,48	9,38	9,35	9,32	_

Серебро—германий. Метод (д) [45] (табл. 3.2).

ТАБЛИЦА 3.2

ТЕМПЕРАТУРНЫЕ ЗАВИСИМОСТИ ПЛОТНОСТИ РАСПЛАВОВ Аg—Ge ДЛЯ РАЗНЫХ ИНТЕРВАЛОВ ТЕМПЕРАТУР

с <sub>Ад</sub> . % (ат.)	<i>t</i> •, °C	d, 10³ kr/м³	
89,64	850—1080 1080—1400	9,34—0,00153 ( <i>t</i> — 850) 8,99—0,00095 ( <i>t</i> — 1080)	
86,32	790—1030 1030—1300	9,11—0,00179 ( <i>t</i> — 790) 8,68—0,00068 ( <i>t</i> — 1030)	
81,22	730—980 980—1200	8,82—0,00172 ( <i>t</i> — 730) 8,39—0,00660 ( <i>t</i> — 980)	
74,72	700—940 940—1150	8,84—0,00236 ( <i>t</i> — 700) 8,27—0,0029 ( <i>t</i> — 940)	

<sup>\*</sup> Здесь и далее в разд. 3 приведена величина t (см. уравнения), представляющая собой температурный интервал.

Серебро—золот	о. Метод (	(б) [46]:			
$c_{ m Ag}$ , % (ат.)	94,3	88,0	73,3	54,9	31,3
$d$ , $10^8$ кг/м $^3$ , при					
t, °C:	9,372	9,882	11,007	12,547	14,220
1200	9,470	9,960	11,154	9,960	9,470
1100	9,551	10,060	11,284	12,787	14,637
1000	9,634	10,142	-	_	
$t_{ exttt{JIMKB}}$	9,635	10,173	11,416	12,887	14,728
	(971 °C)	(982,5°C)	(1005°C)	(1025°C)	(1045 °C)

Серебро-индий, кадмий, олово, сурьма. Метод (е) [47] (табл. 3.3).

ТАБЛИЦА 3.3

КОЭФФИЦИЕНТЫ УРАВНЕНИЙ ПОЛИТЕРМ ПЛОТНОСТИ  $d=1/A[1+\alpha(t+273)]$  (кг/м³) РАСПЛАВОВ Ag—In, Ag—Cd, Ag—Sn, Ag—Sb

Me	с <sub>Ад</sub> , % (ат.)	t, °C	A, 10 <sup>5</sup> m <sup>3</sup> /kr	α, 10 <sup>-4</sup> град <sup>-1</sup>
In	64	619—826	10,44±0,01	1,18±0,01
	51	577—825	10,87±0,01	1,36±0,01
	40	517—810	11,57±0,01	1,21±0,01
	20	335—643	12,64±0,01	1,19±0,01
Cd	75	889—1063	9,65±0,02	1,22±0,01
	58	835—1053	9,67±0,02	1,47±0,01
	42	661—879	10,03±0,02	1,62±0,02
	20	672—935	11,04±0,04	1,43±0,03
Sn	80	699—940	9,95±0,02	1,19±0,02
	60	563—808	10,85±0,01	1,15±0,01
	50	539—802	11,25±0,01	1,26±0,01
	40	492—782	11,83±0,01	1,10±0,01
	20	407—716	12,70±0,01	1,13±0,01
Sb	73	631—838	$10,57\pm0,02$	1,06±0,02
	61	538—744	$10,99\pm0,02$	1,31±0,02
	35	641—848	$12,61\pm0,01$	0,99±0,01
	23	621—797	$13,21\pm0,01$	1,02±0,01

Серебро-медь. Метод (б) [46]:

$c_{Ag}$ , % (at.)	60,2	37,1	16,4
d, 103 кг/м3, прн t, °C:       1300	8.590 8,691 8,784 8,878 8,974 9,071 9,091 (781 °C)	8,318 8,404 8,502 8,550 8,681 	8,035 8,121 8,204 8,285 — 8,316 (965 °C)

Серебро — палладий. Метод (д) [48]:

 $c_{Ag}$ , % (at) . . . . 80 60 50 40 30 20 10 d,  $10^3$  kr/m³, npn t= = 1600 °C . . . . . . 9,30 9,60 9,80 9,82 9,95 10,00 10,20

Серебро-свинсц. Метод (в) [39]:

 $c_{\text{Ag}}$ , % (at.) . 90 80 70 60 50 40 30 20 10 d,  $\frac{10^3 \text{ Kr/M}^3}{t=1000 \text{ }^{\circ}\text{C}}$  9,49 9,68 9,87 9,97 9,96 9,95 9,93 9,92 9,90

Серсбро—сера. Метод (в) [49]:

 $t=1150\,^{\circ}\text{C}$ ,  $c_{\text{S}}=0-13,0\%$  (no macce):  $d=(9,16-0,2885c_{\text{S}}+0,005765c_{\text{S}}^2)\cdot 10^3$ , kg/m³;  $t=1050\,^{\circ}\text{C}$ ,  $c_{\text{S}}=0-5,3$ ; 10,6-13,0% (no macce):

 $t = 1050 \,^{\circ}\text{C}, \quad c_{\text{S}} = 0 - 5.3; \quad 10.6 - 13.0\% \text{ (fig. Macce)}$  $d = (9.26 - 0.3201c_{\text{S}} + 0.00720 \, c_{\text{S}}^2) \cdot 10^3 \, \text{kg/m}^3.$ 

Сплавы золота

Золото-германий. Метод (д) [50]:

 $c_{\rm Au}$ , % (at.) 76,8 59,6 46,2 35,6 26,9 19,7 13,6 8,4 3,9 d,  $10^3~{\rm Kr/M}^3$ , d

=1200 °C 13,98 11,68 10,35 9,35 8,24 7,35 6,83 6,37 5,81

Золото--железо. Метод (д) [50]:

 $c_{\text{Au}}$ , % (at.) 71,8 53,1 39,8 29,8 22,1 15,9 10,8 6,6 3,1 d,  $\frac{10^3 \text{ kr/m}^3}{10^3 \text{ kr/m}^3}$ ,  $\frac{\text{nph } t}{10^3 \text{ kr/m}^3}$ ,  $\frac{10^3 \text{ kr/m}^3}{10^3 \text{ kr/m$ 

Золото—кремний. Метод (д) [50]:

 $c_{\text{Au}}$ , % (at.) . . 56,2 36,3 25,0 14,9 12,5 8,7 5,6 3,1 1,4 d,  $10^3 \, \text{kr/m}^3$ , прн  $t=1450 \, ^{\circ}\text{C}$  . . 10,35 7,88 6,08 5,09 4,37 3,74 3,34 3,04 2,75

*Золото—марганец.* Метод (д) [51]:

 $c_{\text{Au}}$ , % (at.) . . . 97,5 95,0 90,0 85,0 75,0 70,0 d,  $10^3$  kr/m³, πρи t = 1100 °C . . . 16,4 16,2 15,5 14,3 12,9 12,0

(1019°C)

(926 °C)

Золото-олово. Метод (д) [46] (табл. 3.4):

ТАБЛИЦА 3.4 КОЭФФИЦИЕНТЫ УРАВНЕНИЙ ПОЛИТЕРМ ПЛОТНОСТИ  $d=d_0$ —AtЖИДКИХ СПЛАВОВ Au-Sn

(890°C)

с <sub>Аи</sub> ,	d <sub>0</sub> , 10 <sup>8</sup>	А,	<i>t</i> , °C	S <sub>0</sub> *, 10*	S <sup>*</sup> A,
% (ат.)	кг/м <sup>8</sup>	кг/(м <sup>8</sup> ⋅град)		κς/м*	кг/(м³∙град)
91,7 80,0 70,7 60,4 50,0 33,3 28,9 20,0 10,5 6,3	17,67 15,83 14,58 13,08 11,78 9,96 9,54 8,75 7,90 7,54	1,41 1,15 1,15 0,97 0,88 0,78 0,77 0,76 0,67 0,66	975—1360 540—1360 315—1350 400—1325 440—1345 357—1350 358—1310 294—1358 245—1311 337—1336	0,02 0,03 0,03 0,02 0,02 0,03 0,02 0,02	0,05 0,03 0,03 0,02 0,02 0,03 0,02 0,02 0,02

<sup>\*</sup> So и S A - среднеквадратичные ошибки коэффициентов уравиения.

#### Сплавы родия

Родий—алюминий, Метод (д) [15]:

 $c_{Rh}$ , % (ar.).. 10 d,  $10^3$  Kr/ $M^3$ ,

при t = 2200 °C 10,30 9,59 8,71 7,68 6,53 5,44 4,40

Родий—железо, кобальт, никель. Метод (д) [5]: (t=2200) — температурный интервал, °С (табл. 3.5).

Родий—кремний. Метод (д) [52]:

 $c_{\rm Rh}$ , % (ат.) . . 70 60 50 10 ;  $d, 10^3 \text{ KF/M}^3$ при t = 2000 °C 10,49 9,94 9,14 8,25 7,08 5,95 4,91 3,97 3,09

ТАБЛИЦА 3.5 КОЭФФИЦИЕНТЫ УРАВНЕНИЙ ПОЛИТЕРМ ПЛОТНОСТИ  $d=d_0+\partial d/\partial t (t-t_m)$ ЖИДКИХ СПЛАВОВ РОДИЯ

Me	с <sub>Rh</sub> , % (ат.)	t, °C	d <sub>0</sub> , 10 <sup>8</sup> кг/м <sup>8</sup>	$-\partial d/\partial t \cdot 10^{3}$
Fe	89,1	1860	10,38	0,650
	80,1	1780	10,15	1,114
	67,2	1680	9,67	0,750
	50,1	1575	8,91	0,376
	40,9	1540	8,50	0,217
	34,5	1312	8,25	0,266
	20,3	1490	7,74	0,372
Co	90,0	1860	10.55	1,786
	79,3	1760	10,15	0,916
	66,0	1660	10,00	1,470
	50,1	1540	9,65	1,410
	40,1	1502	9,20	1,000
	33,1	1490	8,95	0,980
	20,1	1460	8,55	1,020
Ni	90,1	1830	10,50	0,710
	80,9	1740	10,25	0,692
	68,3	1650	9,45	0,426
	50,1	1565	9,52	0,620
	42,3	1530	9,24	0,723
	39,2	1512	9,15	0,717
	20,2	1490	8,67	0,921
				No.

*Родий—олово.* Метод (д) [51]:

 $c_{\rm Rh}$ , % (ar.) . .  $d, 10^3 \text{ KG/M}^8$ при t = 2000 °C 10,34 9,80 9,38 8,99 8,76 8,42 7,40 6,78 6,26

Родий—палладий. Метод (д) [52]:

 $c_{\rm Rh}$ , % (at.) . .  $d, 10^8 \text{ KG/M}^3$ . при t = 2000 °C 10,50 10,36 10,23 10,13 1,06 10,00 9,95 9,91 9,87

Родий—палладий—платина. Метод (д) [53] при  $t=2000\,^{\circ}\mathrm{C}$ ,  $Me_{1}$ —  $-(Me_2, Me_3); c_{Me_2}/c_{Me_2}=1:$ 

$c_{Me_1}$ , % (ат.) d, $10^3$ кг/м $^3$ , систем:	100	80	60	. 40	<b>2</b> 0	0
Rh—(Pd, Pt) Pd—(Pt, Rh) Pt—(Pd, Rh)	10,68	10,30	9,95	9,68	9,48	9,34
	9,86	10,68	11,55	12,45	13,44	14,52
	18,69	16,83	15,05	13,34	11,67	10.04

*Родий—платина*. Метод (д) [54]:

40 30 20 10  $c_{\rm ph}$ , % (at.) . . 90 50  $d. 10^3 \text{ KG/M}^3$ при t = 1966 °C 12,67 13,26 13,78 14,37 15,00 15,74 16,52 17,33 18,26

Родий—углерод. Метод (д) [55]:  $t=2000\,^{\circ}$ С,  $c_{C}=17\%$  (ат.), d= $=9.88 \cdot 10^3 \text{ Ke/m}^3$ .

Сплавы палладия

Палладий—алюминий. Метод (д) [56]:

10 50 30 20  $c_{
m pd}$ , % (ат.) . . 80 70 90 d,  $10^3 \text{ Kr/M}^3$ , при t = 1750 °C 9,77 9,26 8,66 7,96 7,10 6,04 4,93 3,88 2,94

Палладий—железо, Метод ( $\partial$ ) [50]:  $c_{\rm pd}$ , % (ar.) . . 82,5 67,7 55,1 44,1 34,4 25,9 18,4 11,6 d, 103 Kr/m3 при t = 1550 °C 9,77 9,17 8,83 8,50 8,12 7,82 7,58 7,41 7,21

Палладий—кобальт. Метод (д) [56]:

36 27 16 6,478 68  $c_{\rm pd}$ , % (ar.) . .  $d. 10^8 \text{ kg/m}^3$ при t = 1600 °C 9,84 9,55 9,20 8,98 8,75 8,44 8,34 8,00

Палладий—кремний, Метод (д) [56]:

3  $c_{\rm Pd}$ , % (ат.) . . 84 70  $d, 10^3 \text{ KG/M}^3$  $mon t = 1600 \,^{\circ}\text{C} \quad 9,40 \quad 8,43 \quad 7,94 \quad 7,16 \quad 5,70 \quad 4,57 \quad 3,80 \quad 2,70$ 

Палладий-марганец. Метод (д) [56]: 39 26 18 5  $c_{\rm pd}$ , % (at.) . . 50 82 56  $d. 10^3 \text{ kg/m}^3$ . при t = 1600 °C 9,97 9.64 9,32 8,84 8,52 7,96 7,08 6,68 6.00

 $\Pi$ алладий—медь. Метод (д) [56]: 28 20 6  $c_{\rm Pd}$ , % (ar.) . . 36 84 58 d, 103 Kr/M3 при t = 1600 °C 9,86 9,20 8,76 8,60 8,50 8,30 7,65

Палладий—никель. Метод (д) [56]:

 $c_{\rm Pd}$ , % (at.) . . 82,8 68,5 56,4 44,8 12 26 18,5  $d. 10^8 \text{ KG/M}^8$ 9,78 9,55 9,20 8,92 8,55 8,25 8,08 при t = 1600 °C

Палладий—платина. Метод (д) [57]:

 $c_{\rm Pd}$ , % (ат.) . . . 90 30 20 10 80 50 40 d,  $10^3 \text{ Kr/M}^3$ . t = 1800 °C 10,99 11,79 12,61 13,42 14,29 15,17 16,08 17,02 17,99

Палладий—свинеи. Метод (д) [56]:

 $c_{\rm Pd}$ , % (at.) . . 91,6 78 33 56 46  $d. 10^3 \text{ Kr/M}^3$ . при t = 1600 °C 10,27 10,22 10,12 10,00 9,82 9,65 9,27

Палладий—сурьма. Метод (д) [56]:

 $c_{\rm pd}$ , % (at.) . . 97,5 79 70 56,5 50 42 32 11.5 d,  $10^3 \text{ Kr/M}^8$ .  $\text{HDH } t = 1600 \,^{\circ}\text{C}$  9,94 9,50 9,24 8,86 8,60 8,20 7,40 6,55

Палладий — углерод. Метод (д) [55]: t=1560 °C,  $c_C=18$  % (ат.),  $d = 9.89 \cdot 10^3$ ,  $\kappa \Gamma / M^3$ ,  $\Pi$ алладий—хром. Метод (д) [56]:

 $c_{\rm pd}$ , % (at.) . . 89,6 83,5 66 53,5 47 40,8 30 12 d, 108 Kr/M8 при t = 1750 °C 9,84 9,72 9,30 8,51 8,74 8,34 7,90 7,45 7,06

Сплавы платины Платина—алюминий. Метод (д) [51]:

59,9 51,9 39,4 20,7 17 cpt, % (ar.) . . 77 71,1  $d. 10^3 \text{ kr/m}^3$ 17,52 15,88 14,84 12,80 11,24 8,69 5,23 4,60 при t = 1800 °C

Платина—бор. Метод ( $\partial$ ) [58]:

30 70 60 50 80  $c_{\rm pf}$ , % (at.) . . . .  $d, 10^8 \text{ KG/M}^3$ , IDM  $t = 1760 \,^{\circ}\text{C}$  . . . . . 18,29 17,33 16,22 15,02 13,51 11,87 9,95

 $\Pi$ латина—железо. Метод ( $\partial$ ) [51]:

 $c_{\text{Pt}}$ , % (ar) . . 91,5 84,5 70,7 57,7 47,6 42 37,9 20,1 9,7  $d. 10^3 \text{ Kr/M}^3$ при t = 1800 °C 17,88 17,00 15,51 13,96 12,86 12,18 11,65 9,75 8,22

Платина—кобальт. Метод ( $\partial$ ) [51]: d,  $10^3 \text{ kg/m}^3$ ,  $\text{did} t = 1800 \,^{\circ}\text{C}$  16,04 14,61 13,77 12,47 11,55 10,20 8,77 4 - 688

 $\Pi$ латина—кремний. Метод (д) [57]:  $c_{\rm pt}$ , % (ат) . . 90 80 70 60 50 40 30 20 10 КОЭФ

d,  $10^3$  Kr/ $M^3$ ,

при t = 1800 °C 17,34 15,77 14,17 12,25 10,01 8,31 6,70 5,18 3,17

Платина—медь. Метод (д) [51]:

 $c_{\rm Pt}$ , % (ат.)... 87 73,6 67,2 49,7 37,1 29,5 19,4 7,8 d,  $10^8$  кг/м $^8$ , при

 $t = 1800 \,^{\circ}\text{C}$ . . . . 17,78 16,55 25,82 13,91 12,36 11,38 10,00 8,35

Платина—никель. Метод ( $\partial$ ) [51]:

 $c_{\rm Pt}$ , % (ат.) . . . 85,1 77 60 39,9 29 20 12,1 d,  $10^3$  кг/м³, при

 $t = 1800 \,^{\circ}\text{C}$  . . . 17,44 16,44 14,87 12,67 11,39 10,31 9,28

Платина—углерод. Метод (д) [55]:  $t=1800\,^{\circ}\text{C}$ ,  $c_{\text{C}}=19\%$  (ат.),  $d=18,44\cdot10^3$ , кг/м³.

# 3.2. Температурный коэффициент объемного расширения

Палладий [59],  $t=1552\div1827\,^{\circ}\text{C}$ ,  $\alpha=(120\pm9)\cdot10^{6}\,\text{град}^{-1}$ . Палладий—кремний [60]:

 $c_{\rm Pd}$ , % (ат) . . 84 70 60 50 52 28 21 18  $\alpha$ ,  $10^{-6}$  град $^{-1}$ , при t=1600 °C 185 240 280 300 320 315 310 300

Палладий-марганец [60]:

 $c_{\rm Pd}$ , % (ат.) . . 82,2 67,3 54,6 43,7 34 25,5 18 11 5  $\alpha$ ,  $10^{-6}$  град $^{-1}$ , при  $t=1600\,^{\circ}{\rm C}$  130 150 167 158 155 148 140 125 110

Платина [59]:  $t=(1769\div1877)^{\circ}$ С,  $\alpha=(153\pm15)\cdot10^{-6}$ , град $^{-1}$ . Серебро [59]:  $t=(961\div1377)^{\circ}$ С,  $\alpha=(119\pm4)\cdot10^{-6}$ , град $^{-1}$ . Серебро—индий, кадмий, олово, сурьма [47] (табл. 3.3).

Серебро—олово—свинец [61].

[температурный интервал ( $t_{\text{ликв}}$ —800)°С]:

 $c_{Ag}$ , % (ar.) . . . 20 20 40 40 60  $c_{\rm Sr}/c_{\rm ph}$  . . . . . 20/60 40/40 60/20 20/40 40/20 20/20 *t*<sub>ликв</sub>, °С . . . . 300 365 355 455 435 625 α, 10-6 град-1. 90 100 70 90 80 110

## 3.3. Поверхностное натяжение

Основные методы для определения поверхностного натяжения жидких металлов и сплавов: лежачей капли (a), максимального давления в пузырьках (b), висячей капли (b), отрыва капли от стержня (a). Об-

# КОЭФФИЦИЕНТЫ УРАВНЕНИЙ ПОЛИТЕРМ ПОВЕРХНОСТНОГО НАТЯЖЕНИЯ ЧИСТЫХ МЕТАЛЛИЧЕСКИХ РАСПЛАВОВ $\sigma = \sigma_0 - d\sigma/dt \cdot (t - t_0)$

Me	σ <sub>0</sub> , мДж/м²	do/dt. мДж/ /(м²∙град)	t₀, °C	t, °C	Метод, литература
Ag Au Ru Os Rh Ir Pd Pt	910 1138 2250 2500 1915 2250 1475 1746	0,125 0,19 — 0,664 — 0,279 0,307	961 1063 2240 3007 1966 2443 1552 1774	1600 1405 — 2200 — 1750 2000	a [63] a [41] e, e [42] e, e [42] a [43] e, e [42] a [63] a [64]

зор этнх методов приведен в книге В. К. Семенченко [62] (табл. 3.6). Сплавы серебра Серебро—алюминий. Метод (а) [65]:

 $c_{\text{Ag}}$  % (ат.) . . 90 80 70 60 50 40 30 20 10  $\sigma$ , мДж/м², при  $t=1000\,^{\circ}\text{C}$  . . 915 900 875 865 855 845 840 840 835

Серебро-висмут. Метод (а) [65]:

 $c_{\rm Ag'}$  % (ат.).. 90 80 70 60 50 40 30 20 10  $\sigma$ , мДж/м², при  $t=1000\,^{\circ}{\rm C}$  .. 660 540 480 430 405 380 370 350 340

Серебро-германий, Метод (а, г) [65, 66]:

с <sub>Аg</sub> , % (ат.)	t, °C	о, мДж/м²
96 92,74 81,8 76,03 61 31	970—1200 900—1200 840—1200 660—1200 740—1200 840—1200	819+0,028 T 799+0,031 T 814-0,027 T 792-0,030 T 708-0,032 T 660-0,059 T
10	1000	620

#### Серебро-железо-марганец. Метод (а) [51]:

с <sub>Ag</sub> , % (ат.)	с <sub>Fe</sub> , % (ат.)	с <sub>Мп</sub> , % (ат.)	о, мДж/м <sup>2</sup> , при $t = 1550$ °C
99	1,0	0,0	780
76,6	1,4	22,0	790
<b>67,4</b>	1,6	31,0	<b>79</b> 5

## Серебро — золото. Метод (а) [67]:

с <sub>Ag</sub> , % (ат.)	t, °C	о, мДж/м²
80	1060-1300	1207-0,175 T
60	1040-1300	1209-0.152 T
40	1050-1300	1342-0,198T
20	1010-1300	$1427-0.231\ T$

#### Серебро-медь. Метод (а) [65, 68]:

с <sub>Ag</sub> , % (ат.)	t, °C	σ, мДж/м <sup>2</sup>
90	1000	920
80	1000	940
70	1000	960
60	1000	990
47,20	8801200	1057 - 0.12 t
24,41	1050 - 1200	1109-0.10 t
12,97	1000—1200	1245-0.17 t
4,99	1050—1250	1304-0.14t
3,22	1050-1250	1353-0.11 t
0,72	1100—1250	1478-0,19 t

Серебро-олово. Метод (а) [65]:

 $c_{\rm Ag}$ , % (ат.) . . 90 80 70 60 50 40 30 20 10  $\sigma$ , мДж/м², при  $t=1000~^{\circ}{\rm C}$  . . 780 680 620 580 550 540 520 510 505

Серебро—свинец—олово. Метод (а) [61], температурный интервал ( $t_{\rm ликв}$ —800 °C) (табл. 3.7).

ТАБЛИЦА 3.7 КОЭФФИЦИЕНТЫ УРАВИЕНИЙ ПОЛИТЕРМ ПОВЕРХИОСТНОГО ПАТЯЖЕНИЯ  $\sigma = \sigma_0 + d\sigma/dt$  ( $t - t_{_{\rm RIKB}}$ ) РАСПЛАВОВ СИСТЕМЫ Ag—Sn—Pb

сду, % (ат.)	c <sub>Sn</sub> /c <sub>Pb</sub>	<i>t</i> <sub>ликв</sub> , °С	о <sub>о</sub> , мДж/м²	dσ/dt, мДж/(м²∙град)
20	20/60 40/40 60/20	300 365 355	457 463 478	-0,00074 $-0,0342$ $-0,0227$
40	20/40 40/20	455 435	434 461	0 <b>,051</b> 3
60	20/20	625	458	0,0953

Серебро-палладий. Метод (а) [69]:

 $c_{\rm Ag}$ , % (ат.) . . 90 [70] 50 30 10  $\sigma$ , мДж/м², при  $t=1600\,^{\circ}{\rm C}$  . . 900 1120 1160 1240 1400 Серебро-свинец. Метод (а) [65]:

 $c_{\text{Ag}}$ , % (at.) . . 90 80 70 60 50 40 30 20 10  $\sigma$ , M $\square$ \*,  $\Pi$ PM t = 1000 °C . . 660 560 525 500 485 440 440 430 410

Серебро-сурьма. Метод (а, б) [65, 70]:

с <sub>Ад</sub> , % (ат.)	t.°C	σ, мДж/м²
97,3	950—1200	915—0,076 t
91,2 81,9	900—1150 800—1100	785-0.064 t $664-0.030 t$
73,6	820-1100	564
$\frac{59,0}{22,2}$	8001100 8001100	517-0,040 t $440-0,053 t$
10.0	800—1100	440-0,053 t

Серебро-таллий. Метод (а) [51]:

с<sub>Ад</sub>, % (ат.) . . 90 80 70 60 50 40 30 20 10

σ, μ $\mathbb{Z}$ /μ $\mathbb{Z}$ /μ $\mathbb{Z}$ , πρη t = 1000 °C . . 672 540 475 445 437 432 425 415 410

Сплавы золота Золото — германий. Метод (а) [50] (табл. 3.8).

ПОВЕРХНОСТНОЕ НАТЯЖЕНИЕ РАСПЛАВОВ СИСТЕМЫ Au--Ge

			t, °C		
с <sub>Ли</sub> , % (ат.)	500	- 700	900	1100	1300
90 80 73 60 50 40	865 835 735	876 847 747 718 680	1005 882 838 747 712 673	992 880 820 741 700 665	982 870 803 733 693 659

*Золото—железо.* Метод (а) [50]:

 $c_{\text{Au}}$ , % (ат.) . . 90 80 70 60 50 40 30 20 10  $\sigma$ , мДж/м², при  $t=1550\,^{\circ}\text{C}$  . . 1100 1130 1137 1181 1193 1232 1270 1318 1450 Золото—кобалыт. Метод (а) [71]:

 $c_{\text{Au}}$ , % (at.) . . 90 80 [70] [60] [50 40 30 20 10  $\sigma$ , M $\Pi$ x/M²,  $\pi$ pu t = 1500 °C . . 1102 1121 1148 1175 1175 1215 1220 1270 1410

ТАБЛИЦА 3.8

ПОВЕРХНОСТНОЕ НАТЯЖЕНИЕ РАСПЛАВОВ СИСТЕМЫ Au—Si

с <sub>Аи</sub> , % (ат.)	<i>t</i> , °C							
	<b>5</b> 00	700	900	1100	1300	1500		
87,4 77,4 69 60 49 35 15	855 — — —	870 — — — —	1023 947 885 863 — —	1012 959 891 865 840	1000 954 885 840 809 780 762	988 943 875 815 779 770 746		

Золото—кремний. Метод (а) [50] (табл. 3.9). Золото—марганец. Метод (а) [51]:

 $c_{\rm Au}$ , % (ат.) . . 97,5 95 90 85 75 70  $\sigma$ , мДж/м², при t=1100 °C . . 1108 1110 1108 1108 1109 1110

Золото—никель. Метод (а) [58] (табл. 3.10). Золото—олово. Метод (а) [41] (табл. 3.11).

c <sub>Au</sub> ,	<i>t</i> , °C								
% (ат.)	1100	1200	1300	1400	<b>15</b> 00	1600	1700		
90	1188	1163	1139	1119	1100				
80	1190	1171	1153	1135	1121				
70	1176	1165	1154	1141	1131				
58	1238	1221	1206	1191	1175	_			
50	1288	1269	1250	1223	1184		_		
40	1203	1214	1211	1203	1196		l		
30	—	1253	1238	1223	1206				
20	-	_	1325	1306	1287				
2,5 0,3			_		1625	1616	1588		
0,3		_			1688	1673	1659		

Сплавы родия Родий—алюминий. Метод (a) [51]:

 $c_{\rm Rh}$ , % (ат.) . . 90 80 70 60 50 40 30 20 10  $\sigma$ , мДж/м², при  $t=2200\,^{\circ}{\rm C}$  . . 1670 1600 1535 1240 985 850 750 680 650

Родий — железо, кобальт, никель. Метод (а) [43], температурный

КОЭФФИЦИЕНТЫ УРАВНЕНИЙ ПОЛИТЕРМ ПОВЕРХНОСТНОГО НАТЯЖЕНИЯ  $\sigma = \sigma_0 + Bt + Dt^2$  РАСПЛАВОВ Au—Sn

c <sub>Au</sub> , % (ar.)	°, °,	О₀, мДж/м²	—В, мДж/(м².град)	— <i>D</i> ·10', мДж/(м²·град)	±S <sub>0</sub> , мДж/м³	±S <sub>B</sub> ·10², мДж/(м²·град)
91,7 80,0 70,7 60,4 50,0 33,3 28,9 20,0 10,5 6,3	975—1360 540—1360 315—1350 400—1325 440—1345 357—1350 358—1310 294—1358 245—1311 337—1336	998 726 645 631 617 569 567 559 559	0,045 -0,161 -0,133 -0,034 0,029 0,038 0,044 0,057 0,064 0,069	0,82 0,67 0,25 — — — —	5 5 3 2 1 2 4 4 5 2	$ \begin{array}{c} 1 \\ S = f(t) \\ S = f(t) \end{array} $ $ \begin{array}{c} S = f(t) \\ 0, 1 \\ 0, 2 \\ 0, 4 \\ 0, 2 \\ 0, 5 \\ 0, 2 \end{array} $

<sup>\*</sup>  $S_0$  н  $S_B$ — среднеквадратичные ошибкн  $\sigma_0$  и B.

интервал ( $t_m$ —22 $Po\partial u\ddot{u}$ — $\kappa pen$	200),°C иний. <i>I</i>	(табл Метод	i. 3.12) (a) [5]	i]: -					
$c_{ m Rh}$ , % (ат.)	90	80	<b>7</b> 0	60	50	40	<b>3</b> 0	20	10
σ, мДж/м², при <i>t</i> =2000 °C	1890	1710	1630	1560	1160	980	860	<b>77</b> 0	700
Родий—оло	во. Ме	тод (а	ı) [51]:	:					
$c_{ m Rh}$ , % (ат.)	90	80	70	60	50	<b>4</b> 0	30	20	10
σ, мДж/м², при <sub><b>г</b></sub> =2000 °C	1720	1460	1250	1040	790	530	<b>49</b> 0	<b>46</b> 0	<b>44</b> 0
Родий—пал	ладий.	Мето	д (a) [	52]:					
$c_{ m Rh}$ , % (ar.)	90	80	70	60	50	40	30	20	10
σ, мДж/м², при <i>t</i> =2000 °C	1785	1690	1620	1555	1510	1450	1405	1370	1335
	$Poduй$ —крем $c_{ m Rh}$ , % (ат.)	Родий—кремний. $I$ $c_{\mathrm{Rh}}$ , % (ат.) 90 $\sigma$ , мДж/м², при $t=2000^{\circ}\mathrm{C}$ 1890  Родий—олово. Ме $c_{\mathrm{Rh}}$ , % (ат.) 90 $\sigma$ , мДж/м², при $t=2000^{\circ}\mathrm{C}$ 1720  Родий—палладий. $c_{\mathrm{Rh}}$ , % (ат.) 90 $\sigma$ , мДж/м², при	$Poдий$ —кремний. Метод $c_{ m Rh}$ , % (ат.) 90 80 $\sigma$ , мДж/м², при $t$ =2000 °C 1890 1710 $Poduй$ —олово. Метод ( $c_{ m Rh}$ , % (ат.) 90 80 $\sigma$ , мДж/м², при $t$ =2000 °C 1720 1460 $Poduй$ —палладий. Метод $c_{ m Rh}$ , % (ат.) 90 80 $\sigma$ , мДж/м², при $t$ =2000 °C 90 80 $t$ =2000 °C 90 80 $t$ =30 $t$ =40 $t$ 40	$Poduй$ —кремний. Метод (a) [5 $c_{\mathrm{Rh}}$ , % (aт.) 90 80 70 $\sigma$ , мДж/м², при $t$ =2000 °C 1890 1710 1630 $Poduй$ —олово. Метод (a) [51]: $c_{\mathrm{Rh}}$ , % (aт.) 90 80 70 $\sigma$ , мДж/м², при $t$ =2000 °C 1720 1460 1250 $Podu\~u$ —паллади $\~u$ . Метод (a) [ $c_{\mathrm{Rh}}$ , % (ат.) 90 80 70 $\sigma$ , мДж/м², при	О, МДж/м², при       1890       1710       1630       1560         Родий—олово. Метод (а) [51]:         С <sub>Rh</sub> , % (ат.) . 90       80       70       60         О, МДж/м², при       1720       1460       1250       1040         Родий—палладий. Метод (а) [52]:         С <sub>Rh</sub> , % (ат.) . 90       80       70       60         О, МДж/м², при	Родий—кремний. Метод (a) [51]: $c_{\rm Rh}$ , % (aт.) 90 80 70 60 50 $\sigma$ , мДж/м², при $t=2000^{\circ}{\rm C}$ 1890 1710 1630 1560 1160 $P$ одий—олово. Метод (a) [51]: $c_{\rm Rh}$ , % (aт.) 90 80 70 60 50 $\sigma$ , мДж/м², при $t=2000^{\circ}{\rm C}$ 1720 1460 1250 1040 790 $P$ одий—палладий. Метод (a) [52]: $c_{\rm Rh}$ , % (aт.) 90 80 70 60 50 $\sigma$ , мДж/м², при	Родий—кремний. Метод (a) [51]: $c_{\rm Rh}$ , % (aт.) 90 80 70 60 50 40 $\sigma$ , мДж/м², прн $t=2000^{\circ}{\rm C}$ 1890 1710 1630 1560 1160 980 $Poduй$ —олово. Метод (a) [51]: $c_{\rm Rh}$ , % (aт.) 90 80 70 60 50 40 $\sigma$ , мДж/м², прн $t=2000^{\circ}{\rm C}$ 1720 1460 1250 1040 790 530 $Poduй$ —палладий. Метод (a) [52]: $c_{\rm Rh}$ , % (ат.) 90 80 70 60 50 40 $\sigma$ , мДж/м², прн	Родий—кремний. Метод (a) [51]: $c_{\rm Rh}$ , % (aт.) 90 80 70 60 50 40 30 $\sigma$ , мДж/м², при $t=2000^{\circ}{\rm C}$ 1890 1710 1630 1560 1160 980 860  Родий—олово. Метод (a) [51]: $c_{\rm Rh}$ , % (aт.) 90 80 70 60 50 40 30 $\sigma$ , мДж/м², при $t=2000^{\circ}{\rm C}$ 1720 1460 1250 1040 790 530 490  Родий—палладий. Метод (a) [52]: $c_{\rm Rh}$ , % (ат.) 90 80 70 60 50 40 30 $\sigma$ , мДж/м², при	Родий—кремний. Метод (a) [51]: $c_{\rm Rh}$ , % (aт.) 90 80 70 60 50 40 30 20 $\sigma$ , мДж/м², прн $t=2000^{\circ}{\rm C}$ 1890 1710 1630 1560 1160 980 860 770 $Poduй$ —олово. Метод (a) [51]: $c_{\rm Rh}$ , % (aт.) 90 80 70 60 50 40 30 20 $\sigma$ , мДж/м², прн $t=2000^{\circ}{\rm C}$ 1720 1460 1250 1040 790 530 490 460 $Poduй$ —палладий. Метод (a) [52]: $c_{\rm Rh}$ , % (ат.) 90 80 70 60 50 40 30 20 $\sigma$ , мДж/м², прн $t=000^{\circ}{\rm C}$ 90 80 70 60 50 40 30 20 $\sigma$ , мДж/м², прн $t=000^{\circ}{\rm C}$ 90 80 70 60 50 40 30 20 $\sigma$ , мДж/м², прн

Poдий—nалладий—nлатина. Метод (a) [53]; t=2000 °C,  $Me_1$ —( $Me_2$ ,  $Me_3$ );  $c_{Me_2}/c_{Me_3}$  = 1:

$c_{Me_1}$ , % (at.)	100	80	60	40	20	0
σ, мДж/м², систем: Pd—(Pt, Rh) Pt—(Pd, Rh) Rh—(Pd, Pt)	1720	1630	1395 1575 1640	1540	1515	1495

				•					
$c_{ m Rh}$ , % (ат.)	90	80	70	60	50	40	30	20	10
$\sigma$ , мДж/м <sup>2</sup> , при $t=1966$ °C	1875	1828	1797	1766	1750	1738	1727	1720	1717

Родий — углерод. Метод (a) [55]: t = 2000 °C,  $c_C = 17$  % (ат.),  $\sigma =$  $=1800 \text{ мДж/м}^2$ .

Сплавы палладия

Палладий—алюминий. Метод (а) [56]:

 $c_{\rm Pd}$ , % (at.) . . 90 50 40 30 20 10  $\sigma$ , мДж/м<sup>2</sup> при t=1700 °C . . . 1370 1330 1310 1295 1290 1050 920 830 760

Палладий—вольфрам. Метод (а) [69]:

 $c_{\rm Pd}$ , % (at.) . . 97 91  $\sigma$ , мДж/м<sup>2</sup> при t=1950 °C . . 1405 1410 1422 1444

Палладий—железо. Метод (а) [50]:

 $c_{\rm Pd}$ , %(ar.) . . 90 80 70 50 10 σ, мДж/м<sup>2</sup> приt=1550 °C . . 1435 1437 1440 1445 1445 1470 1490 1530 1600

Палладий-кобальт. Метод (а) [69]:

 $c_{\rm pd}$ , (% at.) . . 90 50 30 10  $\sigma$ , мДж/м<sup>2</sup>, при t=1600 °C . . 1465 1490 1520 1590 1700

ТАБЛИЦА 3.12

коэффициенты уравнений политерм поверхностного НАТЯЖЕНИЯ  $\sigma = \sigma_0 + d\sigma/dt \cdot (t - t_m)$  РАСПЛАВОВ РОДИЯ

Me	c <sub>Rh</sub> . % (ат.)	t <sub>m</sub> , °C	$\sigma_{0}$	—dσ/dt
Fe	89,1 80,1	1860 1780	1915 1912	0,536
	67,2 67,2 50,1 40,9 34,5 20,3	1680 1575 1540 1512 1490	1912 1912 1832 1835 1832 1825	0,509 0,475 0,299 0,315 0,330 0,295
Со	90,0 79,3 66,0 50,1 40,1 33,1 20,2	1860 1760 1660 1540 1502 1490	1905 1915 1892 1930 1923 1875 1860	0,293 0,464 0,312 0,388 0,446 0,438 0,363 0,363

Me	с <sub>Rh</sub> , % (ат.)	t <sub>m</sub> , °C	$\sigma_{o}$	dσ/dt
Ni	90,1	1830	1900	0,459
	80,9	1740	1890	0,442
	68,3	1650	1852	0,363
	50,1	1565	1815	0,356
	42,3	1630	1805	0,351
	39,2	1512	1800	0,348
	20,2	1490	1762	0,321

Палладий—кремний. Метод (а) [72]:  $c_{\rm pd}$ , %(at.) . . 70,4 51,4 38,1 20,9 2,9 8,1  $\sigma$ , мДж/м<sup>2</sup>, при 780 740 t=1600 °C . . . 1340 1260 1140 Палладий-марганец. Метод (а) [69]: 10 30  $c_{\rm pd}$ , % (at.) . . 90 50  $\sigma$ , мДж/м<sup>2</sup>, при  $t=1600\,^{\circ}\text{C}$  . 1290 1130 1040 1015 1060 Палладий—медь. Метод (а) [69]: 30 10 50  $c_{\rm pd}$ , % (ar.) . . 90  $\sigma$ , мДж/м<sup>2</sup>, при t=1600 °C . . 1440 1405 1320 1265 1365 Палладий—никель. Метод (а) [69]: 50 30 10  $c_{\rm pd}$ , % (ar.) . . 90  $\sigma$ , мДж/м<sup>2</sup> при t=1600 °C . . 1460 1480 1530 1570 1660

 $\Pi_{\alpha, \Lambda, \alpha} \partial_{\mu} \ddot{u} - n_{\Lambda} a \tau u + a$ . Метод (a) [57]: 80

 $c_{\rm Pd}$ , % (at.) . . 90  $\sigma$ ,  $M \pi / M^2$  при 1680 t=1800 °C . . 1345 1385 1430 1470 1470 1570 1570 1620

50

40

Палладий—свинец. Метод (а) [56]:

30 20 10 50 70 60  $c_{\rm pd}$ , % (at.) σ, мДж/м<sup>2</sup>, при 350 500 440 400 580 740 650  $t=1600\,^{\circ}\text{C}$  . . 980 830

Палладий—сурьма. Метод (а) [56]:

20 10 30 50 40 70 60 80  $c_{\rm pd}$ . % (at.)..  $\sigma$ , мДж/м<sup>2</sup>, при 380 320 440 580 510 t=1600 °C . . 800 **72**0 660

Палладий—углерод. Метод (a) [55]:  $t=1560\,^{\circ}$ C,  $c_{\rm C}=18\,\%$  (ат.),  $\sigma = 1295 \text{ мДж/м}^2$ .

10

30

 $c_{\rm Pd}$ , % (ат.) . . . 90 70 50 30 10  $\sigma$ , мДж/м², при t= = 1750 °C . . . . 1410 1415 1425 1455 1520

Сплавы платины Платина—алюминий. Метод (a) [51]:

 $c_{\rm Pt}$ , % (ат.) . . 90 70 77,1 59,9 51,9 39,4 20,7 17  $\sigma$ , мДж/м², прн t=1800 °C . . 1640 1559 1520 1306 1230 1050 820 781

Платина-бор. Метод (а) [58]:

 $c_{\rm Pt}$ , % (ar.) . . 90 80 70 60 50 40 30  $\sigma$ , мДж/м², при t=1760 °C . . 1670 1600 1550 1460 1340 1250 1170

Платина—железо. Метод (а) [51]:

 $c_{\rm Pt}$ , % (ат.) . . 91,5 84,5 70,7 57,7 47,6 52 37,9 20,1 12,1 9,7  $\sigma$ , мДж/м². при  $t{=}1800~^{\circ}{\rm C}$  . . 1701 1675 1650 1631 1622 1624 1628 1640 1660 1678

Платина — кобальт. Метод (а) [51]:

 $c_{\mathrm{Pt}}$ , % (ат.).. 90 80 72,8 60,1 52,1 39,9 32,1 20,1 8,8 о, мДж/м², при  $t=1800\,^{\circ}\mathrm{C}$ .. 1720 1710 1700 1681 1680 1682 1685 1695 1709

Платина—кремний. Метод (а) [57]:

 $c_{\text{Pt}}$ , % (ат.).. 87 77,8 70 62,4 56,4 51,4 41,2 25,6  $\sigma$ , мДж/м², прн  $t=1800\,^{\circ}\text{C}$  .. 1499 1433 1371 1280 1150 1062 925 8764

Платина-медь Метод (а) [51]:

 $c_{\rm Pl}$ , % (ат.). 87 73.6 67,2 55,2 49,7 37,1 29,5 14,9 7,8  $\sigma$ , мДж/м², при  $t=1800\,^{\circ}{\rm C}$  . 1639 1571 1526 1450 1421 1330 1295 1250 1200

Платина—никель. Метод (а) [51]:

 $c_{\mathrm{Pt}}$ , % (ат.) . . 85,1 77 60 39,9 20 20 12,1  $\sigma$ , мДж/м², при  $t=1800\,^{\circ}\mathrm{C}$  . . 1709 1697 1678 1660 1653 1650 1647

Платина—углерод. Метод (a) [55]:  $t=1800\,^{\circ}$ С,  $c_{\rm C}=19\,\%$  (ат.),  $\sigma=1590$  мДж/м².

# 3.4. Удельное электросопротивление

ТАБЛИЦА 3.13

ЗНАЧЕНИЯ УДЕЛЬНОГО ЭЛЕКТРОСОПРОТИВЛЕНИЯ ЧИСТЫХ МЕТАЛЛОВ  $\rho$ , 10  $^{-8}$  Ом·м

					t, °C				
Me	1000	1063	1100	1200	1300	1400	<b>15</b> 00	1600	1700
Ag [73] Au [73] Pd [74]	19,22 — —	30,8 —	20,48 31,3	21,67 33,3 —	22,79 33,9 —	23,80 35,6 —	37,1	_ 120	_ 114

Сплавы серебра Серебро—германий. Метод четырехэлектродный [75]:  $ho = 
ho_{1000} \, {}_{\mbox{\scriptsize C}} +$ 

 $+\frac{d\rho}{dt}(t-1000)$ , Om·m:

cAg	, % (ат.)	t, ℃	Р <sub>1000</sub> °С . 10 <sup>—8</sup> Ом·м	dp/dt, 1 <sup>0—10</sup> Ом∙м/град
	90	880-1000	69,7	0,68
	80	770-1000	97,1	0,60
	70	7501000	105,2	0,71
	60	770-1030	103,4	0,84
	40	870-1000	98,3	1,36
	20	950-1050	83,0	1,60

Серебро-золото. Метод э. д. с. [76]:

 $c_{\text{Ag}}$ , % (at.)... 90 80 70 60 50 40 30 20 10  $\rho$ ,  $10^{-8}$  Om·m,  $t=1135\,^{\circ}\text{C}$  25,2 29,3 32,4 34,6 36,0 37,0 37,0 36,0 34,4

Серебро-кремний. Метод вращающегося магнитного поля (в. м. п.)

[47]:

c<sub>Ag</sub>, % (ат.) . . . . . . . . . . 100 95 90 85 80 о, 10—8 Ом·м, при  $t=1600\,^{\circ}\mathrm{C}$  . 24 28 32 39 48

Серебро—олово. Метод (в. м. п.) [78],  $\rho = \rho_{1000^{\circ}\text{C}} + \frac{d\rho}{dt} (t-1000)$ 

Ом ⋅ м:

c <sub>Ag</sub> , % (at.)	t, °C	ρ <sub>1000</sub> °C, 10 <sup>8</sup> Οм·м	do/dt, 10 <sup>—10</sup> Ом·м/град
93.1	9001100	51,1	1,04
	1100-1200	52,2*1	2,33
81.5	760—1070	83,7	-0,21
	1070-1200	83,6*2	1, <b>2</b> 6
69.6	700-1200	92,1	0,97
59.3	530-1200	89,1	1,48
49,4	500-1200	83,7	1,86
39,8	5001200	81,3	1,76
26,8	500-1200	<b>76,7</b>	2,36
13,6	500-1200	71,2	2,46

<sup>\*1</sup> При t=1100 °C. \*2 При t=1070 °C.

Серебро-ртуть.	14	_		_	FOOT	. 1.04	O
Cepeopo-pryre.	метод	в.	м.	11.	1791,	$\rho = A + Di$	$OM \cdot M$ :

c <sub>Ag</sub> , %	(ат.) MI t. °С Ц	A, 10-8 Om·m	<i>B</i> , 10 <sup>—10</sup> Ом·м/град
90	870-1050	15,6	1,25
80	<b>750—105</b> 0	30,8	1,10
70	770—10 <b>00</b>	38,0	1,50
60	680 <b>—1000</b>	42,4	1,90
50	600 - 950	46,5	2,80
40	<b>540—800</b>	48,7	3,10
30	480—750	58,1	2,90
<b>2</b> 0	450—700	52,4	5,85
10	380650	63,9	8,35

Серебро—свинец. Метод в. м. п. [80],  $\rho = A + Bt$ , Ом·м.

с <sub>Ад</sub> , % (ат.)	t, °C	A.10 <sup>-8</sup> , Om⋅m	<i>В</i> ,10 <sup>16</sup> , Ом·м/град
90	830-1000	54,5	0,55
80	750-1000	77,0	1.25
<b>7</b> 0	700-1000	84,0	1,75
60	650 - 1000	85,2	2,85
50	600-1000	88,0	2,75
40	580-1000	85,8	3,30
30	550-1000	86,9	3,55
20	500-1000	90,5	3,35
10	400-1000	84,7	3,65

Серебро-сера. Метод э. д. с. [81]:

 $c_{Ag}$ , % (at.). 93,6 90,6 87,7 85,0 79,8 72,8 69,6 66,5 60,9 ρ, 10-6 Ом⋅м, при t=1100°C 0,56 n1,00 1,54 1,91 3,08 10,0 41,7 50,0 45,5 Серебро-цинк. Метод в. м. п. [82]:

$c_{Ag'}$ % (at.)	50	38	<b>2</b> 0	1
р, $10^{-8}$ Ом·м, при $t$ , °C:				
$t_{\text{ЛИКВ}}+10 \dots$		44,8	39,2	35,1
1100	43.9	46.7	40.3	38.5

Сплавы золота Золото-висмут. Метод в. м. п. [83]:

$c_{\text{Au}}$ , % (ат.)	90	80	67	19	10
400	19.5	24.6	41.5	103.0	109.0
600	27,8	42,9	84,6	112,0	122,5
800	47,2	95,2	116,7	121.0	133.0

$50n010-\epsilon unnuu$	. метод	B. M. II.	լօაյ։				
$c_{ m Au}$ , % (ат.)	85	72,3	661	<b>60</b>	50,6	43,6	33,4
ρ, 10 <sup>—8</sup> Ом·м, при <i>t</i> , °C:							
600	44,2	70,6	70,8	71,3	66,8	65,8	60,0

600			44,2	70,6	70,8	71,3	66,8	65,8	60,0	
800			61,0	75.0	76.8	77,6	71.6	69.7	63,4	
			59,6							

Золото-никель. Метод в. м. п. [83]:

 $c_{A11}$ , % (at.) . . . 75 ρ, 10<sup>-8</sup> Ом·м, при *t*, °C: 94,5 98,5 87,4 67,3 1200 . . . . . . 73,0 1600 . . . . . . 87,5 110,0 114,0 110,5 89,3

50

Золото-олово. Метод четырехэлектродный [84] (табл. 3.14).

ТАБЛИЦА 3.14

10

#### удельное электросопротивление $\rho$ . 10<sup>--8</sup> Ом·м, РАСПЛАВОВ СИСТЕМЫ Au-Sn

	<i>t</i> , °C										
с <sub>Аи</sub> , % (ат.)	<b>3</b> 00	400	500	600	700	800	900				
10	53,3	55,4	57,7	59,9		_					
20	56,9	58,5	60,3	62,0	00.1		_				
30	_	62,0	63,3	64,6	66,1						
40		65,3	66,1	67,2	68,3		_				
50		68,6	69,1	69,7	70,6						
61		72,7	73,1	73,6	74,2		_				
69,2		76,0	75,7	75,7	75,9	76,3					
79,5		_	75,8	75,3	75,3	75,1	75,				

Сплавы палладия Палладий-алюминий, железо, кобальт, кремний, марганец, медь, никель, серебро, хром. Метод в. м. п. [74, 77] (табл. 3.15).

ТАБЛИЦА 3.15

УДЕЛЬНОЕ ЭЛЕКТРОСОПРОТИВЛЕНИЕ р, 10<sup>-8</sup> Ом⋅м, РАСПЛАВОВ ПАЛЛАДИЯ

Ме, системы	с <sub>рд</sub> , % (по массе)										
Pd-Me <sub>2</sub>	90	80	70	60	50	40	30	20	10		
Al (1700 °C) Fe (1600 °C) Co (1600 °C) (1300 °C) Si (1400 °C) (1600 °C) Mn (1600 °C) Cu (1600 °C) Ni (1600 °C) Ag (1600 °C) Cr (1600 °C)	158,0 119,9 126,5 119,7 136,2 153,5 122,8 — 120,0 100,0 116,0	184,0 119,5 125,6 160,0 167,2 180,4 124,4 — 120,5 89,0 112,0	179,0 118,5 124,3 119,7* 140,5* 119,7* 126,5 88,0 121,0 78,0 114,0	170,0 118,2 123,3 — — 127,3 80,0 121,5 67,0 107,5	157,0 113,5 122,8 — 127,8 74,0 122,0 56,5 110,5	142,0 112,4 121,8 	130,0 110,8 121,5 — — 124,5 60,0 123,5 41,5	106,0 109,2 120,8 — — 121,8 51,0 123,8 35,0 —	107,8 120,5 120,5 118,8 40,0 124,3 29,0		

<sup>\*</sup>  $c_{\rm Pd}^{} = 75 \%$  (по массе).

#### 3.5. Вязкость

Серебро. Метод затухания крутильных колебаний (з. к. к.) [85]:

Золото. Метод з. к. к. [86],  $t=1063\div1364$  °C: lg  $\eta$  (Па·с.) =0,8305 [1000/(t+273)]—2,9456. Родий. Метод з. к. к. [61]:

 $\Pi$ алладий. Метод. з. к. к. [87], t=1560 °C,  $\eta$ =4,22⋅10<sup>-3</sup>  $\Pi$ а⋅с.  $\Pi$ латина. Метод з. к. к. [88]:

Сплавы серебра Серебро—германий. Метод з. к. к. [85] (табл. 3.16).

 ${\it ТАБЛИЦА~3.16}$  ДИНАМИЧЕСКАЯ ВЯЗКОСТЬ (η, 10 $^{-3}$  Па·с) РАСПЛАВОВ СИСТЕМЫ Ag—Ge

cAg,	t, °C									
% (ат.)	1000	1050	1100	1150	1200	1250	1300	1350	1400	
98 89 78 61,1	3,68	3,33	3,04 1,82	3,70 2,77 1,68	3,74 3,35 2,57 1,56	3,51 3,11 2,40 1,48	3,28 2,89 2,28 1,42	3,28 2,70 — 1,35	2,56 —	

Серебро—индий.	Метод з. к. к.	[89], $\eta = A \exp[A]$	$E/R(t+273)$ ], $\Pi a \cdot c$ :
$c_{ m Ag}$ , % (ат.)	t, °C	A, 10 <sup>—5</sup> Па•с	Е, кДж/моль
80 60 40 20	845—985 645—840 490—715 395—595	0,516±0,083 0,673±0,073 0,729±0,036 0,530±0,037	$17,68\pm1,47$ $11,36\pm0,84$ $6,91\pm0,34$ $6,58\pm0,42$

Серебро-кремний. Методы з. к. к. [90]:

$$c_{\mathrm{Ag}}$$
, % (ат.) . . . . 89,4 83,2 70,1 51,0 v,  $10^{-7}$  м²/с, при  $t$ , °C:  $1300$  . . . . . . 2,83 2,92 3,25 3,72 1400 . . . . . . 2,58 2,70 2,88 3,30

$c_{\mathrm{Ag}}$ , % (at.)	. 7	7,0	60,2	37	,2	16,4	
$\eta$ , 10—3 Па·с, при $t$ , $c$	C:					0.00	
1300	_	,62	2,66	2,		2,80 3,07	
1200		,86	$2,88 \\ 3,24$	2, 3,	90 35	3,54	
1100	_	<b>,2</b> 2 ,69	3,72	3,		4,20	
1000		,30	4,34	4,			
800		,00	5,28		_		
$t_{ m mikb}$	. 4	.65	5,49	4,		4,43	
ликв		8 °C)	(781 °C	(860	°C) (9	65 °C)	
Серебро-олово. Метод	ы з. к	. к. [89	)], η=.	A exp[E	/R(t+2)	73)], Г	la∙c:
c <sub>Ag</sub> , % (ат.) t, °	С	A, 1	0 <sup>—5</sup> Па	.c E	, кДж <b>/</b> м	оль	
80 760	-930	0,44	2±0,0	26 1	7,72±0	,55	
60 600-		0,45	8±0,02		4,46土1		
40 490-			$4\pm0,00$		$7,50\pm0$		
20 500-	-650	0,34	6±0,0	31	8,76±0	,59	
<i>Сереброртуть</i> . Метод		_					
с <sub>Ag</sub> , % (ат.)	90	)	80		70	6	0
v, 10 <sup>-7</sup> м²/с, при t, °C:							
400		-				-	-
500	-	-				_	<del>-</del>
600		-	_		_	0E	90
700		-			 24,9	25, 23,	
800	28,	- &\)	24,50		23,40	22	
1000	25,		22.50		22,40	21,	
1000	20,	00	22,00			родолж	
0/ (27)	EΩ	40		20	20		0
$c_{Ag}$ , % (at.)	<b>5</b> 0	<b>4</b> 0		30	20		U
v, 10 <sup>-7</sup> м²/с, при t, °С:						•	=0
400					11 15	9,	58
500	$\frac{-}{21,50}$	17,5		15 <b>,05</b> 13,64	11,15 10,38		66
	19,10	15,		12,49	9,58		96
800	17,08	10,				,	_
900	15,59				_		
1000	_	_			_	-	_
Серебро—свинец. Мето	од з. к.	к. [80]:	:				
$c_{Ag}$ , % (at) . 90 80	70	60	50	<b>4</b> 0	30	<b>2</b> 0	10
v, 10-7 M <sup>2</sup> /c,							
при t, °C:							
400 — —		_	—		_		1,80
500 — —						1,51	1,49
600 — —			. ==	1,80	1,48	1,34	1,30
	2,45	1,01	1,77	1,50	1,24	1,18	1,16
800 3,54 2,54		1,72	1,53	1,32	1,10	1,06	1,05
900 3,06 2,20	1,79 1,57	1,44 1,31	1,35 1,19	1,26 1,03	0.92	$0,98 \\ 0,92$	0,96 0, <b>92</b>
2,17 1,90	1,01	1,01	1,13	1,00	0,32	0,32	0,02

Серебро-мсдь. Метод з. к. к. [46]:

16 4

Серебро-сурьм	<i>а.</i> Метод з. к. н	$\kappa = 89,  \eta = F$	$\exp[E/R]$	(+273)],	Ha⋅c:
с <sub>Ад</sub> . % (ат.)	t, °C	А, 10 <sup>—</sup> Па⋅с		кДж/мол	ь
80	740—930	$0.738 \pm 0.$	.093 13	$3,66\pm1,6$	09
60	620-795	$0.771 \pm 0.$		$1.31 \pm 0.4$	
40	590-795	$0.357\pm0.$		$1.23 \pm 0.8$	
20	600-810	$0,288\pm0$		$1,65\pm1,3$	
		-,			
Сплавы золота Золото—медь. Мето,	д з. к. к. [46]:				
$c_{ m Au}$ , % (at.	)	49,2	31,3	0,7	
n, 10-3 Па	·с, при <i>t</i> , °С:				
		3,54	3,23 2	,91	
				.34	
				,96	
			5,01	_	
		^ · -		_	
,			5,67 4	,60	
- MAIN		(890°C) (9		19 °C)	
		` , ,	, ,	•	
Сплавы родия Родий—кремний. Ме	етод з. к. к. [91]	:			
$c_{ m Rh}$ , % (ат.)	85	75 67	55 50	40	30
v, 10—7 м <sup>2</sup> /с, при $t=$	1600 °C 3,74	3,40 3,67	3,24  3,3	3,24	3,16
Родий—медь, ни	кель. Метол з.	к. к. 1911 при	$t = 2000  ^{\circ}$	·	
					. 10
$c_{Rh}$ , % (at.) 90 v, $10^{-7}$ $M^2/C$ ,	60 70	60 50 3	至40章 30	) <u>@_</u> 20 ]	10
систем:					
Rh—Cu 4,26 Rh—Ni 4,76	3,60 3,10 0 4 50 4 35	2,70 2,35 4.20 4.05	2,05 1,9 3.85 3.7	0 1,70	1,60 <sup>1</sup>
2( 11. 1	1,00 1,00	1,20 1,00	0,00 0,1	0 0,00	0,00,
Сплавы палладия Палладий—алюмині	ий. Метод з. к. н	c. [69]:			
c <sub>Pd</sub> , % (ат)	82	2,8 71,9	59,0	50,4	43,2
η, 10-3 Па·с, при t=			4,58	5,00	6.26
		-,	-,-	-,	,
				Продол	жение
c <sub>Pd</sub> , % (ат.)	9'	7.6 20.2	14,5	9,8	6,0
η, 10—3 Па·с, при t:	=1750°C . 3	,13 2,95	2,09	1,53	1,23
Паладий—кремн	ий Метола и	v (63)			
$c_{\mathrm{Pd}}$ , % (at.)			70,4	65,9	58,1
		00,4	10,7	00,3	JU, I
η, 10—3 Па∙с, при	t==	. ==	- 05		
=1600 °C	4,18	2,78	2,27	2,27	2,23
64					

			Прод	олжение
$c_{ m Pd}$ , % (ат.)	54,6	51,4	43,8	44,2
η, 10 <sup>—3</sup> Па·с, при <i>t</i> = = 1600 °C · · · · · · ·	2,00	1,67	1,43	1,25

Палладий-кобальт, медь, никель, серебро. Методы з. к. к. [69] (табл. 3.17).

ТАБЛИЦА 3.17 вязкость расплавов палладия при различных температурах

Система	<sup>с</sup> Рd' % (ат.)	<i>t</i> , °C	v, 10° <sup>7</sup> м²/с	Система	<sup>с</sup> Рd' % (ат.)	<i>t</i> , ℃	v, 10 <sup>-7</sup> m <sup>2</sup> /c
Pd—Co	83,3 35,7	1600 1650 1700 1550 1600 1650	5,90 5,80 5,67 5,20 5,10 5,02	Pd—Ni	68,8 19,1	1530 1550 1600 1520 1550 1600	6,66 6,40 6,00 5,78 5,44 5,40
Pd—Cu	58,2	1540 1580 1600 1540 1600 1650	5,07 4,72 4,30 4,00 3,55 3,16	Pd—Ag	90,1 50,3	1580 1600 1620 1540 1600 1650	5,75 5,67 5,55 4,50 4,40 4,25

Палладий—олово	Метод	з. к. к	c. [87]:					
$c_{ m pd}$ , % (ат.)	90	80	70	60	<b>5</b> 0	<b>4</b> 0	30	20
v, 10 <sup>-7</sup> м²/с, при t, °C:								
1450	3,85	3,62	4,50	3,83	4,09	3,34	2,45	1,52
1600	3,25	3,12	3,47	3,02	3,29	2,87	2,11	1.33

Палладий-хром. Метод з. к. к. [90]:

$c_{\mathrm{Pd}}$ , % (ar.)	66,2	53,3	49,8	40,3	37,4
v, 10—7 м/с, при t, °C:					
1600	5,35	4,99	4,53	4,88	5,12
1700	4,96	4,64	4,02	4,39	4,74

Сплавы платины Платина—железо, кобальт, медь, никель. Метод з. к. к. [92] при l = 1800 °C (табл. 3.18).
Платина—кремний. Метод з. к. к. [91]:

$c_{ m Pt}$ , % (ат.)	85	77	67	61	<b>5</b> 0	33
$v$ , $10^{-7}$ м <sup>2</sup> /с, при $t = 1400$ °C	2 92	2 68	3.06	2 83	3 16	2 65
	2,32	2,00	0,00	2,00	3,10	£,00

вязкость  $\eta$ ,  $10^{-3}$  Па·с, РАСПЛАВОВ ПЛАТИНЫ

				$c_{ m p}$	t, % (ar	r <b>.)</b>			
Система	10	20	<b>3</b> 0	40	50	60	70	80	90
Pt—Fe Pt—Co Pt—Cu Pt—Ni	3,58 3,70 1,76 3,00	3,65 3,87 2,52 3,25	3,80 4,00 3,23 3,55	3,95 4,24 4,00 3,90	4,20 4,51 4,65 4,35	4,50 4,82 5,25 4,80	4,85 5,18 5,76 5,25	5,30 5,60 6,12 5,78	5,95 6,15 6,53 6,27

Платина—олово. Метод з. к. к. [88]:  $c_{\rm Dt}$ , % (ат.) . . . 80 75 65 58 50 40

v,  $10^{-7}$  м<sup>2</sup>/с, при t, °C:

t, °C:
1477..... 2,48 2,86 2,91 2,84 2,89 2,42 1,85 1,30
1777..... 2,05 2,26 2,52 2,08 2,09 1,84 1,49 1,13

Многокомпонентные сплавы на основе платины. Метод з. к. к. [61] (табл. 3.19).

ТАБЛИЦА 3.19 ВЯЗКОСТЬ  $\nu$ ,  $10^{-7}$  м²/с, МНОГОКОМПОНЕНТНЫХ РАСПЛАВОВ НА ОСНОВЕ ПЛАТИНЫ

t, °C					
1800	1900	2000			
_	4,4	4,2			
_	3,9	3,6			
4,1	3,8	3,7			
3,9	3,7	3,6			
	4,1	1800 1900  - 4,4  - 3,9  4,1 3,8			

### 3.6. Термодинамические свойства

Золото [93]:

t, °C	<i>с<sub>р</sub>,</i> Дж <b>/</b> /(моль · град)	$^{H}_{T}$ $^{-H}_{298}$ , кДж/моль	$S_T - S_{298}$ , Дж/ /(моль · град)	$\frac{G_T - H_{298}}{(t + 273)}$ , Дж/ $/$ (моль · град)
1063,15	33,41	41,66	50,36	66,75
11 <b>27</b>	3 <b>2</b> ,62	43,76	51,90	68,21
1227	31,34	46,96	54,11	70,37

ТЕПЛОВЫЕ СВОЙСТВА ЧИСТЫХ МЕТАЛЛОВ [93, 94]

Me	<i>t<sub>m</sub></i> , °C	<b>∆</b> H <sub>m</sub> кДж/моль	∆ <i>S<sub>m</sub>,</i> Дж/(моль∙град)	ΔΗ <sub>V, 298</sub> , кДж/моль	ΔH <sup>*</sup> <sub>V, T</sub> , Дж/(моль·град)
Ag Au Ru Os Rh Ir Pd Pt	960,5 1063,15 2250 3027 1960 2443 1552 1769	11,29 12,57 24,32 31,81 21,52 26,17 17,59 19,68	9,41 9,64 9,64 9,64 9,64 9,64 9,64	284,88 368,72 650,92 553,92 670,40 377,10 565,65	106,98 (2857) 134,83 (4150) 141,37 (4992) 124,43 (3697) 128,70 (4428) 110,62 (2964) 124,53 (3827)

<sup>\*</sup> В скобках указаны t, °C.

Рутений [95].  $t=(2340\div2484)$ , °C,  $\Delta H_T=17095+51,91$  (t+273), кДж/моль,  $c_p=51,96$  Дж/(моль·град). Сплавы серебра

Серебро—алюминий. Метод калориметрический [96], t=970 °C:  $c_{Ag}=9.7\div90$  % (ат.),  $\Delta H_{mx}=6.36~N_{Ag}-44.26~N_{Ag}^2+37.90~N_{Ag}^3$ , кДж/моль Метод диффузионный [97], t=1340 °C:

 $c_{\text{Ag}}$ , % (at.) 90 80 70 60 50 40 30 20 10  $a_{\text{Ag}}$  . . . . 0,867 0,642 0,427 0,273 0,187 0,126 0,084 0,053 0,027

Серебро—висмут. Метод калориметрический [89],  $t=970\,^{\circ}\mathrm{C}$ :  $c_{\mathrm{Ag}}=8.6-83.9\%$  (ат.),  $\Delta H_{mx}=15.66N_{\mathrm{Ag}}-47.10N_{\mathrm{Ag}}^2++51.35N_{\mathrm{Ag}}^3-19.91N_{\mathrm{Ag}}^4$ , кДж/моль.

ТАБЛИЦА 3.21 Эффициенты уравнений политерм лавления пара

КОЭФФИЦИЕНТЫ УРАВНЕНИЙ ПОЛИТЕРМ ДАВЛЕНИЯ ПАРА  $\lg p = A + B/(t + 273)$  Па  $(Me_l = Me_g \ \text{при 0,1 MПa}) \ [93, 94]$ 

Me	<i>t</i> , °C	A	В
Ag	1450—1600	10,467	13 328
Au	1063—2927	10,710	17 866
Ru	2250—4227	12,159	31 642
Os	2027—5227	12,386	39 002
Rh	1960—3727	11,687	26 537
Ir	2443—4727	11,859	32 158
Pd	1552—3027	10,674	18 339
Pt	1769—3927	11,672	27 345

Метод эффузионный [98], t=1100 °C:

$$c_{\mathrm{Ag}}$$
, % (ат.) 90 80 70 60 50 40 30 20 10  $a_{\mathrm{Ag}}$  . . . . 0,88 0,77 0,67 0,61 0,52 0,43 0,34 0,25 0,11  $Cepe6po-eannu\ddot{u}$ . Метод калориметрический [96],  $t=970\,^{\circ}\mathrm{C}$ :  $c_{\mathrm{Ag}}=14,3\div87,0\%$  (ат.),  $\Delta H_{mx}=7,81N_{\mathrm{Ag}}-37,59N_{\mathrm{Ag}}^2-29,78\,N_{\mathrm{Ag}}^3$ , кДж/моль.  $Cepe6po-eepmahu\ddot{u}$ . Метод калориметрический [96],  $t=970\,^{\circ}\mathrm{C}$ :  $c_{\mathrm{Ag}}=10,5\div71,8\%$  (ат.),  $\Delta H_{mx}=10,79N_{\mathrm{Ag}}-$ 

 $-82,87\,N_{
m Ag}^2+47,10N_{
m Ag}^3$ , кДж/моль.

Метол калориметрический [99], t=960 °C:

 $c_{AG} = 71.8 \div 93.7\%$  (at.),  $\Delta H_{mr} = 35.76 N_{Ag} -$ 

c<sub>Ag</sub>, % (ат.)... 90 80 70 60 50 40 30 20 10 ΔG<sub>max</sub>, кДрк моль 2,51 4,12 5,10 5,54 5,62 5,49 4,93 4,04 2,51

 $\Delta G_{mx}$ , кДж, моль 2,51 4,12 5,10 5,54 5,62 5,49 4,93 4,04 2,51  $a_{\rm Ag}$  . . . . . . 0,92 0,87 0,78 0,69 0,60 0,50 0,40 0,30 0,16

Серебро—желево—марганец. Метод распределения в двух фазах [51],  $t=1550\,^{\circ}\mathrm{C}$ :

Серебро—золото. Метод калориметрический [100],  $t=1100\,^{\circ}\mathrm{C}$ :

$$c_{\mathrm{Ag}}=10$$
 = 90% (ат.),  $\Delta H_{mx}=-10$ ,44  $N_{\mathrm{Au}}+9$ ,64 $N_{\mathrm{Au}}^2+0$ ,8 $N_{\mathrm{Au}}^3$ , кДж/моль.

Серебро—золото—свинец. Метод э. д. с. [101],  $t=927\,^{\circ}\mathrm{C}$  (рис. 3.1). Серебро—индий. Метод калориметрический [96],  $t=970\,^{\circ}\mathrm{C}$ :

$$c_{\mathrm{Ag}} = 10.5 \div 90.4\%$$
 (ат.),  $\Delta H_{mx} = -3.40 N_{\mathrm{Ag}} + 6.69 N_{\mathrm{Ag}}^2 - 86.69 N_{\mathrm{Ag}}^3 + 144.41 N_{\mathrm{Ag}}^4 + 62.11 N_{\mathrm{Ag}}^5 + 1.10 N_{\mathrm{Ag}}^5$ , кДж/моль.

Метод э. д. с. [102], t=827 °C:

$$c_{\mathrm{Ag}}$$
, % (ат.) . . . . . . . 90 80 70 60 50   
— $\Delta H_{m.x}$ , кДж/моль . . 1,65 2,70 3,24 3,36 3,14   
— $\Delta G_{mx}^{E}$ , кДж/моль . . 0,96 1,50 1,71 1,63 1,38   
 $a_{\mathrm{Ag}}$  . . . . . . . . . 0,865 0,721 0,593 0,485 0,366

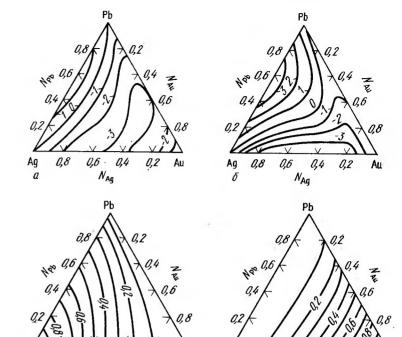


Рис. 3.1. Избыточная интегральная свободная энергия смешения  $\Delta G \frac{E}{mx}$ , кДж/моль (a), интегральная энтальпии смешения  $\Delta H_{mx}$ , кДж/моль (b), активности серебра (b) и золота (c) в расплавах системы  $\Delta H_{mx}$ , кДж/моль (d), активности серебра (e) и золота (c) в расплавах системы  $\Delta H_{mx}$ , кДж/моль (d), активности  $\Delta H_{mx}$ , кДж/моль (d), активности  $\Delta H_{mx}$ , кДж/моль (e), активности  $\Delta H_{mx}$ , кДж/моль (d), активности  $\Delta H_{mx}$ , кДж/моль (e), активности  $\Delta H_{mx}$ , кДж/моль (d), активности  $\Delta H_{mx}$ 

0.8

0,6

NAO

0.4

0.4

0.2

0,8

0,6

						-
c <sub>Ag</sub> , % (ат.)	40	30	2	•	д <mark>олжен</mark> и 10	e
$-\Delta H_{mx}$ , кДж/моль	2,66	2,03	1,3	31	0,61	
$-\Delta G^E_{mx}$ , кДж/моль	1,01	0,61	0,2	26	0,003	
$a_{ extsf{Ag}}$	0,275 ·	0,204	0,1	40	0,079	
Серебро-кальций. Метод	э. д. с. [1	03], $t = 80$	00°C:			
с <sub>Ад</sub> , % (ат.)	90	80	70	60	50	
$-\Delta G_{mx}$ , кДж/моль	11,82	19,92	25,81	28,83	29,20	
$-\Delta G^E_{mx}$ ,кДж/моль	8,90	15,52	20,36	22,80	23,02	
α <sub>Ca</sub>	1,10	2,10	2,10	0,013	0,053	

с <sub>Ад</sub> , % (ат.)	40	30	20*	10*
$-\Delta G_{mx}$ , кДж/моль	27,70	24,34	18,86	10,91
$-\Delta G_{mx}^E$ , кДж/моль	21,67	18,88	14,38	8,09
a <sub>Ca</sub>	0,133	0,287	0,527	0,746

<sup>•</sup> Рассчитано по фазовой диаграмме.

Серебро—кремний. Метод диффузионный [104],  $t=1500\,^{\circ}\mathrm{C}$ :

$$c_{Ag}$$
, % (ат.) . . . . . . . . 90 80 70 60 50  $-\Delta H_{mx}$ , кДж/моль . . 7,85 8,69 5,53 1,66  $-0$ ,43  $-\Delta G_{mx}$ , кДж/моль . . 5,04 7,40 8,50 8,82 8,64  $-\Delta G_{mx}^E$ , кДж/моль . . 0,24 0,01 0,52 1,11 1,59  $a_{Ag}$  . . . . . . . . . 0,884 0,756 0,642 0,555 0,493

			Π	<b>Гродолжен</b> и
с <sub>Ag</sub> , % (ат.)	40	30	<b>2</b> 0	10
$-\Delta H_{mx}$ , кДж/моль	0,26	3,11	5,99	5,90
$-\Delta G_{mx}$ , кДж/моль	8,13	7,13	6,06	4,08
$-\Delta G^E_{mx}$ , кДж/моль	1,80	1,71	1,32	0,72
<i>a</i> <sub>Ag</sub>	0,441	0,379	0,288	0,158

Серебро—литий. Метод калориметрический [105],  $t=977\,^{\circ}\mathrm{C}$ :

 $x_{Ag}$ , % (ат.) . . . . 90 80 70 60 50 40 30 20 10 —  $\Delta H_{m.x}$ , кДж/моль 3,18 5,60 7,35 8,50 9,00 8,75 7,65 5,70 3,18 —  $\Delta S_{m.x}$ , Дж/(моль град) . 3,8 4,5 5,6 6,2 6,4 6,2 5,6 4,5 3,0

Серебро—медь. Метод калориметрический [106],  $t=1100\,^{\circ}\mathrm{C}$  ( $\Delta H_{mx}$ ); метод эффузионный [107],  $t=1100\,^{\circ}\mathrm{C}$  ( $a_{Ag}$ ):

€Ag, % (ат.)	90	80	<b>7</b> 0	<b>6</b> 0	<b>5</b> 0
$\Delta H_{mx}$ , кДж/моль			2,95	3,38	3,63
a <sub>Ag</sub>	0,902	0,850	0,798	0,731	0,68

$c_{Ag}$ , % (at.)	40	30	20	10
$\Delta H_{mx}$ , кДж/моль	3,55	3,12	2,44	1,30
$a_{Ag}$	0,594	0,500	0,400	0,282

Серебро—олово. Метод калориметрический [96], t=970 °C:

$$c_{Ag} = 10.6 \div 50.3\%$$
 (at.),  $\Delta H_{mx} = 2.59 N_{Ag} - 4.44 N_{Ag}^2 - 4.44$ 

$$-19,13N_{
m Ag}^3+20,98N_{
m Ag}^4$$
, кДж/моль.

$$c_{Ag} = 50,3 \div 90,8\%$$
 (at.),  $\Delta H_{mx} = 18,97N_{Ag}$  —

$$-63,96N_{Ag}^2+44,99N_{Ag}^3$$
, кДж/моль.

Метод э. д. с. [108],  $t = 827\,^{\circ}\text{C}$  ( $\Delta G_{mx}^{E}$ ); [109] t = 500, 560, 620 °C ( $a_{Ag}$ ):

$c_{Ag}$ , % (at.)	<b>0</b> U	70	00	90
$-\Delta H \cdot \frac{E}{mx}$ , кДж/моль	2,91	3,29	3,16	2,84
$a_{Ag}$ при $t$ , °C:				
827	0,676	0,503	0,379	0,297
620		0,396	0,336	0,309
560		_	0,367	0,334
500		_		0,354

			Продолжени <b>е</b>		
$c_{ m Ag}$ , % (ar.)	40	30	<b>2</b> 0	10	
$-\Delta H_{mx}^E$ , кДж/моль	2,39	1,83	1,24	0,67	
a <sub>Ag</sub> при <i>t</i> , °C: 827	0,220	0.154	0,109	0.051	
620	0,287	0,241	0,201	0,157	
500	0,317 $0.333$	0,271 0,292	0 <b>,232</b> 0,259	0,183 0,208	

Серебро—палладий. Метод днффузионный [110],  $t=1600\,^{\circ}$ С:

с <sub>Ag</sub> , % (ат.)	90	80	70	60	50
a <sub>Ag</sub>	0,903	0,805	0,707	0,609	0,510

Прод**о**лжени**е** 

$\epsilon_{\mathrm{Ag}}$ ,	9	6	(ar	r.)				40	3	0	2	0	10	
$a_{Ag}$								0,409	0,3	307	0,2	05	0.102	

Серебро—свинец. Метод э. д. с. [111]  $t=1000\,^{\circ}\text{C}$  ( $\Delta H_{mx}$ ,  $\Delta G_{mx}$ ); [112]  $t=827\,^{\circ}\text{C}$  ( $\Delta G_{mx}^{E}$ ) [109] t=500, 560, 620 °C ( $a_{Ag}$ ):

$c_{ m Ag}$ , % (at.)	90	80	70	60	50
$\Delta H_{mx}$ , кДж/моль	1,44	2,45	3,08	3,44	3,60
$-\Delta G_{mx}$ , кДж/моль	2,87	4,23	5,15	5,61	5,81
$\Delta G_{mx}^{E}$ , кДж/моль	0,54	1,04	1,45	1,75	1,90
$a_{\mathbf{Ag}}$ при $t$ , °C:					
1000	0,90	0,82	0,73	0,64	0,56
827	0,900	0,807	0,730	0,659	0,596 0,617
560				_	
500		_		_	
				Πποδι	о <b>лж</b> ен <b>ие</b>
$c_{ m Ag}$ , % (at.)	40	30		0	10
$\Delta H_{mx}$ , кДж/моль	3,50	3,23	2,5		1,44
$-\Delta G_{mx}$ , кДж/моль	5,66	5,11	4,2		2,93
$\Delta G_{mx}^{E}$ ,кДж/моль	1,87	1,66	1,2	28	0,72
$a_{\mathbf{Ag}}$ при $t$ , °C:					
1000	0,46	0,38 0,450	0,2 0,3		0,16 0,1 <b>9</b> 8
827	0,534 0,574	0,430	0,4		0,265
560	-	0,548	0,4		0,286
500			0,4	76	0,310
Серебро-сурьма. Мето	пы капс	риметриче	ockuŭ [	98] <i>t</i> =	=1100 °C
$(\Delta H_{mx}, a_{Ag})$ и переноса в		и <b>ер</b> тного			=1000 °C
$(\Delta G_{mx}^E, a_{Ag}^E)$ :					
с <sub>Ая</sub> , % (ат.)	90	80	70	60	50
$\Delta H_{mx}$ , кДж/моль	-1,79	-2,90	<b>-2,5</b> 0	-1,26	0
$\Delta G_{m\kappa}^{E}$ , кДж/моль	4,11	6,62	7,45	7,18	6,45
$a_{\mathbf{Ag}}$ при $t$ , °C:					
1200	0,850	0,645	0,448	0,312	0,215
1100	0,832	0,610	0,414	0,280	0,194
1000	0,812	0,561	0,360	0,236	0,167
				Прода	олжение
$c_{\mathrm{Ag}}$ , % (ат.)	40	30	2	0	10
$\Delta H_{mx}$ , кДж/моль	0,61	1,08	1,0	)1	0,71
$\Delta G_{mx}^{E}$ , кДж/моль	5,24	4,11	2,6	62	1, <b>2</b> 3
$a_{\text{Ag}}$ при $t$ , °C:					
1200	0,147	0,098	0,0	060	0,030
1100	0,134	0,091	0,0	55	0,028
1000	0,119	0,083	0,0	51	0,027

Серебро—таллий. Метод калориметрический [96], $t=970^{\circ}\text{C}$ :							
$c_{Ag} = 16,4 \div 89,4\%$ (at.), $\Delta H_{mx} = 12,30N_{Ag} +$							
$+17,04 N_{Ag}^2 + 4,74N$	$^3_{ m Ag}$ , кД	ж/мол	ь.				
Метод <b>то</b> рзионно-эфф	узионин	ый [11 <i>4</i>	4], $t = 70$	2°C:			
c <sub>Ag</sub> , % (ar.)	65	60	<b>5</b> 0	40	30	<b>2</b> 0	10
$-\Delta G_{mx}$ , кДж/моль		3,86	3,67	3,39	2,99	2,42	1,66
$a_{Ag}$	0,657	0,622	0,562	0,511	0,462	0,396	0,276
Серебро—теллур. Меский ( $\Delta H_{mx}$ , $\Delta S_{mx}$ ) [115],	етоды t=1008	эффузі °С:	ионный	(a <sub>Ag</sub> )	и ка	алорим	етриче-
$c_{Ag}$ , % (at.)	90		80	70		60	<b>5</b> 0
$-\Delta H_{mx}$ , кДж/моль	4,29	9	,60	15,42	2 1	15,59	13,07
$\Delta S_{mx}$ , Дж/(моль·град).	-0,4	4 2	,96	6,5	0 -	-5,78	-3,31
$a_{\mathrm{Ag}}$	0,916	6 0	,860	0,828	3 (	775,	0,669
						Продс	<b>лж</b> ен <b>ие</b>
с <sub>Ag</sub> , % (ат.)	40		30		20		10
— $\Delta H_{m,x}$ , кДж/моль	10,6	64	7,06	Ę	5,28		2,60
$\Delta S_{mx}$ , Дж/(моль·град)	-1,2	23	0,72	2	2,38		2,74
$a_{Ag}$	0,4	40	0,260	C	),108		0.,002
Серебро—цинк. Мето,	д э. д. с.	[116],	t = 750	°C:			
$c_{Ag}$ , % (at.)	90		80	<b>7</b> 0		60	50
$-\Delta H_{mx}$ , кДж/моль	3,16	5 8	5,24	6,77	7	,61	7.,73
$-\Delta G_{mx}^{E}$ , кДж/моль	1,99	) 3	3,42	4,52	5	,11	5,15
<i>a</i> <sub>Ag</sub>	0,86	5 (	,712	0,551	0	, 367	0,239
						Продо	лжение
c <sub>Ag</sub> , % (ат.)	40	)	30		<b>2</b> 0		10
— $\Delta H_{mx}$ , кДж/моль	7,1	7	5,87		4,06	:	2,12
$-\Delta G_{mx}^{E}$ , кДж/моль	4,6	9	4,94		2,70		1,42
<i>a</i> <sub>Ag</sub>	0,1	41	0,077	7	0,036		0,015
Сплавы золота $3$ олото—алюминий. Метор $A_{II}=5\div 85~\%~$ (ат.):	цы э. д.	с. и	распред	(ел <b>е</b> ния	[117	], <i>t</i> =1	100°C,
$R(t+273) \ln \gamma_{Au} = -$	32660 (1	- NA	\u)2 + 1	6330 (1	N <sub>A</sub>	.u) <sup>3</sup> .	
Метод калориметриче	ский [10	001, t =	1100 °C	, c=	10.0÷	90.4 %	(ar).
$\Delta H_{mx} = -58.0N_{Au} +$							(α1.),
214	•		A				78

300070 - σεικαμτ. Μετολιά μπαρείπεκαι παρα (σ <sub>Au</sub> )						
c <sub>Au</sub> **         φ (art.)         90         80         70         60         50           a <sub>M</sub> ***         O,881         0,785         0,680         0,584         0,485         110         2.0         2.0         2.0         2.0         2.0         2.0         2.0         2.0         2.0         2.0         2.0         2.0         2.0         2.0         1.0         3.0         2.1         2.0         2.2         2.2         2.2         2.2         2.2         2.2         2.2         2.2         2.2         2.2         2.2         2.2         2.2         2.2         2.2         2.2         3.0			тем пара ( <i>а</i> ړ	<sub>Au</sub> ) и калор	им <b>ет</b> риче-	Продолжен
$L_{AB} = 0.081 0, 785 0, 680 0, 684 0, 485 0, 680 0, 684 0, 485 0, 680 0, 684 0, 485 0, 680 0, 785 0, 680 0, 684 0, 485 0, 680 0, 785 0, 680 0, 684 0, 485 0, 680 0, 785 0, 680 0, 684 0, 485 0, 680 0, 785 0, 680 0, 684 0, 485 0, 680 0, 785 0, 680 0, 685 0, 785 0, 680 0, 684 0, 485 0, 680 0, 785 0, 680 0, 684 0, 485 0, 680 0, 785 0, 680 0, 684 0, 485 0, 680 0, 785 0, 680 0, 684 0, 485 0, 680 0, 785 0, 680 0, 684 0, 485 0, 680 0, 785 0, 680 0, 685 0, 788 0, 680 0, 685 0, 788 0, 680 0, 685 0, 788 0, 680 0, 685 0, 788 0, 680 0, 685 0, 788 0, 685 0, 788 0, 685 0, 788 0, 685 0, 788 0, 685 0, 788 0, 685 0, 788 0, 685 0, 788 0, 685 0, 685 0, 788 0, 685 0, 788 0, 685 0, 68$	ский ( $\Delta H_{mx}$ ) [98], $t=1100^{-6}$	G:				AG H
$A_{Min}$ , κ $IJJM/Mode = -0.13$ 0,05 0,15 2,16 2,53 120 0.584 0,485 1200 0.0,346 0,303 0.286 $-0.000$ $A_{Min}$ , κ $IJJM/Mode = -0.13$ 0,05 0,15 2,16 2,53 1300 0.0,346 0,303 0.286 $-0.000$ $A_{Min}$ , κ $IJJM/Mode = -0.000$ 0,82 1,55 1,98 2,19 2.28 $-0.000$ $A_{Min}$ , κ $IJJM/Mode = -0.000$ 0,82 1,55 1,98 2,19 2.28 $-0.000$ $A_{Min}$ (κ(ατ) 0.084 0,285 0,183 0.084 $-0.000$ $A_{Min}$ κ $IJJM/Mode = -0.000$ 0,84 0,285 0,183 0.084 $-0.000$ $A_{Min}$ κ $IJJM/Mode = -0.000$ 2,83 2,56 2,10 1,33 $-0.000$ $A_{Min}$ κ $IJJM/Mode = -0.000$ $A_{Min}$ κ $IJJM/Mode = -0.0000$ $A_{Min}$ κ $IJJM/Mode = -0.00000$ $A_{Min}$ κ $IJJM/Mode = -0.0000$ $A_{Min}$ κ $IJJM/Mode = -0.00000$	$c_{A_{11}}$ , % (at.)	90	80	70 60	50	$a_{A_1}$ при $t  ^{\circ}$ C: 9,76 8,97 7,63 6,62
$ \begin{array}{cccccccccccccccccccccccccccccccccccc$			0,785	0,680 0,58	4 0,485	1100
\$\langle \langle \la			0,05	0,15 2,16	2,53	1300
$ \begin{array}{c ccccccccccccccccccccccccccccccccccc$			2,13	2,59 2,80	2,92	
$c_{A_{1}}, \% (atr.) $	$\Delta S_{mx}$ , Дж/ (моль град)	0,82	1,55	1,98 2,19	2,28	Золото индий. Метод калориметрический [118]:
ε Au 1.         0.0         0				Про	должение	
$a_{A}$ 0,384         0,285         0,183         0,084 $\Delta$ H <sub>m.r.</sub> κДж/моль         2,665         1,89         0,14         0,08 $\Delta$ H <sub>m.r.</sub> κДж/моль         2,65         1,89         0,14         0,08 $\Delta$ G <sub>m.r.</sub> кДж/моль         2,83         2,56         2,10         1,33 $\Delta$ G <sub>m.r.</sub> кДж/моль $\Delta$ S <sub>m.r.</sub> Дж/моль         2,83         2,56         2,10         1,33 $\Delta$ G <sub>m.r.</sub> кДж/моль $\Delta$ S <sub>m.r.</sub> Дж/моль	$c_{\Lambda}$ , % (at.)	• 40	30	20	10	
$\begin{array}{llllllllllllllllllllllllllllllllllll$			0,285	0,183	0,084	14,70±0,21 37,0±1 (500~600°C
\( \text{A} \int \text{M} \text{M} \text{M} \text{D} \text{M} \text{D} \text{M} \text{M} \text{D} \text{M} \text{D} \text{M} \text{M} \text{D} \t			1,89	0,14	0,08	, , , , , , , , , , , , , , , , , , , ,
$\Delta S_{mx}$ , Дж/(моль-град) . 2,18 1,98 1,59 1,00 $\Delta S_{mx}$ , Дж/(моль-град) . 2,18 1,98 1,59 1,00 $\Delta S_{mx}$ , Дж/(моль-град) . 2,18 1,98 1,59 1,00 $\Delta S_{mx}$ , Дж/(моль-град) . 2,18 1,98 1,59 1,00 $\Delta S_{mx}$ , Дж/(моль-град) . 2,18 1,98 1,59 1,00 $\Delta S_{mx}$ , Дж/(моль-град) . 2,18 1,23 $\Delta S_{mx}$ , Дж/(моль-град) . 2,18 1,29 2,45 1,35 $\Delta S_{mx}$ , Дж/(моль-град) . 2,24 1,65 9,43 5,49 $\Delta S_{mx}$ , Дж/(моль-град) . 2,24 1,65 9,43 5,49 $\Delta S_{mx}$ , Дж/(моль-град) . 2,24 1,65 9,43 5,49 $\Delta S_{mx}$ , Дж/(моль-град) . 2,25 1,65 9,43 5,49 $\Delta S_{mx}$ , Дж/(моль-град) . 2,25 1,65 9,43 5,49 $\Delta S_{mx}$ , Дж/(моль-град) . 2,25 1,65 9,43 5,49 $\Delta S_{mx}$ , Дж/(моль-град) . 2,25 1,65 9,43 5,49 $\Delta S_{mx}$ , Дж/(моль-град) . 2,25 1,65 0,18 0,15 0,13 $\Delta S_{mx}$ , Дж/(моль-град) . 2,25 1,65 0,18 0,15 0,13 $\Delta S_{mx}$ , Дж/(моль-град) . 2,26 1,21 1,65 0,13 $\Delta S_{mx}$ , Дж/(моль-град) . 2,26 1,26 1,26 1,26 1,26 1,26 1,26 1,26			2,56	2,10	1,33	метод калориметрический [100], $t=1100^{\circ}$ С, $c_{Au}=10.6\div 91.2\%$ (ат
Золото—галлий. Метод калориметрический [118]:  Соединение			1,98	1,59	1,00	$\Delta H_{mx} = -30.0N_{Au} + 11.77N_{Au}^2 + 18.23N_{Au}^3$ , кДж/моль.
Соединение $t_m^{-c}$ С $AH_m$ $AS_m$			nunoczuń [119	<b>Ω</b> ].		
Соедиение $\frac{1}{m}$ к $\frac{1}{1}$ к $\frac{1}{1}$ к $\frac{1}{1}$ к $\frac{1}{1}$ смоль град) $\frac{1}{1}$ го $\frac{1}{1}$		-		-		C % (at.) 90 . 80 . 70 . 60 . 50 . 40 . 00
АнСа 470 15, $(\Delta E - 1)$ 15, $(\Delta E - 1)$ 17, $(\Delta E - 1)$ 27, $(\Delta E - 1)$ 28, $(\Delta E - 1)$ 28, $(\Delta E - 1)$ 22, $(\Delta E - 1)$ 28, $(\Delta E - 1)$ 22, $(\Delta E - 1)$ 28, $(\Delta E - 1)$ 22, $(\Delta E - 1)$ 23, $(\Delta E - 1)$ 23, $(\Delta E - 1)$ 24, $(\Delta E - 1)$ 25, $(\Delta E - 1)$ 24, $(\Delta E - 1)$ 25, $(\Delta E - 1)$ 25, $(\Delta E - 1)$ 26, $(\Delta E - 1)$ 27, $(\Delta E - 1)$ 28, $(\Delta E - 1)$ 28, $(\Delta E - 1)$ 29,	Соединение $t_{m}$ , °С		/(моль · град	() <sup>с</sup> p, Дж/(мо	оль • град)	$a_{\text{All}} \cdot \cdot \cdot \cdot \cdot \cdot \cdot 0.84  0.60  0.37  0.19  0.08  0.03  0.01  0.020  0.03$
Метод калориметрический [100], $t=1100^{\circ}\mathrm{C}$ , $c_{\mathrm{Au}}=9.6+9.0.5\%$ (ат.): $\Delta H_{mx}=-33,38N_{\mathrm{Au}}+12,66N_{\mathrm{Au}}^2+20,72N_{\mathrm{Au}}^3$ , кДж/моль. $30лото-\text{еграманий}$ . Методы калориметрический [99], $t=1150^{\circ}\mathrm{C}$ и масс-спектрометрический ( $\gamma_{\mathrm{Au}}$ ) [119], $t=1400^{\circ}\mathrm{C}$ : $c_{\mathrm{Au}}$ , % (ат.)						$-\Delta U_{mr}$ ,
Метод калориметрический [100], $t=1100^{\circ}$ С, $c_{Au}=9,6+90,5$ % (ат.): $\Delta H_{mx}=-33,38N_{Au}+12,66N_{Au}^2+20,72N_{Au}^3$ , кДж/моль. $30$ лото—еерманий. Методы калориметрический [99], $t=1150^{\circ}$ С и масс-спектрометрический ( $\gamma_{Au}$ ) [119], $t=1400^{\circ}$ С: $c_{Au}$ , % (ат.)			-	•		кДж/моль 8,46 15,67 20,74 22,79 23,63 22,84 20,03 14,71 7,7
$\Delta H_{mx} = -33,38N_{\rm All} + 12,66N_{\rm All}^{\prime} + 20,72N_{\rm All}^{\prime}$ , кДж/моль. $30$ дого—германий. Методы калориметрический [99], $t=1150^{\circ}{\rm C}$ н масс-спектрометрический ( $\gamma_{\rm All}$ ) [119], $t=1400^{\circ}{\rm C}$ : $c_{\rm All}$ , % (at.)	Метод калориметричес	кий [100 <b>],</b> <i>t</i>	$t = 1100 ^{\circ}\text{C}, c_{I}$	$_{Au} = 9,6 \div 90,5$	5 % (ат.):	
$SOAOTO-$ - серманий. Методы калориметрический [99], $t=1150^{\circ}\mathrm{C}$ и масс-спектрометрический ( $\gamma_{\mathrm{Au}}$ ) [119], $t=1400^{\circ}\mathrm{C}$ : $C_{\mathrm{Au}}$ , % (ат.)	$\Delta H_{mr} = -33,38N_{Au} +$	$12,66N_{\rm Au}^2$ -	$+20,72N_{Au}^3$	кДж/моль.		C % (AT) 90 90 70 60 F0 40 0
масс-спектрометрический (γ <sub>Au</sub> ) [119], t=1400 °C:  c <sub>Au</sub> , % (ат)	Золото—германий. М	етолы кал	пориметричес	кий <b>[99].</b> <i>t=</i>	=1150°C и	a <sub>Au</sub> 0,86 0,80 0,72 0,64 0,61 0,57 0,55 0,51
$c_{Au}$ , % (at.) 90 80 70 60 50				,		$-\Delta G_{mx}$ , кДж/моль 0,52 4,74 5,24 5,28 5,07 4,69 4,19 3,60 2,68
$A_{mx}$ , к $\mu$ /ж/моль	a 94 (am)	90	80 70	60	50	
$-\Delta G_{mx}$ , кДж/моль . 5,03 4,38 10,98 12,40 13,16 $\Delta S_{mx}$ , Дж/(моль град) 1,76 3,23 4,48 5,32 5,87 $\gamma_{Au}$ 0,95 0,81 0,62 0,42 0,31 $-\Delta H_{mx}$ , кДж/моль						6 9/ () 00 00
$\gamma_{Au}$	$-\Delta G_{mx}$ , кДж/моль .	5,03	4,38 10,	98 12,40	13,16	
$C_{Au}$ , % (ат.) 40 30 20 10 $C_{Au}$ , % (ат.)	$\Delta S_{mx}$ , Дж/(моль град	) 1,76		48 5,32		1,73 2,75 3,70 4,20 4,40 4,25 3,75 2,70 b
$c_{Au}$ , % (ат.) 40 30 20 10	γ <sub>Au</sub>	. 0,90	0,61 0,0	2 0,42	0,01	Золото—никель. Метол эффузионный [194] + 1547.90
$A = A B_{mx}$ , кДж/моль				•		
$-\Delta G_{mx}$ , кДж/моль	$c_{\mathbf{A}\mathbf{u}},\ \%$ (at.)	. 40				
$\Delta S_{mx}$ , Дж/(моль град) 5,91 5,61 4,78 3,02 $\gamma_{Au}$	$-\Delta H_{mx}$ , кДж/моль .	4,31				
$\Delta S_{mx}$ , Дж/(моль град) 5,91 5,01 4,78 3,02 $\gamma_{Au}$ 0,23 0,18 0,15 0,13 38 3,00 ото-железо. Методы эффузионный ( $\Delta G_{mx}$ ) [120], $t=1350^{\circ}\mathrm{C}$ и распределения ( $a_{Au}$ ) [121]: $\Delta S_{mx}^{E}$ , Дж/ $\Delta S_{mx}^{E}$ , $\Delta S_{mx}^{$						10F - 1
$A_{Au}$	аз <sub>тх</sub> , дж/(моль · град)					$\Delta G_{mx}$ Дж/моль 87 221 375 528 653 727 725 620 38
Золото—железо. Методы эффузионный ( $\Delta G_{mx}$ ) [120], $t=1350^{\circ}\mathrm{C}$ и распределения ( $a_{\mathrm{Au}}$ ) [121]: $ c_{\mathrm{Au}}$ , % (ат.) 90 80 70 60 — $\Delta G_{mx}$ , кДж/моль 5,28 7,88 9,34 10,01 $a_{\mathrm{Au}}$ при $t$ °C: $ c_{\mathrm{Au}}$ при $t$	YAu	. 0,20	0,16	0,15	0,13	$\Delta S_{mr}^{E}$ , $\Pi x$ /
и распределения $(a_{\Lambda u})$ [121]: $a_{\Lambda u}$ , % $(a\tau)$ , 90 80 70 60 $-\Delta G_{mx}$ , кДж/моль 5,28 7,88 9,34 10,01 $a_{\Lambda u}$ при $t$ °C: $a_{\Lambda$	Золото—железо. Мето	оды эффузі	ионный ( $\Delta G$	$_{mx}$ ) [120],	$t = 1350 ^{\circ}\text{C}$	
$c_{\text{Au}}$ , % (ат.) 90 80 70 60 — $\Delta G_{mx}$ , кДж/моль 5,28 7,88 9,34 10,01 3олото—олово. Метод калориметрический [118]: $a_{\text{Au}}$ при $t$ °C: $t_m = 418$ °C; $\Delta H_m = 12,32 \pm 0,21$ кДж/моль, $\Delta S_m = 17,81 \pm 0,29$ Дж/(моль град),	и распределения $(a_{Au})$ [12]	1]:	·	, ,		$a_{\text{Au}}$ 0,898 0,796 0,695 0,598 0,504 0,413 0,322 0,227 0,15
$-\Delta G_{mx}$ , кДж/моль 5,28 7,88 9,34 10,01 3олото—олово. Метод калориметрический [118]: $t_m=418$ °C; $\Delta H_m=12,32\pm0,21$ кДж/моль, $\Delta S_m=17,81\pm0,29$ Дж/(моль град),	$c_{A_{11}}, \% (at.)$	. 90	80	70	60	
$a_{\mathrm{Au}}$ при $t$ °C: $t_{m}=418$ °C; $\Delta H_{m}=12,32\pm0,21$ кДж/моль, $1200\ldots0,855$ 0,718 0,570 0,475 $\Delta S_{m}=17,81\pm0,29$ Дж/(моль град),	$-\Delta G_{mx}$ , кДж/моль	. 5,28	7,88	9,34	10,01	Золото-олово. Метод калориметрический [118]:
$\Delta S_m = 17.81 \pm 0.29  \text{Дж/(моль·град)},$	$a_{Au}$ при $t$ °C:					$t_m = 418 ^{\circ}\text{C};  \Delta H_m = 12.32 \pm 0.21  \text{KH} \text{K/MOJIA}$
						$\Delta S_m = 17.81 + 0.90 \text{ Tw//som}$
1300 0,855 0,700 0,540 0,420 $c_p = 37.1 \pm (418 \sim 600)$ Дж/(моль град).	4000					
	1300	. 0,855	0,700	0,540	0,420	$c_p = 3/,1 \pm (418 \sim 600)$ Дж/(моль град).

Метод калориметрический [100], t=1100 °C,  $c_{\rm Au}$ =10,9—90,1 % (ат.)

 $\Delta H_{mx} = -26,36N_{\rm Au} + 20,42N_{\rm Au}^2 + 5,94N_{\rm Au}^3$ , кДж/моль.

Метод эффузионный [125], t=1600 °C:

 $c_{\rm Au}$ , % (ат.) . . . 90 80 70 60 50 40 30 20 10 —  $\Delta H_{mx}$ , кДж/моль 5,56 9,90 13,01 14,82 15,40 14,82 13,01 9,90 5,51  $\gamma_{\rm Au}$  . . . . . . . . 0,94 0,78 0,58 0,41 0,30 0,24 0,20 0,16 0,12

Золото—свинец. Метод э. д. с. [126], t=927 °C:

 $c_{Au}$ , % (ат.) . . 90 80 70 60 50 40 30 20 10  $-\Delta G_{mx}$ , кДж/моль . . 4,48 7,12 8,76 9,60 9,81 9,34 8,42 6,87 4,40  $-\Delta H_{mx}$ , Дж/моль . . 258 486 599 696 754 645 478 235 25  $\Delta S_{mx}$ , Дж/(моль · град) 3,52 5,53 6,79 7,42 7,54 7,25 6,62 5,53 3,65 40.1 . . . . 0,883 0,745 0,603 0,469 0,350 0,259 0,184 0,103 0,039

Золото-сурьма. Метод калориметрический [118]:

 $t_m = 460$  °C;  $\Delta H_m = 18,65 \pm 0,34$  кДж/моль;

 $\Delta S_m = 25,43 \pm 0,46 \ \text{Дж/(моль град)};$ 

 $c_p = 37.6 \pm 1 (460 \sim 600)$  Дж/(моль град).

Метод переноса в струе инертного газа [113], t=1000 °C:

 $c_{\rm Au}$ , % (ат.) . . 90 80 70 60 50 40 30 20 10 —  $\Delta H_{mx}$ , кДж/моль . . 13,07 19,94 20,57 17,73 15,55 11,61 7,33 4,02 1,34  $\Delta G_{mx}$ , кДж/моль . . 6,24 9,55 11,10 11,73 11,36 10,06 8,13 5,70 3,10  $a_{\rm Au}$  при t, °C:

1000 . . . . 0,006 0,016 0,033 0,065 0,118 0,216 0,348 0,530 0,804 1100 . . . . 0,007 0,017 0,043 0,085 0,156 0,272 0,415 0,588 0,830 1200 . . . . 0,008 0,018 0,053 0,105 0,191 0,315 0,473 0,646 0,850

Золото-теллур. Метод калориметрический [118]:

 $t_m = 464$  °C;  $\Delta H_m = 15,88 \pm 0,29$  кДж/моль;

 $\Delta T_m = 21.54 \pm 0.38$  Дж/(моль град);

 $c_p = 36,83 \pm 1 \text{ (464}{\sim}600) \ Дж/(моль·град)$ 

Методы калориметрический ( $\Delta H_{mx}$ ,  $\Delta S_{mx}$ ) и эффузионный ( $a_{Au}$ ) [115], t=1008 °C:

$c_{\text{Au}}$ , % (at.)	90	80	70	60	50
$\Delta H_{mx}$ , кДж/моль	11,27	10,18	7,58	4,86	2,89
$\Delta S_{mx}$ , Дж/(моль $\cdot$ град).					
<i>a</i> <sub>Au</sub>	0,899	0,798	0,687	0,535	0,377

				Продолжение
c <sub>Au</sub> , % (ат.)	40	30	20	10
$\Delta H_{mx}$ , кДж/моль	1,89	1,34	0,84	0,34
$\Delta S_{mx}$ , Дж/(моль·град)	10,64	9,18	7,21	4,36
$a_{\Lambda u}$	0 <b>,2</b> 36	0,139	0.076	0,032

Золото—цинк. Метод э. д. с. [116], t = 750 °C:  $c_{Au}$ , % (ат.) . . . . . 90 80 7

70 60 50  $-\Delta H_{mx}$ , кДж/моль. 8,14 15,71 21,03 24.05 24.51  $-\Delta G_{mr}^{E}$ , кДж/моль . . 6,35 12,19 16.59 19.44 20,28  $a_{\Lambda_{11}} \dots 0,840$ 0.6290.366 0.1320,042

Продолжение

c <sub>Au</sub> , % (ат.)	40	30	<b>2</b> 0	10
$-\Delta H_{mx}^{E}$ , кДж/моль	22,75	18,77	13,32	7,04
$-\Delta G_{mx}$ , кДж/моль.	19,15	16,43	11,86	6,54
$a_{\mathrm{Au}} \cdot \cdot \cdot \cdot \cdot \cdot \cdot \cdot \cdot$	0,010	0,001	0,000	0,00

Сплавы родия Родий—кремний, медь, олово. Метод эффузионно-торзионный [127] (табл. 3.22).

ТАБЛИЦА 3.22 ТЕРМОДИНАМИЧЕСКАЯ АКТИВНОСТЬ РОДИЯ В РАСПЛАВАХ Rh—SI, Rh—Cu, Rh—Sn

Система, t, °C		c <sub>Rh</sub> , % (ат.)						
Cherema, 1, C	80	70	60	50	40	30	20	10
Rh—Si, 1700 Rh—Cu, 1600 Rh—Sп, 1600	0,718  0,681	0,519 0,786 0,481	0,327 0,730 0,269	0,192 0,683 0,070	0,108 0,627 0,021	0,059 0,533 0,012	0,021 0,403 0,009	0,006 0,241 0,008

Метод калориметрический [128],  $\Delta H_{mx}$  [(Rh+Sп)<sub>нас.р-р</sub>  $\stackrel{!}{\leftarrow}$  Rh $\rightarrow$ RhSп<sub>4</sub>]: t, °C . . . . . . 427 452 477 502  $-\Delta H_{mx}$ , кДж/моль 40,35 $\pm$ 0,50 40,27 $\pm$ 0,59 36,41 $\pm$ 0,50 35,28 $\pm$ 0,29

Сплавы иридия

Иридий—лантан, празеодим, церий. Метод эффузионный [129],  $t=1527 \div 2027$  °C,  $\Delta G_{mx} = A + B(t + 273)$ , к $\Pi \varkappa$ /моль:

Соединение	A	B
Ir <sub>5</sub> La	172	0,008
$Ir_5Pr$	264	-0,021
Ir <sub>5</sub> Ce	176	0,017

Сплавы палладия				Про
Палладий—алюминий. Метод калориметрический [130], $t=1700^{\circ}\mathrm{C}$ :	$c_{ m Pd}$ , % (ат.)	40	30	20_
$c_{\rm Pd}$ , % (at.) 90 80 70 60 50	$-\Delta H_{mx}$ , кДж/моль	51,24	39,41	<b>26,7</b> 3
$-\Delta H_{mx}$ , кДж/моль 19,09 39,49 52,36 53,09 52,11	$a_{pd}$	0,12	0,08	0,06
Продолжение	Палладий—марганец.	Метол э. л. с.	. [70]. $t=16$	600 °C:
$c_{\rm Pd}, \ \% \ (a\tau.) \ \ldots \ 40 \ 30 \ 20 \ 10$	c <sub>Pd</sub> , % (ат.)			4,6 43,7
$-\Delta H_{mx}$ , кДж/моль 49,60 44,20 32,23 17,07	$-\Delta H_{mx}$ , кДж/моль.	3,4		5,5 5,5
$\Pi$ алла $\partial$ ий—вольфрам. Метод эффузионный [131], $t$ =1700 °C:	$-\Delta S_{mx}^{E}$ , Дж/(моль град)	0,5	-	0,8 0,8
$\epsilon_{\mathrm{Pd}}$ , % (at.) 90 80 70 60 50	- mx (	- / -		-,-
$a_{\rm Pd}$ 0,785 0,625 0,490 0,393 0,308				Про
. Продолжение	$c_{ m pd}$ , % (ат.) $\ldots$ .	25,5	18,0	11,0
$c_{\mathrm{Pd}},\ \%$ (at.) 40 30 20 10	— $\Delta H_{mx}$ , кДж/моль .	4,4	3,5	2,4
$a_{\rm Pd} \dots 0,061$	— $\Delta S^E_{mx}$ , Дж/(моль $\cdot$ град)	0,5	0,5	0,2
Палладий—железо. Метод эффузионный [131], $t=1600^{\circ}\mathrm{C}$ :	Палладий—медь. Мето	ол эффузионн	ый [131 <b>].</b> <i>t</i>	=1500 °C:
$c_{\rm Pd}, \% \text{ (at.)} \dots 90 80 70 60 50$	$c_{\mathrm{Pd}},\ \%$ (at.)		30 70	
$a_{\rm Pd} \dots \dots 0,900  0,804  0,725  0,642  0,574$	$a_{\mathrm{pd}}$		845 0,7	
Продолжение	up <b>a</b>	.,		
				Про
$c_{\rm Pd}$ , % (at.) 40 30 20 10 $a_{\rm Pd}$ 0,498 0,405 0,287 0,151	$c_{ m Pd}$ , $\%$ (ar.) $\dots$	40	30	20
$a_{\rm Pd}$ метод э. д. с. [69], $t=1600^{\circ}$ С:	$a_{\mathrm{Pd}}$	0,474	0,370	0,251
$c_{\rm pd},~\%~({\rm ar.}) \cdot \cdot \cdot \cdot \cdot \cdot \cdot 82 = 55 = 34 = 18 = 5$	Метод э. д. с. [69], $t=$	1600 ℃:		
$\Delta G_{mx}^E$ , кДж/моль 1,80 3,10 2,80 1,90 0,67	$c_{ extsf{Pd}},\ \%$ (at.)	84	58	40 20
	$\Delta  G^E_{mx}$ , к $oxtlue{\Box}$ ж/моль .	0,56	0,83 0	,95 0 <b>,65</b>
Палладий—кобальт. Метод эффузионный [131], $t=1600^{\circ}\mathrm{C}$ :				
c <sub>Pd</sub> , % (ar.) . 90 80 70 60 50 40 30 20 10	Палладий—ник <b>е</b> ль. М	етод эффузио	-	
$a_{\text{Pd}} \cdot \cdot \cdot \cdot 0,9100,8210,7310,6450,5600,4700,3660,2620,146$	$c_{\mathrm{Pd}}$ , % (at.)		0 70	
Метод э. д. с. [69], $t=1600$ °C:	$a_{\mathrm{Pd}}$	0,900 0,8	805 0,75	20 0,642
$c_{\rm Pd}$ , % (ar.) 84 56 36 19 5				Прос
$\Delta  G^E_{m_X}$ , кДж/моль 1,10 1,80 1,80 1,20 0,43	$c_{\mathrm{pd}}$ , % (ат.)	40	30	20
	$a_{\mathrm{pd}}$ , $m$ (al.)	0,470	0,384	0,273
Палладий—кремний. Метод калориметрический [132], $t=1600^{\circ}\mathrm{C}$ :	_	•	0,001	0,210
$c_{\rm Pd}$ , % (ar.) 90 80 70 60 50	Метод э. д. с. [69], $t=$			n# 40
$-\Delta H_{mx}$ , кДж/моль 24,74 44,86 56,41 55,27 54,49	$c_{\mathrm{Pd}}$ , % (at.)			35 19
$a_{\text{Pd}} \cdot \cdot \cdot \cdot \cdot \cdot \cdot \cdot \cdot 0,90  0,79  0,64  0,42  0,24$	$\Delta G_{mx}^E$ , кДж/моль $$ .	1,10	1,90 1	,80 1,20 (

Продолжение 10

13,50

0,03

34,0

5,7

0,7

Продолжение

5,0

4,3 0,2

**5**0

0,575

0,144

50

0,550

10

0,144

Продолжение

6 0,43

Продолжение 10

6

0,24

Метод калориметрическ	кий [132], <i>t</i> =1	600°C:			Паллади	ий—теллур. М	іетод эффу	узпонный [	[134], t=	900 °C:	
с <sub>Pd</sub> , % (ат.)	90 8	60 70	60	50	$c_{ m Pd}$ , % (ат.)		90	80	70	60	<b>5</b> 0
$\Lambda H_{mx}$ , кДж/моль	0,16 0,	30 0,61	0,75	0,81		<b>]</b> ж/моль	7,25	10,50	12,10	12,70	12,75
$a_{\mathrm{pd}}$	0,80 0,	70 0,60	0,50	0,42	$a_{ ext{Pd}}$		0,737	0,526	0,397	0,303	0,230
			Продо	олжение	Ť					$\Pi_{I}$	одолжение
$c_{ m pd}$ , % (ат.)	40	30	20	10	$c_{\rm Pd}$ , % (at.)		40	30		20	10
$\Delta H_{mx}$ , кДж/моль	0,67	0,70	0,46	0,18	$-\Delta G_{mx}$ , $\kappa$		12,10	11,10	0 9	,04	6,15
$a_{\mathrm{Pd}}$	0,42	0,36	0,19	0,14	$a_{ ext{Pd}}$		0,167	0,10	06 0	,051	0,017
Палладий—олово. Мето	о <b>д эффузио</b> нн	ю-т <i>о</i> рзионны	ıй [127], <i>t</i> =	1600 °C:	Сплавы пла Платина—ж	тины елезо. Метод	эффузион	ный [135],	t = 1620	°C:	
с <sub>ра</sub> , % (ат.)	90 80	70	60	50	$c_{pt}$ , %	% <b>(</b> ат.) .	60 50	40	30	20	10
-	), <b>856 0,6</b> 6		0,163	0,072	$a_{ m Fe}$ .	0	,047 0,11	0 0,308	0,545	0,580 (	0,765
uPd · · · · · · · · · · · · · · · · · · ·	0,000	. 0,1		олжение	Платино	ı—коб <b>альт</b> . М	етод эффу	знонный [	135], <i>t</i> =	1600°C:	
c <sub>Pd</sub> , % (ат.):	40	30	20	10		. ,	60 50	_	32	30	20
$a_{\mathrm{Pd}} \cdots \cdots$		0,016	0,002	0,01	$a_{\mathrm{Co}}$ .	0	,060 0,15	0.350	0,500	0,530	0,760)
<i>Палладий—свинец.</i> Мет			-727 °C:		Платино [127] (табл.	1—кремний, з 3. <b>23</b> ).	иедь, олов	во. М <b>е</b> тод	ү эффу		
c <sub>pd</sub> , % (ат.)	90	80	70 60	<b>5</b> 0	mp.vo.	<b>І</b> ИНАМ <b>ИЧЕС</b> К.	ta Avain	HOGEL TH	\$ TT 3 Y 1 T. T		<i>БЛИЦА 3.2</i> 8
$-H_{mx}$ , кДж/моль		25,2 26	6,4 25,7	24,4	1EPMO)	цинамическ	-	-Cu, Pt-Sn		D PACIF	IADAA
$-\Delta G_{mx}$ , кДж/моль		8,0 10	0,0 11,2	11,6		1		c <sub>Pt</sub> , % (	ar.)		
$-\Delta S_{mx}$ , Дж/(моль град)		15,8 16	6,2 15,7	14,6	Снстема, t, °С	90   80	70	60 50	40	30	20   10
$-\Delta S_{mx}^E$ , Дж/(моль·град)		19,8 20	9,9 20,8	19,7		1 1	1 1	1	1 10 1	00	1
$a_{\mathrm{Pd}}$ при $t$ , °C;					Pt-Si, 1700		2 0,583 0,	404 0,253	0,141	0,080	0,039 0,009
677			0,45 0,30 0,53 0,39		Pt—Cu, 1600 Pt—Sn, 1600	0,700	$0,043 \mid 0,043 \mid 0,000$	,475   0,304 ,229   0,065	0,165	0,063	0,018 0,007 0,006 0,002
777		0,74	0,59 0,44		Пастии	ı—медь. Мето	n oddysu	ามยะเซี [136	1 + 135	52 °C ·	
			Продо	олжение	c <sub>pt</sub> , % (	ar.) - A		— Δ Н <sub>тх</sub> , кДж/моль	-	S <sub>ma:</sub> ,	$a_{ m Pt}$
$c_{\mathrm{pd}}$ , % (at.)	40	30	20	10	10	ида	к/моль 5,67	кдж/моль 8,17		оль·град) ),31	0,008
$-\Delta H_{mx}$ , кДж/моль		20,0	16,0	10,4	26		5,38	13,93		,89	0,089
$-\Delta G_{mx}$ , кДж/моль	11,2	10,0	8,0	5,0							
$-\Delta S_{mx}$ , Дж/(моль·град)		10,9	8,0	4,6	=1800 °C:	а—никель. М	етод эффу	узионныи	[130] [1	=1000 C	., [13/] =
$-\Delta S_{mx}^{E}$ , Дж/(моль·град)		15,0	11,4	6,5	Cps., % (ar.)		90	80	70	60	50
$a_{\mathrm{Pd}}$ при $t$ , °C:					$a_{\text{Ni}}$ nph $t$ , °C						
677			0,02	0,01			-	-			0,20
727			0,04 0,06	$0,02 \\ 0,02$			0,910	0,825	0,730	0,637	0,540
80					6688						81

			11	пооблистис
$\epsilon_{ m Pi}$ , % (ат.)	40	30	20	10
$a_{\rm Ni}$ при $t$ , °C:				
1600	0,36	0,53	0,76	
1800	0,465	0,354	0,250	0,125

# 4

# ФИЗИЧЕСКИЕ, МЕХАНИЧЕСКИЕ И ХИМИЧЕСКИЕ СВОЙСТВА БЛАГОРОДНЫХ МЕТАЛЛОВ В ТВЕРДОМ СОСТОЯНИИ

### 4.1. Кристаллическая структура

Металлы платиновой группы, золото и серебро относятся к переходным элементам, которые характеризуются высокой прочностью межатомной связи. Природа межатомной связи в первую очередь определяет кристаллическую структуру и физические свойства металлов и сплавов. Характер и сила межатомной связи в металлах и металлических фазах определяются энергетическим состоянием электронов в кристаллической

решетке. Некоторые параметры благородных металлов приведены в табл. 4.1.

Thodo menuna

Благородные металлы обладают кристаллической структурой с наиболее плотной атомной упаковкой (координационное число 12): гексагональной плотноупакованной (г. п. у) и гранецентрированной кубической (г. ц. к.) (см. табл. 4.1). Кристаллические структуры и параметры атомов благородных металлов приведены по данным работ [9, 138—142]. Ниже приведены результаты изменения периода решетки золота в зависимости от температуры [140]:

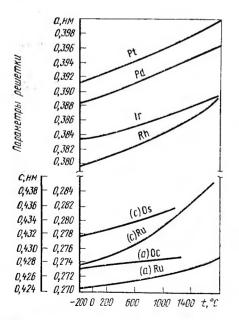


Рис. 4.1. Зависимость параметров решетки металлов платиповой группы от температуры

t, °C - · · · ·	17	51	99	143	204
$a$ , $\operatorname{HM} \cdot \cdot \cdot \cdot \cdot$	0,40782	0,40798	0,40830	0,40854	0,40888
t, °C · · · · ·	245	320	336	390	425
$a$ , HM $\cdot$ $\cdot$ $\cdot$	0,40915	0,40959	0,40972	0,41006	0,41033

Влияние температуры на перподы решетки платиновых металлов приведены на рис. 4.1 [140].

Плотность. Благородные металлы по плотности следует разделить на две группы: легкие и тяжелые. Плотность благородных металлов, полученная экспериментально и рассчитанная по [142], приведена в табл. 4.1.

### 4.2. Электронная структура и поверхность Ферми

Структура валентных электровных оболочек изолнрованных атомов благородных металлов приведена в табл. 4.1. Условия существования атома в решетке кристалла резко отличаются от условий, в которых находится изолированный атом, однако энергетические состояния электронов в периодическом поле кристалла возникают из энергетических состояний свободного атома. Дискретные уровни при сближении свободных атомов в кристалле размываются в широкне энергетические полосы — зоны Бриллюэна. Форма этих зон обусловлена кристаллической структурой.

Нанболее полное объяснение свойств металла можно получить с помощью представлений о поверхностн Ферми, ее форме, площади, плотности состояний. Поверхность Ферми — это изоэнергетическая поверхность в пространстве квазинмпульсов, отделяющая заполненные электронные состояния от незаполненных. Форма и топологические особенности поверхности Ферми того или иного металла определяются взапиодействием электронных воли с атомными плоскостями кристалла (отражения Вульфа — Брэгга) и числом ковалентных электронов [9, 143]; экспериментальное построение поверхностей Ферми металлов основано на изучении ряда физических свойств (рис. 4.2). Некоторые экспериментальные методы построения различных параметров поверхности Ферми приведены в работе [143].

В приближении свободных электронов поверхности Ферми серебра и золота, которые подобно меди являются одновалентными г. ц. к. металлами, должны быть сферами, полностью помещающимися внутри зоны Бриллюэна. Однако следует ожидать, что поверхности Ферми серебра и золота, так же как и меди, будут существенно искажены и возникнет касание с гексагональными гранями зоны Бриллюэна. Существование открытых орбит как в серебре, так и в золоте было установлено в экспериментах по измерению магнитосопротивления (рис. 4.3): в результате оказалось, что модель поверхности Ферми, предложенная Пиппардом для меди, хорошо описывает эти поверхности для серебра и золота. Этот вывод в дальнейшем был подтвержден как для серебра, так и для золота предварительными результатами исследования эффекта де Гааза ван Альфена и несколькими измереннями поперечных размеров с помощью магнитоакустических геометрических осцилляций [143].

Хотя формы поверхностей Ферми меди, серебра н золота подобны, интересно проследить изменение величины искажений сферической новерхности Ферми для свободных электронов у этих металлов. Поверхность Ферми серебра менее всего отличается от сферы свободных электронов у втих металлов.

138 - 142
<u>.</u>
METAJIJOB
 БЛАГОРОДНЫХ
CTPVKTVPA

			11					
Свойство (параметр)	Рутений	Родий	Палладий	Серебро	Осмий	Ириднй	Платина	Золото
Атомный номер	44	45	46	47	92	77	78	79
Атомная масса	101,07	102,9055	106,4	107,870	190,2	192,2	195,09	196,967
Атомный объем, 10-6 м³/моль	8,177	8,286	8,859	10,27	8,419	8,516	9,085	10,20
Атомный радиус, нм .	0,134	0,134	0,137	0,144	0,135	0,1635	0,138	0,144
Кристаллическая струк- тура	Г. п. у.	Г. ц. к.	Г. ц. к.	Г. ц. к.	Г. п. у.	Г. ц. к.	Г. ц. к.	Г. ц. к.
Тип структуры	Mg (A3)	Cu (A1)	Cu (A1)	Cu (A1)	Mg (A3)	Cu (A1)	Cu (A1)	Cu (A1)
Параметры решетки, нм: а	0,27054	0,38038	0,38895	0,40362	0,27342	0,38387	0,39224	0,40786
	0,42825	I	ı	I	0,43194	i	ł	Į
<i>c/a</i>	0,15820	I	1	l	0,15799	I	ı	I
_	_	_	_					

0,2884	$2d^{10} s^{1}$	2,3	1, 111	0,137	9,22	19,32	ı	+++ 1,50 1,68
0,27762	5d <sup>9</sup> 6s <sup>1</sup>	2,2	II, IV	0,064	0,6	21,45	21,473	5,
 0,27160	5d <sup>7</sup> 6s <sup>2</sup>	2,1	III, IV	0,065	6	22,65	22,572	+1,15
0,26769 0,37395	5d° 6s²	2,1	IV, VI, VIII	0,065	8,7	22,61	22,59	+0,85
0,2889	4d <sup>10</sup> 5s <sup>1</sup>	1,9	11111	0,113	7,574	10,49	1	+2- +0,7994
0,27526	4d10	2,1	П, ТУ	0,064	8,33	12,02	12,01	+0,987
0,26916	4d <sup>8</sup> 5s <sup>1</sup>	2,1	Ш	0,065	7,46	12,41	12,419	+0,8
0,26518	4d <sup>7</sup> 5s <sup>1</sup>	2,0	III, IV, VI,	0,062	7,364	12,45	12,366	+0,45
Межатомное расстояние, им	Электронная конфигура- ция свободных атомов.	Электроотрицательность	Химическая валентность	Ионный радиус, нм	Первый потенциал иони- зации, В	Плотность при 20°C, 10-3 кг/м³; эксперимент	расчет [142]	Нормальные окислительные потенциалы (и. в. э.) при 25°С

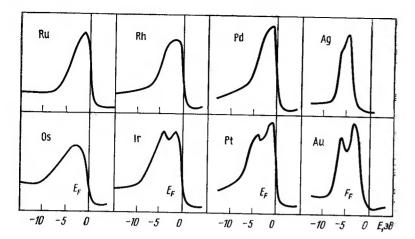
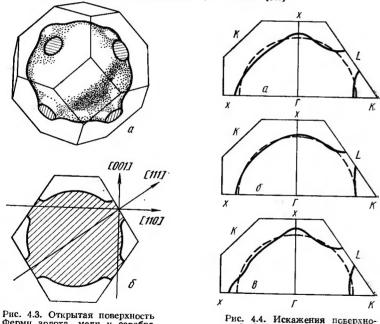


Рис. 4.2. Плотность состояний благородных металлов, полученная при измеренин рентгеновской фотоэмиссии [143]



тронов, поэтому следует ожидать, что раднус перешейка в серебре будет меньше, чем в меди и золоте, как это действительно имеет местс (рис. 4.4).

стей Ферми меди (а), серебра-

(б) и золота (в) [143]

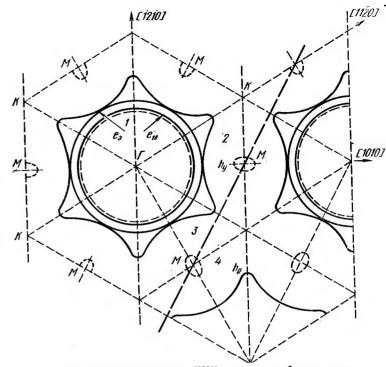


Рис. 4.5. Сечение плоскостью (0001) поверхности Ферми осмия: 1 — электрониая поверхность; 2 — дырочный эллнпсоид (M); 3 — открытое орбитальное направление  $(h_y)$ ; 4 — открытаи дырочная поверхность  $(h_0)$ 

На основании исследования гальваномагнитных свойств монокристаллов осмия было сделано заключение, что электронная поверхность Фермн осмия является открытой и представляет собой сетку гофрированных цилиндров с гексагональной симметрией. Исследования эффекта ле Гааза — ван Альфена подтверднии открытую поверхность Ферми осмия. На рис. 4.5 приведено центральное поперечное сечение плоскостью (0001) модели поверхности Фермн осмня на основе расчета энергетических полос и экспериментальных данных исследования эффекта де Гааза — ван Альфена [9, 143].

Поверхиость Ферми рутення состоит из шести листов, сечения которых плоскостями симметрии зоны Бриллюэна показана на рис. 4.6. Объемная модель поверхности Ферми была построена в работе [144]. Из приведенных сечений видно, что имеются три замкнутые дырочные поверхности эллипсоидальной формы, центрированных в точках L, Uи Г (лист Г1) зоны Бриллюэна, и две замкнутые электронные поверхности с центром  $\Gamma$  ( $\Gamma_2$  и  $\Gamma_3$ ). Кроме замкнутых поверхностей имеется открытая многосвязная дырочная поверхность, представляющая собой совокупность дырочных плоскостей, центрированных в точке М и соединениых друг с другом «шейками» L и К. Дырочные эллипсоиды, центрированные в точке L, лежат внутри шеек и касаются их поверхности в направлении LA зоны Бриллюэна. Число дырок внутри замк-

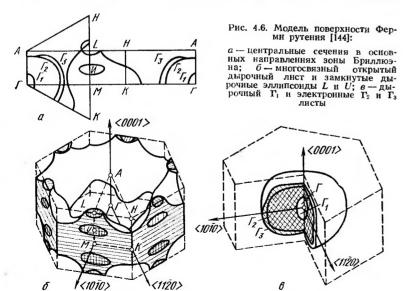
Ферми золота, меди и серебра

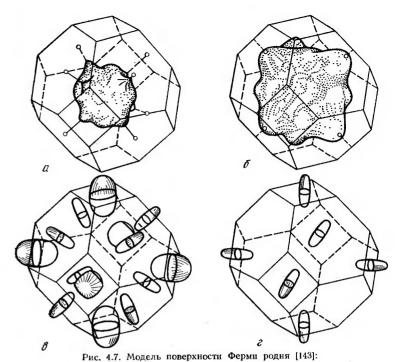
(а), сечение плоскостью (110)

нутых дырочных листов L, U,  $\Gamma$  и дырок, ограниченных открытой многосвязной поверхностью в пределах одной зоны Бриллюэна, равно числу электронов внутри замкнутых электронных листов Г2 и Г3. Результаты измерения гальваномагнитных свойств хорошо согласуются с предложенной моделью поверхности Ферми рутения. На основании эффекта де Гааза — ваи Альфена предложена модель электронной поверхности Ферми закрытого типа родия (рис. 4.7). Теоретический расчет поверхности Ферми родия хорошо совпадает с экспериментальными данными. Теоретический расчет электронной структуры иридия, исследования эффекта де Гааза — ван Альфена и гальваномагнитных свойств на монокристаллах иридия показали, что иридий аналогично родию является некомпенсированным металлом, имеет замкнутую поверхность Ферми, состоящую на двух дырочных и двух электронных листов, причем разность объемов этих листов соответствует одному электрону на атом.

Теоретические расчеты и результаты измерения гальваномагнитных свойств и эффекта де Гааза - ван Альфеиа показали, что палладий и платина являются компенсированными металлами, поверхность Ферми которых состоит из двух дырочных и электронных листов. При этом электронная поверхность Ферми палладия закрыта аналогично поверхности родия (рис. 4.8) и иридия. Дырочная поверхность Ферми падладия открытая и имеет вид пространственной сетки дырочных цилиндров, направленных параллельно осям 4 порядка (рис. 4.8). Узкая дырочная полоса обеспечивает высокую плотность состояний палладия на уровне Ферми. Малое число носителей, связанных с замкнутой электронной поверхностью, и малая их скорость объясняют низкое значение электропроводности палладия. На основании исследования оптических свойств палладия [145] было подтверждено предположение, ранее высказанное в ряде работ, что структура энергетических полос палладия близка к структуре полос меди.

Электронная структура платины аналогична электронной структуре палладия. Модель поверхности Ферми и параметры Ферми платины





а н б -- электронные поверхности: в и г -- дырочные карманы

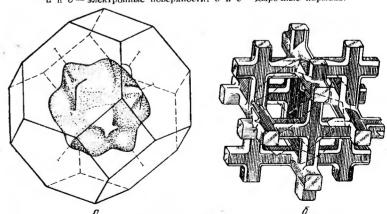


Рис. 4.8. Модель поверхности Ферми палладия [9, 143, 145]: а - электронная поверхность; 6 - дырочная поверхность

приводятся на основании теоретических расчетов, исследования эффекта де Гааза -- ван Альфеиа, изучения гальванических и оптических свойств [143].

# изотопы благородных металлов

Энергня излучения, МэВ	у-лучей	7	0,0145; 0,340; 0,640; 1,110 См. схему распала на рис. 4.9  См. схему распала на рис. 4.9  См. схему распала на рис. 4.9  0,655 0,335; 0,615; 0,89; 1,26; 1,41 См. схему распала на рис. 4.9	
Энергня	частиц	9	0,128 (28%), 0,202 (70%), 0,374 (1%), 0,695 (1%) (1,150 0,0392 0,74 (3,6%), 0,54 (3,6%), 0,54 (3,6%), 1,26 (13%), 2,07 (39%), 1,26 (13%), 2,07 (39%),	
Период	полураспада	5	2,44 сут 2,44 сут ————————————————————————————————————	_
Тип поспода	тип распада	4	E. E	
Спин, h/2л;	(+) (+)	3	5/2+	-
Распростра-	ненность, %	2	2,2 12,8 17,0 31,0 17,0 17,0 18,3	-
Изолоп		1	94Ru 95Ru 95Ru 99Ru 100Ru 101Ru 102Ru 103Ru 105Ru 105Ru 105Ru 105Ru 105Ru 107Ru 107Ru 107Ru 107Ru 107Ru 107Ru 107Ru 107Ru 107Ru 107Ru 107Ru	•

0,300; 0,148 0,125; 0,200; 0,475; 0,685; 0,725; 0,79; 1,08 0,052; (0,556; 0,745; 0,78; 0,93; 1,34; 1,53) 0,556; 1,24 0,130 C.m. cxewy pacnaza Ha phc. 4.9 0,132 0,132 0,132 0,132 0,132 0,132 0,132 0,132 0,14; 0,275; 0,42; 0,67 0,99; 1,8 0,288; 0,59; 0,72; 1,19; 1,28 0,208 0,200 0,200 0,200	
1,0 [β-]; 1,1 [β+]  0,3; 0,48  2,44 (98%) 1,88 (1,85%) 0,56 (35%); 0,247 (65%) 3,53 (68%); 3,1 (11%); 2,44 (12%); 2,0 (3%), другие (6%)  22,0 0,58	
210 cyr 57 muh 4,3 muh 4,3 muh 44 c  44 c  45 c  36,5 u  17 muh 22 muh 4,0 cyr 8,5 cyr 17,0 cyr  17,0 cyr  7.10 <sup>6</sup> лет  4,8 мин 4,8 мин	
$\begin{array}{cccccccccccccccccccccccccccccccccccc$	
100 100 100,8 100,8 100,8 100,8 100,8	
101Rh 102Rh 103Rh 104mRh 104mRh 105mRh 105Rh 105Rd 105	

Продолжение табл. 4.2	Энергия излучения, МэВ	the state of	TO CO. A	04 0400	рис. 4:9		0,10; 1,77	0,38; 0,56; 0,65; 0.73	0,0185	1	0 554: 0 764	0,118; 0,556; 0,148; 0,179	См. схему распада на			CH CHERTON WOOND W	puc. 4.9	0,094	См. схему распада на	рис. 4.9	0,0875	См. схему распала на	рнс. 4.9	
	Энергия	частиц	9	0,961		ΙΙ		2,13	0,28	1 [	6,1	2,70	I	1,96 (83 %); 1,45	(17 %) [8+]	[_d] oc'o			1,15 (1%); 1,77	(% 66)	ŀ	0,087 (58 %);	0,530 (35 %); 2,12 (3 %); 2,86 (3 %)	
	Период	полураспада	2	113,6 ч		5,5 4	. (	22 мин	15 4	16 мин	59 мин	27 мин	40 cyr	24 мин	l	8,6 cyr	44.3 c	,	2,3 мин		39,2 c	270 cyr		
	Тип распада		4	-g	İ	И.п. (75 %);	β- (25 %)	æ• ∏ 1	<u>.</u> I	I	+	<del>Ծ</del> ր	ະ້ຳ	+6.	8-(<1%)	F.3.	II.	i	β- (98,5 %); F3 (1,5 %);	β+ (мало)	K.n.	<del>-</del> 8		
	Спин, h/2π;	( <del>+</del> )	ဇ	1	ı	• ]		ΙI	1	I	l	1 1		ı	l	J	]	1/2—	<u>+</u>		1/2-	. 1		<del></del>
	Распростра- ненность		2	1	13,5	I		[	I	I	1			ı	i	I	1	51,35	ł		48,65	1 -		
	Изотоп		-	$^{199}\mathrm{Pd}$	$p_{d_{011}}$	$^{\mathrm{p}}\mathbf{d}_{m}$	HIDA	$^{12}Pd$	$p_{d_{E11}}$	102Ag	104 Ag	105Ag	0	106Ag	,	106Ag	107mAg	To Ag	SWoor	10977.8.5	109Ag	110mAg		_

0,66; 0,9 (слаб.) См. схему распада на рис. 4.9 Сложная  0,3; 1,6 См. схему распада на рис. 4.9 0,137  0,186; 0,356 0,401; 0,56; 0,62 См. схему распада на рис. 4.9 См. схему распада на рис. 4.9 См. схему распада на рис. 4.9 0,135; 0,3; 0,435 0,15; 0,475; 0,625	1 <b>0,</b> 135; <b>0,</b> 245
2,24 (60 %); 2,82 (40 %) 1,04 (91 %); 0,80 (1 %); 0,70 (8 %) 1,0 (15 %); 2,7 (20 %); 3,5 (40 %); 4,1 (25 %)   NKectrue  NKectrue  O,3; 1,6  CM. CXEMY Pare  O,3; 1,6  CM. CXEMY Pare  O,137  O,143  O,143  CM. CXEMY Pare  O,143  O,1443  CM. CXEMY Pare  O,1443  CM. CXEMY Pare  O,1443  CM. CXEMY Pare  O,145; 0,401; 0,56; 0,62  O,143  CM. CXEMY Pare  O,143  CM. CXEMY Pare  O,143  CM. CXEMY Pare  O,143  O,145; 0,435  O,15; 0,475; 0,635	
24,2 c <5 muh 7,5 cyr 3,20 q 5,3 q 2, muh 24 q 12 u 97 cyr 8.10 0 cyr 14 u 15 cyr 30,6 q 41,5 q	11 Cy1
β β β β β β β β β β β β β β β β β β β	
3/2	- Carrie Alleran Carrier
0,018   1,59   13,3   16,1   19,1   19,1   19,1	
110 Ag 111 Ag 111 Ag 112 Ag 113 Ag 114 Ag 114 Ag 114 Ag 114 Ag 118 Ag 11	11

прообликение таол. 4.2 Энергия излучения, МэВ	у-лучей	7	См. схему распада на	рис. 4.9 То же		о, 057 См. схему распада на	puc. 4.9	0,065	Сложная от 0,29 до 2,04	0.42: 0.66: 0.88	0,58; 0,76	0,78	0 195 0 975 0 40	0,14; 0,55	0,083; 0,096; 0,173	0,135	См. схему распада на	рис. 4.9	!
Энергия	частиц	9	1,7	1	1	0,673 (50 %)	0,537 (42 %); 0,257	(',5 %'); 0,10 (<0,5 %)	0,43 (8%); 0,975 (9,7%);	) GNS	~0,08 65.0 6	•	ΙΙ		6	1 !	l	1	I
Период	полураспада	5	3,2 ч	11 cyr	4,9 c	1,42 мин	74,37 cyr	5,7.10-9	ь 61	2,3 ч	9,7 cyr	2 0 E	2,5 4 10 cvr	10,5 4	3,0 cyr	3,4 cyr	3,5 cyr	I	I
Тип	распада	4	β+, Ε,3.	E.3.	2	β— (96,5 %)	E.s. (3,5 %)	И.п.	16		27.62 		Ι		э 6		M.n	1	1
Спин, й/2л,	(+) (+)	ဆ	1	I	3/9-	1	.1	3/9 1	1 1	I		I	1 1	1 ]	J	10	13/2+	1/2-	0
Распростра-	ненность, %	2	ı	1	1 80	I	1	1 3		i		1	l I	0.012		0,78 32,8	1	33,7	25,4
Morory	11301011	1	1901r	191mIr	19271	192] I		1937 I	Ilter	195]r	II 1951	198I <sub>T</sub>	188Pt	189Dt 190Dt	191Pt	194P <sub>[</sub>	195mpt	195Pt	÷

					•	
197mpt 197Df	1	ΙΙ	Z.i.	78 мин 18 ч	0,670	0,337 См. схему распада па
			2.			рис. 4.9
198Pt	7,23	1	]	1	1	
199Pt	1	l	<u>_</u>	29 мин	~1,2	Сложная от 0,07 до 0,96
F.	l	1	-	82 cyr	0,5	9,0
183Au	I	1	E.3., 8+;	4,3 мин	5,07 [a]	1
			a (0,01 %)			
187Au	ı	I	1	ним ст	I	I
198Au	i	1	ı	10 мин	[	
189Au	I		1	42 мин	1	0,135; 0,290
191Au	I	Į	,	34		0,14; 0,3; 0,39; 0,48; 0,6
192Au	I	Į	E.3., 8+	4,8 ч	6,1∼	Сложная от 0,13 до 1,6
193Au	!	]	. [	3,9 ℃	1	0,0324; 0,2573; 0,2898
	1	١	E.3.	17,4 ч	1	Сложная от 0,1 до 0,4
194Au	I		E.3. 97 %;	39,5 ч	1,8	0,291; 0,328; 0,466; 1,48;
			B+ (3 %)			2,1
105mAu	į	1	Z.i.	0,5 мин		0,56; 0,259
195 Au	1	3/2+	E.3.	185 cyr		см. схему распада на
			ı	1		JAC: 4.3
nV <sub>ast</sub>	1	-	E.3. MJH H.II.	4 F	to lo	9¥ CI
180AU	1	1	E.3. (88 %):	5,55 cyr	0,27	*
197 m A ***			(% ZI)_d	7.4.5	I	A
197 Å 11	101	2/9-1	1111	· : 1	I	1
198Au	₹1	201	<u>ء</u>	2,69 cyr	0,963 (99 %); 0,290	См. схему распада па
199Ап	1	!	β <u>-</u>	3,15 сут	(1 %); 1,3/ (0,01) 0,47 (4 %); 0,443	рис. 4.9 То же
			, ,	ç	(73 %); 0, 291 (23 %)	
- 200 Au	!	1	<u> </u>	48 мин	7,7	1,13; 0,39
201Au	!	!	£	26 мин	1,5	0,55
202,204Au	!	1	8— или и.п.	2 2 2	1	=======================================
203Au		!	<u>.</u>	] ၁ ၄၄ ၂	1,9	69'0
Примечан рис 49): Ез — 33	H R: M	омерные состо	яния ядер; и.п. — нов.	изомерный пери	од; с. д. — самопроизвольн	— изомерные состояния ядер; и.п. — изомерный период; с.д. — самопроизвольное (спонтанное) деленне (см. битальных электронов.
Pire: 1:0/1 21 01	and a mercan					والمتلاف والمستوال والمستو

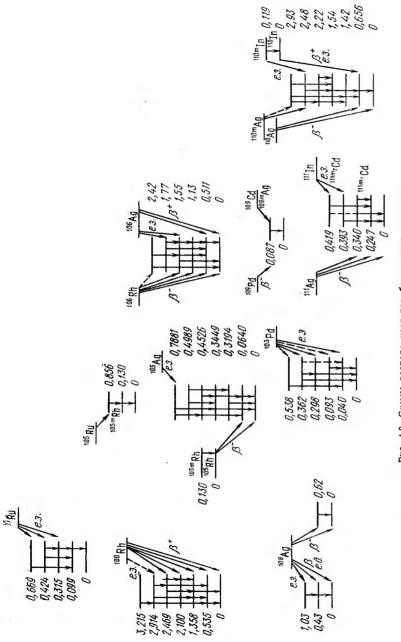
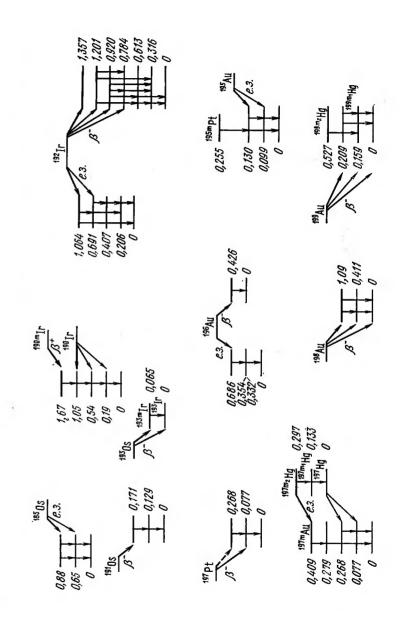


Рис. 4.9. Схемы распада изотопов благородных металлов



### 4.3. Ядерные свойства

Ядерная физика — основа ядерной энергетики, производства и техники применения радиоизотопов, радиоактивационных процессов и т. д. В данном разделе справочника приведены данные по свойствам атомных ядер благородных металлов, известным изотопам и их сечениям поглощения нейтронов, что очень важно при выборе различных конструкционных материалов для реакторов. Кроме того, изотопы ряда металлов, в том числе и платиновых, могут быть нежелательными примесями, так как часто они являются конечным продуктом распада тяжелых ядер элементов.

Изотопы благородных металлов приведены в табл. 4.2 по данным

[146—147].

На рис. 4.9 схематически показан распад ядер для некоторых слож-

ных случаев.

Сечения взаимодействия тепловых нейтронов с благородными металлами приведены в табл. 4.3 по данным [147]. Сечения поглощения ( $\sigma_a$ ) приведены для скорости нейтрона 2200 м/с. В качестве сечений рассеяния приведены величины S и  $\sigma_b$ .

 ТАБЛИЦА 4.3

 СЕЧЕНИЯ ВЗАИМОДЕЙСТВИЯ ТЕПЛОВЫХ НЕЙТРОНОВ

Изотоп (%,	σ <sub>α</sub> , барн, прн 2200 м/с	S, барн	<b>о<sub>р</sub>, б</b> арн
T <sub>1/2</sub> )			
Ru	2,46±0,12		$6,6\pm0,5$
96Ru (5,7)	10±4*Mб		
<sup>102</sup> Ru (31,3)	1,2±0,3*		
<sup>104</sup> Ru (18,3)	0,7±0.2*		
<sup>103</sup> Ru (100)	150±7	4,5±0,5(十)	$5,6\pm1,0$
Pd	8,0±1,5*	$5,0\pm0,3(+)$	$4.8 \pm 0.3$
102Pd (0,8)	4,8±1,5*	_ ` ` '	
<sup>108</sup> Pd (26,7)	12±3*		
<sup>110</sup> Pd (13,5)	0,3±0,1*		
Ag	62±2	4,6±0,3(+)	$6,5\pm0,5$
<sup>107</sup> Ag (51,35)	30±2	$8,7\pm0,5(+)$	$10\pm2$
<sup>109</sup> Ag (48,65)	84±7	$2,3\pm0,2(+)$	$6\pm1$
Os	14,7±0,7	· · · · · /	$15\pm2$
<sup>184</sup> Os (0,018)	200*		
<sup>190</sup> Os (26, 4)	8±3*		
<sup>192</sup> Os (41,0)	1,6±0,4*		
<sup>193</sup> Os (314)	60±20*		
Ir	430±20		
<sup>191</sup> Ir (38,5)	960±250*	-	
<sup>198</sup> Ir (61,5)	130±30*		
Pt	$8,1\pm0,4$	11,2±0,7 (十)	$12 \pm 1$
<sup>192</sup> Pt (0,78)	90±40*		
196Pt (25,4)	1,1±0,3*	_	
<sup>198</sup> Pt (7,2)	3,9±0,8*	_	
<sup>197</sup> Au (100)	$98.0\pm1.0$	$7,3\pm0,1(+)$	
198Au (2,7 cyr)	35000±10000*		_

<sup>\*</sup> Сечения активации.

### 4.4. Тепловые свойства

# 4.4.1. Температуры и теплоты плавления, температуры кипения и теплоты сублимации

Температуры илавления [148—153]

В пастоящее время температуры и теплоты плавления золота, серебра и платины определены для металлов, содержащих менее 0,01% примесей. Для родия, иридия и рутения наиболее достоверные данные [151, 152] относятся к металлам, содержащим 0,03, 0,05 и 0,02% примесей соответственно. Погрешность определения температуры плавления золота и серебра достаточно мала (несколько десятых градусов), для рутения, родия и иридия указана в табл. 4.4, для палладия, платниы около 10 K, а для осмия точных данных нет.

ТАБЛИЦА 4.4
ТЕМПЕРАТУРЫ ПЛАВЛЕНИЯ, КИПЕНИЯ, ТЕПЛОТЫ ПЛАВЛЕНИЯ
И СУБЛИМАЦИИ

Металл	<i>Т</i> <sub>пл</sub> , қ	Q <sub>пл</sub> , кДж/моль	$T_{\rm KHH}$ , K	Q <sub>субл</sub> , кДж/молі
Ag Au	1235,08	11,3	2400	284,6
	1337,58	12,5	3150	368,4
Ru	$2607 \pm 10$	38,3	4350	647,4
Os	3320	31,8	5300	783,3
Rh Ir	$2237\pm6$	$27,3\pm0,85$	3900	560,9
Pd	2707±7 1827	41,0	4850	662,1
Pt	2045	16,9 22,5	3150 4100	371,9 563,4

### 4.4.2. Теплоемкость

Теплоемкость серебра, золота и платины, как правило, определяют на образцах металлов, содержащих менее 0,01% примесей. Остальных благородных металлов— на образцах, содержащих несколько сотых процента (до 0,1%) примесей. В первом приближении при средних и

процента (до 0,1%) примесеи. В высоких температурах влияние примесей на теплоемкость подчиняется правилу аддитивности. Погрешность измерения теплоемкости ниже 300 К обычно составляет 1—2%, в диапазоне 300—1000 К—2—3%, при более высоких температурах—5%, вблизи точки плавления она может достигать 10%. Температурные зависимости теплоемкости приведены иа рис. 4.10 и в табл. 4.5.

В табл. 4.6 приведены данные следующих работ.

До T=250 К данные [153]. Для серебра при T>250 К данные [148—150, 153, 154]. Для золота

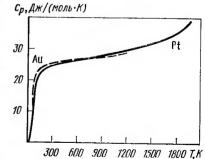


Рис. 4.10. Температурная зависнмость теплоемкостн  $c_D$  платины и золота

при T>250 К данные [153—156 с учетом 148, 149], усредненные методом наименьших квадратов. Для рутения при T<1000 К данные [148—153], усредненные методом наименьших квадратов; при T>1000 К—[151, 152, 157]. Для родия усредненные данные [148—153]. Для осмия—[148—150, 153]. Для ирилня при T<1600 К усредненные данные [148, 153], при T>1600 К данные [151, 152]. Для палладия в основном данные [158], усредненные с данными [148—150, 153]. Для платины при T=1200 К усредненные данные [148—150, 153, 158], при T>1200 К данные [159—161].

т, қ	Ag	Au	Ru	Os	Rħ	Ir	Pd	Pt
20 40 80 150 250 298 400 600 800 1000 1200 1400 1600 1800 2000 2200 2400 2600	1,72 8,39 17,9 23,0 25,1 25,4 25,8 27,0 28,4 30,1 32,3 ——————————————————————————————————	3,21 11,20 19,63 23,49 24,92 25,2 25,7 26,6 27,6 28,8 30,2	0,17 1,88 10,04 18,91 23,80 24,0 24,5 25,6 26,8 28,2 29,8 32,0 34,5 37,5 41,0 42,2 48,5 52,5	24,8 25,1 25,9 26,7 27,4 28,2 28,9 29,7 30,5 31,2 —	0,28 2,74 11,79 20,17 24,05 25,1 26,4 28,2 29,9 31,6 33,4 35,1 36,8 38,5 40,2 41,9	0,39 4,33 14,4 21,5 24,6 25,1 25,8 27,1 27,9 28,9 30,2 31,7 33,4 35,4 37,6 40,0 42,7 45,5	0,97 5,42 15,01 22,15 25,31 26,0 26,5 27,2 28,1 29,5 31,0 32,6 34,5 36,5	1,51 7,45 17,15 23,10 25,76 25,79 26,3 27,0 28,1 29,3 30,6 31,9 33,4 35,6 39,3

### 4.4.3. Температуропроводность

В твердых телах температуропроводность определяют по формуле:

Рис. 4.11. Температуриые зависимости коэффициентов температуропроводности а платины, рутения и иридия

$$a = \lambda/C_{\rm p} d$$
.

Температуропроводность при низких температурах достаточно сильно зависит от содержания примесей и других дефектов металла. Ниже 20 °С прямых измерений практически не проводилось и данные получены расчетом по результатам измерений теплопроводности, теплоемкости и плотности. Обзор методов измерения и результатов выше 300 К можно найтн в работах [159, 162]. Температурные зависимости темпера-

туропроводности благородных металлов приведены в табл. 4.4, 4.6 и 4.7 и на рис. 4.11.

В табл. 4.7 приведены результаты следующих работ.

Серебро: данные ниже 150 К рассчитаны для образца с  $\rho_{4,2K}=$  = 0,000621 мкОм·см; погрешность 4 % при средних температурах н 7 % ниже 100 К и выше 1000 К [162]. Золото: данные ниже 80 К рассчитаны для образцов с  $\rho_{4,2K}=$ 0,0055 мкОм·см; погрешность 5 % при средних температурах и 7 % ниже 80 К и выше 1200 К. Рутений: для поликристалла ниже 80 К данные рассчитаны для образца с  $\rho_{4,2K}=$  = 0,0158 мкОм·см, погрешность 12 % [163]; от 200 до 600 К приведены усредненные данные [157] и [163]; в работе [157] отношение  $\rho_{293K}/\rho_{4,2K}=r=600$ ; в работе [163] для поликристалла r=388, для монокристалла r=94 ( $\perp c$ ), r=76,5 ( $\parallel c$ ); от 200 до 600 К погрешность составляет примерно 5 %, от 800 до 2400 К—4 % [157, 159]. Родий: ниже 100 К данные для образца с  $\rho_{4,2K}=0,0084$  мкОм·см, погрешность 12 % [162], от 100 до 600 К усредненные данные [162, 163] для образца с r=100, погрешность около 7 %; выше 800 К данные [159] для образца, содержащего 0,3 % примесей (из них 0,25 % Ir), погрешность 4 % до 2000 К и 6 % при более высоких температурах. Палладий: ниже 300 К данные рассчитаны для образца с  $\rho_{4,2K}=0,0123$  мкОм·см, погрешность оценивается в 13 %; от 300 до 700 К погрешность составляет примерно 7 % [162]; от 700 до 1800 К даиные относятся к образцу с r=300, а погрешность составляет около 4 % [159].

В табл. 4.8 приведены результаты следующих работ.

ТАБЛИЦА 4.6 ТЕМПЕРАТУРОПРОВОДНОСТЬ ( $a\cdot 10^4$ , м²/с) СЕРЕБРА, ЗОЛОТА, РУТЕНИЯ, РОДИЯ, ПАЛЛАДИЯ

				Ru			
<i>T</i> , K	Ag	Au	поликри- сталл	1 <b>c</b>	c	Rh	Pđ
20 40 80 100 150 200 250 273 300 400 1000 1200 1400 1600 1800 2000 2200 2400	309 12,7 2,68 2,27 1,92 1,81 1,76 1,75 1,74 1,70 1,61 1,49 1,37 1,24 —	48,3 4,63 1,73 1,55 1,40 1,35 1,31 1,30 1,28 1,23 1,15 1,07 0,99 0,91	1010 44,0 1,8 1,01 0,559 0,450 0,417 0,410 0,403 0,389 0,356 0,319 0,290 0,264 0,264 0,233 0,198 0,184 0,176	0,42 0,39 0,38 0,37 0,33 0,29 0,25 0,22 0,198 0,174 0,174 0,156 0,140 0,12	0,55 0,49 0,47 0,46 0,40 0,37 0,33 0,29 0,256 0,238 0,220 0,201 0,174	1080 32,7 1,69 1,01 0,646 0,562 0,522 0,510 0,499 0,465 0,402 0,345 0,283 0,283 0,263 0,263 0,220 0,190 0,156	52,6 2,78 0,476 0,377 0,289 0,261 0,249 0,246 0,245 0,251 0,255 0,252 0,252 0,252
2400			0,169	0,10	0,10	<u> </u>	1 —

ТЕМПЕРАТУРОПРОВОДНОСТЬ (a-10<sup>4</sup>,  $m^2/c$ ) ОСМИЯ, ИРИДИЯ И ПЛАТИНЫ

		Os			
<i>T</i> , K	поликристалл	т с	11 0	Ir	Pt
20	23,5		_	406	29,8
40	9,38	. <del></del>	_	14,8	1,65
80	1,54	. —		1,27	0,437
100	0,93			0,842	0,359
150	0,468			0,630	0,29
200	0,353		_	0,558	0,268
<b>25</b> 0	0,315			0,522	0,257
<b>27</b> 3	0,306			0,512	0,25
300	0,300	_		0,502	0,25
400	0,294			0,482	0,24
600	0,286			0,451	0,24
800	0,277	-		0,420	0,24
1000	0,269	0,237	0,346	0,380	0,24
1200	0,261	0,230	0,337	0,349	0,26
1400	0,253	0,223	0,327	0,322	0,26
1600	0,245	0,218	0,318	0,300	0,25
1800	_	0,214	0,304	0,280	0,24
2000	_	0,214	0,299	0,266	0,22
2200	<b>—</b>	0,214	0,285	0,251	
<b>240</b> 0		0,214	0,268	0,232	
2600	<u> </u>	0,201	0,258	0,20	_
2800		0,201	0,237		_
3000		0,187	0,215		

Осмий: для поликристалла приведены расчетные данные [162], ниже 150 К относящиеся к образцу с  $\rho_{4,2K}=0,0234$  мкОм·см, погрешность составляет 8 % от 250 до 500 К и 15 % вне этого диапазона. Для монокристалла приведены данные [164], относящиеся к образцу с r=20, погрешность составляет около 4 % до 2400 К и 6 % при более высоких температурах. Иридий: ниже 150 К приведены данные [159], рассчитанные для образца с  $\rho_{4,2K}=0,0191$  мкОм·см, до 500 К погрешность составляет 10 %. Выше 800 К приведены данные [159], относящиеся к образцу с r=90; погрешность составляет 4 % до 2200 К и 6 % при более высоких температурах. Платина: ниже 200 К приведены данные [167], рассчитанные для образца с  $\rho_{4,2K}=0,0106$  мкОм·см, от 300 до 2000 К приведены данные [159], их погрешность 3 % до 1800 К и около 5 % при 2000 К.

### 4.4.4. Теплопроводиость

При низких температурах коэффициент теплопроводности металлов существенно зависит от содержания примесей. Погрешность измерения коэффициента теплопроводности благородных металлов ниже 300 K со-

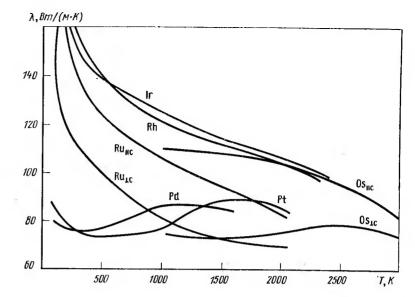


Рис. 4.12. Температурные зависимости коэффициента теплопроводности  $\lambda$  некоторых благородных металлов

ставляет 3—5 %, в диапазоне 300—1000 К—4—6 % и при более высоких температурах — 5—8 %. Данные о теплопроводности благородных металлов обобщены в табл. 4.8, 4.9 и на рис. 4.12.

В табл. 4.8 приведены результаты следующих работ.

Серебро: в основном данные [168] для образца чистотой 99,99 %. Золото: усредненные данные [150, 168] для образца чистотой около 99,99 %. Палладий: до 500 К усредненные данные [163—165] для образца с r=69, выше 800 К данные [159]. Платина: ниже 300 К данные [163, 170], а также [148—150], выше 300 К результаты работы [159], а также [162, 166]. Для налладия и платины представлены дан-

ТАБЛИЦА 4.8 КОЭФФИЦИЕНТ ТЕПЛОПРОВОДНОСТИ [λ, Вт/(м·К)] СЕРЕБРА, ЗОЛОТА, ПАЛЛАДИЯ И ПЛАТИНЫ [148, 150, 153, 159, 163, 165—168]

т, қ	Ag	Au	Pd	Pt	т, қ	Ag	Au	Pd	Pt
40 100 150 200 250 273 300 400	1050 475 445 441 438 435 433 426	420 360 335 326 320 318 315 309	76,0 75,5 75,0 75,0 75,1 75,2 75,5	85,6 81,0 79,0 76,0 75,0 74,1 73,2	600 800 1000 1200 1400 1600 1800 2000	411 397 383 — — —	296 284 271 	79,0 83,0 87,0 88,2 86,9 86,0	73, 74, 76, 83, 88, 89, 89,

КОЭФФИЦИЕНТ ТЕПЛОПРОВОДНОСТИ [Л. Вт/(м-К)] РУТЕНИЯ, РОДИЯ, ИРИДИЯ И ОСМИЯ [163, 159, 164, 167, 170]

		Ru			Os			
Т, Қ	⊥c	c	поли- кристалл	ТС	c	поли- кристалл	Rh	Ir
100 150 200 250 273 300 400 600 1000 1200 1400 1800 2000 2200 2400 2600 2800	140 123 116 112 110 108 105 95 87 81 77 74 73 71 67	180 150 138 135 134 133 129 120 112 106 101 97 93 89 83 —	150 132 125 121 119 117 115 105 96 89 83 80 77 74 70	75,5 75,5 74,5 76 78 79 78 76,5		96 93 91 88 87 86 85 	185 160 156 154 153 152 145 126 121 118 115 109 106 104	151 149 148 147 141 136 130 125 121 117 110 106 103

ные, полученные в основном на высокочистых образцах с содержанием примесей менее 0.01~%.

В табл. 4.9 приведены результаты следующих работ.

# 4.4.5. Температурный коэффициент линейного расширения

Обзор методов измерения и сравнения различных результатов проведены в [170]. Погрешность представленных данных составляет примерно 5—10%. Результаты получены на образцах серебра, золота, палладия, платины и родия спектральной чистоты, образцы остальных металлов содержали около 0,2% примесей (табл. 4.10).

ТЕМПЕРАТУРНЫЙ КОЭФФИЦИЕНТ ЛИНЕЙНОГО РАСШИРЕНИЯ  $(\alpha \cdot 10^6, \, \text{K}^{-1})$  БЛАГОРОДНЫХ МЕТАЛЛОВ

<i>т</i> , қ			I	₹u		)s				
7, K	Ag	Au	⊥c	ll c	⊥c	l c	Rh	lr	Pd	Pt
40 100 150 200 280 300 400 600 1000 1200 1400 1800 2000 2200 2400	4,78 14,7 16,7 17,8 18,7 18,9 19,5 21,0 23,1 ————————————————————————————————————	5,98 11,5 12,6 13,3 13,9 14,0 14,5 16,5 16,5 17,7 19,1 — — —	4,6 4,8 5,6 5,8 5,94 6,45 7,15 8,80 9,72 10,73 11,83 13,02 14,29 15,72	5,6 7,0 8,0 8,7 9,09 9,92 10,83 11,81 12,87 14,01 15,24 16,60 18,15 19,95	3,97 4,16 4,76 5,68 — — — — —	5,54 6,17 7,01 8,18 — — — —	4,99 6,69 7,57 8,36 8,50 8,93 9,84 10,80 11,85 —	4,11 5,56 6,09 6,37 6,45 6,55 6,95 7,50 8,20 8,60 10,4 11,2 12,0 13,5	7,95 9,85 10,84 11,62 11,75 11,75 12,48 13,90 15,30 16,70	6,77 8,04 8,55 8,94 9,24 9,70 10,20 10,76 11,4 12,3 13,3 14,2 15,1

### 4.5. Электрические свойства

### 4.5.1. Удельное электросопротивление

В металлах при низких температурах (примерно 10—20 K) удельное электросопротивление во многом определяется степенью совершенства кристаллов, в том числе и содержанием примесей, и часто величина удельного электросопротивления при 4,2 K или отношение электросопротивлений  $\rho_{293\text{K}}/\rho_{4,2\text{K}}=r$  служит критерием содержания примесей в металлах. При температурах выше 300 K электросопротивление определяется в основном характером механизмов рассеяния электронов.

Погрешность определения удельного электросопротивления составляет при низких и средних температурах обычно 1—2 %, но при при-

ближении к температуре плавления может достигать 5 %.

Для большинства благородных металлов (за исключением осмия, рутения и иридия) исследования электросопротивления выполнены на чистых и спектрально чистых металлах. Результаты исследований электросопротивления обобщены в табл. 4.11 и 4.12, а также на рис. 4.13 и 4.14.

В табл. 4.11 приведены результаты следующих работ.

Серебро, золото: данные [174, 175]. Палладий: до 500 К данные, усредненные по результатам работ [177] и [183], выше 500 К — [183]. Платина: ниже 300 К данные [185], значение при 300 К усреднено по данным [160, 174, 159], выше 300 К данные, усредненные по работам [159, 160, 174, 177, 184]. Родий: ниже 500 К данные [177] для образцов с  $r \approx 200$ , при более высоких температурах результаты [178, 182].

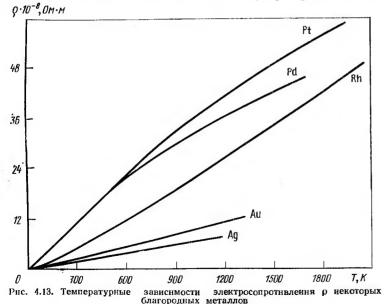
В табл. 4.12 приведены результаты по следующим работам:

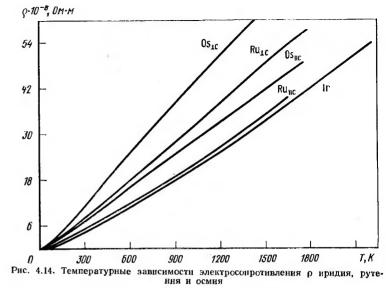
ТАБЛИЦА 4.11

ЗНАЧЕНИЯ УДЕЛЬНОГО ЭЛЕКТРОСОПРОТИВЛЕНИЯ ( $\rho$ -10<sup>--8</sup>, Ом-м) СЕРЕБРА, ЗОЛОТА, ПАЛЛАДИЯ, ПЛАТИНЫ И РОДИЯ [160—175, 178, 182—185]

т, қ	Ag	Au	Pd	Pł	Rh
50 81 100 150 195 200 250 273 300 400 600 800 1000 1200 1400 1600 1800 2000	0,115 0,304 0,418 0,728 1,03 1,04 1,328 1,465 1,622 2,31 3,58 4,87 6,27	0,4904	0,25 2,013 2,634 4,811	0,736 2,090 2,795 4,869 6,729 6,884 8,861 9,765 10,81 14,60 21,85 28,70 35,10 40,89 46,69 51,80 56,52	

 $\it Иридий$ : до 500 K данные [177] для образца с  $\it r=86$ , при более высоких температурах усредненные данные [182] и [160].  $\it Pyтений$ :





ниже 300 К усредненные данные [176, 177, 180, 181], выше 300 К данные [179] для образцов с r=600. Осмий: выше 300 К данные [159] для

ТАБЛИЦА 4.12 ЗНАЧЕНИЯ УДЕЛЬНОГО ЭЛЕКТРОСОПРОТИВЛЕНИЯ (р·10<sup>—8</sup>, Ом·м) ИРИДИЯ, РУТЕНИЯ И ОСМИЯ [177, 179—182, 159]

			Рутеиий			Осмий	
<i>т</i> , қ	Иридий -	∦c	1 <i>c</i>	поли- кристалл	тс	c	поли- кристалл
50 100 150 200 250 273 300 400 600 800 1000	1,16 	0,20 1,08 2,30 3,55 4,70 5,26 5,92 8,05 12,20 16,8 21,7	0,25 1,55 3,20 4,80 6,65 7,43 8,35 11,70 18,20 24,8 31,6	0,23 1,36 2,80 4,30 5,95 6,69 7,55 10,3 16,2 22,1 28,3	9,35 12,0 17,3 25,3 34,3 42,8	5,75 7,8 11,4 17,2 22,1 27,0	1,95 -,49 -,5,49 -,59 15,3 22,6 30,2 37,5
200 400 600	25,1 31,0 37,0	26,9 32,6 38,5	38,7 45,8 52,1	37,6 41,2 47,6	51,6 59,3 65,8	32,2 37,8 43,9	37,5 45,1 52,1 58,5
800 000 <b>2</b> 00	42,7 48,3 54,4	-			=		_ 
2400	60,2		_	_	-	-	_

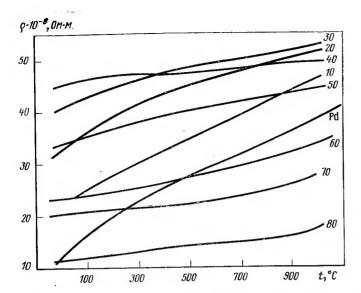


Рис. 4.15. Температурные зависимости электросопротивления ρ сплавов системы Рд—Аg. Цифры у кривых — содержание серебра в сплаве, %

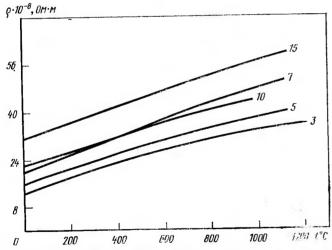
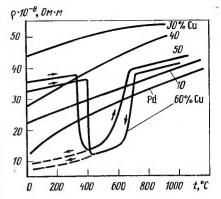


Рис. 4.16. Температурные зависимости электросопротивления  $\rho$  сплавов системы Рd—Rh. Цифры у кривых — содержание родия в сплаве, %

образцов с r=20, при 273 К усредненые данные [181] и получениые в лаборатории Н. В. Волкенштейна ( $\rho_{\perp}=9,346\cdot 10^{-8}~{\rm Om\cdot m}$ ,  $\rho_{\parallel}=5,532\times \times 10^{-8}~{\rm Om\cdot m}$  для образцов с r  $\approx 1000$ ).

Рис. 4.17. Температурные зависимости электросопротивления р сплавов системы Pd—Си

На рис. 4.15—4.17 представлены температурные зависимости электросопротивления сплавов благородных металлов. Даиные получены Л. И. Чупиной, В. Е. Зиновьевым, В. П. Поляковой, Е. М. Савицким. Образцы выплавлялись из компонентов спектральной чистоты. Погрешность измерения абсолютных значений удельного электросопротивления не превышает 2 %. Электросоп-



ротивление сплавов системы Pd — Си вблизи эквиатомного состава (50 и 60 % Си) зависит от механической предыстории.

### 4.5.2. Удельная электрическая проводимость

Значения удельной электрической проводимости поликристаллических образцов представлены в табл. 4.13.

ТАБЛИЦА 4.13

ЗНАЧЕНИЯ УДЕЛЬНОЙ ЭЛЕКТРИЧЕСКОЙ ПРОВОДИМОСТИ (σ·10<sup>--8</sup> См/м)
ПОЛИКРИСТАЛЛИЧЕСКИХ БЛАГОРОДНЫХ МЕТАЛЛОВ

<i>T</i> , K	Ag	_ Au	Ru	Os	Rħ	Ir	Pd	Pt i
50 100 150 200 273 300 400 600	8,695 2,392 1,37 0,91 0,689 0,616 0,432 0,279	1,538 	4,34 0,735 0,357 0,236 0,149 0,132 0,097 0,062	0,512 0,182 0,122 0,094 0,065 0,044	1,11 0,50 0,339 0,241 0,199 0,141 0,086	0,862 	1,053 0,380 0,239 0,145 0,1024 0,0926 0,0692 0,0474	1,358 0,358 0,205 0,145 0,1024 0,0925 0,0685 0,0458
800 1000 1200 1400 1600 1800 2000	0,205 0,159 0,142 — — — —	0,148 0,113 0,088 0,077 — —	0,045 0,035 0,027 0,024 0,021	0,033 0,027 0,022 0,019 0,017	0,062 0,048 0,038 0,032 0,027 0,024 0,021	0,065 0,049 0,040 0,032 0,027 0,023 0,022 0,018	0,0372 0,0313 0,0276 0,0248 0,022	0,0348 0,0285 0,0245 0,0214 0,0193 0,0177 0,0169

### 4.6. Термоэлектрические эффекты в благородных металлах

### 4.6.1. Термоэлектрические эффекты и формулы связи термоэлектрических коэффициентов

Термоэлектрические эффекты обусловлены существованием взаимосвязи между тепловыми и электрическими процессами и тесно связаны с явлениями рассеяния в проводниках. Исследование этих эффектов позволяет получить информацию об электронной и фононной системах, их взаимодействии с нерегулярностями кристаллической решетки, а также служит одним из методов изучения зонной структуры твердых тел. Основными являются термоэлектрические эффекты Зеебека. Пельтье и

Томсона [186].

Эффект Зеебека [187] заключается в том, что в замкнутой электрической цепи, состоящей из двух различных металлов A и B, контакты которых нмеют различные температуры  $T_1$  н  $T_2$ , возникает термоэлектрическая движущая сила (т. э. д. с.)  $\Delta E$ . Возникающая в цепи т.э.д.с. зависит только от природы проводников А и В и от разности температур  $\Delta T = T_1 - T_2$  и не зависит от формы образца при условии, что размеры образца превышают длину свободного пробега электрона. Величина  $S_{AH} = S_A - S_B = \Delta E/\Delta T$  (В·К<sup>-1</sup>) рассматривается как т. э. д. с. металла A относительно металла B;  $S_A$  н  $S_B$  — абсолютные т. э. д. с. металлов A и B.

Эффект Пельтье [187] состоит в том, что в месте контакта замкнутой электрической цепи, состоящей из двух металлов А и В, при прохождении электрического тока (1) поглошается или выделяется тепло. которое меняет знак при смене направления тока. Отношение плотности потока тепла Q, выделяемого в единицу времени, к величине I определяет коэффициент Пельтье:  $\Pi_{AB} = \Pi_A - \Pi_B = Q/l$  (B), где  $\Pi_A$  и  $\Pi_B$ —

коэффициенты Пельтье металлов A и B.

Эффект Томсона [187] — выделение или поглощение теплоты в проводнике с электрическим током, в котором существует перепад температур. Выделяемое при этом тепло — тепло Томсона — характеризу-

ется коэффициентом Томсона  $\sigma = Q/\Delta TI$  (B·K<sup>-1</sup>).

В отличие от эффектов Зеебека и Пельтье, которые наблюдаются только между двумя различными металлами (или между двумя частями одного н того же металла, если они находятся в различных состояниях), эффект Томсона наблюдается непосредственно в однородном

Между абсолютной т. э. д. с., коэффициентом Пельтье и коэффицнентом Томсона существует связь, которая является прямым след-

ствием соотношений Онзагера [188], а именно:

 $\sigma = TdS/dT$ ;  $\Pi = TS$ .

Отсюда видно, что, измеряя одну из величин  $(S, \sigma \cap \Pi)$ , две дру-

гие можно получить путем расчета.

Почти все работы по термоэлектрическим эффектам посвящены исследованию т. э. д. с. как наиболее простой для измерения и понимания физических причин, обусловливающих ее поведение. Поэтому основное внимание будет уделено этой характеристике.

### 4.6.2. Методы измерения термоэлектродвижущей силы

Дифференциальный метод [186]. Задается градисит температур  $\Delta T$  и измеряется  $\Delta \mathcal{E}$  ( $E = \Delta \mathcal{E}/\Delta T$ ). Градиент температур выбирается таким образом, чтобы & в этой области температур менялась незначительно, а величина  $\Delta \mathcal{E}$  была достаточно большой для измерений.

Интегральный метод [186]. Один из концов образца поддерживается при постоянной температуре  $T_0$ , а температура другого конца изменяется. Измеряется возникающая т. э. д. с. S(T), дифференцируя которую получают  $\mathcal{E}(T)$ . Недостатком интегрального метода является его неприменимость в областях температур, где существуют фазовые

В области низких температур, когда  $\Delta S$  становится малой величнной и возникают трудности с созданием требуемого градиента температур, т. э. д. с. получают из измерений термоэлектрического отношения G [186]. Преимущество этого метода заключается в том, что в области низких температур тепловые измерения осуществить довольно просто и их точность велика, что достигается использованием высокочувствительных германиевых или угольных температур. Для измерения G не требуется знания градиента температур и в отличие от т. э. д. с. G остается постоянной величиной при стремлении температур к нулю. Т. э. д. с. в этом случае рассчитывается по следующей формуле:

S = GLT

ТАБЛИЦА 4.14 ТЕМПЕРАТУРНАЯ ЗАВИСИМОСТЬ АБСОЛЮТНОЙ т. э.д. с. СВИНЦА (S) [189] (ОПРЕДЕЛЕНА ПО ИЗМЕРЕНИЯМ ЭФФЕКТА ТОМСОНА)

	ОПЕСДЕЛЕНА	TIO HOLLE	21111/1111 0 1 1 2	TOTAL TOTAL	
т. к	S, 10 <sup>6</sup> B⋅K <sup>1</sup>	<b>т.</b> к	S, 10 <sup>6</sup> B⋅K <sup>1</sup>	<b>т.</b> қ	S, 10 <sup>6</sup> B⋅K <sup>1</sup>
0,000 7,180 7,180 7,500 8,000	0,000 0,000 0,200 0,220 0,256	22,000 23,000 24,000 25,000 26,000	-0,760 $-0,748$ $-0,735$ $-0,721$ $-0,707$	110,000 120,000 130,000 140,000 150,000	-0,606 $-0,631$ $-0,656$ $-0,682$ $-0,708$
8,500 9,000 9,500 10,000 10,500	-0,298 -0,343 -0,388 -0,433 -0,476	27,000 28,000 29,000 30,000 32,000	-0,694 -0,681 -0,669 -0,657 -0,636	160,000 170,000 180,000 190,000 200,000	0,734 0,760 0,785 0,810 0,834
11,000 11,500 12,000 12,500 13,000	0,517 0,556 0,593 0,627 0,657	34,000 36,000 38,000 40,000 42,000	-0,617 -0,601 -0,587 -0,575 -0,564	210,000 220,000 230,000 240,000 250,000	-0,858 -0,882 -0,904 -0,927 -0,948
13,500 14,000 14,500 15,000 15,500	-0,684 $-0,707$ $-0,728$ $-0,745$ $-0,759$	44,000 46,000 48,000 50,000 55,000	-0,555 -0,548 -0,542 -0,537 -0,530	260,000 270,000 280,000 290,000 300,000	-0,969 -0,989 -1,009 -1,028 -1,047
16,000 17,000 18,000 19,000 20,000 21,000	$\begin{array}{c} -0,770 \\ -0,782 \\ -0,786 \\ -0,784 \\ -0,779 \\ -0,771 \end{array}$	60,000 70,000 80,000 90,000 100,000	-0,527 -0,531 -0,544 -0,562 -0,583	310,000 320,000 330,000 340,000 350,000	-1,065 -1,084 -1,101 -1,119 -1,136

температурная зависимость т. э. д. с.  $S \cdot 10^{-6} \text{ B-K}^{-1}$  БЛАГОРОДНЫХ МЕТАЛЛОВ

			MEI	AJIJIOB				
т. к	Au [199, 200]	Ag [199, 200]	Pd [199, 201]	Pt [199, 201]	lr [202, 203]	Rh [202, 204]	Ru [202]	Os [202]
10 20 30 40 50 60 70 80 100 150 250 273 300 400 500 600 900 1000 1100 1200 1300 1400 1500	+0,07 +0,96 +1,19 +1,15 +1,04 +0,98 +0,94 +0,82 +1,02 +1,02 +1,79 +1,79 +1,79 +1,79 +1,34 +2,86 +3,18 +3,43 +3,63 +3,77 +3,85 +3,86 +3,78	+0,34 +0,85 +1,17 +1,19 +1,15 +1,06 +0,96 +0,89 +0,73 +0,82 +1,05 +1,30 +1,38 +1,51 +2,82 +3,72 +4,72 +5,77 +6,85 +7,96 +9,06 +10,15	+0,4 +1,6 +2,7 +3,65 +4,3 +4,47 +4,2 +3,7 +2,0 -1,63 -4,85 -8,91 -9,00 -9,99 -13,00 -16,03 -19,06 -22,09 -25,12 -28,15 -31,18 -34,21 -37,24 -40,27 -43,30 -46,32 -49,36	+0,6 +2,3 +3,95 +5,0 +5,8 +5,9 +5,5 +4,29 +1,32 -1,27 -4,38 -4,45 -5,28 -7,83 -9,89 -11,66 -13,31 -14,88 -16,39 -17,86 -19,29 -20,69 -22,06 -23,41 -24,70 -26,06	-0,08 -0,11 -0,03 +0,04 +0,13 +0,28 +0,44 +0,57 +0,64 +0,35 +0,32 +0,20 0 -0,6 -1,1 -2,0 -2,1 -2,3 -2,5 -2,8 -3,2 -3,7 -4,6 -5,5	-0,19 -0,33 -0,24 -0,18 -0,11 +0,35 +0,54 +0,75 +0,58 +0,48 +0,45 +0,30 +0,20 -0,1 -0,20 -0,25 -0,30 -0,40 -0,70 -1,10 -1,70	+0,2 -1,5 -1,5 -1,5 -1,5 -1,5 -1,5 -1,6 -1,8 -2,1 -2,5 -3,5 -4,2 -4,7 -5,4 -6,1 -7,6 -7,6 -8,3	
1700			_52,39	_27,35	-7,2	-2,60	-8,9	_9,9

где L — число Лоренца.

Т. э. д. с. также определяют измерением эффекта Томсона путем

интегрирования уравнения  $\sigma = TdS/dT$ .
Вопросы, связанные с техникой измерения т. э. д. с. в твердой фазе, рассмотрены в работах [186 и 190], в жидкой фазе — в обзоре [191].
При измерении т. э. д. с. интегральным и дифференциальным мето-

дами за эталон берут т. э. д. с. чистого свинца. Это обусловлено тем, что, во-первых, ииже 7,2 К свинец становится сверхпроводником, т. э. д. с. которого равна нулю, во-вторых, технология получения чистого свинца довольно проста и, в-третьих, т. э. д. с. свинца слабочувствительна к наличию малых добавок примесей [192].

Термоэлектродвижущая сила при различных температурах и сте-пенях деформации приведена в табл. 4.14—4.17.

ا ځ	Sary-		44	ପ୍ରସମ୍ଭ ନ	6]	7777	8]	
	Литерату-		1193 1193 1194 1194 1194	[195] [195] [195]	[196] [196] [196]	197 1197 1197 1197	[198]	
	Метод		Дифф. , , , , Интегр. , ,	Диф <b>ф.</b> ,, ,,	» Интегр. »	* * * *	Дифф.	
		9	++++ 9.8.4.4.1.1 6.8.8.6.4	300 130 130	111	1111	1	
		53	+++ -0,5,0 -0,3	111	111	1111	ı	
	и Т, К	4	++++  2,2,3,2,2,2,2,2,4,2,0,1,2,2,2,2,2,2,2,2,2,2,2,2,2,2,2,2,2		111	1111	+25	
	S.10-8, B.K-1 npn 7, K	2	++++   40,0011   40,004	0 0 +40	-40 + 10	+++ +7,5	1	
	S.10-8	1,5			+1150	-7,5 +6,25 +5,25	1	
		1	1110,8	3 111	09-1-0	+ + + 50 3 8 5 5 5 5 5 5 5 5 5 5 5 5 5 5 5 5 5 5	ı	
		0,04	1	111	110 6 13	3,50	1	
	Кристалло- графифеская	ориентация	001 111 Поликр. "		* * *	* * * *	0001	
			3 270 2 785 2 530 10 400 8 200	1400 1190 880	6 000 5 000 100	1 127 335 136 170	3 000	
	Металл		Ag	Au	Pt	Pd	Ru	
2 ' 2		1	1					

ТЕМПЕРАТУРНАЯ ЗАВИСИМОСТЬ т. э. д. с. СЕРЕБРА ПРИ РАЗЛИЧНОЙ СТЕПЕНИ ДЕФОРМАЦИИ [193]

Степень	_	S·10 <sup>—8</sup> , В·K <sup>—1</sup> при <i>T</i> , K				
деформации		4	6	8		
D1 D2 D3 D4	3270 2500 1600 980 625	+2,2 $+1,9$ $+1,6$ $+1,6$ $+1,6$	$\begin{array}{c} +2,6 \\ +4,0 \\ +4,2 \\ +4,0 \\ +4.0 \end{array}$	$\begin{bmatrix} 0 \\ -4.8 \\ +6.5 \\ +7.2 \\ +7.2 \end{bmatrix}$		

 $\Pi$  р и м е ч а н и е. D1—D4 — обозначение степени деформации, обеспечивающей соответствующее остаточное электросопротивление.

### 4.7. Эмиссионные и вторичноэмиссионные свойства

Основные методы определения работы выхода электронов

Согласно современным представлениям работа выхода электрона состоит из двух частей: внутренней, зависящей только от объемных свойств материала, и внешней, зависящей от внутренней структуры материала и состояния его поверхности. Несмотря на исключительную чувствительность работы выхода электронов к состоянию поверхности, определяющим является электронная структура твердого тела. Электронная структура обусловливает особенности строения приповерхностных слоев атомов, которые и осуществляют эмиссию электронов.

Таким образом, работа выхода может быть определена из комплекса многочисленных физико-химических свойств. На основании теоретических методов (ТМ) работа выхода определялась в зависимости от атомного номера, атомного объема, коэффициента сжимаемости, энергии кристаллической решетки, первого ионизационного потенциала атома и плотности упаковки атомов, поверхностного натяжения, электроотрицательности, потенциала нулевого заряда и атомного радиуса, перенапряжения водорода, энергии активации высокотемпературного окисления металлов, а также поверхностного напряжения и др.

Экспериментальные методы определения работы выхода отличаются в основном способами энергетического возбуждения электрона. Фактические величины работы выхода электронов, получаемые при использовании различных методик, значительно отличаются друг от друга, поэтому выбор величины иногда затруднителен. Многие авторы оценивают достоверность экспериментальных значений их близостью к теоретическим значениям.

Термоэлектронный метод (ТЭ) основан на явлении испускания электронов с поверхности материала при нагревании. Плотность потока электронов зависит от величины работы выхода н температуры нагрева. Основные параметры связапы уравнением Ричардсона—Дэшмана:  $j=l/S=(1-r)\,A_0T^2\exp\left(-e\phi/kT\right)$ , где j— плотность тока термоэмиссии; i— полный ток катода; S— площадь катода; коэффициент  $A_0=120$ ,  $A/(\text{см}^2\cdot\text{c}^2)$ ; (1-r)— средний коэффициент проницаемости барьера на границе твердое тело—вакуум; r— средний коэффициент отражения электронов от этого барьера;  $\phi$ — истинная работа выхода.

Для вычисления работы выхода применяют метод «полного тока» и метод «прямых Ричардсона». Особенности обоих методов расчета и

физико-химия термоэмиссионных материалов достаточно полно наложены в работе [205].

Рентгеновский метод (РЭ) заключается в том, что эмиттированные с катода электроны при достижении анода дают спектр тормозного излучения. Работу выхода электрона для исследуемого катода определяют путем сравнения с эталонным катодом с известной ф. Материал анода остается неизменным. Получаемые во время эксперимента изохроматы чувствительны к разности уровней Ферми [206].

Калориметрический метод (КМ) позволяет определять работу выхода электрона по величине энергии, уносимой эмиттирующими электронами при нагреве катода. Уравнения для расчета приводятся в работе [207].

Эффузионный метод (ЭФ) считается наиболее надежным для определения работы выхода электрона. В нем используется температурная зависимость равиовесного давления электронного газа над эмиттером. Равновесие между эмиссией и конденсацией термоэлектронов наступает при наличии над поверхностью эмиттера электронного газа определеной плотности. Термодинамическое рассмотрение системы эмиттер — равновесный электронный газ дает возможность получить уравнение Ричардсона — Дэшмана.

По методу поверхностной ионизации (ПИ) работу выхода электрона измеряют в процессе термически равновесной десорбции атомов или молекул с поверхности твердого тела в виде положительных или отрицательных ионов. Прн положительной поверхностной ионизации происходит тепловая десорбция атомов металлов (Li, Na, K, Rb, Cs), адсорбированных на поверхности тугоплавких металлов в виде положительных ионов.

Фотоэлектронный метод (ФЭ) основан на опредслении красной границы фотоэффекта при облучении эмиттера светом.

Метод контактной разности потенциалов (КРП) позволяет определить работу выхода электронов на основании изучения разности потенциалов между катодом и анодом с известной работой выхода.

Автоэлектронный метод (АЭ) основан на определении величины тока, возникающего при воздействии сильного ускоряющего электрического поля у поверхности катода.

Работа выхода электронов поликристаллов

Изучению величнны работы выхода электронов в поликристаллах благородных металлов посвящено большое количество как теоретических, так и экспериментальных работ. Ниже приводятся усредненные рекомендуемые значения работы выхода электропов, эВ [207, 139]: Au 4,3, 4,25; Ir 4,7, 5,4; Ag 4,3, 4,31; Rh 4,75, 4,8; Pt 5,32, 5,39; Ru 4,6; Pd 4,8, 4,99; Os 4,7, 4,8.

Работа выхода электронов монокристаллов

Металлам в монокристаллическом состоянии присуща анизотрония свойств. Работа выхода электронов — наиболее чувствительная к анизотронии характеристика. Изучение анизотронии работы выхода электронов наиболее широко распространилось в последние 25—30 лет, когда появились новые методы высокотемпературной вакуумной плавки, позволившие получать тугоплавкие материалы в монокристаллическом состоянии. Величина анизотронии работы выхода для некоторых металлов может достигать значительной величины (25—30%) [208]. Явление анизотронии работы выхода электронов имеет большое значение для практических целей при использовании монокристаллов в электронных приборах и термоэмнссионных преобразователях энергии (табл. 4.18).

*ТАБЛИЦА 4.18* РАБОТА ВЫХОДА ЭЛЕКТРОНОВ МОНОКРИСТАЛЛОВ [205, 207, 209]

И <b>ндекс</b> гранн	Работа выхода ф. эВ	Метод определения	Примечание
{100} {111}	4,02 4,12	Золото ФЭ ФЭ	} Напыленные пл <b>е</b> нки
		Серебро ·	ı
{100}	4,3	ФЭ	Напыленные пленки
{100}	4,62±0,03	КРП	Средняя ф. КРП относи- тельно W
{100}	4,79	КРП	КРП относительно Ва
{100} {111} {111}	4,81±0,01 3,98 4,75±0,01	ФЭ ФЭ ФЭ	Напыленные пленки
		Платина	
{111} {111} {111} {111} {111} {210}	4,54 4,77±0,1 4,82±0,05 5,79 5,1	ТМ ПИ ПИ ТЭ ТЭ	—————————————————————————————————————
	€-фаза	[Mo — 65 % (ат.)	Rhl
{0001}	4,87	ТЭ	<b>-</b>
$\{10\overline{1}2\}$	4,46	ТЭ	
$\{11\overline{2}4\}$	4,30	ТЭ	
		Ири∂ий	
{100} {100} {100}	5,2 5,37±0,05 5,50±0,05	TM TЭ TЭ	— Эффективная ф Метод прямой Ричард-
{110} {111} {111}	4,84 5,56 5,74±0,06	TM TM TЭ	сона — Метод прямой Ричард-
{111} {111}	5,79±0,03 5,80±0,03	ПИ ТЭ	сона — Метод прямой Ричард- сона
	•	Рутений	,
{0001}	5,40	ТЭ	I)
{1010}	5,14	ТЭЭ	Метод прямой Ричард-
{1124}	4,52	ТЭ	[]

Иидекс грани	Работа выхода φ, эВ	Метод опре <b>д</b> еления	Примечание
<u> </u>	-,	Осмий	
{000 <b>1</b> } {1 <b>0</b> 10}	5,59 5,34	} TM	<b></b>

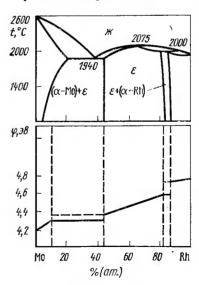
Работа выхода электронов сплавов и соединений

Изменение эмиссионных свойств сплавов зависит от типа диаграмм состояния и состава сплава.

В настоящее время изучение эмиссионных свойств сплавов еще не достигло по объему и степени обобщения результатов уровня изучения эмиссионных свойств чистых металлов. Учитывая перспективность исследований свойств сплавов, приведены имеющиеся сведения по изучению эмиссионных свойств сплавов и соединений с благородными металлами (табл. 4.19, рис. 4.18—4.20).

### Вторичноэмиссионные свойства

Испускание электронов твердым телом при облучении его поверхности потоком электронов называется вторичной электронной эмиссией. Основная характеристика вторичноэмиссионных свойств вещества — зависимость коэффициента вторичной электронной эмиссии от энергии электронов первичного пучка  $\sigma = f(E_p)$ . Он определяется соотношением тока вторичных электронов к току первичных:  $\sigma = l_2/l_1$ . Коэффициент вторичной электронной эмиссии является суммарной величиной ко-



Рнс. 4.18. Диаграмма состояння системы Мо—Rh и работа выхода электронов прн T=1700 K

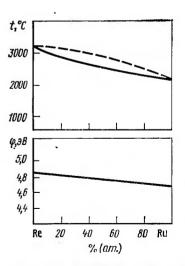
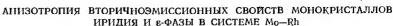


Рис. 4.19. Диаграмма состояния системы Re—Ru и работа выхода электронов при T=1700 K



Металл или		Пле	оскости мо	нокристал	ла	Поли-
соединенне	Параметры	(100)	(110)	(11	1)	кристалл
Ir	$egin{array}{l} \sigma_{ ext{max}} \ E_{pm}, \  ext{9B} \ \eta_{ ext{max}} \ E_{pm}^{ ext{II}}, \  ext{9B} \end{array}$	2,11 650 0,67 1200	1,95 650 0,49 1050	1,8 69 0,4	50 <b>45</b>	1,80, 800 —
		(0001)	(1010)	(1120)	(1124)	
є-фаза (65 % Rh)	$\sigma_{ ext{max}} \ E_{pm}$ , ${}_{ ext{9} ext{B}}$	1,65 660	1,68 560	<u>-</u>	1,75 520	1,6 400



ВТОРИЧНОЭМИССИОННЫЕ СВОЙСТВА НЕКОТОРЫХ ПОЛИКРИСТАЛЛИЧЕСКИХ МЕТАЛЛОВ И СОЕДИНЕНИЙ БЛАГОРОДНЫХ МЕТАЛЛОВ

Металл или соединение	$\sigma_{\max}$	<i>Е<sub>рт</sub>,</i> эВ	$U_{\mathrm{KP}}^{\mathrm{I}}$ , B
σ-фаза (Nb+37Ir) ε-фаза (Mo+49Rh) Mo+68Rh Mo+80Rh Rh	1,60 1,54 1,60 1,66 1,7	550 400 400 400 600	115 105 95

### *ТАБЛИЦА 4.22*

КОЭФФИЦИЕНТ ВТОРИЧНОЙ ЭЛЕКТРОННОЙ ЭМИССИИ СПЛАВОВ БЛАГОРОДНЫХ МЕТАЛЛОВ С ЛАНТАНОМ, БАРИЕМ И ТОРИЕМ

Химический состав	Фазовый состав	σ <sub>max</sub>	$\sigma_{\max}$	
сплава, % (ат.)	сплава	основной фазы	сплава	
Pt+0,5La Ir+0,5La Os+0,5La Pt+2Th Ir+2Th Os+2Th Pt+2Ba Pd+2Ba Rh+2Ba	$\begin{array}{c} Pt+Pt_5La\\ Ir+Ir_2La\\ Os+Os_2La\\ Pt+Pt_2Th\\ Ir+Ir_5Th\\ Os+Os_2Th\\ Pt+Pt_5Ba\\ Pd+Pd_5Ba\\ Rh+Rh_2Ba\\ \end{array}$	1,80 1,80 1,80 1,80 1,80 1,80 1,80 1,70 1,70	1,73 2,47 2,20 1,57 2,00 2,07 3,60 2,60 2,40	

γ,3δ 5,0 4,6 Ta 20 40 60 80 Ru % (am.)

Рис. 4.20. Работа выхода электронов сплавов системы Та-Ru

ТАБЛИЦА 4.19 РАБОТА ВЫХОДА ЭЛЕКТРОНОВ СПЛАВОВ И СОЕДИНЕНИЙ БЛАГОРОДНЫХ МЕТАЛЛОВ

эффициентов упругого отражения

(r), неупругого отражения  $(\eta)$  и истинно вторичной эмиссни  $(\delta)$ .

Зависимость коэффициентов эмиссии от энергии первичных элект-

pohob:  $\sigma(E_p)$ ,  $\eta(E_p)$ ,  $\delta(E_p)$ ,  $r(E_p)$ .

благородных металлов изучены

крайне мало. Имеющиеся литера-

турные данные [205] приводятся

Вторичноэмиссионные

в табл. 4.20, 4.21.

	влагородных металлов					
Состав сплава, % (ат.)	Работа выхода ф, эВ	Температура, Қ	Метод определення			
Pd-2Ba Rh-2Ba Os-0,5La Os-2Th Ir-0,5La Ir-8,12La	$\begin{array}{c c} 2,50 \\ 2,2 \\ 2,61\pm6\cdot10^{-5} & T \\ 3,08 \\ 2,63+4\cdot10^{-5} & T \\ 2,57 \end{array}$	1300 1300 — 1600 — 1100—1500	T9 T9 T9 T9 T9 T9			
Ir—11,95Ce Ir—11,88Pr Ir—10,4Nd Ir—7,5Sm Ir—2Th Pt—24,9C	2,57 2,55 2,60 2,54 3,84+4·10-5 T 4,6		TЭ TЭ TЭ TЭ TЭ TЭ			
Pt—1,8Ba Pt—2Ba Pt—Ca Pt—Sr Pt—Ba	3,5 2,2 3,0 2,3 2,2	1300 — — —	AЭ ТЭ ТЭ ТЭ ТЭ			
Pt—0,5La Pt—2Th Au—2Ba Au—Pt*1 Au—Pt*2	$\begin{array}{c} 3,98 + 2 \cdot 10 - 5 \ T \\ 3,9 + 6 \cdot 10 - 5 \ T \\ 2,2 \\ 5,36 \rightarrow 5,45 \\ 5,42 \rightarrow 5,58 \end{array}$	   100 	ТЭ ТЭ ТЭ ФЭ ФЭ			
Au—Pt*3 AuBa <sub>5</sub> AuBa <sub>5</sub> Au <sub>2</sub> Ba Au <sub>5</sub> Ba	$5,36\rightarrow5,75$ $3,18\pm0,11$ $3,19\pm0,05$ $4,0$ $3,3$	- - - -	ФЭ ФЭ КРП АЭ АЭ			
	1		I			

 $<sup>^{*1}</sup>$  Измененне состава сплава в виде пленки от 11 до 95 % (ат.) А<br/>и. Аи испаряется на  ${\rm Pt}.$ 

<sup>\*2</sup> Изменение состава сплава в виде пленки от 15 до 88 % (ат.) Рt. Одновременно испаряются Рt и Au.

<sup>\*8</sup> Изменение состава сплава в виде пленки от 12 до 93 % (ат.) Рt. Рt испаряется на Au.

ОПТИЧЕСКИЕ ПОСТОЯННЫЕ И ОТРАЖАТЕЛЬНАЯ СПОСОБНОСТЬ БЛАГОРОДНЫХ МЕТАЛЛОВ ПРИ КОМНАТНОЙ ТЕМПЕРАТУРЕ

Легирование платиновых металлов химически активными элемен-
тамн значительно повышает максимальный коэффициент вторичноэлек-
тронной эмиссии, что можно объяснить присутствием окислов активных
элементов, образующихся при плавке. Результаты, полученные Дю-
буа Б. Ч. и др. на благородных металлах с добавками лантана, то-
рия и бария, приводятся в табл. 4.22.

### 4.8. Оптические свойства

Оптические свойства изотропного металла описываются показателем преломления n и показателем поглощения k, которые определяют фазу и поглощение плоской световой волны, распространяющейся внутри металла:

$$\vec{E}(t, x) = \vec{E}_0 \exp \left\{-i\omega \left[t - \frac{x}{c}(n + ik)\right]\right\},\,$$

где  $\overrightarrow{E}$  — электрическое поле световой волны на глубине x от поверхности;  $\omega$ , c — циклическая частота и скорость световой волны соответственно; N = n + ik — комплексный показатель преломления.

Одноосные кристаллы характеризуются двумя показателями преломления  $n_{\perp}$ ,  $n_{\parallel}$  и двумя показателями поглощения  $k_{\parallel}$ ,  $k_{\parallel}$  соответ-

ственно для направлений  $\overrightarrow{E} \perp \overrightarrow{c}$  и  $\overrightarrow{E} \parallel \overrightarrow{c}$  ( $\overrightarrow{c}$  — кристаллографическая ось). Наибольшую точность в определении и и к дают поляриметрические методики, в которых измеряют отношение амплитуд и разность фаз отраженного света s- и p-поляризации [210].

Отражательная способность R при нормальном падении света на металл связана с комплексным показателем преломления N соотноше-

$$R = \left| \frac{N-1}{N+1} \right|^2 = \frac{(n-1)^2 + k^2}{(n+1)^2 + k^2}$$

и может быть рассчитана из значений п и к или измерена непосредст венно из отношения интенсивностей падающей волны к отражен-

ной [211].

Доля падающего излучения, необратимо поглощаемого металлом, называется поглощательной способностью А. Для непрозрачных объектов справедливо уравнение (A+R)=1. Тело, способное поглощать все падающее из него излучение, называется абсолютно черным. По определению для абсолютно черного тела  ${
m пр}$ н любой температуре T и всех длинах волн  $\lambda A(\lambda, T) = 1$ .

Излучательная способность определяется отношением плотности потока теплового излучения тела при данной температуре W(T) к плотности потока теплового излучения абсолютно черного тела при той же температуре  $W_0(T)$  и согласно закону Кирхгофа равна поглоща-

тельной способности этого тела:  $\varepsilon = W(T)/W_0(T) = A$ .

Различают интегральную излучательную способность є (тепловой поток испускается во всем интервале длин волн от  $\lambda = 0$  до  $\lambda = \infty$ ) и спектральную излучательную способность  $\varepsilon(\lambda)$  [тепловой поток испускается в узком интервале длин волн от  $\lambda$  до  $(\lambda + d\lambda)$ ]. Если излучение происходит по нормали к поверхности тела, излучательную способность называют нормальной єн. Как и поглощательная способность А, она может быть рассчитана из значений оптических постоянных по формуле  $\varepsilon_{\rm H} = 4n/[(n+1)^2 + k^2]$  или измерена экспериментально [212]. Данные о полусферической излучательной способности, представляющей интерес для практики, можно найти в работе [212].

λ, мкм	n	k	R, %	Литература, примечание
			Ag	
0,247 0,300 0,350 0,400 0,500	1,27 1,56 0,119 0,082 0,103	1,33 1,01 1,23 2,03 3,05	26,6 17,6 82,7 93,8 96,2	[213], пленка
1,0 2,0 3,0 4,0 5,0 6,0 7,0 8,0 9,0 10,0 11,0	0,25 0,68 1,38 2,34 3,52 4,87 6,31 7,86 9,36 10,8 12,0 12,8	6,81 13,6 20,3 26,9 33,2 39,4 45,3 50,9 56,0 60,7 64,8 67,8	97,9 98,6 98,7 98,7 98,7 98,7 98,8 98,8 98,8 98,9 98,9	[214], пленка толициной $d=0.7\div1.1$ мкм; поляриметрический метод
			Au .	+
0,246 0,300 0,350 0,410 0,490 0,60 0,70 0,81	1,33 1,53 1,50 1,46 1,04 0,21 0,13 0,16	1,63 1,89 1,87 1,96 1,83 3,27 4,10 5,08	34,2 38,6 38,4 41,0 44,6 93,1 97,1 97,6	[215], пленка толщиной <i>d=</i> =0,0185÷0,05 мкм
1,0 2,0 3,0 4,0 5,0 6,0 8,0 10,0	0,224 0,546 1,17 2,04 3,27 4,70 7,82 11,5 15,4	6,71 13,9 21,0 27,9 35,2 41,7 54,6 67,5 80,5	98,1 98,9 98,9 99,0 99,0 98,9 99,0 99,0	[216], пленка толщиной <i>d</i> ==0,5÷1,0 мкм; поляриметри ческий метод
			Ru	
0,265 0,302 0,404 0,500 0,600	0,95 0,92 1,84 2,54 3,25	3,06 3,32 4,27 4,53 5,14	71,1 75,0 72,0 69,3 70,8	[221], монокристалл электри полированный; поляриметрич ский метод, $(\overrightarrow{E} \perp \overrightarrow{c})$

λ, мкм	n	k	R. %	<b>Литература, примечание</b>
0,700 0,800 0,900 1,0 1,5 2,0 2,5 3,0 4,0 5,0 7,0 10,0 14,0	4,18 4,41 4,32 4,30 1,88 2,00 1,90 3,07 6,58 8,60 12,6 17,6 22,7	4,92 4,41 4,03 3,90 6,50 9,81 14,3 17,4 20,8 23,3 30,2 38,0 50,0	67,2 63,8 61,2 60,3 85,2 92,4 96,4 96,1 94,6 94,6 95,4 96,1 97,0	
		•	Os	•
0,248 0,265 0,280 0,302 0,365 0,400 0,500 0,600 0,700 0,800 0,900	1,70 1,92 2,31 2,96 3,09 3,54 5,62 5,59 4,32 3,31 2,47 1,89	3,63 3,91 4,02 3,87 4,10 4,42 3,96 2,10 1,58 1,76 2,44 3,32	66,8 67,7 65,9 61,4 63,1 64,7 62,2 53,2 43,9 38,9 45,1 61,0	[222], монокристалл электро-полированный; $\rightarrow$ $\rightarrow$ ческий метод, $(E \perp c)$
		•	Rh	•
0,265 0,302 0,365 0,400 0,500 0,600 0,700 0,800 0,900 1,0 1,5 2,0 2,5	0,60 0,73 0,82 1,15 1,52 1,72 1,76 2,04 2,29 2,51 3,50 3,50 3,40	2,22 2,42 3,17 3,55 4,03 4,56 5,30 5,91 6,80 9,05 11,9 14,5	67,9 67,0 75,4 73,3 73,1 75,6 80,3 81,5 82,3 82,9 87,1 91,3 94,1	[219], поликристалл механически полироваиный; поляриметрический метод
3,0 4,0 5,0 7,0	3,79 5,03 6,02 8,40	17,3 20,1 24,0 31,3	95,3 95,4 96,2 96,9	

Литература, примечание	R, %	k	n	λ, мкм
	97,5 98,0 98,1	42,8 56,4 64,0	12,8 17,8 21,7	10,0 14,0 18,0
	Ir		·	·
[220], поликристалл механически полированный; поляримерический метод	58,7 66,1 69,4 70,5 72,3 73,9 76,4 77,6 85,2 89,7 91,9	2,81 3,48 4,10 4,60 5,00 5,40 5,90 6,28 8,84 11,2 13,9	1,42 1,60 1,95 2,42 2,65 2,90 3,00 3,18 3,70 3,84 4,51	0,302 0,404 0,500 0,600 0,700 0,800 0,900 1,00 1,5 2,0 2,5
	93,2 93,7 94,8 95,6 96,6 96,9 97,5 97,8 98,1	16,4 18,2 21,0 25,2 32,5 35,5 42,0 48,9 59,0	5,28 6,00 6,50 7,77 10,1 11,1 12,3 14,5 18,6	3,0 3,5 4,0 5,0 7,0 8,0 10,0 12,0 15,0
1	Pd			
[217], поликристалл электро полированный; поляриметро ческий метод; сняты с графо ков		6,2 14,0 14,1 15,8 19,0 22,7 24,7 27,0 29,5	2,8 8,7 4,5 4,0 6,5 8,3 10,0 11,5 13,2	1,0 2,0 3,0 4,0 5,0 6,0 7,0 8,0 9,0
	Pt		•	
[218], поликристалл механич ски полированный; поляриме рический метод	50,6 51,5 61,2 65,6 68,8 71,2 73,2 74,5 76,9 80,6	1,96 2,23 2,98 3,59 4,10 4,62 5,12 5,55 6,06 7,73	0,94 1,18 1,44 1,76 2,03 2,34 2,64 2,97 3,06 4,20	0,265 0,302 0,404 0,500 0,600 0,700 0,800 0,900 1,00

λ, мкм	n	k	R. %	Литература, примечание
2,0 3,0 4,0 5,0 7,0	4,74 4,73 5,60 7,57 9,75	8,87 12,3 16,0 20,2 24,9	83,0 89,7 92,5 93,7 94,7	
		Au-	-51 % (ат.	) Cu
0,265 0,302 0,400 0,500 0,600 0,700 0,800 0,900 1,00	1,14 1,33 1,26 1,20 0,65 0,63 0,72 0,79 0,84	1,68 1,71 2,05 2,38 2,95 3,93 4,70 5,37 5,91	38,4 36,3 45,9 54,3 77,2 86,1 88,5 90,1 91,2	[223], поликристалл механиче- ски полированный; поляримет- рический метод
	,	Pd-	-50 % <b>(</b> ат.	) In
0,248 0,280 0,302 0,400 0,500 0,600 0,700 0,800 0,900 1,0 1,5 2,0 3,0 4,0 5,0 7,0 8,0 10,0	1,26 1,37 1,46 1,46 1,55 0,89 0,53 0,29 0,22 0,37 1,43 1,95 4,10 4,70 5,90 9,80 12,4 15,2 33,8	1,57 1,50 1,55 1,96 2,02 2,00 2,83 3,51 4,03 5,10 9,83 13,1 18,5 22,7 26,8 34,8 39,0 50,1 81,7	33,4 30,3 30,9 41,0 41,4 53,0 79,6 91,7 94,7 95,7 96,6 96,9 97,1 97,2 97,8 98,3	[224], монокристалл электро- полированный, 8° от (100); поляриметрический метод
		Rh —	48 % (ат.	) Fe
0,302 0,400 0,500 0,600 0,800 1,0 1,5 2,5	0,92 1,22 1,60 2,00 2,62 3,20 4,50 6,40	2,33 2,96 3,42 4,09 5,02 5,64 6,90 9,16	59,6 64,4 65,3 68,9 72,6 74,1 76,9 81,5	[225], поликристалл механически полированный; поляриметрический метод

λ, мкм	n	k	R. %	Литература, примечание
5,0	10,3	12,8	85,9	*
8,0	13,6	15,8	88,3	
10,0	15,7	17,2	89,1	
15,0	17,4	18,9	90,0	
15,0	19,9	21,7	91,2	
17,0	20,8	22,9	91,8	

В металлах в процессах оптического поглощения, отражения и излучения участвует только тонкий поверхностный слой  $\simeq 15 \div 100$  нм, поэтому физико-химическое состояние поверхности и ее зеркальность заметно влияют на все оптические характеристики. Ввиду этого в табл. 4.23—4.25 везде указан способ приготовления зеркальной поверхности образцов.

Все оптические характеристики зависят от длины световой волны и температуры. Их спектральные зависимости определяются электронно-



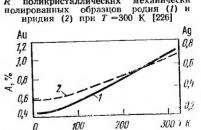
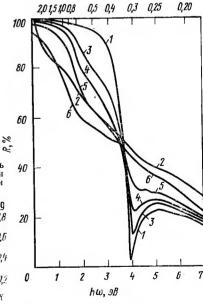


Рис. 4.22. Температурная зависимость поглощательной способности A монокристаллического золота (1) и поликристаллического серебра (2) при  $\lambda = -2.6$  мкм [227]



λ, MKM

Рис. 4.23. Отражательная способность R Ag. Pd и силавов Ag—Pd при T=293 K: I-Ag: 2-Pd: 3-10% (ат.) Pd; 4-20% (ат.) Pd; 5-30% (ат.) Pd; 6-50% (ат.) Pd [228]

ТАБЛИЦА 4.24

ИНТЕГРАЛЬНАЯ ИЗЛУЧАТЕЛЬНАЯ СПОСОБНОСТЬ

<i>T</i> , K	ε	т. қ	ε
Au	[229]	Rh	[212]
Pt 400 600 800 1000 1200 1400 1500 1600 1700 1800 2000	0,02—0,03 [212] 0,029 0,052 0,080 0,107 0,129 0,146 0,154 0,162 0,168 0,174	900 .1000 1100 1200 1300 1400 1600 Pd 1000 1100 1200 1300 1400 1500	0,053 0,059 0,066 0,073 0,079 0,086 0,100 [212] 0,089 0,101 0,113 0,126 0,138 0,150

энергетическим спектром металлов и несут информацию о распределении электронных состояний в зонных спектрах металлов и параметрах электронов проводимости (рис. 4.21-4.23). Оптические постоянные n, k, отражательная способность R, поглощательная способность A и излучательная способность  $\varepsilon$ — безразмерные величины. Экспериментальная точность определения их абсолютных значений составляет 2-6% (n, k), 1-5% (R, A) и 2-10%  $[\varepsilon(\lambda), \varepsilon]$ .

ТАБЛИЦА 4.25 СПЕКТРАЛЬНАЯ ИЗЛУЧАТЕЛЬНАЯ СПОСОБНОСТЬ

λ, мкм	Т, Қ	ε (λ)		Литера	атура
		Ag			
0,66	1000-2000	0,050	[230],	снято	с графика
		Au			
0,66	1100—2000	0,13-0,15	[230]		

λ, мкм	<i>T</i> , K	ε (λ)	Литература
0,4	323 1273	0,70 0,69	
0,5	323 1273	0,60 0,57	
0,6	3 <b>2</b> 3	0,19	[231], снято с график
0,7	1273 323	0,25 0,12	
0,8	1273 323	0,14 0,10	
0,0	1273	0,12	,
		Pd	
0,65	1000	0,400	[212]
	1100 1200	0,387 0,373	
	1300	0.360	
	1400 1500	0,346 0,333	
	1600 1700	0,319 0,306	
		Pt	•
0,66	1200	0,283	1,
	1400 1500	0,287 0,289	Fond
	1600	0,291	[232]
	1700 1800	0,293 0,295	
	1900	0,297	1,
0,4	323 1273	0,54 0,57	
	1473	0,58	[001]
0.0	1673	0,60	[231]
0,8	323 1273	0,32 0,35	
	1473	0,39	
		Rh	
0,66	1350	0,260	[233]
	1450 1550	0,251 0,239	
	1650	0,235	
	1750 1850	0,229 0,2 <b>2</b> 0	

λ, мкм	<i>т</i> . к	ε (λ)	Литература
	1950 2150	0,210 0,200	
	ı	Ir	1
0,66	1300 1500 1800 2000 2200 2500	0,272 0,262 0,248 0,238 0,229 0,215	[234]
1,0	300 1100 1500 2400 3000	0,21 0,22 0,23 0,24 0,25	[ ]
2,0	300 1100 1500 2400 3000	0,10 0,14 0,16 0,19 0,18	[235], рассчитано по <i>п</i> и <i>k</i>
		Ru	•
0,655	1200 1400 1600 1800	0,45 0,36 0,33 0,32	[236], снято с графика
	2000 2200 2400	0,31 0,31 0,32	
		Os	•
0,655	1400 1600 1800	0,46 0,41 0,38	[236]
	2000 2200 2400	0,37 0,37 0,38	

### 4.9. Магнитные свойства

### Основные понятия

Во внешнем магнитном поле металл приобретает магнитный момент M, пропорциональный этому полю. Коэффициент пропорциональности называется объемной магнитной восприимчивостью ( $\chi_V$ ). Обычно пользуются удельной магнитной восприимчивостью:

$$\chi_m = \chi_V/\rho$$
,

где  $\rho$  — плотность металла, выраженная в кг/м<sup>3</sup> (10<sup>3</sup> г/см<sup>3</sup>).

Магнитный момент металла в магнитном поле может быть направлен по направлению действия поля и против, в соответствии с этим магнитная восприимчивость имеет разные знаки. Металлы с  $\chi_m > 0$  называются парамагнетиками (Ru, Rh, Pd, Os, Ir и Pt), с  $\chi_m < 0$ — диамагнетиками (Au, Ag).

Факторы, влияющие на величину

магнитной, восприимчивости

На величину магнитной восприимчивости диамагнитных и парамагнитных металлов, особенно при низких температурах, значительно влияют примеси ферромагнитных металлов, имеющих большой магнитный момент. Ферромагнитные примеси приводят к значительному возрастанию  $\chi_m$  с понижением температуры.

В монокристаллах или текстурированных образцах г. п. у. металлов, например рутения, осмия, величина магнитной восприимчивости зависит от ориентации магнитного поля относительно кристаллографических осей

Магнитная восприимчивость металла определяется магнитными моментами ионного остова и электронов проводимости. Так как электроны проводимости играют существенную роль в формировании суммарного магнитного момента, магнитная восприимчивость диамагнитных и парамагнитных металлов непосредственно связана с их электронной структурой [237].

С существующими методами измерения магнитной восприимчнвости можно ознакомиться в монографии В. И. Чечерникова [238].

В табл. 4.26 приведены значения магнитной восприимчивости благородных металлов, полученные методом Фарадея в постоянных полях напряженностью  $\sim 1$  Тл.

ТАБЛИЦА 4.26 УДЕЛЬНАЯ МАГНИТНАЯ ВОСПРИИМЧИВОСТЬ ПРИ РАЗЛИЧНЫХ ТЕМПЕРАТУРАХ

	IDMINITAL TOTAL	_
<b>т.</b> К	$\chi_m, \; 10^{9} \; { m M}^8/{ m K}{ m \Gamma}$	
Au (	99,9999 %) [239]	_
7,8 17,1 29,9 49,7 82,3—199,1 235,5 291,2	$\begin{array}{c} -0,1426 \\ -0,1427 \\ -0,1428 \\ -0,1430 \\ -0,1432 \\ -0,1431 \\ -0,1431 \end{array}$	

	Продолжение так	ол. <b>4</b> .2
<i>т</i> , қ	х <sub>т,</sub> 10 <sup>—•</sup> м³/кг	
	Au (99,999 %) [240]	
295 500 700 900 975	$\begin{array}{c} -0.1430_3 \\ -0.1428_9 \\ -0.1424_9 \\ -0.1419_6 \\ -0.1417_3 \end{array}$	
	Ag (99,9999 %) [239]	
5 28 55 80,7 100 120 178 240 292	-0,1826 -0,1825 -0,1824 -0,1823 -0,1822 -0,1820 -0,1816 -0,1808 -0,1801	
	Ag (99,999 %) [240]	
295 400 500 600 700 800 900 975	$\begin{array}{c} -0,1807_2 \\ -0,1792_9 \\ -0,1780_4 \\ -0,1769_6 \\ -0,1763_9 \\ -0,1760_5 \\ -0,1776_0 \\ -0,1786_9 \end{array}$	
	Pt (99,99 %) [241]	
20 30 40 50 60 70 80 90	1,094 1,086 1,080 1,076 1,073 1,070 1,068 1,067	
	295 500 700 900 975 5 28 55 80,7 100 120 178 240 292 295 400 500 600 700 800 975	Au (99,999 %) [240]  Au (99,999 %) [240]  -0,1430 <sub>3</sub> -0,1428 <sub>9</sub> -0,1424 <sub>9</sub> -0,1419 <sub>6</sub> -0,1419 <sub>6</sub> -0,1417 <sub>3</sub> Ag (99,9999 %) [239]  5

<b>т,</b> қ		$\chi_{m_{\tau}}$ 10 <sup>9</sup> m <sup>3</sup> /kg
100		1,065
110		1,064
130		1,059
150	İ	1,052
170		1,044
190	-3	1,034
210	1	1,022
230		1,011
250 270		0,998
270 293		0,986
290	i	0,971
	Pt (9	99,999 %) [242]
80		1,070
100		1,068
150		1,055
200 250		1,030
300		1,000 0,985
350	7-	0,943
400	1	0,907
450		0,869
500		0,835
<b>55</b> 0		0,804
600		0,778
650		0,754
700		0,733
<b>750</b>		0,712
800	ý	0,694
<b>85</b> 0 <b>9</b> 00		0,677
950 950		0,606 0,641
1000		0,623
1050	l	0,607
1100	Į.	0,590
1150		0,576
12 <b>0</b> 0		0,560
1250		0,545
1300		0,533
1350		0,522
1400	İ	0,512
1450	*	0,503
1500		0,494
1550 1600		0,486
1650 1650	ļ	0,479 0,479
1700		0,472 0,467
1750 1750		0,462
1800		0,458
1850	1	0,452

	<i>T</i> , K		$\chi_{m}$ 10 <sup>—9</sup> м $^{8}/{ m K}\Gamma$	
		Pd (99	9,99 %) [241]	
+	20 30 40 50 60 70 80 90 100 110 120 130 140 150 170 190 210 230 250 270 293		7,323 7,334 7,376 7,438 7,496 7,543 7,564 7,543 7,506 7,444 7,370 7,276 7,172 7,062 6,947 6,831 6,575 6,308 6,052 5,791 5,534 5,231	
	•	Pd (	99,9 %) [242]	
	80 100 150 200 250 300 350 400 450 500 550 600 650 700 750 800 850 900 950 1000 1150		7,213 7,146 6,735 6,225 5,700 5,155 4,643 4,231 3,897 3,607 3,358 3,144 2,947 2,705 2,601 2,449 2,314 2,201 2,093 1,981 1,875 1,780 1,699	

 			140%.	4.20
 7, қ	Х <sub>т,</sub> 10 <sup>—9</sup> м³/кг			
 1200	1,626	-		
1250	1,556			
1300	1,495			
1350	1,434			
1400	1,376			
1450	1,322			
1500	1,272			
1550	1,232			
1600	1,199			
1650	1,172			
1700	1,144			
1 <b>7</b> 50 1800	1,124			
1850	1,104			
1000	1,043			
	Pd [243]			
1827 (T.)	1,079			
1827 (ж.)	1,011			
	Ru (99,9 %) [242]			
.80	0,381			
100	0,381			
150	0,383			
200	0,384			
250	0,385			
300	0,385			
350	0,387			
400	0,391			
450 500	0,395			
550 550	0,398			
600	0,404 0,411			
650	0,411			
700	0,430			
750	0,441			
800	0,453			
850	0,463			
900	0,473			
950	0,483			
1000	0,494			
1050	0,505			
1100	0,517			
1150	0,529			
1200	0,541			
1250	0,552			
1300	0,563			
1350	0,577			
1400 1450	0,592			
1500	0,608			
 1500	0,621			

<i>T</i> . K	α <sub>m.</sub> 10	—9 <sub>м</sub> в/кг	
 1550		0,635	
1600		0,651	
1650		0,664	
1700		0,676	
1750		0,689	
1800		0,705	
1850		0,719	
1	Ru (моиокристалл) [244	l]	
	$\chi_{\parallel}$	$\chi_{\perp}$	
20,4	0,317	0,411	
50	0,318	0,412	
100	0,320	0,415	
200	0,333	0,425	
293	0,348	0,437	
•	Rh (99,99 %) [241]		
20		0,926	
50	Į —	0,929	
100		0,936	
150		0,946	
200		0,960	
250 293		0,976 0,990	
200	Rh (99,99 %) [242]	0,000	
90	(1 (33,00 /0) [212]	0.074	
80		0,974	
100 150		0,978 0,987	
200		1,007	
250 250		1,023	
300		1,043	
350		1,061	
400		1,084	
<b>45</b> 0		1,106	
500		1,126	
- <b>55</b> 0		1,151	
600		1,178	
650		1,203	
<b>7</b> 00		1,230	
<b>75</b> 0		1,254	
800		1,282	
850 900		1,316 1,335	
950 950		1,355	
1000		1,371	
1050		1,424	
1000		- ,	

<b>т,</b> к	$lpha_{m_{\star}}$ $10^{-9}$ ма/кг
1150	1,479
1200	1,503
1250	1,526
1300	1,549
1350	1,573
1400	1,598
1450	1,618
1500	1,635
1550	1,652
1600	1,669
1650	1,692
1700	1,714
1750	1,726
1800	1,744
1850	1,779
1.5	Os (99,97 %) [242]
80	0,0678
100	0,0677
150	0,0675
200	0,0678
250	0,0683
300	0,0690
350	0,0699
400	0,0707
450	0,0717
500	0,0727
<b>55</b> 0	0,0740
600	0,0752
650	0,0765
700	0,0780
<b>75</b> 0	0,0794
800	0,0808
850	0,0823
900	0,0840
950	0,0858
1000	0,0878
1050	0,0890
1100	0,0922
1150	0,0948
1200 1950	0,0975
1250	0,1003
1300	0,1036 0,1072
1350 1400	0,102
1450	0,1140
1500	0,1178
1550	0,1218
1600	0,1262
1650	0,1308

	Продолжение табл. 4.26
т, қ	χ <sub>m,</sub> 10 <sup>—9</sup> м³/кг
1700	0,1356
1750	0,1403
1800	0,1452
1850	0,1504
Os	(монокристалл) [245]
	χ    χ
20,4	0,0197 0,0625
50	0,0197 0,0625
100	0,0236 0,0628
200	0,0255 0.0644
293	0,0280 0,0665
	Ir (99,999 %) [242]
, 80	0,1166
100	0,1182
150	0,1200
200	0,1222
250	0,1234
300	0,1255
350	0,1279
400	0,1307
450	0,1334
500	0,1359
550	0,1389
600	0,1421
650	0,1451
<b>70</b> 0	0,1483
<b>75</b> 0	0,1518
800	0,1561
850	0,1612
900	0,1659
950	0,1710
1000	0,1761
1050	0,1817
1100	0,1870
. 1150	0,1922
1200	0,1977
1250	0,2028
1300	0,2078
1350	0,2133
1400	0,2188
1450	0,2234
1500	0,2297
1550	0,2355
1600	0,2410
1650	0,2464
1700	0,2518

т. қ	χ <sub>т,</sub> 10 <sup>—9</sup> м³/кг
1750	0,2584
1800	0,2645
1850	0,2718

Примечание.  $\chi$   $\parallel$  ,  $\chi_{\perp}$  — магнитная восприимчивость при  $H \parallel c$  и  $H \perp c$  соответствению (c — гаксатоиальная ось).

### 4.10. Эффект Холла

Основные понятия

В 1879 г. Холл обнаружил эффект, заключающийся в возникновенин поперечного электрического поля в пластинке с током при помещении ее в магнитное поле.

Эффект Холла является следствием проявления лоренцовских сил, которые действуют на движущийся электрический заряд в поперечном магнитном поле  $(\overline{H})$ . Направление этих сил перпендикулярно направлению действующего магнитного поля и скорости заряда. В результате создается избыток заряда и возникает поперечное электрическое поле  $(\overline{E})$ .

Допустим, электрический ток  $j_x$  течет через пластинку в направлении x, т. е. скорость заряда  $v_x$  направлена вдоль оси x, магнитное поле направлено вдоль оси z (рис. 4.24). Сила Лоренца в этом случае рассчитывается так:

$$F_y = e \left[ E_y - (v_x H_z)/c \right],$$

где e — заряд;  $v_x$  — скорость заряда;  $E_y$  — напряженность электрического поля; c — скорость света.

Поперечное электрическое поле  $E_y$ , компенсирующее действие магнитного поля на заряд, определяется из условия  $F_y = 0$ :

$$E_y = v_x H_z/c = i_x H_z/nec$$
,

где  $j_x = nev_x$  — плотность тока; n — концентрация носителей тока.

Отношение  $R_H = E_y | j_x H_z = 1/nec$  называется постоянной Холла. Если носителями заряда являются электроны (e < 0), то  $R_H$  отрицательно, если дырки (e > 0), то  $R_H$  положительно. В реальных металлах, особенно переходных, проводимость одновременно осуществляется и электронами, и дырками. Выражение для  $R_H$  в металлах с двумя типами носителей заряда имеет более сложный вид [237, 246].

В системе СИ коэффициент Холла выражается в м<sup>3</sup>/Кл, а магнитная индукция — в теслах (Тл).

Существуют различные методы измерения эффекта Холла [247]:

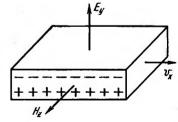


Рис. 4.24. Схема эффекта Холла:  $v_{x}$ — скорость заряда;  $H_{z}$ — напряженность магнитного поля;  $E_{y}$ — поперечное электрическое (поле Холла)

	ОЭФФИЦИ	CITI ACCIVIA D	пи от одных	7111.17101010	
т, к	В, Тл	R <sub>H</sub> , 10 <sup>—11</sup> м <sup>8</sup> /Кл	<b>Т.</b> К	В, Тл	<sup>R</sup> <sub>H</sub> . 10 <sup>—11</sup> м³/Кл
Ан (9 4,2 20	9,9999 %) 1,5 1,5	[248]  9,75  9,5	400 600 800	2,02 2,02 2,02	9,01 9,32 9,66
50 70	1,5 1,5	-7,8 $-7,2$	Α	ıg (ж.) [25	0]
100 250 300	1,5 1,5 1,5	$ \begin{array}{c c} -7,1 \\ -7,2 \\ -7,25 \end{array} $	1233—1373	Перемен- ное поле 50 Гц	12,24
Au	<b>(9</b> 9,99 %)	[249]	Acre	[99,9 <b>99</b> %]	[959]
80 200 300	1,44 1,44 1,44	$ \begin{array}{c c} -6,95 \\ -6,92 \\ -7,02 \end{array} $	1273		—11,6
400	2,02	-7,14 -7,35	Pt	(99,99 %)	[253]
800 °	2,02 2,02	—7,55 —7,55	293	1,44	-1,94
i	Ан (ж.) [25	0]	Pt	(99,9 %)	[254]
13361423	Перемен- ное поле 50 Гц		83 173 273 573 873	0,54 0,54 0,54 0,54 0,54	$\begin{array}{c c} -2,03 \\ -1,81 \\ -2,14 \\ -2,53 \\ -2,78 \end{array}$
Ag (	99,9999 %)	[248]	<b>D</b> 1.6	1	1
4,2	1,5	-11.2	1	жтр. чисто	1
20 50 70 100 130 200 260 290	1,5 1,5 1,5 1,5 1,5 1,5 1,5 1,5	11,4 10,0 9,1 8,9 8,8 8,7 8,8 9,0	2 34 50 75 110 140 175 230 310	1,4 1,4 1,4 1,4 1,4 1,4 1,4	-12,1 -10,7 -8,8 -6,6 -6,2 -6,6 -7,0 -7,05 -7,5
Ag (	99,9999 %)	[251]	D.	(00.00.0(.)	FO 403
77,4	0,51	-9,15		(99,99 %)	i
	(99,99 %)	[249]	293	1,4	<b>—7,5</b>
90 <b>2</b> 00	1,44	-8,95 $-8,77$	Ru	(99,99 %)	[256]
300	1,44	8,86	293	4,47	+22

				TIPOOONIN	ienue 140%. 4.2
т, қ	В, Тл	<sup>R</sup> <sub>H</sub> • 10 <sup>—11</sup> м²/Кл	т. к	В, Тл	R <sub>H</sub> , 10 <sup>11</sup> м³/Кл
Ru	(99,8 %) [2	57]	Rh	(99,9 %) [	249]
100 160 210 290 410 510 575 700 750	1,5 1,5 1,5 1,5 1,5 1,5 1,5	+9,5 +9,0 +10,0 +7,0 +6,0 +5,0 +4,5 +4,5 +4,2	90 130 200 300 400 490 600 790 900 81 300	1,45 1,45 1,45 1,45 2,02 2,02 2,02 2,02 2,02 2,02 2,33 4,5	+4,5 +4,8 +4,8 +4,7 +4,5 +4,3 +4,0 +3,6 +3,49 +3,18
Ru*1 (M	он <b>окристал</b>	л) [258]	000	1 -,0	
293	1,2⊥c	+17,5	Ir*2 (M	онокристал	л) [260]
293	1,2    c	+11,1	300	4,5	+2,3

<sup>\*</sup> В монокрнсталле рутения  $\rho_{293\text{K}}/\rho_{4,2\text{K}}=100$ .

метод постоянного тока и постоянного магнитного поля, частотные методы измерения. Наиболее простым и распространенным для металлов является первый метод.

Результаты измерения коэффициента Холла в благородных метал-

лах приведены в табл. 4.27.

### 4.11. Механические свойства

### Упругие и прочностные свойства

Упругие свойства металлов являются структурно-нечувствительными и связаны с природой сил сцепления, характером связей, кристаллическим строением и т. п. На практике исходное упругое напряжение и деформированное состояние определяют характер пластического деформирования металлов.

Упругие свойства благодорных металлов при комнатной температуре приведены в табл. 4.28. Упругие константы монокристаллов металлов обнаруживают заметную анизотропию. В табл. 4.29 приведены значения E, определенные для различных кристаллографических плоскостей и температур (табл. 4.30). Серебро, палладий, платина и золото обладают самыми низкими упругими характеристиками, сравнительно низкой твердостью и временным сопротивлением. Эти металлы легко деформируются.

Прочностные характеристики — твердость, временное сопротивление, предел текучести, относительное удлинение, сужение — являются наиболее распространенными и широко применяемыми в практике ха-

рактеристиками свойств металлов (табл. 4.31).

<sup>\*2</sup> В монокристалле иридия  $\rho_{293\text{K}}/\rho_{4,2\text{K}}=150$ .

### ТАБЛИЦА 4.28

### УПРУГИЕ СВОЙСТВА БЛАГОРОДНЫХ МЕТАЛЛОВ ПРИ КОМНАТНОЙ ТЕМПЕРАТУРЕ [9, 261]

Ме- талл	<i>Е</i> , ГПа	<i>G</i> , ГПа	μ
Ru	485 447	172	0,31
Rh	386,4	153	0,36
Pd	123,6 121	51	0,52
Ag	80 82	27 29	0,367 0,37
Os	570	220	0,28
Ir	538,3	214	0,28

Продолжение	 4 20

Ме-	<i>Е</i> ,	G.	μ
талл	ГПа	ГПа	
Pt	173,2	67	0,36
Au	81	28	0,42

### ТАБЛИЦА 4.29

МОДУЛЬ УПРУГОСТИ МОНОКРИСТАЛЛОВ БЛАГОРОДНЫХ МЕТАЛЛОВ ПРИ КОМНАТНОЙ ТЕМПЕРАТУРЕ [9, 262]

	Me-	Е, ГПа							
_	талл	<111>	<110>	<100>					
	Pd Ag Ir Au	187 115 662 114	129 81,3 47,4 81	65 43,5 — 42					

### ТАБЛИЦА 4.30

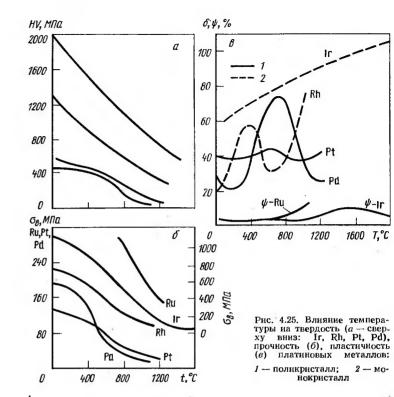
### МОДУЛЬ УПРУГОСТИ МОНОКРИСТАЛЛОВ [262]

Me-		<i>E</i> , ГПа			Me-		<b>Е</b> , ГПа		
талл	C11	C12	C44	<i>t</i> , ℃	талл	c <sub>11</sub>	C12	C41	t, °C
Pđ	234,1 232,8 227,0 226,6	176,1 177,0 174,3 175,2	71,2 70,2 70,6 71,5	—273 —193 —73 7	Ag Au	131,4 124,0 201,6	97,3 93,4 169,7	51,1 46,1 45,4	273 20 273

### ТАБЛИЦА 4.31

## МЕХАНИЧЕСКИЕ СВОЙСТВА БЛАГОРОДНЫХ МЕТАЛЛОВ ТЕХНИЧЕСКОЙ ЧИСТОТЫ В ОТОЖЖЕННОМ СОСТОЯНИИ [9, 261—264]

	- ·				
Ме- талл	HV (НВ), . МПа	σ <sub>в</sub> , МПа	σ <sub>0,2</sub> , МПа	δ, %	ψ, %
Ru Rh Pd Ag Os Ir Pt Au	2000—3000 1000—1300 380—460 245—250 3000—4000 1700—2200 390—420 220—250	500—600 400—560 180—200 140—160 400—500 120—160 120—130	350—400 70—100 50—70 20—25 ————————————————————————————————	3—10 8—15 25—35 40—50 0 6—10 40—50 45—50	2—3 20—25 80—85 80—95 0 10—15 95—100 90—95



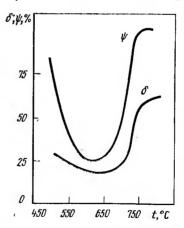


Рис. 4.26. Изменение пластичности литого серебра в зависимости от температуры [29]

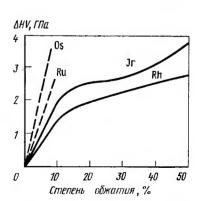


Рис. 4.27. Изменение твердости родня, иридия, рутения и осмия в завнсимости от степени обжатия [269]

### ВЛИЯНИЕ ТЕМПЕРАТУРЫ НА МОДУЛЬ УПРУГОСТИ, ГПа БЛАГОРОДНЫХ МЕТАЛЛОВ [264]

t, °C	Ru	Rh	Pd	Ag	Os	Ir	Pt	Au
27818720	430 	400 380 370 359 348 337 327 315 305 293		89,7 89 81 — 77 — 67 61 57 52 — 46 41 35	570 	549 538    468    427		84,9 82,4 77  75  69 66 62  58 54  45

Влияние температуры на механические свойства

Влияние температуры часто оказывается весьма сложным, так как, кроме чисто физического воздействия (атомная подвижность), в метал-

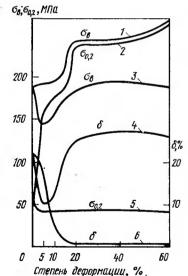


Рис. 4.28. Изменение механичестих свойств палладия в зависимости от степени деформации (1, 2, 6) и последующего отжига при 700°C (3—5)

тах могут происходить различиые физико-химические процессы (дисперсионное твердение, окисление, восстановление, растворение или выделение примесей на границах зерен и т.д.).

Ввиду того что модуль упругости отражает изменение межатом-

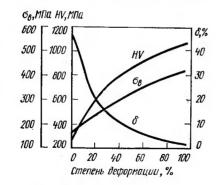


Рис. 4.29. Влияние степени холодной деформации на свойства серебра чистотой 99,9 [265]

ных сил сцеплення, он отражает изменение параметров решетки при воздействии температуры.

Влияние температуры на модуль упругости благородных металлов приведено в табл. 4.32, а на прочностные свойства — в табл. 4.33, 4.34 и на рис. 4.25, 4.26. Температура перехода из пластичного состояния в хрупкое является важной характеристикой металла; для рутения она составляет 1000 °C, родия <—196°C, палладия <—196°C, придия ~600°C (при испытании на растяжение), 400°C (при испытании на изгиб), платины

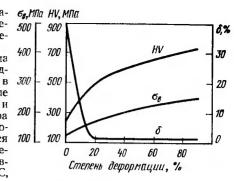


Рис. 4.30. Изменение механических свойств золота в зависимости от степени деформации [265]

<−196 °С (при испытании на изгиб).

Влияние степени деформации на механические свойства

Влияние степени деформации на твердость родия, иридия, рутения, осмия и на механические свойства палладия, серебра и золота приведено па рис. 4.27—4.30.

. ТАБЛИЦА 4.33 ВЛИЯНИЕ ТЕМПЕРАТУРЫ НА МЕХАНИЧЕСКИЕ СВОЙСТВА ОТОЖЖЕННОГО СЕРЕБРА И ЗОЛОТА [264]

t, °C	σ <sub>B</sub> , 1	МПа	σ <sub>0,2</sub> .	МПа	НВ,	МПа	4 00	σ <sub>B</sub> ,	МПа	σ <sub>0,2</sub> ,	МПа	НВ,	МПа
	Ag	Au	Ag	Au	Ag	Au	t, °C	Ag	Au	Ag	Au	Ag	Au
-196 20 200 250	220 150 — 120	130 - 110	30 - 25	- 30 - 20	260 210	 250 190 	400 500 600 750	80 		$\frac{-}{20}$ $\frac{-}{17}$	15 -	180 140 100 60	160 120 80 50

ТАБЛИЦА 4.34

ВЛИЯНИЕ ТЕМПЕРАТУРЫ НА МЕХАНИЧЕСКИЕ СВОЙСТВА ПЛАТИНЫ РАЗНОЙ ЧИСТОТЫ [268]

t, °C	σ <sub>в</sub> , МПа			σ	0,2, MII	a	δ, %		
•, 0	1	2	3	1 .	2	3	1	2	3
20	168	142	136	105	91	75	40	43	40
<b>3</b> 00	157	142	90	103	90	62	35	40	35
400	142	109	94	92	70	54	34	40	35
<b>5</b> 00	138	117	96	87	59	50	32	35	35
<b>60</b> 0	109	84	90	66	51	60	30	33	30
700	93	77	80	54	49	40	30	38	30
800	91	73	76	47	39	39	28	35	28
900	78	60	63	46	31	28	28	33	28

Примечание. 1 — платина чистотой 99,5 %; 2 — платина чистотой  $\geqslant$  99,9 %; 3 — платина чистотой  $\geqslant$  99,99 %.

ЭЛЕКТРОННОЕ СТРОЕНИЕ АТОМА И ЕГО ХАРАКТЕРНЫЕ СТЕПЕНИ ОКИСЛЕНИЯ [271-275]

Подгруппа	Элемент	Электроиное строение атома	Характерные (встречающиеся) степени окисления
Fe : 3d <sup>6</sup> 4s <sup>2</sup>	{ Ru <sup>44</sup> Os <sup>76</sup>	4d <sup>7</sup> 5s <sup>1</sup> 5d <sup>6</sup> 6s <sup>2</sup>	IV(II, III, IV, VII, VIII IV, VI (I, III, V, VIII
Co: 3d <sup>7</sup> 4s <sup>2</sup>	{ Rh45 Ir <sup>77</sup>	$4d^85s^1 \ 5d^76s^2$	111 (I, II, IV) 111, IV (I, II, VI)
Ni: 3d <sup>8</sup> 4s <sup>2</sup>	{ Pd <sup>46</sup> Pt <sup>78</sup>	4d <sup>10</sup> 5d <sup>9</sup> 6s <sup>1</sup>	II (0, IV) II, IV (0, II, IV)
Cu: 3d104s1	{ Ag <sup>47</sup> Au <sup>79</sup>	4d <sup>10</sup> 5s <sup>1</sup> 5d <sup>10</sup> 6s <sup>1</sup>	I (0, III) I, III

ТАБЛИЦА 4.36 СПОСОБЫ ПЕРЕВЕДЕНИЯ В РАСТВОР АФФИНИРОВАННЫХ ПОРОШКОВ БЛАГОРОДНЫХ МЕТАЛЛОВ

Металл	Способ переведения в раствор
Au	Обработка хлорной водой или раствором тиомочевины
Ag, Au	Обработка раствором цианида или тиосульфата Na илн K
Ag, Pđ	Обработка HNO <sub>3</sub>
Ag, Pd, Au, Pt	Обработка царской водкой
Ag, Rh*, Ru*, Ir*, Os**	Обработка дымящей Н₂SO <sub>4</sub>
Au, Pt, Pd, Rh*, Os*, Ir*, Ru*	Обработка конц. HCl+Cl <sub>2</sub>
Pt, Pd, Au, Ru, Rh Ir, Os	Хлорирование (фторирование) в присутствии твердых галогенидов щелочных металлов при 400—600°С с последующим растворением в кислотах Хлорирование (фторирование) в расплавах галогенидов щелочных металлов с последующим растворением в кислотах
Pt, Pd, Ru, Rh, Jr, Os	Сплавление с оксидами или гидроксидами щелочных металлов в присутствии азотно- кислых солей при 500—900°С с последую- щим растворением в кислотах
Pd, Ru, Rh, Ir, Os, Ag	Электрохимическое анодное растворение

\* Частичио растворяется. \*\* Частично растворяется с образованием OsO4.

Рекристаллизация — восстановление структуры и свойств деформиро-
структуры и своиств деформиро-
ванного металла при нагреве за счет образования и роста новых зерен.
Зависит от чистоты материала, степени, схемы и скорости деформации,
температуры и продолжительности отжига или нагрева (в случае горя-
чей деформации). Различают первичную рекристаллизацию, при кото-
рой новые растущие зерна полностью поглощают деформированные,
и вторичную (или собирательную), при которой происходит рост новых
верен. Температура начала рекристаллизации большинства технически
чистых металлов составляет $0.4-0.5T_{\rm п.л}$ . Чем чище металл, тем ниже
температура рекристаллизации; например, золото чистотой 99,999, пол-
вергнутое 99,99 %-ной деформации, рекристаллизуется при комнатной
температуре.
Temperatura pekructa unusannu oneneunaa no nomowy (100 % no

Tемпература рекристаллизации, оцененная по полному (100 %-новосстановлению исходной твердости, составляет: Ru (99,9) после 80%-ной деформации при 1200°С—1300°С, 1 ч; Rh (99,5) после 50%-ной деформации при  $600\,^{\circ}\text{C} - 800\,^{\circ}\text{C}$ , 1 ч [261]. Rh зонноочищенный после 60 %-ной деформации — 600 °С, 1 ч [9]; Рd (99,999) холоднокатаный (90 %) — 600 °С, 1 ч; Ад (99,995) тянутое со степенью деформации 99 % после отжига при 70 °С в течение 1 ч дает 50 %-ный возврат твердости; Ir (99,9) после теплой 60 %-ной прокатки при 500 °C — 1400 °C, 1 ч; Pt (99,9) холоднокатаная (80 %) — 600 °C 0,2 ч; Pt (99,999) после такой же степени деформации — 500 °C, 0,2 ч; Au (99,99) холоднокатапое (90 %) — 200 °C, 0,5 ч; Ан (99,999) при той же степени деформации — 140 °C, 0.5 ч [3].

### 4.12. Химические свойства

Электронное строение атома и характерные степени окисления

Химические свойства соединений благородных металлов во многом определяются положением их в периодической системе элементов Д. И. Менделеева. Отчетливо прослеживается сходство свойств многих соединений в одинаковых степенях окисления в триадах Fe-Ru-Os, Co--Rh--Ir, Ni--Pd--Pt, Cu---Ag---Ац [271, 272]. Прочность связи в однотипных соединениях в триадах, как правило, растет по мере роста атомного номера. С увеличением атомного номера растет устойчивость соединений в высших степенях окисления и, напротив, по мере заполнения d орбиталей в периоде характерны низшие степени окисления (табл. 4.35), например в ряду  $Ru \rightarrow Rh \rightarrow Pd \rightarrow Ag$ . (IV) (III) (II) (I)

### Способы растворения

Растворение благородных металлов необходимо с целью их использования в форме различных соединений, для приготовления катализаторов, порошков заданиой дисперсности, получения покрытий и пленок, оксидных материалов для электронной техники, в аналитической и технологической практике и т. л.

В табл. 4.36 приведены наиболее широко используемые способы переведения аффинированных порошков платиновых металлов в растворы [273, 274]. Необходимо отметить, что скорость и полнота растворения зависят от способа приготовления порошков, их дисперсности. чнстоты металлов и поверхности, их предварительной термической и химической обработки и т. д., поэтому в литературе отсутствуют количественные воспроизводимые характеристики процессов растворения аффинированных порошков благородных металлов.

### Оксиды и гидроксиды

Процессы гидролиза различных простых и комплексных соединений благородных металлов в водных растворах приводят к образованию, как правило, аморфных осадков гидроксидов  $[Me(OH)_x\cdot (H_2O)_y]\cdot zH_2O$ . В процессах их кристаллизации и обезвоживания часто идет межмолекулярная сшивка

приводящая к образованию оксокомплексов, что ведет к иеобходимости усложнить общую формулу  $[Me(O)_c(OH)_p(H_2O)_n] \cdot kH_2O$ , где молекулы координированной воды даны в квадратных скобках, а различные типы впешнесферной воды — за скобками. Как правило, синтезировать гидроксиды строго стехнометрического состава не удается. Состав и свойства гидроксидов зависят от способа синтеза, состава исходных соединений, температуры, рН среды, способа сушки и времени выдержки [273—276]. Важнейшие описаиные соединения приведены в табл. 4.37. Все гидроксиды благородных металлов нерастворимы в воде, свежеосажденные растворяются в кислотах (с образованием соответствующих ацидокомплексов) и щелочах. Известные гидроксокомплексы, содержащие гидроксогруппы анионов, например  $[Pt(OH)_6]^{2-}$ ,  $[OsO_2(OH)_4]^{2-}$ , растворимы в воде, щелочах и кислотах. Прокаливанием соответствующих гидроксидов можно получить оксиды благородных металлов полимерного строения. Однако, как правило. получаются соединения не строго стехиометрического состава, а для получения соединений стехнометрического состава необходимо строго соблюдать условия синтеза. Состав и некоторые свойства важиейших оксидов приведены в табл. 4.38, 4.39. Открытие металлической проводимости у RuO2 в 1962 г. послужило толчком к всесторониему исследованию свойств различных простых и смешаиных оксидов элементов платиновой группы. В 1974 г. Н. М. Жаворонковым, В. Б. Лазаревым, И. С. Шаплыгиным открыта корреляция между электроиной конфигурацией и типом проводимости в простых и смешаниых оксидах платиновых металлов: полупроводниковый тип у оксидов с  $d^6$ - и  $d^8$ -уровнем, металлический тип — с  $d^4$ - и  $d^5$ -уровнем. Это позволило осуществить направленный сиитез резистивных материалов с заданными свойствами для современной техники [277].

### Сульфиды, селениды, теллуриды

Халькогениды благородных металлов образуются при взаимодействии в растворах соответствующих ионов благородных металлов с  $S^2$ –,  $Se^2$ –,  $Te^2$ –, а также могут быть получены при спекании смеси тонкоизмельченных элементов. В кристаллическом состоянии для многих халькогенидов характерно образование различных модификаций, свойства которых заметно отличаются, однако надежных и систематических исследований, таких фаз специально не проводилось. В кристаллическом состоянии халькогениды благородных металлов нерастворимы в воде, минеральных кислотах, не обладающих окислительными свойствами, щелочах. Свежеосажденные тонкодисперсные осадки можно растворить

### ГИДРОКСИДЫ БЛАГОРОДНЫХ МЕТАЛЛОВ

талл	Соединение	Способ получения	Цвет; состояние
Ru	Ru(OH)4	${ { m RuO_4 + H_2O_2 + cпирт} \atop { m RuCl~}_6^{2-} + { m OH^-} }$	\ Черный; аморфное
	RuNO(OH)₃•2H₂O	RuNO(NO <sub>3</sub> ) <sub>5</sub> · <i>n</i> H <sub>2</sub> O + +OH <sup>-</sup>	Темно-коричневый; твердое
Rh	Rh(OH)₃	Rh (III) +OH-	Лимонно-желтый; аморфиое
	Pd(OH) <sub>2</sub>	PdC1 <sup>2</sup> +OH-	Бурый; аморфное
Pd	Pd (OH)₄ или PdO₂∙2H₂O	PdC1 <sup>2</sup> +OH-	Темно-красный; аморфное
Ag	АдОН	AgNO₃+OH⁻, —50°C	Коричневый, аморф- ное
Os	Os(OH)4	OsCl <sup>2-</sup> +OH-	Черный; аморфное
	K <sub>2</sub> [OsO₂(OH)₄]	ОsО₄+КОН+спирт	Фиолетовый; кристал- лическое
Ir	Ir(OH)4	IrCl <sup>2—</sup> +OH <sup>—</sup>	Темио-синий, амор <b>ф</b> ное
Pt	PtO <sub>2</sub> ·4H <sub>2</sub> O	<u> </u>	Светло-желтый, аморфное
	PtO₂∙3H₂O		Желтый, аморфное
	PtO <sub>2</sub> ·H <sub>2</sub> O	-	Черный; кристалличе- ское
	K₂[Pt <u>(</u> OH) <sub>6</sub> ]	K₂[PŧCl₀]+KOH PtO₂∙3H₂O+KOH	Желтовато-зеленый; кристаллическое
Au	K₂[Au(OH)₄]	Au <sub>2</sub> O <sub>3</sub> ·2H <sub>2</sub> O+KOH, pH=7	Желтый; кристаллическое

### ОКСИДЫ БЛАГОРОДНЫХ МЕТАЛЛОВ

лим. — полиморфный переход; н. р. — не растворнм; сл. р. — слабо растворнм; р. — растворим; х. р. — хорошо раствор растворну.

$\Delta H_{298}^0 \cdot 10^{-6}$ , $\Delta K$	219,8	309,8	285,9	87,92	1	I	383,9	
. Растворимость	Н. р. в Н <sub>2</sub> О, кис- лотах, щелочах	Р. в Н <sub>2</sub> О (21,62 г/л), орга- нических раство- рителях	H. p. B H <sub>2</sub> O	H. р. в H <sub>2</sub> O, р. в царской водке, конц. НВг	Р. в кислотах NH <sub>4</sub> OH, КСN	Р. в кислотах НNО3. НСІО	Р. в Н <sub>2</sub> О (7,24 %), кислотах, органи-	ческих раствори- телях, щелочах
Температура, °С	930—950 (разл.)	25,5 (пл.); 27 (возг.)	770 (полим.); 1060 (разл.)	805 (разл.)		100 (разл.)	40,6 (пл.); 131 (кип.)	
Цвет; состоянне	Темно-синий; кри- 930—950 сталлическое (разл.)	Золотисто-желтый; 25,5 (пл.); кристаллическое 27 (возг.)	Черный; кристал- лическое	Черно-зеленый; кристаллическое	Коричневый; кри- сталлическое	Черный; кристал- лическое	Бледно-желтый	
Способ получения	(NH4) 2[RuCl6] + O2, 500 °C (KN4) 2[RuNOCl5] + O3,	K2[RuO4]+KOH+Cl2	{ Rh (OH) <sub>3</sub> , t (Rh или RhCl <sub>3</sub> +O <sub>2</sub> , 600 °C лическое лическое (полим.); H. р. в H <sub>2</sub> O	$\left\{\begin{array}{l} {\rm Pd} + {\rm O}_2 \\ {\rm Pd} \left({\rm OH}\right)_2, 500  {\rm °C} \\ {\rm PdO}_2, 200  {\rm °C} \end{array}\right.$	{ Ag+O <sub>2</sub> , 200 °C { AgOH, —50 °C	{ Ag <sub>2</sub> O + K <sub>2</sub> S <sub>2</sub> O <sub>3</sub> , 90 °C   Ag <sub>2</sub> O + O <sub>3</sub> , OH -	Os+O <sub>2</sub> , 500 °C	
Соедине-	$RuO_2$	RuO₄	$ m Rh_2O_3$	ОРО	Ag <sub>2</sub> O	AgO	0s0 <b>*</b>	
же-	Ru		Rh	Pd	Ag		ő	

259,5	i	184,2	71,17	133,9	l
H. p. в H <sub>2</sub> O	ляческое Золоменно - жел. >200 (разл.) Р. в Н <sub>2</sub> О, спирте, гый	H. р. в Н <sub>2</sub> О, кис-	1100 (разл.); H. р. в Н20, HCl,	р. в царскои водке Н. р. в Н <sub>2</sub> О, НС1,	царскои водке Н. р. в Н <sub>2</sub> О
650 · (разл.)	>200 (разл.)	кристал-	1100 (pas);	500 (pash.) B 112 620±10 (5657)	(pasu.) 
Черный; кристал- 650 (разл.)	лическое Соломенно - жел- тый	Черный, кристал-		кристал-	лическое Коричневый
Os(OH)4, 200°C	OsO <sub>4</sub> +КОН+ +конц. NH <b>,</b> OH	Ir+O <sub>2</sub>	Pt(OH) <sub>2</sub> , 500 °C, N <sub>2</sub>	PtO <sub>3</sub> , 175 °C	Au <sub>2</sub> O <sub>3</sub> ·2H <sub>2</sub> O, 100°C, N <sub>2</sub> Коричневый
 OsO <sub>2</sub>	K <sub>2</sub> [OsO <sub>3</sub> N]	IrO2	PtO	PtO <sub>2</sub>	Au <sub>2</sub> O <sub>3</sub>
 		Ir	Pt	·	Au

### ТАБЛИЦА 4.39

)B	<i>р</i> 298К, Ом ∙ м	5,5 · 10-2	$4,0\cdot 10^{-2}$	$6.5 \cdot 10^{-2}$	$8,0\cdot 10^{-2}$	$3.0 \cdot 10^{-2}$	4,7 · 10—1
электрические свойства простых и двойных оксидов	Соединение	CaRuO <sub>3</sub>	SrRuO <sub>3</sub>	BaRuO <sub>3</sub>	Tl <sub>2</sub> Rh <sub>2</sub> O,	Pb <sub>2</sub> Ru <sub>2</sub> O <sub>6</sub>	Bi <sub>2</sub> Ru <sub>2</sub> O,
электрические свойства	<i>0</i> 298К, Ом ⋅ м	1400—4000	2,1	4 · 10—3	<10-2	6 · 10—3	6 · 10—3
	Соединение	PdO	β-PtO <sub>2</sub>	RuO <sub>2</sub>	RhO <sub>2</sub>	000	$\mathrm{IrO}_2$

СУЛЬФИДЫ, СЕЛЕНИДЫ, ТЕЛЛУРИДЫ ПЛАТИНОВЫХ МЕТАЛЛОВ

Металл	Сульфиды	Селениды	Теллуриды
Ru Rh Pd Os Ir Pt	RuS <sub>2</sub> RhS; Rh <sub>2</sub> S <sub>3</sub> ; RhS <sub>2</sub> ; Rh <sub>2</sub> S <sub>5</sub> ; Rh <sub>3</sub> S <sub>8</sub> Pd <sub>4</sub> S; Pd <sub>3</sub> S; Pd <sub>2</sub> S; PdS; PdS <sub>2</sub> OSS <sub>2</sub> IrS; Ir <sub>2</sub> S <sub>3</sub> ; IrS <sub>2</sub> ; Ir <sub>3</sub> S <sub>8</sub> PtS; PtS <sub>2</sub>	PdSe; PdSe <sub>2</sub> OsSe <sub>2</sub>	RuTe <sub>2</sub> RhTe; Rh <sub>2</sub> Te <sub>3</sub> ; RhTe <sub>2</sub> ; Rh <sub>2</sub> Te <sub>5</sub> Pd <sub>4</sub> Te; Pd <sub>3</sub> Te; Pd <sub>2</sub> Te; PdTe; PdTe <sub>2</sub> OsTe <sub>2</sub> IrTe <sub>2</sub> ; Ir <sub>3</sub> Te <sub>8</sub> PtTe; PtTe <sub>2</sub>

в кислотах в присутствии окислителя [271—273, 276]. Достаточно надежно идеитифицированные наиболее характерные халькогениды благородных металлов представлены в табл. 4.40.

### Простые галогениды

Галогениды благородных металлов образуются в процессах галогенирования тонкодисперсных металлов и их солей, а также при прокаливании галогенокомплексных соединений в инертной атмосфере или в атмосфере соответствующего галогена. Полученные из водных растворов, они всегда содержат в своем составе воду, при полном удалении которой начинается разрушение галогеносоединения. В кристаллическом состоянии безводные простые галогениды представляют собой полимерные цепи, связаиные галогеномостиками и образующие часто различные модификации. Со фтором характерно образование соединений в высших степенях окисления, с иодом — в низших степенях окисления [272—275]. В табл. 4.41, 4.42 представлены простые фториды и хлориды.

### Комплексные соединения

Известны многочисленные классы комплексных соединений благородных металлов, в которых лигандами являются кислотные остатки (ацидолиганды)  $F^-$ ,  $CI^-$ ,  $Br^-$ ,  $I^-$ ,  $NO_2^-$ ,  $SO_4^{2-}$ ,  $C_2O_4^{2-}$ ,  $NCS^-$ ,  $CN^-$ ,  $CH_3COO^-$ ,  $NO_3^-$ ,  $OH^-$  и иейтральные молекулы  $H_2O$ ,  $NH_3$ , CO, NO,  $N_2$ ,  $C_2H_4$ ,  $NH_2CH_2CH_2NH_2$ ,  $P(C_6H_5)_3$ ,  $CH_3SOCH_3$ .

Центральный ион комплексного соединения может находиться в различных степенях окисления [272, 274—276]. В табл. 4.43—4.49 представлены соединения, с которыми химикам-технологам чаше всего приходится сталкиваться на практике. Хлоркомплексы образуются в процессах жидкофазного и твердофазного хлорирования в присутствии хлоридов щелочных металлов и неметаллов, полупроводников, отходов и руд, содержащих благородные металлы, а также при растворении благородных металлов [273—275, 278, 279] в царской водке. Такие комплексы чаще всего используются в качестве исходных для спитеза различных соединений. Они примеияются для получения катализаторов в гетерогенных и гомогенных процессах, при получении порошков благородных металлов различной дисперсности и т. д. (см. табл. 4.44).

Сульфатокомплексы благородных металлов образуются в процессах сернокислотного выщелачивания руд, полупродуктов различных материалов в присутствии окислителей, поэтому они важны как для технологов, так и для аналитиков, кроме того, сульфатокомплексы успешно используют для приготовления электролитов при получении покрытий платиновыми металлами. Нитрокомплексы, содержащие группу NO2, координированную через азот, образуются в процессах интрования различных солей или материалов. Они применяются в аффинаже платиновых металлов и в аналитической практике. Аммнакаты платиновых металлов, золота и серебра успешно используются для отделения их от неблагородных металлов, получения металлов высокой степени чистоты, в аналитической и лабораторной практике, миогие аммиакаты проявляют биологическую активность и нашли применение в медицине. Цианокомплексы, особенно золота и серебра, широко используются для получения гальванических декоративных и защитных покрытий (см. табл. 4.43-4.47). Особый интерес представляют карбонилы платиновых металлов, золота и серебра, образующиеся в процессах твердофазного и жидкофазного карбонилирования различных полупродуктов, материалов и солей платиновых металлов (см. табл. 4.48). Такие соединения находят все более широкое применение в качестве катализаторов, а также исходных материалов для нанесения пленок и покрытий благородными металлами из газовой фазы. В отличие от других благородных металлов при нитровании рутений и осмийсодержащих полупродуктов, концентратов, материалов и соединений образуются очень устойчивые нитрозокомплексные соединения указанных элементов [274, 276] (см. табл. 4.49).

Реакпии взаимодействия металлов платиновой группы и их соеди-

нений схематично представлены на рис. 4.31—4—36.

Направление реакций замещения лигандов во виутренней сфере координационных соединений платиновых металлов определяется закономерностью трансвлияния, открытой академиком И. И. Черняевым в 1926 г. Для комплексов платины (II) ряд о-трансвлияния записывается так:

$$OH-$$

Каждый последующий член ряда вытесияет из виутренней сферы комплекса предыдущий в равных условиях. Эта закономерность открыла перспективы в разработке теории направленного синтеза координационных соединений платиновых металлов с заранее заданными свойствами, заданного строения [274—276].

Например, реакция взаимодействия

$$H_3N$$
  $Pt$   $H_3$   $H_3$   $H_3N$   $H_3$   $H_3N$   $H_3$   $H_3N$   $H_3$   $H_3N$   $H_3$   приводит к образованию диаминодихлороплатината (II)-транс-изомера, а реакция взаимодействия

приводит к образованию аналогичного цис-изомера.

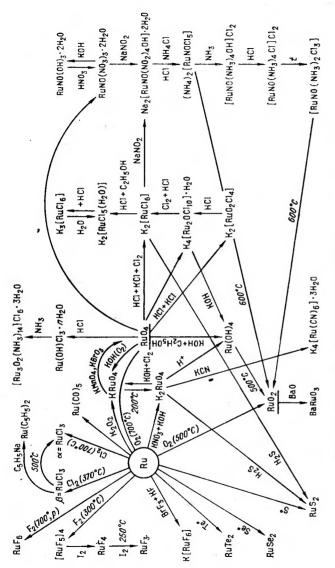


Рис. 4.31. Схемы реакций взаимодействия рутения н его соединений

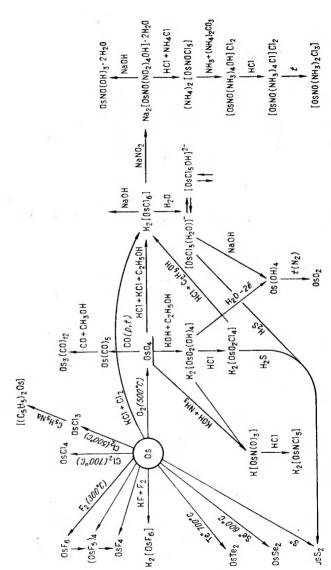


Рис. 4.32. Схемы реакций взаимодействия осмия и его соединений

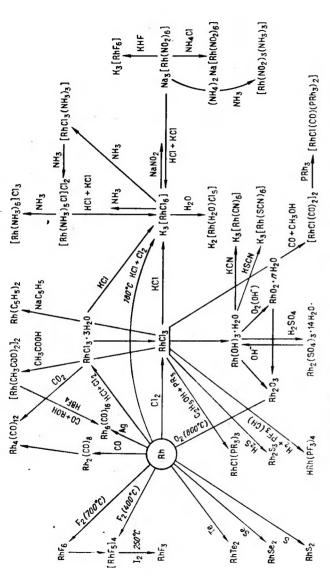


Рис. 4.33. Схемы реакций взаимодействия родия и его соединений

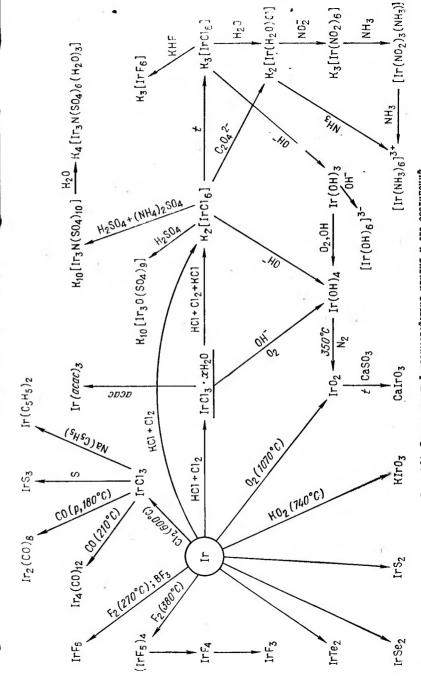


Рис. 4.34. Схемы реакций взаимодействия иридия и его соединений

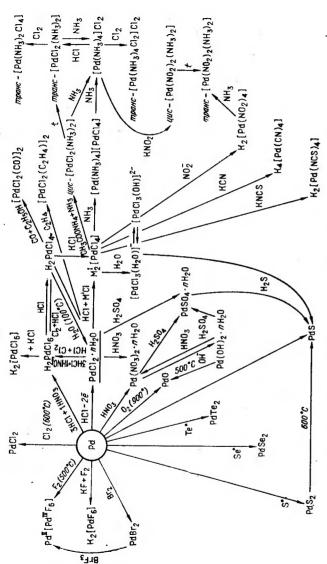


Рис. 4.35. Схемы реакций взаимодействия палладия и его соединений

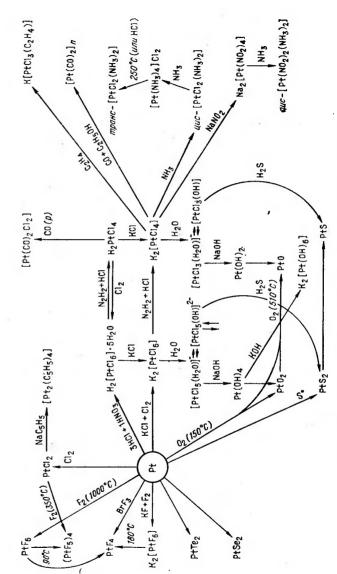


Рис. 4.36. Схемы реакций взаимодействия платины и ее соединений

=
$\circ$
МЕТАЛЛС
_
-
•
_
2.
щ
5
•
~
7
=
H
Н
$\Xi$
БЛАГОРОДНЫХ
ď.
$\overline{}$
v
-
_
-
ш
=
д
Н
_
7
Ω.
ФТОРИДЫ
v
⊢
Д
•
щ
፟
I
ñ.
=
< ₹
<b>BUHAPH ME</b>
Ξ
~~
ĽĎ

-								
	AgF	Ag+F <sub>2</sub> , 450°C;	Белый; твердое	435 (пл.)	l	I	Хорошо растворим	
	Ag2F	AgF+Ag	Бронзовый; твер-	ľ	1	1	-	
so	$OsF_7$	Os+F <sub>2</sub> , 600 °C,	Желтый; твердое	100 (разл.)	Пентаганальиая бипирамида	1,08	1	
	$OsF_6$	Os+F2, 300°C	То же	32,3 (пл.);	Октаэдрическое	1,5	Легко разлагается	
	OsFs	$Os\dot{F}_6 + I_2$ (B cpeae $IF_5$ )	Голубые кристал- лы	70 (nл.); 226 (разл.)	1	2,06	іавлени я зе	
	1	\$			•		жидкость, пары бесцветны	
	OsF4	Восстановление	Желтый; твердое	230 (пл.)		l	1	
ä	ſιF	Ir+F2, 270°C	Желтые кристал- лы	43,6 (пл.); 56,4 (разл.)	Октаэдрическое	2,9	Разлагается во- дой, выделяется	
	$[IrF_5]_4$	Ir+F2, 380°C	Желто-зеленые	104 (пл.)	ı	1,3	H0000	
	IrF3 IrF4	$\Gamma F_6 + \Gamma Ir$ $\Gamma F_3 + BrF_3$	кристаллы Черные кристаллы Желтые кристал-	106 (пл.);	11	11	1,1	
Pt	PtF	Pt+F2, 1000°C	лы Темно-красные кристаллы	61,4 (n.r.); 69,3 (возг.)	Искаженное октаэдрическое	1,3	Один из наиболее сильиых окисли-	
	$[PtF_5]_4$	Pt MAIN PtCl2+F2,	Ярко-красиый	80 (пл. с	Тетрамер с фто-	2,05	lejen merajijob	
	$PtF_4$	Pt+BrF3, 180°C,	Желтовато - ко-	300 (BOST.);		ı	Диамагнитен	
Au	AuF	Aut-K2F2	Красио - коричне-	75 (пл.)	-	1	Разлагается во- лой, лиамагнитен	
1	$AuF_3$	Au+F2, 350°C	Оранжевый	500 (разл.)	-	I	Мгиовенно разла-	
дП	нмечанне.	три мечан не. Возг. — возгонка; пл. — плавление; кип. — кипенне; разл. — разложение; полим. — полиморфиый переход	тавление; кип. — кипеине	e; pasa. — pasac	ожение; полим. — по.	тиморф	ing nepexog.	

## БИНАРНЫЕ ХЛОРИДЫ БЛАГОРОДНЫХ МЕТАЛЛОВ

1		NA JULIANIE	PHILIPPE ANOFIGE BURIOPOGREDIA METAJIJIOB	TE I AJIJIOB	
Талл	Соединение	Способ получения	Цвет, состояние	Температура, °С	Растворимость
Ru	RuCl <sub>3</sub>	Ru+Cl <sub>2</sub> , 350—850°C	Коричиевый порошок или черные кристал- 830 (разл. в Cl <sub>2</sub> ); лы 220 (в H <sub>2</sub> )	500 (полим.); 830 (разл. в СІ <sub>2</sub> ); 460 (в О <sub>2</sub> ); 220 (в Н <sub>2</sub> )	Н. р. в воде, кисло- тах, щелочах, орга- нических растворите-
_	RuCl <sub>3</sub> ·xH <sub>2</sub> O	Восстановление RuOHCl <sub>3</sub> Коричневый порошок 200 (разл.)	Коричневый порошок	200 (pasn.)	Р. в воде, кнелотах, щелочах
Rh	RhC13	Rh+Cl <sub>2</sub> , >300°C	Красные кристаллы	680 (пл.); 920 (разл. в СІ <sub>2</sub> )	Н. р. в воде
	RhCl <sub>3</sub> ·3H <sub>2</sub> O	Rh(OH)3+HCI	Красные кристаллы	105 (пл.); 180 (разл.)	Р. в воде
Pd	(PdCl <sub>2</sub> ) <sub>n</sub>	Pd+Cl <sub>2</sub> , 500°C	Красные кристаллы	680 (пл.); 980 (разл. в Сіг.); 920 (в N <sub>2</sub> ); 780 (в Ог.)	H. p. в воде, p. в HCl. HNO <sub>3</sub>
	PdCl₂: <b>n</b> H₂O	Pd+HNO <sub>3</sub> +HCl	Темно-красные крис- таллы	I	Р. в воде

Ag++Cl- Белые кристаллы 455 (пл.); H. р. в воде (10-4.%)	Os+Cl <sub>2</sub> , 600 °C Красные кристаллы — Разлагается водой	Восстановление OsC14 Гигроскопичиый поро- — Р. в воде пок	-Ir+Cl <sub>2</sub> , 450—750 ° С Оливково-зеленый по- 795 (разд. в Cl <sub>2</sub> ); Н. р. в воде, кисло- 760 (в Ar); тах, щелочах, органи- 670 (в O <sub>2</sub> )	Ir(OH) <sub>3</sub> + HCl Темно-зеленые крнс- — Р. в воде, кислотах таллы	Pt+Cl <sub>2</sub> ; 250—300°C; Гигроскопичный ко- 370 (разл. в O <sub>2</sub> ); Р. в воде (67 %), нарестве, 300°C в статем порошок	Pt+Cl <sub>2</sub> , >300°C, Светло-коричневый 580 (разл. в Cl <sub>2</sub> ) Н. р. в воде, органн- НарtCl <sub>2</sub> ], 360—380°C порошок	Au+Cl <sub>2</sub> , >143 °C — 228 (п.) Р. в воде, кислотах	AuCla. 260°C — 285 (разл.) Разлагается водой
Ag++Cl-	Os+Cl <sub>2</sub> , 600°C	Восстановление OsCl	Ir+Cl <sub>2</sub> , 450—750 ° C	Ir(OH)3+HCl	Pt+Cls; 250—300 % HgPtCls], 300 °C	Pt+Cl <sub>2</sub> , >300°C, H <sub>3</sub> [PtCl <sub>2</sub> ], 360—380°C	Au+Cl <sub>2</sub> , >143°C	AuCl <sub>3</sub> , 260 °C
AgCl	OsC14	OsCl <sub>3</sub>	IrCl <sub>3</sub>	IrCl <sub>3</sub> 3H <sub>2</sub> O	PtC14	PtCl <sub>2</sub>	AuCl <sub>3</sub>	AuCl
Ag	S		H		ቯ		Au	
116	88							

### хлороқомплексы благородных металлов

Ме- талл	Соединение	Способ получения	Цвет; состояние	Температура, °С	Растворимость
Ru	Ru (NH4) gRuCle]	RuO4+HC1+NH4C1	# <b>T</b>	кристалли- 360 (разл.)	Сл. р. в воде, р. в кис-
	KaRuH2OCI5]	K4[Ru2OCl10]+HC1+	темно-красный; кри- 270 (разл.)	270 (разл.)	лотах Х. р. в воде, кислотах
	K,[Ru2OCl10] X	+C2nsUn RuO4+HC1+KC1	сталлическое Темно-коричневый;	>140 (pasn.)	Р. в воде
	Ka[RuCle]	Ru+Cl2+KCl	кристаллическое Темно-красный поро- шок	475 (полнм.); 850 (разл. в Сl <sub>2</sub> , Ar),	Х. р. в воде, кислотах
	K <sub>2</sub> [RuCl <sub>6</sub> ]	\[ K2 RuH2OCl5]+HCl+Cl2;   Черный; \  Ru+Cl2+KCl		520 (B O <sub>2</sub> ) 775 (pasn. B Cl <sub>2</sub> ); 705 (B Ar); 540 (B O <sub>2</sub> )	кристалли 775 (разл. в Сl <sub>2</sub> ); 705 Сл. р. в воде, кисло- (в Ar); 540 (в О <sub>2</sub> )
R.	Rh Ka[RhCle]	Rh+KCl+Cl2	Рубиновый; кристал- лическое	Рубиновый; кристал- 510 (полим.), лическое	Х.р. в воде
	K <sub>s</sub> [RhH <sub>2</sub> OCI <sub>5</sub> ]	Ks[RhCls]+H2O	Рубиновый; кристал-	710—770 (в О <sub>2</sub> ) 240 (разл.)	То же
	(NH4)3[RhCl6]	H3[RhCl6]+NH4Cl	лическое Красный; кристалли-	mana	*
Pd	Pd KaPdCl	HaPdCl4]+KCl	Золотисто - желтый; 525 (пл.)	525 (пл.)	Х. р. в воде,
	KaPdCl6]	K2[PdCl4]+HCl+Cl2	Кристаллическое Кирпично - красный; 380—425 (разл.)	380—425 (разл.)	C.n. p. B cumpre C.n. p. B Bode, NH <sub>4</sub> Cl,
	(NH4)2[PdCl4]	Hapdcia+NH,ci	кристаллическое Светло - коричневый; 100 (разл.)	100 (разл.)	спирте, р. в кислотах Р. в воде, спирте
ő	Os K <sub>2</sub> [OsCl <sub>6</sub> ]	Os+KCI+Cl <sub>2</sub> ; OsO <sub>4</sub> +HCI+C <sub>2</sub> H <sub>5</sub> OH+ (+KCI	кристаллическое Коричнево - красный; кристаллическое	>600 (разл.)	Р. в воде, н.р. в спир. те

Сл. р. в воде	Сл. р. в воде	Х. р. в воде	То же	Сл. р. в воде	Р. в воде, н. р. в ор- ганических раствори- телях	Сл. р. в воде (1,12 % при 20°С)	Сл. р. в воде (0,77 % при 25 °С)	Х.р. в воде	X. р. в воде, спирте, эфире	
508 (разл.)	850 (разл. в Сl <sub>2</sub> ); 780 (в Ar); 680 (в О <sub>2</sub> )	300 (разл.)	485 (полим.) 935 (разл. в С!2); 850 (в Аг); 715—775 (в О2),	440 (разл.)	475 (разл.)	850 (разл. в Cl <sub>2</sub> ); 775 (в Ar); 750 (в O <sub>2</sub> ) при 20°С)		230 (разл.)	I	
Коричнево - красный; кристаллическое	Черный; кристалли- ческое	Светло-зелен <b>ый поро-</b> шок	Олифково - зеленый; кристаллическое	Черный; кристалличе- ское	Красный; кристалли- ческое	Желтый; кристалли- ческое	Бледно-желтый; кри- 215 (разл.) сталлическое	Желто-оранжевый	Желтый; кристалли- ческое	1.38.
Кипячение ОsO <sub>4</sub> +HCl+ +FeCl <sub>2</sub> и осаждение NH <sub>4</sub> Cl	Ir+Cl <sub>2</sub> +KCl, 500°C	K <sub>3</sub> [IrCl <sub>6</sub> ]+H <sub>2</sub> O	Ir+Cl <sub>2</sub> +KCl	HalrCl6]+NH4Cl	K <sub>2</sub> [PtCl <sub>6</sub> ]+ (NH <sub>2</sub> ===NH <sub>2</sub> ) <sub>2</sub> SO <sub>4</sub> , 100 °C	{H <sub>2</sub> [PtCl <sub>6</sub> ]·6H <sub>2</sub> <b>O</b> +KCl; {Pt+KCl+Cl <sub>2</sub> , 500°C	H₂PtCl6]-6H₂O+NH <b>,C</b> 1	Pt+HNO3+HC1	Au+Cl <sub>2</sub> +HCl	л Примечание. Прииятые сокращения см. в табл. 4.38.
(NH4)2[OsCl6]	KalrCle]	KgIr(H2O)Clsj	Ka[IrCle]	(NH4)2[IrCl6]	KaPtcl4]	K <sub>2</sub> [PtCl <sub>6</sub> ]	(NH4)2[PtCl6]	HaPtClej-6H2O	H[AuCl4]·4H2O	і Гримечание. При
	Į.				ద				Αn	H

11\*

# СУЛЬФАТОКОМПЛЕКСЫ БЛАГОРОДНЫХ МЕТАЛЛОВ

		CONTRACTOR DAILY OF CALLER METANNION	METANIOB	
Ме-	Соединение	Способ получения	Цвет, состояние	Растворимость
Ru	[Ru <sub>4</sub> (SO <sub>4</sub> ) <sub>6</sub> O <sub>2</sub> (OH) <sub>4</sub> ] <sup>4</sup>	RuO <sub>2</sub> ·xH <sub>2</sub> O+H <sub>2</sub> SO <sub>4</sub> , 170—200 °C (KOHL,)	Зелеиый	1
	[Ru4 (SO4) 6O6]10-	$RuO_2 \cdot xH_2O + H_2SO_4$ , > 200 °C (xouu.)	Бурый	1
=	[Ru <sub>3</sub> O (SO <sub>4</sub> ) <sub>9</sub> ] <sup>8</sup> -	K4[Ru2OCl10]+H2SO4 (конц.)	Зеленый	1
Rh	$[\mathrm{Rh}_2\mathrm{O}(\mathrm{SO}_4)_4(\mathrm{HSO}_4)_2]_n^{6n}$	Rh <sub>2</sub> O <sub>3</sub> ·хH <sub>2</sub> O+H <sub>2</sub> SO <sub>4</sub> , 200°С (ко нп.)	Желтый	1
	Rh <sub>2</sub> (SO <sub>4</sub> ) <sub>3</sub> ·14H <sub>2</sub> O	$\mathrm{Rh}_2\mathrm{O}_3$ · $x\mathrm{H}_2\mathrm{O}+\mathrm{H}_2\mathrm{SO}_4$ , $t_{\mathrm{com}}$	Желтый сульфат	1
	$[Rh(SO_4)_2(OH)H_2O]_n^{2n}$	Rh <sub>2</sub> O <sub>3</sub> ·хH <sub>2</sub> O+H <sub>2</sub> SO <sub>4</sub> , 170—200 °С (конц.)	Зеленый	1
	Rh <sub>2</sub> (SO <sub>4</sub> ) <sub>3</sub> ·4H <sub>2</sub> O	Выпаривание досуха водного раство- Красиый сульфат ра желтого сульфата	Красиый сульфат	1
Þd	PdSO4	$PdO \cdot xH_2O$ или $Pd$ , или $PdO \cdot xH_2O_4$ , $PdO(I_4)$ , или $K_2Pd(NO_2)_4$ $t_{KHII}$	Темио-красный	Н. р. в кони. H <sub>2</sub> SO₄
	PdSO4.2H2O	Pd+H <sub>2</sub> SO <sub>4</sub> +HNO <sub>3</sub>	Красиовато - коричне-	Р. в воде
	PdSO4.H2O	Pd (NO <sub>3</sub> ) <sub>2</sub> + H <sub>2</sub> SO <sub>4</sub> (конц.)	вый; кристаллическое Оливково - зеленый; кристаллическое	*
Ir	$(NH_4)_4[1r_3N(SO_4)_6(H_2O)_3]$	(NH4)4[Ir <sub>3</sub> N(SO <sub>4</sub> )6(H <sub>2</sub> O)3] (NH4)3[IrCl <sub>6</sub> ]+H <sub>2</sub> SO <sub>4</sub> , 280-300°C (Kofft.)	Зеленый; кристалли-	кристалли- Р. в воде, Н <sub>2</sub> SO4
	$K_{10}[Ir_3O(SO_4)_9]$	K <sub>3</sub> [IrCl <sub>6</sub> ]+H <sub>2</sub> SO <sub>4</sub> , 280—300 °C (конц.)	еленый; еское	крис- Р. в воде, Н <sub>2</sub> SO <sub>4</sub>

~:
38.
٠.
4
_:
.5
å
5
μ
٠
×
S
-
2
=
7
=
защения
~
×
2
•
O
ATE
H
Ε,
HATE
- 23
. P
نه
_
1
X
a
7
e
Z
×
римечание.
H

		нитрокомплексы платиновых металлов	ет <b>А</b> ллов	ТАБЛИЦА 4,45
Ме- талл	Соединение	Способ получения	Цвет; состояние	Растворимость
Ru	Na2RuNO(NO2)4OHJX	ı	Оранжевый; кристал-	Оранжевый; кристал-
Rh	X2H2O Na <sub>3</sub> [Rh(NO <sub>2</sub> ) <sub>6</sub> ]	RhCl <sub>3</sub> ·3H <sub>2</sub> O+NaNO <sub>2</sub> ,	латеськое Белый; кристалличе- Р. в воде (40 % при 25 ское	Симрте Р. в воде (40 % при 25°C)
	Na (NH4) 2[Rh (NO2) 6]	Na <sub>3</sub> [Rh (NO <sub>2</sub> ) <sub>6</sub> ]+NH <sub>4</sub> Cl	Белый; кристалличе- ское	три 100°С при вода при 100°С кристалличе- Р. в воде (0,216 % при 25°С), соль калия и смещанные соля из и смещанные соля вода в при 25°С).
Þd	K <sub>2</sub> Pd(NO <sub>2</sub> )4]	K <sub>2</sub> [PdCl <sub>4</sub> ]+KNO <sub>2</sub>	ли сл. р. в Светло-желтый; приз- X. р. в воде матические кристаллы	ли сл. р. в воде Х. р. в воде

Ме- талл	Соединение	Способ получения	Цвет; состояние	Растворимость
ర	NagOSNO(NO2) 4OH]X	Na <sub>2</sub> [OsCl <sub>6</sub> ] + NaNO <sub>2</sub> , без доступа воз- Желтый; кристалли- Р. в воде	Желтый; кристалли-	Р. в воде
Ir	Na <sub>3</sub> [Ir(NO <sub>2</sub> ) <sub>6</sub> ]	духа	Белый; кристалличе- Х.р. в воде	Х.р. в воде
	$K_3[Ir(NO_2)_6]$	H2[IrCl6]+KNO2		Сл. р. в воде, н.р. в
Pt	$K_g[Pt(NO_2)_4]$	K <sub>2</sub> PtCl <sub>4</sub> ]+KNO <sub>2</sub>	Бесцветное; кристал-	кристал- Х. р. в воде, н. р. в спирте. Эфире
	KaPt (NO2) 64	$ \begin{array}{c} [\text{PtCL}_{\textbf{i}}]^2 - \\ \text{nn} \\ [\text{Pt}(\text{NO}_2)_{\textbf{i}}]^2 - \\ \end{array} \right\} + \text{HNO}_3 $		

Примечание. Прииятые сокращения см. в табл. 4.38.

	şă.	КОМПЛЕКСНЫЕ АММИАКАТЫ ПЛАТИНОВЫХ МЕТАЛЛОВ	иновых металлов		ТАБЛИЦА 4.46
Ме- таля	Соединение	Способ получения	Цвет; состояние	, разл.	Растворимость
Ru	Ru [Ru <sub>3</sub> O <sub>2</sub> (NH <sub>3</sub> ) <sub>4</sub> ]Cl <sub>6</sub> ·4H <sub>2</sub> O	RuCl <sub>3</sub> ·nH <sub>2</sub> O+NH <sub>3</sub>	Красиый; кристалли- ческое	1	Х. р. в воде
Rh	[Ru (NH3) 5N2]Cl2 [RhCl3 (NH3) 3]	(Ru (NH <sub>3</sub> ) s (H <sub>2</sub> O)] <sup>2+</sup> + NH <sub>2</sub> —NH <sub>2</sub> Красиый; кристалли- ческое         RhCl <sup>3-</sup> <sub>6</sub> + NH <sub>3</sub> +NH <sub>4</sub> Cl+ +CH <sub>3</sub> COOH       Светло-желтый; кри- сталлическое	Красиый; кристалли- ческое Светло-желтый; кри- сталлическое	1 1	P. в воде, диме- тилсульфоксиде Сл. р. в воде (0,05 %)

_	Р. в воде (0,83 %), в 10 % HCl	Сл. р. в воде	1	Р. в воде (0.269%)		Ch. p. B BORE, H. p. B NH4Cl,	Р. в воде (0,066%) при 13,8°С	Н. р. в воде	Р. в воде (0,2523 %)	
	200	1 1	260	332	185	1	1	290	280	
	истал-	галли-	евый;	невый;	истал-	крис-	кри-	кри-	кри-	
	Желтоватый; кристал- лическое	Розовый; кристалли-	Желто - оранжевый;	желто - коричневый; коистанническое	Бесцветное; кристал-	Светло-желтый; кристаллическое	Светло-желтый; сталлическое	Темно-зеленый; сталлическое	Ярко-желтый; сталлическое	
	RhCl3·3H2O+NH4Cl+NH4	H <sub>2</sub> [PdCl <sub>4</sub> ]+NH <sub>3</sub>	$[Pd(NH_3)_4]^2 + + HCI$	Na <sub>2</sub> [PdCl <sub>4</sub> ]+NH <sub>4</sub> CH <sub>3</sub> COO	(P-P = Cirple) [PdCl <sub>2</sub> (NH <sub>3</sub> ) <sub>2</sub> ]+NH <sub>3</sub>	$[OsO_2(OH)_4]^2 - + NH_4CI, NaOH$	IrCl <sub>3</sub> ·H <sub>2</sub> O+NH <sub>3</sub> , p, t	$[PtCl_4]^2 - + [Pt(NH_3)_4]^2 +$	[PtC14]2-+CH3COONH4	
	[RhCl (NH <sub>3</sub> ) <sub>5</sub> ]Cl <sub>2</sub>	[Rh (NH <sub>3</sub> ) <sub>6</sub>  Cl <sub>2</sub> [Pd (NH <sub>3</sub> ) 4[PdCl <sub>4</sub> ]	Tpanc-[P,dCl <sub>2</sub> (NH <sub>3</sub> ) <sub>2</sub> ]	$[\text{Linc-{PdCl}_2(NH_3)}_2]$	[Pd(NH3)4Cl2]	[OsO <sub>2</sub> (NH <sub>3</sub> ) <sub>4</sub> ]Cl <sub>2</sub>	[IrCl(NH <sub>3</sub> ) <sub>5</sub> ]Cl <sub>2</sub>	[Pt(NH3)4[PtCl4]	Llnc-[PtCl2(NH3)2]	
		Þd				ဝ	Ir	Pt		

Примечание. Принятые сокращення см. в табл. 4.38.

цианокомплексы благородных металлов

ТАБЛИЦА 4.47

l	Ме- галл	Соединение	Способ получения	Цвет; состоянне	Растворимость
167	ηλ	K4[Ru (CN) 6]	K2[Ru (H2O)Cl3]+KCN	Бесцветное; кристал-	эесцветное; кристал- X. р. в воде, кисло- пическое

ме- талл	Соединение		Способ получения	Цвет; состояние	Растворимость
Rh	K <sub>3</sub> [Rh (CN) <sub>6</sub> ]		Rh(OH)3.nH2O+KCN, Ar	Беспветное; кристал-	Бесиветное; кристал: Х. р. в воде, кислотах,
Pd	K₄[Pd(CN)₄]		$K_2[Pd(CN)_4]+Na^\circ, NH_3(x)$	лическое щелочах Желтый; кристалли- Р. в воде	щелочах Р. в воде
	$K_3[Pd(CN)_4] \cdot nH_2O$ ,	где	где PdCl <sub>2</sub> ·nH <sub>2</sub> O+KCN	Бесцветное; кристал- Х. р. в воде	Х. р. в воде
SO	$K_4[Os(CN)_6] \cdot 3H_2O$		(NH4) 2[OSCI6] + KCN, cman	лическое То же	Тоже
7 7	Kalir (CN) al	-	(NH4) a[IrCla]+KCN, cmab	× * *	Р. в воде
Ag	K[Ag (CN) 2]		Ag+O <sub>2</sub> +KCN	ě	р. в воде
Au	K[Au (CN) 2]		$Au + O_2 + KCN$	ם בב	кристалли- Х. р. в воде
	K[Au (CN) 4]·3H2O		I	Бесцветный; кристал- Р. в воде	Р. в воде
	H[Au (CN) 4]·3H <sub>2</sub> O		ı	лическое То же	Х. р. в воде, спирте,
		_			

Примечание. Принятые сокращения см. в табл. 4.38.

4.48		орч-
ТАБЛИЦА 4.48	Растворимость	Н. р. в воде, р. в ор- гаиических раствори- телях
	Температура, °С	—22 (пл.)
КАРБОНИЛЫ ПЛАТИНОВЫХ МЕТАЛЛОВ	Цвет; состояние	Бесцветиая жидкость —22 (пл.)
КАРБОНИЛЫ П	Способ получения	Ru+CO, 20 Па
	Соединение	Ru   Ru (CO) 5
	ме-	Ru

3.--3-T

	•				
	Ru <sub>3</sub> (CO) <sub>12</sub>	Ru (C <sub>5</sub> H <sub>7</sub> O <sub>2</sub> ) <sub>3</sub> +H <sub>2</sub> +CO, 140—160°C, 20 Па	Оранжевый; кристал- лическое	154 (пл.)	Н. р. в воде, спирте, ацетоне
Rh	Rh <sub>2</sub> (CO) <sub>8</sub>	Rh+CO, 200°C, p	Желтый; кристалли- 76 (пл.) ческое	76 (пл.)	Разлагается водой, р. в органических растворителях
	Rh6(CO) 16	RhCl <sub>3</sub> ·3H <sub>2</sub> O+CO, 150°C	Чериые чешуйки	220 (разл.) в СО	1
රී	<b>Os</b> Os(CO) <sub>5</sub>	Osl <sub>3</sub> +CO, 150—300°C, Cu, Ag, Бесиветиая жидкость —15 (пл.) 20—30 Па	Беспветиая жидкость	—15 (пл.)	Р. в органических растворителях
	Os <sub>3</sub> (CO) <sub>12</sub>	OsO <sub>4</sub> +CO, 150°C, метаиол, Желтый; кристалли 224 (пл.) 10 Па	Желтый; кристалли- ческое	224 (пл.)	Р. в углеводородах
1	Ir <sub>2</sub> (CO) <sub>8</sub>	IrCl <sub>3</sub> +CO, 200°C, Cu	Желто-зеленый; кри- 150 (возг.) сталлическое	150 (возг.)	Р. в эфире, спирте, н.р. в воде
	Ir <sub>4</sub> (CO) <sub>12</sub>	IrCl <sub>3</sub> ·3H <sub>2</sub> O+CO, 60°C, мета- Желтый; кристалли- 210 (возг. в СО) Р. в циклогексане, нол, 5 Па	Желтый; кристалли- ческое	210 (возг. в СО)	<ul><li>Р. в циклогексане,</li><li>н. р. в воде</li></ul>
Pt	[Pt(CO)2]x	KaPtBra]+CO+HBr, 80°C	Темно-вишневый; аморфное	1	Р. в кетоиах, аминах

Примечание. Принятые сокращения см. в табл. 4.38.

1 1			нитрозокомплексы рутения и осмия	ения и осмия	5	ТАБЛИЦА 4.49
	nrs toM	Соединение	Способ получения	Цвет; состояние	o 'neag'	Растворимость
100	₩.	Ru KaRuNOCIs]	Na <sub>2</sub> RuNO (NO <sub>2</sub> ) <sub>4</sub> OH] + HCl + Темио-красимй; кри- 440 P. в + KCl	Темио-красиый; кри- сталлическое	440	Р. в воде, НСІ, н. р. в спирте

Na<sub>2</sub>RuNO (NO<sub>2</sub>)<sub>4</sub>OHJX X2H<sub>2</sub>O

(NH4) 2[RuNOCIs]

RuNO(OH) 3.2H2O

[RuNO (NO<sub>3</sub>)<sub>3</sub>(H<sub>2</sub>O)<sub>2</sub>]

Соединение

Металл

Примечание. Прияятые сокращення см. в табл. 4.38

Na[OsNO(NO<sub>2</sub>),OH] X X 2H<sub>2</sub>O

(NH4) [OSNOCI5]

K<sub>s</sub>[OsNOCl<sub>5</sub>]

ő

### 4.13. Коррозионная стойкость

Высокая коррозионная стойкость благородных металлов позволяет применять их в самых жестких условнях работы. Благородные металлы отличаются высокой стойкостью против действия кислот, щелочей, солей и газов. Если расположить эти металлы в порядке понижения относительной коррозионной стойкости в кислотах, щелочах и окислителях, получим следующий ряд: иридий, рутений, родий, осмий, золото, платина, палладий и серебро [9, 280]. В табл. 4.50 приведены данные по коррозионной стойкости благородных металлов [9]. При нагревании на воздухе платина, золото и серебро практически не окисляются. Сравнительно легко окисляются осмий, рутений и иридий. Эти металлы обра-

### ТАБЛИЦА 4.50

### **КАЧЕСТВЕННАЯ ОЦЕНКА КОРРОЗИИ ВЛАГОРОДНЫХ МЕТАЛЛОВ**

Условиые обозначения: А -- весьма устойчив (коррозия отсутствует); Б — устойчив (слабо подвержен коррозии); В — мало устойчив (подвержен коррозин); Г — не устойчив (быстро корродирует)

					Мета	ллы			
Коррозионная среда	t, °C	Ag	Au	Ru	Rh	Pd	Os	Ir	Pt
Серная кислота концен-	18	В	Α	Α	A	A	A	A	A
трированная То же » Надсерная кислота Селеновая кислота	100 250 18 18	r - -	A A A	A A A	A A · A	Б В В	A Б —	A A A	А Б А
(d=1,4) То же Азотная кислота 0,1 н. Азотная кислота 1 н. Азотная кислота 2 н. Азотная кислота 70 %-	100 18 18 18 18	Б В Г	A A A A	A A A A	A A A A	Г А В Г	— Б В	A A A	B A A A
ная То же Азотная кислота дымя-	100 18	r r	А Б	A A	A A	L	r r	A A	A A
щая Соляная кислота 36%-	18	В	A	A	A	А, Б	A	A	A
ная То же Царская водка То же Фосфорная кислота Плавиковая кислота	100 18 <i>t</i> <sub>кил</sub> 100 18	r B r B	A F A A	A A A, B A	А А, Б А А	Б Г Г Б А	B r r A	A A A A	Б Г А
40 %-ная Хлорная кислота Бромистоводородная	18— 100 18	  -  -	-	-   A	Б	A B T	-   A	-   A	A B B
кислота $(d=1,7)$ То же Йодистоводородная кис	100		A	A A	BA	ГГ	г, в Б	A A	r A
лота ( <i>d</i> =1,75) То же	100	-	A	A	A	L	В	A	F

V	4.00	t, °С Металлы							
Коррозионная среда	<i>t</i> , °C	Ag	Au	Ru	Rh	Pd	Os	Ir	Pt
Органические кислоты То же Раствор HCN в присут- ствии кислорода	18 100 —	A 	A B	A 	A 	<b>A</b> 	<u>A</u>	A 	A _
Фтор » Хлор сухой Хлор влажный, хлорная вода	18— 100 18 18		А Б Г	_ A A	— A A	— В Г	— A B	_ A A	В Б Б
Иод Иод (раствор в иоднс- том калии) Иод (раствор в спирте)	18 18	_	БГВ	А <b>А,</b> В Б	Б Б, В Б	Б В	<u>Б</u>	A A A	A A
Бром жидкий сухой Бром жидкий влажный Бромная вода	18 18 18	<u>-</u>	Γ Γ	A A B	A A	Г Г Б	Г Б Б	A A	B B A
Pаствор NaClO To же Pаствор FeCl <sub>3</sub> To же Pаствор HgCl <sub>2</sub> Pаствор CuSO <sub>4</sub>	18 100 18 100 100 100		— Б — А	Γ Γ Α Α Β	Б Б А А А	В Г В Г А	Г В Г А	А Б А А А	A A — A
Раствор Al <sub>2</sub> (SO <sub>4</sub> ) <sub>3</sub> Раствор CuCl <sub>2</sub> Раствор KCN То же Сера Сероводород влажный Сернистый натрий в при-	100 100 18 100 100 18 18			A A — A A	A A — A A	А Б В Г А	— — — A A	A A — A A	A A A B A
Ртуть Аммиак в растворе Едкий натр в растворе Едкий натр расплавлен- ный	18 18 18 —	A A A	Γ Α Α	A A B	A A B	A A B	A A B	— А Б	— А А Б
Перекись натрия расплавленная Углекислый натрий расплавленный	-	A A	Γ A	ВБ	Б Б	Г Б	В Г	B A	Γ A
Азотнокислый натрий расплавленный Сернокислый натрий расплавленный Уксусная кислота, ледяная	100	г г —	A A A	А Б А	A B A	В В —	Г Б А	A A A	А Б А

зуют стойкне окислы, обладающие высокой упругостью паров, поэтому при высоких температурах наблюдается их испарение, что следует учитывать при разработке технологических схем обработки. Палладий устойчив на воздухе даже при повышенных температурах. Палладий не корродирует и не тускнеет в атмосфере сероводорода [281]. Следует отметить, что химическая активность компактных металлов, полученных плавленнем, снльно отличается от губчатых аффинированных и порошковых металлов. Большинство компактных платиновых металлов плохо растворимы в кислотах и их смесях даже при нагреве. Компактные родни, ирндий, осмий и рутений не растворяются в кислотах и в кипящей царской водке. В мелкодисперсном состоянии родий растворяется в горячей серной кислоте и царской водке [282]. Иридий, осмий и рутений можно перевести в раствор электрохимическим растворением переменным током [283] или путем дополнительных сплавлений с некоторыми неорганическими реагентами. Платина растворяется в кипящей серной кислоте и царской водке [282]. Палладий в отличие от других металлов платиновой группы растворяется в азотной кислоте. Кипящая серная кислота окисляет мелкодисперсный осмий с образованием тетраоксида осмия и серинстого газа [282].

### 4.14. Электрохимические и адсорбционные свойства

Важнейшая электрохнмическая характернстика — электродный потенцил металла в растворе или расплаве, содержащем ионы этого металла [284]. Эта величина определяет термодинамическую устойчивость металла, т. е. условия, при которых возможен переход ионов через граннцу металл — раствор или металл — расплав. Так как в водных растворах в электродных равновесиях могут участвовать ионы  $\mathbf{H}^+$  и  $\mathbf{OH}^-$ , то значения равновесных потенциалов  $E_0$  могут зависеть от  $\mathbf{pH}$ . Наглядное представление об областях термодинамической устойчивости дают диаграммы  $\mathbf{pH}$  — потенциал (диаграммы Пурбе). Данные для построения этих диаграмм приведены в табл. 4.51—4.58 [285]. На рис. 4.37

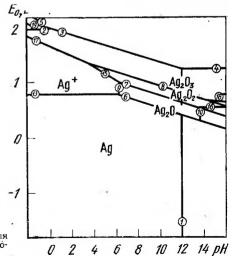


Рис. 4.37. Диаграмма Пурбе для серебра (цифры соответствуют номеру линии в табл. 4.52)

Момер линин (см. рис. 4.37)	Равновесиая реакция	Уравнение линии (см. рис. 4.37)
1 2 3	$AgO^{-}+2H^{+}\Rightarrow Ag^{+}+H_{2}O$ $Ag^{2+}+e\Rightarrow Ag^{+}$ $AgO^{+}+2H^{+}+2e\Rightarrow Ag^{+}+H_{2}O$ $AgO^{+}+2e\Rightarrow AgO^{-}$	$\begin{array}{c}   & \log[\text{AgO}^{-}]/[\text{Ag}^{+}] = -24,04 + 2 \text{ pH} \\ E_{0} = -1,980 + 0,0591 \log[\text{Ag}^{2}^{+}]/[\text{Ag}^{+}] \\ E_{0} = 1,998 - 0,06591 \text{ pH} + \\ & + 0,0295 \log[\text{AgO}^{+}]/[\text{Ag}^{+}] \\ E_{0} = 1,288 + 0,0295 \log[\text{AgO}^{+}]/[\text{AgO}^{-}] \end{array}$
5	$AgO + 2H + e \rightleftharpoons Ag^2 + H_2O$	$E_0$ =2,016—0,1182 pH+ +0,0591 lg[AgO+]/[Ag <sup>2+</sup> ]
6 7 8 9	$Ag_2O + 2H^+ + 2e_{\Rightarrow} 2Ag + H_2O$ $2AgO + 2H^+ + 2e_{\Rightarrow} Ag_2O + H_2O$ $Ag_2O_3 + 2H^+ + 2e_{\Rightarrow} 2AgO + H_2O$ $Ag_2O + 2H^+ \Rightarrow 2Ag^+ + H_2O$	$egin{array}{l} E_0 = 1,173 - 0,0591 \ \mathrm{pH} \\ E_0 = 1,398 - 0,0591 \ \mathrm{pH} \\ E_0 = 1,569 - 0,0591 \ \mathrm{pH} \\ \mathrm{lg}[Ag+l = 6.33 - \mathrm{pH} \\ \end{array}$
10 11	$2AgO^{-} + 2H^{+} \Rightarrow Ag_{2}O + H_{2}O$ $AgO + 2H^{+} \Rightarrow Ag^{2} + H_{2}O$	$[g[AgO^{-}]=-17,72+pH]$ $[g[Ag^{2+}]=-3,53-2pH]$
12 13 14	$Ag_2O_3+2H+ \rightleftharpoons 2AgO++H_2O$ $Ag++e \rightleftharpoons Ag$ $AgO^-+2H^++e \rightleftharpoons Ag+H_2O$	$\begin{array}{l} \lg[AgO^{+}] = -11,10 - pH \\ E_{0} = 0,799 + 0,0591 \lg[Ag^{+}] \\ E_{0} = 2,220 - 0,1182 pH + \end{array}$
15	$AgO+2H^++e \rightleftharpoons Ag^++H_2O$	+0,0591 lg[AgO-] E <sub>0</sub> =1,772-0,1182 pH-
16 17	$AgO + e \rightleftharpoons AgO - Ag_2O_3 + 6H + 4e \rightleftharpoons 2Ag + 3H_2O$	0,0591 lg[Ag+] E <sub>0</sub> =0,3510,0591 lg[AgO-] E <sub>0</sub> =1,6700,0886 pH 0,0295 lg[Ag+]
18	$Ag_2O_3 + 2H^+ + 4e \Rightarrow 2AgO^- + H_2O$	E <sub>0</sub> =0,960—0,0295 pH— —0,0295 lg[AgO <sup>-</sup> ]
19	$Ag_2O_3 + 6H^+ + 2e \rightleftharpoons 2Ag^{3+} + 3H_2O$	E <sub>0</sub> =1,360—0,1773 pH— -0,0591 lg[Ag <sup>2+</sup> ]

### таблица 4.62 Уравнение для построения диаграмм пурбе для золота

Номер линии	Равновесная реакция	Уравнени <del>е</del> линии
1	H₃AųO₃+3H+ <b>⇒</b> Au³++3H <b>₂</b> O	lg[H <sub>3</sub> AuO <sub>3</sub> ]/[Au <sup>3+</sup> ]=-3,43+3 pH
2	H <sub>2</sub> AuO <sub>3</sub> +H+⇌H <sub>3</sub> AuO <sub>3</sub>	$lg[H_2AuO_3]/[H_3AuO_3] = -11,74 + pH$
3	$HAuO_3^{2-} + H+ \rightleftharpoons H_2AuO_3^{-}$	$lg[HAuO_3^{2-}]/[H_2AuO_3^{-}] = -13,35 + pH$
4	$AuO_3^{3-}+H+ \rightleftharpoons HAuO_3^{2-}$	$[lg[AuO_3^{3-}]/[HAuO_3^{2-}] = -15,99 + pH]$
5	$Au^{3+} + 2e \Rightarrow Au^{+}$	$E_0 = 1,401 + 0,0295  \text{lg}[\text{Au}^3 +]/[\text{Au} +]$
6	$H_3AuO_3+3H++2e \rightarrow Au^++3H_2O$	$E_0 = 1,502 - 0,0886 \text{ pH} + + 0,0295 \text{ lg}[H_3\text{AuO}_3]/[\text{Au}^+]$
7	$H_2AuO_3 + 4H + 2e \rightleftharpoons Au + 3H_2O$	$E_0 = 1,849 - 0,1182 \text{ pH} +$
		+0,0295 lg[H <sub>2</sub> AuO <sub>3</sub> <sup></sup> ]/[Au+]

Номер линии	Равновесная реакция	Уравнение линии
8 9 10 11 12 13	$HAuO_{3}^{2-} + 5H^{+} + 2e_{\rightleftharpoons}Au^{+} + 3H_{2}O$ $Au_{2}O_{3} + 6H^{+} + 6e_{\rightleftharpoons} 2Au + 3H_{2}O$ $2AuO_{2} + 2H^{+} + 2e_{\rightleftharpoons}Au_{2}O_{3} + H_{2}O$ $Au_{2}O_{3} + 6H^{+} \Rightarrow 2Au^{3} + 3H_{2}O$ $2H_{3}AuO_{3} \Rightarrow Au_{2}O_{3} + 3H_{2}O$ $2H_{2}AuO_{3}^{-} + 2H^{+} \Rightarrow Au_{2}O_{3} + 3H_{2}O$	$E_0$ =2,243—0,1477 pH+ +0,0295 lg[HAuO $_3^2$ ]/[Au+] $E_0$ =1,457—0,0591 pH $E_0$ =2,630—0,0591 pH lg[Au $^3$ +]=—2,08—3 pH lg[H $_3$ AuO $_3$ ]=—5,53 lg[H $_2$ AuO $_3$ ]=—17,24+pH
14 15 16 17	2HAuO <sub>3</sub> <sup>2</sup> +4H+ $\Rightarrow$ Au <sub>2</sub> O <sub>3</sub> +3H <sub>2</sub> O Au++e $\Rightarrow$ Au Au³++3e $\Rightarrow$ Au H <sub>3</sub> AuO <sub>3</sub> +3H++3e $\Rightarrow$ Au+3H <sub>2</sub> O H <sub>2</sub> AuO <sub>3</sub> +4H++3e $\Rightarrow$ Au+3H <sub>2</sub> O	$lg[HAuO_3^2] = -30,59 + 2 pH$ $E_0 = 1,692 + 0,0591 lg[Au^+]$ $E_0 = 1,498 + 0,0197 lg[Au^3^+]$ $E_0 = 1,565 - 0,0591 pH^+$ $+0,0197 lg[H_3AuO_3]$ $E_0 = 1,796 - 0,0788 pH^+$ $+0,0197 lg[H_2AuO_3^-]$
19 20 21 22	$HAuO_3^{2-} + 5H^+ + 3e \rightleftharpoons Au + 3H_2O$ $AuO_2 + 4H^+ + e \rightleftharpoons Au^3 + + 2H_2O$ $AuO_2 + H_2O + H^+ + e \rightleftharpoons H_3AuO_3$ $AuO_2 + H_2O + e \rightleftharpoons H_2AuO_3^-$	$E_0=2,059-0,0985 \text{ pH}+\\+0,0197 \text{ lg[HAuO}_3^2-]\\E_0=2,507-0,2346 \text{ pH}-\\-0,0591 \text{ lg[Au}^3+]\\E_0=2,305-0,0591 \text{ pH}-\\-0,0591 \text{ lg[H}_3\text{AuO}_3]\\E_0=1,611-0,0591 \text{ lg[H}_2\text{AuO}_3^2-]$
23	$AuO_2+H_2O+e \rightarrow HAuO_3^2+H^+$	$E_0 = 0.822 + 0.0591 \text{ pH} - 0.0591 \text{ lg[HAuO}_3^2 ]$

### ТАБЛИЦА 4.53 УРАВНЕНИЯ ДЛЯ ПОСТРОЕНИЯ ДИАГРАММ ПУРБЕ ДЛЯ РУТЕНИЯ

Номер линии	Равновесная реакция	Уравнение линии
1	HRuO <sub>5</sub> +H+≠H₂RuO <sub>5</sub>	lg[HRuO <sub>5</sub> ]/[H <sub>2</sub> RuO <sub>5</sub> ]=—11,22+pH
2	$RuO_4^{2-} + 8H^+ + 4e_{\rightleftharpoons}Ru^{2+} + 4H_2O$	$E_0 = 1,563 - 0,1182 \text{ pH} + 0,0148 \text{ lg}[\text{RuO}_4^{2}]/[\text{Ru}^2+]$
3	$RuO_4^- + 8H^+ + 5e \Rightarrow Ru^2 + 4H_2O$	$E_0 = 1,368 - 0,0945 \text{ pH} + 0,0118 \text{ lg}[\text{Ru}O_4^-]/[\text{Ru}^2+]$
4	$H_2RuO_5 + 8H^+ + 6e \Rightarrow Ru^2 + + 5H_2O$	$E_0 = 1,307 - 0,0788 \text{ pH} + 0,0098 \text{ lg}[\text{H}_2\text{RuO}_5]/[\text{Ru}^2+]$
5	$RuO_{4}^{-}+e \rightleftharpoons RuO_{4}^{2}$	E <sub>0</sub> =0,590+0,0591 lg[RuO <sub>4</sub> -]/ /[RuO <sub>4</sub> ]

Номер динии	Равновесная реакция	Уравнение лиини
6	$H_2RuO_5+e \Rightarrow RuO_4^- + H_2O$	$E_0 = 1,001 + 0,0591 \text{ lg[H}_2\text{RuO}_5]/$ $/[\text{RuO}_4^-]$
7	$HRuO_5^- + H^+ + e \rightleftharpoons RuO_4^- + H_2O$	$E_0 = 1,660 - 0,0591 \text{ pH} + 0,0591 \text{ lg } [\text{HRuO}_5^-]/[\text{RuO}_4^-]$
8 9	$Ru_2O_3+6H^++6e_{\rightleftharpoons}2Ru+3H_2O$	$E_0 = 0.738 - 0.0591 \text{ pH}$
10	2RuO <sub>2</sub> +2H++2e → Ru <sub>2</sub> O <sub>3</sub> +H <sub>2</sub> O	$E_0 = 0.937 - 0.0591 \text{ pH}$
11	$RuO_4+4H^++4e \rightleftharpoons RuO_2+2H_2O$ $H_2RuO_5 \rightleftharpoons RuO_4+H_2O$	$E_0 = 1,387 - 0,0591 \text{ pH}$ $lg[H_2RuO_5] = -0.88$
12	$HRuO_{5}^{-} + H^{+} \rightleftharpoons RuO_{4} + H_{2}O$	$\lg \left[ HRuO_5^- \right] = -12,10 + pH$
13	$Ru^2 + 2e \rightarrow Ru$	$E_0 = 0.455 + 0.0295  \text{lg[Ru}^2 + ]$
14	$RuO_{4}$ +8H++6 $e \rightleftharpoons Ru + 4H_{2}O$	$E_0 = 1.193 - 0.0788 \text{ pH} +$
		+0,0098 lg [RuO <sub>4</sub> <sup>2</sup> -]
15	$Ru_2O_3+6H^++2e_{+}2Ru^2++3H_2O$	E <sub>0</sub> =1,304—0,1773 pH— —0,0591 lg[Ru <sup>2+</sup> ]
16	$RuO_2 + 4H^+ + 2e \rightarrow Ru^2 + 2H_2O$	$E_0 = 1,120 - 0,1182 \text{ pH} - 0,0295 \text{ lg[Ru}^2+]$
17	$2\text{RuO}_4^{2-} + 10\text{H}^+ + 6e_{\rightleftharpoons}$	$E_0 = 1,649 - 0,0985 \text{ pH} +$
	$\rightleftharpoons$ Ru <sub>2</sub> O <sub>3</sub> +5H <sub>2</sub> O	$+0.0197 \lg \left[ \text{RuO}_{4}^{2-} \right]$
18	$RuO_4^{2-} + 4H^+ + 2e \rightleftharpoons RuO_2 + 2H_2O$	$E_0 = 2,005 - 0,1182 \text{ pH} +$
		$+0.0295 \lg \left[ \text{RuO}_{4}^{2} \right]$
19	$RuO_4^- + 4H^+ + 3e \Rightarrow RuO_2 + 2H_2O$	$E_0 = 1,533 - 0,0788 \text{ pH} +$
	•	$+0.0197 \lg \left[ \text{RuO}_{4}^{-} \right]$
20	$H_2RuO_5+4H^++4e$ ⇒ $RuO_2+3H_2O$	$E_0 = 1,400 - 0,0591 \text{ pH} + 0,0148 \text{ lg}[\text{H}_2\text{RuO}_5]$
21	$RuO_4 + e \rightleftharpoons RuO_4$	$E_0 = 0.950 - 0.0591  \text{lg} \left[ \text{RuO}_4^- \right]$

ТАБЛИЦА 4.54 УРАВНЕНИЯ ДЛЯ ПОСТРОЕНИЯ ДИАГРАММ ПУРБЕ ДЛЯ ОСМИЯ

Номер линии	Равновесная реакция	Уравнение линии
1 2 3	$HOsO_{5}^{-}+H^{+}\rightleftharpoons H_{2}OsO_{5}$ $OsO_{5}^{-}+H^{+}\rightleftharpoons HOsO_{5}^{-}$ $H_{2}OsO_{5}+2e\rightleftharpoons OsO_{4}^{2-}+H_{2}O$	$ \begin{vmatrix} \log [HOsO_5^-]/[H_2OsO_5] = -10,00 + pH \\ \log [OsO_5^{2}]/[HOsO_5^-] - 14,50 + pH \\ E_0 = 0,418 + \\ +0,0295 \log[H_2OsO_5]/[OsO_4^{2}] \end{vmatrix} $

Номер	Равновесная реакция	Уравиенне линин
4	$  HOsO_5^- + H^+ + 2e \rightleftharpoons OsO_4^{2-} + H_2O$	$E_0 = 0.714 - 0.0295 \text{ pH} +$
		$+0.0295 \lg \left[ HOsO_5^{-} \right] / \left[ OsO_4^{2-} \right]$
5	$OsO_5^{2-} + 2H + 2e \Rightarrow OsO_4^{2-} + H_2O$	
		$+0.0295 \lg \left[ OsO_5^{2-} \right] / \left[ OsO_4^{2-} \right]$
6	$OsO_2+4H^++4e \rightleftharpoons Os+2H_2O$	$E_0 = 0.687 - 0.0591 \text{ pH}$
7	$OsO_4+4\dot{H}^++4e \Rightarrow OsO_2+2H_2O$	$E_0 = 1,005 - 0,0591 \text{ pH}$
8	$H_2OsO_5 \rightleftharpoons OsO_4 + H_2O$	$lg[H_2OsO_5] = -0.55$
9	$HOsO_5^- + H^+ \rightleftharpoons OsO_4 + H_2O$	$\left[ \lg \left[ HOsO_{5}^{-} \right] = -10,55 + pH \right]$
10	$OsO_4^{2-} + 8H^+ + 6e \rightleftharpoons Os + 4H_2O$	$E_0 = 0.994 - 0.0788 \text{ pH} +$
		$+0,0098 \lg \left[ OsO_4^{2-} \right]$
11	$H_2OsO_5+8H^++8e \Rightarrow Os+5H_2O$	$E_0 = 0.850 - 0.0591 \text{ pH} + 0.0074 \text{ lg[H}_2\text{OsO}_5]$
12	$OsO_4^{2-} + 4H^+ + 2e \rightleftharpoons OsO_2 + 2H_2O$	$E_0 = 1,607 - 0,1182 \text{ pH} +$
		$+0.0295 \lg \left[ OsO_4^{2-} \right]$
13	$H_2OsO_5+4H^++4e \Rightarrow$ $\Rightarrow OsO_2+3H_2O$	$E_0 = 1,013 - 0,0591 \text{ pH} + 0,0148 \text{ lg}[\text{H}_2\text{OsO}_5]$
14	OsO <sub>4</sub> +2 <i>e</i> →OsO <sub>4</sub> <sup>2</sup> —	$E_0 = 0.402 - 0.0295 \text{ lg} \left[ \text{OsO}_4^{2-} \right]$
15	H <sub>2</sub> OsO <sub>5</sub> ←CsO <sub>4</sub> +H <sub>2</sub> O	$\lg p_{\text{OsO}_4} / [\text{H}_2 \text{OsO}_5] = -1,50$
16	$HOsO_5^- + H^+ \rightleftharpoons OsO_4 + H_2O$	$\lg p_{\text{OsO}_4} /  \text{HOsO}_5^-  = 8,50 - \text{pH}$
17	$OsO_5^{2-} + 2H + \rightleftharpoons OsO_4 + H_2O$	$\lg p_{\text{OsO}_4} / \lceil \text{OsO}_5^{2-} \rceil = 22,99 - 2 \text{ pH}$
18	$OsO_4 + 2e \rightleftharpoons OsO_4^{2-}$	$E_0 = 0.463 + 0.0295 \lg p_{OsO_4}$
19	$OsO_4+4H^++4e_{\rightleftharpoons}OsO_2+2H_2O$	$/[\text{OsO}_4^{2-}]$ $E_0 = 1,035 - 0,0591 \text{ pH} + 0,0148 \text{ lg } p_{\text{OsO}_4}$

ТАБЛИЦА 4.55 УРАВНЕНИЯ ДЛЯ ПОСТРОЕНИЯ ДИАГРАММ ПУРБЕ ДЛЯ РОДИЯ

Номер линин	Равновесиая реакция	Уравнение линин
1 2	Rh <sup>2+</sup> +e≠Rh+ RhO <sub>4</sub> <sup>2</sup> +8H++5e≠Rh++4H <sub>2</sub> O	$E_0 = 0,600 + 0,0591 \text{ lg[Rh}^2+]/[Rh+]$ $E_0 = 1,717 - 0,0946 \text{ pH} + 0,0118 \text{ lg [RhO}_4^{2-}]/[Rh+]$
3	Rh³++ <i>e</i> ≠Rh²+	$+0.0118 \text{ Ig} [RhO_4^{2-}]/[Rh+]$ $E_0=1.198+0.0591 \text{ Ig}[Rh^3+]/[Rh^2+]$

Продолжение так	OA. 4.	.55
-----------------	--------	-----

	Прооблястие Табл.			
Номер линии	Равновесная реакция	Уравнение линии		
4	$RhO_4^{2-} + 8H^+ + 4e \rightarrow Rh^{2+} + 4H_2O$	$E_0 = 1,995 - 0,1182 \text{ pH} + $ + 0,0148 \text{ lg } \[ \text{RhO}_4^{2} \] / \[ \text{Rh}^{2+} \]		
5	$RhO_4^{2-} + 8H^+ + 3e \Rightarrow Rh^{3+} + 4H_2O$	$E_0 = 2,261 - 0,1576 \text{ pH} + + 0,0197 \text{ lg} \left[ \text{RhO}_4^{2} \right] / \left[ \text{Rh}^{3+} \right]$		
6 7 8 9 10 11 12 13 14 15 16 17	$ 2RhO_2 + 2H^+ + 2e \Rightarrow Rh_2O_3 + H_2O \\ Rh_2O + 2H^+ \Rightarrow 2Rh^+ + H_2O \\ Rh_2O_3 + 6H^+ \Rightarrow 2Rh^3 + + 3H_2O \\ Rh^+ + e \Rightarrow Rh \\ Rh^+ + 2e \Rightarrow Rh \\ Rh^3 + + 3e \Rightarrow Rh \\ 2Rh^2 + H_2O + 2e \Rightarrow Rh_2O + 2H^+ $	$E_0 = 0.796 - 0.0591 \text{ pH}$ $E_0 = 0.882 - 0.0591 \text{ pH}$ $E_0 = 0.877 - 0.0591 \text{ pH}$ $E_0 = 0.871 - 0.0591 \text{ pH}$ $E_0 = 0.871 - 0.0591 \text{ pH}$ $E_0 = 1.730 - 0.0591 \text{ pH}$ $\lg[Rh^+] = 3.31 - \text{pH}$ $\lg[Rh^+] = 3.56 - 3 \text{ pH}$ $E_0 = 0.600 + 0.0591 \lg[Rh^2]$ $E_0 = 0.600 + 0.0295 \lg[Rh^2]$ $E_0 = 0.799 + 0.0197 \lg[Rh^3]$ $E_0 = 0.396 + 0.0591 \text{ pH} + 0.0591 \lg[Rh^2]$ $E_0 = 0.396 + 0.0591 \text{ pH} + 0.0591 \lg[Rh^3]$ $E_0 = 0.801 + 0.0295 \text{ pH} + 0.0295 \lg[Rh^3]$ $E_0 = 0.975 - 0.0886 \text{ pH} + 0.0295 \lg[Rh^4]$ $E_0 = 1.349 - 0.1773 \text{ pH} - 0.0591 \lg[Rh^2]$		
20	$RhO_2 + 4H^+ + e \rightleftharpoons Rh^{3+} + 2H_2O$	E <sub>0</sub> =1,881—0,2364 pH— —0,0591 lg[Rh³+]		
21	$2RhO_4^{2-} + 10H^+ + 6e \Rightarrow Rh_2O_8 + +5H_2O$	$E_0 = 2,211 - 0,0985 \text{ pH} + 0,0197 \text{ lg } \left[ \text{RhO}_4^{2-} \right]$		
22	$RhO_4^{2-} + 4H^+ + 2e \Rightarrow RhO_2 + 2H_2O$	$E_0$ =2,452—0,1182 pH+ +0,0197 lg [RhO <sub>4</sub> <sup>2-</sup> ]		

ТАБЛИЦА 4.66 УРАВНЕНИЯ ДЛЯ ПОСТРОЕНИЯ ДИАГРАММ ПУРБЕ ДЛЯ ИРИДИЯ

Номер линии	Равновесная реакция	Уравнение линии
1 2 3 4 5 6 7	$IrO_{4}^{2-} + 8H^{+} + 3e \Rightarrow Ir^{3+} + 4H_{2}O$ $Ir_{2}O_{3} + 6H^{+} + 6e \Rightarrow 2Ir + 3H_{2}O$ $IrO_{2} + 4H^{+} + 4e \Rightarrow Ir + 2H_{2}O$ $2IrO_{2} + 2H^{+} + 2e \Rightarrow Ir_{2}O_{3} + H_{2}O$ $Ir_{2}O_{3} + 6H^{+} \Rightarrow 2Ir^{3+} + 3H_{2}O$ $Ir^{3+} + 3e \Rightarrow Ir$ $IrO_{2} + 4H^{+} + e \Rightarrow Ir^{3+} + 2H_{2}O$	$E_0 = 1,448 - 0,1576 \text{ pH} + \\ +0,0197 \text{ lg } \left[\text{IrO}_4^{2-}\right]/\left[\text{Ir}^{3+}\right] \\ E_0 = 0,926 - 0,0591 \text{ pH} \\ E_0 = 0,926 - 0,0591 \text{ pH} \\ E_0 = 0,926 - 0,0591 \text{ pH} \\ \text{lg}\left[\text{Ir}^{3+}\right] = -3,79 - 3 \text{ pH} \\ E_0 = 1,156 + 0,0197 \text{ lg}\left[\text{Ir}^{3+}\right] \\ E_0 = 0,233 - 0,2364 \text{ pH} - \\ -0,0591 \text{ lg}\left[\text{Ir}^{3+}\right]$

lомер лииии	Равновесная реакция	Уравнение линии
8	$2IrO_4^{2-} + 10H^+ + 6e \Rightarrow$ $\Rightarrow Ir_2O_3 + 5H_2O$	$\begin{bmatrix} E_0 = 1,680 - 0,0985 \text{ pH} + \\ +0,0197 \text{ lg} \left[ \text{IrO}_4^{2-} \right] \end{bmatrix}$
9	$IrO_4^{2-} + 4H^+ + 2e \Rightarrow IrO_2 + 2H_2O$	$E_0 = 2,057 - 0,1182 \text{ pH} + 0,0295 \text{ lg} \left[ \text{IrO}_4^{2-} \right]$

### ТАБЛИЦА 4.57 УРАВНЕНИЯ ДЛЯ ПОСТРОЕНИЯ ДИАГРАММ ПУРБЕ ДЛЯ ПАЛЛАДИЯ

Номер <b>ли</b> нии	Равновесная реакция	Уравнение линии
1 2 3 4 5 6 7	$\begin{array}{c} 2Pd + H^{+} + e \rightleftarrows Pd_{2}H \\ PdO + 2H^{+} + 2e \rightleftarrows Pd + H_{2}O \\ PdO_{2} + 2H^{+} + 2e \rightleftarrows PdO_{2} + H_{2}O \\ PdO_{3} + 2H^{+} + 2e \rightleftarrows PdO_{2} + H_{2}O \\ PdO + 2H + \rightleftarrows Pd^{2} + H_{2}O \\ Pd^{2} + 2e \rightleftarrows Pd \\ PdO_{2} + 4H^{+} + 2e \rightleftarrows Pd^{2} + 2H_{2}O \end{array}$	$E_0 = 0.048 - 0.0591 \text{ pH}$ $E_0 = 0.897 - 0.0591 \text{ pH}$ $E_0 = 1.283 - 0.0591 \text{ pH}$ $E_0 = 2.030 - 0.0591 \text{ pH}$ $\lg[Pd^2+] = -2.35 - 2 \text{ pH}$ $E_0 = 0.987 + 0.0295 \lg[Pd^2+]$ $E_0 = 1.194 - 0.1182 \text{ pH} - 0.0295 \lg[Pd^2+]$

### ТАБЛИЦА 4.58 УРАВНЕНИЯ ДЛЯ ПОСТРОЕНИЯ ДИ**А**ГРАММ ПУРБЕ ДЛЯ ПЛАТИНЫ

Номер линии	Равновесная реакция	Уравнение линии
1 2 3 4 5 6	PtO+2H++2e $\rightleftharpoons$ Pt+H <sub>2</sub> O PtO <sub>2</sub> +2H++2e $\rightleftharpoons$ PtO+H <sub>2</sub> O PtO <sub>3</sub> +2H++2e $\rightleftharpoons$ PtO <sub>2</sub> +H <sub>2</sub> O PtO+2H+ $\rightleftharpoons$ Pt <sup>2+</sup> +H <sub>2</sub> O Pt <sup>2+</sup> +2e $\rightleftharpoons$ Pt PtO <sub>2</sub> +4H++2e $\rightleftharpoons$ Pt <sup>2+</sup> +2H <sub>2</sub> O	$E_0 = 0.980 - 0.0691 \text{ pH}$ $E_0 = 1.045 - 0.0591 \text{ pH}$ $E_0 = 2.000 - 0.0591 \text{ pH}$ $\lg[Pt^2+] = -7.06 - 2 \text{ pH}$ $E_0 = 1.188 + 0.0295 \lg[Pt^2+]$ $E_0 = 0.837 - 0.1182 \text{ pH} - 0.0295 \lg[Pt^2+]$

### ТАБЛИЦА 4.59 СТАНДАРТНЫЕ ПОТЕНЦИАЛЫ В СИСТЕМАХ С ОБРАЗОВАНИЕМ КОМПЛЕКСНЫХ И МАЛОРАСТВОРИМЫХ СОЕДИНЕНИЙ

Система	<i>E</i> ₀, B
$Ag_2S + 2e \rightleftharpoons 2Ag + S^2 -$	-0,691
$Ag_2S + 2e_{++}2Ag + S^{2-}$ $Ag(CN)_3^{2-} + e_{++}Ag + 3CN^{-}$	0,50

12\*

потенциалы	ХЛОРИДНЫХ РАСПЛАВАХ ОТНОСИТЕ	льно
хлорного электрода		

Система	Расплав	Т, Қ	Е, В
Pt/Pt2+ Pt/Pt2+ Pd/Pd2+ Pd/Pd2+ Rh/Rh3+ Ag/Ag+ Ag/Ag+ Ag/Ag+ Au/Au+ Au/Au+ Au/Au+	NaCl—KCl (1:1) LiCl—KCl (9BT.) NaCl—KCl (1:1) LiCl—KCl (9BT.) LiCl—KCl (9BT.) LiCl—KCl (9BT.) NaCl—KCl (1:1) NaCl—KCl (1:1) LiCl—KCl (1:1) LiCl—KCl (1:1) LiCl—KCl (1:1) AuCl—KCl (1:1)	1000 723 1000 723 723 723 723 723 973 723 1000 408	-0,167 -0,216 -0,374 -0,214 -0,398 -0,853 -0,905 -0,845 +0,095 +0,192 -0,018

ТАБЛИЦА 4.61 ПОТЕНЦИАЛЫ НУЛЕВЫХ ЗАРЯЛОВ БЛАГОРОЛНЫХ МЕТАЛЛОВ 1989 2901

потенциалы нулевых зарядов благоро	ДНЫХ МЕТАЛЛОВ [289, 290]
Раствор	Е <sub>н.з</sub> , В (н. в. э.)
Серебро	
0,001 н. Na <sub>2</sub> SO <sub>4</sub> 0,1 н. KNO <sub>3</sub>	0,70 0,05
Золото	
0,002 н. NaF	0,18
Платина	
0,3 н. HF+0,12 н. KF 1 н. Na <sub>2</sub> SO <sub>4</sub> +0,01 н. H <sub>2</sub> SO <sub>4</sub> 1 н. KCl+0,01 н. HCl 1 н. KBr+0,01 н. HBr 1 н. KBr+0,01 н. KOH	0,185 0,16 0,05 0,03 0,39
Палладий	
0,1 н. Na <sub>2</sub> SO <sub>4</sub> +0,002 н. H <sub>2</sub> SO <sub>4</sub>	0,10
Родий	
0,3 н. HF+0,12 н. KF 1 н. Na <sub>2</sub> SO <sub>4</sub> +0,01 н. H <sub>2</sub> SO <sub>4</sub> 1 н. KCl+0,01 н. HCl	0,005 0,04 0,12
	181

	Продолжение табл. 4.5
Система	<i>E</i> <sub>0</sub> , B
$Ag(CN)_2^- + e \rightleftharpoons Ag + 2CN^-$	-0,31
$AgI + e \rightleftharpoons Ag + I^-$	0,152
$Ag_2S+2H^++2e\rightleftharpoons 2Ag+H_2S$ $AgCN+e\rightleftharpoons Ag+CN^-$	-0.06 -0.017
$AgBr + e \rightleftharpoons Ag + Br$	0,071
$AgBr_4^3 + e \rightleftharpoons Ag + 4Br$	0,274
$AgSCN + e \rightleftharpoons Ag + SCN^-$ $Ag(SCN)_3^{4-} + e \rightleftharpoons Ag + 4SCN^-$	0,089
Ag <sub>4</sub> [Fe(CN) <sub>6</sub> ]+ $4e \rightleftharpoons 4$ Ag+[Fe(CN) <sub>6</sub> ] <sup>4</sup> -	0,214 0,148
$AgCl + e \rightleftharpoons Ag + Cl$	0,222
$Ag_3PO_4 + 3e \rightarrow 3Ag + PO_4^{3}$	0,340
$Ag_2CrO_4 + 2e \rightleftharpoons 2Ag + CrO_4^{2}$	0,464
$Ag_2C_2O_4 + 2e \rightleftharpoons 2Ag + C_2O_4^{2-}$	0,465
$Ag_2SO_4 + 2e \rightleftharpoons 2Ag + SO_4^{2-}$	0,654
$AuCl_2^- + e \rightleftharpoons Au + 2Cl^-$	1,154
$AuBr_2^- + e \rightleftharpoons Au + 2Br^-$	0,960
$AuI \frac{1}{2} + e \rightleftharpoons Au + 2I$	0,578
$Au(SCN)_2 \rightleftharpoons Au + 2SCN$	0,662
$Au(CN)_2 + e \rightleftharpoons Au + 2CN$	`-0,611
$AuCl_{4}^{-}+3e \rightleftharpoons Au+4Cl^{-}$	1,002
$AuBr_4^- + 3e \Rightarrow Au + 4Br^-$	0,854
$AuI_4^- + 3e \rightleftharpoons Au + 4I^-$	0,56
$Au(SCN)_4^- + 3e \rightleftharpoons Au + 4SCN^-$	0,636
$PtCl_{4}^{2-} + 2e \rightleftharpoons Pt + 4Cl^{-}$	0,579
$PtI_4^{2-} + 2e \rightleftharpoons Pt + 4I^-$	-0,16
$PtCl_6^{2-} + 4e \Rightarrow Pt + 6Cl^{-}$	0,557
$IrCl_6^{2-} + 4\acute{e} \rightleftharpoons Ir + 6Cl^{-}$	0,86
$IrCl_6^{3-} + 3e \rightleftharpoons Ir + 6Cl^-$	0,86
$PdCl_{4}^{2-} + 2e \Rightarrow Pd + 4Cl^{-}$	0,62
$PdBr_4^{2-} + 2e \rightleftharpoons Pd + 4Br$	0,49
$PdI_4^{2-} + 2e \rightleftharpoons Pd + 4I^-$	0,18
$RuCl_6 + 3e \rightleftharpoons Ru + 3Cl$	0,68
$RuCl^{2} \xrightarrow{5} + 3e \rightleftharpoons Ru + 5Cl -$	0,60
180	

	Продолжение таол. 4.61
Раствор	E <sub>H.3</sub> , В (н. в. э.)
Иридий	
0,3 н. HF+0,12 н. KF 1 н. Na <sub>2</sub> SO <sub>4</sub> +0,01 н. H <sub>2</sub> SO <sub>4</sub> 1 н. KCI+0,01 н. HCl	-0,01 -0,06 -0,13
Рутений	_
1 н. ҚС1+0,01 н. НСІ	0,50

ТАБЛИЦА 4.62 ПОТЕНЦИАЛЫ НУЛЕВЫХ ПОЛНЫХ ЗАРЯДОВ (п. н. п. з.) МЕТАЛІЛОВ ПЛАТИНОВОЙ ГРУППЫ [289, 290]

Раствор	Е <sub>н.п.з.</sub> , В (н. в. э.)
Платина	
0,3 н. HF+0,12 н. KF 1 н. Na <sub>2</sub> SO <sub>4</sub> +0,01 н. H <sub>2</sub> SO <sub>4</sub> 1 н. KC1+0,01 н. HC1 1 н. KBr+0,01 н. HBr   н. Na <sub>2</sub> SO <sub>4</sub> +0,01 н. NaOH 1 н. KC1+0,01 н. KOH 1 н. KBr+0,01 н. KOH	0,235 0,20 0,14 0,06 0,25 -0,30 -0,33
Палладий	
0,1 н. Na <sub>2</sub> SO <sub>4</sub> +0,002 н. H <sub>2</sub> SO <sub>4</sub>	0,26
Родий	
0,3 н. HF+0,12 н. KF 1 н. Na <sub>2</sub> SO <sub>4</sub> +0,01 н. H <sub>2</sub> SO <sub>4</sub> 1 н. KCl+0,01 н. HCl 1 н. Na <sub>2</sub> SO <sub>4</sub> +0,01 н. NaOH	0,085 0,05 0,02 0,40
Иридий	
1 н. Na <sub>2</sub> SO <sub>4</sub> +0,01 н. H <sub>2</sub> SO <sub>4</sub> 1 н. KCl+0,01 н. HCl 1 н. KBr+0,01 н. HBr	0,10 0,06 0,03

182

ТАБЛИЦА 4.63
ТОКИ ОБМЕНА ВОДОРОДНОЙ РЕАКЦИИ НА БЛАГОРОДНЫХ МЕТАЛЛАХ [292, 293]

Ме- талл	Рас <b>тво</b> р	lgi <sub>0</sub> , A/m <sup>2</sup>	Ме- талл	Раствор	lgt <sub>0</sub> , A/m <sup>2</sup>
Ag Ag Au Au Ir Os Pd	1,0 M H <sub>2</sub> SO <sub>4</sub> 0,1 M H <sub>2</sub> SO <sub>4</sub> 0,5 M H <sub>2</sub> SO <sub>4</sub> 0,1 M HCI 0,5 M H <sub>2</sub> SO <sub>4</sub> 1,0 M HCI 0,5 M H <sub>2</sub> SO <sub>4</sub>	-3,9 -3,9 -1,9 -2,3 0,6 -0,1 ·0,9	Pd Pd Pt Pt Pt Pt Rh Ru	1,0 M H <sub>2</sub> SO <sub>4</sub> 0,1 M HCl 0,1 M H <sub>2</sub> SO <sub>4</sub> 0,5 M H <sub>2</sub> SO <sub>4</sub> 1,0 M H <sub>2</sub> SO <sub>4</sub> 1,0 M H <sub>2</sub> SO <sub>4</sub> 1,0 M HCl	0,8 1,2 1,0 1,0 0,9 0,5 -0,2

в качестве примера приведена диаграмма Пурбе для серебра. Номера линий на диаграмме соответствуют номерам уравнений в таблицах. Линии, соответствующие уравнениям с логарифмическими членами, проведены для значений активности, равных единице.

В табл. 4.59 приведены данные о стандартных потенциалах благородных металлов в системах, где возможно образование комплексных или малорастворимых соединений, а в табл. 4.60 — данные о стандарт-

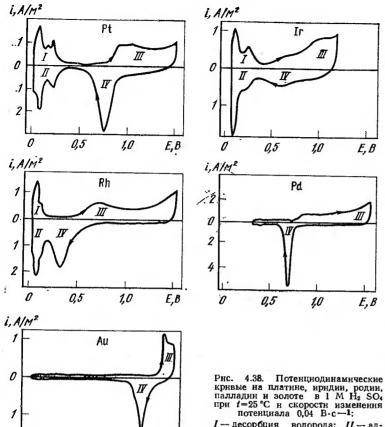
ных потенциалах в хлоридных расплавах [286].

Величина потенциала нулевого заряда играет существенную роль при описании строения двойного электрического слоя и во многом опрелеляет электрохимические и адсорбционные свойства металлов [287]. В табл. 4.61 приведены данные о потенциалах нулевого заряда серебра и золота и потенциалах нулевого свободного заряда металлов группы платины. В табл. 4.62 приведены данные о потенциалах нулевого полного заряда (п. н. п. з.) металлов группы платины. О различии между этими величинами см. работу [288].

Литературные данные о кинетике электрохимических реакций весьма противоречивы, так как скорость большинства процессов сильно за-

ТАБЛИЦА 4.64
ТОК ОБМЕНА КИСЛОРОДНОЙ РЕАКЦИИ НА БЛАГОРОДНЫХ МЕТАЛЛАХ [294]

		lg i <sub>0</sub> , A/M <sup>2</sup>			lg to,	A/m²	
Ме- талл	рН раствор	по иони- зации	по выде- ленню	Ме- талл	рН раствор	по иони- зации	по выде- лению
Ag Au Au Au Ir Ir Pd Pd	13 0 1 14 0 14 0 14 13	-4,8 -6,8 -7,0 - -6,5 -6,9	-17,8 -19,4 -7,0 -7,0 -6,4 -	Pd Pt Pt Pt Pt Rh Rh	14 0 1 13 14 0 13 14	 5,5 7,0  7,0 7,9	-6,5 -5,6 - -7,0 -6,5 -7,2



кривые на платине, иридии, родии, палладин и золоте в 1 М H<sub>2</sub> SO<sub>4</sub> при t=25 °C н скорости изменения

I — десорбция водорода; II — адсорбция водорода; III — адсорбция кислорода; IV - десороция кислоро-

висит от разнообразных, часто не контролируемых, условий эксперимента [291]. В табл. 4.63 и 4.64 приводятся наиболее надежные усредненные данные для простых процессов — выделения и ионизации водорода и кислорода.

E.B

Данные тока обмена редокс-реакции Fe<sup>3+</sup>+e≠Fe<sup>2+</sup> в 1 M растворе H<sub>2</sub>SO<sub>4</sub> приведены ниже [295, 296]:

> Металл . . . Au Ir Pd Pt Rh Ru Логарифм плотности тока обмена, A/M<sup>2</sup> . . . . . 0,9 1,7 2,1 1.9 1.7 1.0

Значения токов обмена для кислородной реакции получены экстраполяцией тафелевских участков поляризационных кривых (в области малых плотностей тока) на значение равновесного потенциала. Значения токов обмена редокс-реакции получены по наклону линейного

(начального) участка поляризационных кривых.

Благородные металлы обладают способностью адсорбировать водород и кислород. Адсорбция водорода и кислорода из водных растворов протекает в определенных областях потенциалов, определяющих энергию адсорбции. Процессы электрохимической адсорбции и десорбции сопровождаются протеканием тока, поэтому для исследования таких процессов используют потенциодинамический метод — измерение тока при изменении потенциала. На рис. 4.38 [297] приведены потенциодинамические кривые благородных металлов. На палладии при потенциалах отрицательнее 0.3 В происходит абсорбция водорода, поэтому кривая ограничена. На золоте заметная адсорбция водорода отсутствует. На рутении и осмии процессы адсорбции водорода и кислорода сильно замедлены и осложнены абсорбцией.

### **ВЗАИМОДЕЙСТВИЕ** БЛАГОРОДНЫХ МЕТАЛЛОВ С ЭЛЕМЕНТАМИ ПЕРИОДИЧЕСКОЙ СИСТЕМЫ ХИМИЧЕСКИХ ЭЛЕМЕНТОВ л. и. менделеева

### 5.1. Двойные диаграммы состояния золота

Взаимодействие золота с элементами І группы

Au-Li (рис. 5.1). Максимальная растворимость Li в Au в твердом состоянии 40 % (ат.) при 631 °C. Au в Li — 0,7 % (ат.) при 151 °C. В системе образуются соединения  $Au_5Li_4$  с г. ц. к. решеткой (a=0.81, c==0.70 нм); AuLi, AuLi<sub>2</sub>, AuLi<sub>3</sub> (г. ц. к. решетка типа AlCu<sub>3</sub>); Au<sub>4</sub>Li<sub>15</sub> (о. ц. к. решетка, a=1,0833 им).

Au-Na. K. Rb. Cs. Fr. Данных о взаимодействии Au c Fr нет [3]. Растворимость элементов в золоте в твердом состоянии ничтожна [298]. Пиаграммы состояния типа Au—Na (рис. 5.2). Кристаллизуются с образованием соединений Au<sub>2</sub>Na (тип Cu<sub>2</sub>Mg), AuNa, AuNa<sub>2</sub> (тип CuAl<sub>2</sub>), Au<sub>5</sub>K (тип Cu<sub>5</sub>Ca), Au<sub>2</sub>K, AuK, AuK<sub>2</sub>, Au<sub>5</sub>Rb (тип Cu<sub>5</sub>Ca), Au<sub>2</sub>Rb (тип

CsCl), AuRb.

Аи-Ад (рис. 5.3). Образуют непрерывный ряд твердых растворов. Механические и электрические свойства сплавов приведены на рис. 5.4.

5.5 [299, 300].

Au—Cu (рис. 5.6). Au с Cu образует непрерывный ряд твердых растворов с образованием при медленном охлаждении соединений АизСи. АпСи и АпСиз с упорядоченной структурой. Упорядочение сопровождается резким изменением электросопротивления сплавов (рис. 5.7). Температура превращения сплава Au<sub>3</sub>Cu составляет 199—231°C при 75 и 68 % Аи соответственно. В сплаве 50% (ат.) Аи-Си при медленном охлаждении из неупорядоченного твердого раствора образуется AuCu с орторомбической решеткой, существующая при 410—380 °C. Ниже 380 °C образуется АцСи с тетрагональной решеткой и c/a = 0.92 [301] (см. рис. 5.6). Механические свойства сплава АиСи сильно зависят от степени отклонения от стехнометрического состава и режима упорядочения.

0,5.

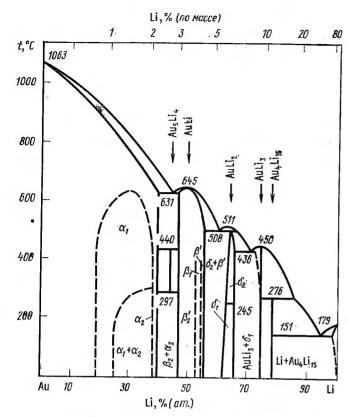


Рис. 5.1. Диаграмма состояния сплавов системы Au-Li

Упорядочение сплава AuCu<sub>3</sub> при 390 °C происходит с изменениями параметров г. ц. к. решетки без изменения ее типа. При упорядочении возрастает  $\sigma_{\rm B}$  сплава и уменьшается коэффициент отражения при  $\lambda = 150 \div 300$  нм [302].

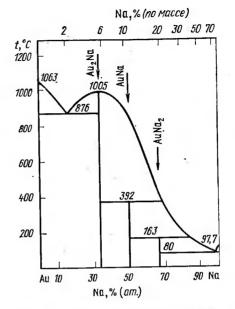
Взаимодействие золота с элементами II группы

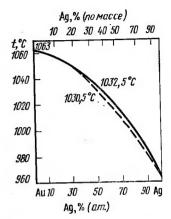
Au—Be (рис. 5.8). Растворимость Ве в Au в твердом состоянии менее 0,2 % (ат.). В системе определены шесть интерметаллических соединений:  $Au_3$ Ве с тетрагональной решеткой (a=0,6445, c=0,5561 нм),  $Au_2$ Ве и AuВе, образующиеся при распаде  $Au_4$ Ве $_3$  при 555 °C, AuВе $_4$  и AuВе $_5$  (типа MgCu $_2$ ). AuВе существует в двух модификациях  $\alpha$  и  $\beta$ .

Au—Mg (рис. 5.9). Максимальная растворимость Mg в Au в твердом состоянии 25 % (ат.) при 827 °C. Соединение  $Au_{78}Mg_{22}$  изоморфно с ZrAI<sub>3</sub>.  $Au_3Mg$  соединение со сверхструктурой типа TiNi<sub>3</sub>.  $AuMg_3$  имеет гексагональную решетку (a=0,464, c=0,846 нм, c/a=1,82). AuMg отно-

сится к структурному типу CsCl с a=0.3266 нм.

Au—Ca, Sr, Ba (рис. 5.10). Диаграммы Au c Ca и Sr подобны. В системе Au—Ca образуется пять соединений постоянного состава: Au<sub>4</sub>Ca, Au<sub>3</sub>Ca, Au<sub>2</sub>Ca, Au<sub>3</sub>Ca<sub>4</sub>, AuCa<sub>2</sub>. В системе Au—Sr идентифицированы кон-





Рнс. 5.2. Диаграмма состояния сплавов системы Au—Na

Рнс. 5.3. Днаграмма состояння сплавов системы Au—Ag

груэнтно плавящиеся соединения Au<sub>5</sub>Sr (1040 °C), Au<sub>2</sub>Sr (1095 °C) и

α-фаза (976°С).

Au<sub>5</sub>Sr [Au 83,6 % (ат.)] имеет гексагональную решетку типа Сu<sub>5</sub>Ca. В системе Au—Ва кристаллизуются соединения Au<sub>5</sub>Ba типа CaCu<sub>5</sub> (87,77 % Au), Au<sub>3</sub>Ba (74,17 % Au) и Au<sub>3</sub>Ba<sub>2</sub> (68,29 % Au). Все три элемента имеют ничтожную растворимость в Au в твердом состоянии [298].

Au—Cd (рис. 5.11). Максимальная растворимость Cd в Au в твердом состоянии 34,5 % (ат.) при 627 °C, Au в Cd 3,5 % (ат.) при 309 °C. Упорядоченная  $\alpha$ -фаза [75,4 % (ат.) Au] имеет структуру типа  $Au_3Mg$  с a=0,4116 и c=0,4137 нм. Фаза  $\alpha_2$  имеет гексагональную решетку с

a=0,29137 H c=0,77978 HM, c/a=1,6756.

В сплавах, содержащих 46,5—51 % (ат.) Сd, при низких температурах образуются фазы со структурой мартенсита:  $\beta'$ ,  $\beta''$ ,  $\gamma_2$ ,  $\xi_2$ . Влияние легирующих элементов на температуру мартенситного превращения сплавов Au—Cd различно. La, Ba, Hg, Cu, Mg, Zr, Ba, Sn сиижают  $M_{\rm H}$  сплава с 47,5 % (ат.) Cd;  $M_{\rm H}$  сплава с 50 % (ат.) Cd повышается при, легировании In и Hg [303]. В монокристаллах с 47,5—50 % (ат.) Сd наблюдается эффект памяти формы [304].

Au—Zn (рис. 5.12). Максимальная растворимость Zn в Au 31% (ат.) при 404—642 °C, Au в Zn 4,5 % (ат.). Соединение Au₄Zn имеет ромбическую решетку с a=0,4026, b=0,4034, c=0,4062 нм. An₃Zn выше 420 °C имеет г. ц. к. решетку, при упорядочении образуется структура типа AuCu₃, ниже 270 °C происходит дальнейшее упорядочение с образованием сложной сверхструктуры. Соединение AuZn вплоть до температуры плавления представляет собой упорядоченную сверхструктуру типа CsCl. Мартенситные превращения происходят в сплавах с 50 (ат.) Zn и более [303]

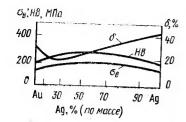


Рис. 5.4. Механические свойства сплавов Au—Ag

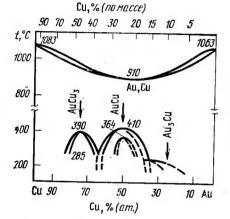


Рис. 5.6. Днаграмма состояния сплавов системы Au—Cu

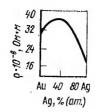


Рис. 5.5. Удельное электрическое сопротивление сплавов Au—Ag

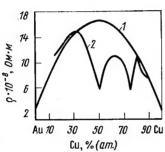
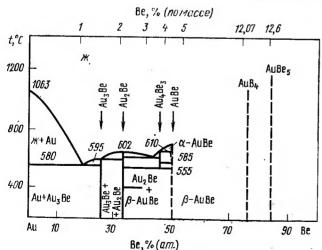
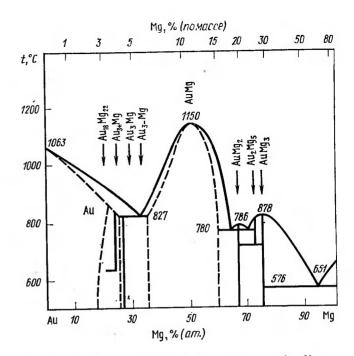


Рис. 5.7. Электросопротивленне сплавов Au—Cu:

1 — после закалки; 2 — после охлаждення на воздухе



Рнс. 5.8. Днаграмма состояния сплавов системы Аи-Ве



Рнс. 5.9. Днаграмма состояния сплавов системы Au--Mg

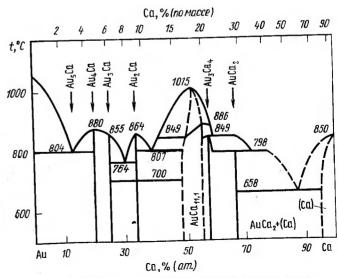


Рис. 5.10. Диаграмма состояння сплавов системы Аи-Са

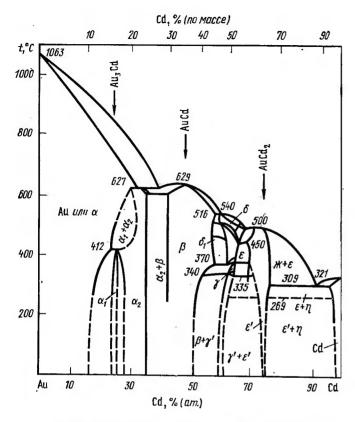


Рис. 5.11. Днаграмма состояння сплавов системы Аи-Сф

и в тройных сплавах Au—Cu—Zn и сопровождаются эффектом памяти формы. Мартенситное превращение фиксируется по изменению электросопротивления сплава (рис. 5.13). Известны пластичные сплавы 61,1 Au—12,9 Cu—25,5 Zn, 46 Au—22 Cu—31 Zn, перспективные для использования в термочувствительных переключателях, зажимах драгоценных камней, в оправах [3, 305].

Au—Hg. Максимальная растворимость Hg в твердом Au 19,8 % (ат.) при 419 °C, 16,7 % (ат.) при 20 °C. В системе образуются два соедине-

ния Au<sub>2</sub>Hg и Au<sub>3</sub>Hg [307].

Взаимодействие золота с элементами III группы

Аи—В. Растворимость В в твердом Ан ничтожна. Идентифицировано

соединение AuB<sub>2</sub> со структурой типа AlB<sub>2</sub>.

Аи—Al (рис. 5.14). В твердом Au при 530 °C растворяется 15,5 % (ат.) Al. При понижении температуры растворимость резко уменьшается. Au<sub>4</sub>Al образуется при 520 °C и имеет решетку типа A2. Ниже 400 °C оно претерпевает полиморфное превращение и образуется соединение со структурой, близкой к β-Mn. Au<sub>5</sub>Al<sub>2</sub> образуется при 575 °C и имеет структуру типа γ-латуни. AuAl со структурой ZnS образуется при

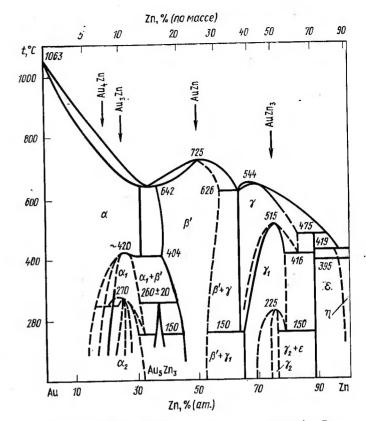


Рис. 5.12. Диаграмма состояния сплавов системы Ац--- Zn

 $625\,^{\circ}$ С. AuAl $_2$  образуется при  $1060\,^{\circ}$ С, имеет узкий интервал гомогенности [32,92—33,92 % (ат.) Au], при  $300-400\,^{\circ}$ С имеет структуру типа  $CaF_2$  и яркий пурпурно-красный цвет.

Au—Ga. Диаграмма подобна Au—Al, аналогично соединениям этой системы в системе Au—Ga є увеличением содержания Ga увеличивается температура плавления соединений Au<sub>3</sub>Ga, Au<sub>7</sub>Ga<sub>3</sub>, AuGa, AuGa<sub>2</sub>. Максимальное  $\beta$ =29,5·10<sup>8</sup> Ом·м у сплава с 31 % (ат.) Ga. Максимальная твердость HV=2800 МПа у сплава с 20 % (ат.) Ga.

Au—In. Максимальная растворимость In в Au в твердом состоянии 13,0 % (ат.) при 700 °C. AuIn₂ плавится конгруэнтно при 540 °С и имеет редкий для сплавов золота синий цвет. Соединение InAu, образующееся в результате эвтектоидного распада, плавится при 511 °C. При 270 °C

образуется Ац. Іп., имеющее триклинную решетку [308].

Аи—ТІ. Максимальная растворимость 0,9 % (ат.) ТІ при 800 °С. Аи—Sc. Максимальная растворимость Sc в твордом Au 6,3 % (ат.) при 780 °С. В системе образуются три интерметаллида Au₄Sc (типа MoNi₄), Au₂Sc (тнпа MoSc₂) и AuSc (типа CsCl) [3].

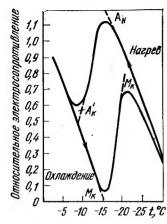


Рис. 5.13. Характернстика сплава Au—Сu—Zn при обратимом мартеиситном превращении

Au—Y. Растворимость Y в твердом Au 2 % (ат.). Структура AuY неизвестна. Структура  $Au_2Y$  типа  $MoSi_2$  с a= =0,366, c=0,90 нм, c/a=2,45 [309].

*Аи—РЗМ*. Соединение Au—РЗМ существуют в семи стехиометрических составах и имеют 12 структурных типов (рис. 5.15). Соединения АцаРЗМ и АцаРЗМ образуются начиная с Sm и Dv и отсутствуют в сплавах с более легкими лантанидами [3, 310, 311]. Наоборот соединения Аи<sub>з6</sub>РЗМ и Аи<sub>6</sub>РЗМ не образуют при сплавлении Ац с тяжелыми РЗМ начиная с Ег. Наиболее тугоплавким является соединение АцРЗМ [50 % (ат.) Ац], температура плавления которого увеличивается в ряду La-> →Lu с 1325 до 1780 °С (исключение составляет AuYb-1292 °C). Растворимость РЗМ в твердом Аи увеличивается с увеличением атомной массы P3M.

Продолжение

Взаимодействие золота с элементами IV группы

Аџ—С. Углерод растворяется в Au при температуре его кипения (~2970°С), при охлаждении кристаллизуется в форме графита.

Au—Si, Ge. Диаграммы простого эвтектического типа. Эвтектическая температура в системе Au—Si 390°C (6 % Si), в системе Au—Ge 356°C (12 % Ge). Максимальная растворимость Si в твердом Au ничтожна. Ge — 3.2 % (ат.) при 356°C.

Au—Sn. Максимальная растворимость Sn в твердом Au 6,85 % (ат.) при 498 °C. В системе образуются соединения AuSn,  $AuSn_2$  и  $AuSn_4$ ,  $Au_{10}Sn$ . Соединение  $Au_{10}Sn$  типа  $TiN_8$  находится в равновесии с твердым раствором на основе Au и  $\xi$ -фазой при 250 °C. При температуре ниже 160 °C существует соединение  $Au_{88}Sn_{17}$  типа MgCl и электронное соединение E- $Au_5Sn$ . Электронное соединение E- $Au_5Sn$  существует ниже E-E

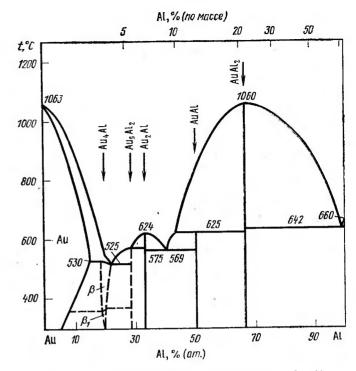


Рис. 5.14. Диаграмма состояння сплавов системы Au-Al

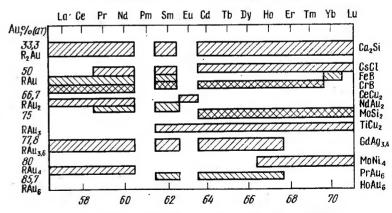


Рис. 5.15. Структурные типы соединений Аи с РЗМ

имеет узкую область гомогениости [менее 1 % (ат.)] и представляет собой новый вид упорядоченной сверхструктуры: a=0.51, c=1.434 нм [312].

Au—Pb. Растворимость Рb в твердом Au 0,1 % (ат.) при 700—950 °C. В системе образуются соединения Au₂Pb, AuPb₂, AuPb₃.

Аи—Ті. Ті повышает температуру плавления Ан и ограниченно растворяется в нем в твердом состоянии. При 1123 °С растворимость Ті составляет 13 % (ат.), при 500 °С — 1,8 % (ат.) [313]. Ан понижает температуру α→β-превращения в Ті до 832,5 °С. В системе образуются интерметаллические соединения Ан<sub>4</sub>Ті (типа Ni<sub>4</sub>Mo), Au<sub>2</sub>Tі с г. п. у. решеткой (плавится с открытым максимумом при 1456 °С).

АuTi плавится с открытым максимумом при 1490 °С, высокотемпературная модификация имеет область гомогенности 38—50 % (ат.) Au при 1310 °С и структуру тнпа AuCd. Низкотемпературная модификация имеет структуру типа TiCu; AuTi<sub>3</sub> с  $t_{\rm n,n}=1342$  °С имеет структуру типа  $\beta$ -W

с a = 0,5096 нм.

Au—Zr. Максимальная растворимость Zr в твердом Au 7,25 % (ат.) при 1065 °C. Соединения: Au₄Zr с ромбической решеткой, Au₃Zr типа Cu₃Ti, Au₂Zr с объемноцентрированной тетрагональной решеткой типа

MoSi<sub>2</sub> и AuZr типа β-W.

 $ilde{A}u-Hf$ . Растворимость Hf в твердом Au ничтожна. Соединения:  $Au_5Hf$  [85 % (ат.) Au] типа  $Ni_4Mo$ ;  $Au_4Hf$  [80 % (ат.) Au] при 700 °C типа  $Au_4Zr$ ;  $Au_3Hf$  [75 % (ат.) Au] типа  $Cu_3Ti$ ;  $Au_2Hf$  [ $\sim$ 67 % (ат.) Au] типа  $MoSi_2$ ; AuHf типа TiCu;  $AuHf_2$  [ $\sim$ 33 % (ат.) Au] типа  $MoSi_2$ . B3аимодействие золота c элементами V группы

Au—P. Максимальная растворимость P в Au в точке трехфазного равновесия при  $935\,^{\circ}\mathrm{C}$  составляет  $13,6\,\%$  (ат.) P. В твердом состоянии

Р не растворяется в Аи.

Au—Sb, Bi (рис. 5.16). Диаграммы состояния однотипны, но Sb растворяется в Au до 1,12 % (ат.) при 600 °C, а растворимость Bi в Au очень мала. Соединения: AuSb₂ и Au₂Bi [66,4 % (ат.) Au], образующиеся при 871 °C по перитектической реакции. Вi в малых количествах снижает пластичность Au. Сплавы Au—Bi обладают сверхпроводимостью

при 21 К.

Аμ—V (рис. 5.17). V повышает температуру плавления Au и растворимость его в твердом состоянии составляет 61 % (ат.) при 1385°. Соединение Au<sub>4</sub>V имеет тетрагональную решетку и структуру типа Ni<sub>4</sub>Mo, Au<sub>2</sub>V [65 % (ат.) Au] имеет ромбическую решетку и структуру типа MoSi<sub>2</sub>. Соединение AuV<sub>3</sub> образуется конгруэнтию из твердого раствора на основе V в интервале 19,5 % (900 °C) — 24 % (ат.) Au (1244 °C). Имеет структуру типа β-W. Температура сверхпроводимости 3,5±0,3 К при степени упорядочения 0,94 [332]. Добавки V резко повышают электросопротивление Au, но понижают его температурный коэффициент сопротивления до отрицательных значений.

Au-Nb (рис. 5.18). Растворимость Nb в Au при 500 °C ~5 % (ат.) Nb. Соединение AuNb<sub>3</sub> с о. ц. к. решеткой (a=0,521 нм) образуется при ~1560 °C. Au<sub>2</sub>Nb типа AlB<sub>2</sub> образуется при 1035 °C. Au<sub>2</sub>Nb<sub>3</sub> образуется по перитектической реакции между твердым раствором на основе Au и AuNb<sub>3</sub>. Температура сверхпроводимости AuNb<sub>3</sub> стехиометрического состава зависит от степени упорядочения и достигает 11,5 K [315].

Au—Ta. Растворимость Та в Au при 1300 °C 11,3 % (ат.), при 500 °C 8,5 % (ат.). Соединение AuTa типа  $Au_2Nb_3$  (a=0,388, c=0,305 нм);  $AuTa_2$  имеет тетрагональную решетку,  $AuTa_3$  типа  $\beta$ -W (a=0,522 нм). Взаимодействие золота c элементами VI группы

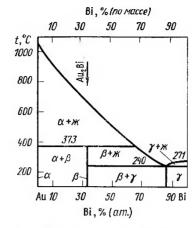
Вышжооештые золоте с олементами ут сручие Аи—О. Золото инертно по отношению к кислороду. При 500 °С в атмо-

сфере кислорода образуется оксид Au<sub>2</sub>O.

Au—S. Максимальная растворимость S в Au 4,9 % (ат.) во второй

точке кипения (1048 °C).

Au—Se (рис. 5.19). Растворимость Se в Au очень мала. Сплавы системы Au—Se ие удается получить при сплавлении. Соединение AuSe



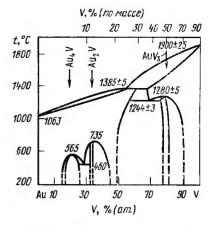
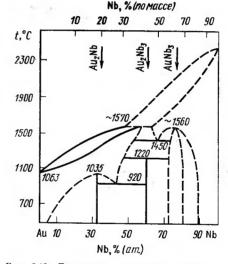


Рис. 5.16. Днаграмма состояния сплавов системы Au—Bi

Рис. 5.17. Диаграмма состояния сплавод системы Au-V



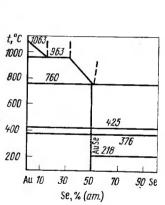


Рис. 5.18. Диаграмма состояния сплавов системы Au—Nb

Рис. 5.19. Диаграмма состояния сплавов системы Au—Se

существуют в двух модификациях:  $\alpha$ -AuSe при 350—425 °C,  $\beta$ -AuSe при 250—280 °C. Соединение  $\alpha$ -AuSe стабильно, его проводимость металлического характера.

Au—Te. Растворимость Те в твердом Ан ничтожна. Соединение

 $AuTe_2$  имеет кубическую решетку (a=0,2960 нм).

Аи-Ро. Точных данных о строении диаграммы не имеется.

Au—Cr. Максимальная растворимость Сг в Au 49,7 % (ат.) при 1160 °C. Сплав с 25 % Сг имеет упорядоченную структуру типа MoNi₄

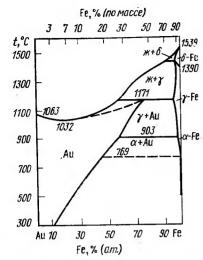


Рис. 5.20. Диаграмма состояния сплавов системы Au-Fe

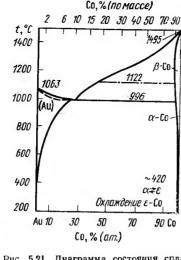


Рис. 5.21. Днаграмма состояния сплавов системы **Au—Co** 

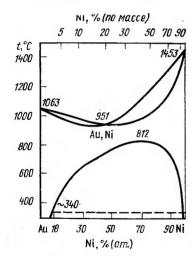


Рис. 5.22. Диаграмма состояния сплавов системы Au—Ni

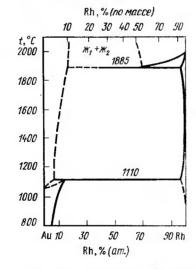


Рис. 5.23. Диаграмма состояния сплавов системы Au-Rh

с a=0,4048 нм. Сплавы в неупорядоченном состоянии, содержащие до 30% (ат.) Сг, антиферромагнитны. Добавка Сг сильно понижает температурный коэффициент сопротивления Au.

Au—Mo, W. Растворимость Mo в твердом Au 1,25 % (ат.) при  $1054\,^{\circ}$ С и 0,7 % (ат.) при  $200\,^{\circ}$ С [316]. Сплавы однофазные. Au и W не смешиваются в жидком состоянии и не образуют сплавов.

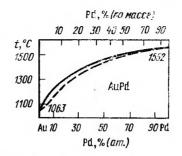


Рис. 5.24. Диаграмма состояния сплавов системы Au—Pd

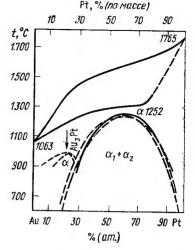


Рис. 5.25. Диаграмма состояния сплавов системы Au—Pt

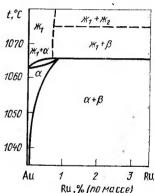


Рис. 5.26. Диаграмма состояния сплавов системы Au-Ru

Взаимодействие золота с элементами VII группы

Водород практически не растворяется в Au. Фторид Au получают взаимодействием сухих солей AuCl<sub>3</sub> и AgF. C Cl, Br, I золото образует содинения AuCl, Au<sub>2</sub>Cl<sub>6</sub>, AuBr, AuBr<sub>2</sub>, AuBr<sub>3</sub>, AuBr<sub>4</sub>, AuI. Нет данных о взаимодействии Au c Tc. При  $1000\,^{\circ}$ C в Au растворяется  $\sim 0.1\,\%$  (ат.) Re [317].

Au—Mn. Диаграмма состояния характеризуется широкой областью твердого раствора Mn в Au. Растворимость составляет при 960 °C 30.8% (ат.) Mn, при 360 °C 25% (ат.) Mn. В системе образуются соединения:  $Mn_3Au$ , AuMn,  $Au_2Mn$ ,  $Au_3Mn$  и  $Au_4Mn$ .

Взаимодействие золота с элементами VIII группы

Au—Fe (рис. 5.20). При содержании 20 % (ат.) Fe температура плавления Au снижается до 1032 °C. При 1171 °C в Au растворяется 75 % (ат.) Fe. Добавки Fe резко увеличивают  $\rho$  Au. Наибольшее электросопротивление (95·10-8 Ом·м) у сплава с 23 % (ат.) Fe.

Au—Co (рис. 5.21). Предельная растворимость Со в Au—23.5 % (ат.) при 996°C: 0.2 % (ат.) Со — при температуре, близкой к комнатной.

Электросопротивление с увеличением содержания Со возрастает, но температурный коэффициент сопротивления сплавов уменьшается и при содержании 6.7 % Со составляет 0,053 10-4 1/град. После старения а этого сплава достигает 0.235 10-4 1/град. Сплавы Аu—Со перспективны

для создания магнитно-твердых материалов [317, 318].

Au—Ni (рис. 5.22). Сплавы системы кристаллизуются с образованием иепрерывного ряда однородных твердых растворов. При медленном охлаждении происходит распад твердого раствора, поэтому структура большинства сплавов двухфазная (механическая смесь твердого раствора на основе Au и Ni). При этом значительно повышается твердость и электросопротивление сплавов. При 340 °C происходит магнитное превращение. Ферромагнитные сплавы содержат >5.5 % (ат.) Ni [319].

Au—Rh (рис. 5.23). Компоненты имеют ограниченную растворимость в жидком состоянии при температуре выше 1885 °С. Раствори-

мость Rh в Au 1.5 % (ат.).

Au—Ir, Os. Оs практически не растворяется в Au. Ir ограниченно растворяется в жидком состоянии. В твердом состоянии растворимость

Îr<0,1 % (ат.).

Au—Pd [320—337]. По данным большого числа авторов, система образует непрерывный ряд твердых растворов как в жидком, так и в твердом состояниях (рис. 5.24). Измерения э. д. с., рентгеновские исследования и исследования удельного электросопротивления обнаружили существование ближнего порядка в сплавах Ац-Рd. Исследование монокристалла Au—40 % Pd методом диффузного рассеяния рентгеновских лучей позволило предположить образование ранее не наблюдавшейся тетрагональной структуры с большим периодом. Свойства сплавов Аи-Р приведены в табл. 5.1. Все сплавы системы пластичны и легко обрабатываются. Сплавы, содержащие более 20 % (по массе) Ац, нерастворимы в азотной кислоте.

Au-Pt (рис. 5.25). Система образует непрерывный ряд твердых растворов с разрывом растворимости в твердом состоянии. Такой характер взаимодействия определяет сильную зависимость физико-механических свойств от режима термообработки и нестабильность свойств спла-

СВОЙСТВА

Содержание Аи, %		НВ.	σ		$\rho$ , мкОм·см, при $t$ , °С		4
по массе	ат.	МПа	σ <sub>B</sub> , MΠa	δ, %	25	100	α·10 <sub>25</sub> —100°C
90	94,33	· 285	184,4	24	6,126	6,707	13,1
80	88,08	350	238,1	26	9,582	10,210	8,94
70	84,20	363	262,3	23	12,912	13,556	6,77
<b>6</b> 0	73,50	390	292,8	25	16,729	17,561	6,22
<b>5</b> 0	64,89	425	299,2	28	24,662	25,322	3,60
40	55,20	515	295,4	31,0	28,903	29,845	4,40
30	44,20	565	285,6	33,0	27,332	28,981	8,21
<b>2</b> 0	31,60	<b>57</b> 0	287,8	35,0	23,797	25,918	12,10
10	17,04	485	273,4	38	18,033	20,410	18.5

вов с 35—75 % Рt вследствие высокой температуры распада тверлого раствора. Добавка 0,5 % Rh расширяет двухфазную область диаграммы Au-Pt, преобразуя ее в перитектическую. При этом значительно повышаются механические свойства сплавов.

Au—Ru. На основании металлографических исследований, лифференциального термического аиализа построена часть диаграммы состояния, богатая Ац (рис. 5.26) [338]. Разрыв растворимости начинается при содержании около 1 % Ru. Предельная растворимость Ru в Au меньше 1 %. Измерение электрических и термоэлектрических свойств сплавов показало, что при содержании до 1 % Ru эти свойства Ан изменяются мало, резко понижается температурный коэффициент электросопротивления.

### 5.2. Двойные диаграммы состояния серебра

Взаимодействие серебра с элементами І гриппы

Ад-Н. Растворимость Н в твердом Ад растет с повышением темпера-

туры от 0.019 см<sup>3</sup> при 600 °C до 0.046 см<sup>3</sup> при 900 °C.

Ag-Li (рис. 5.27). Система Ag-Li характеризуется высокой растворимостью Li в Ag в твердом состоянии до 46.6 % (ат.) Li при комнатной температуре. Сплав состава LiAg имеет о. ц. к. решетку типа CsCl. Фаза в изоструктурна с CsCl, фазы у<sub>1</sub>, у<sub>2</sub>, у<sub>3</sub> имеют структуру, сходную с у-латунью.

Ag-Na (рис. 5.28). Растворимость Na в твердом Ag ничтожна. Промежуточная фаза с г. ц. к. решеткой типа MgCu2 отвечает формуле

NaAg2. Ag—Au, Cu. Диаграмму состояния Ag—Au см. на рис. 5.3. Диаграниченной растворимостью на основе Ад и Си и эвтектику (78 % Ад) с температурой плавления 779°C. Растворимость в твердом состоянии сильно зависит от температуры. Максимальная растворимость Си в Ад 8,8 %, Ад в Си 8%; при комнатной температуре 0,1 и 0,06 % соответственно [321].

ТАБЛИЦА 5.1

СПЛАВОВ Аи-Рф

	Т. э. д. с., м	В, в паре с	платиной пр	и t горячего	о спая, °С	
100	300	500	700	900	1100	1200
+0,13 $-0,11$	+0,96 -0,16	$\begin{vmatrix} +1,96 \\ -0,19 \end{vmatrix}$	+3,60 $-0,20$	+5,64	+8,00	
-0,43	1,57	2,86	5,07	-0,22 7,84	-0,25 10,85	$\begin{bmatrix} -0.26 \\ -12.3 \end{bmatrix}$
-1,47 $-3,46$	5,28 11,17	9,95	15,91 28,65	22,85 38,23	29,49 49,97	-32,3 -50,4
-2,78 $-2,03$	-10,00 $7,48$	17,99 13,89	27,49 24,02	37,26	46,33	-49,8
-2,03 -1,61	5,84	16,72	22,76	30,08 29,61	38,45 29,61	$\begin{bmatrix} -41,8\\ -32,6 \end{bmatrix}$
-1,15	3,82	6,62	10,27	14,75	19,56	-21,9

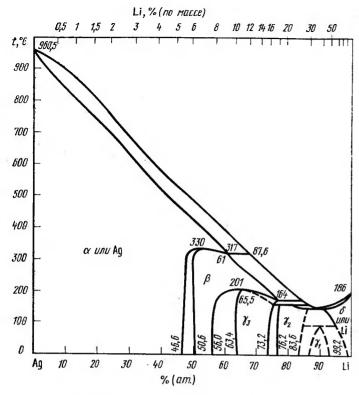
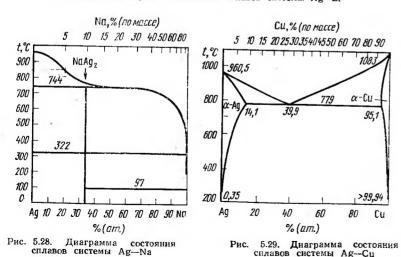


Рис. 5.27. Диаграмма состояния сплавов системы Ag-Li



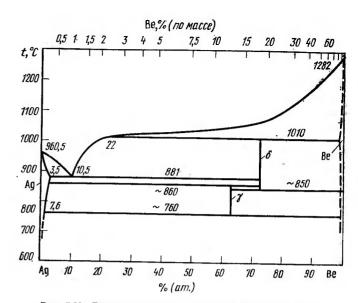


Рис. 5.30. Диаграмма состояния сплавов системы Ад-Ве

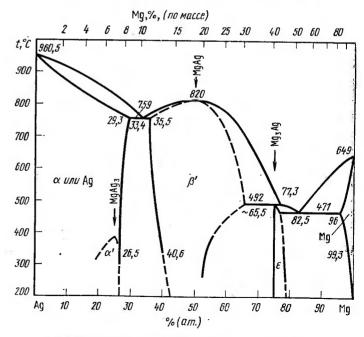


Рис. 5.31. Диаграмма состояния сплавов системы Ag-Mg

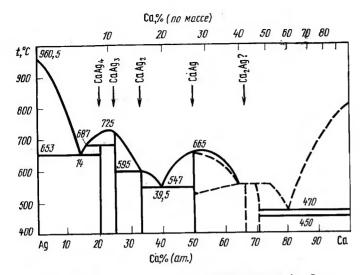


Рис. 5.32. Диаграмма состояния сплавов системы Ag-Ca

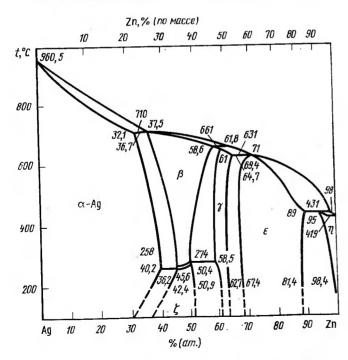


Рис. 5.33. Диаграмма состояния сплавов системы Ag-Zn

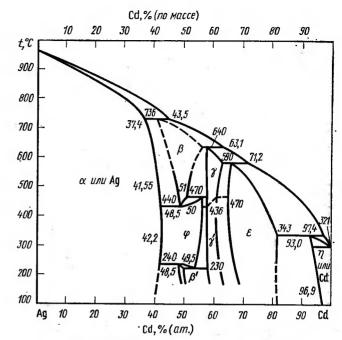


Рис. 5.34. Диаграмма состояния сплавов системы Ag-Cd

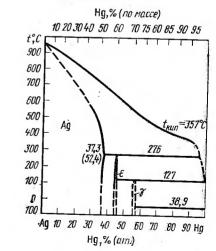


Рис. 5.35. Диаграмма состояния сплавов системы Ag-Hg

Взаимодействие серебра с элементами II группы

Ag—Be (рис. 5.30). Растворимость Ве в Ag достигает 3,5 % (ат.) при 881 °C, при комиатной температуре она незиачительна;  $\delta$ -фаза имеет структуру типа MgCu<sub>2</sub>.

Ag—Mg (рис. 5.31). Растворимость Mg в Ag достигает 29,3 % (ат.) при 759 °С. При 387 °С в  $\alpha$ -фазе [25 % (ат.) Mg] происходит упорядо-

чение. Структура Ag<sub>8</sub>Mg аналогична Cu<sub>3</sub>Al.

Ag—Ca, Ba, Sr, Ra (рис. 5.32). Диаграммы состояния однотипны. Элементы не образуют с Ag твердых растворов. В системе имеются химические соединения Ca<sub>8</sub>Ag, Ca<sub>5</sub>Ag, CaAg<sub>2</sub> (типа CeCu<sub>2</sub>), CaAg (типа CrB), BaAg<sub>5</sub>, Ba<sub>2</sub>Ag<sub>3</sub>, SrAg<sub>5</sub>, SrAg, Sr<sub>3</sub>Ag<sub>2</sub>. Данных о взаимодействии с Ra не имеется.

Ag—Zn (рис. 5.33). Растворимость Zn в твердом Ag 32 % (ат.) при 710 °С. При 258 °С  $\alpha$ -фаза находится в равиовесии с  $\xi$ -фазой и растворимость Zn в Ag уменьшается. При закалке неупорядоченная  $\beta$ -фаза преобразуется в упорядочениую  $\beta$ '-фазу с г. ц. к. решеткой, которая при отпуске переходит в стабильную  $\xi$ -фазу с гесагональной решеткой. Превращения сопровождаются изменением цвета сплавов. После холодной деформации и старения при комнатной температуре происходит обратное превращения  $\xi$   $\rightarrow$   $\beta$ '.

В сплаве с 38 % (ат.) Zn обнаружен эффект памяти формы [322]. в-фаза имеет гексагональную решетку, у-фаза — структуру у-латуни.

Аg—Cd (рис. 5.34). При затвердевании в системе образуются твердые растворы с ограниченной растворимостью на основе Ag (α-фаза) и Cd (η-фаза), а также по перитектическим реакциям промежуточные фазы: β (твердый раствор на основе AgCd), γ (твердый раствор на основе AgCd<sub>8</sub>) [27]. В результате превращений в твердом состоянии образуются фазы: ξ, β' по перитектоидным реакциям, γ' в результате упорядочения γ-фазы при 436—470°. Фазы Ag<sub>11</sub>Cd, Ag<sub>3</sub>Cd и Ag<sub>2</sub>Cd образуются в результате упорядочения сплавов в области α-твердого раствора. Сплавы Ag—Cd вблизи эквиатомного состава ниже 0°C, а также при холодной деформации претерпевают мартенситные превращении [324, 325]. Мартенсит, образующийся при охлаждении, имеет орторомбическую, а мартенсит деформации г. п. у. структуру. Последний нестабилен и при комнатной температуре происходит его обратный переход в β'-фазу.

Аg—Hg (рис. 5.35). Растворимость Hg в Ag при температурах 270, 100, 45 °С — соответственно 37,3, 36,5, 37,1 % (ат.). Растворимость Ag в Hg при 500, 400, 300, 200, 100, 20 °С — соответственно 38,5, 19,0, 2,4, 1,8, 0,41, 0,07 % (ат.) [326]. Фаза γ имеет структуру γ-латуни, ε-фаза—

г. ц. к. решетку.

Взаимодействие серебра с элементами III группы

Ад-В. Растворимость В в твердом Ад ничтожна. Синтезировано сое-

динение AgB<sub>2</sub> типа AlB<sub>2</sub>.

Ag—AI (рис. 5.36). Максимальная растворимость AI в твердом Ag 20,34 % (ат.) при 610 °C. Фаза  $\beta$  представляет собой электронное соединение 3/2, эвтектоидно распадается на  $\alpha$ -Ag и  $\xi$ -фазу. Соединение  $Ag_3AI$  ( $\mu$ -фаза) типа  $\beta$ -Mn образуется при 455 °C.

Ад—Ga. Растворимость Ga в твердом Ag при 611, 380, 200 °C со-

ставляет соответственно 18,7, 17,6, 11,8 % (ат.).

Ag—In (рис. 5.37). Іп в значительном количестве растворяется в твердом Ag. Фаза  $\beta$  близка по составу к Ag<sub>3</sub>In; образуется по перитектической реакции при 693 °C. Фаза  $\xi$  образуется по перитектоидной реакции  $\alpha$ - и  $\beta$ -Фаз.

Ag-T1. Растворимость Т1 в твердом Ag максимальна [7,5 % (ат.)]

в интервале 500—600 °C и 2,3 % (ат.) при 150 °C.

Ag—Sc. В системе образуются соединения Ag<sub>4</sub>Sc, Ag<sub>2</sub>Sc, AgSc. Твердый раствор на основе Ag и Ag<sub>4</sub>Sc образует эвтектику при 910 °C. Максимальная растворимость Sc в Ag при 910 °C 3—3,5 % (ат.) [327].

Ag—Y (рис. 5.38) [328—329]. Максимальная растворимость Y в твердом Ag 1,31 % (ат.) при 779 °C. В системе образуются химические

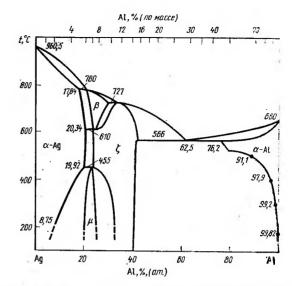


Рис. 5.36. Диаграмма состояния сплавов системы Ag-Al

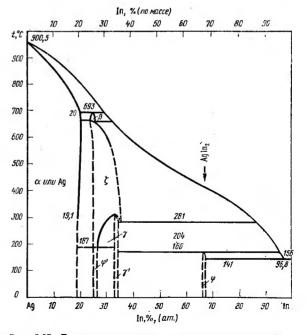


Рис. 5.37. Диаграмма состояния сплавов системы Ag-In

Соединение	La, Ce, Pr	Nd	Sm	Eu	Gd, Tb, Dy, Ho	Er	Tm	Yb	Lu
Ag <sub>5</sub> P3M Ag <sub>4</sub> P3M Ag <sub>51</sub> P3M <sub>14</sub> Ag <sub>7</sub> P3M <sub>2</sub> Ag <sub>3</sub> P3M Ag <sub>2</sub> P3M AgP3M Ag <sub>2</sub> P3M Ag <sub>2</sub> P3M Ag <sub>3</sub> P3M <sub>5</sub>	+ - + +	+ - +	11+11++11	++111++1+		  -  +  -  +  -  -		++-++	-++

соединения: YAg, YAg<sub>2</sub>, Y<sub>14</sub>Ag<sub>51</sub>, плавящиеся конгруэнтно при 1160, 960, 940 °C. соответственно. Соединение YAg имеет структуру типа CsCl, YAg<sub>2</sub> — типа MoSi<sub>2</sub>, Y<sub>14</sub>Ag<sub>51</sub> — типа Cd<sub>14</sub>Ag<sub>51</sub>.

Ад—РЗМ. Диаграмма состояния Ад—La (рис. 5.39) типична для большинства диаграмм состояния Ад—РЗМ. Взаимная растворимость компонентов невелика: в твердом Ад растворяется менее 2 % (ат.) Gd и Yb, <0.72 % (ат.) Sm [330]. Интерметаллические соединения обнару-

жены в системах Ад-РЗМ [331] (табл. 5. 2).

Ад—Тh, U, Pu. Данные о взаимодействии Ag с актинидами ограничены. Растворимость Th в твердом Ag ~0,1÷0,17 % (ат.). Максимальная растворимость Pu в жидком Ag ~35 % (ат.) U практически не растворяется ни в жидком, ни в твердом Ag. Th с Ag образует соединения Th₂Ag типа CuAl₂ и ThAg₂ типа AlB₂.

Взаимодействие серебра с элементами IV группы

Ag—C. Растворимость С в жидком Ag очень незначительна—0,0012 % (по массе) при 1660 °C. Соединение  $Ag_2C_2$  получено химическим путем.

Ag—Si. Диаграмма простого эвтектического типа (рис. 5.40) [332].

Растворимость Si в твердом Ag ничтожна.

Ag—Ge. Диаграмма подобна Ag—Si. В отличие от Si при эвтектической температуре (651 °C) до 10 % (ат.) Ge растворяется в Ag. Эв-

тектика содержит 25,9 % (ат.) Ge.

Ag—Sn (рис. 5.41). Максимальная растворимость Sn в твердом Ag 11,5 % (ат.) при 724 °C. В Sn растворяется менее 1 % (по массе) Ag. Ag и Sn образуют  $\alpha$  и  $\xi$  твердые растворы и  $\varepsilon$ -фазу, гомогенную в нитервале 23,7—25,0 % (ат.) Sn (последний состав соответствует формуле  $Ag_3Sn$ ).

. Ag-Pb. Диаграмма простого эвтектического типа. Растворимость

Pb в Ag зависит от температуры:

Температура, °С .	900	800	700	600	500	400	250
Растворимость:							
% (ат.)	1,1	2,1	2,6	2,8	2,1		0,35
% (по массе) .	2,0	3,45	4,9	5,2	3,95	2,8	0,65

Максимальная растворимость Ag в Pb 0,19 % (ат.) при  $304\,^{\circ}$ С (эвтектическая температура) [333]. Эвтектика содержит 95,3 % (ат.) Pb. Ag-Ti (рис. 5.42). Максимальная растворимость Ag в  $\beta$ -Ti со-

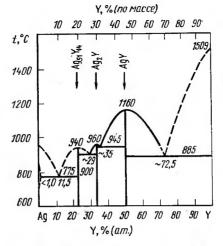


Рис. 5.38. Диаграмма состояния сплавов системы Ag—Y

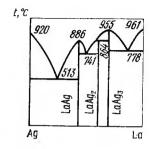


Рис. 5.39. Днаграмма состояния сплавов системы Ag-La

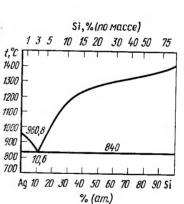


Рис. 5.40. Диаграмма состояния сплавов системы Ag—Si

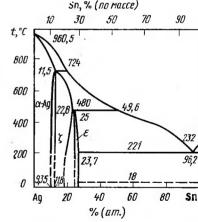


Рис. 5.4i. Диаграмма состояния сплавов системы Ag—Sn

ставляет 15 % (ат.) при 1045 °С [404]. В  $\alpha$ -Ті растворяется 7 % (ат.) Ag. Кристаллическая структура ТіАд типа АиСи, Ті $_3$ Ад типа Си $_3$ Аи. По

данным [332], растворимость Ад в β-Ті 33 % (ат.).

Ag—Zr. Взаимная растворимость Zr в Ag и Ag в  $\alpha$ -Zr ничтожно мала, в  $\beta$ -Zr растворяется до 20 % (ат.) Ag. Эвтектоид содержит 3,8 % (ат.) Ag и образуется при 821 °C. В системе образуются интерметаллические соединения AgZr с тетрагоиальной решеткой и  $AgZr_2$  типа  $MoSi_2$ .

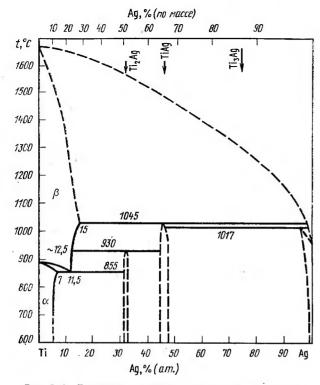


Рис. 5.42. Диаграмма состояния сплавов системы Ад-Ті

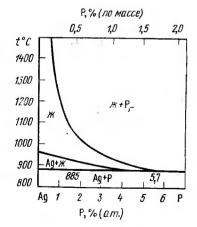


Рис. 5.43. Диаграмма состояния сплавов системы Ag—P

Ag—Hf. Система аналогична Ag—Zr. Соединение HfAg имеет тетрагональную решетку типа  $\gamma$ -TiCu,  $Hf_2Ag$  — типа  $MoSi_2$ .

Взаимодействие серебра с элементами V группы

Ag—N. N ие растворяется ни в жидком, ни в твердом Ag. Соединения  $AgN_3$  и  $Ag_3$ N получены химическим путем.  $AgN_3$  имеет ромбическую структуру аналогично  $KN_3$ , плавится при  $250\,^{\circ}$ C и взрывается при нагреве выше  $300\,^{\circ}$ C.  $Ag_3$ N имеет г. ц. к. решетку и устойчиво при комнатной температуре.

Ад-Р (рис. 5.43). Максимальная растворимость Р в жидком Ад

5,7 % (ат.) при 885 °C — температуре трехфазного превращения.

Ag—As. Растворимость As в твердом серебре 7,8 % (ат.) при 582 °C и 7 % (ат.) As при 446 °C.

Ag—Sb. Максимальная растворимость Sb в твердом Ag 7,2 % (ат.). Закалкой из жидкого состояния можно получить твердые растворы на основе Ag, содержащие до 8 % (ат.) Ag. Промежуточиая ξ-фаза [8,6—15,6 % (ат.) Sb при 300 °C] имеет г. п. к. решетку и является электроиным соединением 3/2. Фаза ε (Ag₃Sb) имеет ромбическую структуру типа Cu₃Ti.

Ag—Bi аналогична Ag—Pb. Максимальная растворимость Bi в твердом Ag 2,6 % (ат.) при 600 °C. Эвтектика (262,5 $\pm$ 2 °C) содержит

95,05 % (ат.) Ві.

Ag—V, Nb, Та. Ag и V взаимно нерастворимы в жидком и твердом состояниях. Взаимная растворимость Ag и Nb при 1400—1700 °С ничтожиа, аналогичеи характер взаимодействия в системе Ag—Та [334]. Взаимодействие серебра с элементами VI группы

Ag—O. В 1 объеме жидкого Ag растворяется до 20 объемов кислорода,

при 900 °C растворимость составляет 0,041 % (ат.) О.

Ag<sub>2</sub>O образуется при 150 °C, диссоциирует при 230 °C, имеет кубическую решетку типа  $Cu_2O$ , a=0.4736 им. AgO существует как с тетрагональной, так и с моиоклинной структурой. AgO<sub>2</sub> имеет г. ц. к. решетку типа NaCl, a=0.55 нм.

Åg—S. Растворимость S в твердом Ag 0,17 % (ат.). Ромбическая структура Лg₂S устойчива ниже 180 °C. Выше 180 °C эта структура превращается в тетрагональную, которая обратимо переходит в о. ц. к.

структуру.

Ag—Se. При монотектической температуре (~890°C) растворимость Se в жидком Ag 12 % (ат.). Ag и Se образуют химическое соединение Ag₂Se с температурой плавления 987°C, которое при 133°C претерпевает полиморфное превращение.

Ag—Te, Po. В системе образуются соединения Ag<sub>2</sub>Te, Ag<sub>5</sub>Te<sub>3</sub> и AgTe, существующие в трех полиморфных моднфикациях. В системе

Ад-Ро идентифицировано соединение АдРо.

Ag—Cr (рис. 5.44). Ограниченно взаимно растворимы при монотектической температуре ~1445 °C. В твердом состоянии растворимосты

отсутствует.

Ад—Мо, W. W и Ад взаимно нерастворимы в жидком и твердом состояниях. В жидком Ад при 1600 °С растворяется до 5,6 % (ат.) Мо. Взаимодействие серебра с элементами VII группы

Ag—Mn (рис. 5.45). Диаграмма состояния при содержании 90—100 % Мп может быть и другого вида [335]. В сплавах, богатых Ag, наблюдается упорядочение, наибольшая степень порядка у сплава с 25 % (ат.) Мп.

Ag—Re. Re практически нерастворим в жидком и твердом Ag.

Взаимодействие серебра с злементами VIII группы

Ад—Fe, Co, Ni. Fe и Co взаимно нерастворимы с Ag в жидком состоянии, а Ni ограничение растворяется в жидком Ag. Растворимость Ni в твердом Ag очень мала: при 922 °C 0,102, при 600 °C 0,026, при 400 °C 0,012 % (по массе). По данным [336], растворимость Ni ниже 700 °C составляет 0,003 % (по массе).

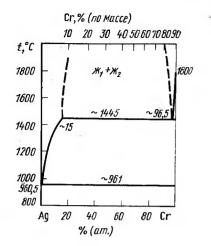


Рис. 5.44. Диаграмма состояния сплавов системы Ag—Cr

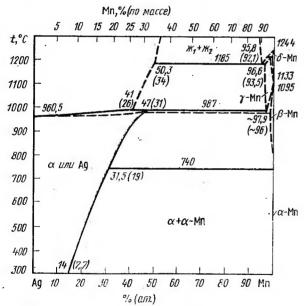


Рис. 5.45. Диаграмма состояния сплавов системы Ag-Mn

Ад—Ра [336]. Сплавы системы кристаллизуются с образованием непрерывного ряда твердых растворов (рис. 5.46). По данным работы [446], при понижении температуры наблюдается образование соединений Курнакова РdAg и Рd₃Ag₂. Критические температуры этих фаз лежат между 1100 и 1200 °C. Авторам работы не удалось выделить промежуточные фазы с помощью рентгеновского анализа из-за близости

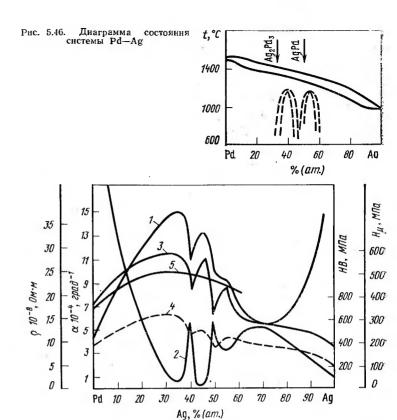


Рис. 5.47. Температурные зависимости  $\rho$  (1), температурного коэффициента сопротивления  $\alpha$  (2), НВ (3), H (4), HV (5) сплавов системы Pd—Ag в закаленном состоянии

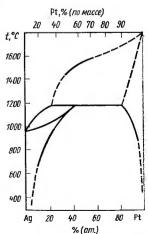
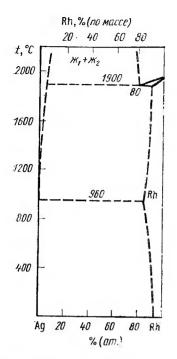


Рис. 5.48. Диаграмма состояния сплавов системы Ag—Pt



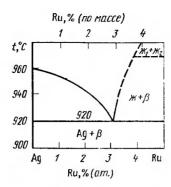


Рис. 5.49. Днаграмма состояния сплавов системы Ag—Rh

Рис. 5.50. Диаграмма состояния сплавов системы Ag-Ru

факторов атомного рассеяния серебра и палладия. Свойства сплавов в закаленном на твердый раствор состоянии изменяются по кривым, типичным для непрерывных твердых растворов. Отклонение параметров решетки твердых растворов от закона Вегарда объясняется заполнением валентной 4d-полосы. На кривых состав — свойства сплавов в отожженном состоянии наблюдаются сингуляриые точки, соответствующие упорядоченным структурам. Специфические электрические свойства сплавов этой системы привлекают пристальное внимание исследователей и разработчиков электрической аппаратуры. Максимальным удельным электросопротивления и минимальным температурным коэффициентом электросопротивления обладает сплав с содержанием 40 % (по массе) Ад. Влияние температуры на электрические свойства сплавов Ад—Рd приведено на рис. 5.47 [447].

Ад—Рt (рис. 5.48). Растворимость Pt в Ag при температуре перитектической реакции составляет 42,9 % (ат.), при 20 °С — <2,83 % (ат.). Растворимость Ag в Pt при этих температурах соответственно 16,7 и 3,6 % (ат.). Сильная температурная зависимость растворимости позволяет в широких пределах измеиять механические свойства сплавов путем закалки и старения. С ростом содержания Pt увеличивается элек-

тросопротивление сплавов:

$$c_{\text{Pt}}$$
, % (at.) . . . 0 10 20 60 80 90 100  $\rho_{20} \circ c$ , MKOM·cm . . 1,6 17 33 60 35 40 9,8

Ag—Ir, Rh, Ru. Ag и Ir образуют систему с ограниченной растворимостью в жидком и твердом состояниях. Растворимость Ir в твер-

дом Ад меньше 0,5% (по массе). В системе Ад—Rh (рис. 5.49) монотектическая реакция протекает при 1900°С. Rh практически не растворяется в Ад, растворимость Ад в Rh достигает 15% (ат.) при 980°С. В сплавах Ад—Ru при 920°С наблюдается эвтектическая реакция. Эвтектическая точка соответствует 3,1% (ат.) Ru. Растворимость Ru в твердом Ад исчезающе мала. Методами металлографического и термического анализов построена богатая серебром часть диаграммы состояния Ад—Ru (рис. 5.50) [338]. При кристаллизации сплавов с содержанием более 5% (ат.) Ru происходит расслаивание расплава на две жидкие фазы. Измерение электрических свойств указывает на отсутствие растворимости Ru в Ag. Добавка до 3% (ат.) Ru не изменяет величину т. э. д. с. серебра и ухудшает его пластичность.

### 5.3. Двойные диаграммы состояния рутения

Взаимодействие рутения с элементами І группы

Взаимодействие рутения со щелочными металлами не изучалось. Известна высокая коррозионная стойкость рутения в расплаве щелочных

металлов [9].

Ru—Cu. Растворимость Ru в Cu<0,1 % (по массе). Металлографическое изучение структуры сплавов Cu—Ru [до 0,2 % (ат.) Ru] показало, что Ru выделяется в виде включений по границам зерен. Ru увеличивает остаточное электросопротивление Cu, температурный коэффициент электросопротивления при комнатной температуре у этих сплавов отрипателен. Ru понижает электросопротивление в Cu в магнитном поле [337].

Взаимодействие ритения с элементами ІІ группы

Ru—Be. Ориентировочная диаграмма состояния построена по данным рентгеноструктурного, металлографического и термического анализов литых сплавов (рис. 5.51) [339]. Определены температуры эвтектической реакции ж $\rightleftharpoons$ Ru $_2$ Be $_3$ + (Ru) [1420 $\pm$ 10 °C, эвтектическая точка 45 % (ат.) Be] и ж $\rightleftharpoons$ RuBe $_2$ +Ru $_2$ Be $_3$  [1500 °C, эвтектическая точка 65 % (ат.) Be]. В реакции ж $\rightleftharpoons$ Ru $_2$ Be $_{10}$ +RuBe $_{13}$ -Be эвтектическая точка 82 % (ат.) Be, в реакции ж $\rightleftharpoons$ Ru $_2$ Be $_{10}$ +RuBe $_{13}$ -Be эвтектическая точка 97 % (ат.) Ве. Максимальная взаимная растворимость элементов не превышает 3 % (ат.) [9, 340]. Химические соединения в системе Ru—Be имеют следующие структуры: Ru $_2$ Be $_3$  типа  $Mn_2$ O $_3$  (a=1,142 нм); RuBe $_2$  типа MgZn (a=0,596, c=0,918 нм, c/a=1,54); Ru $_3$ Be $_{10}$  с о. ц. к. решеткой (a=1,103 нм). Обиаружены также следующие соединения: Ru $_3$ Be $_{17}$  с о. ц. к. решеткой (a=1,1337 нм) [341]; Ru $_2$ Be $_{17}$  с гексагональной решеткой (a=0,4203, c=1,090 нм) [342].

Ru—Mg. Растворимость Ru в жидком Mg при  $800\,^{\circ}$ С менее 5,7 % (ат.). Обнаружено существование фазы  $RuMg_{1,25-2,25}$  со структурой  $\beta$ -Mn (a=0,6315 нм для  $RuMg_{1,25}$  и 0,6929 нм для  $RuMg_{1,5}$ ) и  $RuMg_{6,2-6,6}$  с неупорядоченной структурой типа  $Rh_7Mg_{22}$  (a=2,02 нм) [340].

Ru—Zn. Растворимость Ru в жидком Zn, определенная методом химического анализа, следующая [340]:

Температура, °С . . . 725 700 675 650 625 600 Растворимость, % (ат.) 0,607 0,380 0,259 0,146 0,114 0,067

Продолжение

Температура, °С . . . . 575 550 525 500 475 450 Растворимость, % (ат.) 0,032 0,0194 0,0168 0,0078 0,0048 0,0026



Рис. 5.51. Диаграмма состояния сплавов Ru-Ве

Be. % (am.)

60

80 Re

единение RuSc образуется непосредственно из расплава при ос 2210°С, имеет узкую область гомогенности и структуру типа CsCI (a=0.3203 HM). Диаграмсостав -- свойство пол-

тверждает положение фазовых областей.

Ru 20 40

Ru-Y. Методами физико-химического анализа, металлографическим, рентгеноструктурным построена диаграмма состояния во всем интервале концентраций (см. рис. 5.52, *6*) [345]. Подтверждено 5 200 существование соединения Ru2Y § со структурой типа МgZn2 и э обнаружено соединение RuY₃. № 100 Диаграмма состав — свойство подтверждает положение фазовых областей

Ru-La: В системе обнаружено соединение LaRu<sub>2</sub> с температурой плавления 1431±30 ℃ И соединений La<sub>5</sub>Ru<sub>2</sub> и La<sub>3</sub>Ru. Существование соеднения La<sub>5</sub>Ru сомнительно [330] (см. табл. 5.3, 5.4).

Ru-Се. Диаграмма состояния построена во всем интервале концентраций. Растворимость Ru в β-Се около 15 % (ar.), в γ-Ce 2,5 % (ar.).

Ru-Cd. При изучении растворимости рутения в кадмии в интервале температур 325-625°C обнаружена одна фаза неизвестиого состава [340]. Взаимодействие рутения с эле-

При взаимодействии Ru co Sc. Y и редкоземельными металлами (РЗМ) характерно образование ряда соединений, в том числе фаз Лавеса с гексагональной структурой типа MgZn2, а также, по последним даниым, соединений типа РЗМ5Ru2 и РЗМ3Ru [343] (табл. 5.3, 5.4).

Ru-Sc. Методами физико-химического анализа, металлографическим, рентгеноструктурным построена диаграмма состояния во всем интервале концентраций

(рис. 5.52, а) [344]. Растворимость компонентов друг в друге незначительна. Фаза Лавеса Ru2Sc имеет структуру типа MgZn2. Co-

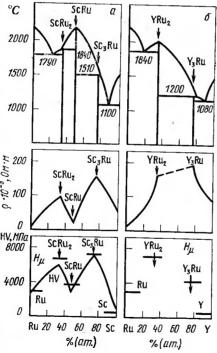


Рис. 5.52. Диаграмма состояния сплавов системы Ru-Sc (a) и Ru-Y (б)

СТРУКТУРНЫЕ ТИПЫ И ПЕРИОДЫ РЕШЕТКІІ ФАЗ ЛАВЕСА В СИСТЕМАХ Ru-Sc, Y, P3M,

		Период рег	шетки, нм
Соединение	Тип структуры	а	c
ScRu <sub>2</sub>	MgZn <sub>2</sub>	0,5119±0,0002 0,5135	0,8542±0,0002 0,8525
YRu <sub>2</sub>	MgZn <sub>2</sub>	0,5256±0,0002 0,5261	$0,8792\pm0,0002$ 0,8856
LaRu <sub>2</sub>	MgCu <sub>2</sub>	$0,7702\pm0,0001$	<del></del>
CeRu <sub>2</sub>	$MgCu_2$	$0,7779\pm0,0001$ 0,7535	
PrRu <sub>2</sub>	MgCu <sub>2</sub>	$0,7624\pm0,0001$	_
NdRu <sub>2</sub>	MgCu <sub>2</sub>	$0,7614\pm0,0001$	
SmRu <sub>2</sub>	MgCu <sub>2</sub>	0,7580	0 0004 - 0 0009
GdRu <sub>2</sub>	$MgZn_2$	$0,5271\pm0,0002$	$0,8904\pm0,0002$ 0,8869
TbRu₂	$MgZ\pi_2$	0,5263 0,5254	0,8831
DyRu <sub>2</sub>	MgZn <sub>2</sub>	0.5255	0,8844
HoRu <sub>2</sub>	MgZn <sub>2</sub>	0,5244	0,8810
ErRu <sub>2</sub>	MgZn <sub>2</sub>	$0,5227\pm0,0002$	$0,8780\pm0,0002$
2.2(22		0,5235	0,8790
TmRu <sub>2</sub>	$MgZn_2$	0,5246	0,8790
$YbRu_2$	$MgZn_2$	0,5220	0,8750
LuRu <sub>2</sub>	MgZπ <sub>2</sub>	$0,5204 \pm 0,0002 \\ 0,5210$	$\begin{array}{c c} 0,8725 \pm 0,0002 \\ 0,8722 \end{array}$

Примечание. Кроме того, обнаружены фазы ScRu типа CsCl(a=0,3203 HM), Y2Ru, Gd2Ru, Dy2Ru, Y73Ru27, Gd73Ru27, Dy73Ru27.

Растворимость Се в Ru 3 % (ат.). Обнаружено соединение CeRu2 и предполагается существование соединения Сев Ru (рис. 5.53) [340. 346, 347] (см. табл. 5.4).

Ru- $\dot{G}d$ , Dy. На основании термического и микроструктурного анализов построены диаграммы состояния во всем интервале концентраший. Взаимиая растворимость компонентов незначительиа. В системах установлено существование четырех химических соединений. Наряду с известными фазами Лавеса GdRu<sub>2</sub> и DyRu<sub>2</sub> существуют соединения Gd<sub>73</sub>Ru<sub>27</sub> и Dy<sub>73</sub>Ru<sub>27</sub>, Gd<sub>3</sub>Ru и Dy<sub>3</sub>Ru, Gd<sub>2</sub>Ru и Dy<sub>2</sub>Ru [330] (рис. 5.54).

Ru-Pr, Nd, Sm, Eu, Tb, Ho, Er, Tm, Yb, Lu. При взаимодействии с указанными элементами характерно образование фаз Лавеса РЗМ Ru2. соединений РЗМ<sub>5</sub> Ru<sub>2</sub> и РЗМ<sub>3</sub> Ru. Сведения о типе структур и параметрах решетки соединений приведены в табл. 5.3 и 5.4. При взаимодействии рутения с самарием фаза SmRu<sub>2</sub> со структурой MgCu<sub>2</sub> при давлении в 88·108 Па кристаллизуется в структуру типа MgZn<sub>2</sub> (a=0,5298, c = 0.8937 нм). В этой системе обиаружено также соединение SmRu [9,340].

*Ru-U*. Система построена во всем интервале концеитраций (рис. 5.55) [340]. Определены пять промежуточных фаз RuU2, RuU, Ru<sub>4</sub>U<sub>3</sub>, Ru<sub>5</sub>U<sub>3</sub>, Ru<sub>3</sub>U. Структурные типы и кристаллографические параметры фаз представлены в табл. 5.5. Соединение RuU2 образуется по перитектической реакции при температуре 937°C. Соединение RuU пла-

ТАБЛИЦА 5.4 КРИСТАЛЛОГРАФИЧЕСКИЕ ПАРАМЕТРЫ СОЕДИНЕНИЙ РЗМ; Ru2 (тип Mn<sub>5</sub>C<sub>2</sub>) и РЗМ<sub>3</sub>Ru (тип Fe<sub>2</sub>C)

Соединение	<i>a</i> , 11M	<i>b</i> , нм	с, нм	β, град
La <sub>5</sub> Ru <sub>2</sub> Pr <sub>5</sub> Ru <sub>2</sub> Pr <sub>5</sub> Ru <sub>2</sub> Pr <sub>5</sub> Ru <sub>2</sub> Sm <sub>5</sub> Ru <sub>2</sub> Sm <sub>5</sub> Ru <sub>2</sub> Gd <sub>5</sub> Ru <sub>2</sub> Dy <sub>5</sub> Ru <sub>2</sub> Ho <sub>5</sub> Ru <sub>2</sub> Ho <sub>5</sub> Ru <sub>2</sub> Lu <sub>5</sub> Ru <sub>2</sub> Lu <sub>5</sub> Ru <sub>2</sub> Lu <sub>5</sub> Ru <sub>2</sub> Lu <sub>5</sub> Ru Pr <sub>3</sub> Ru Dr <sub>3</sub> Ru Gd <sub>3</sub> Ru Cr <sub>3</sub> Ru Dr <sub>3</sub> Ru Cr <sub>3</sub> Ru Th <sub>3</sub> Ru Cr <sub>3</sub> Ru Cr <sub>3</sub> Ru Cr <sub>3</sub> Ru Cr <sub>3</sub> Ru Cr <sub>3</sub> Ru Cr <sub>3</sub> Ru Cr <sub>3</sub> Ru Cr <sub>3</sub> Ru Cr <sub>3</sub> Ru Cr <sub>3</sub> Ru Cr <sub>3</sub> Ru Cr <sub>3</sub> Ru Cr <sub>3</sub> Ru Cr <sub>3</sub> Ru Cr <sub>3</sub> Ru Cr <sub>3</sub> Ru Cr <sub>3</sub> Ru Cr <sub>3</sub> Ru Cr <sub>3</sub> Ru Cr <sub>3</sub> Ru	1,6790 1,6424 1,6295 1,6083 1,5939 1,5745 1,5676 1,5564 1,5452 1,5362 1,5362 1,5252 0,7468 0,7367 0,7355 0,7330 0,7310 0,7294 0,7284 0,7277 0,7262 0,7262	0,6672 0,6545 0,6509 0,6438 0,6391 0,6318 0,6281 0,6251 0,6251 0,6207 0,6152 0,6109 1,0032 0,9759 0,9675 0,9461 0,9350 0,9248 0,9151 0,9106 0,9040 0,8986	0,7422 0,7341 0,7342 0,7314 0,7324 0,7279 0,7278 0,7264 0,7238 0,7229 0,7223 0,6555 0,6416 0,6406 0,6334 0,6317 0,6280 0,6248 0,6235 0,6200 0,6173	95,79 96,46 96,67 96,89 97,35 97,21 97,38 97,26 97,37 
Y₃Ru		0,8915 —	0,6131	_

вится конгруэнтно при 1158°C, стехиометрический состав 47,2 % (ат.) Ru. Остальные три соединения Ru<sub>4</sub>U<sub>3</sub>, Ru<sub>5</sub>U<sub>8</sub> и Ru<sub>3</sub>U образуются по перитектической реакции при 1163, 1182 и 1856 °C соответственио.

Вследствие полиморфизма урана в системе наблюдаются следующие фазовые превращения  $\gamma \rightleftharpoons \beta$  при 681 °C по эвтектоидной реакции,  $\beta \rightleftarrows \alpha$  при 625 °C.

Максимальная растворимость Ru в γ-U, β-U и α-U составляет ~7,5; 2 и 1,1 % (ат.).
В работе [349] идентифицировано соединение Ru<sub>3</sub>U<sub>2</sub>, температура

его образования 1025±5 °С.

Ru-Th. Диаграмма построена во всем интервале концентраций по данным реитгеноструктурного, металлографического и дифференциального термического анализа литых и отожженных сплавов [350]. Обнаружено четыре интерметаллических соединения Ru<sub>3</sub>Th<sub>7</sub>, Ru<sub>2</sub>Th<sub>3</sub>, RuTh и Ru<sub>2</sub>Th (рис. 5.56), эвтектическая точка соответствует:

Ru-Pu. Диаграмма состояния построена во всем интервале концентраций [351] (рис. 5.57). Растворимость Ru в ε-Pu составляет примерно 3 % (ат.), растворимость в б- и в-фазах существенно меньше.

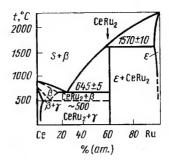


Рис. 5.53. Диаграмма состояния сплавов системы Ru-Се

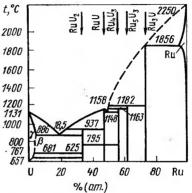


Рис. 5.55. Диаграмма состояння сплавов системы Ru-U

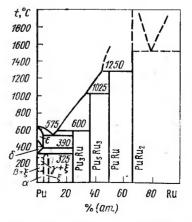


Рис. 5.57. Диаграмма состояния сплавов системы Ru-Pu

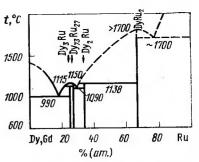
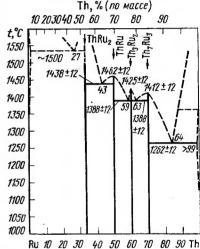


Рис. 5.54. Диаграммы состояния сплавов системы Ru-Gd, Dy



% (am.) Рис. 5.56. Диаграмма состояния сплавов системы Ru-Th

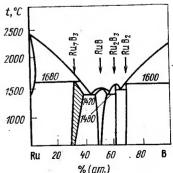


Рис. 5.58. Диаграмма состояния сплавов системы Ru-В

ХИМИЧЕСКИЕ СОЕДИНЕНИЯ, ОБРАЗУЕМЫЕ РУТЕНИЕМ С ТРАНСУРАНОВЫМИ ЭЛЕМЕНТАМИ

Соеди-			Параметры решетки, нм				
некия Сингония туриы тип		туриый тип	а	b	c		
$RuU_2$	Монокл.		1.3106±0,00014	0,3343± ±0,00002	0,5202± ±0,0009		
RuU		CsCl	_		_		
Ru <sub>3</sub> U	О. ц. к.	Cu <sub>3</sub> Au	$0,3980\pm0,0002$	_			
$Ru_3U_2$	»	-	$1,2895 \pm 0,0001$	_	_		
Ru <sub>3</sub> Th <sub>7</sub>	Гекс.	Th <sub>7</sub> Fe <sub>3</sub>	0,9969±0,0003		0,6302± ±0,002		
RuTh	Орто- ромб.	CrB	0,3878±0,002	1,129±0,001	$0,4071 \pm 0,0002$		
Ru <sub>2</sub> Th	Г. ц. к.	MgCu <sub>2</sub>	$0,7657 \pm 0,0002$		_		
RuPu	О. ц. к.	ČsC1			_		
Ru <sub>2</sub> Pu	Г. ц. к.	MgCu <sub>2</sub>	$0,7472 - 0,7476 \pm$		_		
			$\pm 0,0002$				
RuPu <sub>19</sub>	-	Ę	_		_		

Растворимость Ри в Ru не обнаружена. Диаграмма состояния характеризуется наличием пяти соединений: RuPu<sub>19</sub>, RuPu<sub>3</sub>, Ru<sub>2</sub>Pu<sub>5</sub>, RuPu и Ru<sub>2</sub>Pu. Фаза переменного состава RuPu<sub>19</sub> имеет область гомогенности от 3 до 7 % (ат.) Ru. Соединение Ru<sub>2</sub>Pu плавится конгруэнтно при температуре выше 1600 °С. Изменение параметров решетки этого соединения свидетельствует о наличии области гомогенности около состава 1 % (ат.). Теоретическая плотность его 14,03 · 10-3 кг/м3. Соединение RuPu при температуре выше 1400°С обладает структурой типа CsCl. его теоретическая плотность 14,84·10<sup>-3</sup> кг/м<sup>3</sup>. Параметры решеток и типы структур Ru<sub>3</sub>Pu<sub>5</sub> и RuPu<sub>3</sub> не установлены. В сплаве, содержащем 3 % (ат.) Ри, путем закалки из в-области была зафиксирована б-фаза (а=0,4630 нм), которая при пластической деформации превращается в α-фазу. Параметры кристаллических структур соединений Ru с трансурановыми элементами приведены в табл. 5.5.

Ru—В. Пиаграмма состояния, построенная во всем интервале концентраций на основе металлографических и рентгеновских исследований (рис. 5.58), приводится по данным [339]. В работе подтверждено существование боридов рутения (Ru<sub>7</sub>B<sub>3</sub>, RuB, Ru<sub>2</sub>B<sub>3</sub> и RuB<sub>2</sub>) и измерена нх твердость. В более ранних работах сообщалось о существовании соединений RuB<sub>3</sub>, Ru<sub>2</sub>B<sub>5</sub>, Ru<sub>11</sub>B<sub>8</sub>, Ru<sub>2</sub>B, а два из них Ru<sub>2</sub>B<sub>5</sub> и Ru<sub>11</sub>B<sub>8</sub> были идентифицированы [352, 353].По данным [339], RuB и Ru $_2$ В $_3$  плавятся конгруэнтно при 1500 и 1550 °C соответственно. Эвтектическое превращение наблюдается при 1420°C; эвтектическая точка соответствует 44% (ат.) B, а при 1480 °C — 56% (ат.) B. В ряде работ борид  $Ru_7B_3$  соответствует стехиометрии  $Ru_2B$  [340]. Сведения о соединениях при-

велены в табл. 5.6.

Ru-Al. На основании металлографических и рентгеновских исследований диаграмма состояния построена во всем интервале концентраций [339] (рис. 5.59). Максимальная растворимость A1 ~8 % (ат.). Со стороны Ru при температуре 1920 °С и ~30 % (ат.) Al наблюдается эвтектическое взаимодействие. По данным [339], в системе сущест-

#### химические соединения, образуемые рутением С ЭПЕМЕНТАМИ III ГРУППЫ

Соеди-		Струк-	Перио	ды решето	K, HM	HV,	Литера-
иение	Сингоиия	турный тип	а	, b	С	МПа	тура
D D	F	Th <sub>7</sub> Fe <sub>3</sub>	0,7456		0,4713	8500	339,353
$Ru_7B_3$	Гекс.	WC	0,697	l		14 000	339,340
RuB	О. ц. к.	WC	0,702			_	339
RuB		_	0,702		1,281	12 000	339
D D	Ромб.		0,46443	0.28668	0,40049	15 000	
$RuB_2$	POMO.	<del></del>	0,4645	0,2865	0,4045		350,353
$RuB_2$	Forms	$W_2B_5$	0,289	0,2000	1,281		352,353
$Ru_2\bar{B}_5$	Гекс. Ромб.		1,1609	1,1342	0,2839		353
$Ru_{11}B_8$		Ni <sub>4</sub> B <sub>3</sub> CsCl	0,303	1,1012	, <b></b>	6180	339,340
RuAl	О. ц. к. Гекс.	CSCI	0,405—		0,122-		339
$Ru_2Al_3$	I exc.		0,407	1	0,132		
D A 1	Town	CaC <sub>2</sub>	0,440—		-		339
$RuAl_2$	Тетр.	(MoSi <sub>2</sub> )	0,446		1		
De Al	Орто-	TiSi <sub>2</sub>	0,802	0,474	0,879		354
$RuAl_2$	ромб.	11312	0,002	0, 2, 2	0,010		
Day A1	Орто-	TiSi,	0,8012	0,4717	0,7785		355
$RuAl_2$	ромб.	1 1012	0,0012	0,2			
RuAl <sub>3</sub>	Гекс.	TiNi <sub>3</sub>	0,481	l _	0,781		339
RuAl <sub>12</sub>	О. ц. к.	111,13	0,812		_		339
RuGa	О. ц. к.	CsC1	0,3010			_	357
RuGa <sub>2</sub>	Ромб.	TiSi <sub>2</sub>	0,8184	0,4749	0,8696		357
RuGa <sub>2</sub>	Тетр.	CoGa <sub>3</sub>	0,646	-	_	-	356
RuIn <sub>3</sub>	Тетр.	CoGa <sub>3</sub>	0,6993		0,7240		358
Ru <sub>3</sub> I	Гекс.		0,2971		0,4689	l —	358
Ru <sub>3</sub> In	L Che.	Mg <sub>3</sub> Cd	0,5942	<u> </u>	_	l —	358
~/m3***		1	]	l	1	<u> </u>	<u> </u>

вует шесть химических соединений: RuAl, Ru<sub>2</sub>Al<sub>3</sub>, RuAl<sub>2</sub>, RuAl<sub>6</sub>, RuAl<sub>3</sub>, RuAl<sub>12</sub> (см. табл. 5.6). Температура плавления RuAl и RuAl<sub>6</sub> 2100 и

1360 °С соответственно. Ru<sub>2</sub>Al<sub>3</sub> образуется в результате перитектической реакшии при ~1600°С. Фазы RuAl и RuAl6 вступают в эвтектическое взаимодействие при 1300 °C. Структурный тип фазы RuAl<sub>2</sub> дополнительно исследовался другнии методами; результаты исследований представлены в табл. 5.6. В работах [355, 356] сообщалось о существовании соединений Ru<sub>4</sub>Al<sub>13</sub> и Ru<sub>2</sub>Al<sub>5</sub>. Соединение Ru<sub>4</sub>Al<sub>18</sub> возможно соответствует соединению, обнаруженному ранее в работе [339]. Исследования, проведенные с помощью металлографического, рентгеновского и высокотемпературного термического анализов, подтвердили наличие в системе соединений RuAl, RuAl<sub>2</sub>, Ru<sub>4</sub>Al<sub>18</sub> и RuAl<sub>6</sub>. Фаза RuAl<sub>2</sub> образуется по перитектической реакции

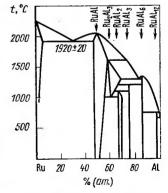


Рис. 5.59. Диаграмма состояния сплавов системы Ru-Al

при температуре выше 1800 °C. Ru<sub>4</sub>Al<sub>13</sub> образуется с открытым максимумом при 1500 °С и вступает в эвтектическое равновесис с соединени-

ем RuAl<sub>2</sub> при 1390 °C. RuAl<sub>6</sub> образуется при 790 °C [45].

Ru-Ga. Имеются данные об образовании интерметаллидов RuGa, RuGa<sub>2</sub>, RuGa<sub>3</sub> (см. табл. 5.6). Исследования проводились на образнах в виде порошков рентгеновским методом. В работе [357] установлено существование соединения RuGa на образцах, закаленных с 1000 °C. При этом фаза RuGa находится в равновесии с твердым раствором на основе рутения. В рутении растворяется незначительное количество галлия.

Ru—In. Проводилось рентгеновское изучение сплавов Ru с 10, 25, 40. 50. 67. 75 и 90 % (ат.) Іп. Установлена незначительная растворимость компонентов в твердом состоянии. Обиаружено существование соединений RuIn<sub>3</sub> и Ru<sub>3</sub>In. Соединение Ru<sub>3</sub>In нестабильно и распадается на RuIn<sub>3</sub> и Ru [358]. Данные о структуре соединений приводятся в

табл. 5.6.

Взаимодействие рутения с элементами IV группы Ru-Ti. Диаграмма состояния построена во всем интервале концентраций с помощью металлографических рентгеновских исследований и дифференциального

термического анализа.

Максимальная растворимость Ті в Ru около 14 % (ат.), при 1100 °C она равна 10 % (ат.). Максимальная растворимость Ru в β-Ті, 24 % (ат.), при 1100°С — 21 % (ат.). Максимальная растворимость Ru в α-Ті около 1 % (ат.). Соединение ТіRu кристаллизуется из расплава при 2150 °C [359] (2120 °C [360]) в структуру типа CsCl с периодом решетки a=0.3061 нм при 50 % (ат.) Ті. Температура эвтектического взаимодействия между твердым раствором на основе Ru и TiRu 1760 °C [359] (1855 °C [360]). В работе [359] установлена эвтектическая кристаллизация между β-Ті и ТіRu при 1540 °С. По данным [360, 361], сплавы, богатые Ті, кристаллизуются из расплава, образуя пологий минимум на кривой кристаллизации. В-твердый раствор образуется по перитектической реакции при температуре 1575 °C [360, 361]. Диаграмма состояния приведена на рис. 5.60 по данным [360], низкотемпературная часть ее (ниже 900°С) — по данным [359, 361].

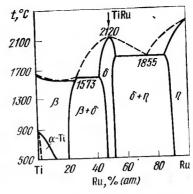
Ru-Zr. Диаграмма состояния построена методами металлографическим, рентгеновским, дифференциальным термическим анализом во всем интервале концентраций [359] (рис. 5.61). Максимальная растворимость Zr в Ru составляет ~2,5 % (ат.), Ru в β-Zr ~11 % (ат.), в α-Zr <1 % (ат.). В системе обнаружено соединение ZrRu<sub>2</sub> [область гомогенности при 1840 °C ~3 % (ат.)] со структурой типа MgZn<sub>2</sub> (а=

=0.5141 H c=0.8507 HM).

Соединение ZrRu типа CsCl (a=0,324 нм) имеет область гомогенности около 7 % (ат.) и испытывает мартенситное превращение при понижении температуры [9]. В работе [362] не обнаружен эвтектоидный распад β-твердого раствора вплоть до 600 °C и обнаружена ω-фаза (a=0.4997, c=0.3134 HM, c/a=0.627).

Ru-Hf. Диаграмма состояния построена во всем интервале концентраций методами металлографическим, рентгеновским, измерением температуры плавления (рис. 5.62) [363]. Максимальная растворимость Hf в Ru 5 % (ат.); при  $1200\,^{\circ}\mathrm{C}-1.5\,\%$  (ат.). Максимальная растворимость Ru в  $\beta$ -Hf  $10\,\%$  (ат.) в  $\alpha$ -Hf  $\sim 1\,\%$  (ат.).

В системе обнаружено два соединения. Ні Ru2 образуется по перитектической реакции при температуре ~1950°C, имеет структуру типа  $MgZn_2$  (a=0.5267, c=0.8723 им). HfRu образуется из расплава при  $2400\pm25$  °С и имеет область гомогенности от 37,5 до 50 % (ат.) Нf. HfRu имеет структуру типа CsCl ( $\alpha$ =0,3215 нм) при 40 % (ат.) Hf [9]. Точка эвтектического превращения между НfRu и β-Hf при 1710±





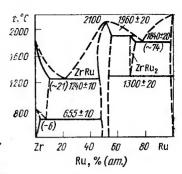


Рис. 5.61. Пиаграмма состояния сплавов системы Ru-Zr

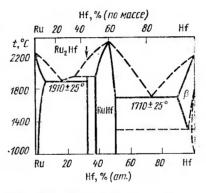


Рис. 5.62. Днаграмма состояния сплавов системы Ru-Hf

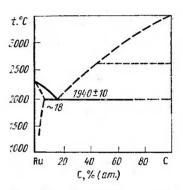


Рис. 5.63. Диаграмма состояния сплавов системы Ru-C

 $\pm 25\,^{\circ}\text{C}$  ~ 72.5 % (ат.) Нf. Изменение абсолютной т. э. д.с. и твердости в зависимости от состава подтверждает положение фазовых областей в системе.

Ru—C. Диаграмма построена методами физико-химического анализа [9] и представляет простую диаграмму эвтектического типа (рис. 5.63). Растворимость С в Ru незначительна и возрастает с повышением температуры. Рядом исследователей методом масс-спектрометрии был обнаружен карбид рутения со структурой WC (a=0.290785, c=0,282186 нм,  $c/\alpha=0,9704$ ) [340]. Присутствие карбида было обнаружено в интервале температур 2000—2250 °C, энергия диссоциации его 623833.2 Дж/моль (табл. 5.7) [364].

Ru-Si. Диаграмма построена во всем интервале концентраций методами металлографии, рентгеновским, термическим и дюрометрическим [71]. Максимальная растворимость Si в Ru ~2 % (ат.), Ru в Si 3—5 % (ат.). В работе подтверждено существование трех интерметаллических соединений Ru<sub>2</sub>Si, RuSi и Ru<sub>2</sub>Si<sub>3</sub> (см. табл. 5.7). Ru<sub>2</sub>Si образуется по перитектической реакции при температуре выше 1500 °C. RuSi

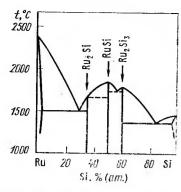


Рис. 5.64. Диаграмма состояния сплавов системы Ru—Si

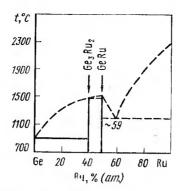


Рис. 5.65. Диаграмма состояния сплавов системы Ru—Ge

плавится конгруэнтно и имеет две модификации (типа CsCl и FeSi) при  $\sim 50$  % (ат.) Ru. Структура типа CsCl стабильна от комиатной температуры до 1340 °C. Ru<sub>2</sub>Si<sub>3</sub> плавится конгруэнтно при 1690 °C. Соединелие Ru<sub>2</sub>Si<sub>3</sub> и твердый раствор на основе кремния взаимодействуют по эвтектической реакции при 1370 °C. Эвтектическая точка соответствует 83 % (ат.) Si. Высказывалось предположение о существовании соединений Ru<sub>3</sub>Si<sub>2</sub> и RuSi<sub>2</sub>, а также Ru<sub>4</sub>Si<sub>3</sub> [340]. Диаграмма представлена на рис. 5.64 по данным [365].

Ru—Ge. Диаграмма состояния построена во всем интервале концентраций с помощью рентгеновского, металлографического и термического анализов (рис. 5.65) [366]. Взаимная растворимость компонентов практически отсутствует. В системе два соединения Ru<sub>2</sub>Ge<sub>3</sub> и RuGe (см.

ТАБЛИЦА 5.7 ХИМИЧЕСКИЕ СОЕДИНЕНИЯ, ОБРАЗУЕМЫЕ РУТЕНИЕМ С ЭЛЕМЕНТАМИ IV ГРУППЫ

C	Структурный	Пері	Периоды решетки, нм			
Соединение	тип	а	b	с	Литера тура	
RuC	WC	0,290785		0,282186	340	
Ru <sub>2</sub> Si	C22	0,5279	0,4005	0,7418		
RuŠi	CsCl	0,290				
	FeSi			_	İ	
	FeSi	0,4703			_	
Ru <sub>2</sub> Si <sub>3</sub>	_	1,1075		0,8954		
		0,552		0,0808		
Ru <sub>4</sub> Si <sub>3</sub>	Ru <sub>4</sub> Si <sub>3</sub>	0,5194	0,4022	1,7134		
$Ru_2Ge_3$	_	0,5709		0,4650	366	
		1,1405		0,9270	354	
RuGe	FeSi	0,4846	_		366	
$Ru_2Sn_3$		0,6172	_	0,9915	367	
RuSn <sub>2</sub>	CuAl <sub>2</sub>	0,6389	_	0,5693	367	
Ru <sub>3</sub> Sn <sub>7</sub>		0,935			367	
		0,9364		_	367	

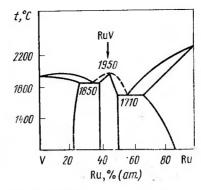


Рис. 5.66. Диаграмма состояния силавов системы Ru—V

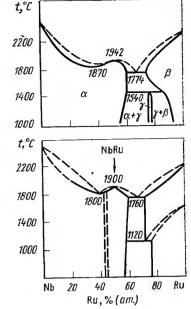


Рис. 5.67. Днаграмма состояния сплавов системы Ru—Nb

табл. 5.7).  $Ru_2Ge_3$  образуется по перитектической реакции при  $1460\,^{\circ}C$ . RuGe плавится конгруэнтно при  $1475\,^{\circ}C$ . Сообщалось о существовании  $RuGe_2$ , но возможно речь шла о  $Ru_2Ge_3$ .

Ru—Sn. При исследовании сплавов в литом и отожженном состояниях рентгеновским методом обнаружено три соединения: Ru₂Sn₃, RuSn₂ и Ru₃Sn₁ (см. табл. 5.7). Сосдинение Ru₂Sn₃ образуется по перитектической реакции, соединение RuSn₂— по перитектической реакции и ниже 700 °С распалается на Ru₂Sn₃ и Ru₃Sn₁. Ru₃Sn₁ плавится конгруэнтно, имеет значительную область гомогенности и находится в равновесии с Sn 13671.

Ru—Pb. Ru и Pb не растворяются друг в друге и не образуют соединений [9, 340].

Взаимодействие рутения с элементами V группы

Ru-V. Диаграмма построена во всем интервале концентраций методами физико-химического анализа [9]. Максимальная растворимость V в Ru  $\sim$ 33 % (ат.), при 1000 °C она понижается до 13 % (ат.). Максимальная растворимость Ru в V  $\sim$ 28 % (ат.) и незначительно уменьшается с понижением температуры. Соединение RuV плавится конгруэнтно при  $\sim$ 1950  $\pm$ 25 °C, область гомогенности соединения от 48 до 60 % (ат.) V. Соединение имеет слабоискаженную тетрагональную решетку типа CsCl [a=0,296, c=0,306 им, c/a=1,03 при 58 % (ат.) V], имеются данные о существовании двух фаз:  $\alpha'-$ в области 50 % (ат.) V в интервале температур 1100—1600 °C,  $\alpha''-$ в области 53—76 % (ат.) V при 1500 °C.  $\alpha'$  имеет тетрагональную искаженную структуру типа CsCl (a=0,2945, c=0,3128 нм, c/a=1,062),  $\alpha''-$ 0. ц. к. — структуру типа CsCl [a=0,3 нм при 54 % (ат.) V и a=0,2998 нм при 75 % (ат.) V] [340]. Это возможно свидетельствует о полиморфиом превращении соединения RuV. Между RuV и твердым раствором на основе ванадия, с одной сто-

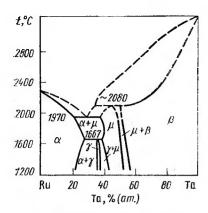


Рис. 5.68. Диаграмма состояния сплавов системы Ru—Ta

роны, и твердым раствором на основе рутения, с другой стороны, происходит эвтектическая реакция при 1850 и 1710 °С с эвтектическими точками 52,5 и 41 % (ат.) V соответственно. Положение фазовых областей подтверждено диаграммами состав — свойство (рис. 5.66) [9].

Ru—Nb. Диаграмма состояния приводится по данным [368] и является диаграммой эвтектического типа со значительной взаминой растворимостью компонентов, Эвтектическая точка при гемпературе 1774 °C 35 % (ат.) Ru. Промежугочная γ-фаза образуется по перитектоидной реакции при 1540 °C и 25 % (ат.) Nb. Ru₃Nb имеет гексагональную решетку (a=0,2750, c=0,4418 нм.

с/а=1,607). Максимальная растворимость Nb в Ru 29 % (ат.), Ru в Nb 58 % (ат.), по данным [369]. (рис. 5.67). В сплавах с содержанием 42—60 % (ат.) Nb обнаружено мартенситное превращение. Вблизи эквиатомного состава превращення происходят по двухступенчатому механизму. Высокотемпературная модификация фазы RuNb имеет структуру CsCl, которая при охлаждении превращается в тетрагональную искаженную фазу β′, при дальнейшем охлаждении переходящую в орторомбическую фазу β″ [370, 371]. Предполагается возможность существования двухфазной области между твердым раствором на основе Nb и областью эквиатомных сплавов Ru с Nb [372]. По данным [373], в системе имеется соединение NbRu, конгруэнтно плавящееся при 1900 °C.

Ru—Ta. Диаграмма состояния характеризуется широкими областями твердых растворов на основе исходных компонентов. Максимальная растворимость Та в Ru 28 % (ат.), Ru в Та 45 % (ат.). Промежуточная у-фаза образуется при 38 % (ат.) Та и имеет тетрагональную или упо-

ТАБЛИЦА 5.8 ХИМИЧЕСКИЕ СОЕДИНЕНИЯ, ОБРАЗУЕМЫЕ РУТЕНИЕМ С ЭЛЕМЕНТАМИ VB ГРУППЫ [9, 340]

Соеди- пение <sup>1</sup> Структурні		Период решетки, нм				
	Структурный тип	а	b	c		
$Ru_2P$	Co <sub>2</sub> P	0,5902	0,3895	0,6896		
RuP	МпР	0,5520	0,3168	0,6120		
$RuP_2$	Марказитный	0,5115	0,5888	0,2870		
		0,51173	0,58932	0,28711		
RuAs	MnP	$0.57\pm0.001$	$0,325\pm0,001$	$0.627\pm0.00$		
RuAs <sub>2</sub>	Марказитный (FeP <sub>2</sub> )	0.541	0,617	0,296		
RuSb		0,543	0.618	0,297		
$RuSb_2$	Марказитный	0.59524	0,66737	0,31803		

<sup>1</sup> Сингония всех соединений ромбическая.

рядоченную о. ц. к. структуру. µ-фаза существует в интервале 40—50 % (ат.) Та и имеет упорядоченную о. ц. к. структуру (рис. 5.68) [376]. Исследования структуры, электросопротивления, магнитной восприимчивости показали, что сплавы, близкие к эквиатомному составу [50—52,3 % (ат.) Та], претерпевают полиморфное превращение: CsCl—транецентрированная тетрагональная — орторомбическая [375]. В работе [376] изучена богатая Та часть диаграммы. Показано, что твердый раствор на основе Та имеет о. ц. к. структуру до 20 % (ат.) Ru. При 30 % Ru структура упорядоченная кубическая (тип CsCl). При 40—45 % (ат.) Ru сплавы имеют тетрагональную решетку. Ru—P. При взаимодействии Ru с P образуется три фосфорида руте-

Ru—P. При взаимодействии Ru с P образуется три фосфорида рутения: RuP₂, RuP и Ru₂P₃, которые получены Майзелем [340]. Существование фосфидов указанной стехиометрии подтверждено с помощью рентгеновского фазового анализа [377]. Между моно- и дефосфидами обнаружена двухфазиая область без смешиваемости. Монофосфид рутения получают методом прямого спекания порошков рутения и красного фосфора в соотношении 1:8 либо в эквивалентных количествах при температуре 650—680 °C в течение 34—68 ч, либо путем нагревания губки рутения с фосфором в тиглях из окиси кремния при 1000 °C. Ru₂P получают при температуре выше 1000 °C в вакууме; методика получеиия RuP₂ описана в работе [378]. Параметры кристаллических структур соединений приведены в табл. 5.8.

Ru—As. В литературе имеются данные о существовании интерметаллических фаз RuAs и RuAs<sub>2</sub>, структура которых приведена в табл. 5.8. В работе [379] указанные фазы изучены в отожженном при 700 °C состоянии. Диамагнитные свойства соединения RuAs<sub>2</sub> изучены в работе

[380].

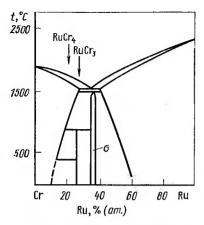
Ru—Sb. При взаимодействии обнаружено существование двух соединений: RuSb и RuSb<sub>2</sub>. Соединения получены путем постепенного нагревания порошкообразных компонентов в эвакуированной ампуле до температуры плавления сурьмы, Микротвердость RuSb<sub>2</sub> 4200 МПа. Кристаллографические параметры фаз приведены в табл. 5.8. В богатой Sb части диаграммы состояния обнаружено существование эвтектоида или эвтектики [381].

*Ru—Bi.* В сплавах Ru, содержащих от 80 до 90 % (по массе) Ві, не обнаружено интерметаллических соединений [382]. Растворимость Ru

в жидком Ві представлена ниже [383]:

Соединение RuBi было получено под давлением при температуре 1500 °C. После закалки с 1000 °C фаза обнаруживает сверхпроводящие свойства,  $T_{\rm K} = 5.7$  [384].

Взаимодействие рутения с элементами VI группы



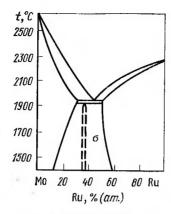


Рис. 5.69. Диаграмма состояния сплавов системы Ru—Cr

Рис. 5.70. Диаграмма состояния сплавов системы Ru—Mo

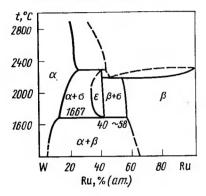


Рис. 5.71. Диаграмма состояния сплавов системы Ru—W

ратурный интервал существования соединения RuCr<sub>3</sub> от 750 до 1000 °C, а эвтектоидный распад σ-фазы при 800 °C. [385]. Существование сое-

динения RuCr4 не было подтверждено в работе [385].

Ru—Мо. Диаграмма состояния построена во всем интервале концентраций методами рентгеновского и микроскопического анализов (рис. 5.70) [386]. Максимальная растворимость Мо в Ru ~51 % (ат.). Растворимость Ru в Мо при температуре эвтектики ~30,5 % (ат), при 1500 °C ~13 % (ат.). Твердые растворы на основе исходных компонентов вступают в эвтектическое взаимодействие при температуре 1945 °C и содержании 41,6 % (ат.). Ru [386]. В более ранних работах эвтектика наблюдается при 1345 °C и 58,4 % (ат.) Ru [9].

В результате перитектоидной реакции между твердыми растворами на основе Ru и Mo при  $1920\pm10\,^{\circ}$ C и  $37\pm1\,^{\circ}$  (ат.) Ru образуется  $\sigma$ -фаза, имеющая тетрагональную решетку с параметрами a=0,95575, c=0,49346 нм. Сплавы в области  $\sigma$ -фазы обладают наиболее высокими значениями твердости. Сплав, содержащий 37,1 % (ат.) Ru, имеет максимальную температуру перехода в сверхпроводящее состояние 9,2 К

[387].

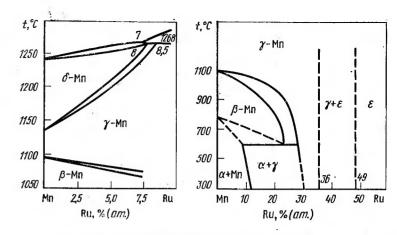


Рис. 5.72. Диаграмма состояния сплавов системы Ru-Mn

Ru-W. Диаграмма состояния во всем интервале концеитраций (рис. 5.71) [388]. Растворимость W в Ru  $\sim$ 48 % (ат.) при 2200 °C, Ru в W  $\sim$ 23 % (ат.) при 2300 °C. Промежуточная  $\sigma$ -фаза образуется по перитектической реакции при температуре 2300 °C и эвтектоидно распадается при 1667 °C. Стехиометрический состав  $\sigma$ -фазы соответствует формуле W<sub>3</sub>Ru<sub>2</sub>. При 1700 °C  $\sigma$ -фаза имеет область гомогенности 4 % (ат.), а при 2117 °C—8 % (ат.).  $\sigma$ -фаза имеет примитивную тетрагональную структуру типа  $\sigma$ -0,955,  $\sigma$ -0,496 нм) [389]. При температуре 2205 °C между твердым раствором на основе Ru и  $\sigma$ -фазой наблюдается эвтектическое равновесие. Эвтектическая точка  $\sim$ 55 % (ат.) W.

Ru—O. Систематических исследований системы не проводилось.

Сведения об оксидах рутения приводятся в разд. 4, табл. 4.39.

Ru—S. Диаграмма состояния не изучалась, сведения о сульфидах рутения приводятся в разд. 4.12.4. Обнаружены следующие сульфиды рутения:  $RuS_2$  с кубической решеткой типа пирита  $FeS_2$  (a=0,5610±±0,0007 нм) и  $Ru_9S_8$ , образующийся при нагревании смеси из Ru и  $RuS_2$  с серой при 950 °C. Выделен сульфид  $Ru_2S_3 \cdot 2H_2O$  [378], который не переходит в безводное состояние [9, 340].

Ru—Se. Известно о существовании диселенида  $RuS_2$  с кубической структурой типа пирита (a=0,5935 $\pm$ 0,0001 нм). Соединение получено изгреванием смеси компонентов в вакууме при 1200 °C. Соединение ди-

амагиитно [9, 340].

Ru—Te. Известно о существовании соединения Ru  $Te_2$ , которое образуется при  $850\,^{\circ}$ С после нагрева в течение двух часов смеси компонентов. Ru  $Te_2$  имеет кубическую структуру типа пирита (a=0,6377  $\pm$   $\pm$ 0,0001 им). Предполагается температура плавления соединения между 400— $600\,^{\circ}$ С. Свойства теллуридов приведены в разд. 4. [9, 340].

Взаимодействие рутения с элементами VII группы

Ru—Mn. Методами ренттеновского и металлографического анализа предварительно построена диаграмма состояния Ru—Mn до 1300 °C. Намечены границы фаз в твердом состоянии (рис. 5.72) [389]. Методами термического, ренттеновского и металлографического анализов для сплавов, богатых Mn, построена высокотемпературная часть диаграммы состояния [390]. δ-Mn образуется по перитектической реакции при

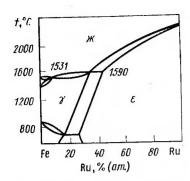
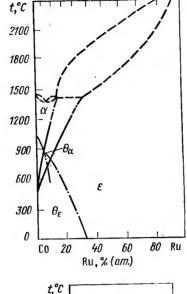


Рис. 5.73. Диаграмма состояния сплавов системы Ru—Fe



Ru, % (no macce) 10 20 30 40 50 60 70 80 90 100

Рис. 5.74. Диаграмма состояния сплавов системы Ru—Co

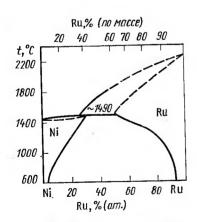


Рис. 5.75. Диаграмма состояния сплавов системы Ru—Ni

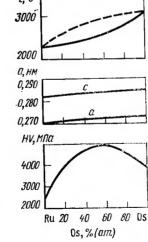


Рис. 5.76. Диаграмма состояния сплавов системы Ru—Os

1268 °C. Предельная растворимость Ru в δ-Mn ~8 % (ат.). Ru расширяет температурный интервал существования γ-Mn.

*Ru—Tc.* Диаграмма состояния характеризуется образованием непрерывного ряда твердых растворов с г. п. у. решеткой [9].

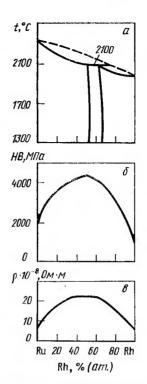


Рис. 5.77. Диаграмма состояиия сплавов системы Ru--Rh

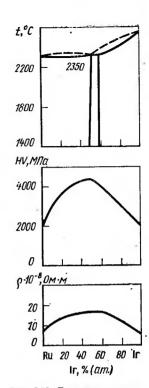


Рис. 5.78. Диаграмма состояния сплавов системы Ru—Ir

Ru—Re. Диаграмма построена во всем интервале коицентраций методами металлографического и ренттеновского анализов, измерением температуры плавления и методами построения диаграммы состав—свойство. Диаграмма представляет собой непрерывный ряд твердых растворов [391].

Взаимодействие рутения с элементами VIII группы

Ru—Fe. Диаграмма состояния имеет широкие области твердых растворов на основе Ru и  $\gamma$ -Fe без промежуточных фаз. Растворимость Fe в Ru при  $1590\,^{\circ}\mathrm{C}$   $\sim 64.5\,\%$  (ат.), Ru в Fe при той же температуре  $\sim 29,5\,\%$  (ат.). В  $\delta$ -Fe при перитектической температуре  $1536\,^{\circ}\mathrm{C}$  растворяется  $5.5\,\%$  (ат.) Ru. В  $\alpha$ -Fe при эвтектоидной температуре  $500\,^{\circ}\mathrm{C}$  растворяется  $4.8\,\%$  (ат.) Ru, а в Ru растворяется  $76.5\,\%$  (ат.) Fe (рис. 5.73) [9, 340].

Ru—Co. Диаграмма состояния характеризуется иепрерывным рядом твердых растворов на основе Ru и α-Co. Растворимость Ru в Co при 300 °C ~18 % (ат.). Перитектическая реакция протекает при 1450 °C и содержании 16 % (ат.) Ru (рис. 5.74) [340]. Рутений понижает температуру Кюри твердых растворов иа основе α-Co и ε-Co.

Ru—Ni. Диаграмма состояния является простой диаграммой перитектического типа. Температура перитектики ~1490°С (рис. 5.75) [392] (1550°С по [393]). При температуре перитектики в Ru растворя-

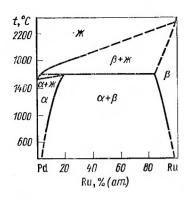


Рис. 5.79. Диаграмма состояния сплавов системы Ru—Pd

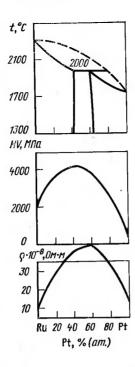


Рис. 5.80. Диаграмма состояния сплавов системы Ru-Pt

ется 48,7 % (ат.) Ni [392] (54 % (ат.) Ni [393]). При  $600\,^{\circ}$ С Ru растворяет 7,2 % (ат.) Ni, растворимость Ru в Ni  $\sim$ 3,1 % (ат.). В работе [394] получены данные о растворимости Ru в Ni при  $600\,^{\circ}$ С и Ni в Ru; она составляет  $\sim$ 30 % (ат.) в обоих случаях [394].

Ru—Os. Методами микроструктурного и рентгеновского анализов, измерением твердости и температур плавления построена днаграмма состояния во всем интервале концентраций [395]. Ru и Os во всем интервале концентраций образуют непрерывный ряд твердых растворов замещения. Изменение параметров решетки и твердости сплавов представляются в руко 5.76

влеио на рис. 5.76.

Ru—Rh [9]. Методами микроструктурного и рентгеновского анализов, измерением температур плавления сплавов и измерением их твердости построена диаграмма состояния сплавов во всем интервале концентраций. Диаграмма перитектического типа с широкими областями твердых растворов иа основе исходных компонентов. Растворимости Ru в Rh и Rh в Ru составляет ∼38 и 50 % (ат.) соответственно. Измерение твердости и удельного электросопротивления сплавов подтвердило положение фазовых областей в этой системе (рис. 5.77).

Ru—Ir. Методами микроструктурного и реитгеновского анализов, измерением температур плавления сплавов, построением диаграмм состав — свойство построена диаграмма во всем интервале концентраций [396]. Диаграмма является простой, перитектического типа с широкими областями твердых растворов на основе исходных компонентов. Двухфазная область существует в интервале 44—48 % (ат.) Ru. По данным [332], двухфазная область при 2000 °С существует в интервале 48—

54 % (ат.) Ru (рис. 5.78).

Ru—Pd. Диаграмма состояния является простой перитектического типа с двумя ограниченными твердыми растворами на основе исходных компонентов (рис. 5.79) [9]. Существование металлического соединения β-фазы бертолидного типа, обнаруженного Р. С. Поляковой и А. А. Рудницким металлографически, не было подтверждено рентгеновскими исследованиями.

Ru—Pt. Диаграмма состояния является простой перитектического типа с широкими областями твердых растворов без промежуточных фаз [396]. Максимальная растворимость Pt в  $Ru \sim 42\%$  (ат.), Ru в  $Pt \sim 42\%$  (ат.). По данным [397], растворимость Ru в Pt при 1900 °C 70% (ат.), при 1000 °C — 62% (ат.). Растворимость Pt в Ru около 20%

(ат.) и мало изменяется с температурой (рис. 5.80).

#### 5.4. Двойные диаграммы состояния осмия

Взаимодействие осмия с элементами І группы

Os—Cu. Измерения электросопротивления богатых медыю сплавов показали, что растворимость Os в Cu в твердом состоянии исчезающе мала [9].

Взаимодейвтвие осмия с элементами II группы

Os—Be. Методами оптического и рентгеновского анализов установлено существование соединения Be<sub>2</sub>Os [91,34 % (по массе) Os] и Be<sub>17</sub>Os<sub>3</sub> с о. ц. к решеткой (a=1,1342 нм) [9].

Os-Mg. Известно об образовании эвтектики вблизи чистого маг-

ния [9].

Вэаимодействие осмия с элементами III группы

Os—Y. Методами термического, микроструктурного и рентгеновского фазового анализов, а также с помощью диаграмм состав—свойство построена диаграмма состояния, представленная на рис. 5.81. В системе обнаружены два соединения YOs2 и Y3Os. Растворимость компонентов незначительиа. Параметры решетки и тип структуры соединений представлены в табл. 5.9 [332].

Os—Yb. Методами термического, рентгеновского и металлографического анализов построена схематическая диаграмма состояния [398]. Наблюдалась несмешиваемость жидкого Yb с соединением YbOs<sub>2</sub>. Тип кристаллической структуры и параметры решетки соедине-

ния YbOs<sub>2</sub> приведены в табл. 5.9, рис. 5.82.

Os - Pr. В системе наблюдается эвтектическое взаимодействие. Растворимость Оs в  $\beta$ -Pr $\sim$ 0,43 % (ат.),  $\alpha$ -Pr $\sim$ 0,2 % (ат.) (рис. 5.83).

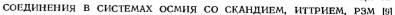
При взаимодействии Os со Sc, Y, P3M образуются соединения  $ROs_2$ — Лавес-фаза, а также соединения типа  $R_3Os$ . Типы структур и параметры решетки соединений приведены в табл. 5.9.

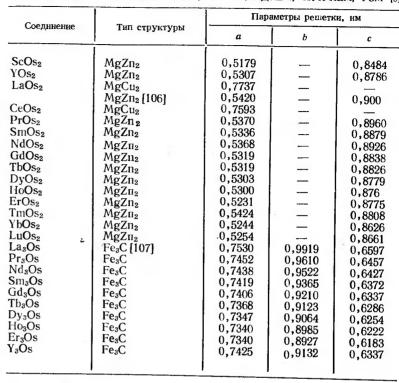
Os - B, Al, Ga. В этих системах известны соединения, параметры

решетки которых представлены в табл. 5.10 [9, 332]. Взаимодействие осмия с актиноидами

Оs — Th. Методами металлографического и рентгеновского анализов построена диаграмма состояний (рис. 5.84) [9]. Растворимость Оs в Тh при 1000 °C составляет 1 % (ат.). В системе обнаружены соединения:  $\text{Th}_7\text{Os}_3$  (структура типа  $\text{Th}_7\text{Fe}_3$ , a = 1,0031, c = 0,6296 нм),  $\text{ThOs}_2$  (структура типа  $\text{MgCu}_2$ , a = 0,7705 нм),  $\text{ThOs}_3$  при 40 % (ат.) Os]. Между  $\text{Th}_7\text{Os}_3$  и Th образуется эвтектика при  $13 \pm 1$  % (ат.) Оs.  $\text{ThOs}_2$  образует эвтектику с Os при  $85 \pm 1$  % (ат.) Os.

Os-U. Методами металлографического анализа и измерением температур плавления построена диаграмма во всем интервале концентраций (рис. 5.85) [332]. Растворимость U в твердом Os менее 1 % (ат.),





Os-Zr. Методами металлографического, рентгеновского фазового и дифференциально-термического анализов, а также измерением температуры начала плавления сплавов построена диаграмма состояния во всем интервале концентраций [402].

.

ТАБЛИЦА 5.10
СОЕДИНЕНИЯ В СИСТЕМАХ ОСМИЯ С БОРОМ, АЛЮМИНИЕМ И ГАЛЛИЕМ

Соединения	Тип структуры или	Параметры решетки, им				
	пространственная группа	а	ь	c		
$\begin{array}{c} OsB_2 \\ Os_2B_5 \end{array}$	$P \ mmn \ \mathrm{W_2B_5}$	0,4684 0,46832	0,2872 0,28717	0,4076 0,40761		
$Os_2Al_3$ OsAl $OsAl_2$	Au <sub>2</sub> Nb <sub>3</sub> CsC! MoSi <sub>2</sub>	0,291 0,311 0,3006 0,316	=	1,291 1,416 —		
Os <sub>4</sub> Al <sub>13</sub>	Fe <sub>4</sub> Al <sub>13</sub>	1,764	0,4228	0,838 0,7773,		
OsGa <sub>3</sub>	CoGa <sub>3</sub>	0,649	_	$\beta = 115,15^{\circ}$ 0,674		

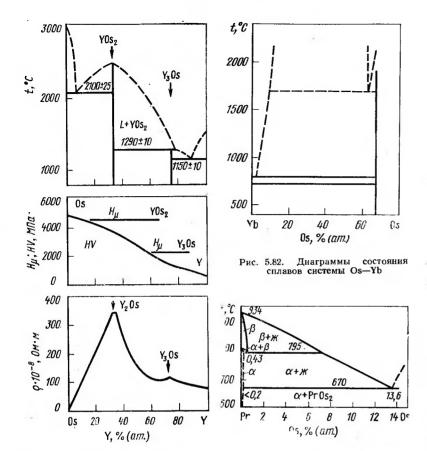


Рис. 5.81. Диаграмма состояния и диаграмма состав-свойства системы Os-Y

Рис. 5.83. Диаграмма состояния сплавов системы Os-Pr

а Os в U 0,5 % (ат.). В системе известны соединения UOs<sub>2</sub>, U<sub>5</sub>Os<sub>4</sub>, U<sub>2</sub>Os, U<sub>3</sub>Os. Соединение UOs<sub>2</sub> имеет структуру типа MgCu<sub>2</sub>. Взаимодействие осмия с элементами IV группы

Os-Ti. Методами металлографического, рентгенографического, дифференциально-термического анализов построена диаграмма состояния во всем интервале концентраций. Максимальная растворимость Ti в Os 22 % (ат.). Максимальная растворимость Os в  $\beta$ -Ti $\sim$ 23 % (ат.), в  $\alpha$ -Ti $\sim$ 1 % (ат.) при 600 °C.

В системе образуется соединение TiOs со структурой типа CsCl, период решетки которого увеличивается с повышением содержания Тi от 0,308 до 0,312 нм. Соединение имеет область гомогенности ~10 % (ат.) Тi. При 2100 °С и 35 % (ат.) Тi наблюдается эвтектическая реакция (рис. 5.86). Оs стабилизирует β-фазу Тi и резко снижает температуру β≠∞ превращения.

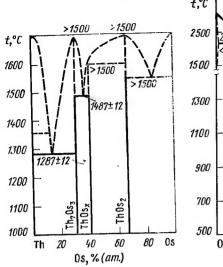


Рис. 5.84. Диаграмма состояния сплавов системы Os—Th

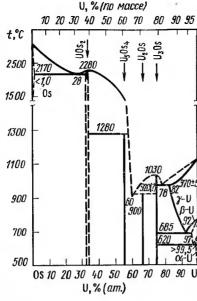


Рис. 5.85. Диаграмма состояния сплавов системы Os-U

В системе подтверждено существование трех промежуточных фаз на основе соединений  $Zr_{11}Os_4$ , ZrOs,  $ZrOs_2$ . Тип структуры и параметры решетки соединений приведены в табл. 5.11. Соединение  $ZrOs_2$  при температурах выше  $1700\,^{\circ}\text{C}$  имеет область гомогенности. Оs стабилизирует твердый раствор на основе  $\beta$ -Zr (рис. 5.87). Растворимость Os в  $\beta$ -Zr при эвтектической температуре  $1270\,^{\circ}\text{C} \sim 14\,\%$  (ат.), в  $\alpha$ - $Zr < 1\,\%$  (ат.) при  $500\,^{\circ}\text{C}$  [403].

Os—Hf. В системе обнаружено два соединения HfOs и HfOs<sub>2</sub>, параметры решетки которых приводятся в табл. 5.11. Рентгеновские ис-

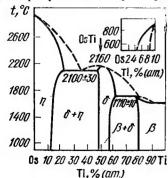


Рис. 5.86. Диаграмма состояния сплавов системы Os—Ti

# ТАБЛИЦА 5.11 СОЕДИНЕНИЯ В СИСТЕМАХ ОСМИЯ С ТИТАНОМ, ЦИРКОНИЕМ, ГАФНИЕМ [9]

Соеди-	Тип	Параметры решетки, им			
ненне	струк- туры	а	<u> </u>		
TiOs Zr <sub>11</sub> Os <sub>4</sub> ZrOs ZrOs <sub>2</sub> HfOs HfOs <sub>2</sub>	CsCl Г. ц. к. CsCl MgZп <sub>2</sub> CsCl MgZn <sub>2</sub>	0,308—0,312 1,3428 0,326 0,5219 0,3239 0,5184	0,8538 0,8468		

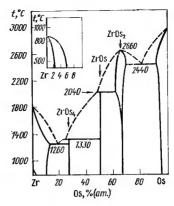


Рис. 5.87. Диаграмма состояния сплавов системы Os—Zr

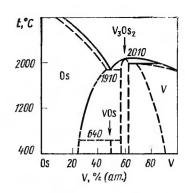


Рис. 5.88. Диаграмма состояния сплавов системы Os—V

следования монокристалла HfOs позволили обнаружить мартенситное превращение в интервале температур от —120 до +20 °C [9].

Os—Si. В системе обиаружено четыре химических соединения OsSi, OsSi<sub>2</sub>, Os<sub>2</sub>Si<sub>3</sub> и OsSi<sub>3</sub>. Сплавы со стороны Оs плавятся при температуре выше 1960 °C. Эвтектика со стороны Si наблюдается при температуре 1360 °C. Параметры решетки соединений приведены в табл. 5.12 [9].

Os - Ge. В системе обнаружено соединение OsGe<sub>2</sub> [9].

Os — Sn. Компоненты практически нерастворимы и не образуют промежуточных фаз [9].

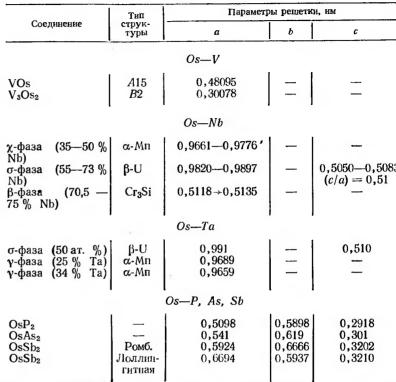
Вэаимодействие осмия с элементами V группы

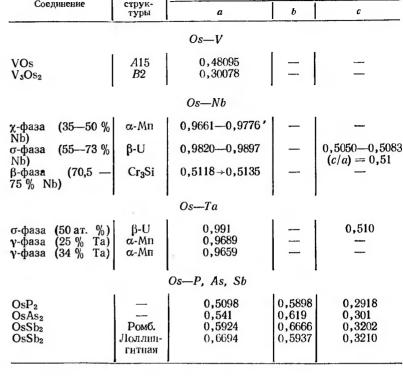
Os—V. Методами металлографического, рентгеновского и термического анализов построена диаграмма состояния во всем интервале концентраций (рис. 5.88). Максимальная растворимость V в Оз 46 % (ат.) при эвтектической температуре. Максимальная растворимость Оз в V 31 % (ат.). Соединение VOs образуется по перитектоидной реакции при 640 °C. Соединеиие V<sub>3</sub>Os<sub>2</sub> образуется из расплава при 2140 °C. Параметры решеток соединений приведены в табл. 5.13 [9].

Os — Nb. Методами микроскопического, рентгеновского и микроренттеноспектрального анализов построена диаграмма во всем интервале концентраций (рис. 5.89) [9]. Растворимость Nb в Os при 2270 °C

ТАБЛИЦА 5.12 СОЕДИНЕНИЯ В СИСТЕМАХ ОСМИЯ С КРЕМНИЕМ, ГЕРМАНИЕМ [9]

Соеди-	m	Параметры решетки, им			
нение Тип структур	тип структуры	а	ь	c	
OsSi OsSi <sub>2</sub> Os <sub>2</sub> Si <sub>3</sub> OsSi <sub>3</sub> OsGe <sub>2</sub>	Модификация FeSi OsGe <sub>2</sub> Ru <sub>2</sub> Si <sub>3</sub> Не определен	0,4279 0,877 1,115 — 0,8995	0,300 — 0,3094	0,738; $\beta = 118^{\circ} 30'$ 0,8962 0,7685; $\beta = 119^{\circ} 10$	





Растворимость Cr в Os  $\sim$ 50 % (ат.), Os в Cr  $\sim$ 18 % (ат.) в интервале температур 1000—1500 °C. Соединение  $\sim$  Cr<sub>3</sub>Os образуется по перитектоидной реакции при температуре 1540°C. Соединение имеет температуру перехода в сверхпроводящее состояние 4,03 К. Соединение Сг<sub>2</sub>Os (σ-фаза) образуется по перитектоидной реакции при 1670 °С и распадается по эвтектической реакции при 975 °C. Область гомогенности соединения ~5 % (ат.). Имеются данные [9] об образовании о-фазы из расплава и большей области ее гомогенности. Параметры кристаллической структуры фаз приведены в табл. 5.14.

Os - Mo. Методами реитгеновского и металлографического анализов построена диаграмма состояния во всем интервале концентраций (рис. 5.92) [332]. Максимальная растворимость Os в Mo  $\sim$ 19.5 % (ат.). Максимальная растворимость Мо в Os 52 % (ат.) и 39 % (ат.) при 1000 °C. Эвтектика между твердым раствором на основе Мо и о-фазой образуется при 2380 °C и 20,5 % (ат.) Оs. Промежуточная фаза Mo<sub>3</sub>Os существует в интервале 24—25,5 % (ат.) Os, о-фаза образуется по перитектической реакции. В интервале 2200—1000 °С о-фаза существует в интервале от 30 до 39 % (ат.) Оs. Параметры решеток промежуточных фаз приведены в табл. 5.14.

 $\sim$ 27 % (ат.). Растворимость Os в Nb при 2175°C ~19 % (ат.), а при 1975 °С ~17 % (ат.).

В системе наблюдались 3 фазы, имеющие значительиые области гомогенности: χ-фаза [35—50 % (ат.) Nb], σ-фаза [55—73 % (ат.) Nb при 1975 °С и до 65 % (ат.) Nb при понижении температуры], β-фаза 170,5-75,0 % (ат.) Nb]. Кристаллическая структура фаз приведена в табл. 5.13.

Периоды решетки твердых растворов на основе Nb изменяются от 0.3233 до 0.3263 нм. а на основе Os: a от 0.2752 до 0,2762 нм, с от 0,4368 до  $0,4415 \text{ HM}, c/a = 1,587 \div 1,598.$ 

Os — Та. Методами металлографического, рентгеновского. микрорентгеноструктурного анализов и измерением тем-

пературы плавления построена диаграмма состояний во всем интерва-

*90* Nb

2471

α+Nb

ле концентраций (рис. 5.90).

30

50

Nb. % (am.)

Рис. 5.89. Диаграмма состояния сплавов системы Os-Nb

70

E+X X+6~

Имеются данные о растворимости при температуре 2200°C: 22 % (ат.) Та в Оs и 14 % (ат.) Оs в Та. В системе две промежуточные фазы у и с. Параметры решетки фаз приведены в табл. 5.13.

Os — P, As, Sb, Bi. Соединения и параметры их решеток приво-

дятся в табл. 5.13.

t.°C

2600

2200

1800

1400

1000

€+0s

Os 10

Соединений Os с Ві не обнаружено и растворимость Os в Ві исчезающе мала.

Вэаимодействие осмия с элементами VI гриппы

Nb, % (no macce)

20 30 40 50 60 70 80 90

Os — Cr. Методами дифференциально-термического, микроскопического и рентгеноструктурного анализов построена диаграмма состояния во всем интервале концентраций (рис. 5.91) [332].

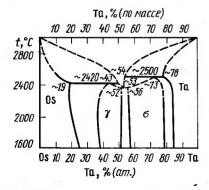


Рис. 5.90. Диаграмма состояния сплавов системы Оѕ-Та

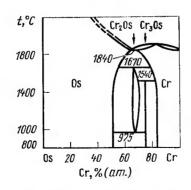
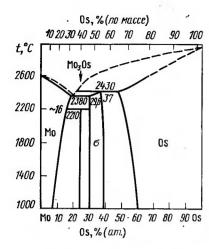


Рис. 5.91. Диаграмма состояния сплавов системы Os--Cr





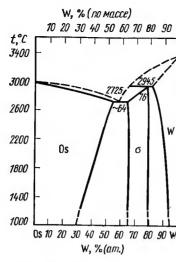


Рис. 5.93. Диаграмма состояния сплавов системы Os-W

Os - W. Методами рентгеновского и металлографического анализов построена диаграмма состояния во всем интервале концентраций (рис. 5.93). Максимальная растворимость W в Os ~54 %, Os в W ~18.5 %. В системе обнаружено образование одной промежуточной σ-фазы в интервале концентраций 65-80 % (ат.) W. Имеются данные о другом интервале существования о-фазы [50—75 % (ат.) W], а также о существовании фазы при 25 % (ат.) W после отжига при 1000 °C. Параметры о-фазы приведены в табл. 5.14 [9].

Os-S, Se, Te. Известно об образовании соединений типа  $OsR_2$  с кубической решеткой типа пирита FeS<sub>2</sub>. Параметры (a) соединений:

 $OsS_2 - 0.565$ ;  $OsSe_2 - 0.5945$ ;  $OsTe_2 - 0.6382$  HM [9].

ТАБЛИЦА 5.14 СОЕДИНЕНИЯ ОСМИЯ С ХРОМОМ, МОЛИБПЕНОМ И ВОЛЬФРАМОМ

	Тип	Периоды решетки, им		
Соединение	структуры	а	ь	
Cr₃Os	β-W	0,4677 0,4684	_	
Cr <sub>2</sub> Os (σ-фаза)	β-U	0,9107	0,4696	
Mo <sub>3</sub> Os (24,5 % Os)		0,49712	_	
Cr <sub>2</sub> Os (σ-фаза)	<u></u> β-U	0,904	0,460	
Mo <sub>3</sub> Os (25 % Os)	·—	0,49693	-	
σ-фаза (30 % Os) ∣	Тетр.	0,9632	0,4950	
(37,5 % Os)	•	0,9613	0,4935	
WOs [σ-фаза; 65—	β-U	$0,9625 \rightarrow 0,9670$	$0,4975 \rightarrow 0,5015$	
30 % (ат.) W	•			

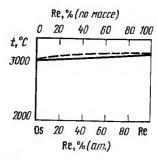
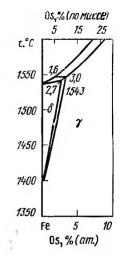
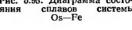


Рис. 5.94. Диаграмма состосплавов Os-Re

Рис. 5.95. Диаграмма состосплавов системы





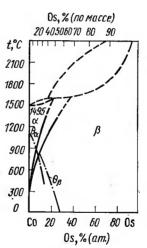


Рис. 5.96. Диаграмма состояния сплавов системы Os--Co

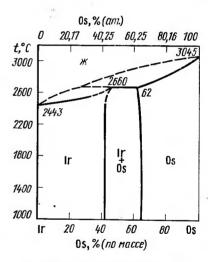


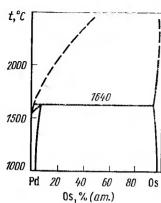
Рис. 5.97. Диаграмма состояния сплавов системы Os-Ir

Взаимодействие осмия с элементами VII группы

Os- Mn. О взаимодействии данных нет.

Os — Tc. На основании рентгеновской металлографии сплавов, полученных последовательным разбавлением и закалкой от 700 °C. установлена полная взаимная растворимость компонентов [9].

Os - Re. Методами микроструктурного и рентгеновского анализов, измерением твердости и температур плавления сплавов построена диаграмма состояния во всем интервале концентраций, которая и представляет собой непрерывный ряд твердых растворов (рис. 5.94)





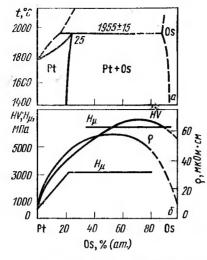


Рис. 5.99. Диаграмма состояния (а) и диаграмма состав - свойство (б) системы Os-Pt

Взаимодействие осмия с элементами VIII гриппы

Os — Fe. Термический анализ сплавов, богатых железом, показал, что ликвидус повыщается до перитектической реакции (рис. 5.95) [332].

Os — Co [404]. Измерением периода решетки и микроскопическим исследованием установлено, что α-Co и Os образуют непрерывные ряды твердых растворов. Установлеи широкий интервал кристаллизации твердых растворов на основе в-Со. Определены температуры Кюри а- и В-фаз (рис. 5.96).

Os—Ni. Диаграмма состояния является простой без промежуточных фаз перитектического типа. В Ni растворяется до 15 % (по масce) Os, в Os—16 % (по массе) Ni. Растворимость Os в Ni при 1200 °C 25 % (по массе). На границе растворимости температура Кюри Ni coставляет 100°С [9].

Os — Ir. Методами металлографического, пирометрического и рентгеновского анализов построена диаграмма состояния [332]. Диаграмма состояния — простая, перитектического типа, Взаимная растворимость компонентов в твердом состоянии мало изменяется с температурой (рис. 5.97).

Os—Rh. Система Os—Rh не построена.

Os — Pd. Методами микроструктурного и рентгеновского анализов, измерением температур плавления сплавов и методом построения диаграмм состав — свойство построена диаграмма состояния во всем интервале концентраций [9]. Химических соединений в системе не обнаружено. Максимальная растворимость О в Р 1,1 % (ат.), В 2 % (по массе) Оs растворяется не более 3 % (по массе) Рd. Рентгеновский анализ и измерение свойств сплавов подтвердили положение фазовых областей в системе. Механические свойства сплавов Pd с Os приведены в работе [9] (рис. 5.98).

Os - Pt. В системе существует ограниченная взаимная растворимость компонентов без промежуточных фаз. Растворимость Оs в Pt менее 20 % (ат.), Pt в Os менее 11 % (ат.) [9]. Часть диаграммы состояния и диаграмм состав -- свойство, по данным Л. И. Вороновой с соавторами, представлена на рис. 5.99.

## 5.5. Двойные диаграммы состояния родия

Взаимодействие родия с элементами І группы

Rh — Li. Известно о существовании соединения с упорядоченной гек-

сагональной структурой a=0.2649, c=0.4359 нм [9].

Rh — Си. Методами металлографического и рентгеновского анализов литых и отожженных образцов построена диаграмма состояния во всем интервале концентраций (рис. 5.100). При температуре 1200°C Си и Rh образуют непрерывный ряд твердых растворов, который при понижении температуры расслаивается на два твердых раствора на основе Си и Rh. При 1000°C область расслоения находится в интервале 35-75 % (ат.) Rh, а при 600 °C в интервале 23-93 % (ат.)

Взаимодействие родия с элементами ІІ группы

Rh—Be. Известно о существовании соединений BeRh и Bes. Rh (гекса-

гональная структура, a=0,4191, c=1,0886 нм, c/a=2,597) [9].

Rh-Mg. Известно о существовании соединении MgRh со структурой CsCl (a=0.3099 нм) и Mg<sub>5</sub>Rh<sub>2</sub> со структурой типа Al<sub>5</sub>Co<sub>2</sub> a==0.8554, c=0.8028 нм или a=0.8515, c=0.8016 нм при 74.7 % (ат.) Mgl. Интервал существования фазы возможного состава Mg5Rh2 71,5--74,7 % (ат.) Mg.

Rh — Ca, Sr, Ba. В системах обнаружены Лавес-фазы типа МgCu2. Соединения имеют следующие параметры a: CaRh<sub>2</sub> — 0,7525, SrRh<sub>2</sub> — 0.7695, BaRh<sub>2</sub> — 0,7852 нм. Соединения сверхпроводящие и имеют  $T_{\kappa}$ =6,4; 6,2; 6,0 K соответственно. В системе Rh — Sr при сепарации

расплава с 17 % (ат.) Sr при 1600 °C получено г. ц. к. соединение (a=1.00 нм) с неизвестным типом решетки [9].

Rh—Zn, Cd. В системах предполагается существование соединений Rh<sub>5</sub>Zn<sub>21</sub> и Rh<sub>5</sub>Cd<sub>21</sub> со структурой γ-латуни [9].

*Rh—Hg.* Обнаружены соединения RhHg<sub>5</sub>, RhHg<sub>4,63</sub> и RhHg<sub>2</sub>. RhHg<sub>5</sub> образуется по перитектической реакции при температуре ~560°C. RhHg<sub>4.63</sub> и RhHg<sub>2</sub> образуются по перитектическим реакциям при температурах 415 и 320°C соответственно. RhHg2 имеет тетрагональную решетку типа  $PtHg_2$  (a=0,455, c=0,299 нм). Взаимная растворимость компонентов незначительна [9].

Взаимодействие родия с элементами III гриппы

Rh-РЗМ. Построены диаграммы состояния Rh-La, Rh-Nd, Rh-Gd и схематически Rh—Yb. При взаимодействии родия с РЗМ характерно образование ряда химических соединений. Взаимная растворимость

компонентов незначительна [91]

Rh-La. В системе образуются соединения La<sub>2</sub>Rh<sub>7</sub>, LaRh<sub>3</sub>, LaRh<sub>2</sub>, LaRh, La<sub>5</sub>Rh<sub>4</sub>, La<sub>4</sub>Rh<sub>5</sub>, La<sub>5</sub>Rh<sub>3</sub>, La<sub>3</sub>Rh (puc. 5.101) [9]. Coединеия La2Rh7, LaRh3 и LaRh2 обладают

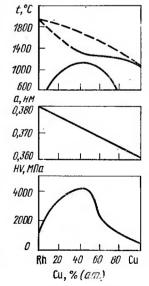
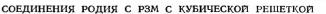
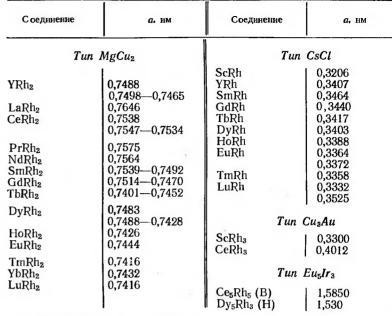


Рис. 5.100. Диаграмма сос-RUHROT сплавов системы Rh-Cu





Примечание. В — высокотемпературная модификация, Н — иизкотемпературная модификация.

## ТАБЛИЦА 5.16 СОЕДИНЕНИЯ РОДИЯ С РЗМ С ГЕКСАГОНАЛЬНОЙ РЕШЕТКОЙ

Соединение	а, им	С, НМ	Соединение	а, нм	С, НМ
T V <sub>7</sub> Rh <sub>3</sub> La <sub>7</sub> Rh <sub>3</sub> La <sub>3</sub> Rh Ce <sub>3</sub> Rh Nd <sub>3</sub> Rh Gd <sub>7</sub> Rh <sub>3</sub> Eu <sub>7</sub> Rh <sub>3</sub> Sm <sub>2</sub> Rh <sub>8</sub>	un Th <sub>7</sub> Fe <sub>3</sub> 0,9793 0,9775 1,0145 1,0200 1,0005 1,0030 0,9840 0,9643 0,9903	0,6196 0,6190 0,6434 0,6500 0,6356 0,6336 0,6120 0,6070 0,6248	LaRh <sub>3</sub> (H) NdRh <sub>3</sub> SmRh <sub>3</sub> (H) GdRh <sub>3</sub> (H) YRh <sub>3</sub> (H)	un CeNi <sub>3</sub> 0,5305 0,5282 0,5255 0,5235 0,5230  un Mn <sub>5</sub> Si <sub>3</sub> 0,8244 0,8176	1,759 1,752 1,746 1,740 1,738
Tb <sub>7</sub> Rh <sub>3</sub> Dy <sub>7</sub> Rh <sub>3</sub>	0,9788 0,9740	0,6175 0,6135	Dy <sub>5</sub> Rh <sub>3</sub> (B) Er <sub>5</sub> Rh <sub>3</sub> (B) Er <sub>6</sub> Rh <sub>3</sub>	0,8152 0,8084 0,8122	0,6288 0,6306 0,6259

t,°C 2000 2000 1600 1600 1410 1200 1200 1205 10.30 1040 *800* 800 Rh 20 60 80 80 Lα 40 60 20 Rh Nd, % (am.) La,% (am.)

Рнс. 5.101. Днаграмма состояния сплавов системы Rh-La

Рис. 5.102. Диаграмма состояния сплавов системы Rh-Nd

полиморфизмом, температура полиморфных превращений 1295, 1040, 1240 °С соответственно. Параметры соединений приведены в табл. 5.15-5.17.

Rh—Nd. В системе обнаружено семь соединений NdRh<sub>3</sub>, NdRh<sub>2</sub>, Nd<sub>4</sub>Rh<sub>3</sub>, Nd<sub>3</sub>Rh, Nd<sub>4</sub>Rh, NdRh, Nd<sub>5</sub>Rh<sub>3</sub> (рис. 5.102) [9]. Параметры соединений приведены в табл. 5.15—5.17. Соединение Nd<sub>5</sub>Rh<sub>3</sub> обладает полиморфизмом. Взаимная растворимость компонентов незначительна.

Rh-Gd. Методами дифференциально-термического, микроскопического и рентгеновского анализов построена диаграмма состояния во всем интервале концентраций. Подтверждено существование девяти соединений: Gd<sub>3</sub>Rh, Gd<sub>7</sub>Rh<sub>3</sub>, Gd<sub>5</sub>Rh<sub>3</sub>, Gd<sub>3</sub>Rh<sub>2</sub>, Gd<sub>4</sub>Rh<sub>3</sub>, GdRh<sub>5</sub>, GdRh, GdRh<sub>2</sub>, GdRh<sub>5</sub> (рис. 5.103) [399]. Взаимная растворимость компонентов незначительна.

Rh—Er. Методами дифференциально-термического, рентгено-фазового и металлографического анализов построена диаграмма состояния во всем интервале концентраций (рис. 5.104) [405]. В системе обнаружены следующие соединения: Er<sub>3</sub>Rh, Er<sub>7</sub>Rh<sub>3</sub>, Er<sub>5</sub>Rh<sub>3</sub>, высоко- и низкотемпературиые модификации Er<sub>3</sub>Rh<sub>2</sub>, ErRh, ErRh<sub>2</sub>, ErRh<sub>5</sub>. Типы кристаллических структур и параметры изученных соединений приводятся в табл. 5.15—5.17.

Rh-Yb. Установлено существование соединения вблизи состава YbRh<sub>5</sub>, полученное при большой скорости охлаждения; при понижении температуры оно распадается на YbRh, и Rh. Схематическая диаграм-

ма состояния представлена в работе [400].

При взаимодействии родия с РЗМ характерно образование девяти типов химических соединений [330]: P3M<sub>4</sub>Rh — структурный тип Fe<sub>3</sub>C в системах с Sm и Nd; P3M<sub>3</sub>Rh — структурный тип Th<sub>7</sub>Fe<sub>3</sub> в системах с Се. La. Nd и структурный тип Fe<sub>3</sub>C в системах с Gd, Tb, Dy, Y, Er; РЗМ<sub>7</sub>Rh<sub>3</sub> — структурный тип Th<sub>7</sub>Fe<sub>3</sub> в системах с Sm, Gd, Tb, Y, Dy, Er; РЗМ<sub>5</sub>Rh<sub>3</sub> — структурный тип La<sub>5</sub>Rh<sub>3</sub> в системах Се, Sm, Gd и структурный тип Er<sub>5</sub>Rh<sub>3</sub> в системах с Sm, Gd, Y, Dy; РЗМ<sub>5</sub>Rh<sub>2</sub> — структурный тип Er<sub>3</sub>Rh<sub>2</sub> в системах с Gd, Тb, Y, Dy; РЗМ<sub>4</sub>Rh<sub>3</sub> — структурный тип Nd<sub>4</sub>Rh<sub>3</sub> и La<sub>5</sub>Rh<sub>4</sub> в системах с Се, Sm, Gd; РЗМRh — структурный тип CrB в системах с La, Nd и структурный тип CsCl в системах с Sm, Gd, Tb, Y, Sc, Dv, Er, Ho; P3MRh2—структурный тип MgCu2 во всех системах; РЗМRh<sub>3</sub> — структурный тип Си<sub>з</sub>Аи в системах с Се, Sc и структурный тип CeNi<sub>3</sub> в системах с Sm, Gd, Y, La, Nd.

Соединение	а, им	с, нм	Соединение	а, нм	С, нм
Tun	CaZn <sub>5</sub>		Tu	n Ce <sub>2</sub> Ni <sub>7</sub>	
			$La_2Rh_7$ ( $B_1$ )	0,5296	2,613
$GdRh_5$ (B)	0,5168	0,4306	Tu	n Gd <sub>2</sub> Co <sub>7</sub>	
$YRh_5$ (B)	0,5141	0,4294			
$DyRh_5$ (B)	0,5144	0,4294	$La_2Rh_7$ ( $B_2$ )	0,5333	3,946
TbRh <sub>b</sub> (B)	0,5134	0,4290	Τι	ın PuN <b>i</b> 3	
ErRh <sub>5</sub> (B)	0,5118	0,4292	LaRh <sub>3</sub> (B)	0,5326	2,646

Примечание. В, H — высоко- и низкотемпературные модификации соответственно.

соединения родия с рзм с орторомьнуеской решеткой

Соединение	<i>a</i> , HM	<i>b</i> , нм	с, нм	
	Tun La <sub>3</sub> F	Rh		
La₃Rh Nd₃Rh	1,501 1,466	1,050 1,038	1,334 1,313	
,	Tun C	rB		
LaRh CeRh PrRh NdRh	0,3986 0,3852 0,3905 0,3890	1,1144 1,0986 1,0910 1,0839	0,4245 0,4152 0,4210 0,4247	
	Tun F	, e <sub>3</sub> C		
Y <sub>3</sub> Rh Nd₄Rh Gd₃Rh Er₃Rh Sm₄Rh Tb₃Rh DyRh	0,7138 0,7258 0,7195 0,7075 0,7245 0,7156 0,7142	0,9438 0,9840 0,9540 0,9235 0,9675 0,9505 0,9397	0,6319 0,6431 0,6328 0,6218 0,6368 0,6308 0,6276	
	Tun Cd <sub>5</sub> Si <sub>4</sub> , opto	ромбическая		
Ce5Rh4 La5Rh4 Nd5Rh4	0,7434 0,7597 0,7396	1,486 1,509 1,481	0,7604 0,7735 0,7645	

Соединение	а, нм	<i>b</i> , нм	С, НМ
Nd <sub>5</sub> Rh <sub>4</sub> *	0,7443	1,482	0,7597
Sm <sub>5</sub> Rh <sub>4</sub> **	0,7335	1,467	0,7557
Sm₅Rh <mark>*</mark>	0,7380	1,463	0,7560
Gd₅Rh **	0,7343	1,453	0,7527

<sup>\*</sup> В литом состоянии. \*\* В отожженном состоянии.

Rh—B. Известно о существовании соединений  $Rh_2B$  с орторомбической структурой типа  $Ni_2Si$  (a=0,745, b=0,543, c=0,399 нм),  $RhB_1\sim 1$  с гексагональной структурой типа NiAs (a=0,330, c=0,422 нм) и  $Rh_7B_3$  с гексагональной структурой типа  $Th_3Fe_7$  (a=0,747, c=0,4777 им) [9]. Предложен вид диаграммы состояния на основании анализа данных работы [401] (рис. 5.105).

ных раобів [401] (рис. этол. Rh—Al. Установлено существование соединений RhAl,  $Rh_2Al_5$ ,  $Rh_2Al_9$ . Соединение RhAl имеет структуру типа CsCl, интервал гомогенности около 7 % (ат.), a=0,2968÷0,2980 нм.  $Rh_2Al_5$  имеет структуру типа  $Co_2Al_5$  (a=0,7889, c=0,7853 нм).  $Rh_2Al_9$  изоморфно  $Co_2Al_9$  (a=0,6352, b=0,6428, c=0,8721 нм, b=94°81′). Имеются сведения о наличии соединения  $Rh_3Al$ , существующего при температурах ниже 550 °C, а также о соединениях  $RhAl_{3+x}$  и  $RhAl_{2,6}$ . В системе наблюдается эвтектическое взаимодействие со стороны исходных компонентов при

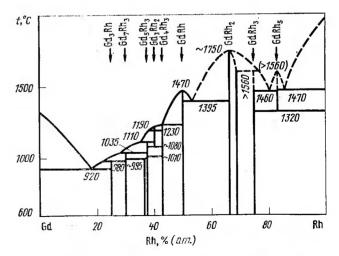


Рис. 5.103. Диаграмма состояния сплавов системы Rh-Gd

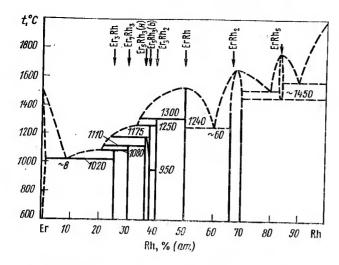


Рис. 5.104. Диаграмма состояния сплавов системы Rh--Er

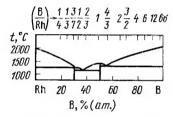


Рис. 5.105. Диаграмма состояния сплавов системы Rh—B

 $\sim$ 25 н 99,3 % (ат.) Al. Температура эвтектики со стороны алюминия 657,5 °C.

Rh—Ga, In. Известно о соединениях RhGa<sub>3</sub> (a=0,648, c=0,655 нм, c/a=1,01) и RhIп<sub>3</sub> (a=0,701, c=0,715 нм, c/a=1,02), изоморфных CoG<sub>3</sub>, а также о соединениях RhGa (a=0,301 нм) и RhIn (a=0,320 нм) со структурой CsCl [9].

Rh—Th. Методами металлографического, рентгеновского и дифференциально-термического анализов литых и отожженных образцов построена диаграмма состояння во всем интервале

концентраций (рис. 5.106). Систему исследовали в температурном интервале  $1000-1500\,^{\circ}$ С. Выше  $1500\,^{\circ}$ С фазовые границы не определены. Взаимная растворимость элементов менее  $1\,\%$  (ат.). В системе обнаружено семь соединений:  $Th_7Rh_3$ , ThRh,  $ThRh_3$ ,  $Th_3Rh_4$ ,  $Th_3Rh_5$ ,  $ThRh_2$ ,  $ThRh_5$ . Установленные параметры кристаллических решеток для:  $Th_7Rh_3$  (тип  $Th_7Fe_3$ ) a=1,0031, c=0,6287 нм; ThRh (тип CrB, ромбическая) a=0,3866, b=1,124, c=0,4220 нм.  $ThRh_2$  высокотемпературная модификация, структурный тип  $Ni_2Zn$ , a=0,4629, c=0,5849 нм. Для низкотемпературной модификации параметры не определяли. Для  $ThRh_3$  (тип  $Cu_3Au$ ) a=0,4148 нм.

Rh—U. Методами микроструктурного, рентгеновского и термического анализов построена диаграмма состояния во всем интервале концентраций [407] (рис. 5.107). Максимальная растворимость Rh в  $\gamma$ -,  $\beta$ -,  $\alpha$ -U достигает 8; 1,5; 0,2 % (ат.) соответственно. При 1393 °C в Rh растворяется  $\sim 3$  % (ат.) U. В системе обнаружено четыре интерметаллических соединения:  $U_4Rh_3$ ,  $U_3Rh_4$ ,  $U_3Rh_5$ ,  $URh_3$ . Установлены параметры структуры соединения  $URh_3$  ( $AuCu_3$ ), a=0,3992 hm.

Rh—Pu. В системе обнаружено семь соединений: PuRh<sub>3</sub>, PuRh, PuRh<sub>2</sub>, Pu<sub>3</sub>Rh<sub>4</sub>, Pu<sub>5</sub>Rh<sub>4</sub>, Pu<sub>5</sub>Rh<sub>3</sub>, Pu<sub>2</sub>Rh. Растворимость Rh в ε-Pu

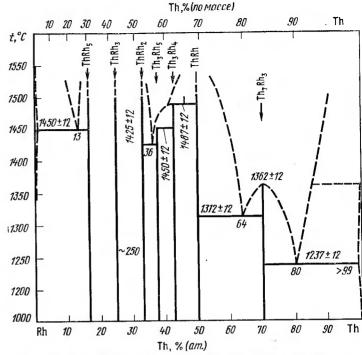


Рис. 5.106. Диаграмма состояния сплавов системы Rh-Th

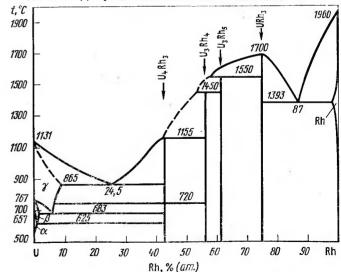


Рис. 5.107. Диаграмма состояния сплавов системы Rh-U

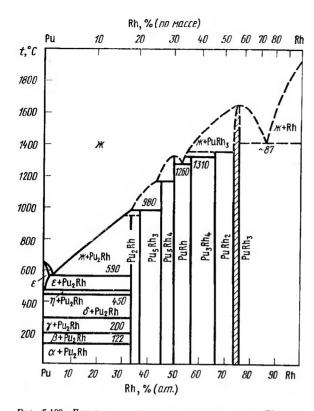


Рис. 5.108. Диаграмма состояния сплавов системы Rh-Pu

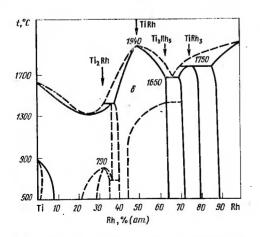


Рис. 5.109. Диаграмма состояния сплавов системы Rh-Tl

 $\sim 2~\%$  (ат.); растворимость Pu в t, °C Rh не превышает 2 % (ат.). Кристаллические структуры установлены для соединений PuRh<sub>2</sub> и PuRh<sub>3</sub>. PuRh<sub>2</sub> и имеет структуру типа MgCu<sub>2</sub>, a=0.7488 нм. PuRh<sub>3</sub> имеет структуру типа AuCu<sub>3</sub> и параметры его решетки меняются в области гомогенности от 0,4009 до 0,4040 нм (рис.5.108) [351]. Взаимодействие родия с элемен-

тами IV группы Rh—Ti. Методами металлографического, рентгеновского и диффузионно-термического анализов построена диаграмма состояния во всем интервале концентраций [408]. Предел растворимости Rh в α-Ti 2—3 % (ат.), в β-Ti 35—37 % (ат.). Максимальная растворимость Ti в Rh 14 % (ат.). По данным [409], взаимная растворимость элементов ниже. При 1280 °С растворимость Rh в β-Ti 25 % (ат.). при 600 °С растворимость

Рис. 5.110. Диаграмма состояния сплавов системы Rh—Zr

Rh в α-Ti 0,075 % (ат.). Растворимость Ti в Rh при 1730 °C~16 % (ат.). По данным различных работ, в системе существуют следующие соединения: Ti<sub>2</sub>Rh, Ti<sub>3</sub>Rh<sub>5</sub>, TiRh<sub>3</sub> и ряд структур в области, близкой к эк-

виатомному составу: TiRh, Ti<sub>3</sub>Rh<sub>5</sub>, TiRh<sub>3</sub>, TiRh<sub>3</sub>, TiRh<sub>5</sub>, 
Область гомогенности ТiRh при 1500 °C 40—63 % (ат.) Rh (по данным В. Еременко, Т. Штепы) и 42,5—55 % (ат.) Rh [409]. Тi<sub>2</sub>Rh имеет структуру типа  $Zr_2$ Cu (a=0,306, c=0,981 нм, c/a=3,21). Соединение  $Ti_3$ Rh<sub>5</sub> имеет структуру типа  $Ge_3$ Rh<sub>5</sub> (a=0,536, b=1,042, c=0,408 нм). Соединение TiRh<sub>3</sub> имеет область гомогенности ~7 % (ат.), структуру типа  $Cu_3$ Au, a=0,3822 нм.

Rh—Zr. Система построена методами металлографического, рентгеновского и дифференциально-термического анализов и измерения температуры начала плавления сплавов [402]. В системе обпаружено три соединения:  $Zr_2Rh$ , ZrRh,  $ZrRh_3$ . Фаза ZrRh претерпевает превращение в твердом состоянии, вероятнее всего полиморфное ( $\sim 380\,^{\circ}$ C).  $ZrRh_3$  имеет структуру типа  $Cu_3Au$  ( $a=0,3926\,$  нм), ZrRh имеет структуру типа CsCl ( $a=0,3260\,$  нм),  $Zr_2Rh$  имеет структуру типа  $CuAl_2$  (a=0,64937,  $c=0,56058\,$  нм, c/a=0,863, рис. 5.110).

Растворимость Rh в  $\beta$ -Zr при температуре эвтектики 11 % (ат.), в  $\alpha$ -Zr пезначительна [<1 % (ат.)]. Rh стабилизирует твердый раствор на основе  $\beta$ -Zr.

Rh—Hf. При изучении [9] сплавов системы рентгеновским методом обнаружено ряд соединений со структурами следующих типов:  $Hf_2Rh$  со структурой  $Ti_2Ni$  (a=1,23 нм);  $Hf_2Rh_3$  со структурой AuCu (a=-0.435, c=0.3451 нм);  $Hf_3Rh_5$  со структурой  $Ge_3Rh_5$  (a=0.558, b=1.073,

c=0,425 им); HfRh<sub>3</sub> со структурой Cu<sub>3</sub>Au (a=0,3912 нм).

В области эквиатомного состава, вероятно, существует широкая область твердых растворов на основе HfRh, претерпевающая полиморфное превращение мартенситного типа. В этой области установлены соединения со структурами следующих типов: HfRh со структурой ZrIr и HfRh; HfRh<sub>1+</sub> со структурой CsCl (a=0,3227 hm);  $Hf_{48}Rh_{52}$  со структурой CsCl (a=0,3248 hm);  $Hf_{46}Rh_{54}$  и  $Hf_{45}Rh_{55}$  с тетрагональной искаженной структурой типа CsCl (a=0,326, c=0,315 н a=0,312; c=0,341 нм соответственно);  $Hf_{42}Rh_{58}$  со структурой типа NbRu (a=0,4392, b=0,4306, c=0,3470 нм).

Rh—Si. Методом высокотемпературной металлографии установлена температура эвтектики со стороны Rh (1389 °C) [9, 332, 335]. Растворимость Si в Rh практически отсутствует. В системе установлены соединения  $Rh_2Si$ ,  $Rh_5Si_3$ ,  $Rh_3Si_2$ . По данным [332], существование модификаций RhSi сомнительно, так как получение образцов для исследований не исключало загрязнения их примесями внедрения. Пара-

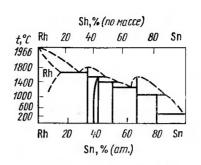
метры структур соединений приводятся в табл. 5.18.

Rh—Ge. По данным металлографического, рентгеновского и термического анализов частично построена диаграмма состояния системы [335]. В системе обнаружены соединения: Rh₃Ge₄, RhGe, Rh₅Ge₃, Rh₂Ge.

СОЕДИНЕНИЯ РОДИЯ С КРЕМНИЕМ, ГЕРМАНИЕМ, ОЛОВОМ, СВИНЦОМ

	1				
Соедине- ние	тип структу- ры	а, нм	<i>b</i> , нм	C, HM	c/a
Rh <sub>2</sub> Si Rh <sub>5</sub> Si <sub>2</sub> Rh <sub>3</sub> Si <sub>2</sub> Rh <sub>3</sub> Si <sub>2</sub> (B) RhSi (B) RhSi (H) Rh <sub>2</sub> Ge Rh <sub>5</sub> Ge <sub>3</sub> RhGe Rh <sub>3</sub> Ge <sub>4</sub> Rh <sub>2</sub> SII Rh <sub>3</sub> SII <sub>2</sub> RhSn <sub>2</sub> (H) Rh <sub>3</sub> Pb <sub>2</sub> RhSn <sub>2</sub> (H)	Pom6.  » Fekc. » MnP FeSi Rh <sub>2</sub> B Rh <sub>5</sub> Si <sub>3</sub> MnP Tetp. CoSi <sub>2</sub> NiAs FeSi CuAl Tetp. CoGe <sub>2</sub> NiAs CoSn Optopom6. CuAl <sub>2</sub>	0,541 0,531 1,185 0,394 0,636 0,4675 0,542 0,570 0,57 0,820 0,4338-0,4340 0,5131 0,6412 0,6380 0,6332 0,433 0,5678 0,984 0,6674	0,393 1,012 — 0,553 — 0,757 1,032 0,648 — 0,552 — — 0,6332 — 0,571	0,738 0,390 0,362 0,5047 0,306 	1,278-1,279
	j į		i		

Примечание. В и Н — высоко- и низкотемпературная модификация соответственно.



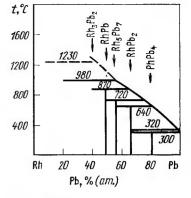


Рис. 5.111. Диаграмма состояния сплавов системы Rh—Sn

Рис. 5.112. Диаграмма состояния сплавов системы Rb—Pb

Взаимная растворимость компонентов незначительна. Параметры указанных соединений приведены в табл. 5.18. Указывалось на существование электронного соединеня  $Rh_{17}Ge_{22}$  с тетрагональной решеткой (a=0.5604, c=7.845 hm).

*Rh—Sn.* Построена схема диаграммы состояния (рис. 5.111) [335]. В системе наблюдается образование области твердых растворов на основе Rh. Установленные параметры кристаллических структур соединений приводятся в табл. 5.18. Пределы гомогенности соединения

Rh<sub>3</sub>Sn<sub>2</sub> ориентировочно оценены 37,5—40,5 % (ат.) Sn.

Rh—Pb. Методами рентгеновского микроструктурного и термического анализов частично построена диаграмма состояния (рис. 5.112) [411]. В системе обнаружены пять соединений: Rh₃Pb₂, RhPb, Rh₅Pb⁻, RhPb₂, RhPb₄. Параметры изученных соединений представлены в табл. 5.18.

При 320°С кристаллизуется вырожденная эвтектика RhPb₂+Pb. Соединение RhPb₄ образуется при 300°С по перитектоидной реакции.

Взаимодействие родия с элементами V группы

Rh-V. Методами микроскопического, термического, рентгеновского и микрорентгеноспектрального анализов построена диаграмма состояния во всем интервале концентраций (рис. 5.113) [412]. Растворимость V в  $\gamma$ -фазе простирается до  $\sim 19$  % (ат.) и мало зависит от температуры. В системе обнаружены: фаза  $\beta$ -V $_3$ Rh в области  $\sim 25-35$  % (ат.) Rh (a=0,4788 нм);  $\alpha_3$ -VRh, имеющая орторомбическую решетку, при 50 % (ат.) Rh (a=0,578, b=0,665, c=0,278 нм);  $\alpha_2$ -(V $_0$ ,88Rh $_0$ ,12) Rh c=0,3599 нм, а при 60 % (ат.) Rh a=0,3895, c=0,3599 нм, а при 60 % (ат.) Rh a=0,3895, c=0,3599 нм. c-(V $_0$ ,75Rh $_0$ ,25) или V $_3$ Rh $_5$  имеет орторомбическую решетку при 62,5 % (ат.) Rh (a=0,5420, b=0,9276, c=0,4320 нм).  $\gamma$ -VRh $_3$  при 70 % (ат.) Rh имеет a=0,3787 нм;  $\gamma$ -фаза при 82 % (ат.) Rh a=0,3789 нм.

Rh—Nb. Методами рентгеновского, металлографического и термического анализов построена диаграмма состояния во всем интервале

концентраций (рис. 5.114) [9, 332].

Растворимость Nb в Rh при 1900 °C 16,5 %, при 1300 °C 13 %. Растворимость Rh в Nb 27 % при 1660 °C, 15 % при 1300 °C, 13 % при 1000 °C. В системе обнаружено образование девяти промежуточных фаз. Соединение NbRh<sub>3</sub> образуется при 1950 °C и 28 % Nb, интервал

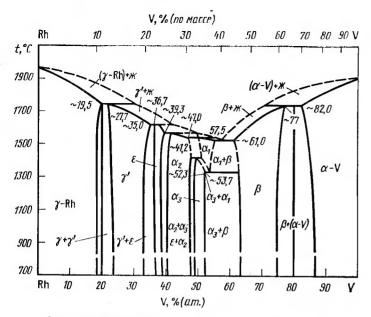


Рис. 5.113. Днаграмма состояния сплавов системы Rh-V

его существования 21—28 % Nb. Фаза  $\alpha_6$ -Nb (Rh<sub>0,9</sub>Nb<sub>0,1</sub>) $_3$  образуется по перитектической реакции при  $\sim\!1900\,^\circ\text{C}$  и  $\sim\!31\,^\circ\!\!\!$  Nb, интервал гомогенности  $\sim\!3\,^\circ\!\!\!$ .

Фаза  $\alpha_5$ - (Nb<sub>0,75</sub>Rh<sub>0,25</sub>) Rh образуется по перитектической реакции при 1625 °C и 36,5 % Nb, при 1200 °C интервал его гомогенности  $\sim 5$  %. Фаза  $\alpha_4$ - (Nb<sub>0,85</sub>Rb<sub>0,19</sub>) Rh образуется по перитектической реакции при 1600 °C и 38 % Nb и распадается эвтектоидно при 1335 °C и 42,5 % Nb. Интервал гомогенности ее при 1450 °C  $\sim 3$  %. Соединение  $\alpha_3$ - (Nb<sub>0,9</sub>Rh<sub>0,1</sub>) Rh образуется по перитектической реакции при > 1400 °C и 45,5 % Nb, область гомогенности мала.

Фаза α<sub>1</sub>-(NbRh) образуется по перитектической реакции при 1580 °C и 42,5 % Nb и распадается эвтектоидно при 1335 °C и 50,5 % Nb, структура не расшифрована.

о-фаза образуется по перитектической реакции при 1660 °C н 70 % Nb, область гомогенности ~11 %. Nb₃Rh образуется при 1220 °C и 25 % Nb. Известные параметры решеток соединений приведены в табл. 5.19.

Rh—Ta. Методами рентгеновского, металлографического и термического анализов построена диаграмма состояния во всем интервале концентраций. Максимальная растворимость в Rh 17,5% Ta, в Ta 16% Rh. В системе обнаружено существование ряда промежуточных фаз:  $TaRh_s$ ,  $\alpha_1$ -,  $\alpha_2$ -,  $\alpha_3$ - и  $\sigma$ -фазы образуются при 1860, 1890, 1840 и 2110 °C соответственно. Интервал гомогенности  $\sigma$ -фазы  $\sim$ 20% при 1740 °C (рис. 5.115). Параметры решеток соединений приведены в табл. 5.19.

Rh—P [9, 332]. Известно о существовании эвтектики при 25 % Р и  $\sim$ 1300 °C. Изученные соединения в системе Rh—P и параметры их структуры приведены в табл. 5.20.

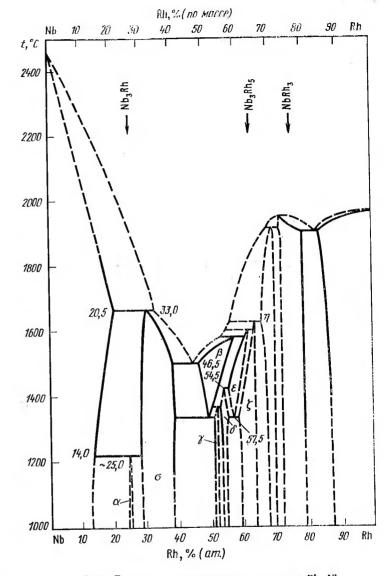


Рис. 5.114. Диаграмма состояния сплавов системы Rh-Nb

*Rh—As.* Методом рентгенографического анализа установлено существование пяти промежуточных фаз, параметры которых приведены в табл. 5.20. Температура полиморфного перехода соединения Rh₂As 650—700 °C [9].

		П	араметры	решетки, нм	
Соединение	Тип структуры	а	b	с	β
Rh <sub>2</sub> P	Антифлюорит	0,5498	-		_
$Rh_4P_3$	NiAl <sub>3</sub>	1,1662	0,3317	0,9994	
$RhP_2$	Монокл.	0,5742	0,5794	0,5837	112° 91′
$RhP_3$	CoAs <sub>2</sub>	0,996			_
Rh <sub>2</sub> As	Антифлюорит	0,5678		_	
Rh <sub>2</sub> As(B)	PbCl <sub>2</sub>	0,589	0,389	0.732	
Rh <sub>1,6-1,3</sub> As	Гекс.	0.932—	·—	0.367-	
1,0 1,0		0.915		0.357	
RhAs	MnP	0.565	0.358	0,600	
RhAs	RhP <sub>2</sub>	0.6041	0,6082	0.6126	114° 20′
RhAs <sub>3</sub>	CoAs <sub>3</sub>	0,8453			
RhSb	MnP	0,6333	0.5952	0.3876	
RhSb <sub>2</sub>	Монокл.	0,6604	0.6557	0,6668	116° 38 <b>′</b>
RhSb <sub>3</sub>	CoAs <sub>3</sub>	0,9229		_	
RhBi	NiAs	0.40740—		0.56722-	
(48-50,6% Rh)	111110	0,40953		0,56658	
RhBi <sub>4</sub>	О. ц. к.	1,4927		0,00000	
*/******	О. ц. п.	1,4021		_	
		ļ			

Rh—Sb. Методами металлографического, рентгеновского и термического анализов была исследована часть диаграммы от 50 до 100 % Rh. Диаграмма, представленная на рис. 5.116, составлена на основании двух работ [332]. Растворимость Sb в Rh 8 % при 1150 °C. Период решетки твердого раствора Rh возрастает от 0,3804 до 0,3852 нм при 8 % Sb. Установлено существование соединений Rh₂Sb, Rh₃Sb₂(γ), RhSb, RhSb₂, RhSb₃. Соединение Rh₂Sb имеет область гомогенности 37—39 % Sb. γ-фаза существует в высокотемпературной области, вблизи 1000 °C она распадается по эвтектоидной реакции. Установленные параметры решеток соединений приводятся в табл. 5.20.

Rh—Bi. Методами металлографического, высоко- и низкотемпературного рентгеновского, термического анализов построена часть диаграммы состояния, богатая Вi (рис. 5.117) [332]. Взаимная растворимость элементов незначительна. Со стороны Вi наблюдается эвтектика. В системе существуют три соединения Вi₄Rh, Bi₂Rh, Bi₂Rh. Соединение Вi₂Rh существует в двух модификациях с температурой превращения 425 °C, область гомогенности его менее 1 %. Соединение BiRh имеет интервал гомогенности 48,0—50,6 % Rh [332].

Указывается на существование метастабильных соединений RhBi<sub>3</sub> (β-RhBi<sub>4</sub>) и γ-RhBi<sub>4</sub>, однако существование γ-RhBi<sub>4</sub> не подтверждается. Параметры изученных соединений приводятся в табл. 5.20.

Взаимодействие родия с элементами VI группы

Rh—Cr. Методами рентгеновского, металлографического и термического анализов построена диаграмма состояния во всем интервале концептраций (рис. 5.118) [9, 332]. На основе исходных компонентов существуют широкие области твердых растворов ( $\sim$ 20%). Установлено существование двух промежуточных фаз  $CrRh_3$  и  $Cr_3Rh$ .  $CrRh_3$  имеет структуру типа  $Cu_3Au$  (a=0.3786 нм);  $Cr_3Rh$  имеет структуру типа

44	соединения родия с ниобием и танталом	говием и танта	лом		_
Соепинение % (эт.)	Tyra Opposition		Парамет	Параметры решетки, им	
(111) 0/ (111)	Inti Cipykiyba	a	p	3	β или с/а
NbRh <sub>3</sub> (25,5—22,8)	Cu <sub>3</sub> Au	0,3857-0,3844			
$\alpha_{6}\text{-Nb} \ (\mathrm{Rh}_{0,9}\mathrm{Nb}_{0,1})_{3}$	VCos	0,5483	1	1,3405	1
$\alpha_{\rm 5^{\circ}}({\rm Nb_{0,75}Rh_{0,25}})$ Rh (37,7 % Nb)	Монокл. типа искажен- ной структуры Sm	0,2806	0,4772	2,025	90°31,5′
$lpha_5 ext{-}(\mathrm{Nb}_3\mathrm{Rh}_5)$	Монокл. упорядоченная	0,5612	0,9544	2,025	90°31,5′
$\alpha_{4}$ -(Nb <sub>0,85</sub> Rh <sub>0,15</sub> ) Rh (41,2 % Nb)	AuCd	0,2813	0,4808	0,4510	1
$\alpha_3$ -(Nb <sub>0,9</sub> Rh <sub>0,1</sub> ) Rh (44,1 % Nb)	Орторомб.	0,2827	0,4770	1,3587	ł
$\alpha_{2}$ (Nb <sub>0,96</sub> Rh <sub>0,04</sub> ) Rh (48,7 % Nb)	AuCu rerp.	0,4019	I	0,3809	ı
σ-фаза	β-U	0,9869-0,9810	I	0,5106—0,5068 0,517—0,516	0,517-0,516
$Nb_3Rh$	Cr <sub>3</sub> Si	0,5120	I	I	i
TaRh <sub>s</sub> (25—30 % Ta)	Cu <sub>3</sub> Au	0,3860-0,3884	1	I	I
α <sub>2</sub> -TaRh <sub>2</sub> (33,5 % Ta)	Opropom6. CoSi2	0,8179	0,5453	0,4027	1
$\alpha_1$ -(Ta <sub>0,79</sub> Rh <sub>0,21</sub> ) (39,5 % Ta)	Орторомб.	0,2822	0,4742	1,3551	t
σ-фаза (75→65 % Та)	g-n	0,9904-0,9822	1	0,5160-0,5102	1

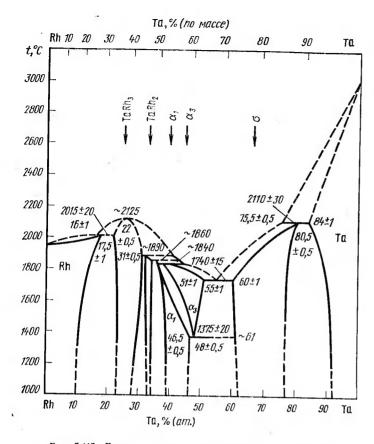


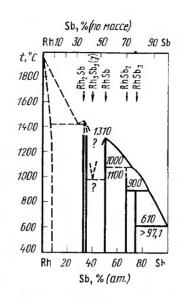
Рис. 5.115. Диаграмма состояния сплавов системы Rh-Та

Сг $_3$ Si. Предполагают существование гексагональной  $\epsilon$ -фазы при 24—60 % Сг и 900 °C при 50—65 % Сг и 1200 °C.

Rh—Мо. Методами металлографического и рентгеновского анализов построена диаграмма состояния во всем интервале концентраций [9]. Максимальная растворимость Мо в Rh ~15 %, а Rh в Мо ~20 %. В системе обнаружена одна промежуточная є-фаза (рис. 5.119).

Область гомогенности є-фазы ~18—55 % Мо. Кристаллическая структура є-фазы напоминает структуру твердых растворов на основе Ru и Оs. При 55 % Мо а=0,2757, с=0,4426 нм. С уменьшением содержания Мо параметры решетки є-фазы уменьшаются. Имеется указание об образовании при 950—1200 °С упорядоченной МоRh фазы с ромбической решеткой типа MgCo [9].

Rh—W. Методами рентгеновского, металлографического, пирометрического и микрорентгеноспектрального анализов построена диаграмма состояния во всем интервале концентраций (рис. 5.120). Максимальная растворимость W в Rh ∼19 % (ат.), Rh в W ∼6 % (ат.). Промежуточная ε-фаза имеет интервал гомогениости 19—53 % W при



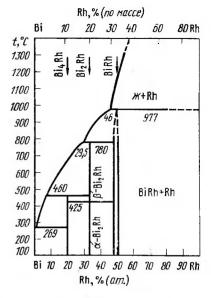
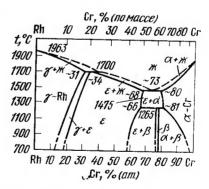


Рис. 5.116. Диаграмма состояния сплавов системы Rh—Sb

Рис. 5.117. Диаграмма состояння сплавов системы Rh—Bi





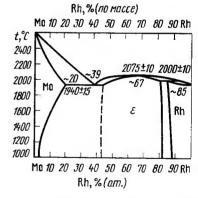


Рис 5.119. Диаграмма состояния сплавов системы Rh—Mo

2200 °C, структура гексагональная (a=0,2708, c=0,4328 нм, c/a=1,598) при 19,2 % W. В интервале гомогенности  $\varepsilon$ -фазы при температуре более 1200 °C установлена упорядоченная фаза WRh<sub>3</sub> с решеткой типа MgCo [9].

Rh—S. Известно о существовании сульфидов родия  $Rh_{17}S_{15}$  (рансе обозначавшееся  $Rh_9S_8$ ) изоструктурного  $Pd_{17}Se_{15}$  с a=0,99103 нм;  $Rh_3S_4$ ,  $Rh_2S_3$ ,  $Rh_2S_5$ , а согласно более поздним исследованиям и  $RhS_{\sim 3}$ 

с недостатком атомов родия имеют решетку типа пирита (FeS<sub>2</sub>) и a=0.558 нм [9].

Rh—Se. Методами термического и рентгеновского анализов построена диаграмма состояния в интервале концеитраций 40—80 % Se [413]. Растворимость Se в Rh отсутствует вплоть до 975 °C. В системе существуют 11 промежуточных фаз:  $\beta$ -RhSe<sub>1,29</sub> (a=0,3650, c=0,5530 нм) тип NiAs;  $\alpha$ -RhSe<sub>1,32</sub> (a=0,3664, c=0,5504 им) тип NiAs;  $\alpha$ -RhSe<sub>1,34</sub> (a=0,3648, c=0,5493 нм) тип B8<sub>1</sub>. Соединения RhSe<sub>2+x</sub> (при x=0,01 a=0,6012 им, при x=0,67 a=0,5957 нм) и RhSe<sub>2,67</sub> (a=0,5964 нм,

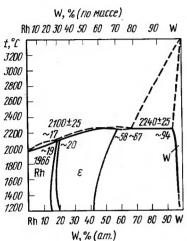


Рис. 5.120. Диаграмма состояния сплавов системы Rh—W

 $\alpha$ =90°46′) имеют дефектную решетку пирита.  $\alpha$ -RhSe<sub>1,95</sub> (a=2,0925, b=0,5950, c=0,3707 нм) изоморфно IrSe<sub>2</sub>. Структуры RhSe<sub>1+0,1</sub>,  $\beta$ -RhSe<sub>1,9</sub>,  $\alpha$ - и  $\beta$ -RhSe<sub>1,5</sub>, RhSe<sub>1,9</sub> не определены (рис. 5.121) [9].

Rh—Те. Известио о существовании соединений RhTe с решеткой типа NiAs (a=0,399, c=0,566 нм), RhTe₂ (высокотемпературная модификация, закалка с 1200 °C) с решеткой типа CdI₂ (a=0,392, c=0,541 нм), RhTe₂ (иизкотемпературная модификация, полученная при 900 °C) со структурой кубического пирита (a=0,6441 им). Взаимодействие родия с элементами

VII еруппы Rh—Mn. Методами рентгеновского, термического и металлографического анализов построена часть диаграммы состояния со стороны Mn [335] (рис. 5.122), ранее ориентировочно построенной методами металлогра-

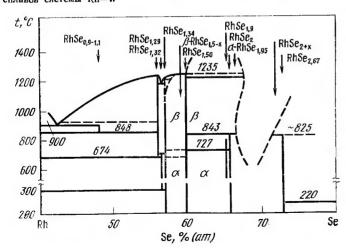


Рис. 5.121. Диаграмма состояния сплавов системы Rh-Se

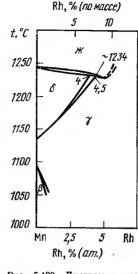


Рис. 5.122. Диаграмма состояния сплавов системы Rh—Mn

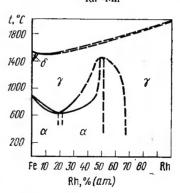


Рис. 5.124. Диаграмма состояния сплавов системы Rh—Fe

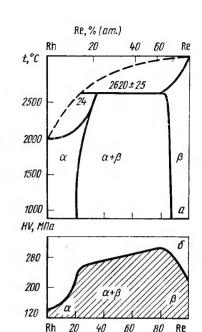


Рис. 5.123. Диаграмма состояния (а) сплавов и диаграммы состав—свойства (б, в) системы Rh—Re

Re, % (am.)

20

Re

10

Re, % (no macce)

фии и ренттеновским. Видна широкая область твердых растворов на основе Мп. Предельная растворимость Rh в Мп  $\sim 4$  %. Растворимость Мп в Rh 33, 18 и 14 % при 1300, 1000 и 800 °C соответственно. Вблизи состава Мп $_3$ Rh ниже 900 °C структура  $\gamma$ -Мп становится упорядоченной типа Cu $_2$ Au.  $\beta$ -фаза существует в интервале 35—55 % Rh, имеет решетку типа CsCl (a=0,3051 нм при 50 % Rh). Сплав в области  $\beta$ -фазы претерпевает полиморфное превращение мартенситного типа. В интервале температур 200—500 °C при 51,2 % Мп сплав имеет низкотемпературную модификацию с тетрагональной решеткой типа CuAl (a  $\approx$  0,278, c  $\approx$  0,356 нм) [9].

Q,HM

0,38

037

0.36

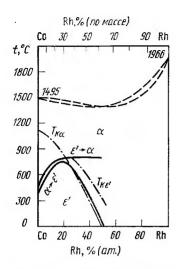


Рис. 5.125. Днаграмма состояния сплавов системы Rh—Co

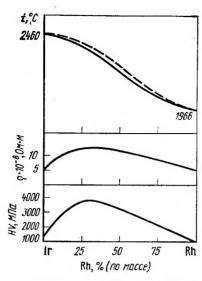


Рис. 5.127. Диаграмма состояния и диаграммы состав — свойство сплавов системы Rh—1r

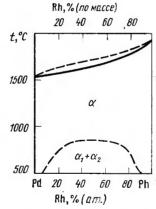


Рис. 5.128. Диаграмма состояния сплавов системы Rh-Pd

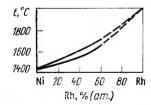


Рис. 5.126. Диаграмма состояния сплавов системы Rh—Ni

*Rh—Тс.* Рентгеновское исследование сплавов показало, что растворимость Rh в Тс до 70 % при 1050—1500 °С. Растворимость Тс в Rh 4,5 % при 1500 °С. Промежуточных фаз не обнаружено [9, 332].

Rh—Re. Методами микроскопического и рентгеновского анализов, измерением температур плавления и твердости фаз построена диаграмма состояния во всем интервале концентраций (рис. 5.123) [9]. Растворимость Re в Rh при 1000 °C ~12 % (ат.). Растворимость Rh в Re ~24 % (ат.). Промежуточных фаз не обнаружено.

Взаимодействие родия с элементами VIII группы

Rh—Fe. Ориентировочная диаграмма состояния построена методами рентгеновского анализа и съемкой спектров Мессбауэра закаленных из жидкого состояния сплавов с 27,5—60 % Rh (рис. 5.124) [9, 332, 414].

Установлен низкотемпературный фазовый переход в сплавах с 48-52 % Rh. Соединение FeRh выше и ниже температуры магнитного превращения (80 K) имеет структуру CsCl, которая переходит в г. ц. к. решетку  $\gamma$ -твердого раствора при  $\sim 1300$  °C. Период решетки фазы  $\alpha_1$ - (FeRh) a=0.2987 нм [9, 332].

Rh—Со. Измерение периодов решетки и микроскопические исследования показали, что α-Со и Rh образуют непрерывные ряды твердых растворов. Изучение микроструктуры сплавов до 50,5 % Rh обнаруживает α→ε′ полиморфное превращение (рис. 5.125) [404]. Температуры ликвидуса и солидуса показаны гипотетически, приведены температуры Кюри для фаз α и ε′, а также кривые начала бездиффузионных превращений ε′→α и α→ε′ соответственно при нагреве и охлаждении.

Кривые получены методами магнитного и дилатометрического анализов. *Rh—Ni*. Диаграмма состояния характеризуется непрерывными рядами твердых растворов (рис. 5.126). Сплавы, закаленные из жидкого состояния, дают непрерывную кривую параметров решетки с небольшим отклонением от закона Вегарда. В сплавах, гомогенизированных при 500—1200 °C, упорядочения не обнаружено [9].

Rh—Ir. В системе наблюдается образование непрерывного ряда твердых растворов. Диаграмма построена методами микроструктурного и рентгеновского анализов, измерением температуры плавления сплавов и построением диаграмм состав — свойство Н. Л. Кореновским с соавторами. Общий вид диаграммы состояния и диаграмм состав — свойство представлен на рис. 5.127.

Rh—Pd. Сплавы кристаллизуются с образованием непрерывных рядов твердых растворов. В системе существует широкая область разрыва растворимости в твердом состоянии. Температура начала распада 854 °C. Граница двухфазной области рассчитана по измерению параметров решетки сплавов Rh—Pd [351] (рис. 5.128).

Rh—Pt. Образуют при кристаллизации непрерывные ряды твердых растворов. При температуре ниже 600 °С наблюдается распад твердых растворов с образованием широкой двухфазной области [9].

#### 5.6. Двойные диаграммы состояния иридия

Взаимодействие иридия с элементами І группы

Данных о взаимодействии иридия со щелочными металлами нет.

Ir—Cu. Диаграмма состояния системы построена методами термического, микроструктурного и рентгеноструктурного анализов. Она представляет собой простую диаграмму перитектического типа без промежуточных фаз (рис. 5.129). Растворимость Си при температуре перитектики 1138 °C составляет  $\sim 3$  % (ат.), при 700 °C  $\sim 2$  % (ат.). Отмечается увеличение растворимости Си в Іг при температурах выше 1138 °C. Растворимость Іг в Си при температуре перитектики  $\sim 8$  % (ат.); при 700 °C 3 % (ат.) [415].

*Ir—Au, Ag.* Системы были рассмотрены ранее. Характеризуются образованием широких областей несмешиваемости в жидком состоя-

нии [9]

Взаимодействие иридия с элементами II группы

Ir—Be. Имеются данные о существовании в системе двух соединений  $Be_2Ir$  и  $Be_xIr$ , которые аналогичны соединениям  $Be_2Rh$  и  $Be_66Rh$ . Со-

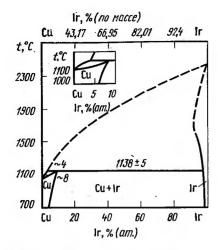


Рис. 5.129. Диаграмма состояния сплавов системы Ir-Cu

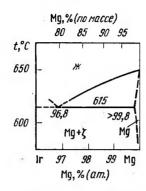


Рис. 5.130. Диаграмма состояния сплавов системы Іг-

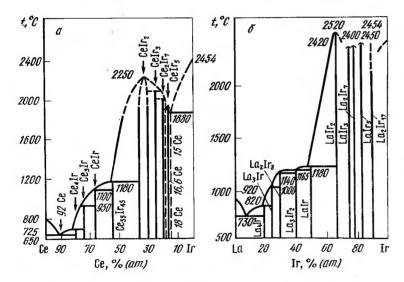


Рис. 5.131. Диаграмма состояния сплавов системы Іг-Се (а), Іг-La (б)

единение  $Be_x$ Ir обладает структурой с периодами решетки a=0.4197,

c=1,0842 HM [9, 335, 404].

Ir-Mg. Часть системы в интервале концентраций 72-100 % (ат.) [25-100 % (по массе)] Му исследована методами металлографического, рентгеновского и термического анализов. Максимальная растворимость Іг в Мд не превышает 0,18 % (ат.). Эвтектика со стороны Мд

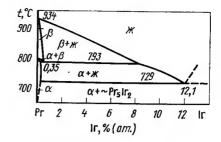


Рис. 5.132. Диаграмма состояния сплавов системы Іг-Рг

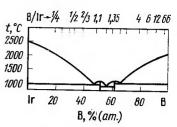


Рис. 5.133. Диаграмма состояния сплавов системы Ir-B

наблюдается при температуре 615 °C, эвтектическая точка 96,8 % (ат.) Мд. В системе установлено существование двух промежуточных фаз: ε (Mg<sub>6</sub>Ir) и Mg<sub>3</sub>Ir и предполагается существование фазы Mg<sub>4</sub>Ir. Кристаллическая структура соединения Mg6Ir г. ц. к., аналогичная структуре Mg<sub>6</sub>Pd, a=2,01 нм при 87,9 % (ат.) Mg и a=2,12 нм при 88,8 % (ат.) Мg. Соединение Mg<sub>3</sub>Ir имеет гексагональную структуру типа Na<sub>3</sub>As, a=0,4549, c=0,8229 нм (рис. 5.130).

Ir—Ca. Данные о положении фазовых областей в системе нет. Известно о существовании соединения СаІг2 типа Лавес-фазы со структу-

рой MgCu<sub>2</sub>, a=0.7545 нм [9, 335, 404].

Ir—Sr. Металлографические и рентгенографические исследования иридиевой части диаграммы состояния системы Ir-Sr показали, что до соединения SrIr<sub>2</sub> существует, вероятно, еще не менее двух промежуточных фаз. Соединение SrIr<sub>2</sub> плавится конгруэнтно и обладает кристаллической структурой Лавес-фазы типа  $MgCu_2$ , a=0.7849 нм. При температуре ~1350 °C возможно по перитектической реакции образуется промежуточная фаза, близкая по составу SrIr<sub>3</sub> с г. ц. к. структурой. Соединение SrIr, не обнаружено.

Ir-Hg, Zn, Cd. Амальгамы для исследования получены растворением иридиевой жести в жидкой ртути. На основании измерения давления пара и рентгенографического анализа сделан вывод, что растворимость Іг в Нд иичтожна, соединений в системе не обнаружено. Цанных о вза-

имодействии Ir с Zn и Cd нет [9, 335, 404]. Взаимодействие иридия с элементами III группы

Ir—Sc, Y, РЗМ. Известны диаграммы состояния Ir—La [417] и Ir—Ce [9], которые, очевидно, являются типичными для систем Ir с элементами этой подгруппы. Эти системы характеризуются наличием большого числа промежуточных фаз (7-9) и малой взаимной растворимостью компонентов. На рис. 5.131 приведены диаграммы состояния Ir с Се и La, построенные на основании микроструктурного, микроренттеноспектрального, ренттеновского и термического анализов. Имеется указание [418], что Іг снижает температуру полиморфного

превращения Рг (рис. 5.132). Кристаллическая структура известных промежуточных фаз с элементами III А-подгруппы приведена в

табл. 5.21 [9, 406, 419-421].

Ir-B. Сплавы системы сложно получать, поэтому по даиной системе имеются весьма ограниченные данные. Растворимость В в Ir в твердом состоянии очень мала. Со стороны Ir наблюдается эвтектическое взаимодействие при температуре 1046°C. По данным различных авторов, в системе обнаружены следующие бориды: IrB<sub>0,9</sub>, IrB<sub>1,1</sub>, IrB<sub>2</sub> и IrB<sub>1,35</sub>. Борид IrB<sub>0,9</sub> существует в двух модификациях. Высокотемпе-

ТАБЛИЦА 5.21 КРИСТАЛЛИЧЕСКАЯ СТРУКТУРА ПРОМЕЖУТОЧНЫХ ФАЗ В СИСТЕМАХ ИРИДИЯ С А-ЭЛЕМЕНТАМИ

Соединение	Тип структуры	Периоды решетки, нм
CeIr <sub>5</sub> Ce <sub>2</sub> Ir <sub>7</sub> CeIr <sub>3</sub> ScIr <sub>2</sub> YIr <sub>2</sub> LaIr <sub>2</sub>	CaAu <sub>5</sub> GdCo <sub>7</sub> CeNi <sub>3</sub> MgCu <sub>2</sub> MgCu <sub>2</sub> MgCu <sub>2</sub>	a=0,7510 a=0,5284, c=3,887 a=0,5288, c=1,747 a=0,7348 a=0,75-0,752 a=0,7686
CeIr <sub>2</sub> PrIr <sub>2</sub> NdIr <sub>2</sub> SmIr <sub>2</sub> EuIr <sub>2</sub> GdIr <sub>2</sub>	MgCu <sub>2</sub> MgCu <sub>2</sub> MgCu <sub>2</sub> MgCu <sub>2</sub> MgCu <sub>2</sub> MgCu <sub>2</sub>	a=0.7571 a=0.7621 a=0.7605 a=0.7566 a=0.7550
TbIr <sub>2</sub> DyIr <sub>2</sub> HoIr <sub>2</sub> ErIr <sub>2</sub> TmIr <sub>2</sub> YbIr <sub>2</sub>	MgCu <sub>2</sub> MgCu <sub>2</sub> MgCu <sub>2</sub> MgCu <sub>2</sub> MgCu <sub>2</sub> MgCu <sub>2</sub>	a=0.7532 $a=0.7517$ $a=0.7490$ $a=0.7473$ $a=0.7460$ $a=0.7477$
LuIr <sub>2</sub> ScIr CeIr HoIr ErIr TmIr	MgCu <sub>2</sub> CsCl CsCl CsCl CsCl CsCl	a=0.7462 $a=0.3206$ $a=0.3383$ $a=0.3369$ $a=0.3352$
LuIr Ce5Ir4 PrIr2 NdIr2	CsCl Орторомб. Ce <sub>5</sub> Rh <sub>4</sub> Mn <sub>5</sub> C <sub>2</sub>	$ \begin{vmatrix} a = 0.3332 \\ a = 0.7420, & b = 1.483, & c = 0.7640 \\ a = 1.6538, & b = 0.6610, & c = 0.7329, \\ \beta = 96.67^{\circ} \\ a = 1.6413, & b = 0.6584, & c = 0.7309, \end{vmatrix} $
SmIr <sub>2</sub>	Mn <sub>5</sub> C <sub>2</sub>	$\beta = 96,71^{\circ}$ a = 1,6144, b = 0,6522, c = 0,7264, $\beta = 96,70^{\circ}$
$\operatorname{GdIr}_2$ $\operatorname{TbIr}_2$	Mn <sub>5</sub> C <sub>2</sub> Mn <sub>5</sub> C <sub>2</sub>	$a=1,5956, b=0,6493, c=0,7249, \beta=96,91^{\circ}$ a=1,5749, b=0,6462, c=0,7208,
$DyIr_2$	Mn <sub>5</sub> C <sub>2</sub>	$\beta = 96,73^{\circ}$ a = 1,5676, b = 0,6442, c = 0,7196,
$Ho_5Ir_2$	Mn <sub>5</sub> C <sub>2</sub>	$\beta = 96,89^{\circ}$ a = 1,5497, b = 0,6399, c = 0,7169, $\beta = 96,74^{\circ}$
Er <sub>5</sub> Ir <sub>2</sub>	$M\pi_5C_2$	$\begin{array}{c} \beta = 90,74 \\ a = 1,5405, \ b = 0,6382, \ c = 0,7165, \\ \beta = 96,89^{\circ} \end{array}$
$Tm_5Ir_2$	Mn <sub>5</sub> C <sub>2</sub>	$\begin{cases} a = 1,5263, b = 0,6345, c = 0,7141, \\ \beta = 97,01^{\circ} \end{cases}$
Lu <sub>5</sub> Ir <sub>2</sub>	Mn <sub>5</sub> C <sub>2</sub>	$a=1,5062, b=0,6279, c=0,7073, \beta=96,94^{\circ}$

Соединение	Тип структуры	Периоды решетки, нм
Y <sub>5</sub> Ir <sub>2</sub>	Mn <sub>5</sub> C <sub>2</sub>	$a=1,5698, b=0,6481, c=0,7245, \beta=96,64°$
Y <sub>3</sub> Ir TiIr <sub>3</sub> TiIr (B) [35 % (at.) Ir]	Fe₃C Cu₃Au CsCl	a=0,7237, b=0,9297, c=0,6400, a=0,385  a=0,3125
TiIr (H) [30 % (at.) Ir]	AuCu	a=0,390, c=0,378
Tilr [45 % (ar.) Ir] Tilr [55 % (ar.) Ir] Tilr (H)	АиСи АиСи Псевдотетр, монокл. Гранецентр, орто- ромб. Тетрагон, искаж.	a=0,409, c=0,351 a=0,420, c=0,339 a=0,2990, b=0,2883, c=0,3525, $\beta=90^{\circ}52'$ a=0,4174, b=0,4107, c=0,3460 a=0,3446, c=0,2925
ZrIrs ZrIr2 ZrIr3 Zr2Ir Zr3Ir Zr3Ir	CsCl Cu <sub>3</sub> Au MgCu <sub>2</sub> — Zr <sub>2</sub> Rh σ-φasa (β-U) NbRu	a=0,3943 a=0,7346 a=0,8025, $c=0,5488$ , $c/a=0,684a=1,078$ , $c=0,5618$
ZrIr HfIr <sub>3</sub> HfIr HfIr [35 % (at.) Ir] Hf <sub>5</sub> Ir <sub>3</sub> (Hf <sub>5</sub> Ir <sub>2</sub> )	ZrIr Cu₃Au ZrIr	$a=0,3926 \div 0,3935$ $a=0,4740, b=0,468, c=0,3045$ $a=0,7863, c=1,689$ $a=0,4943, c=0,5454$
Hf <sub>2</sub> Ir [36,5—40,5 % (ar.) Ir] VIr <sub>s</sub> V <sub>1-z</sub> Ir <sub>z</sub> [40,5—48 (ar.) V] VIr 50 % (ar.) V]	Ti₂Ni Cu₃Au CuAu Орторомб. Тетранскаж. CsCi	a=1,232 $a=0,3807 \div 0,3812$ a=0,3856 - 3887, $c=0,317 - 0,3651a=0,5791$ , $b=0,6756$ , $c=0,2796a=0,2735$ , $c=0,3679$
60—75 % (ат.) V} NbIr <sub>s</sub> \(\alpha_{\text{r}}(Nb—Ir)\)  \(\alpha_{\text{r}}(Nb—Ir)\)  \(\eta_{\text{r}}(Nb—Ir)\)	Cr <sub>8</sub> Si Cu₃Au Орторомб. (α-RhTa) CuAu	$a=0,4798 \div 0,4786$ a=0,3889 a=0,2823, $b=0,4818$ , $c=1,3619a=0,4027$ , $c=0,3863a=0,9888$ , $c=5065$
65—60 % (ar.) Nb]  [alr <sub>3</sub> x <sub>1</sub> -(Ta—Ir) x <sub>2</sub> -(Ta—Ir) y-(Ta—Ir) 70—80 % (ar.) Ta]	β-U Cu₃Au σ-(TaRh) Terp. β-U	a = 0,9834, c = 0,5052 a = 0,9834, c = 0,5052 a = 0,3886 a = 0,2830, b = 0,4803, c = 1,3661 a = 0,3988, c = 3,859 $a = 0,9933 \div 0,9968,$ $c = 0,5170 \div 0,5197$

Соединение	Тип структуры	Периоды решетки, нм
ε-(Ir—Cr) [32—68 % (aτ.) Cr]	Mg	$a=0.269 \div 0.266,$ $c=0.429 \div 0.4273$
β-(Ir—Cr)	Cr₃Si	a=0,4689-0,4659
ε-(lrMo)	Mg	$a=0,2745 \div 0,2770, c=0,4385 \div 0,4450$
$\alpha$ -MoIr <sub>8</sub>	MgCd <sub>3</sub>	a=0.5487, c=0.4385
MoIr	MgCd	a=0.2752, b=0.4804, c=0.4429
σ· (Mo—Ir)	β-Ū	a=0.964, c=0.496
Mo <sub>8</sub> Ir [75—78 % (ат.) Мо	Cr <sub>8</sub> Si	$a = 0,4967 \div 0,4979$
ε-(Ir—W)	Mg	$a=0,274 \div 0,278, c=0,445 \div 0.448$
σ-(IrW)	β-U	a=0.964, $c=0.502$ , $c/a=0.52$
Ir <b>W</b>	AuCd	a=0,2760, b=0,4811, c=0,4452
Īr <sub>s</sub> W	MgCd <sub>3</sub>	a=0.5496, c=0.4390
$\beta_1$ -(Ir—Mn)	Тетр.	a=0,273, c/a=1,355
ThIrs	CaCu <sub>5</sub>	a=0,5315, c=0,4288
ThIr2	MgCu <sub>2</sub>	$a=0.7650 \div 0.7666$
ThIr	ThCo	a=0.3894, b=1.113, c=0.4266
Th <sub>7</sub> Ir <sub>8</sub>	Th <sub>7</sub> Fe <sub>3</sub>	a=1,0076, c=0,6296; a=1,006, c=0,280
Ulr <sub>8</sub>	Cu <sub>3</sub> Au	a = 0.4023
UIr <sub>2</sub>	MgCu <sub>2</sub>	a=0,74939
PuIr <sub>2</sub>	MgCu <sub>2</sub>	$a = 0,75212 \div 0,7528$

П р и м е ч а н и е. В — высокотемпературная модификация;  $\,$  H — низкотемпературная модификация.

ратурная модификация обладает гексагональной структурой (a=0,2815, c=0,2823 нм). Низкотемпературная модификация IrB<sub>0,9</sub> проиндицирована как моноклинная структура по оси <001>с a=0,2769, b=0,7314, c=0,4028 нм,  $\beta$ =70° и как орторомбическая по оси <110> с a=0,277, b=0,7578, c=0,7314 нм [422]. Фаза IrB<sub>1,1</sub> обладает тетрагональной структурой типа ThSi<sub>2</sub> с a=0,2810, c=1,0263 нм. Борид IrB<sub>2</sub> обладает структурой типа AlB<sub>2</sub> с гексагональной решеткой (a=0,281, c=1,027 нм). Борид IrB<sub>1,35</sub> обладает моноклинной структурой, центрированной вдоль оси с a=1,0525, b=0,2910, c=0,6099 нм,  $\beta$ =91°4′ [335]. На основании анализа опубликованных данных по диаграммам состояния систем бора с элементами — аналогами иридия и расположения в периодической системе предложена диаграмма состояния Ir—B (рис. 5.133) [401].

Ir—Al. Методами микроструктурного рентгеновского анализа в системе обнаружено пять промежуточных фаз. Взаимная растворимость компонентов не определялась. При легировании Ir Al параметры решетки его уменьшаются от 0,3835 до 0,3831 нм, что позволяет предположить образование незначительных твердых растворов иа основе Ir [423]. Соединение IrAl имеет структуру типа CsCl с  $a=0,2985\div0,2975$  нм. Между Ir и соединением IrAl наблюдается эвтектическое взаимодействие. Точка эвтектики 32,6 % (ат.) Al. Кроме того, в богатой Al части диаграммы существует соединение IrAl<sub>2,7</sub> [72—74 % (ат.)

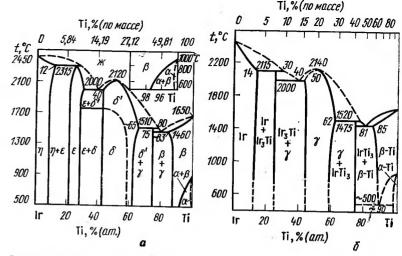


Рис. 5.134. Диаграмма состояння сплавов системы Ir—Ti по данным [402] (а) и [404] (б)

Al] с кубической структурой типа деформированного AuZn с  $a=0.7660\div0.7685$  нм и IrAl<sub>3</sub> со структурой Na<sub>3</sub>As a=0.4250, c=0.7760 им, c/a=1.826 [9,423].

Ir—Ga. Рентгеновскими исследованиями в системе обнаружены четыре промежуточные фазы: IrGa, IrGa2, IrGa2, IrGa3, IrGa3 образуется по перитектической реакции из IrGa2 и IrGa6. Она существует в двух модификациях. Высокотемпературиая модификация обладает тетрагональной структурой типа CoGa3 с a=0,641, c=0,660 нм. Соединение IrGa имеет кубическую решетку типа CsCl с a=0,298 им. Между Ir и IrGa следует ожидать эвтектического взаимодействия [335].

Ir—In. Сообщается о существовании двух промежуточных фаз  $Ir_2In_3$  и  $IrIn_3$ . Последняя обладает тетрагональной структурой, химически близкой к структуре CuAl<sub>2</sub>, с a=0,699, c=0,720 им [323].

Взаимодействие иридия с элементами IV группы

Ir—Ti. Диаграмма состояния системы исследовалась методами термического, микроструктурного, рентгеновского анализов и измерением некоторых свойств. Она представляет собой сложную систему с широкими областями твердых растворов на основе исходиых компонентов и тремя промежуточными фазами (рис. 5.134). Максимальная растворимость Ti в Ir  $\sim$ 12 % (ат.) снижается до 8 % (ат.) при понижении температуры, растворимость Ir в  $\beta$ -Ti  $\sim$ 17 % (ат.) снижается до 12 % (ат.). Растворимость Іг в α-Ті не более 1 % (ат.). Іг стабилизирует β-Ті. Эвтектоидиый распад α-Ті при 500°С не был обиаружен в более поздней работе [402]. Соединение TiIr кристаллизуется с открытым максимумом при температуре 2120 (2140) С, имеет широкую область гомогенности. Результаты рентгеновских исследований, указывающие на существование нескольких структур в средней части диаграммы, следует связать с полиморфизмом или упорядочением твердых растворов на основе соединения TiIr. Высокотемпературная модификация со структурой CsCl стабилизируется вплоть до иизких температур избыточным содержанием Ті. Соединения ТіІга и ТіяІг образуются по перитектиче-

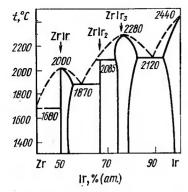


Рис. 5.135. Диаграмма состояния сплавов системы Ir—Zr

ским реакциям при температурах 2315 (2115) и 1510 (1520) °С соответственно. Первое имеет область гомогенности ~6 % (ат.). Кристаллическая структура промежуточных фаз приведена в табл. 5.21. В системе наблюдаются два эвтектических взаимодействия: [β-Ti+Ti₃Ir] и [TiIr+TiIr₃] при температурах 1460 и 2000 °С с эвтектическими точками при 80 и ~41 % (ат.) Ті соответственно [9, 332, 408, 424].

Ir—Zr. Диаграмма состояния системы Ir—Zr (рис. 5.135) приведена по даиным работы [403]. Эта система исследовалась неоднократно и аналогична системам Ir—Ti и Ir—Hf. В системе установлено образование нескольких промежуточных фаз и ограниченных твердых рас-

творов на основе исходных компонентов. Максимальная растворимость Zr в Ir ~15,4% (ат.), максимальная растворимость Ir в β-Zr ~4% (ат.), α-Zr<1% (ат.). Отмечается сложный характер средней части диаграммы. Структура соединения ZrIr не установлена. Кристаллическая структура промежуточных фаз приведена в табл. 5.21 [323].

Ir — Hf. Диаграмма состояния построена методами металлографического, термического, рентгеновского, микрорентгеноспектрального анализа и оптической пирометрии (рис. 5.136) и характеризуется зна-

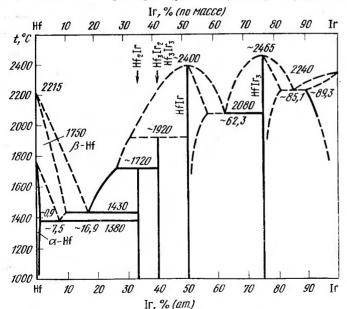


Рис. 5.136. Диаграмма состояния сплавов системы Ir-Hf

чительной взаимной растворимостью компонентов и четырьмя промежуточными фазами. Максимальная растворимость Hf в Ir  $\sim 9$  %, а Ir в  $\beta$ -Hf  $\sim 10.5$  %,  $\alpha$ -Hf  $\sim 1$  %. Соединения HfIr $_3$  и HfIr плавятся с открытым максимумом при температурах 2250 и 2440 °C и имеют область гомогенности 6 и 8 % соответственно. Соединения Hf $_5$ Ir $_3$  (Hf $_3$ Ir $_2$ ) и Hf $_2$ Ir образуются по перитектическим реакциям при температурах 1930 и 1720 °C соответственно. Кристаллическая структура соединений приведена в табл. 5.21.

В системе наблюдаются две эвтектики:  $(1r+1r_3Hf)$  при 2250 °C и 13.5 % (по массе) Hf н ( $\beta$ -Hf+Hf $_3$ Ir) при 1425 °C н 82.5 % (по массе) Hf. При 1375 °C и 91 % (по массе) Hf иаблюдается эвтектоидный распад  $\beta$ -Hf.

Ir—Si. Рентгеновским анализом в системе обнаружено семь силицидов: Ir<sub>3</sub>Si, Ir<sub>2</sub>Si, Ir<sub>3</sub>Si<sub>2</sub>, IrSi, Ir<sub>2</sub>Si<sub>3</sub>, IrSi<sub>2</sub>, IrSi<sub>3</sub>. Кристаллическая структура индицированных силицидов приведена в табл. 5.22. Соедине-

ТАБЛИЦА 5.22 ПРОМЕЖУТОЧНЫЕ ФАЗЫ В СИСТЕМАХ ИРИДИЯ С В-ЭЛЕМЕНТАМИ

Соединение	Тип структуры	Параметры решетки, нм
Ir <sub>3</sub> Si	U₃Si (родств.	a=0.522, c=0.7954
Ir <sub>2</sub> Si	Cu <sub>3</sub> Au) Ni <sub>2</sub> Si	a 0.7015 1 0.5001
Ir <sub>3</sub> Si <sub>2</sub>	Ni <sub>2</sub> In	a=0.7615, b=0.5284, c=0.3989
IrSi	MnP	a=0.3963, c=0.5126
IrSi <sub>3</sub>	Na <sub>3</sub> As	a=0.5558, b=0.3211, c=0.6273
IrGe	MnP	a=0.4350, c=0.6610
Ir <sub>4</sub> Ge <sub>5</sub>	Тетр.	a=0.6281, b=0.5611, c=0.3490
Ir <sub>8</sub> Ge <sub>7</sub>	Ir <sub>3</sub> Sn <sub>7</sub>	$a = 0.564, c = 4 \times 0.456$
IrGe <sub>4</sub>	Гекс	a = 0.8753
IrSn <sub>2</sub>	CaF <sub>2</sub>	a=0.6211, c=0.7772
Ir <sub>3</sub> Sn <sub>7</sub>	Куб. с 40 ат. в эле-	a = 0.6338
1133117	мент. ячейке	a = 0.9360
~IrSn	NiAs	a-0.2000 - 0.5507 / 1004
Ir <sub>2</sub> P	CaF <sub>2</sub>	a=0.3998, $c=0.5567$ , $c/a=1.394a=0.5546$
IrP <sub>2</sub>	RhP <sub>2</sub>	
111 2	All 2	a=0.57457, b=0.57906, c=
IrP <sub>3</sub>	RhPs	=0,5850, $\beta$ =111,60° $\alpha$ =0,8015
lrAs <sub>2</sub>	RhP <sub>2</sub>	
117102	1(111 2	$a=0,606, b=0,607, c=0,6158, \beta=113^{\circ}16'$
IrAs <sub>3</sub>	CoAs <sub>3</sub>	a=0.8467
IrSb	NiAs	a=0.3978, c=0.5521
IrSb <sub>2</sub>	CoSb <sub>2</sub>	a=0.657 $b=0.652$
1100z	CC5152	a=0,657, b=0,653, c=0,668, $\beta=115,5^{\circ}$
IrSb <sub>3</sub>	CoAs <sub>3</sub>	$a=0.92495 \div 0.92480$
IrBi <sub>2</sub>	Ромб.	a=0.58, b=0.69, c=0.73
IrS <sub>2</sub>	IrSe <sub>2</sub>	a=0.56, b=0.09, c=0.73 a=1.978, b=0.5624, c=0.3564
Ir <sub>3</sub> S <sub>3</sub> (IrS ~3)	FeS <sub>2</sub>	u=1,970,  u=0,3024,  v=0,3504
	1	
IrSe <sub>2</sub> (IrSe <sub>1,9</sub> )	IrSe <sub>2</sub>	a=2,094, b=0,593, c=0,374
IrSe $\sim_3$ (IrSe <sub>2,69</sub> )	FeS <sub>2</sub>	_
IrTe <sub>2</sub>	Cd(OH) <sub>2</sub>	a=0.3930, c=0.5393
$IrTe_8(IrTe_{\sim 3})$	FeS <sub>2</sub>	a = 0.6114

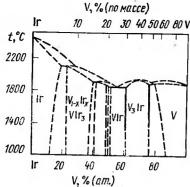


Рис. 5.137. Диаграмма состояния сплавов системы Ir—V

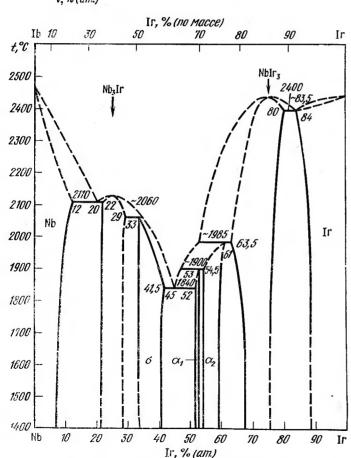


Рис. 5.138. Диаграмма состояния сплавов системы Ir-Nb

ние  $Ir_3Si_2$  нестабильно; оно распадается при температурах 500— $700\,^{\circ}C$  на  $Ir_2Si$  и IrSi. Кремний резко снижает температуру плавления Ir: температура эвтектики со стороны  $Ir 1470\,^{\circ}C$ , эвтектическая точка  $9,5\,\%$  (ат.) Si.

Ir — Ge. В системе установлено существование четырех промежуточных фаз, кристаллическая структура которых приведена в табл. 5.22

, 332, 335].

Ir — Sn. Ir практически нерастворим в жидком Sn. В системе обнаружено четыре соединения:  $IrSn_2$ ,  $IrSn_3$ ,  $Ir_3Sn_7$  и IrSn [38,07% (по массе) Sn]. Кристаллическая структура соединений приведена в табл. 5.22 [9, 332, 335].

Ir — Pb. Известно о существовании соединения IrPb [51,76 % (по массе) Pb], образующегося по перитектической реакции (см. табл.

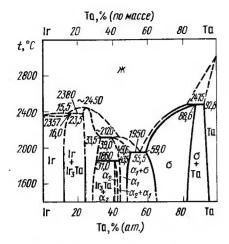
5.22) [335, 404].

Взаимодействие иридия с элементами V группы

Ir-V. Ориентировочная диаграмма Ir-V приведена на рис. 5.137. Система характеризуется взаимной растворимостью компонентов и четырьмя промежуточными фазами [428]. Максимальная растворимость V в  $Ir\sim18~\%$  (ат.), Ir в  $V\sim21,5~\%$  (ат.). Отмечается температурная зависимость взаимной растворимости компонентов. Соединение  $V_3Ir$  плавится с открытым максимумом при температуре  $\sim1930~^{\circ}$ С и имеет широкую область гомогенности ( $\sim14,5~\%$ ). Соединения  $VIr_3, V_{1-x}Ir_x$  (0,04<x<0,19) с интервалом гомогенности 7,5% и VIr образуются по перитектическим реакциям при температурах  $\sim2100$ , 1920, 1880 $~^{\circ}$ С соответственно. Кристаллическая структура приведена в табл. 5.21 [9].

Ir-Ta. Диаграмма состояния построена методами металлографического рентгеновского анализа (рис. 5.139). Она представляет собой сложиую систему с четырьмя промежуточными фазами и значительной взаимной растворимостью компонентов. Максимальная растворимость Та в  $Ir \sim 16 \%$  (ат.), Ir в  $Ta \sim 7.2 \%$  (ат.). Отмечается температурная зависимость взаимной растворимости компонентов. Соединение  $TaIr_3$  плавится конгруэнтно при температуре  $\sim 2450$  °C. Оно характеризуется областью гомогенности (16-14 %). Соединения  $\sigma$ - и  $\alpha_1$ -фазы образуются по перитектическим,  $\alpha_2$ -фаза — по перитектоидиой реакциям при температурах 2475,  $\sim 2120$  и 1860 °C соответственно. Кристаллическая структура фаз приведена в  $TaIr_3$  [9, 332].

Ir-P. Известно о существовании трех фосфидов:  $Ir_2P$ ,  $IrP_2$ ,  $IrP_3$  (рис. 5.140) [9, 335, 404]. Со стороны Іг в системе наблюдается эвтектика при температуре  $\sim 1300$  (1268) °C. Кристаллическая структура соединений приведена в табл. 5.22.



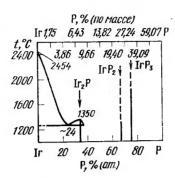


Рис. 5.139. Диаграмма состояния сплавов системы Ir—Ta

Рис. 5.140. Днаграмма состояния сплавов системы Іг-Р

Ir — As, Sb. Известно о существовании двух соединений в системе Ir — As и трех соединений в системе Ir — Sb, кристаллическая структура которых приведена в табл. 5.22. Со стороны Sb при температуре 619 °C наблюдается вырожденная эвтектика [9, 332, 335, 404].

Ir — Bi [9, 332, 428]. При непосредствейном сплавлений Ir и Ві не образуют соединений (рис. 5.141) [9, 332, 428]. В смеси компонентов, полученной при нагреве выше точки кипения Ві (1420 °С), были идентифицированы соединения Ir₂Ві и ІгВі. Металлографическими и рентеновскими исследованиями установлено также образование в системе соединений ІгВі₂ и ІгВі₃, которые образуются по перитектическим реакциям при температурах 700—900 и 400—700 °С соответственно. Обе реакции протекают с малыми скоростями. Соединение ІгВі₂ имеет ромбическую решетку a=0.58, b=0.69, c=0.73 нм [428].

Взаимодействие иридия с элементами VI группы

Ir — Cr. Диаграмма состояния представляет сложную систему с широкими областями твердых растворов на основе исходных компонентов и двумя промежуточными фазами (рис. 5.142) [9, 332, 429]. Максимальная растворимость Сr в Ir ~28 % (ат.). В области твердого раствора на основе Ir в области концентраций 16—28 % (ат.) Сг при понижении температуры наблюдается образование упорядоченной фазы со структурой типа Сц<sub>8</sub>Ац, границы существования которой требуют уточнения. Промежуточные фазы є и β образуются по перитектическим реакциям при температурах ~2200 и 1750 °C и имеют области гомогенности 32—68 % Сг при 1750 °C и 73—82 % Сг при 1400 °C соответственно. Кристаллическая структура промежуточных фаз приведена в табл. 5.21. Максимальная растворимость Ir в Cr 12 %, снижается до 5 % при 1000 °C.

Ir — Мо. Диаграмма состояния системы исследована методами термического, микроструктурного и рентгеноструктурного анализов. Она представляет собой сложную систему с широкими областями твердых растворов и несколькими промежуточными фазами (рис. 5.143). Расгворимость Мо в Ir при температуре 2300 °С составляет 22 % (ат.) и мало зависит от температуры, в то время как растворимость Ir в Мо

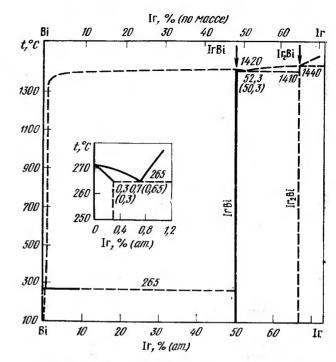


Рис. 5.141. Диаграмма состояния сплавов системы Ir-Bi

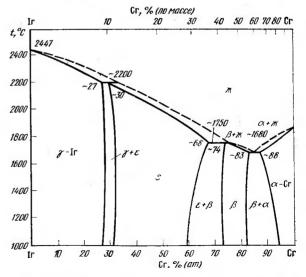


Рис. 5.142. Диаграмма состояния сплавов системы 1r-Cr

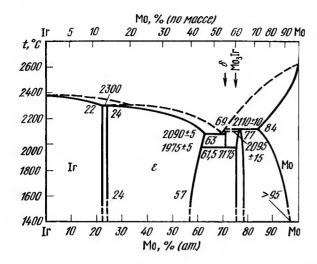


Рис. 5.143. Диаграмма состояния сплавов системы Ir-Mo

сильно зависит от температуры. Промежуточная ε-фаза образуется по перитектической реакции при 2300 °С и 24 % (ат.) Мо. Она существует в широком интервале концентраций от 24 до 57 % (ат.) Мо при 1600 °C. Кристаллическая структура є-фазы гексагональная типа Мд. В области существования в-фазы обнаружены две упорядоченные фазы: α-MoIr<sub>3</sub> и MoIr<sub>2</sub> α-MoIr<sub>3</sub> существует в интервале температур 1300— 2290°С и концентраций 60—62 % (ат.) Іг при 2290°С и 58—66 % (ат.) Iг при 1420 °C. Она обладает кристаллической структурой типа MgCd<sub>3</sub> с восемью атомами в элементарной ячейке (см. табл. 5.21). Соединение МоІга имеет узкую область гомогенности, существует в интервале температур 1300—1610°С и обладает ромбической решеткой типа MgCd с четырьмя атомами в элементарной ячейке (см. табл. 5.21). В области є-фазы предполагается два эвтектондных превращения: (є ≠ с-MoIr<sub>3</sub>+ +MoIr) и (є тМозІг+MoIr) при ~1420°С и 56 % (ат.) Іг и ~1400°С и 44 % (ат.) Іг соответственно, о-фаза образуется по перитектической реакции при 2095 °С и 71 % (ат.) Мо. Она существует в узком интервале концентраций и распадается эвтектоилно при 1975 °C. Она обладает тетрагональной решеткой типа в-U (см. табл. 5.21). Соединение ~Mo<sub>3</sub>Ir также образуется по перитектической реакции при 2110 °C и 77 % (ат.) Мо и существует в интервале от 75 до 78 % (ат.) Мо. Оно имеет кубическую структуру типа Cr<sub>3</sub>Si (см. табл. 5.21). В системе наблюдается эвтектическое взаимодействие о- и ε-фаз при 2080 °C и 69 % (ат.) Мо [332, 429].

Ir—W. Диаграмма состояния построена методами металлографического, рентгеновского и микроспектрального анализов измерения температур плавления и микротвердости фаз [332, 431]. Диаграммы качественно подобны, за исключением реакции образования твердого раствора на основе Ir. На рис. 5.144 приведена диаграмма состояния системы Ir — W по данным работы [431] (см. рис. 5.144, а). Она представляет собой сложную систему с двумя промежуточными фазами. Отмечается широкая область твердых растворов на основе Ir: 22 % (ат.) W при 2560 °C и ~10 % (ат.) W при 1000 °C. По данным [332] (см.

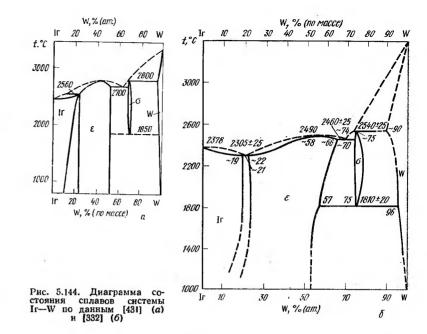
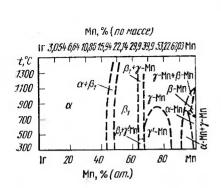


рис. 5.144, б) со стороны Iг наблюдается эвтектическое взаимодействие при 2305±25°С и 21% (ат.) W. Растворимость Iг в W невелика: 3% (ат.) при 2000°С и 1% (ат.) при 1000°С. Промежуточная ε-фаза плавится с открытым максимумом при температуре 2800±25°С и существует в интервале гомогенности от 23 до 52% (ат.) W. Микротвердость ε-фазы ~18500 МПа. В исследоваином интервале температуру (до 1200°С) ε-фаза стабильна, имеет гексагональную структуру типа Мg (см. табл. 5.21). σ-фаза образуется по перитектической реакции при ~2800°С и 70% (ат.) W. Она существует в узком интервале концентраций 69—71% (ат.) W и эвтектоидио распадается при 1850°С. Микротвердость σ-фазы ~18500 МПа. Кристаллическая структура промежуточных фаз приведена в табл. 5.21. По данным работы [332], в системе наблюдается также еще две упорядоченные фазы при температурах ниже 1200°С: WIг и WIг₃. Кристаллическая структура их также приведена в табл. 5.21.

Ir-S, Se, Te. Имеются данные о существовании четырех сульфилов:  $Ir_2S_3$ , IrS,  $IrS_2$  и  $Ir_3S_8(IrS_{\sim 3})$ ; трех селенидов:  $Ir_2Se_3$ ,  $IrSe_2(IrSe_{1,9})$  и  $IrSe^{\sim 3}$ ; двух теллуридов:  $IrTe_2$  и  $Ir_3Te_8$ . Кристаллическая структура соединений приведена в табл. 5.22 [9, 332].

Взаимодействие иридия с элементами VII гриппы

Ir — Mn. Рентгенографическими и металлографическими исследованиями установлены границы фазовых областей в системе. Растворимость Мп в Ir 48 % (ат.) при 1350 °C и 41 % (ат.) при 650 °C. Максимальная растворимость Ir в γ-Мп составляет 32,5 % (ат.), β-Мп — 2,5 % (ат.), в α-Мп — 4,5 % (ат.). Промежуточная фаза β1 существует в интервале концентраций ~50—64 % (ат.) Мп и имеет примитивную тетрагональную решетку при температуре ниже 940 °C. При более высоких температурах существует модификация со структурой СsCl. В твердом рас-



Re.% (no macce) 80 Re ır t.°C 2800 2400 2000  $\alpha + \beta$ N 1600 1200 20 40 60 80 Re Re.% (am.)

Рис. 5.145. Диаграмма состояния сплавов системы Ir—Mn

Рис. 5.146. Диаграмма состояния сплавов системы Ir—Re

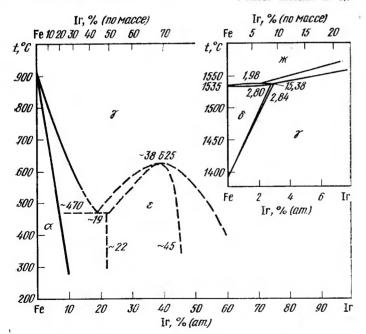


Рис. 5.147. Диаграмма состояния сплавов системы Ir-Fe

творе на основе  $\gamma$ -Мп при температурах ниже 900 °C вблизи состава Мп $_3$ Iг происходит упорядочение по типу Си $_3$ Au (рис. 5.145) [9, 335]. Ir-Tc. В системе не обнаружено промежуточных фаз. Растворимость Ir в Tc 70 % (ат.), Tc в Ir менее 25 % (ат.). Сплав с 25 % (ат.)

Тс двухфазен [332].

Ir — Re. Диаграмма состояния системы построена методами измерения температур плавления, микроструктурного и рентгеноструктурного анализов (рис. 5.146) [9, 432]. Она представляет собой простую перитектическую диаграмму без промежуточных фаз. Растворимость Re в Ir 35 % (по массе) при температуре перитектики 2800 °С и 28 % при 1000 °С. Легирование Ir Re сопровождается значительным повышением твердости и уменьшением параметра решетки Ir. Растворимость Ir в Re ~40 % (по массе). Легирование Re Ir сопровождается уменьшением параметров решетки Re:

	<b>а,</b> им	С, ИМ	c/a	$V_{\rm ar}$ , $^{\rm HM}$ 8
Re-10 % Ir	0,27610	0,44314	1,6050	1,4638
Re-20 % Ir	0,27608	0,44052	1,59 <b>5</b> 6	1,4548
Re-30 % Ir	0,27578	0,43865	1,5006	1,4456
Re-40 % Ir	0,27545	0,43739	1,5879	1,4382

Взаимодействие иридия с элементами VIII группы

Ir— Fe. Для системы были установлены границы фазовых областей (рис. 5.147) [9, 332]:  $\gamma$ -Fe и Ir образуют непрерывный ряд твердых растворов. Промежуточная  $\epsilon$ -фаза образуется при температуре ниже  $\sim 625$  °C, интервал гомогенности этой фазы трудно установить из-за малой скорости образования. При 400 °C  $\epsilon$ -фаза существует в интервале от 55 до 78 % (ат.) Fe. По мере увеличения содержания Fe параметры решетки  $\epsilon$ -фазы уменьшаются от a=0,265, c=0,429 нм до a=0,258, c=0,415 нм. Увеличение содержания Ir в Fe приводит к стабилизации аустеиита относительно  $\gamma/\alpha$ -превращения и активации,  $\gamma/\epsilon$ -превращения [433].

Ir—Co. Известно, что Ir с β-Со образуют непрерывный ряд твердых растворов с минимумом на гипотетических кривых ликвидуса и солидуса. Граница β-области лежит между 25 и 50 % (ат.)

Со (рис. 5.148) [9, 335].

Ir--Ni. Система исследована во всем интервале концентраций методами измерения параметров решетки, удельной электронной теплоемкости, магнитной восприимчивости и температуры Дебая. Установлено, что в системе образуется непрерывный ряд твердых растворов во всем интервале температур и концентраций. В работе [435] подтверждено отсутствие в сплавах второй фазы или фазы со сверхструктурой в интервале концентраций от 25 до 97 % (ат.) Ni. Период решетки всех сплавов имеет небольшое положительное отклонение от закона Вегарда. Диаграммы состояния систем Ir с Ru. Os и Rh приведены выше [434].

Ir—Pd [335, 351]. Диаграмма состояния системы исследовалась неоднократно. По данным работ [436], сплавы системы кристаллизуются с образованием непрерывных рядов твердых рас-

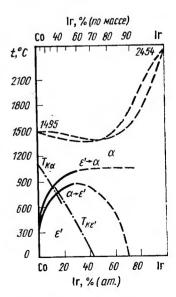


Рис. 5.148. Диаграмма состояния сплавов системы Ir—Co

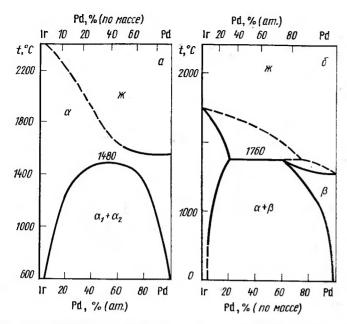


Рис. 5.149. Диаграмма состояния сплавов системы Ir—Pd по данным [436] (a) и [437] (б)

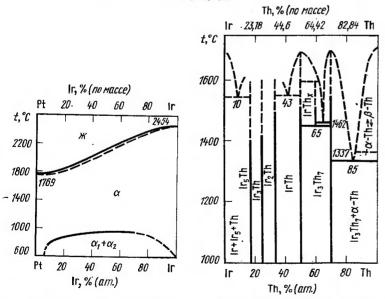


Рис. 5.150. Диаграмма состояния сплавов системы Ir—Pt.

Рис. 5.151. Диаграмма состояния сплавов системы Ir—Th

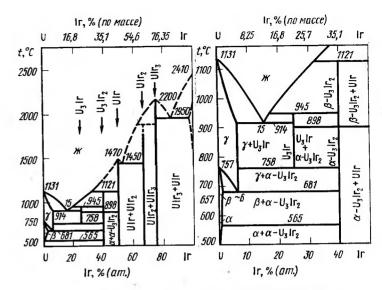


Рис. 5.152. Диаграмма состояния сплавов системы Ir-U

творов. При понижении температуры ниже 1500 °С в системе наблюдался распад твердых растворов. Двухфазная область при низких температурах занимает большую часть диаграммы (рис. 5.149, а). По даиным [437], диаграмма состояния системы представляет простую диаграмму состояния перитектического типа без промежуточных фаз (рис. 5.149, б). Максимальная растворимость Pd в Ir ~17 % (по массе) [25 % (ат.)]. Ir a Pd 38 % (по массе) [25 % (ат.)]. Наблюдается сильная температурная зависимость взаимной растворимости компонентов, которая сопровождается заметным изменением твердости, прочности и удельного электросопротивления [438]. Двухфазная область (Pd+Ir) при 700 °С простирается от 5 до 81 % (по массе) Iг.

Ir - Pt. Сплавы системы кристаллизуются с образованием непрерывных рядов твердых растворов. При понижении температуры наблюдается распад твердых растворов (рис. 5.150). Критическая точка распала 845 °C 19. 3321.

Взаимодействие иридия с актиноидами

Взаимосейтвие присит с интигования Ir-Th. Методами металлографического и рентгеновского анализов сплавов системы установлено, что в интервале температур  $1000-1600\,^{\circ}\text{C}$  существует шесть промежуточных фаз (рис. 5.151). Соединения  $ThIr_5$ ,  $ThIr_2$ ,  $ThIr_4$  плавятся конгруэнтно при температурах >1500 °C, а  $\sim$ ThIr<sub>3</sub> и  $ThIr_{\infty}$  [ $\sim$ 60 % (ат.) Th] образуются по перитектическим реакциям. При  $1462\,^{\circ}\text{C}$   $ThIr_4$  эвтектоидно распадается. В системе наблюдаются пять эвтектических взаимодействий:  $(Ir+IrTh_5)$ ,  $(\sim ThIr_3+ThIr_2)$  и  $(ThIr_2+ThIr)$  обнаружены при 10,23 я 43 % (ат.) Th (температура этих эвтектик выше  $1500\,^{\circ}\text{C}$ ),  $(ThIr_4+Th_7Ir_3)$  и  $(Th_7Ir_3+Th)$  при 65 и 85 % (ат.) Th и 1462 и  $1337\,^{\circ}\text{C}$  соответственно. Растворимость компонентов не определялась [9, 332, 430].

Ir — U. Система исследовалась методами термического, микроструктурного и рентгеновского анализов. Диаграмма состояния системы характеризуется иебольшой взаимной растворимостью компонентов с

КРИСТАЛЛИЧЕСКИЕ СТРУКТУРЫ СОЕДИНЕНИИ В СИСТЕМЕ Li-Pa [440, 442]

Соединение	Тип структуры	Периоды решетки, мм
LiPd <sub>7</sub>	Kyő., LiPt <sub>7</sub>	$a = 0.7713 \div 0.7730$
LiPd <sub>2</sub>	Гекс. (?)	a=0.3836, $c=0.4336$ , $a/c=1.13$
LiPd	Гекс., LiRh	$a=0.27406\div0.27673$
		$c = 0.4280 \div 0.41306$ , $a/c = 1.56 \div$
		÷1,49
LiPd	Kyб., CsCi	a=0,2977 (0,2986)
Li <sub>3</sub> Pd <sub>2</sub>	Kyő., CsCl (?)	a = 0.2972
Li <sub>2</sub> Pd	Гекс., AlB <sub>2</sub>	$a=0.4222 \div 0.4241,  c=0.2724 \div$
-		$\div 0,2740, a/c = 0,65$
LiPd	∣ Куб., ВіГ₃	a = 0.6187
Li <sub>15</sub> Pd <sub>4</sub>	Куб., Си <sub>15</sub> Si <sub>4</sub>	$a=1,0697 \div 1,0676$
LixPd	Куб.	$a=1,9009 \div 1,9347$

Pd — Cu. По данным многочисленных работ, сплавы кристаллизуются с образованием непрерывных рядов твердых растворов во всем интервале концентраций (рис. 5.154) [9, 351]. Анализ литературных данных, проведенный в работе [351], позволил считать, что в системе при низких температурах существуют две упорядоченные фазы, близ-

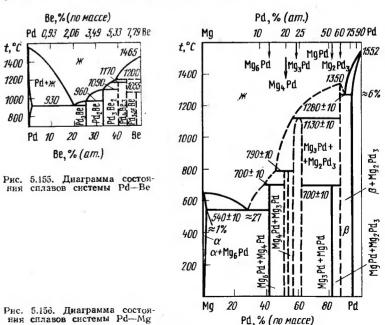
t,°C

1400

1200

1000

800



пятью интерметаллическими соединениями (рис. 5.152) [9, 439]. Максимальная растворимость U в Ir 3 % (ат.) при 1950 °С, Ir в у-, β- и α-U 5,5; 0,4 и 0,3 % (ат.) соответственно. Соединения UIr3 и UIr плавятся конгруэнтно при 2000 и 1470 °C соответственно. UIr2, U3Ir2 и U3Ir образуются по перитектическим реакциям при температурах >1850, 1121 и 945°C. Предполагается, что соединение U<sub>3</sub>Ir<sub>2</sub> имеет полиморфное превращение при 898 °C. Соединение U<sub>3</sub>Ir эвтектоидно распадается при температуре 758°C. В системе наблюдаются три эвтектики: (Ir+UIr<sub>3</sub>). (Ulr<sub>2</sub>+Ulr) и (U<sub>3</sub>Ir+γ-U) при 1950, 1450 и 914°C соответственно. Ir понижает температуру превращения у/в до 681°C, в/с до 565°C.

Ir — Ри. Реиттеновским анализом сплавов в системе обнаружены трн соединения: PuIr<sub>2</sub>, ~Pu<sub>5</sub>Ir<sub>3</sub>, ~Pu<sub>5</sub>Ir<sub>4</sub>. Установлено, что Pu<sub>5</sub>Ir<sub>4</sub> изоструктурно соединению Ри<sub>5</sub>Rh<sub>4</sub>, а Ри<sub>5</sub>Ir<sub>3</sub> — Ри<sub>5</sub>Ru<sub>9</sub> и Ри<sub>5</sub>Os<sub>9</sub>. Заметной растворимости Ir в є- и δ-Ри не обнаружено, растворимость Ри в Ir при 1000 °C составляет 0.1 % 19, 3511.

#### 5.7. Двойные диаграммы состояния палладия

Взаимодействие палладия с элементами І группы

Pd — Li. Диаграмма состояния системы построена методами дифференциально-термического анализа (ДТА), микроструктурного и рентгеноструктурного анализов, измерения магнитных свойств и приведена на рис. 5.153 [9, 440, 442]. Методами ДТА и микроструктурного анализа в системе обнаружено восемь промежуточных фаз. однако существование Li<sub>5</sub>Pd и Li<sub>5</sub>Pd не было подтверждено рентгенографически. Кристаллическая структура соединений приведена в табл. 5.23. Исследованы магнитные свойства сплавов [9]. Магнитная восприимчивость большинства сплавов положительна, но при содержании 40-50 % (ат.) Pd магнитная восприимчивость при комиатной температуре ~0. Сверхпроводимость сплавов, богатых Рd, не превышала 1.5 К.

Pd -- Na. Максимальное понижение температуры плавления натрия на 0,4°C достигается при содержании в нем 0,62 % (ат.) или

2,8 % (по массе) Pd [9, 351].

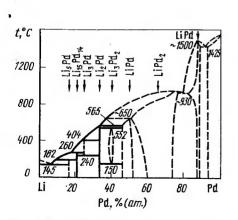


Рис. 5.153. Днаграмма состояния сплавов системы Рф-LI

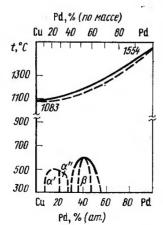


Рис. 5.154. Диаграмма состояния сплавов системы Pd-

кие к стехиометрическим составам PdCu и PdCu<sub>3</sub>. В интервале концентраций 10—25 % (ат.) Рd наблюдалось образование тетрагональной структуры. основой для которой является субструктурная ячейка типа СизАи. Полностью упорядоченная фаза имеет тетрагональную решетку: a=0.5826, c=0.7328 им, с 20 атомами на элементарную ячейку. Упорядочение наблюдается в интервале концентраций 30-50 % (ат.) Рd и связано с образованием кубической структуры типа CsCi. Упорядоченная фаза PdCu имеет a=0.2973 нм [404]. Свойства сплавов Pd—Cu в закаленном состоянии с температур выше точек превращения изменяются по кривым, характерным для непрерывных рядов твердых растворов. В этом состоянии все сплавы прекрасно обрабатываются давлением вхолодную. Коррозионная стойкость сплавов понижается с увеличением концентрации Си. Изменение степени порядка в сплавах приводит к изменению удельной теплоемкости при низких температурах и дебаевской температуры [443], электрических и химических свойств [444, 445]. Взаимодействие палладия с элементами ІІ группы

Pd — Ве. Диаграмма состояния до 50 % Ве (рис. 5.155) [351] построена методами термического и микроструктурного анализов. Растворимость Ве в Рd составляет 0,6—1,0 % (ат.) [0,05—0,09 % (по массе)] при 950°С и менее 0,6 % (ат.) при 400°С. Растворимость Pd в Ве, по данным изменения периодов решетки и микроскопического анализа, составляет при 1200°C 3,2 % (ат.) [28 % (по массе)], при 1000°C 1,4 % (ат.) [434], при 800 °С 0,9 % (ат.) [391], при 600 °С 0,7 % (ат.) [7,7% (по массе)]. На бериллиевой стороне диаграммы установлено существование соединений Ве5Р и Ве12Р д. Соединение ВеР добладает кубической структурой типа CsCl (B2) с a=0.2819 нм. Структура соединения ВеъР аналогична структуре Лавес-фазы типа МgСи2 (С15) с a=0,5994 нм. Ве<sub>12</sub>Рd обладает тетрагональной структурой с перио-

дами решетки a=0.7271; c=0.4251 нм; c/a=0.585.

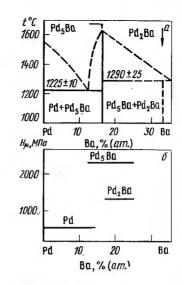
Pd - Mg. Диаграмма состояния построена методами термического, микроструктуриого рентгеновского, фазового анализов измерения твердости и микротвердости фаз (рис. 5.156) [351]. Растворимость Мо в Рd ~20 % (ат.) при температуре эвтектики; растворимость Рd в Mg не превышает 0,21% (ат.) [1% (по массе)] при температуре эвтектики и 0,12 % (ат.) [0,55 % (по массе)] при комнатной температуре. Эвтек-, тические превращения в системе наблюдаются при температурах 540 и 1280°С и 7,86°% (ат.) [27 % (по массе)] и 61—62 % (ат.) [88—89 %

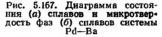
(по массе) Р соответственно.

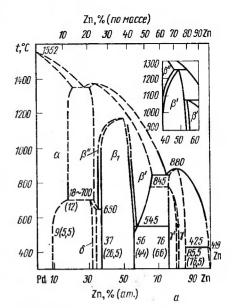
Кристаллическая структура некоторых промежуточных фаз приведена ниже: MgPd обладает кубической структурой типа CsC1 (B2) с a=0,316 нм;  $Mg_{0,9}Pd_{1,1}$ — примитивной тетрагональной решеткой типа  $AuCu(L1_0)$  с a=0,302; c=0,341 нм; c/a=1,13;  $Mg_6Pd$  — кубической структурой с a=1,00 нм. Легирование Pd Mg сопровождается упрочнением его и повышением удельного электросопротивления до 50 мкОм см при 8 % (по массе) Мg и уменьшением плотности на 25— 30 %. Добавка Рd к Mg до 6 % (по массе) повышает его механические характеристики и прочиость последнего при 300°C. Легирование Mg Pd до 0,5 % (по массе) сопровождается небольшим снижением упругих свойств и коэффициента линейного теплового расширения.

Pd — Ca. Известно о существовании соединения CaPd2 — Лавесфазы со структурой типа MdCu<sub>2</sub> (C15) с a=0.7953 нм [9, 351]; PdCa со структурой типа CsCl с a=0.3515 нм [451] или 0.93522 нм [452].

Pd — Sr. Микроскопическими и рентгеноструктуриыми исследованиями системы обнаружены конгруэнтно плавящиеся соединения SrPd<sub>5</sub> и SrPd<sub>2</sub>, между которыми образуется эвтектика [9, 351]. Кристаллическая структура фазы SrPd<sub>5</sub> типа CaCu<sub>5</sub>, a=0.5261, c=0.4058 нм; фазы SrPd2 — фазы Лавеса типа MgCu2, a=0,7826 нм. Соединение







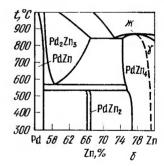


Рис. 5.158. Диаграмма состояния сплавов системы Pd-Zn по Кестеру (а) и часть диаграммы состояния в области существования Pd<sub>2</sub>Zn<sub>3</sub> (б)

SrPd обладает структурой CrB с периодами a=0.419, b=1.131, c=

=0,452 HM [452].

Pd — Ba. Диаграмма состояния построена методами термического, микроструктурного и рентгеноструктурного анализов, измерения твердости и микротвердости фаз, удельного электросопротивления (рис. 5.157) до 33 % (ат.) Ва [9, 351]. Кристаллическая структура соединений: BaPd<sub>5</sub> типа CaCu<sub>5</sub> с a=0,5494, c=0,4344 нм; BaPd<sub>2</sub> типа MgCu<sub>2</sub> с a=0,7953 нм. По данным работы [453], соединение BaPd<sub>5</sub> образуется по перитектике при температуре 1260°C. Соединение BaPd так же, как и SrPd, обладает структурой типа CrB с a=0.435, b=1.179, c==0.468 HM [452].

Pd = Zn. Диаграмма состояния (рис. 5.158) [351] построена методами микроструктурного, рентгеноструктурного и термического анализов. Растворимость Zn в Pd ~18 % (ат.) при 780°С и ~9 % (ат.) при 530 °C. Растворимость Рd в Zn иезначительная. Кристаллическая

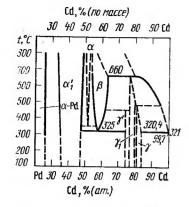


Рис. 5.159. Диаграмма состояния сплавов системы Pd—Cd

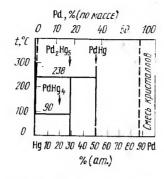
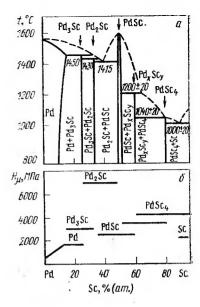


Рис. 5.160. Ориентировочная днаграмма состояния сплавов системы Pd—Hg

структура фаз: фазы в' и в" имеют после закалки одинаковую кубическую структуру типа CsCl (B2) с периодами a=0.304 нм при содержании 60,5% (ат.) и a=0,305 нм при содержании цинка 32,5-34.6 % (ат.), фаза  $\beta_1$  изоструктурна соединению СиАи ( $L1_0$ ) с a==0,413 нм, c/a=0,810 при 44,5 % (ат.) Zп и с a=0,409 нм, c/a=0,81 при 52,2 % (ат.) Zn. Изучена структуриая и термодинамическая стабильность фаз  $\beta'$  и  $\beta_1$ . Высокая стабильность их связывается с переходом электронов от атомов Zn на d-уровень атомов Pd, наличие при этом ионной составляющей обеспечивает стабильность структур В2 и L10 в этой системе [454-457]. Уточнение диаграммы состояния в области концентраций 50-82 % (ат.) Zn приведено на рис. 5.158. б по данным работы [458]. По перитектоидной реакции при 530±10°C образуется соединение PdZn<sub>2</sub>, обладающее орторомбической С-центрированной структурой с a=0.7525, b=0.7363, c=1.2307 нм с 16 атомами . Рd и 32 атомами Zn в элементарной ячейке. у-фаза включает идеальный состав Pd<sub>5</sub>Zn<sub>21</sub>, равный 80,8 % (ат.) [70,02 % (по массе) Zn], обладает структурой  $\gamma$ -латуни с периодами решетки a=0.907 нм при 83 % (ат.) Zn; a=0,902 нм у границы  $\gamma$ -фазы со стороны Zn и a==0,911 нм при 81,6 % (ат.) Zn; η-фаза имеет гексагональную решетку c c/a = 1,55.

Pd—Cd. Диаграмма состояния (рис. 5.159) построена методами термического, микроструктурного и рентгеноструктурного анализов. Растворимость Сd в Pd на основании измерения параметров решетки составляет 27% (ат.), растворимость Pd в Cd незначительна. По данным работы [459] растворимость Cd в Pd при 1150°С составляет 29,2% (ат.), при 1140°С 28% (ат.), при 900°С 26,8% (ат.). Период решетки твердого раствора возрастает с 0,3892 нм для нелегированного Pd до 0,3978 нм при содержании 26,8% (ат.) Сd. Кристаллическая структура промежуточных фаз:  $\alpha'$  имеет тетрагональную решетку типа CuAu ( $L1_0$ ) с a=0,228, c=0,362 нм, c/a=0,845 при 49% (ат.) Cd; a=0,422÷0,427 нм, c/a=0,85÷0,84 в интервале концентраций 39,7—46% (ат.) Cd [459].  $\beta$ -фаза имеет о. ц. к. решетку с a=0,325 нм прн 58,8% (ат.) Сd.  $\gamma$ -фаза в области гомогенности 80,7—83,3% (ат.) Сd с кристаллической структурой  $\gamma$ -латуни имеет a=0,996 вм прн 82,5% (ат.) Сd.  $\gamma$ -фаза в области гомогенности 77—80% (ат.) Сd

Рис. 5.161. Диаграмма состояния (а) сплавов и микротверлость (б) фаз сплавов системы Pd—Sc



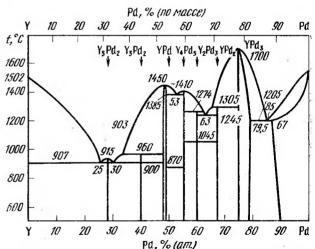


Рис. 5.162. Диаграмма состояння сплавов системы Pd-Y

имеет более низкую симметрию с a=0,993 нм при 78 % (ат.) Сd. Еще одну модификацию представляет фаза  $\gamma'$ . Границы фазовых областей в системс были определены ренттенографически и подтверждены измерениями магнитной восприимчивости, При легировании Pd Cd наблюдается изменение свойств на 1 % (ат.) легирующей добавки: повышение твердости на 49 МПа, временного сопротивления на 28 МПа, удельного

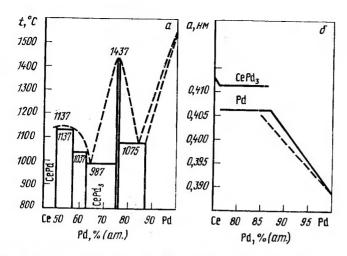
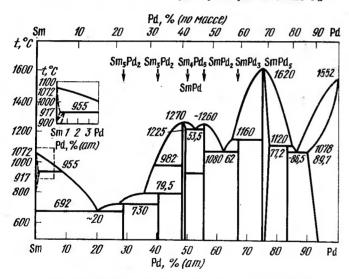


Рис. 5.163. Диаграмма состояния (а) сплавов системы Pd—Ce и изменение параметров решетки (б) твердых растворов на основе Pd

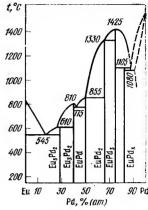


Рнс. 5.164. Диаграмма состояния сплавов системы Pd-Sm

электросопротивления на 1,34·10<sup>-8</sup> Ом·м, падение величины температурного коэффициента на 0,67·10<sup>-3</sup>, абсолютной т. э. д. с. на 0,8 мкВ. Сплавы Pd с Cd в области твердого раствора технологичны и хорошо обрабатываются вхолодную.

Pd — Hd. Ориентировочная днаграмма состояния системы Pd — Hg (рис. 5.160) приведена по данным [460]. Подтверждено существование соединений Pd₅Hg₂, PdHg₄, PdHg, образующихся, вероятно, по пери-

Рис. 5.165. Диаграмма состояния сплавов системы Pd—En



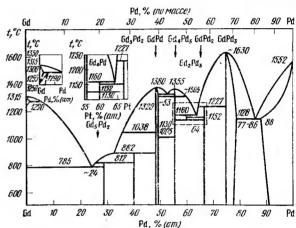


Рис. 5.166. Диаграмма состояния сплавов системы Pd—Gd

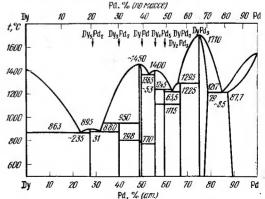
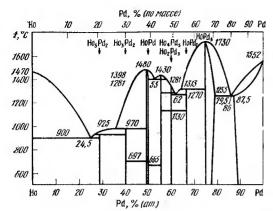


Рис. 5.167. Диаграмма состояния сплавов системы Pd-Dy



Рнс. 5.168. Диаграмма состояния сплавов системы Рd—Но

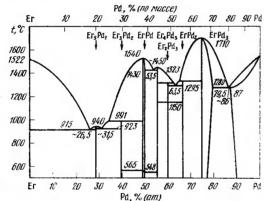


Рис. 5.169. Диаграмма состояния сплавов системы Pd—Er

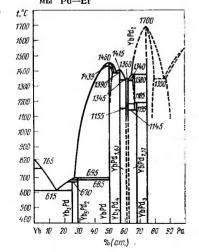


Рис. 5.170. Диаграмма состояния сплавов системы Pd—Yb

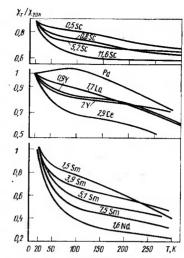


Рис. 5.171. Относительная магнитная восприничивость сплавов Рd— РЗМ. % (по массе), в интервале температур 4,2—300 К

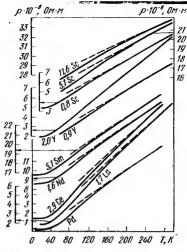
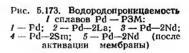
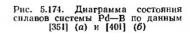
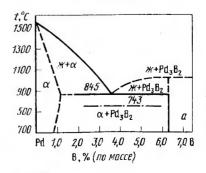


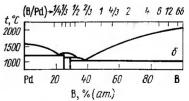
Рис. 5.172. Температурная зависимость электросопротивления сплавов  $Pd \rightarrow P3M$ , % (по массе)







\$\$ \$\text{01.1}\$ \\ \frac{3}{3} \\ \frac{2}{3} \\ \



ВЗАИМОДЕЙСТВИЕ ПАЛЛАДИЯ С РЗМ [9, 452, 461, 463, 467]

			Соедине	ния RPd <sub>3</sub>
Легирующий элемеит	Раствори- мость в Pd, % (ат.)	мость в Pd, °C		параметры ре- шетки, мм
Sc Y	15	1450	1450	0,3981
Y	13	1205	1700	0,4068
La	1,5	1130	_	0,4235
Ce	13	1075	1437	0,4114
Pr				0,4130
Nd	1,5	1150	_	0,4130
Sm	10,3	1078	1620	0,4110
Eu	10	1080	1425	0,40869
Gd	12	1128	1630	0,40813
Tb			_	0,4069
Dv	12,3	1217	1710	0,4076
Ho	12,5	1255	1730	0,4064
Er	13	1280	1710	0,4056
Yb	16,5	1350	1700	0,4054
Ĺu				0,4028

Примечание. Все соединения RPd<sub>3</sub> имеют кристаллическую структуру типа AuCu<sub>3</sub> и плавятся конгруэнтно, за исключением соединения SmPd<sub>3</sub>, которое образуется по перитектической реакции.

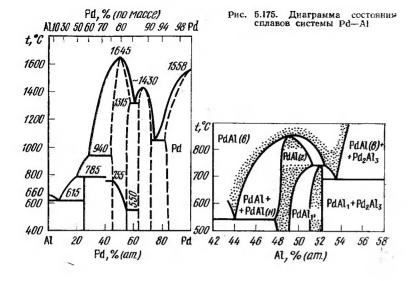
ТАБЛИЦА 5.25 КРИСТАЛЛИЧЕСКАЯ СТРУКТУРА ПРОМЕЖУТОЧНЫХ ФАЗ В СИСТЕМАХ ПАЛЛАДИЯ С РЗМ [9, 452, 461—464, 469, 470]

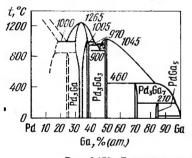
		Периоды решетки, им			
Соединеине	Тип структуры	а	ь	с	
Sm <sub>10</sub> Pd <sub>2</sub>	(Sm <sub>10</sub> Pd <sub>2</sub> )	2,4853	0,5765	1,6509	
EuPd <sub>2</sub>	MgCu <sub>2</sub>	0,7458			
Y <sub>3</sub> Pd <sub>4</sub>	Pu <sub>3</sub> Pd <sub>4</sub>	1,3147		0,5697	
La <sub>3</sub> Pd <sub>4</sub>	Pu <sub>s</sub> Pd <sub>4</sub>	1,3860	_	0,5848	
Ce <sub>3</sub> Pd <sub>4</sub>	Pu <sub>3</sub> Pd <sub>4</sub>	1,3669	_	0,5824	
Pr <sub>3</sub> Pd <sub>4</sub>	Pu <sub>3</sub> Pd <sub>4</sub>	1,3595		0,5804	
Nd <sub>3</sub> Pd <sub>4</sub>	Pu <sub>3</sub> Pd <sub>4</sub>	1,3541		0,5790	
Sm <sub>3</sub> Pd <sub>4</sub>	Pu <sub>3</sub> Pd <sub>4</sub>	1,3387		0,5758	
Gd <sub>3</sub> Pd <sub>4</sub>	Pu <sub>3</sub> Pd <sub>4</sub>	1,3265		0,5738	
Tb <sub>3</sub> Pd <sub>4</sub>	Pu <sub>3</sub> Pd <sub>4</sub>	1,3178		0,5708	
Dy <sub>3</sub> Pd <sub>4</sub>	Pu <sub>3</sub> Pd <sub>4</sub>	1,3131	_	0,5690	
Ho <sub>3</sub> Pd <sub>4</sub>	Pu <sub>3</sub> Pd <sub>4</sub>	1,3070		0,5677	
Er <sub>3</sub> Pd <sub>4</sub>	Pu <sub>3</sub> Pd <sub>4</sub>	1,3000		0,5671	
Tm <sub>3</sub> Pd <sub>4</sub>	Pu <sub>3</sub> Pd <sub>4</sub>	1,2946		0,5657	
Yb₃ <b>Pd₄</b>	Pu <sub>3</sub> Pd <sub>4</sub>	1,2900	_	0,5654	
Lu <sub>3</sub> Pd <sub>4</sub>	Pu <sub>3</sub> Pd <sub>4</sub>	1,2870		0,5642	
SmPd (H)	C <sub>1</sub> B	0,377	1,065	0 <b>,45</b> 6	
GdPd (H)	CrB	0,373	1,060	0,455	
DyPd `	CsCe	0,3486	_		

Cooperation		Пе	Периоды решетки, им			
Соединение	Тип структуры	а	b	с		
HoPd ErPd PdTm PdLu EuPd YbPd Y₃Pd₂ Gd₃Pd₂ Dy₃Pd₂ Er₃Pd₂ Er₃Pd₂ Er₃Pd₂ Ce₃Pd₂ Dy₅Pd₂ Dy₅Pd₂ Dy₅Pd₂ Er₅Pd₂ Er₅Pd₂	CsCe CsCe CsCe CsCe CrB CsCe ErsNi2 Si2U3 Si2U3 Si2U3 Si2U3 ErsNi2 ErsNi2 ErsNi2 ErsNi2 Dy5Pd2 Dy5Pd2 Dy5Pd2 Dy5Pd2	0,3467 0,3455 0,344 0,342 0,4097 0,3447 0,8750 0,784 0,7767 0,7718 0,7670 0,9204 0,9096 0,8981 0,961 0,958 0,945	1,1121	c		
$\begin{array}{l} Eu_5Pd_2\\ Yb_5Pd_2\\ Pd_2Tb_5\\ Y_3Pd\end{array}$	Mn <sub>5</sub> C <sub>2</sub> Mn <sub>5</sub> C <sub>2</sub> Dy <sub>5</sub> Pd <sub>2</sub> Fe <sub>3</sub> C	1,7299 1,6321 0,960 0,7664	0,6985 0,6550  0,9678	0,7919 0,7680 1,358 0,6500		

П р и м е ч а н и е. Периоды решетки некоторых соединений имеют координату  $\beta$ :  $Sm_{10}Pd_2-90.88^\circ$ ;  $Eu_5Pd_2-97^\circ15'$ ;  $Yb_5Pd_2-97^\circ32'$ .

Пара	метры решет	M I	Αν	
а	c	c/ <b>a</b>	<sup>IM</sup> B	θ <sub>K</sub> , Κ
1,0388	0,6552	0,631	-	
1,0212	0,6433	0,630	2,31	29
1,0167	0,6384	0,628	3,39	30
1,0113	0,6362	0,629	3,34	49
1,0014	0,6301	0,629	_	
0,9980	0,6276	0,629	_	_
	1,0388 1,0212 1,0167 1,0113 1,0014	a c 1,0388 0,6552 1,0212 0,6433 1,0167 0,6384 1,0113 0,6362 1,0014 0,6301	1,0388     0,6552     0,631       1,0212     0,6433     0,630       1,0167     0,6384     0,628       1,0113     0,6362     0,629       1,0014     0,6301     0,629	$ \begin{array}{ c c c c c c c c c } \hline a & c & c/a & M_B \\ \hline 1,0388 & 0,6552 & 0,631 & - & \\ 1,0212 & 0,6433 & 0,630 & 2,31 \\ 1,0167 & 0,6384 & 0,628 & 3,39 \\ 1,0113 & 0,6362 & 0,629 & 3,34 \\ 1,0014 & 0,6301 & 0,629 & - & \\ \hline \end{array} $





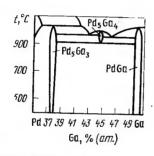


Рис. 5.176. Диаграмма состояния сплавов системы Pd-Ga

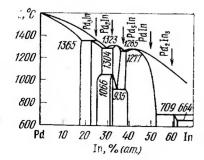


Рис. 5.177. Диаграмма состояния симавов системы Pd--In

Легирую-	Содерж эл <b>е</b> ме		t,		HV.	σ		ρ·108,
щий эле- меит	% (по массе)	% (ат.)	<i>t</i> <sub>пл</sub> , °С	а, им	МПа	σ <sub>в</sub> , МПа	χ· 10 <sup>6</sup>	Ом · м
Pd			1552	0,3883			5,68	9,9
Sc	0,22	0,5	1550	0,3884	800	270	4,92	10,7
	0,61	0,8	1545	0,3885	1020	286	_	_
	2,36	5,2	1525	0,3895	1500	434	1,88	21,1
	5,35	11,6	1490	0,3915	1800	448	1,00	34,9
Y	0,49	0,6	1540	0,3890	1130	387	4,78	10,6
	0,73	0,9	1520	0,3905	1110	540	4,28	10,8
	1,57	1,95	1510	0,3910	1430	704	4,00	15,2
La	2	1,54	-	_	1100	_	4,1	14,8
Ce	1,0	0,7	1475	0,3900	850			12,6
	3,83	2,9	1360	0,3910	1530	316	3,02	15,7
	5,10	4,2	1300	0,3930	1560	433	1,88	55,6
	12,3	9,8	1150	0,3990	2190	<b>49</b> 0	_	
Nd	2,2	1,5	1450	_	<u></u>	372	5,28	17,8
Sm	2,2	1,5	1450	0,3900	1670	597	4,08	14,8
	5,55	3,9	1350	0,3925	2390	862	2,97	22,9
	7,11	5,1	1305	0,3930	2490	877	2,88	26,2
	10,6	7,5	1 <b>2</b> 60	0,3960	29 <b>2</b> 0	934	2,20	35,7

тектическим реакциям. Кристаллическая структура промежуточных фаз: при содержании 27,7 и 32 % (ат.) Рd обиаружено существование фазы со структурой, близкой к структуре  $\gamma$ -латуни, в интервале концентраций 35,9—39,8 % (ат.) Рd наряду с  $\gamma$ -фазой наблюдается еще одна фаза со структурой, похожей на структуру соединения PtZn<sub>2</sub>. PdHg обладает структурой типа CuAu ( $L1_0$ ) с a=0,4284 нм, c/a=0,862;  $Pd_5Hg_2$ — тетрагональной структурой с  $a=0,946_3$ ,  $c=0,303_1$  нм,  $c/a=0,320_3$ .

Взаимодействие палладия с элементами III группы

Взаимодействие Pd со Sc, Y и P3M рассмотрено иа основании работ [9, 314, 315, 461—476]. Известные диаграммы состояния, построениые методами термического, микроструктурного и рентгеновского анализов, измерения некоторых свойств, приведены на рис. 5.161—5.170. Кристаллическая структура промежуточных фаз и иекоторые свойства их приведены в табл. 5.24—5.26. Влияние легирования иа структуру и изменение физических свойств Pd в области твердых растворов приведено в табл. 5.27. На рис. 5.171—5.173 приведены температурные зависимости изменения электросопротивления, магиитной воспримчивости и водородопроиицаемости от содержания легирующего элемента. В табл. 5.24 приведены также растворимости РЗМ в Pd и температуры эвтектических превращений со стороны Pd.

Pd — В. Ориентировочная диаграмма состояния Pd—В до 7 % (по массе), или 42 % (ат.) В приведена на рис. 5.174, а. Установлено, что сплавы, содержащие до 0,75 % (по массе), или 7 % (ат.) В, однофазны. Используя опубликованные экспериментальные данные по диаграмме состояния систем В с элементами аналогами Pd, расположение его

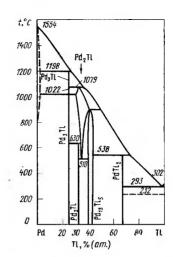
ТАБЛИЦА 5.28 КРИСТАЛЛИЧЕСКАЯ СТРУКТУРА ПРОМЕЖУТОЧНЫХ ФАЗ В СИСТЕМАХ ПАЛЛАДИЯ С ЭЛЕМЕНТАМИ ПІВ ПОДГРУППЫ

		ими пр подгруппы
Соединение	Тип структуры	Параметры решетки, им
$Pd_3B_2$	Гекс.	a = 0.648, c = 0.342, c/a = 0.529
$Pd_2Al$	Ni <sub>2</sub> Si	a = 0.7760, b = 0.5404
Pd <sub>5</sub> Al <sub>3</sub>	Rh <sub>5</sub> Ge <sub>3</sub>	a=1,039, b=0,534, c=0,402
PdAl (B)	CsC1	a=0,3043
PdAi (H)	Гекс.	a=0.3951, c=0.5603
PdAl `´	Монокл.	a=0.968, b=1.514, c=0.524,
	-1	$\alpha, \beta = 78,90^{\circ}$
PdAi (H)	Гекс.	a=1,5659, c=0,5251
Pd <sub>2</sub> Al <sub>3</sub>	»	a = 0.421, c = 0.509
PdAl <sub>3</sub>	Ромб.	a=0.7071, b=0.7516, c=0.5077
Pd <sub>2</sub> Ga	Ni <sub>2</sub> Si	a=0.7798, b=0.5482, c=0.4056
Pd <sub>5</sub> Ga <sub>3</sub>	Rh <sub>5</sub> Ge <sub>3</sub>	a = 1,049, b = 0,541
Pd <sub>5</sub> Ga <sub>2</sub>	NiSi <sub>2</sub>	a=1,8369, b=0,5485, c=0,4083
PdGa	FeSi	a=0,488, c=0,402
PdGa <sub>5</sub>	Тетр.	a = 0.6448, c = 1,0003
PdsIn	»	a=0.406, c=0.379
$Pd_2In$	Ni <sub>2</sub> Si	a=0.822, b=0.560, c=0.421
PdIn	CsCe	a = 0.325
$Pd_2In_3$	Ni <sub>2</sub> Al <sub>3</sub>	a=0,452, c=0,549
PdIn <sub>3</sub>	Деформированная	a = 0.942
	у-латунь	- 0,012
Pd <sub>5</sub> In <sub>3</sub>	Rh <sub>5</sub> Ge <sub>a</sub>	a=1,100, b=0,559, c=0,423
Pd <sub>3</sub> Tl	TiÅl <sub>3</sub> (H)	a=0.4146, c=0.7497
	ZrAl <sub>3</sub>	a=0,4146, c=1,5274
$Pd_2Tl$	Ni <sub>2</sub> In (B)	a=0,453, c=0,566
	Ni <sub>2</sub> Si (H)	a=0.8244, c=0.50726
Pd <sub>13</sub> Tl <sub>9</sub>	Pd <sub>1a</sub> Tl <sub>9</sub>	a=0.895, c=0.562
PdTl <sub>2</sub>	CuAl <sub>2</sub>	$\dot{a} = 0.6707, c = 0.5743$
11.		- 0,0101,0-0,0110
	•	

Примечание. В, Н — высоко- и инзкотемпературная модификации соот-

в периодической системе и логику фазовых равновесий, авторы работы

[401] предложили диаграмму состояния Pd—В (рис. 5.174, б). Pd—Al, Pd—Ga, Pd—In, Pd—Tl [335]. Диаграммы состояния системы Pd-Al, Pd-Ga, Pd-In, Pd-Tl построены методами термического, микроструктурного и рентгеноструктурного анализов (рис. 5.175-5.178). Они представляют сложные системы с большим числом (от 4 до 8) химических соединений. Кристаллическая структура соединений приведена в табл. 5.28. Растворимость Р в Аl, Ga, In незначительна. Максимальная растворимость Al в Pd  $\sim 16-18\%$  (ат.), Ga  $\sim 18\%$  (ат.), In ~20-21% (ат.), T1 ~2% (ат.). Во всех системах отмечается заметная температурная зависимость растворимости элементов в Рd. Влияние легирующих добавок Al, Ga и In на твердость и удельное электросопротивление Pd в области твердых растворов приведено в табл. 5.29. Ход кривых типичен для твердых растворов.



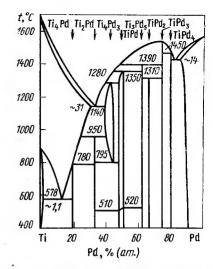


Рис. 5.178. Диаграмма состояния сплавов системы Pd-Tl

Рыс. 5.179. Диаграмма состояния сплавов системы Рф-Т1

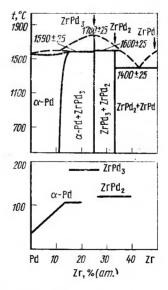


Рис. 5.180. Диаграмма состояния сплавов системы Pd-Zr

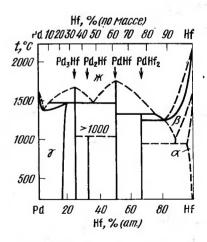


Рис. 5.181. Диаграмма состояния сплавов системы Pd--Hf

Представляют интерес широкие области твердых растворов со структурой CsCe на основе соединений эквиатомного состава в системах Pd—Al и Pd—In. Соединение PdAl по мере понижения температуры претерпевает полиморфное превращение (см. рис. 5.175.6). Со-

ТАБЛИЦА 5.29

ТВЕРДОСТЬ И УДЕЛЬНОЕ ЭЛЕКТРОСОПРОТИВЛЕНИЕ СПЛАВОВ ПАЛЛАДИЯ С АЛЮМИНИЕМ, ГАЛЛИЕМ И ИНДИЕМ

П.п.	Содержани	Содержание элемента		р · 10 <sup>-8</sup> , Ом · м,		T,K.c.
Легирую- щий		%	ну, мпа	при <i>t</i>	, °C	α · 10-3
элемент	% (ат.)	(IIO Macce)		25	100	град—
Al	9	0,52	720	16.0	19,0	2,6
711	2 5	1,31	830	16,8	19,8	2,7
	10	2,73	1320	44,7	46,8	0,7
	15	4,27	2570	61,4	63,4	0,4
Ga	3,5	2 5	<b>72</b> 0	21,8	24,7	1,8
	9	5	800	23,9	26,7	1,5
	12	7	1200	38,4	40,5	0,7
	15	10	2290	51,4	52,9	0,4
T	18	12	2770	68,0	70,4	0,4
In	1,87	2 5	680	19,4	21,7	1,6
	4,62 9,4	10	950	24,5	26,5	1,2
	14,2	15	1000 1140	33,9	36,9	1,2
	17,2	10	1140	42,1	43,6	0,4

единение PdIп имеет широкую область гомогенности и стабильно в широком интервале температур [480—485]. Уникальной особенностью этого соединения, обладающего кристаллической структурой β-латуни, является его специфическая окраска, связанная с изменением порога поглощения при легировании Pd In [486, 487]. Некоторые свойства соединения PdIп в области гомогенности приведены в табл. 5.30. Взаимодействие палладия с элементами IV группы

Pd—Ti [9, 351, 489]. Диаграмма состояния системы (рис. 5.179) приведена по данным работы [9]. Кристаллическая структура соединений

Содержа	ние In				T v = 5	
% (по массе)	% (at.)	Фазовый сос- тав	Цвет	HV, MΠa	Т.К.л.р. α·10 <sup>—6</sup> , град— <sup>1</sup> (500— 700°C)	OM · M, npB
0 26,4 35,0 39,3 42,0 44,0 52,1 55,0 60,0	0 25 33,3 37,5 40,8 42,1 50,0 53,1 57,1	Pd PdsIn PdsIn PdsIns PdsIns PdIn PdIn PdIn PdIn PdIn PdIn PdIn PdIn	Серебристо-белый Серый Светло-желтый Желтый Золотой » Сиреневый » Серо-сиреневый	400 1600 2600 2500 2400 1750 2500	20,7 13,5 17,8 16,6 21,4 24,0 18,1 20,6 14,3	9,6 15,9 12,9 19,0 23,0 23,0 21,6 21,0

ТАБЛИЦА 5.31 КРИСТАЛЛИЧЕСКИЕ СТРУКТУРЫ ПРОМЕЖУТОЧНЫХ ФАЗ В СИСТЕМАХ ПАЛЛАДИЯ С ПЕРЕХОДНЫМИ МЕТАЛЛАМИ IV—V ГРУПП

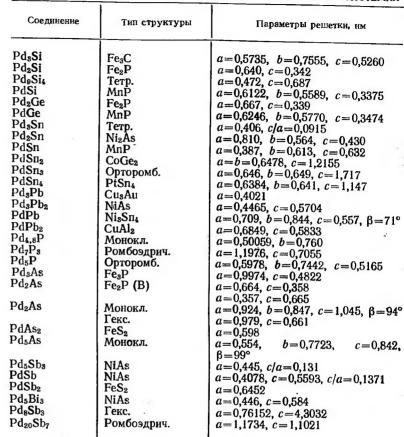
Соединение	Тип структуры	Параметры решетки. нм		
TiPd₄	CuaAu	a=0,3985		
TiPd <sub>3</sub>	TiNis	a=0,548, c=0,8976		
TiPd <sub>2</sub>	MoSi <sub>2</sub>	a=0,324, c=0,848		
-	TiPd <sub>2</sub>	a=0.341, b=0.30, c=0.85		
Ti <sub>2</sub> Pd <sub>5</sub>	(Ti <sub>s</sub> Pd <sub>5</sub> )	a=0.3263, b=0.3263, c=1.1436		
Ti <sub>2</sub> Pd <sub>8</sub>	Ti <sub>2</sub> Pd <sub>8</sub>	a=0,4606, b=1,4329, c=0,4643		
TiPd	CsCl	a=0,3180		
	AuCd	a=0,456, b=0,281, c=0,489		
Ti <sub>2</sub> Pd	Zr <sub>2</sub> Cu	a=0,309, c=1,0054		
Ti₄Pd	CraSi	a = 0.5055		
ZrPd <sub>4</sub>	Куб.	a = 0,39540		
ZrPd <sub>3</sub>	TiNis	a = 0.5612, c = 0.9234		
ZrPd <sub>2</sub>	MoSi <sub>2</sub>	a = 0.340, c = 0.858		
Zr <sub>2</sub> Pd	Тетр.	a=0,328, c=0,332		
	Zr <sub>2</sub> Ču	a=0.466, c=0.364		
	MoSi <sub>2</sub>	a = 0.3290, c = 1.101		
HfPd <sub>3</sub>	TiNis	a=0,5595, c=0,9192		
HfPd <sub>2</sub>	MoSi <sub>2</sub>	a=0.3410, c=0.8635		
Hf₂Pd	Zr <sub>2</sub> Cu	a=0.3251, c=1.105		
VPd <sub>a</sub>	TiAls	a=0.387, c=0.3867		
		a=0.385, c=0.774		
$VPd_2$	Тетр.	a = 0.3882, c = 0.3729		
_	MoPt <sub>2</sub>	a=0.274, b=0.823, c=0.373		
<sup>7</sup> Pd	Куб.	a = 0.383		
$V_3$ Pd	Cr <sub>3</sub> Si	a=0,4816		
VbPd <sub>3</sub>	TiAl <sub>3</sub>	$a=0.387 \div 0.384, c=0.398$		
VbPd <sub>2</sub>	MoPt <sub>2</sub>	a = 0.279, b = 0.855, c = 0.388		
$Nb_3P\bar{d}_2$	β-U, Nb-Ru	a=0.989, c=0.511		
	, , , , , , , , , , , , , , , , , , , ,	a=0,430, b=0,423, c=0,365		
TaPd <sub>3</sub>	TiAl <sub>3</sub>	a=0.387, c=0.794		
ΓaPd₂	MoPt <sub>2</sub>	a=0,290, b=0,844, c=0,377		
ΓaPd	Тетр.	a=0,328, c=0,600		
Га <sub>4</sub> Рd (о-фаза)	β-Ū	a=0.964, c=0.502		

приведена в табл. 5.31. Максимальная растворимость Ті в Рd  $\sim 14~\%$  (ат.), Pd в  $\beta$ -Ті  $\sim 31~\%$  (ат.),  $\alpha$ -Ті  $\sim 1,1~\%$  (ат.).

Исследованы магнитная восприимчивость, удельное электросопротивление твердых растворов на основе Pd. Добавки Ті сиижают парамагиитную восприимчивость Pd.

Добавки Рd (до 2 %) к Тi или к титановым сплавам значительно повышают коррозионную стойкость их в ряде агрессивных сред и делают возможным их использование в качестве коиструкционных материалов для химической промышленности.

Pd—Zr [9, 351]. Диаграмма состояния построена методами термического, микроструктурного, рентгеновского анализов, измерения твердости и микротвердости фаз (рис. 5.180). Кристаллическая структура соединений приведена в табл. 5.31. Максимальная растворимость Zr



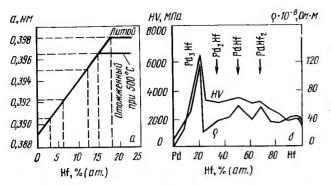


Рис. 5.182. Параметры решетки (a) и свойства (б) сплавов Pd-Hf

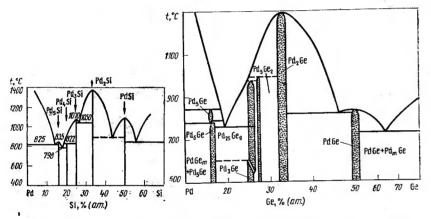


Рис. 5.183. Диаграмма состояния сплавов системы Pd—Si

Рис. 5.184. Диаграмма состояния сплавов системы Pd—Ge

в Pd достигает 15 % (ат.) при температуре перитектики и  $\sim$ 12 % (ат.) при 700 °C. Максимальная растворимость Pd в  $\beta$ -Zr  $\sim$ 11,5 % (ат.), в  $\alpha$ -Zr  $\sim$ 0,1 % (ат.).

Добавки до 0,1 % Pd к Zr существенно повышают коррозионную стойкость Zr в водяном паре и тяжелой воде, добавки до 5 % влияют на скорость окисления Zr на воздухе при температуре 700—800 °C.

Ра—Нf. Диаграмма состояния системы построена методами термического, микроструктурного и рентгеновского фазовых анализов, измерения твердости, микротвердости фаз, удельного электросопротивления (рис. 5.181). Кристаллическая структура приведена в табл. 5.31. Отмечается большая растворимость Hf в Pd [∼18 % (ат.) при температуре перитектики, 15 % (ат.) при 500 °C]. Кривые изменения свойств подтверждают положение фазовых областей в системе (рис. 5.182) [9].

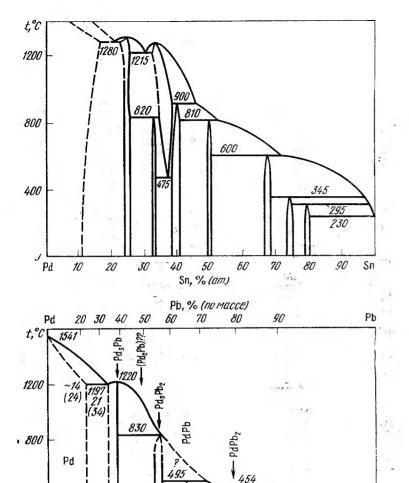
Pd—Si [9]. Диаграмма состояния построена методами микроструктурного, термического и рентгеновского анализов (рис. 5.183). Кристаллические структуры промежуточных фаз приведены в табл. 5.32. Система характеризуется отсутствием взаимной растворимости компо-

нентов в твердом состоянии и представляет чрезвычайный интерес в качестве базовой для получения аморфных сплавов быстрой закалкой [9].

Рd—Ge [9]. Диаграмма состояния (рис. 5.184) построена методами микроструктурного, рентгеновского и термического анализов. В системе отмечается отсутствие взаимной растворимости компонентов. Кристаллические структуры промежуточных фаз приведены в табл. 5.32.

Pd—Sn [9] и Pd—Pb [9, 335, 494]. Диаграммы состояния систем (рис. 5.185 и 5.186) построены методами термического, микроструктурного и рентгеноструктурного фазового анализов. Отмечается большая [12—14 % (ат.)] растворимость Sn и Pb в Pd.

В работе [495] уточнена часть диаграммы, богатая Pb [до 24 % (ат.) Pd]. Pd практически нерастворим в Pb. Эвтектические превращения (Pb+Pb<sub>2</sub>Pd) и (Pb<sub>2</sub>Pd+PbPd) при 260±1°C, 4,5 % (ат.) Pd и 448°C, ~25 % (ат.) Pd соответственно.



Рb, % (ат.)
Рис. 5.185. Диаграмма состояния сплавов систем Pd—Sп и 'Pd—Pb

60

70 80

60,7 (75)

265

90

100

Взаимодействие палладия с элементами V группы Pd-V [9, 351]. Диаграмма состояния системы построена методами термического, микроструктурного и рентгеновского анализов. Отмечается больная взаимная растворимость компонентов друг в друге. Кристаллические структуры промежуточных фаз приведены в табл. 5.31.

Pd—Nb [9, 351, 496]. Диаграмма состояния системы построена методами микроструктурного, рентгеновского и термического аиализов (рис. 5.187, a). Наблюдается большая взаимная растворимость компочентов друг в друге: в Pd растворяется 31 % (ат.) Nb при 1610 °C, в Nb 36 % (ат.) Pd при 1520 °C. Подтверждено существование промежуточных фаз состава NbPd<sub>2</sub>, NbPd<sub>3</sub> (две модификации) и NbPd. Кристаллическая структура соединений приведена в табл. 5.31.

По даиным работы [496], диаграмма состояния Pd—Nb имеет более сложный характер (рис. 5.187, б). Авторы подтвердили образование трех промежуточных фаз н большой взаимной растворимости компонентов друг в друге: ~20 % (ат.) Pd растворяется в Nb прн 800 °C, 36 % (ат.) — прн 1520 °C; в Nb растворяется ~31 % (ат.) Pd при 1610 °C и ~18 % (ат.) при температурах ниже 1500 °C. Главным результатом этой работы можно считать идентификацию промежуточных фаз, богатых Pd. Авторами отрицается существование σ-фазы в этой системе, но ранее она была обнаружена рядом исследователей н вопрос о ее существовании не следует считать решенным.

Раста [9, 351, 497]. Диаграмма состояння построена методами термического, микроструктурного и рентгеноструктурного анализов (рис. 5.188). В системе наблюдаются четыре промежуточные фазы. Однако нет единого мнения о механизме образования промежуточных фаз. По данным работы [9], код кривых свойств подтверждает положение фазовых областей в системе (рис. 5.189). Кристаллические структуры промежуточных фаз приведены в табл. 5.31.

Ра—Р [9, 351, 498]. Диаграмма состояния приведена на рис. 190, а. В системе обнаружено большое число промежуточных фаз, кристаллическая структура которых приведена в табл. 5.32. Ренттеновским методом учтена часть диаграммы состояния, прилегающая к соединенню

Pd<sub>7</sub>P<sub>3</sub> (cm. phc. 5.190, 6) [498].

Pd—As [9, 351]. Диаграмма состояния системы построена методами термического, микроструктурного и рентгеновского анализов (рис. 5.191). Кристаллическая структура соединений приведена в табл. 5.32. Соединения  $Pd_2As$  и  $Pd_5As_2$  сверхпроводящи, температура перехода 1,7 и  $\sim$  0,40 K соответственно.

Pd—Sb [9, 351, 499—501]. Днаграмма состояния построена методами термического, мнкроструктурного и рентгеновского анализов (рнс. 5.192, a). Крнсталлическая структура соединений приведена в табл. 5.32. Уточненная часть днаграммы состояния, полученная рентгеновским методом, представлена на рис. 5.192,  $\delta$ . По данным рентгенографического анализа, растворнмость Sb в Pd составляет  $\sim$  14 % (ат.) при 800—1000 °C.

Ра—Ві [9, 351]. Диаграмма состояния (рнс. 5.193) построена методами термического, микроструктурного и рентгеноструктурного анализов. Отмечается широкая растворимость Ві в Ра. Кристаллическая структура промежуточных фаз приведена в табл. 5.32. Соединения, образующиеся в системе, не растворяются в азотной кислоте и не поглощают водород. Соединения системы Ра—Ві обладают сверхпроводимостью. Наиболее высокая температура перехода 4,25 К для β-Равіз. Взаимодействие палладия с элементами VI группы

Pd—Cr [9, 351]. Диаграмма состояния (рис. 5.194) построена методами термического, рентгеноструктурного, микроструктурного анализов. Отмечается большая взаимная растворимость компонентов. В системе обнаружена одна промежуточная фаза PdCr, образующаяся в твердом состоянии по перитектондной реакции при 570 °C. Она обладает тетрагональной гранецентрированной кристаллической структурой с параметрами a=0,3871 нм, c/a=0,980.

400

22

20

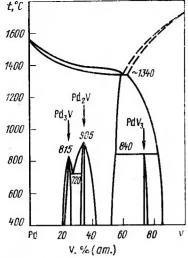
10

Pd

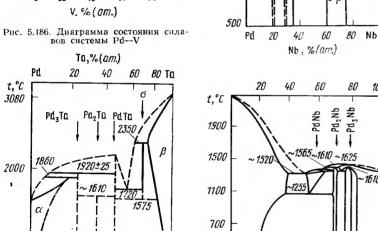
30

40

50



вов системы Рф---V



2000

1500

1000

1560

α+6

ß

Pd<sub>3</sub>Nb

20

Νb

40

Pd, %(am.)

Рис. 5.187. Диаграмма состояния сила-вов системы Pd—Nb по данным [351] (a) и [496] (б)

БΟ

80

Pd

Рис. 5.188. Днаграмма состояния сплавов системы Pd-Та

40

60

Ta, % (no macce)

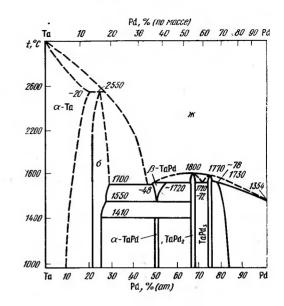
80 Τα

20

Pd

Pd—Mo [9, 351]. Диаграмма состояння системы (рнс. 5.195) построена методами термического, рентгеноструктурного и микроструктурного анализов. Днаграмма состояния системы является диаграммой пернтектического типа с двумя ограниченными твердыми растворами и одним металлическим соединением, є-фазой, обладающей г. п. у. структурой с параметрами a=0.2671, c=0.4476 нм, c/a=1.62.

Pd—W [9, 351]. Диаграмма состояния системы перитектического типа без промежуточных фаз (рис. 5.196). Сплавы, содержащие до



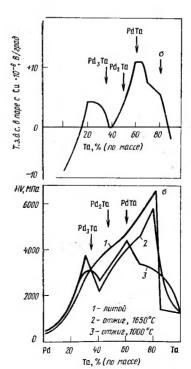
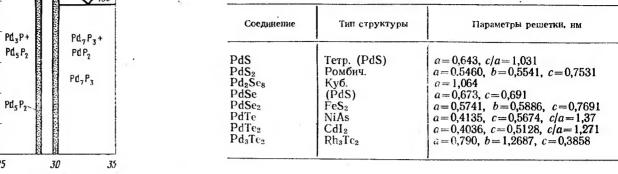


Рис. 5.189. Днаграмма состояния системы Pd-Та и свойства сплавов этой системы

1000





15 % (ат.) W — однофазные твердые растворы на основе Pd. Изменение удельного электросопротивления в зависимости от состава полтверждает положение фазовых областей в системе.

Pd—S [9, 351]. По данным термического, рентгенографического и тензометрического анализов, в системе Pd-S наблюдаются три стабильных сульфида (рис. 5.197). Кристаллическая структура приведена в табл. 5.33.

Pd—Se [9, 351]. Днаграмма состояния не построена. Кристаллическая структура известных промежуточных фаз приведена в табл. 5.33.

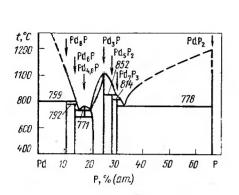
Pd—Te [9, 351, 501, 502]. Диаграмма состояния системы (рис. 5.198) построена методами термического, рентгеноструктурного и микроструктурного анализов, измерения микротвердости и электропроводности. В системе обнаружено шесть промежуточных фаз, кристаллическая структура которых приведена в табл. 5.33. Растворимость Те в Рф  $\sim 10 \%$  (ar.).

Взаимодействие палладия с элементами VII гриппы

Ра-Мп [9, 351]. Диаграмма состояния (рис. 5.199) построена Раубом и Малером методами термического, низко- и высокотемпературного рентгеноструктурного и микроструктурного анализов. Максимальная растворимость в Pd 30 % (ат.) Мп. Pd малорастворим в с- и β-Мп, в у-Мп растворяется до 20 % Рd. В более поздних работах отмечается образование упорядоченной структуры типа АпСиз в интервале концентраций 8-25 % (ат.). При содержании более 25 % (ат.) Мп стабильна сверхструктура MnPd с антифазными доменами, размер которых в одном направлении равен двум периодам элементарной ячейки и не зависит от состава. С увеличением концентрацин Мп в сплавах возникают тетрагональные искажения решетки, степень которых достигает с/а=0,92 при 32 % (ат.) Мп [9]. При дальнейшем увелнчении содержания Мп возникает сверхструктура типа СиАи.

Методами высокотемпературного, микроструктурного, рентгенографического и дилатометрического анализов и измерения твердости было установлено, что в эквиатомной области концентраций в системе Мп---Рd, кроме превращений CsCl-->СиAu, существует еще один фазовый переход, связанный с образованием сверхструктуры неизвестного вида. Кристаллическая структура промежуточных фаз типа СиАи: a=0.3913, c=0.387 HM, c/a=0.99.

Pd—Tc, Re [9, 351]. Диаграммы состояння систем (рис. 5.200) представляют собой простые диаграммы перитектического типа без



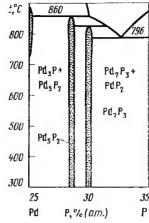


Рис. 5.190. Диаграмма состояния сплавов системы Рф-Р

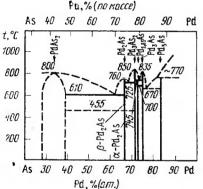
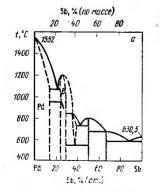


Рис. 5.191. Диаграмма состояния сплавов системы Рф-Аѕ



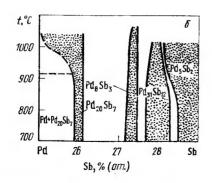


Рис. 5.192. Диаграмма состояния сплавов системы Pd-Sb.

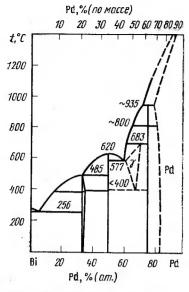
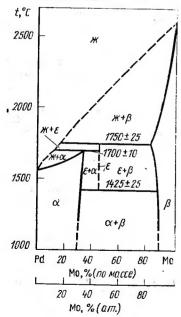


Рис. 5.193. Диаграмма состояния сплавов системы Pd—Bi



Рнс. 5.195. Диаграмма состояния сплавов системы Pd—Mo

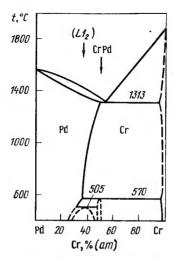


Рис. 5.194. Диаграмма состояния сплавов системы Pd—Cr

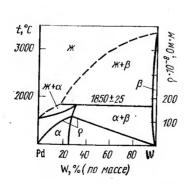


Рис. 5.196. Днаграмма состояния и удельное электросопротивление сплавов системы Pd—

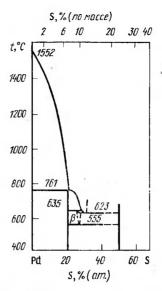


Рис. 5.197. Диаграмма состояиия сплавов системы Pd—S

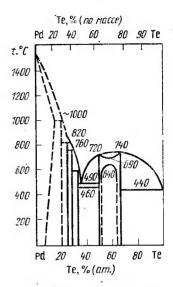


Рис. 5.198. Диаграмма состояния сплавов системы Pd—Te

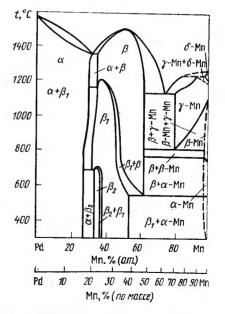


Рис. 5.199. Диаграмма состояния сплавов системы Pd—Мп

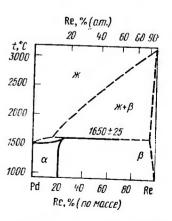


Рис. 5.200. Диаграмма состояиня сплавов системы Pd—Re

ПЕРИОДЫ РЕЩЕТКИ  $\alpha$ -ФАЗ ПРИ ЗАКАЛКЕ С РАЗНЫХ ТЕМПЕРАТУР В СИСТЕМЕ Рd—Со

Фаза	t <sub>3ah</sub> , °C	а, им	C, HM	c/a
$\alpha''$ в области ( $\alpha' + \alpha''$ ) $\alpha''$ в области ( $\alpha'' + \text{Co}$ )	700 800 700 800 700 . 800 Медлен- ное охлаж- дение	3,820 3,820 4,048 4,071 4,106 4,118 4,68	3,928 3,952 3,88 3,912 3,621	0,970 0,947 0,949 0,890

промежуточных фаз. Максимальная растворимость Re в Pd 11 % (ат.). Добавка Re к Pd сопровождается некоторым измельчением зерна. Легирование рением сопровождается повышением твердости и удельного электросопротивления, уменьшением параметров решетки Pd. Взаимодействие палладия с элементами VIII гриппы

Рd—Fe [9, 351, 503—505]. Диаграмма состояния Рd—Fe построена методами термического и микроструктурного анализов, измерения твердости и температурного коэффициента электросопротивления. Сплавы кристаллизуются с образованием непрерывного ряда твердых растворов аустенитного класса. Температура плавления сплавов изменяется в зависимости от состава [минимум при 1304 °C и 48 % (ат.) Pd]. При понижении температуры γ-твердый раствор претерпевает превращения, связанные с полиморфным превращением железа и образованием химических соединений PdFe и Pd₃Fe (рис. 5.201).

• Pd—Co [9, 351]. Система изучена методами термического, микроструктурного, рентгеновского анализов, электронной микроскопии. Сплавы этой системы кристаллизуются с образованием непрерывного ряда твердых растворов (рис. 5.202). При более низких температурах установлено образование двух упорядоченных фаз:  $CoPd_3$  ( $\alpha'$ ) со структурой типа  $Cu_3Au$  и CoPd• ( $\alpha''$ ) со структурой типа CuAu. Перноды решетки промежуточных фаз приведены в табл. 5.34.

Pd—Ni [9, 351]. Днаграмма состояния системы построена методами термического, микроструктурного и рентгеноструктурного анализов, измерения твердости, магиитных и электрических свойств. Сплавы системы кристаллизуются с образованием непрерывного ряда твердых растворов (рис. 5.203). При понижении температуры предполагается образование упорядоченных областей Ni<sub>2</sub>Pd и NiPd<sub>3</sub>.

Днаграммы состояния Pd с Ru, Os и Ir рассмотрены ранее.

Pd—Pt [9, 351]. Диаграмма состояния представляет собой непрерывный ряд твердых растворов (рнс. 5.204). Свойства сплавов приведены в табл. 5.35.

Взаимодействие палладия с актиноидами

Pd—Th [9, 351, 506, 507]. Диаграмма состояния построена методами дифференциально-термического, рентгеноструктурного и микроструктурного анализов. Установлено, что при легировании Pd торнем [506,

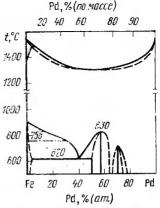


Рис. 5.201. Диаграмма состояния сплавов системы Pd—Fe Pd. % (по массе)

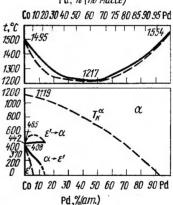
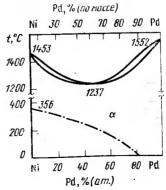


Рис. 5.202. Диаграмма состояния сплавов системы Pd—Co



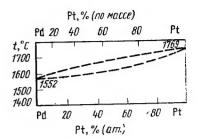


Рис. 5.204. Диаграмма состояния сплавов системы Pd—Pt

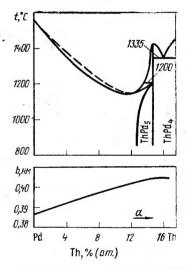


Рис. 5.205. Днаграмма состояния сплавов системы Pd—Th и параметры решетки сплавов на основе Pd

Рис. 5.203. Диаграмма состояния сплавов системы Pd—Ni

#### СВОЙСТВА СПЛАВОВ ПАЛЛАДИЙ - ПЛАТИНА

F	'd	нв,	НВ, σ <sub>в</sub> , МПа МПа		ρ·10 <sup></sup> прі	$\rho \cdot 10^{-8}$ Ом · м, при $t$ , °C	
% (по массе)	% (ат.)	МПа		МПа δ, %	25	100	α <sub>25-100</sub> × 10 <sup>-3</sup>
10 20 30 40 50 60 70 80 90	5,73 12,02 18,98 26,71 35,34 45,05 56,05 68,62 83,11	335 433 495 515 455 445 435 390 363	190,6 217,4 248,3 271,6 274,2 286,5 282,6 273,3 237,4	26,6 30 29,2 32,5 30,0 30,3 36,0 36,7 36,1	17, 19 20, 82 25, 04 27, 81 25, 73 28, 82 27, 60 24, 55 19, 51	19,25 23,33 27,38 30,01 28,33 30,92 29,68 26,82 22,05	22,62 16,75 12,86 10,83 13,94 10,04 10,31 12,72 18,15

507] резко снижается его температура плавления, образуя миннмум на крнвой солидус при 13,6 % (ат.) Тh и 1145 °C (рис. 5.205). Растворнмость Th в Pd составляет 16,2 % (ат.) прн 1200 °C. Крнсталлическая структура промежуточных фаз приведена в табл. 5.36.

Pd—Np [508]. Данных о взаимодействии Pd с Np нет. Исследовано электрическое сопротивление сплавов Pd, содержащих до 13 % (ат.) Np. При содержании менее 7,5 % (ат.) Np на кривых температурной

зависимости электросопротивления наблюдается минимум.

Pd—U [9, 351, 509, 510]. Диаграмма состояния системы построена методами термического, рентгеноструктурного и микроструктурного анализов (рис. 5.206). Кристаллическая структура соединений приведена в табл. 5.36.

Pd—Pu [9, 351, 511—513]. Диаграмма состояния системы построена методами термического, микроструктурного н рентгеноструктурного

ТАБЛИЦА 5.36
КРИСТАЛЛИЧЕСКИЕ СТРУКТУРЫ ПРОМЕЖУТОЧНЫХ ФАЗ В СИСТЕМАХ
ПАЛЛАДИЯ С АКТИНОИПАМИ

Соединение	Тип структуры	Параметры решетки, нм
Th <sub>3</sub> Pd <sub>5</sub> ThPd <sub>4</sub> ThPd <sub>5</sub> ThPd Th <sub>2</sub> Pd UPd <sub>4</sub> UPd <sub>3</sub> PuPd <sub>3</sub> PuPd Pu <sub>3</sub> Pd	(Th <sub>3</sub> Pt <sub>5</sub> ) Cu <sub>3</sub> Au TiNi <sub>3</sub> FeB Terp. (CuAl <sub>2</sub> ) Cu <sub>3</sub> Au TiNi <sub>3</sub> Cu <sub>3</sub> Au FeB Ромбоэдр.	a=0,7149, c=0,3899 a=0,4100 a=0,5856, c=0,9826 a=0,7249, b=0,4571, c=0,5856 a=0,7308, c=0,5960 $a=0,4068\div0,4061$ a=0,5769, c=0,9640 $a=0,4077\div0,4119$ a=0,7036, b=0,4550, c=0,5663 $a=0,7916, a=114,2^{\circ}$ (в гекс. сниметрин $a=1,3304, c=0,5783$ )

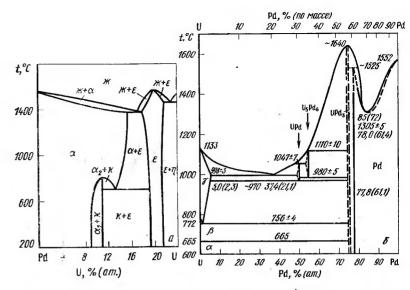


Рис. 5.206. Диаграмма состояния сплавов системы Pd—U по данным [509] (a) и [351] (б)

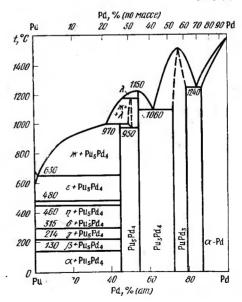


Рис. 5.207. Диаграмма состояиия сплавов системы Pd—Pu

анализов (рис. 5.207). Кристаллические структуры промежуточных фаз приведены в табл. 5.36.

### 5.8. Двойные диаграммы состояния платины

Взаимодействие платины с элементами І группы

Взанмодействие платины с щелочными металламн ограничено. Известно об образованин отдельных фаз в системах Pt с Li и Na [9,441], кристаллическая структура которых приведена в табл. 5.37.

Взанмодействие Рt с Au и Ag рассмотрено ранее.

Рt—Си. Сплавы системы исследовались неоднократно. По данным большинства авторов, сплавы кристаллизуются с образованием непрерывного ряда твердых растворов (рис. 5.208). При понижении температуры наблюдается образование упорядоченных фаз — соединений Н. С. Курнакова. Уточнениые границы упорядочения в областн РtСи приведены на рис. 5.208 [514]. Наибольшее число исследователей считают доказанным существование упорядоченных фаз при составах, соответствующих РtСи н РtСи₃. Однако в работах А. А. Рудницкого [320] и Пресиякова [515, 516] сообщалось об областях упорядочения при составах, соответствующих РtСи₅, РtСи₄, РtСи₁, РtСи₁. Взаимодействие платины с элементами II группы

Взаимодействие Pt с щелочноземельными металлами недостаточно изучено. Известно о существовании отдельных промежуточных фаз, крис-

таллическая структура которых приведена в табл. 5.37.

Pt—Mg [9]. Диаграмма состояния еще не построена. Отмечается большая растворимость Mg в Pt [более 14 % (ат.)]. На рис. 5.209 схематнчески показано положение фазовых областей в системе. Предполагается, что в результате упорядочения образуется соединение Pt₁Mg.

Рт.—Ва. Диаграмма состояння системы до 40 % (ат.) Ва построеиа методами измерения температуры плавления, микроструктурного н реитгеноструктурного фазового анализов, измерения твердости и микротвердости фаз [9]. В исследованном интервале температур и концен-

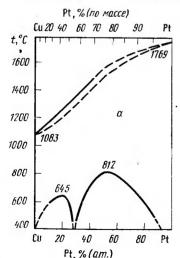


Рис. 5.208. Диаграмма состояния сплавов системы Pt—Cu

траций в системе обнаружены два соединения  $Pt_5Ba$  и  $Pt_2Ba$  (рис. 5.210). Растворимость Ba в Pt <0.05 % (ат.).

Pt—Zn, Ca [404]. Ориентировочные диаграммы состояния систем Pt—Zn и Pt—Cd приведены на рис. 5.211 и 5.212. Системы характеризуются образованием большого числа

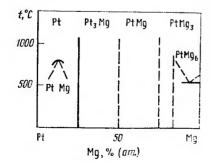


Рис. 5.209. Диаграмма состояння сплавов системы Pt-Mg

## ПРОМЕЖУТОЧНЫЕ ФАЗЫ В СИСТЕМАХ ПЛАТИНЫ С ЭЛЕМЕНТАМИ А ПОДГРУППЫ

Соединение	Тип структуры	Периоды решетки, нм
LiPt <sub>7</sub>	Куб.	a = 0.77.58
LiPt <sub>2</sub>	MgCu <sub>2</sub>	a = 0.760
LiPt	CsCl	a = 0.2986
	Гекс.	a=0,4200, c=0,2655, c/a=
Li₂Pt	Tekc.	=0.0632
NaPt <sub>2</sub>	MgCu <sub>2</sub>	a = 0.748
	ү-латунь	u=0,7 #0
Be <sub>21</sub> Pt	MarCar	a = 0.6004
Be₅Pt	MgCu <sub>5</sub>	
Be <sub>12</sub> Pt	ThMn <sub>12</sub>	a=0.7237, c=0.4252
Be <sub>15</sub> Pt	Гекс.	a=2,213, c=2,712
$MgPt_7$	Куб. сверхстр.	a=0.7824 прн 14 % (ат.) Mg $a=0.388$ , $c=0.372$ , $c/a=0.096$
$MgPt_5$	Тетр.	a=0.388, $c=0.372$ , $c/a=0.096$
M <b>g</b> Pt₃	Куб.	a=0,3906 при 28,4 % (ат.) М
MgPt	FeSi	a = 0.4863
Mg <sub>3</sub> Pt	Na <sub>8</sub> As	a=0.4577, c=0.8322
Mg <sub>6</sub> Pt	Г. ц. к.	a=2,011
CaPt₂	MgCu <sub>2</sub>	a = 0.7629
SrPt <sub>5</sub>	CaCu <sub>5</sub>	a=0.5397, c=0.4364
SrPt <sub>2</sub>	MgCu <sub>2</sub>	a = 0.7742;
311 12	Ing Cuz	a = 0.7777
BaPt <sub>5</sub>	CaCu <sub>5</sub>	a=0.5505, c=0.4342, c/a=0.161
BaPt <sub>2</sub>	MgCu <sub>2</sub>	a=0.7920
ScPt₃	Cu <sub>8</sub> Au	a = 0.3954
ScPt	CsC1	a=0.3270
YPt <sub>5</sub>	SmPt <sub>5</sub>	a=0.5240, b=0.9123, c=2.65
YPt <sub>3</sub>	Cu <sub>3</sub> Au	a = 0.40761
YPt <sub>2</sub>	MgCu <sub>2</sub>	a = 0.75936
YPt	FeB	a=0.7010, b=0.4471, c=0.558
LaPt <sub>5</sub>	CaCu₅	a=0.5385, c=0.4376
LaPt <sub>3</sub>	Cu <sub>3</sub> Au	a=0.40745
LaPt <sub>2</sub>	MgCu <sub>2</sub>	a = 0.7774
LaPt	CrB	a=0.3974, b=1.1037, c=0.455
CePt₅	CaCu <sub>5</sub>	a=0.5365, c=0.4381
CePt <sub>8</sub>	AuCu <sub>3</sub>	a = 0.4162
CePt <sub>2</sub>	MgCu <sub>2</sub>	a = 0,77329
CePt	CrB	a = 0.3921, b = 1.0920, c = 0.455
		a = 0.5348, c = 0.4385
PrPt <sub>5</sub>	CaCu <sub>5</sub>	
PrPt <sub>3</sub>	AuCu <sub>3</sub>	a = 0.40650
PrPt <sub>2</sub>	MgCu <sub>2</sub>	a=0.76470
PrPt	FeB	a=0.7294, b=0.4560, c=0.569
PtNd <sub>5</sub>	CaCu <sub>5</sub>	a=0.5344, c=0.4393
PtNd <sub>3</sub>	Cu <sub>3</sub> Au	a = 0.40590
Pt <sub>2</sub> Nd	MgCu <sub>2</sub>	a = 0.76258
PtNd	FeB	a=0.7256, $b=0.4551$ , $c=0.566$
SmPt <sub>5</sub>	SmPt <sub>5</sub>	a=0.5305, $b=0.9110$ , $c=2.6$
SmPt <sub>3</sub>	Cu <sub>s</sub> Au	a = 0.40633
SmPt <sub>2</sub>	MgCu <sub>2</sub>	a = 0.7662
	FeB	a=0.7152, b=0.4525, c=0.565
SmPt	I CD	

Соединение	Тип структуры	Периоды решетки, им		
EuPt <sub>5</sub>	SmPt <sub>5</sub>	a=0.5305, b=0.9100, c=2.636		
EuPt <sub>2</sub>	MgCu <sub>2</sub>	a=0.77050		
GdPt <sub>5</sub>	SmPt <sub>5</sub>	a=0.5289, b=0.9071, c=2.643		
GdPt <sub>2</sub>	MgCu <sub>2</sub>	a=0.76349;		
		a=0.7577		
GdPt	FeB	a=0.7088, $b=0.4502$ , $c=0.5590$		
TbPt₅	SmPt₅	a=0.5248; $b=0.9092$ , $c=2.644$		
ՐԵPt₃	Cu₃Au	a = 0.40839		
rbPt <sub>2</sub>	MgCu <sub>2</sub>	a = 0.75388		
rbPt	FeB	a=0.7018, b=0.4494, c=0.5561		
DyPt₅	SmPt₅	a=0.5237, $b=0.9098$ , $c=2.647$		
		a=0,4072		
$DyPt_3$	Cu₃Au	a=0,40723		
$DyPt_2$	MgCu <sub>2</sub>	a = 0.75966;		
		a=0.5466, $b=0.4453$ , $c=0.7118$		
DyPt	FeB	a=0,5466, b=0,4453, c=0,7118 a=0,6983, b=0,4478, c=0,5544		
HoPt₅	SmPt₅	a=0.5231, b=0.9091, c=2.649		
HoPt₃	Cu <sub>3</sub> Au	a = 0.4064		
HoPt <sub>2</sub>	CuMg <sub>2</sub>	a = 0.7586		
HoPt	FeB	a=0.6951, b=0.4470, c=0.5532		
ErPt₅	SmPt <sub>5</sub>	a=0.5229, b=0.9085, c=2.65		
ErPt <sub>s</sub>	Cu <sub>3</sub> Au	a = 0.4053		
ErPt <sub>2</sub>	MgCu <sub>2</sub>	a = 0.7575		
Er <b>Pt</b>	FeB	a=0,6904, b=0,4454, c=0,5512		
ΓmPt₅	SmPt <sub>5</sub>	a=0.5213, b=0.9071, c=2.649		
r Di	0	a = 0.4044		
ImPt₃	Cu <sub>3</sub> Au	a = 0.40423		
ſmPt₂	MgCu <sub>2</sub>	a=0.7556		
ſmPt	FeB	a=0,6855, b=0,4446, c=0,5496		
VI. D4	Cu Au	a = 0.4032		
YbPt <sub>8</sub>	Cu <sub>3</sub> Au	a=0.40455		
YbPt <sub>2</sub>	MgCu <sub>2</sub>	a = 0.7381		
LuPt <sub>s</sub>	Cu₃Au FeB	a = 0.4030		
LuPt	T:D+	a=0.6810, b=0.4417, c=0.5479		
TiPt <sub>8</sub>	TiPt <sub>8</sub>	a=0.8312, c=0.3897		
TiPt <sub>3</sub>	Cu <sub>3</sub> Au	a = 0.3916		
TiPt <sub>s</sub>	TiNi <sub>3</sub>	a=0.552, c=0.902		
r:D4 (D)	Ti <sub>3</sub> Pt <sub>5</sub> CsCl	a=1,0953, b=0,5441, c=0,8169		
riPt (B)	AuCd	a=0.3192		
ΓiPt (H) Ti₃Pt		a=0,4592, b=0,2761, c=0,4838		
ZrPt <sub>s</sub>	Cr₃Si Ti₃Ni	a = 0.5033		
ZIFtg	113141	a=0,5645, c=0,9235, c/a=0,1635		
ZrPt	CsCl	a = 0.331		
ZrPt	CrB	a=0.3409, $b=1.0315$ , $c=0.4277$		
Zr <sub>5</sub> Pt <sub>3</sub>	Mn <sub>5</sub> Si <sub>3</sub>	a=0.8201, c=0.5405		
HfPt <sub>8</sub>	TiNi <sub>3</sub>	a=0.5646, $c=0.9228$ , $c/a=0.103$		
Hf <sub>2</sub> Pt <sub>3</sub>	MoSi <sub>2</sub>	a=0.343, $c=0.873$ , $c/a=0.254$		
HfPt	CsC1	a=0.323		
HfPt	CrB	a=0.3435, b=1.0269, c=0.4288		
Hf₂Pt	Ti <sub>2</sub> Ni	a=1,235		

Соединение	Тип структуры	Периоды решетки, нм
VPt <sub>3</sub> (B)	Cu <sub>3</sub> Au	a = 0.387
VPt <sub>3</sub> (H)	TiAl <sub>3</sub>	$a = 0.3860 \div 0.3847,  c = 0.7819 \div 0.8796$
$VPt_2$	MoPt <sub>2</sub>	a=0.2724, $b=0.8302$ , $c=0.3786$
VPt (B)	CuAu	a=0.381, c=0.388
VPt (H)	AuCd	a=0,442, b=0,269, c=0,476 $a=0,4821 \div 0,4813$
V <sub>s</sub> Pt	Cr <sub>3</sub> Si	a = 0.4808
NbPt <sub>3</sub> (B)		a=0.5537, b=0.4870, c=0.2733 $a=90^{\circ}32'$
NbPt <sub>3</sub> (H)	TiCu <sub>3</sub>	a=0,457, b=0,554, c=0,448
$NbPt_3$ (H)	TiCu <sub>3</sub>	a=0.5534, b=0.4873, c=0.4564
NbPt <sub>2</sub>	MoPt <sub>2</sub>	a=0,279, b=0,844, c=0,395
	AuCd	a=0,462, b=0,278, c=0,498
NbPt (H)	β-U	
Nb₂Pt		a=0.989, c=0.511
Nb <sub>5</sub> Pt <sub>2</sub>	σ-фаза	a=0.991, c=0.512
Nb₃Pt -	β-Ŵ	$a = 0.5147 \div 0.5166$
TaPt₄	TiAl <sub>3</sub>	a=0.858, c=1.060;
		a=0.391, c=0.794
α-TaPt₃	TiCus	a=0.5538, $b=0.4874$ , $c=0.4560$
β-TaPt <sub>s</sub>	Монокл.	a=0.5537, b=0.4869, c=2.733
•		$\alpha = 90^{\circ}32,4'$
TaPt <sub>2</sub>		a=0.8403, b=0.4785, c=0.4744
TaPt <sub>2</sub> (H)	$\sim$ VAu <sub>2</sub>	a=0,473, b=0,478, c=0,837
Та₂Рt (σ-фаза)	B-U	a=0.995, c=0.516
Cr <sub>3</sub> Pt <sub>2</sub>	Cr₃Si	$a = 0.4684 \div 0.4708$
MoPt <sub>2</sub>	MoPt <sub>2</sub>	a=0.2758 $b=0.827$ $c=0.394$
rior tz		a=0,2748, b=0,8238, c=0,391
MoPt	MgCd	a=0.5448, b=0.4903, c=0.448
MoPt	NiaSn	a=0,559, c=0,451
MoPt	AuCd	a=0.447, b=0.274, c=0.489
	Mg	$a = 0.2808 \div 0.2789, c = 0.4500 \div$
<b>ε-фа</b> за	l''ig	0.4486, $c/a=0.160-0.161$
	M = C1	a=0.5615, $c=0.4489$ , $c/a=0.08$
ε'-ф <b>а</b> за	Mg <sub>3</sub> Cd	
В-фаза	Cr₃Si	a=0.498
Pt-35 % W (γ)	Тетр.	a=0.3895, c=0.3943, c/a=1.01
Pt-(45-50) %	Гекс.	a=0,279, c=0,450, c/a=1,61
$W(\varepsilon)$		0.000 1 0.0001 0.0000
WPt <sub>2</sub>	MoPt <sub>2</sub>	a=0,2762, b=0,8251, c=0,390
Th <sub>3</sub> Pt <sub>5</sub>	Th <sub>3</sub> Pd <sub>5</sub>	a=0.7162, c=0.3908
ThPt	· CrB	a=0,3900, b=1,109, c=0,445
Th <sub>3</sub> Pt <sub>7</sub>	ThaIr7	a=1,0126, c=0,6346
PuPt <sub>5</sub>	AuBe <sub>5</sub>	_
PuPt <sub>3</sub>	Cu <sub>3</sub> Au	a=0,4107
PuPt <sub>2</sub>	MgCu <sub>2</sub>	a=0.7631-0.7653
PuPt	CrB	a=0.3816 $b=1.0694$ $c=0.42$
UPt₃	Mg <sub>3</sub> Cd	a = 0.5764, c = 0.4899
UPt <sub>2</sub>	- 1E.300	a=0.560, b=0.968, c=0.412
	Cu <sub>3</sub> Au	a = 0.3891
∼MπPt₃ MπPt (B)	CsC1	
MπPt (B)	CECI	

Соединение	Тип структуры	Периоды решетки, нм		
MnPt (H)	AuCu	a=0,2831, c=0,3664, c/a=0,1299		
CoPt <sub>3</sub>	AuCu <sub>3</sub>	a=0.3831		
CoPt	AuCu	a=0,3793, c=0,3675, c/a= = 0.0969		
NiPt	AuCu	a = 0.3823, c = 0.3589, c/a = 0.0939		

 $\Pi$   $\dot{p}$  и м е ч а и и е. В — высокотемпературная модификация,  $\,$  H — низкотемпературная модификация.

ТАБЛИЦА 5.38

КРИСТАЛЛИЧЕСКАЯ СТРУКТУРА ПРОМЕЖУТОЧНЫХ ФАЗ В СИСТЕМАХ платины с в-элементами

Pt <sub>5</sub> Zn <sub>21</sub> Pt <sub>6</sub> Zn <sub>12</sub> PtCd [42—48 % (ат.) Cd]         PtCd [42—48 % (ат.) Cd]         AtCu         a=1,8116         a=2,879, b=0,694, c=0,276 a=0,417, c=0,3811, c/a=a=0,417,  c=0,2913, c/a=a=0,4687, c=0,2913, c/a=a=0,4687, c=0,2913, c/a=a=0,3358, c=0,4058, a=0,3358, c=0,4058, a=0,3358, c=0,4058, a=0,3358, c=0,4058, a=0,7732±0,7688, c=0,7732±0,7688, c=0,7792±0,7844         a=0,3876, b=0,5805, c=0,4063, a=0,7732±0,7688, c=0,7792±0,7844         a=0,3876, b=0,5805, c=0,4063, a=0,7732±0,7688, c=0,7792±0,7844         a=0,3876, b=0,5805, c=0,4063, a=0,7732±0,7688, c=0,7792±0,7844         a=0,3876, b=0,5805, c=0,4063, a=0,7792±0,7688, c=0,5172, a=0,4865, a=0,4209, c=1,034, a=0,4209, c=1,034, a=0,4209, c=1,034, a=0,4208, c=0,5172, a=0,5922, a=1,923, a=0,77742, b=0,7742, c=0,7858, a=0,77742, b=0,7742, c=0,7858, a=0,3892	Соединение	Тип структуры	Параметры решетки, нм	
v-фаза [~30—50 % (ат.) Zn]       CuAu       a=0,4037, c=0,3473, c/a=0,0860         PtZn <sub>2</sub> (1,7)       AIB <sub>2</sub> a=0,4037, c=0,3473, c/a=0,0860         PtZn <sub>2</sub> (1,7)       AIB <sub>2</sub> nph 47,2 % (ar.) Zn         Pt <sub>7</sub> Zn <sub>12</sub> Pt <sub>7</sub> Zn <sub>12</sub> PtCd[42—48 % (ar.) Cd]       y-латунь — AuCu       a=0,411, c=0,2744, c/a=0,0668         PtCd <sub>2</sub> PtG <sub>2</sub> PtH <sub>2</sub> Ass PtH <sub>2</sub> PtH <sub>2</sub> AiB <sub>2</sub> Py-латунь — a=0,417, c=0,3811, c/a=0,417, c=0,417, c=0,	Pt₃Zπ	CitaAii	g=0.3803	
PtZn <sub>2</sub> (1,7)       AlB <sub>2</sub> при 47,2 % (ат.) Zn       a=0,411, c=0,2744, c/a=0,0668         Pt <sub>5</sub> Zn <sub>21</sub> Pt-Zn <sub>12</sub> Pt-Zn <sub>12</sub> npu 64,7 % (at.) Zn       a=0,411, c=0,2744, c/a=0,0668         PtCd <sub>2</sub> (at.) Cd]       PtCd <sub>2</sub> AuCu       a=1,8116       a=2,879, b=0,694, c=0,276       a=0,417, c=0,3811, c/a==0,0914       a=0,4867, c=0,276       a=0,4687, c=0,2913, c/a==0,0621       a=0,4687, c=0,2913, c/a==0,0621       a=0,4687, c=0,2913, c/a==0,0621       a=0,4687, c=0,2913, c/a==0,0621       a=0,6816       a=0,3358, c=0,4058       a=0,3358, c=0,4058       a=0,3358, c=0,4058       a=0,3358, c=0,4058       a=0,7732±0,7688       c=0,7792±0,7844       a=0,3876       a=0,5413, b=1,073, c=0,3950       a=0,4865       a=0,5413, b=1,073, c=0,3950       a=0,4865       a=0,4209, c=1,034; a=0,4208, c=0,5172       a=0,4209, c=1,034; a=0,4208, c=0,5172       a=0,5922       a=1,923       a=1,923       a=1,90, c=1,08       a=1,90, c=1,08       a=1,90, c=1,08       a=0,71742, b=0,7742, c=0,7858       a=0,71742, b=0,7742, c=0,7858       a=0,3892			a=0.4037, $c=0.3473$ , $c/a=0.0860$	
Pt <sub>2</sub> Zn <sub>12</sub> Pt <sub>7</sub> Zn <sub>12</sub> AuCu         a=1,8116         a=2,879, b=0,694, c=0,276         a=0,417, c=0,3811, c/a=0,417, c=0,4687, c=0,4081, c=0,4687, c=0,4081, c=0,4681,	Pt $Zn_2$ (1,7)	AlB <sub>2</sub>	$\begin{vmatrix} \text{при } 47,2 \% \text{ (ar.) } Zn \\ a=0,411, c=0,2744, c/a=0,0668 \end{vmatrix}$	
PtCd [42—48 % (at.) Cd] PtCd <sub>2</sub> $\gamma$ -μasa [82,5— 85,5 % (at.) Cd] PtHg $\gamma$ -μatyhb $\gamma$ -μatyhb $\gamma$ -μatyhb $\gamma$ -μatyhb $\gamma$ -μatyhb $\gamma$ -μatyhb $\gamma$ -μatyhb $\gamma$ -μatyhb $\gamma$ -μatyhb $\gamma$ -μatyhb $\gamma$ -μatyhb $\gamma$ -μatyhb $\gamma$ -μatyhb $\gamma$ -μatyhb $\gamma$ -μatyhb $\gamma$ -μatyhb $\gamma$ -ματyhb  $\gamma$ -ματγhb $\gamma$ -		ү-латунь	a=1,8116	
PtCd2       γ-фаза [82,5—       AlB2       γ-латунь       a=0,9897         85,5 % (ат.) Cd]       CuAu       a=0,420, c=0,3826, c/a=0,0908         ptHg2       Tetp.       a=0,420, c=0,3826, c/a=0,0908         ptHg4       O. u. k.       a=0,4687, c=0,2913, c/a=         ptB       PoM6ич.       a=0,6186         ptB       PoM6ич.       a=0,3358, c=0,4058         ptB       PoM6ич.       a=0,3356, b=0,5805, c=0,4063         a=0,7732±0,7688       c=0,7792±0,7844         a=0,7732±0,7688       c=0,7792±0,7844         a=0,3876       a=0,3876         a=0,4865       a=0,4865         a=0,4865       a=0,4208, c=0,5172         a=0,4208, c=1,034;       a=0,4208, c=0,5172         a=0,5922       a=1,923         ptAl <sub>2</sub> PtAl <sub>2</sub> PtAl <sub>2</sub> ptAl <sub>4</sub> (Pt <sub>5</sub> Al <sub>21</sub> )       Pt-Al <sub>2</sub> pt-Al <sub>2</sub> ptAl <sub>4</sub> (Pt <sub>5</sub> Al <sub>21</sub> )       Pt-Al <sub>2</sub> pt-Al <sub>2</sub> ptAl <sub>4</sub> (Pt <sub>5</sub> Al <sub>21</sub> )       Pt-Al <sub>2</sub> pt-Al <sub>2</sub> ptAl <sub>4</sub> (Ba       Mohoral       hccade         [77-81 % ar.)]       mohoral       hccade         ptAl <sub>2</sub> mohoral       hccade         ptAl <sub>2</sub> mohoral       hccade	PtCd [42-48 %	AuCu	a=0.417, $c=0.3811$ , $c/a=$	
$\begin{array}{cccccccccccccccccccccccccccccccccccc$		AlB <sub>2</sub>	=0,0914	
$\begin{array}{c ccccccccccccccccccccccccccccccccccc$	γ-фаза [82,5— 85,5 % (ат.) Cd]	ү-латунь	a = 0.9897	
$\begin{array}{c ccccccccccccccccccccccccccccccccccc$	PtHg		a=0.420, $c=0.3826$ , $c/a=0.0909$	
$\begin{array}{c ccccccccccccccccccccccccccccccccccc$	0-	Тетр.	a = 0.4687, $c = 0.2913$ , $c/a =$	
PtB PtB PtB PtB PtB PtB PtB Pt B PtB Pt B Pt B Pt B Pt Ala [Pt_AAl] [80 % (ar.) Pti Pt_3Al	PtHg <sub>4</sub>	О. ц. к.		
$\begin{array}{c ccccccccccccccccccccccccccccccccccc$	PtB	NiAs	a=0.3358, c=0.4058	
$ \begin{array}{c ccccccccccccccccccccccccccccccccccc$			a=0.3356, $b=0.5805$ , $c=0.4063$	
$ \begin{array}{c ccccccccccccccccccccccccccccccccccc$		Тетр.		
$\begin{array}{c ccccccccccccccccccccccccccccccccccc$	(Pt <sub>4</sub> Al) [80 % (ar.) Pti	Сверхстр.		
$\begin{array}{c ccccccccccccccccccccccccccccccccccc$		Cu <sub>3</sub> Au	a = 0.3876	
$\begin{array}{c ccccccccccccccccccccccccccccccccccc$	Pt <sub>5</sub> Al <sub>3</sub>	Rh <sub>5</sub> Ge <sub>8</sub>		
$\begin{array}{c ccccccccccccccccccccccccccccccccccc$	PtAI	FeSi		
PtAl <sub>2</sub> PtAl <sub>4</sub> (Pt <sub>5</sub> Al <sub>21</sub> ) PtAl <sub>4</sub> (Pt <sub>5</sub> Al <sub>21</sub> ) PtAl <sub>4</sub> Pt <sub>4</sub> Ga [77—81 % aт.)] Pt <sub>3</sub> Ga PtAl <sub>5</sub> Right PtAl <sub>5</sub> Pt <sub>4</sub> Ga Pt <sub>5</sub> Cu <sub>8</sub> Au $a=0,4208, c=0,5172$ $a=0,5922$ $a=1,923$ $a=1,923$ $a=1,90, c=1,08$ $a=0,71742, b=0,7742, c=0,7858$ $a=0,71742, b=0,7742, c=0,7858$	Pt <sub>2</sub> Al <sub>3</sub>	Pt <sub>2</sub> Al <sub>3</sub>		
$\begin{array}{c ccccccccccccccccccccccccccccccccccc$		Ni <sub>2</sub> As <sub>3</sub>		
Р $tA1_4$ (Р $t_5A1_{21}$ ) Р $tA1_4$ Псевдотетр. Р $t_4$ Ga (77—81 % ат.)] Р $t_3$ Ga (Сиз Аи Р $t_5$ Ga (Сиз Аи Р	PtAl <sub>2</sub>			
$\begin{array}{c ccccccccccccccccccccccccccccccccccc$	PtAla (PtsAlor)			
$Pt_4Ga$ [77—81 % ат.)] Монокл. нскажен. $a=0,71742,\ b=0,7742,\ c=0,7858$ $a=0,3892$	PtAl4			
[77-81 % ar.)] Terp. $Cu_3Au$ $a=0,3892$				
$Pt_3Ga$ $Cu_8Au$ $a=0.3892$	[77-81 % ar.)]			
71.0			a = 0.3892	
	Pt <sub>3</sub> Ga (H)	Гекс.	a=0.5472, c=0.788	

Соединение	Тип структуры	Параметры решетки, им		
Pt <sub>5</sub> Ga <sub>3</sub>	Орторомб.	a=0.8031, b=0.394, c=0.7440		
[5963 % (ат.)]	оргоромо.			
PtGa	FeSi	a = 0.491		
Pt <sub>2</sub> Ga <sub>3</sub>	Ni <sub>2</sub> As <sub>3</sub>	a=0,423, c=0,518		
Pt <sub>3</sub> Ga <sub>7</sub>	Ir <sub>3</sub> Sn <sub>7</sub>	a = 0.8799		
	Орторомб.	$a=1,5946, b=1,2034, c=2\times$		
PtGa <sub>6</sub>		×0,4433		
Pt <sub>3</sub> In	Cu <sub>3</sub> Au	a=0.3984; a=0.3992		
Pt <sub>3</sub> In	Тетр.	a=0.393, c=0.387		
Pt <sub>2</sub> In	Pt <sub>5</sub> Ga <sub>3</sub>	a=0.818, b=0.781, c=0.408		
Pt <sub>3</sub> In <sub>2</sub>	NiAs	a=0,435, c=0,555		
Pt <sub>3</sub> In <sub>2</sub>	Геке.	a=0.5575, c=1.3657		
Pt <sub>13</sub> In <sub>9</sub>	Монскл.	a=1,5344, b=0,8792, c=0,950,		
I- (131119		$\beta = 3,579^{\circ}$		
Pt <sub>2</sub> In <sub>3</sub>	Ni <sub>2</sub> Al <sub>3</sub>	a=0.453, c=0.551		
PtIn <sub>2</sub>	CaF <sub>2</sub>	a = 0.6366		
Pt <sub>3</sub> In <sub>7</sub>	Ir <sub>2</sub> Sn <sub>7</sub>	a=0.9435		
Pt <sub>8</sub> Tl <sub>2</sub>	Pt <sub>3</sub> Tl <sub>2</sub>	a=0.5645, c=1.3851		
PtTl	CoSn	a=0,5605, c=0,4639		
	CuAl <sub>2</sub>	a=0,6822, c=0,5563		
PtTl <sub>2</sub>	U <sub>3</sub> Si	a=0.546, c=0.786		
Pt <sub>8</sub> Si		a=0,7716, b=0,7773, c=0,7776,		
Pt₃Si (H)	Pt₃Ge	$\beta = 88,15^{\circ}$		
D/ C: (D)	Fe <sub>2</sub> P	a=0.6440, c=0.3573		
Pt <sub>2</sub> Si (B)	ZrH <sub>2</sub>	a=0.3933, c=0.5910		
Pt <sub>2</sub> Si (H)	MπP	a=0.5932, b=0.5595, c=0.3603		
PtSi	1	a=1,3404, c=0,5451		
$Pt_{12}Si_5$ (B)	Ni <sub>12</sub> P <sub>5</sub>	a=0.7931, b=0.7767, c=0.7767,		
Pt₃Ge	Pt₃Ge	$\beta = 90,06^{\circ}$		
Pt <sub>2</sub> Ge	Fe <sub>2</sub> P	a = 0,668, c = 0,353		
	Орторомбич.	a=0.7544, $b=0.3423$ , $c=1.2236$		
$Pt_3Ge_2(H)$	сверхстр.	2 3,131,1 1,111		
71.5	МпР	0 0000 1 05722 0 02701		
PtGe	~MπP	a=0.6088, b=0.5733, c=0.3701		
Pt <sub>2</sub> Ge <sub>3</sub>	~Mir	$a=0.548\times3, b=0.3378, c=$		
		=0,6221		
PtGe <sub>2</sub>	CaCl	a=0,6185, b=0,5767, c=0,2908		
Pt <sub>3</sub> Sn	Cu <sub>3</sub> Au	a = 0.401		
PtSn	NiAs	a=0,411, c=0,5439		
Pt <sub>2</sub> Sn <sub>3</sub>	Гекс.	a = 0.4334, c = 1.2960		
PtSn <sub>2</sub>	CaF <sub>2</sub>	a = 0.6425		
PtSn <sub>4</sub>	Ромбич.	a=0,6388, b=0,6419, c=1,1357		
Pt <sub>s</sub> Pb	Cu <sub>3</sub> Au	a = 0.4053		
PtPb	NiAs	a=0,4258, c=0,5467		
PtPb4	CuAl <sub>2</sub>	a = 0.6666, c = 0.5978		
PtAs <sub>2</sub>	FeS <sub>2</sub>	a = 0.5966		
PtSb	NiAs	a = 0.413, c = 0.548		
	FeS <sub>2</sub>	a = 0.644		
PtSb <sub>2</sub>	NiAs	a=0.412, c=0.5501		
PtBi		0-0,812, 0-0,0001		
$Pl_2Bi_3$	Орторомбич. NiAs	a = 0.8293, b = 0.7121, c = 0.5588 a = 0.412, c = 0.556		
DfRi. (a)	Тригон.	a=0.412, c=0.330 a=0.660, c=0.618		
PfBi <sub>2</sub> (a)	t hu ou.	1 4 - 0,000, 1 - 0,010		

Соединенне	Тип структуры	Параметры решетки, нм		
PtBi <sub>2</sub> (β) PtSe <sub>2</sub>	FeSi <sub>2</sub>	a=0,67022		
PtSe <sub>0,86</sub>	CdI <sub>2</sub> Монокл.	a=0,37278, c=0,50813 a=0,65806, b=0,46248, c=		
PtFe	Ромбич.	a=0,66144, b=0,56360, c=		
PtFe <sub>2</sub> PtPo <sub>2</sub>	NiAs CdI <sub>2</sub> Cd(OH) <sub>2</sub>	$ \begin{array}{l} = 1,1865 \\ a = 0,4111, \ c = 0,5446 \\ a = 0,40259, \ c = 0,52209 \\ a = 0,4104, \ c = 0,5606 \end{array} $		

Примечанне. В — высокотемпературная модификация, Н — низкотемпературиая модификация.

промежуточных фаз, крнсталлическая стуктура которых приведена в табл. 5.37. Отмечается значительная [ $\sim$ 10 % (ат.)] растворимость элементов в Pt.

Pt—Hg [9, 416]. Орнентировочная диаграмма состояния, по данным работы [416], приведена на рис. 5.213. Отмечено, что Рt хорошо образует амальгамы. Кристаллическая структура соединений приведена в табл. 5.38.

Взаимодействие платины с элементами III группы

Pt-Sc [9]. Диаграмма состояния исследована до 30 % (ат.) Sc. В исследованном интервале концентрации подтверждено существование соединений Pt<sub>3</sub>Sc. Максимальная растворимость Sc в Pt ~8 % (ат.).

Pt-Nd [9, 330], Pt-Er [9, 330], Pt-Pr [9, 418] H Pt-Yb [9, 519]

приведены на рис. 5.214-5.217.

Системы характеризуются образованием большого числа химических соединений. Растворимость РЗМ в Рt не превышает 0,1 % (ат.). Для систем Pt с P3M характерно образование соединений Pt<sub>5</sub>R с открытым максимумом. Между соединением Рть и платиной наблюдается эвтектическое равновесне. Эвтектические температуры и эвтектические точки некоторых систем приведены в табл. 5.37. По данным работ [520], соединения Pt<sub>2</sub>R типа Лавес-фазы обладают значительной областью гомогенности [3-10% (ат.)]. Кристаллическая структура соединений Pt с P3M приведена в табл. 5.37.

Рт-В [9, 401, 521]. Система исследовалась неоднократно. По данным работы [521], в системе существуют три борида: РізВ, РізВ, РізВ, (рис. 5.218). Существованне борнда РtВ, известного ранее [404], в этой работе не было подтверждено. В связн с тем, что сплавы Рt с В очень сложны в изготовлении, расхождение известных данных о фазовом составе сплавов системы может объясняться негомогенностью изучаемых силавов. Соединение PtB обладает структурой NiAs с a=0.3358. c==0.4058 нм или ромбической структурой с  $a=0.3358,\ b=0.5805,\ c=0.5805$ 

=0.4063 им.

Pt—Al [9, 332]. Диаграмма состояння системы исследовалась неоднократно различными методами физико-химического анализа. Система характеризуется образованием широкой области твердых растворов на основе Pt и большого числа промежуточных фаз (рис. 5.219). Отмечается сильная температурная завнеимость растворимости Al B Pt. Дальнейшее уточнение днаграммы состояния было проведено в работах [332] на образцах, полученных методом диффузионных слоев.

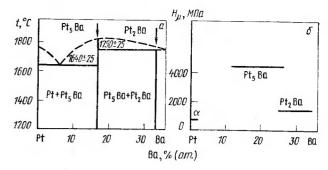
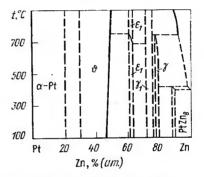


Рис. 5.210. Диаграмма состояния сплавов (а) и днаграмма состав — свойство (б) системы Pt-Ва

t.°C



700 500 300 100 20 40 80 Pt Cd, % (am.)

Рис. 5.211. Диаграмма состояния сплавов системы Pt-Zn

Рис. 5.212. Днаграмма состояния сплавов системы Pt-Cd

и [522] на литых образцах, полученных методом дуговой плавки. Исслепования проведены методами рентгеноструктурного, рентгеноспектрального и металлографического анализов. Кристаллические структуры соединений приведены в табл. 5.38. Авторами работы [522] отмечается спенифический пвет некоторых соединений системы.

Максимальная растворимость А1 в Pt~16 % (ат.) при температуре 500 °C резко снижается н состав-

ляет ~3 % (ат.). Pt-Ga [9, 332]. Система исследована методами термического, мик-

t.°C 700 ~ 480 500 300 ~ 245 60 20 40 80 Hq. %(am.)

Рнс. 5.213. Диаграмма состояния сплавов системы Pt-Hg

роструктурного н рентгеновского анализов. Часть днаграммы состояния, построенная со стороны Са, приведена на рнс. 5.220. Система имеет сложный характер. В ней различными авторами обнаружено девять промежуточных фаз. Кристаллическая структура известных соединений Pt-Ga приведена в табл. 5.38.

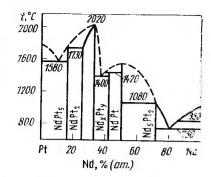


Рис. 5.214. Диаграмма состояния сплавов системы Pt—Nd

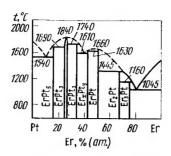


Рис. 5.215. Диаграмма состояния сплавов системы Pt-Er

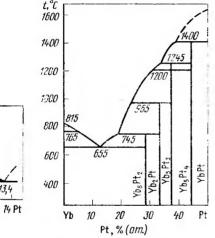


Рис. 5.216. Диаграмма состояния сплавов системы Pt—Pr

718

12

789

C+X

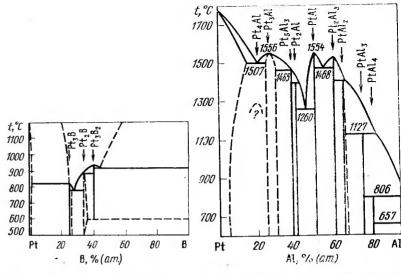
a+PrPt

Pt,% (am.)

Рис. 5.217. Диаграмма состояния сплавов системы Pt—Yb

Pt—In [9, 377, 523]. Система исследовалась неоднократно различными методами физико-химического анализа и характеризуется образованием большого числа промежуточных фаз и значительной растворнмостью Іп в Pt. На рис. 5.221, a приведена диаграмма системы Pt—In, построенная по совокупности работ [9]. Отмечено образование большой области твердых растворов на основе соединения  $Pt_3In$ . Кристаллическая структура промежуточных фаз приведена в табл. 5.38. Сплавы платины с индием в средней части диаграммы состояния [ $\sim$ 60 % (ат.) In] имеют специфическую золотисто-желтую окраску. Легирование Pt In повышает параметры решетки Pt (рис. 5.221,  $\delta$ ). Некоторые свойства твердых растворов на основе Pt приведены в табл. 5.38.

Pt—Tl [488]. Сплавы системы исследовались методами микроструктурного, рентгеноструктурного и термического анализов (рис.



, Рис. 5.218. Диаграмма состояния силавов системы Pt—B

Рис. 5.219. Диаграмма состояния сплавов системы Pt—Ai

5.222). В системе обнаружено сушествование трех промежуточных 1300 фаз. кристаллическая структура которых приведена в табл. 5.38. 1100 Максимальная растворимость TI в  $Pt \sim 1.4 \%$  (ат.). Взаимодействие платины с эле- 900 ментами IV еруппы Pt-Ti [9, 332, 335]. Диаграмма 700 состояния построена методами термического, микро- н рентгеноструктурного анализов (рис. 5.223). Было подтверждено существование в системе соединений TiPt<sub>3</sub> 300 и Ti<sub>3</sub>Pt и обнаружено соединение TiPt. Существование соединения 100 Ti<sub>2</sub>Pt подтверждено не было. В более поздних работах были обнаружены значительная область твердых растворов на основе соединения эквиатомного состава TiPt и мартенситный распал этого соединения: был подтвержден переход от кубической

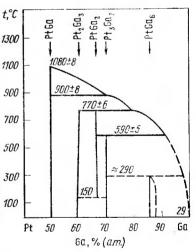


Рис. 5.220. Диаграмма состояния сплавов системы Pt--Ga

структуры типа CsCl к орторомбической типа AuCd [524]. Кроме того, были обнаружены новые промежуточные фазы TiPt<sub>8</sub>, Ti<sub>2</sub>Pt<sub>3</sub>, Ti<sub>3</sub>Pt<sub>5</sub> [9], кристаллические структуры которых приведены **в** табл. 5.37.

Исследование днффузии в тонких пленках Pt и Ti показало, что в диффузионном слое образуются промежуточные фазы TiPt и Ti<sub>3</sub>Pt

800

700

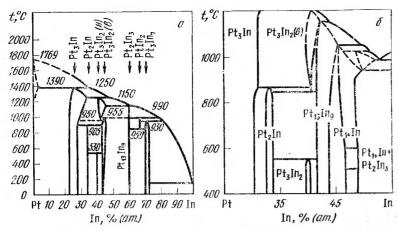


Рис. 5.221. Диаграмма состояния сплавов системы Pt-In по данным [9] (а) [488] (6)

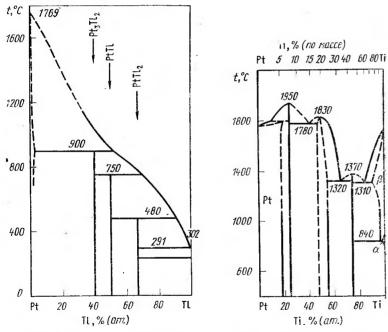


Рис. 5.222. Диаграмма состояния сплавов системы Pt-TI

Рис. 5.223. Диаграмма состояння сплавов системы Pt-Ti

со структурой типа AuCd и Cr<sub>3</sub>Si, причем сначала наблюдалось образование соединения TiPt. Отмечается высокая коррозионная стойкость пленок из соединения Ti<sub>3</sub>Pt.

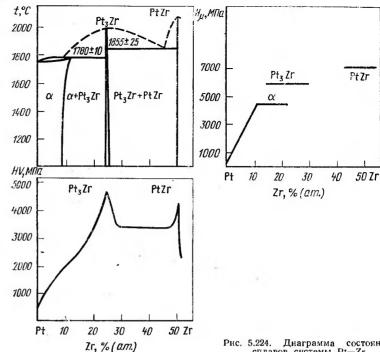


Рис. 5.224. Диаграмма состояння сплавов системы Pt-Zr

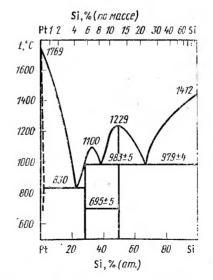


Рис. 5.225. Диаграмма состояния сплавов системы Pt-Si

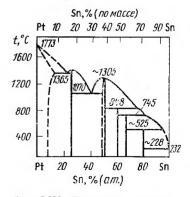
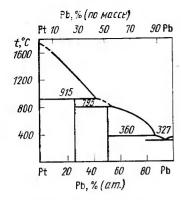


Рис. 5.226. Диаграмма состояния сплавов системы Pt-Sn



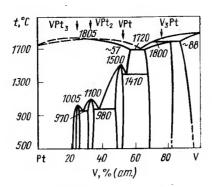


Рис. 5.227. Диаграмма состояния сплавов системы Pt—Pb

Рис. 5.228. Диаграмма состояния сплавов системы Pt—V

Граница твердого раствора на основе Pt не уточнена. Отмечастся значительная [~18—20 % (ат.)] растворимость Ті в Pt. Растворимость Pt в Ті ниже. Pt снижает температуру α→β-перехода Ті.

Pt—Zr [332, 525]. Система исследовалась методами микроструктурного, рентгеноструктурного и термического анализов, измерения твердости и удельного электросопротивления. Диаграмма состояния, исстроенная на основании работ [332, 525], приведена на рис. 5.224.

Диаграмма состояния характеризуется значительной [до 11 % (ат.)] растворимостью Zr в Pt и образованием трех промежуточных фаз, образующихся с открытым максимумом непосредственно из расплава. Соединение PtZr существует в двух модификациях. Кристаллическая структура соединений приведена в табл. 5.37. Сплавы Pt с 6 % (по массе) Zr пластичны. Из них могут быть получены фольга и проволока микронных размеров.

Pt—Hj [9]. Диаграмма состояния не построена. Известно о существовании нескольких промежуточных фаз, кристаллическая структура

которых приведена в табл. 5.37.

Pt-Si [9, 332]. Диаграмма состояния исследовалась неоднократно. В системе (рис. 5.225) было обнаружено три промежуточные фазы:  $Pt_5Si_2$ ,  $Pt_2Si$  и PtSi. Растворимость Si при температуре эвтектики  $830\,^{\circ}\text{C}\sim1.4\,^{\circ}\text{W}$  (ат.). Более поздние исследования показали более сложный характер платиновой части диаграммы состояния Pt-Si (см. рис. 5.225). В работе [526] приведены результаты исследования диаграммы состояния в области существования соединений  $Pt_2Si$  и  $Pt_2Si$ . В этой части диаграммы обнаружено соединение  $Pt_1Si$  отмечается, что большинство силицидов платины существует в двух-трех модификациях. Кристаллическая структура соединений приведена в табл. 5.38.

Pt—Ge [527]. Диаграмма состояния системы построена методами термического, микроструктурного и рентгеноструктурного анализов. Она представляет собой сложную систему с щестью промежуточными фазами. Рt и Ge практически взаимно не растворяются в твердом состоянии. Кристаллическая структура промежуточных фаз приведена в

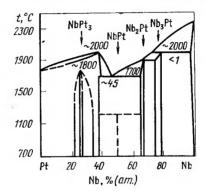
табл. 5.38.

Pt—Sn, Pb [404]. Диаграммы состояния приведены на основании анализа нескольких работ (рис. 5.226, 5.227). Диаграммы имеют сложный характер с большим числом промежуточных фаз. Растворимость Pb в Pt не определялась. Растворимость Sn в Pt предполагается более

8 % (ат.). Растворимость Pt в Sп и Pb мала. Соединения PtSп и PtPb плавятся конгруэнтно при температурах ~1406 и 1305 °C соответственно; соединения Pt₂Sn₃, PtSn₂, PtSn₄ образуются по перитектическим реакциям. В системе Pt—Pb все три известные промежуточные фазы (Pt₃Pb, PtPb₄) образуются по перитектическим реакциям. Кристаллическая структура соединений приведена в табл. 5.38. Обе диаграммы требуют дополнительных исследований.

Взаимодействие платины с элементами V группы

Pt—V [528]. Диаграмма состояния построена методами микроструктурного, рентгеноструктурного и термического анализов и представляет собой сложную эвтектнческую систему с четырьмя промежуточными фазами (рис. 5.228). Система характеризуется образованием широких областей твердых растворов на основе исходных компонентов. Максимальная растворнмость V в Pt составляет ∼57 % (ат.). Твердый раствор на основе Рt кристаллизуется с пологим максимумом при температуре 1805 °С. Периоды решетки твердого раствора на основе Рt изменяются на 0,3920 до 0,3961 нм при 40 % (ат.) V. При поиижении температуры в твердом состоянии образуются три промежуточные фа



2400 TaPt<sub>2</sub> 6

TaPt<sub>3</sub> TaPt

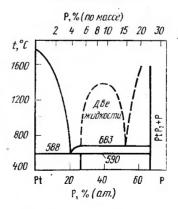
2000 1795 1795

1600 1200 Pt 20 40 60 80 Ta

Ta, %(am.)

Рис. 5.229. Диаграмма состояния сплавов системы Pt—Nb

Рис. 5.230. Диаграмма состояния сплавов системы Pt—Ta



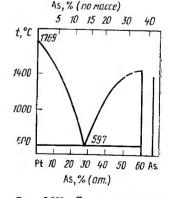
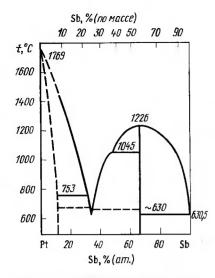


Рис. 5.231. Диаграмма состояния сплавов системы Pt—P

Рис. 5.232. Диаграмма состояния сплавов системы Pt—As



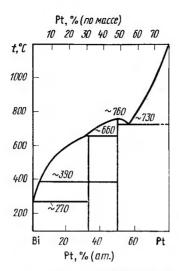


Рис. 5.233. Диаграмма состояния сплавов системы Pt—Sb

Рис. 5.234. Диаграмма состояния сплавов системы Pt—Bi

зы PtV, Pt<sub>2</sub>V и Pt<sub>3</sub>V при температурах  $\sim$ 1500, 1100 и 1015 °C соответственно. Область гомогенности фаз при 900 °C: PtV 48,5—51,5 % (ат.) V; Pt<sub>2</sub>V 32,5—34 % (ат.) V; Pt<sub>3</sub>V ( $\gamma$ ) 22—23 % (ат.) V; Pt<sub>3</sub>V ( $\gamma$ ) 23—27 % (ат.) V. Кристаллическая структура соединений приведена в табл. 5.37. Соединение PtV<sub>3</sub> образуется по перитектической реакции при температуре 1800 °C и обладает областью гомогенности 68—81 % (ат.) V при 1300 °C. Кристаллическая структура этого соединения типа Cr<sub>3</sub>Si. Соединение стабильно в исследованном интервале температур. В системе наблюдается эвтектическое равновесие между твердым раствором на основе Pt и соединением V<sub>3</sub>Pt с эвтектической точкой при 63 % (ат.) V и температуре 1720 °C и три эвтектичдых равновесия между PtV<sub>3</sub> и PtV, PtV и Pt<sub>2</sub>V, Pt<sub>2</sub>V и Pt<sub>3</sub>V при 55, 39, 28 % (ат.) V и температурах 1410, 980 и 970 °C соответствению.

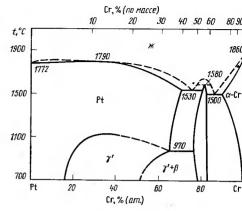
Максимальная растворимость Pt в V ~12 % (ат.) снижается до

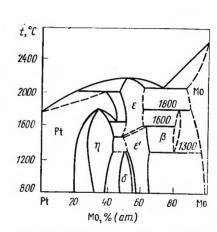
5 % (ат.) при 900 °С.

*Pt—Nb* [529]. Диаграмма состояния системы построена методом микроструктурного, рентгеноструктурного и термического анализов и представляет собой сложную диаграмму с четырымя промежуточными фазами (рис. 5.229). Соединения PtNb₃ и PtNb₂ образуются по перитектическим реакциям и имеют области гомогенности ~2—3 % (ат.). Кристаллическая структура соединений приведена в табл. 5.37. Соединение PtNb образуется по перитектической реакции при температуре ниже 1500 °C. Известно, что соединение PtNb существует в двух модификациях. Соединение Pt₃Nb образуется в результате упорядочения твердого раствора при температуре ~1800 °C и существует в двух модификациях. Имеются также данные о существовании соединения Pt₂Nb со структурой типа MoPt₂ (см. табл. 5.37).

Максимальная растворимость Nb в Pt ~40 % (ат.). Растворимость Nb в Pt при комнатной температуре более 20 % (ат.). Кривая плавкости твердых растворов на основе Pt проходит через максимум при

Рис. 5.235. Диаграмма состояния сплавов системы Pt—Cr





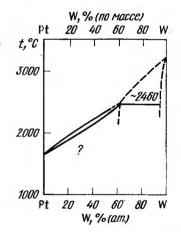


Рис. 5.236. Диаграмма состояния сплавов системы Pt—Mo

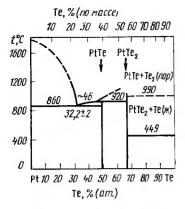
Рис. 5.237. Диаграмма состояния сплавов системы Pt—W

2000 °C 38—39 % (ат.) Nb. В системе наблюдается эвтектическое равновесие между твердым раствором на основе Pt и соединением Nb<sub>2</sub>Pt при 1700 °C и  $\sim$  45 % (ат.) Nb.

Максимальная растворимость Pt в Nb не превышает 1 % (ат.).

Pt—Ta [530]. Система исследована методами термического, микроструктурного и рентгеноструктурного анализов и представляет собой сложную систему с четырьмя промежуточными фазами (рис. 5.230). В системе протекают две эвтектические и одна эвтектоидная реакции. Соединения ТаРt₃ и ТаРt₂ образуются конгруэнтно при 2065 и 2245 °C соответственно, σ-фаза и ТаРt— по перитектическим реакциям при 2200 и 1795 °C соответственно. Кристаллические структуры соединений приведены в табл. 5.37.

Pt—P [9, 404]. Ориентировочная диаграмма состояния приведена на рис. 5.231. В системе обнаружено существование двух фосфидов



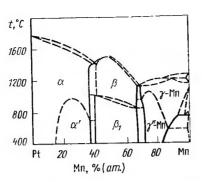


Рис. 5.238. Диаграмма состояния сплавов системы Pt-Te

Рис. 5.239. Диаграмма состояния сплавов системы Pt-Mn

Pt<sub>5</sub>P<sub>7</sub> и PtP<sub>2</sub>. Температура плавления PtP<sub>2</sub> выше 1500 °C. Это соединение стабильно при атмосферном давлении до 1400 °C. Кристаллическая структура PtP<sub>2</sub> типа пирита FeS<sub>2</sub> с a=0,5966 нм. Р снижает температуру плавления Pt. Эвтектическая температура со стороны Pt составляет 588 °C.

Pt—As [9, 404]. Ориентировочная диаграмма системы приведена на рис. 5.232. Встречающийся в природе естественный арсенид близок по созтаву к PtAs<sub>2</sub>. Соединение PtAs<sub>2</sub> изотипно соединениям PtP<sub>2</sub> и PtSb<sub>2</sub> и обладает кубической структурой  $FeS_2$  с a=0.5966 нм.

Pt—Sb [9, 404]. Ориентировочная диаграмма системы приведена на рис. 5.233. Кристаллическая структура соединений: PtSb<sub>2</sub> типа FeS<sub>2</sub> с a=0.64400 им; PtSb типа NiAs с a=0.413, c=0.5488 нм, c/a=1.325.

Рі-Ві [335]. Ориентировочный вариант диаграммы состояния системы приведен на рис. 5.234. В системе установлено существование соединений PtBi<sub>2</sub> и PtBi и предполагается существование соединения Рt<sub>2</sub>Вi<sub>3</sub> в интервале температур 685—570 °С. Кристаллическая структура соединений: PtBi типа NiAs с a=0,4324, c=0,5501 нм; Pt<sub>2</sub>Bi<sub>3</sub>, орторомбическая структура с a=0.8293, b=0.7121, c=0.5588 нм. Соединение PtBi2 существует в трех модификациях. Кристаллическая структура высокотемпературной модификации не определена. Кристаллическая структура PtBi<sub>2</sub>(β), существующая выше 420 °C, кубическая типа  ${
m FeS_2}$  с a=0.67022 нм,  ${
m PtBi_2}(\alpha)$  тригональная с периодами решетки a==0,660, c=0,618 нм. Растворимость Pt в Ві при 441 °С составляет 5,02 % (ат.). Со стороны Ві при 0,85 % (по массе) Рt и 268 °С в системе наблюдается эвтектическое взаимодействие.

Взаимодействие платины с элементами VI группы

Pt—Cr [531]. Диаграмма состояния построена методами термического, микроструктурного и рентгеновского анализов. Она представляет собой сложную систему эвтектического типа (рис. 5.235). Максимальная растворимость Cr в Pt составляет ~71 % (ат.). Твердый раствор на основе Рt кристаллизуется с пологим максимумом. При понижении температуры в этой области концентраций наблюдается упорядочение. Область упорядоченных сплавов при температуре 970 °C простирается от 17 до 65 % (ат.) Ст. По мере увеличения Ст идет непрерывный процесс упорядочения от структуры Cu<sub>3</sub>Au к структуре AuCu. В интервале концентраций 76,5-83 % (ат.) Ст подтверждено также существование соединения PtCr<sub>3</sub>, кристаллическая структура которого приведена в табл. 5.37. В системе наблюдаются два эвтектических взаимодействия: при ~76 и 87 % (ат.) Сг. Максимальная растворимость Pt в

 $Cr \sim 10 \%$  (ат.) при температуре эвтектики 1500 °C.

Pt-Mo [9, 532]. Диаграмма состояния построена методами термического, микроструктурного и рентгеновского анализов. Она представляет собой сложную систему с четырьмя промежуточными фазами (рис. 5.236), кристаллическая структура которых приведена в табл. 5.37. Максимальная растворимость Мо в Pt составляет более 40 % (ат.), растворимость Pt в Mo при 2000 °C составляет 12 % (ат.), при 1000 °С - 2 % (ат.). В результате упорядочения твердого раствора на основе Pt при температуре ниже 1800 °C образуется η-фаза (MoPt<sub>2</sub>), которая обладает областью гомогенности ~14.% (ат.) при 1400°С и ~6 % при 800°С. Существование соединения Рt<sub>3</sub>Мо с тетрагональной структурой (a=0.3897, c=0.3936 нм) [532] не было подтверждено. Типичная для систем платиновых металлов є-фаза образуется непосредственно из расплава с открытым максимумом. Она имеет широкую область гомогенности 52-62 % (ат.) Мо при 1800 °С и претерпевает полиморфное превращение при температурах ниже 1600°C. После отжига с 1000 °C в интервале концентраций 47—55 % (ат.) Мо наблюдается образование соединения РtМо (о-фаза). Существование соединения  $Pt_2W$  со структурой типа  $Pt_2Mo$  с параметрами a=0,2762,  $b\!=\!0.8251,\;c\!=\!0.3907$  нм [335] подтверждено не было. Кристаллическая структура соединений приведена в табл. 5.37. Соединение РtMo3 образуется по перитектоидной реакции при ~1800 °C и эвтектоидио распалается при ~ 1300 °C.

Pt—W [9, 533]. Диаграмма состояния построена методами термического, микроструктурного и реитгеноструктурного анализов. В работе [533] приведена диаграмма состояния системы Pt—W на основании анализа опубликованных работ (рис. 5.237). Более поздняя работа Л. И. Вороновой подтвердила образование области упорядочения в твердых растворах на основе Pt при температурах ниже 1400°С. При этом образуются две упорядоченные фазы: у при 35 % (ат.) W и є с областью гомогенности от 45 до 50 % (ат.) W. Кристаллическая структура промежуточных фаз приведена в табл. 5.37. Анализ имеющихся данных показывает, что низкотемпературная часть диаграммы более сложная и требует дальнейших детальных систематических исследований, так как сплавы Pt-W представляют интерес не только как конструкционные высокотемпературные, но и как материалы для вы-

сокочувствительных датчиков.

Pt-S, Se [404]. Диаграммы состояния этих систем не опубликованы. Имеются даиные о существовании сульфидов и селенидов PtR и PtR<sub>2</sub>. Кристаллическая структура соединений приведена в табл. 5.38.

Pt-Te [335]. Диаграмма состояния построена методами термического, рентгеноструктурного и микроструктурного анализов (рис. 5.238). Она представляет сложную систему эвтектического типа с двумя промежуточиыми фазами. Кристаллическая структура приведена в табл. 5.38.

Pt-Po [9]. Известно о существовании соединения PtPo2 со струк-

турой типа  $Cd(OH)_2$  с периодами a=0,4104, c=0,5606 им. Взаимодействие платины с элементами VII группы

Рт-Мп [404]. Диаграмма состояния системы приведена на рис. 5.239. Диаграмма имеет очень сложный характер. Максимальная растворимость Мп в Pt ~38 % (ат.). Ниже 1000 °С было подтверждено образование упорядоченной структуры типа СизАи. Обнаружено соединение

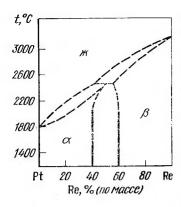


Рис. 5.240. Диаграмма состояния сплавов системы Pt—Re

МпРt с областью гомогенности 32,5—59 % (ат.) Рt. Исследованиями микроструктуры показано, что соединение МпРt существует в двух модификациях. Предполагается, что высокотемпературная модификация МпРt относится к структура CsCl, низкотемпературная — к AuCu. Параметры решетки приведены в табл. 5.37.

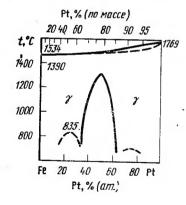
Pt—Tc [9]. Установлено, что в системе нет промежуточных фаз. Отмечается образование широких областей твердых растворов на основе исходных компонентов.

Pt—Re [9]. Диаграмма построена методами термического, микроструктурного и рентгеновского анализов Л. И. Вороновой (рис. 5.240). В системе так же, как и в системе Рt—Os, отмечается образование широких областей твердых растворов на основе исходных ком-

понентов без промежуточных фаз. По дайным Л. И. Вороновой, легирование Рt до 10 % (по массе) Re повышает механическую прочность Рt при высоких и низких температурах в 1,5—2 раза. Исследовано влиние Рt (до 6 %) на деформируемость Re [534]. Добавка к Re до 5,7 % Рt практически не влияет на его деформируемость.

Взаимодействие платины с элементами VIII группы

Pt—Fe [9, 332, 535]. Диаграмма состояния системы исследовалась неоднократно различными методами физико-химического анализа (рис. 5.241, a). Между Pt и изоморфной ей модификацией  $\gamma$ -Fe наблюдается непрерывная растворимость. Платина повышает температуру  $\delta \rightarrow \gamma$ -превращения Fe. В системе образуются три упорядоченные фазы  $FePt_3$ ,



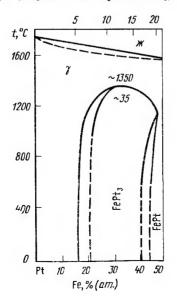


Рис. 5.24 і. Диаграмма состояния сплавов системы Pt—Fe

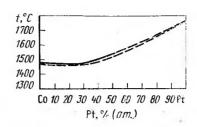


Рис. 5.242. Диаграмма состояния сплавов системы Pt—Co

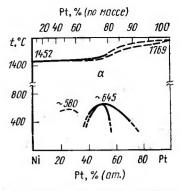


Рис. 5.243. Диаграмма состояння сплавов системы Pt—Ni

FePt, Fe<sub>3</sub>Pt. По данным работы [535], диаграмма состояния в области существования промежуточных фаз Fe<sub>3</sub>Pt и FePt имеет эвтектоидный характер (рис. 5.241, 6).

Pt—Co [9,536]. Система сплавов исследовалась неоднократно различными методами физико-химического анализа (рис. 5.242). Постоянный интерес к сплавам этой системы вызван применением их в качестве высокоэффективных малогабаритных постоянных магнитов. Сплавы системы кристаллизуются с образованием непрерывного ряда твердых растворов. Кривая температур плавления (солидус) проходит через пологий минимум. При понижении температуры наблюдается образование двух упорядоченных фаз Pt<sub>3</sub>Co и PtCo, кристаллическая структура которых приведена в табл. 5.37.

Pt—Ni [9, 332]. Диаграмма состояния аналогична системе Pt—Co (рис. 5.243). Соединение NiPt обладает тетрагональной структурой ти-

па СиАи.

Диаграммы состояния Pt с платиновыми металлами приведены ранее.

Взаимодействие платины с актиноидами

Рt—Th [9, 332]. Диаграмма системы Pt—Th построена методами термического и рентгеновского анализов. В системе обнаружено восемь химических соединений, из которых PtTh, Pt₃Th, Pt₅Th₃ плавятся конгруэнтно при температурах выше 1500 °C. Рt₅Th, Pt₄Th, Pt--Pu [351, 537]. Система исследовалась методами термического, микросгруктурного, рентгеноструктурного анализов, изучения электропроводности и магнитных свойств. Диаграмма состояния [351] представляет сложную систему с пятью химическими соединениями, из которых PuPt₃ и PuPt₅ плавятся конгруэнтно при температурах выше 1800 и 1700 °C соответственно (рис. 5.244). Соединения Pu₅Pt₃, PuPt и

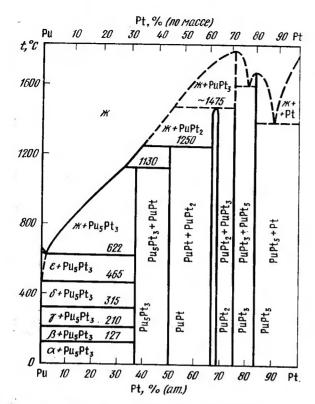


Рис. 5.244. Диаграмма состояния сплавов системы Pt-Pu

 $PuPt_2$  образуются по перитектическим реакциям при 1130, 1250 и 1475°С соответственно. Растворимость Pt в ε-Pu ~1% (ат.), в δ-Pu—менее 1% (ат.). Соединение  $PuPt_5$ , вероятно, обладает кубической структурой типа  $AuBe_5$ . Кристаллическая структура промежуточных

фаз приведена в табл. 5.37.

Pt—U. Диаграмма состояния системы приведена в работе [404]. В системе обнаружено четыре промежуточные фазы, из которых UPt₃ плавится конгруэнтио при 1700 °C; UPt₅ и UPt₂ образуются по перитектическим реакциям при 1460 и 1370 °C; UPt образуется по перитектической реакции при 961 °C. Влияние Pt на β→α-переход U исследовалось в работе [538] измерением электросопротивления при температурах от 0 до 660 °C. Температурная кривая электросопротивления сплава U — 1 % Pt имеет три температурных максимума: первый соответствует диффузионному процессу зарождения и роста α-фазы, второй — бейнитному распаду, третий — мартенситной реакции.

Соединение UPt является ферромагнетиком ниже температуры 30 К. Было измерено удельное электросопротивление соединения UPt в интервале температур 2—298 К. Отмечено, что ниже 10 К р возрастает с температур 2—298 К. Отмечено, что ниже 10 К р возрастает с температур 2—298 К. Отмечено, что ниже 10 К р возрастает с температур 2—298 К. Отмечено, что ниже 10 К р возрастает с температур 2—298 К. Отмечено, что ниже 10 К р возрастает с температуры 30 К.

пературой, выше 60 К оно падает с температурой [539].

Имеется упоминание о существовании соединения  $PtPo_2$ , обладающего гексагональной структурой типа  $Cd(OH)_2$  с периодами решетки  $a=0,4104,\ c=0,5606$  нм. Кристаллическая структура промежуточных фаз приведена в табл. 5.37.

# 5.9. Тройные и многокомпонентные диаграммы состояния золота и серебра

Аи—Ад—Си. Диаграмма состояния имеет широкий температурный интервал поверхности ликвидуса (рис. 5.245). Фазовые превращения ниже температуры плавления претерпевают почти все сплавы, за исключением расположенных вблизи угла Аи (рис. 5.246). С понижением температуры увеличивается область сплавов с двужфазной структурой. Распад однородного твердого раствора сопровождается дисперсионным твердением и наблюдается значительный рост твердости сплавов, зависящий от соотношения Ag: Си в сплаве. При медленном охлаждении и небольшом содержании Ag образуются также упорядоченные фазы Au—Си. Тройные сплавы могут упрочияться одновременно за счет дисперсионного твердения при старении и упорядочения. С ростом содержания Ag упорядоченные фазы в сплавах исчезают [540].

Au-Ag-Pd. Диаграмма состояния системы исследовалась мето-

дами физико-химического анализа.

Устаиовлено, что сплавы системы кристаллизуются с образованием непрерывного ряда твердых растворов. Температура плавления сплавов плавно понижается от угла Pd к стороне Au—Ag. Построены кривые равных периодов решетки для системы Pd—Ag—Au, проведено исследование влияния температуры на периоды решетки; указано, что периоды решеток имеют отклонение от закона Вегарда. Методом дифференциально-термического анализа построено три политермических разреза системы при  $x_{\rm Au}/x_{\rm Pd}=1$ ,  $x_{\rm Ag}/x_{\rm d}=1$ ,  $x_{\rm Ag}/x_{\rm Au}=1$ , где x— мольная доля компонента. Поверхности ликвидуса и солидуса (рис. 5.247, 5.248) являются типичными для регулярных растворов [266, 541].

Au—Ag—O<sub>2</sub>. Растворимость кислорода в сплавах Au—Ag подчиняется закону Шивертса [542] и уменьшается при увеличении содержа-

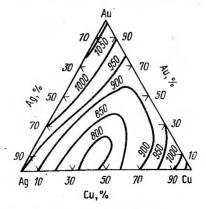
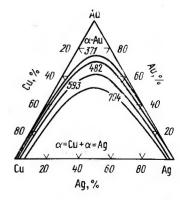


Рис. 5.245. Поверхность ликвидуса сплавов системы Au—Ag—Cu



Рнс. 5.246. Граница однофазной области в системе Au—Ag—Cu

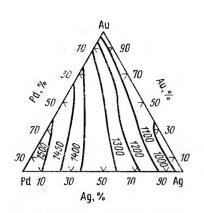


Рис. 5.247. Поверхность ликвидуса сплавов системы Au—Ag—Pd

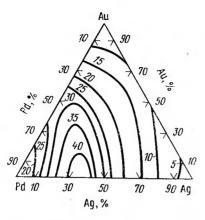


Рис. 5.248. Электросопротивление расплавов системы Au—Ag—Pd

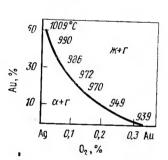


Рис. 5.249. Зависимость температуры равновесия между жид-ким, газообраяным и твердым состоянием в сплавах Au-Ag от содержания Au p  $C_2$ 

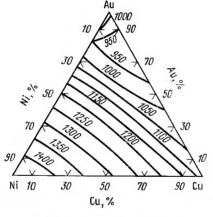


Рис. 5.250. Поверхность ликвидуса силавов системы Au-Ni-Cu

ния Аи, а температура трехфазного равновесия увеличивается (рис. 5.249).

Аи—Си—Ni. Солидус сплавов во всем интервале концентраций близок к ликвидусу (рис. 5.250), за исключением области угла Ni. Распад однородного твердого раствора с г. ц. к. решеткой начинается при высокой температуре, при ее понижении двухфазная область охватывает большинство композиций (рис. 5.251). Упорядоченные фазы AuCu и AuCu<sub>3</sub> растворяются при содержании 3—4 % Ni.

Au—Pd—Cu. Использовали химически чистые металлы. Сплавы выплавляли в дуговой печи и гомогенизировали в вакууме.

Исследования проводили методами микро- и рентгеноструктурного, дилатометрического анализов, измерением электросопротивления.

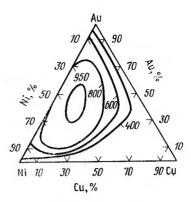


Рис. 5.251. Двухфазные области в системе Au-Cu-Ni

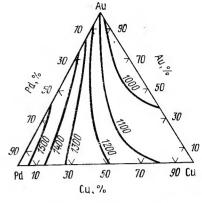


Рис. 5.252. Поверхность ликвидуса сплавов системы Au—Cu—Pd

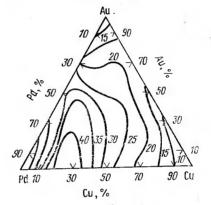


Рис. 5.253. Электросопротивление р сплавов системы Au—Cu—Pd

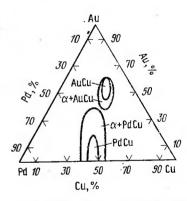
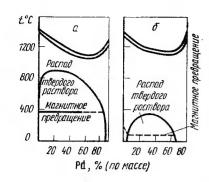


Рис. 5.254. Области фазовых превращений в системе Au—Cu—Pd при 550 °C

Построены изотермы при 350, 450 и 550 °C (рис. 5.252), политермы по разрезам РdCu—AuCu, PdCu—Au, AuCu<sub>8</sub>—Pd и по разрезу с 30 % (ат.) Рd параллельно стороне Au—Cu. Двухфазные области, окружающие упорядоченные фазы AuCu и PdCu, соприкасаются при 545 °C в точке 38 % Au, 29 % Pd и 33 % Cu. Температуры образования фаз PdCu (о. ц. к.) и AuCu (гранецентрированная тетрагональная) повышаются при добавлении соответственно Au и Pd на 50 °C для PdCu и на 185 °C для AuCu.

Упорядоченное тройное соединение на основе AuCu с наивысшей температурой плавления имеет состав: 51 % (по массе) Au, 19 % (по массе) Pd и 30 % (по массе) Cu, и отвечает формуле Au<sub>3</sub>Pd<sub>2</sub>Cu<sub>5</sub>. Сплав с максимальной температурой плавления на основе PdCu имеет состав: 12 % (по массе) Au, 47 % (по массе) Pd и 41 % (по массе) Cu

(рис. 5.253, 5.254).



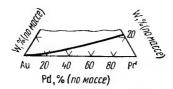


Рис. 5.256. Часть изотермического раздела системы Au—Pd—W при 20°C

▼ Рис. 5.255. Политермические разрезы системы Au—Pd—Co с содержанием 10 % Pd (a) и 20 % Pd (б)

Au—Pd—Co. Использовали Рd губчатый, Au с содержанием примесей не более 0,01 %, Co с содержанием 0,01 % С.

Сплавы выплавляли в криптольной печи в корундовых тиглях под слоем расплавленного BaCl<sub>2</sub>. Изучали девять разрезов с постоянным содержанием Pd через каждые 10 % в областн от 10 до 90 %. Дополнительно исследовали разрезы с 25, 45 и 55 % Pd. Сплавы отжитали в вакууме в течение 100—150 ч при температуре, близкой к температуре солидуса. Закаливали в ледяную воду с 900, 1000 и 1100 °C после выдержки 4 ч.

Йзучена диаграмма состояния системы Pd—Au—Co. Приведены политермические диаграммы сплавов в разрезах с постоянным содержанием 10, 20, 30, 40, 45, 50, 55, 60, 70, 80 и 90 % Pd. Даны нзотермы

поверхности ликвидуса (рис. 5.255).

Исследование проводили методом микроструктурного н рентгеновского анализов, измерением твердости, удельного электросопротивления и его температурного коэффициента [544].

Аи—Ра—W. Использовали W, полученный электронио-лучевой зоп-

ной плавкой, Аи чистотой 99,99 %, Ра чистотой 99,99 %.

Сплавы выплавляли в дуговой печи с вольфрамовым электродом в атмосфере гелия. Отжигали при 1000 °C в течение 100 ч. Исследовали методами микроструктурного и рентгеновского анализов, измерением микротвердости и электросопротивления.

Дан изотермический разрез части системы при комнатной температуре. Определена граница существования тройных твердых растворов,

расположенных вдоль стороны Pd—Au (рис. 5.256) [545].

Au-Pd-Fe. Исследована магнитная структура упорядоченных сплавов  $Fe(Pd_{1-x}Au_x)_3$  (0,133<x<0,4). При атомном упорядочении реализуется антиферромагнитная структура с волновым вектором k, что соответствует в простой кубической решетке одному лучу трехлучевой звезды. Магнитные моменты атомов Fe ориентированы антинараллельно в направлении [001]. Установлена магнитная фазовая диаграмма сплавов [546]. Исследованы магнитные свойства сплавов  $(Pd_{0.67}Fe_{0.38})_{1-x}Au_x$  (x=0-0.2), упорядочивающихся по типу CuAu в широком интервале полей (до  $7.85\cdot10^7$  A/m) и температур (4.2-1200 K) [547]. В интервале 4.2-500 K и в магнитных полях до  $7.85\cdot10^7$  A/m изучены температурные и полевые зависимости намагниченности и  $\chi$  сплавов  $Fe(Pd_{1-x}Au_x)$  (0< x < 0.80) в состояниях с дальним атомным порядком и без него. Построена диаграмма магнитного состояния сплавов [548]. Исследованы электрические свойства и кристаллическая структура упорядочивающихся сплавов Pd-Au-Fe [549].

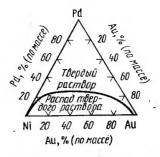


Рис. 5.257. Изотермическое сечение системы Ан-Рd-Ni при 20°C

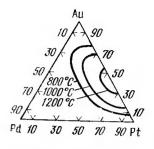


Рис. 5.258. Изотермическое сечение системы Au—Pd—Pt

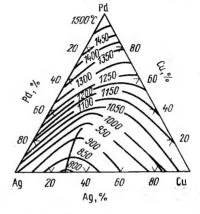


Рис. 5.259. Изотермы ликвидуса системы Ag-Pd-Cu

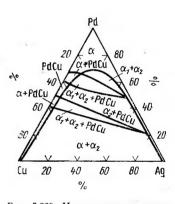


Рис. 5.260. Изотермическое сечение системы Ag-Pd-Cu при 400°C

Au-Pd-Ni. Были использованы Au, содержащее менее 0,01 % примесей, Ni электролитический и Pd губчатый, аффинированный 99,96 %.

Сплавы готовили расплавлением в высокочастотной печи под слоем BaCl<sub>2</sub> с добавками буры. Исследовали методами термического и микроскопического анализов, измерением твердости, удельного электро-

сопротивления и его температурного коэффициента.

Приведена диаграмма системы Au—Pd—Ni при комнатной температуре. В системе образуется непрерывный ряд твердых растворов. При постоянном содержании 10 и 20 % Pd происходит распад твердого раствора с образованием механической смеси твердых растворов на основе Au и Ni (рис. 5.257) 15501.

Au—Pd—Pt. Определяли распространение двухфазной области распада твердого раствора системы Pt—Au в тройной системе Pd—Pt—Au рентгеновским методом Дебая, определением постоянной ре-

шетки для закаленных с 850—1225 °С сплавов.

Представлены изотермы двухфазной области в тройной системе и пространственная модель системы. Приведены кривые изменения про-

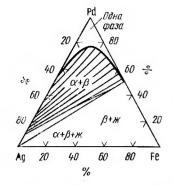


Рис. 5.261. Изотермическое сечение системы Ag-Pd-Fe при 1000°C

странственной решетки для тройных твердых растворов (рис. 5.258) [551].

Исследована т. э. д. с. при 200— 1400°C, а также стабильность т. э. д. с. после иагревов при 1200 и 1400°C [552].

Ад—Рd—Си. Сплавы выплавляли в атмосфере водорода. Исследовали рентгеноструктурным, термическим и микроструктурным методами анализа. Рd—(50 % Ag + 50 % Cu), с 10 Ag и изотермы при 400 и 600 °C (рис. 5.259).

Растворимость Ag в PdCu при 665, 600, 500 и 400 °C составляет 10, 7,5, 5,2 и 4,5 % соответственно. Двойная эвтектика на разрезе PdCu—Ag лежит при 930 °C и 63 % Ag; трехфазная область  $\alpha_1 + \alpha_2 + S$  простирается от 40 до 82 % Ag; границы трехфазной области  $\alpha_1 + \alpha_2 + PdCu$  при 200 °C лежат при 40 и

57,5 % Ад и пересекаются с областью существования  $\alpha_1$ -фазы прн 665°, а с областью PdCu — при 615°C ( $\alpha_1$ —твердый раствор. богатый

Си, а2 — твердый раствор, богатый Ад) [553].

Различными методами физико-химического анализа проводили исследование сплавов тройной системы Pd—Ag—Cu. Приведены распределения фазовых областей при различных температурах и проекция линии двойной эвтектики. На основании данных термического анализа построены изотермы поверхности ликвидуса. Исследованы твердость и электросопротивление сплавов (рис. 5.260) [266].

Ag-Pd-Fe. При проведении работ использовали Pd, Ag и Fe

высокой чистоты (99,9 %).

Сплавы готовили плавлением в криптольной печи под слоем BaCl<sub>2</sub>, обрабатывали при различных температурах, закаливали в воду. Исследование проводили методами микроструктурного, рентгеновского и термического анализов, измерением твердости, электросопротивления и его температурного коэффициента [554, 555].

"Приведена диаграмма фазовых равновесий при комнатной температуре (рис. 5.261). Построены изотермические сечения при 1000, 1100 и 1200 °C. Обиаружена область несмениваемости, прилегающая к сто-

роне Fe-Ag.

Исследовали зависимость парамагнитной восприимчивости, эффективного магнитного момента, температуру магнитного упорядочения от восприимчивости матрицы и концентрации примесей для сплавов системы Pd—Ag—Fe. Рассчитан коэффициент молекулярного поля и константа обменного взаимодействия.

При температурах ниже 77 К исследовали влияние магнитного упо-

рядочения на  $\rho$  сплавов ( $Pd_{1-x}Ag_x$ )  $Fe_y$  [557].

Au—Rh—Pt. При исследовании использовали металлы высокой чистоты. Сплавы готовили в дуговой печи с вольфрамовым электродом. Исследование выполняли методами микроструктурного, рентгеновского и термического анализов. Сплавы отжигали при 600—800 °С в течение ~3600 ч.

Построен изотермический разрез системы при 800 °C. Области существования тройных твердых растворов на основе Au и двойных спла-

вов Rh—Рt весьма узки [704].

В работе [705] представлены политермические разрезы при 5 % (ат.) Rh и 5 % (ат.) Au. Построено изотермическое сечение при 1000 °C.

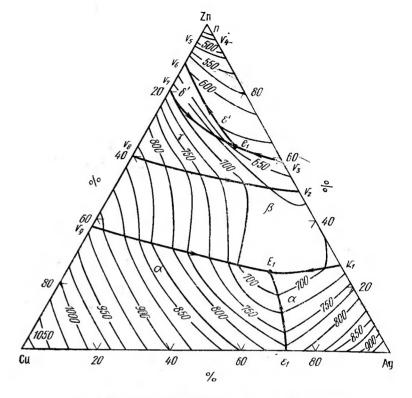


Рис. 5.262. Поверхность ликвидуса системы Ag-Cu-Zn

Увеличение области твердого раствора при повышении температуры незначительно.

Au—Ag—Cu—Zn. С увеличением содержання Zn резко уменьшает-

ся двухфазная область в сплавах Аи—Ад—Си [558].

Ag—Cu—Ni. Преобладает влияние системы Ag—Ni, компоненты которой практически не смешиваются. Двухфазная область, образусмая эвтектикой Ag—Cu, исчезает при добавлении 5 % Ni. Твердый даство отразурноство двухфазная бульный добавлении бульный

раствор ограничивается 5 % Ад [559].

Ag—Cu—Zn. В системе (рис. 5.262) имеются следующие характерные точки: эвтектическая  $e_1$  на стороне Cu—Ag, перитектические  $v_1$ ,  $v_2$ ,  $v_3$ ,  $v_4$  на стороне Ag—Zn, перитектические  $v_5$ ,  $v_6$ ,  $v_7$ ,  $v_8$ ,  $v_9$  на стороне Zn—Cu. Связанные с ними реакции распространяются в тройной системе до пересечений в точках  $E_1$  и  $v_1$  или на всю систему [560].

Ag—Cu—Cd. Поверхность ликвидуса (рис. 5.263) имеет следующие характерные точки: эвтектическую  $e_1$  на стороне Cu—Ag, перитектические  $v_1$ ,  $v_3$ ,  $v_4$  на стороне Ag—Cd, эвтектические  $e_2$  и  $e_3$  и перитектические  $v_5$ ,  $v_6$ ,  $v_7$  на стороне Cd—Cu. Соответствующие им реакции распространяются в тройном поле до точек  $eT_1$ ,  $vT_1$ ,  $vT_2$ ,  $vT_3$ ,  $vT_4$ .

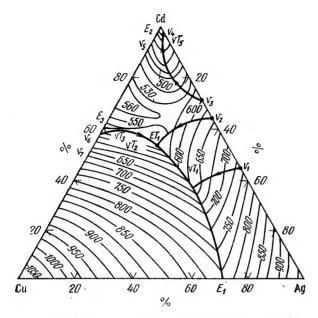


Рис. 5.263. Поверхность ликвидуса системы Ag-Cu-Cd

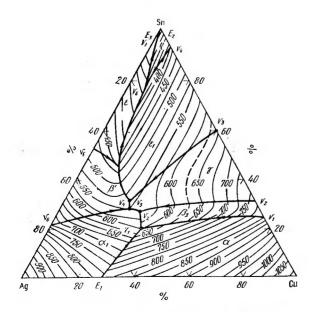


Рис. 5.264. Поверхность ликвидуса системы Ag-Cu-Sn

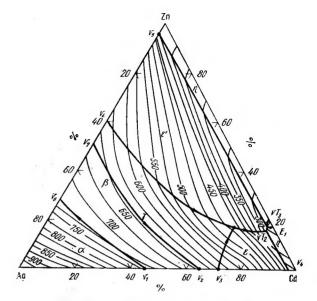


Рис. 5.265. Поверхность ликвидуса системы Ag-Cd-Zn

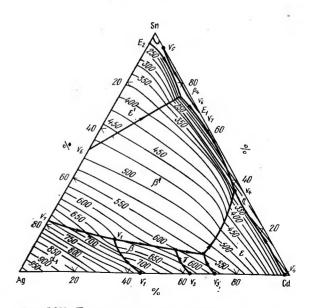


Рис. 5.266. Поверхность ликвидуса системы Ag-Cd-Sn

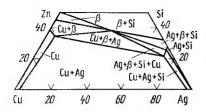


Рис. 5.267. Изотермическое сечение системы Ag-Cu-Zn-Si при 500°C и при содержании 0,25 % (по массе) Si

Ag-Cu-Sn. Поверхность ликвидуса (рис. 5.264) с характерными точками: эвтектической  $e_1$  на стороие Cu—Ag, перитектическими точками  $v_1$ ,  $v_2$ ,  $v_3$ ,  $v_4$  и эвтектической е2 на стороне Си-Sn, эвтектической  $e_3$  и перитектическими из. и иа стороне Sn-Аф. Твердые растворы системы Ад-Си преобладают до 20 % Sn. далее образуются структуры систем Cu—Sn и Ag—Sn.

Поверхность Ag-Cd-Zn. ликвидуса (рис. 5.265) имеет харак-

терные точки: перитектические  $v_1$ ,  $v_2$ ,  $v_3$ ,  $v_4$  на стороне Ag—Cd, эвтектическую  $e_1$  на стороне Ag—Cd, перитектические  $v_5$ ,  $v_6$ ,  $v_7$ ,  $v_8$  на стороне Zn-Ag. Связанные с ними реакции продолжаются до точек пересечения  $vT_1$ ,  $vT_2$ ,  $vT_3$ . В системе образуется большое количество промежуточных фаз сложного состава из систем Ag-Zn и Ag-Cd [561, 562].

Ag-Cd-Sn. Поверхность ликвидуса (рис. 5.266) имеет характерные точки: перитектические  $v_1$ ,  $v_2$ ,  $v_3$ ,  $v_4$  на стороне Ag—Cd, эвтектическую  $e_1$  и перитектическую  $v_5$  иа стороне Cd—Sn, эвтектическую  $e_2$ и перитектические v<sub>6</sub>, v<sub>7</sub> иа стороне Ag—Sn. В твердом состоянии преобладают фазы из систем Ag—Sn, Ag—Cd.

Ag--Cu--Zn--Si. В системе Ag--Сu--Zn наряду с известными фазами, твердыми растворами на основе Си и Ад и обогащенной цинком **в**-фазой при высоких концентрациях Zn появляется твердый раствор на основе Si с незначительной растворимостью в нем Cu, Ag и Zn Ісоответственно  $10^{-7}$ ,  $10^{-5}$ ,  $10^{-6}$  % (по массе)] (рис. 5.267) [564]. Наименьшая твердость у гомогенных твердых растворов на основе Ag и Си, наибольшая при 40 % Zn (влияние β-фазы) [565].

### 5.10. Тройные и многокомпонентные диаграммы состояния платиновых металлов

Ru—Ag—Ti. Рассмотрена возможность повышения коррозионной стойкости Ті и некоторых титановых сплавов путем их легирования Ад и Ru. Легирование Ті до 8,5 % Ag и до 2 % Ru повыщает коррозиоиную стойкость в 6-10 раз [566].

Ru-Au-Pd. Исследовали сплавы составов, расположенных параллельно стороне Pd—Au при постоянном содержании 1, 3, 5, 12 и

15 % Ru. Сплавы готовили расплавлением в высокочастотной печи в корундовых тиглях под слоем буры. Исследовали методами микроскопического анализа, измерением механических и электрических свойств.

Построена диаграмма состояния системы Rd—Ru—Au. При содержании 1% Ru образуется широкая область расслаивания расплава. Область тройных твердых растворов при комнатной температуре отсутствует [567].

 $R\dot{u}$ —Au—Co. Сплав состава 65—92 % (по массе) Ru, 5—25 % (по массе) Ац, 3-10 % (по массе) Со применяется для электрических контактов. Сплавы получены методом порошковой металлургии [568].

Ru—Au-Ni. Получены сплавы для электрических контактов из Au, Ru и Ni. обладающие низким электросопротнвлением [569].

Ru-Zn-U. Исследовали растворимость Ru в U, насыщенном Zn, между 500 и 800°C, при скоростях охлаждения 50 и 25°C в час [570].

RuAla RuAL RUAL ScRu 60 20 ScRu2 Sc Rυ Sc. % (am.)

Рис. 5.268. Изотермическое сечение системы Ru-Al-Sc при

Ru-Hg-U. Растворимость Ru в U, насыщениом Hg, падает от 1.2·10-3 до 1.1·10-3% (по массе) между 50 и 365 °С [571].

Ru—Sc—Al. Для проведения исследования были использованы ме-

таллы следующей чистоты: Al 99,9 %, Ru 99,82 %, Sc 99,6 %.

Сплавы плавили в дуговой печи, отжигали в течение 600 ч при 800°С и закаливали в воду. Исследование проводили методами микроструктурного, рентгенофазового и локального рентгеноспектрального анализов, измерением твердости и магнитной восприимчивости.

По результатам исследований построено изотермическое сечение системы при 800°C (рис. 5.268). Обнаружено существование шести но-

вых тройных соединения (табл. 5.39).

Периоды решетки фазы  $\lambda_1$   $a=0.5271\pm0.0003$ .  $c=0.8572\pm0.0004$  нм. c/a=1,624. Период решетки H-фазы:  $a=0,617\pm0,002$  нм.

Исследована коррозиониая стойкость ряда сплавов в 10 %-ном растворе серной кислоты [340].

Ru-Al-Y. Исходными материалами служили: Ru, аффинированный в порошке, 99,82 %, A1 99,9 %, У 99.6 %.

ТАБЛИЦА 5.39 СОСТАВЫ ИЗУЧЕННЫХ ТРОЙНЫХ ФАЗ В СИСТЕМЕ Ru-Al-Sc

_	Состав, % (ат.)			
Соединение	Ru	Al	Sc	Структура
D H X	+ 15 21 32	67 57 54	18 22 14	MgCu₂Al
λ <sub>1</sub> λ <sub>1</sub>	9—22 <b>26</b> —32	44—58 36—41	32—36 32—34	$\left.\begin{array}{c} \\ \\ \\ \\ \\ \\ \\ \\ \\ \\ \\ \\ \\ \\ \\ \\ \\ \\ \\$
$oldsymbol{\lambda}_{\mathtt{t}}^{''}$	33—36	30—32	3436	] ]

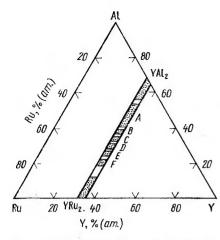


Рис. 5.269. Многослойные фазы Лавеса в системе Ru—Al—Y

Сплавы готовили в дуговой печи, гомогенизировали и отжигали в течение 1500 ч при 600 °С. Исследованне проводили на литых и закаленных с 600 °С образцах методамн металлографического и рентеновского анализов.

Представлен разрез при 600 °С между соединениями YRu₂ н YAl₂. При исследовании лнтых образцов найдены четыре тройных соединения А, В', D' и Е (рис. 5.269). Двойные соединення в литом состоянии растворяют до 6 % (ат.) Аl и 7 % (ат.) Ru соответственно. В отожженных при 600 °С сплавах этого разреза образуется шесть тройных соединений: A, B, C, D, E и F. Двойные соединения растворяют до 10 % (ат.) Аl и до 10 % (ат.) Ru соответст

венно. Структура найденных фаз не определена, однако можно предположнть реализацию у некоторых из них многослойных структур — производных структурных типов фаз Лавеса [572].

Ru-U-Al. Исследовалось получение твердеющих и термически устойчных сплавов, содержащих 0,05—1 % (по массе) Ru, 0,1—2 % (по массе) Al [340].

Изучалн тройные сплавы на основе соединения  $U_2Al_3$ , в котором 5 % (ат.) Ru замещалось на 5 % (ат.) Оs, Rh и Al. При замене Ru на Оs увеличивается постоянная ячейки соединения. При замещении Ru, Rh и Al уменьшается стабильность фазы [573].

Ru—Al—Ti. В качестве исходных материалов использовали: Ru, аффинированный в порошке, 99,82 %, Al марки Al 999, иодидный Ti. 'Сплавы готовили в дуговой печи, образцы с содержанием более 50 % (ат.) Ru гомогенизировали при 1500 °C в печи ТВВ-2 в течение 350 ч. Образцы, содержащие не более 80 % (ат.) Al, гомогенизировали при 1050 °C 500 ч; образцы, содержащие более 80 % (ат.) Al, гомогеннзировали при 500 °C. Отгомогенизированные образцы отжигали под закалку при 800 и 500 °C и закаливалн в воду. Исследование выполнялось методами микроструктурного, рентгенофазового, термического, локального рентгеноспектрального анализов, измерением твердости и микротвердости.

Установлено распределение фазовых областей в системе при 800 и 500 °C в части, богатой Al (рис. 5.270). Обнаружено существование тройного соединения со структурой  $\mathrm{Th}_6\mathrm{Mn}_{28}$ , отиосящегося к классу T-фаз и имеющего состав  $A_6B_7C_{16}$ . Решетка соединения кубическая с периодом  $a=0,11\pm0,2$  нм. Границы областн гомогеиности фазы лежат в интервале 23—28 % (ат.) Ті. Установлена квазибинарность разреза между соединениями ТіRu и RuAl с непрерывной взаимной растворимостью компонентов. Найдено, что разрез между соединениями ТіAl $_3$  и Ru $_4\mathrm{Nl}_{13}$  является квазнбинарным эвтектического типа, а разрезы между фазами  $_3\mathrm{Nl}_{23}$  и RuAl $_2$ , а также TiAl $_3$  и RuAl $_2$  являются квазнбинарными в твердом состоянии.

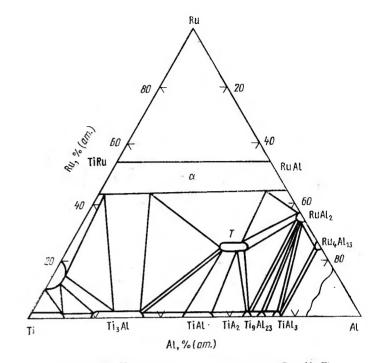


Рис. 5.270. Изотермическое сечение системы Ru-Al-Ti

Исследована коррозионная стойкость ряда силавов в растворах кислот и щелочей [340].

Ru—Al—Zr. В качестве исходных материалов использовали: Ru, аффинированный в порошке, 99,82 %, Al марки Al999, иодидный Zr.

Сплавы готовили в дуговой печи; образцы с содержанием более 50 % (ат.) Ru гомогенизировали прн 1500 °C в печи ТВВ-2 в течение 350 ч. Образцы, содержащие не более 80 % (ат.) Au, гомогенизировали при 1050 °C, 500 ч; образцы, содержащие более 80 % (ат.) Al, гомогенизировали при 500 °C. Гомогенизирование образцы отжигали при 800 и 500 °C и затем закаливали в воду. Исследование выполняли методами микроструктурного, рентгенофазового, термического, локального рентгеноспектрального анализов, измерением твердости и микротвердости.

Построены изотермические сечения системы при 800 н 500 °C в области, богатой AI (рис. 5.271). Найдено тройное соединение со структурой  $\mathrm{Th}_6\mathrm{Mn}_{23}$ , относящееся к классу T-фаз н имеющее состав  $\Lambda_6B_7C_{16}$ . Решетка соединення кубическая с периодом a=1,242 нм.

Установлено, что в системе Ru—Al—Zr образуются тройные соединения: Zr<sub>3</sub>Ru<sub>2</sub>Al<sub>3</sub> и ZrRuAl<sub>8</sub>. На основанни данных физико-хнмического анализа показано, что разрез между соединениями ZrRu и RuAl является квазибинарным с непрерывной растворимостью; разрезы от ZrAl<sub>3</sub> к RuAl<sub>2</sub>, Ru<sub>4</sub>Al<sub>13</sub>, RuAl<sub>6</sub> являются квазибинарными в твердом состоянии.

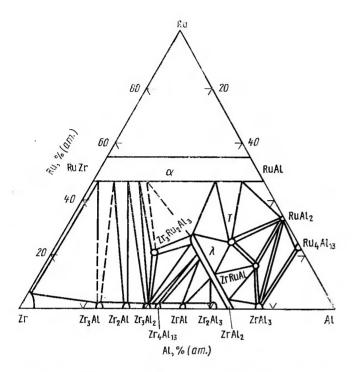


Рис. 5.271. Изотермическое сечение системы Ru-Al-Zr при 600 °C

Исследована коррозионная стойкость в кислотных и щелочных растворах сплавов из областей, богатых Zr [340].

Ru-Al-Hf. В качестве исходных материалов использовали: Ru, аффинированный в порошке, 99,82 %, АІ марки А1999, иодидный Нб.

Сплавы готовили в дуговой печи; образцы с содержанием более 50 % (ат.) Ru, гомогенизировали при 1500°C в печи ТВВ-2 в течение 350 ч. Образцы, содержащие не более 80 % (ат.) АІ, гомогенизировали при 1050 °C, 500 ч, образцы, содержащие более 80 % (ат.) Al, при 500°С. Гомогенизированные образцы отжигали под закалку при 800 и 500 °C и закаливали в воду. Исследование выполняли методами микроструктурного, рентгенофазового, термического, локального рентгеноспектрального анализов, измерением твердости и микротвердости.

Построены изотермические сечения системы при 800 и 500 °C (рис. 5.272). Установлено наличие квазибинарного разреза с неограниченной растворимостью компонентов между соединениями HfRu и RuAl.

Показано. что разрезы между HfAl<sub>3</sub> и соединениями RuAl<sub>2</sub>, Ru<sub>4</sub>Al<sub>13</sub> и RuAl<sub>6</sub> являются квазибинарными в твердом состоянии.

Исследована коррозионная стойкость в кислотных и щелочных рас-

творах сплавов из областей, богатых Ні [340].

Ru-Sc-C. Сплавы получали методом дуговой плавки и гомогенизировали при 1300 °C. Определен период решетки фазы ScRu<sub>3</sub>C<sub>I-x</sub> со структурой перовскита, равный 0,401 нм [574].

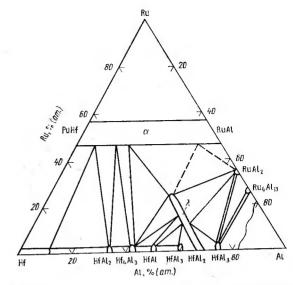


Рис. 5.272. Изотермическое сечение системы Ru-Al-Hf при 600 °C

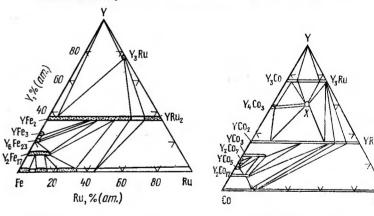


Рис. 5.273. Пзотермическое сечение системы Ru-Y-Fe при 600°C

Рис. 5.274. Изотермическое сечение системы Ru-Y-Со при 600°С

Ru—Y-Zr. Исследовали сплав системы Ru-Zr-Y с содержанием 66.7 % (ат.) Ru, 22,2 % (ат.) Zr и 11,1 % (ат.) Y. Найдено тройное соединение, кристаллизующееся в структурном типе MgZn<sub>2</sub> [340].

Ru—Fe—Y. Иля приготовления сплавов использовали: Ru 99,82 %,

Y 99,63 %, Fe 99,95 %.

Сплавы готовили в дуговой печи и отжигали под закалку при 600 °C. Исследование проводили методами микроструктурного, рентгенофазового и локального рентгеноспектрального анализов, измерением магнитных свойств сплавов.

Результаты исследования представлены в виде изотермы при 600°C (рис. 5.273). Сечение характеризуется глубоко проникающими в тройную систему областями гомогенности соединений YRu2, YFe2, YFe3, Y<sub>2</sub>Fe<sub>17</sub>. Соединення Y<sub>6</sub>Fe<sub>27</sub> и Y<sub>3</sub>Ru практически не растворяют третьего компонента. Установлено, что разрез между фазами Лавеса УГсу-УКи2 в субсолидусной части является квазибарным с ограниченной взаимной растворимостью компонентов [340].

Ru—Co—Y. Для приготовления сплавов использовали: Ru 99.82 %,

Y 99,63 %, Co 99,95 %.

Сплавы готовили в дуговой печн и отжигалн при 600°C с послеаующей закалкой в ледяную воду. Исследование проводили методами мнкроструктурного, рентгенофазового и локального рентгеноспектрального анализов. Были нзмерены магнитные характеристики ряда сплавов.

Построено изотермическое сечение при 600°C (рис. 5.274). Установлено образование тройной Х-фазы, состав которой отвечает формуле  $Y_3CoRu$ . В тройную систему распространяются соединення  $Y_3Co$ ,  $Y_3Ru$ ,  $YCo_2$  н др. В соединениях  $Y_4Co_3$ ,  $Y_2Co_7$ ,  $YCo_5$  Ru практически не растворяется. Ниже линии солидуса фазы УСо2 и УКи2 образуют квазнбинарный разрез с ограниченной растворимостью компонентов [340].

Ru-Y-Ni. Для приготовления сплавов использовали: Ru 99.82 %.

Y 99,63 %. Ni 99,95 %.

Сплавы готовили в дуговой печи и отжигали при 600°C с последующей закалкой в ледяную воду. Исследование проводилн методами микроструктурного, рентгенофазового и локального рентгеноспектрального анализов. Былн измерены магнитные характеристики ряда сплавов.

Построено нзотермическое сечение системы при 600 °C (рис. 5.275). Взаимодействие металлов сопровождается образованием новой тройной фазы Z. Ее состав отвечает формуле Y<sub>3</sub>NiRu. Двойные соединения У<sub>3</sub>Ni, YNi, YNi<sub>3</sub>, YNi<sub>2</sub>, YRu<sub>2</sub>, Y<sub>2</sub>Ni<sub>17</sub> распространяются в тройную систему. Двойные фазы Лавеса YNi2 и YRu2 образуют в субсолидусной части системы квазноинарный разрез с ограниченной растворимостью компонентов [340].

Ru—La—Th. Для соединення  $Ru_2Th_xLa_{1-x}$  исследован K-захват

[575]

Кубнческое соединение Ru₂Th<sub>0,85</sub>La<sub>0,15</sub> обладает сверхпроводящими свойствами и имеет температуру перехода в сверхпроводящее состояnne T = 4.8 K [576].

Ru-Ce-Gd. Исследовано существование сверхпроводимостн и ферромагнетизма в сплавах ( $Ce_{1-x}Gd_x$ )  $Ru_2$  методом  $\hat{A}M\hat{P}$  ( $0 \le x \le 0.176$ ) 15777.

Ru—Ce—Tb. Исследованы сверхпроводниковые свойства твердых растворов  $Ce_{1-x}Tb_xRu_2$ , где  $0.10 \le x \le 0.24$  1.

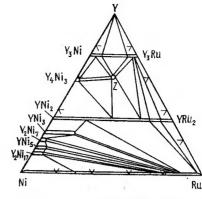
Ru-Ce-Dy. Исследованы сверхпроводниковые свойства твердых растворов  $Ce_{1-x}Dy_xRu_2$ , где  $0.12 \le x \le 0.27^{-1}$ .

Ru—Ce—Ho. Исследованы сверхпроводниковые свойства твердых

растворов  $Ce_{1-x}Ho_xRu_2$ , где  $0.10 \le x \le 0.28$  1.

Ru-Sm-Mn. В качестве исходных материалов были взяты металлы следующей чистоты: Sm 99,87 %, Mn электролитический, Ru 99,98 %.

Сплавы готовили плавкой в дуговой печи. Гомогенизацию проводили по режимам, которые подбирали на основании температур плавления исходных компонентов и особенностей двойных диаграмм состояння. Закалку проводили с 600°C в ледяную воду. Исследование вели методами микроструктурного, рентгенофазового, рентгеноструктурного анализов, измерением твердости. Измерялись магнитные характеристики ряда силавов.





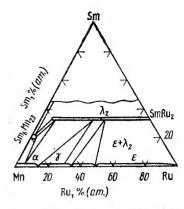


Рис. 5.276. Изотермическое сечение системы Ru-Sm-Mn при 600 °C

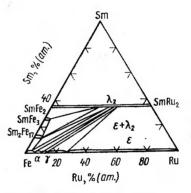
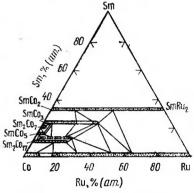


Рис. 5.277. Изотермическое сечение системы Ru-Sm-Fe при 600 °C



Изотермическое сечение Рис. 5.278. системы Ru-Sm-Co при 600 °C

Построено изотермическое сечение системы до 33,3% (ат.) Ѕт ири 600°C (рис. 5.276). Определены области распространения двойных фаз в тройную систему. Измерены темисратура перехода в парамагнитное состояние и магнитная восприимчивость соединений SmMn2, SmMn3,  $Mn_7Sm_2$ ,  $Sm_6Fe_{23}$  и др. и изучено влияние Ru на их величнну [340].

Ru—Sm—Fe. В качестве исходных использовали металлы чистотой:

Sm 99,87 %, Ru 99,98 %, Fe 99,95 %.

Сплавы готовили в дуговой печи. Гомогенизацию проводили по режимам, которые подбирали на основании температур плавления исходных компонентов и особенностей двойных диаграмм состояния. Закалку произволили с 600 °С в ледяную воду. Исследование вели методами микроструктурного, рентгенофазового, рентгеноструктурного анализов, измерением твердости. Измеряли магнитные характеристики ряда сплавов.

Построено изотермическое сечение системы до 33,3 % (ат.) Sm ири 600°С (рис. 5.277). Изоструктурные фазы Лавеса SmFe2 и SmRu2 не-

<sup>&</sup>lt;sup>1</sup> Пат. 1941313 (ФРГ), 1979.

\$ . 4° . 10° SmNi. SmRu<sub>2</sub> SmNi<sub>3</sub> Sm<sub>2</sub>Ni<sub>7</sub> Sm<sub>2</sub>Ni<sub>17</sub> Ni 20

Рис. 5.279. Изотермическое сечение системы Ru-Sm-Ni при 600°C

прерывно взаимно растворяются, образуя квазибинарный разрез. Изучено влияние Ru на температуру перехода в парамагнитное состояние и магнитную восприимчивость двойных фаз Sm с Fe.

Исследована коррозионная стойкость тройных сплавов в растворах

HCl, H<sub>2</sub>SO<sub>4</sub> и NaOH [340].

Ru-Sm-Co. В качестве исходных использовали металлы чистотой:

Sin 99,87 %, Ru 99,98 %, Co 99,95 %.

Ru. % (am.)

Сплавы готовили в дуговой печи. Гомогенизацию проводили по режимам, которые подбирали на основании температур плавления исходных компонентов и особенностей двойных диаграмм состояния. Закалку проводили с 600 °C в ледяную воду. Исследование вели методами микроструктурного, рентгенофазового, рентгеноструктурного анализов, измерением твердости. Измеряли магнитные характеристики ряда сплавов.

Построено изотермическое сечение системы до 33,3 % (ат.) Sm при 600 °C (рис. 5.278). Взаимодействие металлов сопровождается образованием новой тройной фазы при 25 % (ат.) Sm, 30 % (ат.) Ru, 45 % (ат.) Со. Соединение относится к структурному типу CeNi<sub>3</sub> с периодами ячейки  $a=0.516\pm0.005$ ,  $c=1.675\pm0.005$  нм. Бинарные соединения SmCo2 и SmRu2 реагируют друг с другом, образуется квазибинарный в твердом состоянии разрез с неограниченной взаимной растворимостью компонентов. Изучено влияние Ru на температуру перехода в парамагнитное состояние н магиитную восприимчивость двойных фаз Sm с Со.

Исследована коррозионная стойкость тройных сплавов в растворах HCl, H<sub>2</sub>SO<sub>4</sub> и NaOH [340].

Ru—Sm—Ni. В качестве исходных использовали металлы чистотой:

Sm 99,87 %, Ru 99,98 %, Ni 99,95 %.

Сплавы готовили в дуговой печи. Гомогенизацию проводили по режимам, которые подбирали на основании температур плавления исхолных компонентов и особенностей двойных диаграмм состояния. Закалку производили с 600 °C в ледяную воду. Исследования вели методами микроструктурного, рентгенофазового, рентгеноспектрального анализов, измерением твердости. Исследовали магнитиые характеристики ряда сплавов.

Построено изотермическое сечение системы до 33,3 % (ат.) при 600 °C (рис. 5.279). В системе образуется тройное соединение Z, имеющее достаточно широкую область гомогенности. Она простирается от 35 до 45 % (ат.) Ru вдоль изоконцентраты 25 % (ат.) Sm. Рассчитанные

периоды решетки равны  $a=0.513\pm0.005$ ,  $c=1.668\pm0.005$  нм. Структурный тип соединения CeNi<sub>3</sub>. Металлиды SmNi<sub>2</sub> и SmRu<sub>2</sub> в субсолидусной части системы образуют квазибинарный разрез с непрерывной растворимостью. Изучено влияние Ru на температуру перехода в нарамагнитное состояние и на магнитную восприимчивость двойных фаз Sm c Ni.

Исследована коррозионная стойкость тройных сплавов в растворах

HCl, H<sub>2</sub>SO<sub>4</sub> II NaOH [340].

Ru—Th—C. Использовались Th чистотой 99,61 %, Ru 99,9 %, а так-

же спектрально чистый графит.

Сплавы выплавляли в дуговой печи, в атмосфере аргона, исследовали методами микроструктурного, рентгеновского анализов и рентге-

носпектрального микроанализа.

Изучена структура и фазовый состав сплавов. Построено изотермическое сечение системы при 1200°С. Обнаружены новые тройные фазы  $Th_3Ru_4C_5$  с о. ц. к. решеткой,  $a=1,078\pm0,1$  им;  $ThRu_3C_{1-x}$  (0<x<0,1). Эта фаза проиндицирована как кубическая типа СизАи с заполненными пустотами  $(a=0.421\pm0.2 \text{ нм})$  и ThRu<sub>3</sub>C<sub>1.5</sub> с неизвестной структурой [578].

Ru = U - Ti. Исследовали твердеющие и термически устойчныме сплавы U, легированные 0,05—1 % (по массе) Ru и 0,1—2 % (по мас-

ce) Ti [340].

Исследовали коррозионную стойкость урановых сплавов, содержащих 0,25 % (по массе) Ru и 3 % (по массе) Ті в воде при 290 °C [570].

Ru-U-Zr. Исследовали твердеющие и термически устойчивые сплавы U с добавками 0.05—1 % (по массе) Ru и 0.1—2 % (по массе)

Zr [340].

Изучена коррозионная устойчивость уранового сплава с содержанием 20 % (по массе) Zr и 2 % (по массе) Ru в воде при 260-360°C при сохранении постоянными книетики превращения и отвердения при высокой температуре [340].

Ru—U—V. Исследовали твердеющие и термически устойчивые урановые сплавы, легированные 0.05-1~% (по массе) Ru и 0.1-2~% (по

macce) V [340].

Ru-U-Nb. Проводили измерения твердости и электросопротивления, дилатометрические и рентгенографические исследования ураиового сплава с содержанием 8 % (по массе) Nb и 0,49 % (по массе) Ru в сравнении с другими тройными сплавами данной системы [340].

Ru-U-Cr. Получены твердеющие урановые сплавы с содержани-

см 0,05—1 % (по массе) Ru и 0,1—2 % (по массе) Cr [340].

Ru--U---Мо. Исследовали растворимость Мо в у-U при добавке 8 % (ат.) Ru, а также растворимость Мо в соединениях Ru<sub>4</sub>U<sub>3</sub> и Ru<sub>3</sub>U<sub>2</sub>.

Изучали строение диаграммы состояния Ru—U—Мо в интервале температур 500—800 °C в области составов (Ru+Mo) <8 % (по массе) и при соотношении Ru: Mo=2:2,5.

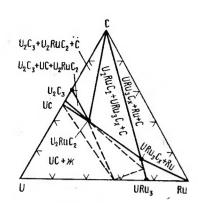
Исследовали влияние переходных элементов Cr. Nb. Re. Ru и Zr на стабилизацию у-фазы в сплавах U с Mo.

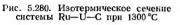
Проводили микроструктурные исследовання ряда сплавов данной системы. Показано, что высокостабильные сплавы получаются при закаливании с низких температур. Введение добавки 2 % (по массе) Ru к сплаву U с 7,5 % (по массе) Мо повышает его коррозионную стойкость в гидротермальных условиях при 260—360 °С [340].

Ru—U—Co. В системе при 714 °C и составе 5 % (ат.) Ru, 30 % (ат.)

Со и 65 % (ат.) U найдена тройная эвтектика [340].

Ru—U—Ni. В системе установлено существование тройных фаз C-15 при 33,3 % (ат.) Ru и C-14 [579].





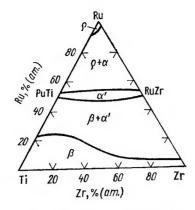


Рис. 5.281. Изотермическое сечение системы Ru-Ti-Zr при 1000 °C

Ru—U—C. Образцы 20 различных составов спрессовывали н сплавляли, а затем гомогеннзировали в вакууме межлу 1300 н 1500 °C.

Исследование проводнии металлографическим и рентгенографическим (по методу Дебая и Гинье) анализами.

Представлено изотермическое сечение системы ири 1300°C

(рис. 5.280).

В системе образуются тройные промежуточные фазы: карбид, возинкающий из бинарного соединения UC при увеличенин содержания углерода, URu<sub>3</sub>C<sub>x</sub> и сложный карбид U<sub>2</sub>RuC<sub>2</sub>. Рентгенограмма сложного карбида проиндицирована как тетрагональная объемноцентрированная. При 1300 °С периоды решетки равны  $a=0.3445 \div 0.3455$ ,  $c=1.256 \div$  $\div$ 1,259 нм, при более высокой температуре c=1,252 нм. В кубической гранецентрированной фазе URus при 1300°C могут заполняться октаэдрические пустоты до состава ~URu<sub>3</sub>C<sub>0.7</sub>. Растворимость С в URu<sub>3</sub> при 1300°C составляет 15 % (ат.) [580].

\* Ru—Ti—Zr. Исходными материалами для приготовления сплавов

служили: Ru аффинированный 99,82 %, Ti 99,88 %, Zr 99,9 %.

Сплавы готовили в дуговой печи, гомогенизнровали при температурах 1500 н 1200 °C. Отжиг под закалку проводили при 1000 °C. Исследование проводили методами микроструктурного, рептенофазового, термического, локального рентгеноспектрального анализов, измерением твердости, микротвердости, электросопротивления и магнитной восприимчивости.

Установлен характер фазовых равновесий в литом, гомогенизированном и закаленном с 1000 °С состояниях (рис. 5.281). Показано, что разрез между изоструктурными фазами RuTi и RuZr является квазнбинарным с неограниченной взаимной растворимостью. Разрез RuTi-RuZr является квазибинарным эвтектического типа. Температура эвтектики равна 1180±20 °C. Состав эвтектики: 20 % (ат.) Ru, 60 % (ат.) Ti, 20 % (ат.) Zr.

Исследована коррозионная стойкость в 10 %-ной НС1 сплавов из

области тройного твердого раствора [340].

Ru—Ti—Hf. Чистота металлов, использованных для приготовления сплавов, составляла: Ru 99,82 %, Ti 99,88 %, Hf 99,2 %.

Сплавы готовили в дуговой печи, гомогенизировали при температурах 1500 и 1200 °C. Отжиг под закалку проводили при 1000 °C. Ис-

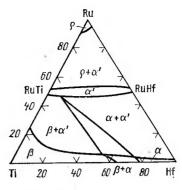


Рис. 5.282. Изотермическое сечение системы Ru-Ti-Hf при 1000 °C

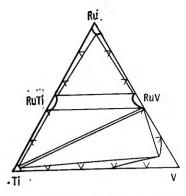


Рис. 5.283. Изотермическое сечение системы Ru-Ti-V при 900°C

следование выполнено методами микроструктурного, рентгенофазового, термического, локального рентгеноспектрального анализов, измерением твердости, микротвердости, электросопротивления и магнитной восприимчивости.

Установлен характер фазовых равновесий в системе в литом, гомогенизированном и закаленном с 1000 °C состояниях (рис. 5.282). Найдено, что разрез между изоструктурными (типа CsCl) фазами RuTi и RuHf является квазнбинарным с неограниченной взаимной растворнмостью компонентов. Разрез RuTi-Hf является квазибинарным эвтектического типа. Температура эвтектики 1650 ± 20 °C. Состав эвтектики: 15 % (ar.) Ru, 15 % (ar.) Ti, 70 % (ar.) Hf.

Исследована коррозионная стойкость в 10 %-ной НСІ сплавов из

области тройного твердого раствора [340].

Ru—Ti—V. Чистота металлов, использованных для приготовления

сплавов, составляла: Ru 99,82 %, V 99,95 %, Ti 99,95 %.

Сплавы готовили в дуговой печи в атмосфере очищенного гелия. Отжиг проводили в вакууме при 1500 и 900 °C с последующей закалкой в воду. Исследование выполнено методами микроструктурного и рентгенофазового анализов, измерением твердости и микротвердости.

Представлено изотермическое сечение системы при 900°С (рис. 5.283). Двойные фазы RuV и RuTi образуют при взаимодействии двух-

фазную область [340].

Установлено, что в сплавах системы Ru-V-Ti образуются мета-

стабильные фазы [581].

Исследована коррозионная стойкость в 10 %-ной НС1 однофазных сплавов.

Ru—Pu—C. Использовали Рu, содержащий менее 0,2 % примесей,

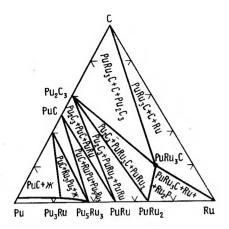
графит марки Е-9 с примесями менее 0.2 %. Ru 99.9 %.

Сплавы получали многократным расплавом в дуговой печн в атмосфере очищенного аргона под давлением 0,3 · 106 Па и отжигали при высоких температурах с последующим охлаждением с печью. Исследование проводили методамн химического и рентгеновского анализов, керамографии и микроэлектронной спектроскопии.

Представлен предположительный изотермический разрез системы

при 800°C. Найдено соединение Ru<sub>3</sub>PuC (рис. 5.284) [611].

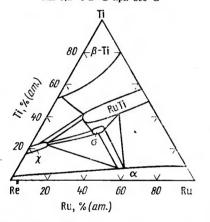
Ru-Ga-Ge. Образцы сплавов готовили путем прокаливання соответствующих смесей порошков в эвакуированных кварцевых ампулах.



 $Q + \alpha(\alpha')$  $\alpha + \alpha'$ 

Рис. 5.284. Изотермическое сечение системы Ru--Pu--С при 800 °С

Рис. 5.285. Изотермическое сечение системы Ru-Ti-Nb при 1000 °C



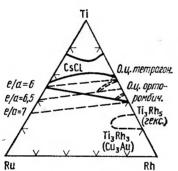


Рис 5.286. Изотермическое сечение системы Ru-Ti-Re при 1000°C

Рис. 5.287. Изотермическое сечение системы Ru-Ti-Rh

После 6-ч обработки при 1000 °C сплавы отжигали в течение 50 ч при 800 °C.

Изучали бинарные и тройные соединения Ru с Ga и Ge. Найдено, что соединение RuGe<sub>1.5</sub> относится к классу дефектных дигерманидов, соединение RuGa<sub>2</sub> (тип TiSi<sub>2</sub>) свободно от дефектов.

При замещении одной части Ge на Ga получено соединенне Ru(Ga, Ge)2-х. В области сплавов с атомным соотношением Ga: Ge= =5:95 до Ga: Ge=75:25 установлена псевдонепрерывность промежуточных фаз [582].

Ru—Ti—Nb. В качестве исходных материалов для приготовления

сплавов служили: Ru 99,82 %, Nb 99,6 %, Ti 99,88 %.

Сплавы готовили в дуговой печи, гомогенизировали при 1600°C и отжигали под закалку при 1050 °C. Исследование выполняли методами

микроструктурного, термического, рентгенофазового, локального рентгеноспектрального анализов, измерением твердости и микротвердости, капельным методом определяли температуру солидуса.

Построены днаграммы фазовых равиовесий системы при 1600 и 1050 °C (рис. 5.285). Политермическое сечение от Nb до RuTi квазибинарное эвтектического типа с ограниченной растворимостью компонентов. Разрез с постоянным содержанием 50 % (ат.) Ru квазибинарный с пеограниченной растворимостью компонентов [340].

Исследовали влияние Ru на технологические свойства и проводимость сплавов Nb-Ті. Обсуждено влияние концентрации валентных электронов платиновых металлов — добавок на температуру  $\beta \rightarrow \alpha$ -пре-

вращения в сплавах Nb-Ті.

Ru-Ti-Re. Исходными материалами для приготовления сплавов

служили: Ru 99,82 %, Re 99,86 %, Ті 99,88 %.

Сплавы готовили в дуговой печи, гомогенизировали и закаливали с 1000 °C. Исследование проводили методами микроструктурного, рентгенофазового, локального рентгеноспектрального анализов, измерением твердости и микротвердости. Определяли дефектность кристаллической структуры сплавов, имеющих решетку, с помощью метода гармонического анализа формы дифракционных линий.

Построено изотермическое сечение системы при 1000 °C (рис. 5.286). Обнаружена тройная о-фаза в области состава: 30 % (ат.) Ru, 32.5 % (ar.) Re, 37.5 % (ar.) Ti. σ-фаза имеет структуру типа β-U. Она обладает большой твердостью и хрупкостью. В тройную систему глубоко проникают фазы TiRe (у-фаза) и RuTi.

Измерена магнитная восприимчивость ряда сплавов; исследована коррозионная стойкость сплавов в растворах НСІ, Н2SO4, NaOH [340].

Ru-Ti-Rh. Построена часть изотермического сечения системы Rh--Ru--Ti. Исследование проводили для рассмотрения вопроса об относительной устойчивости фаз типа CsCl в сплавах переходных металлов.

Структура типа CsCl расположена внутри фазового поля, ограниченного параллельными линиями постоянной электронной концентрации 6е/а. При более высокой электронной концентрации образуется структура, слегка искаженная тетрагонально, расположенная вдоль линии постоянной электронной концентрации 6,5е/а. При дальнейшем повышении концентрации электронов появляется орторомбическая струк-Typa, e/a=6.7 (puc. 5.287) [583].

Ru—Ti—Ir. Исследование проводили методамн микроскопического и рентгеновского анализов; была измерена температура пларления сплавов.

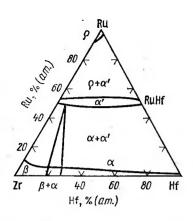
Приведены изотермические разрезы системы при 2000, 1700, 1400 °C [377].

Ru-Zr-Hf. Чистота металлов, использованных для приготовления

сплавов, составляла: Ru 99,82 %, Zr 99,9 %, Hf 99,2 %.

Сплавы готовили в дуговой печн, гомогенизировали при температурах 1500 и 1200 °C. Отжиг под закалку проводили при 1000 °C. Исследование выполнено методами микроструктурного, рентгенофазового, -термического, локального рентгеноспектрального анализов измерением твердости, микротвердости, электросопротивления и магнитной восприимчивости.

Установлен характер фазовых равновесий в системе в литом, гомогенизированном и закаленном с 1000 °C состояниях (рис. 5.288). Найдено, что разрез между нзоструктурными (типа CsCl) фазами RuZr и RuHf является квазибинарным с неограииченной взаимиой растворимостью компонентов. Разрез RuZr—Hf является квазибинарным эвтекти-



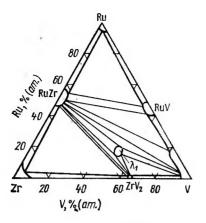


Рис. 5.288. Изотермическое сечение системы Ru—Zr—Hf при 1000 °C

Рис. 5.289. Изотермическое сеченне системы Ru—Zr—V

ческого типа. Температура эвтектики  $1510\pm20\,^{\circ}$ С. Состав эвтектики:  $20\,\%$  (ат.) Ru,  $20\,\%$  (ат.) Zr,  $60\,\%$  (ат.) Hf.

Исследована коррозионная стойкость в 10 %-ной HCl сплавов из области тройного твердого раствора [340].

Ru—V—Zr. Чистота металлов, использованных для приготовления

сплавов, составляла: Ru 99,82 %, V 99,95 %, Zr 99,9 %.

Сплавы готовили в дуговой печи в атмосфере очищенного гелия. Гомогенизацию проводили в вакууме при 1500 н 990 °C. Закалку проводили в ледяную воду с 900 °C. Исследование выполнено методами микроструктурного, рентгенофазового анализов, измерением твердости

и микротвердости.

Построено изотермическое сечение при 900 °C (рис. 5.289). Обнаружено тройное интерметаллическое соединение  $ZrRu_{0.5}V_{1.5}$ , относящееся к фазам Лавеса типа  $MgZn_2$ . Фаза имеет гексагональную решетку с периодами  $a=0.520\div0.530$ ,  $c=0.840\div0.853$  нм, c/a=1.62. Соединение образуется из жидкого состояния при высоких температурах, расположено на изоконцентрате 33,3 % (ат.) Zr, обладает значительной областью гомогенности. Соединения RuV и RuZr образуют при взаимодействии двухфазную область.

Исследована коррозионная стойкость однофазных сплавов в

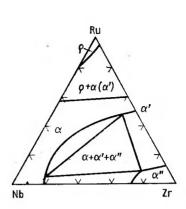
10 %-ной НС1 [340].

Ru-Zr-Nb. В качестве исходных материалов для приготовления

сплавов служили: Ru 99,82 %, Nb 99,6 %, Zr 99,9 %.

Сплавы готовили в дуговой печи, гомогенизировали при 1600 °C и отжигали под закалку при 1050 °C (рис. 5.290). Исследование выполнялось методами микроструктурного, термического, рентгенофазового, локального рентгеноспектрального анализов, измереннем твердости и микротвердости, капельным методом определяли температуру солидуса.

Построены днаграммы фазовых равновесий в системе при 1600 и 1050 °C. Политермическое сечение от Nb до соединения RuZr квазибинарное эвтектического типа с ограниченной растворимостью компонентов. Разрез между соединениями RuZr и RuNb квазибинарный с неограниченной растворимостью компонентов [340].



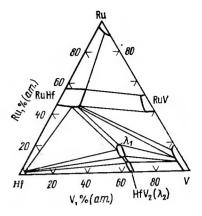


Рис. 5.290. Изотермическое сечение системы Ru-Zr-Nb

Рис. 5.291. Изотермическое сечение системы Ru—Hf—V при 900°C

Ru—Zr—Mo. Исследовали некоторые сплавы системы Ru—Mo—Zr. Установлено существование фазы RuMoZr со структурой типа CsCl, встречающейся также в системе Ru—O—Mo—Zr [340].

Ru—Zr—N. Для получения сплавов использовали порошки Zr

 $(O_2 < 1 \%)$  и нитрида рутения.

Полученную колодным прессованием смесь порошков прокаливали

в высоком вакууме 1,5·10-2 Па при 1400—1600 °C.

Получена тройная фаза  $Zr_4Ru_2N_x$ , структура которой соответствует  $Ti_2N$  (E9<sub>3</sub>) — тнпу с частично заполненными азотом октаэдрическими пустотами. Октаэдрические пустоты заполнены полностью при x=1,5 ( $Zr_4Ru_2N_{1.5}$ ). Чаще всего наблюдается заполнение при x=1. Период решетки a=1,230 нм [584].

Ru—Hf—V. Чистоты металлов, использованных для приготовления

сплавов: Ru 99,82 %, V 99,95 %, Hf 99,92 %.

Сплавы готовили в дуговой печн в атмосфере очищенного гелия. Отжигали в вакууме при 1500 и 900 °C с закалкой в воду. Исследовали методами микроструктурного и рентгенофазового анализов, измерени-

ем твердости и мнкротвердости.

Построено изотермическое сечение системы при 900 °С (рис. 5.291). Обнаружено тройное интерметаллическое соединение  $HfRu_{0,3-0,6}V_{1,7-1,4}$  с областью гомогенности, расположенной вдоль изоконцентраты 33,3 % (ат.) Hf. Соединение относится к фазам Лавеса со структурой  $MgZn_2$  и периодами  $a=0,321,\ c=0,843$  нм, c/a=1,62. Установлена квазибинарность разреза RuV—RuHf с ограниченной взаимной растворимостью компонентов.

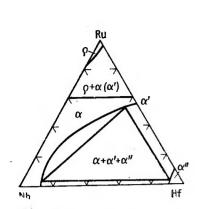
Исследована коррозионная стойкость однофазных сплавов в

10 %-ной НС1 [340].

Ru-Hf-Nb. В качестве исходных материалов для приготовления

сплавов служилн: Ru 99,82 %, Nb 99,6 %, Hf 99,2 %.

Сплавы готовили в дуговой печи, гомогенизировали при 1600 и отжигали при 1050 °С под закалку. Исследование выполняли методами микроструктурного, термического, рентгенофазового, локального рентгеноспектрального анализов, измерением твердости и микротвердости, капельным методом определяли температуру солидуса.



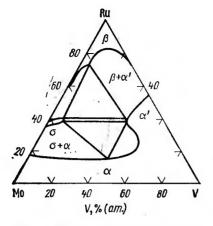


Рис. 5.292. Изотермическое сечение системы Ru-Hf-Nb

Рис. 5.293. Изотермическое сечение системы Ru-V-Мо при 1500 °C

Построены диаграммы фазовых равновесий в системе при 1600 и 1050 °С (рис. 5.292). Политермическое сечение от Nb до соединения RuHf — квазибинарное эвтектического тнпа с ограниченной растворимостью компонентов. Разрез между соединеннями RuNb и RuHf квазибинарный с иеограниченной растворимостью компонентов [340].

Ru—Hf—Ni. Исследовалась область диаграммы состояния, в которой обнаружена тройная фаза  $Hf_{0,67}Ni_{0,23}Ru_{0,1}$ , относящаяся к структурному типу  $Fe_3W_3C$ , изоморфному  $Ti_2Ni$ . Период решетки фазы a==1,2173±0,0001 нм. Соединение обладает сверхпроводящими свойствами. Его  $T_{\rm K}$  =1,02 K [585, 586].

Ru—Šn—Fe. Сплав был получен методом порошковой металлургин. С целью изучения системы сверхтонких полей в ферромагнитных сплаваж Гейслера исследовали соединение Ru<sub>2</sub>FeSn с кубической решеткой, найдениое с помощью рентгеноспектрального метода  $\theta_c = 593 \pm 5$  K [587].

Ru—V—Mo. Исходными материалами для приготовления сплавов

служили: Ru 99,92 %, Mo 99,96 %, V 99,9 %.

Сплавы готовили в дуговой печи, термообрабатывали при 1500 и 1000 °С. Исследование проводнли методами микроструктуриого, рентгенофазового, локального рентгеноспектрального анализов, измерением твердости и микротвердости.

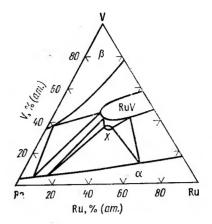
Построены изотермические сечения системы при 1500 и 1000 °C (рис. 5.293). Их строение определяется проникновением в систему областей твердых растворов на основе исходных компонентов и двойных

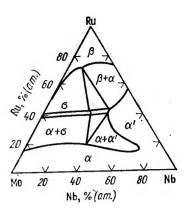
соединений.

Исследована коррозионная стойкость ряда сплавов в растворах соляной и серной кислот.

Измерены сверхпроводящие характеристики сплавов из области

о-фазы [340]. Ru-V—Fe. Проводили магнитные исследования сплавов, содержачто в широкой концентрационной области локализованный магнитный момент сплавов, содержащих 1 % (ат.) Fe, противоположен данным о чистых Ru и V [588].





5.294. Изотермическое сечение системы Ru-V-Re

Рис. 5.295. Изотермическое сечение системы Ru-Nb-Мо

Ru-Nb-Та. Для приготовления сплавов использовали: Nb и Та

99.7 %, Ru 99.91 %.

Сплавы готовили методом дуговой плавки в атмосфере аргона, гомогенизировали при 1500°C в течение 10 ч и отжигали при 800°C в кварцевых ампулах в течение 900 ч. Исследование проводили методами микроструктурного и рентгенофазового анализов, измерением твердости и электросопротнвления.

Систему изучали по разрезам Ta—NbRu и NbRu—TaRu. Исследование взаимодействия Та с соединением NbRu показало непрерывную взаимную растворимость компонентов. Твердость отожженных образцов изменяется с образованием пологого максимума. Визуальным наблюдением начала оплавления гомогенизированных образцов определена линия солидуса до 50 % (ат.) Та.

Исследование сплавов системы NbRu—TaRu подтвердило непрерывную взаимную растворимость соединений. Определена линия со-

лидуса <sup>1</sup>. Ru-V-Re. Исходными для приготовления сплавов служили ма-

териалы чистотой: Ru 99,82 %, Re 99,86 %, V 99,96 %.

Сплавы готовили в дуговой печи, гомогенизировали и закаливали с 1000 °C. Исследование проводили методами микроструктурного, рентгенофазового и локального рентгеноспектрального анализов, измерением твердости и микротвердости. Методом гармонического анализа формы дифракционных линий определяли дефектность кристаллической структуры сплавов, имеющих о. ц. к. решетку.

Построено изогермическое сечение системы при 1000 °С (рис. 5.294). Обиаружена гройная X-фаза в области составов 35 % (ат.) Re, 32,5 % (ат.) Ru, 32,5 % (ат.) V. Фаза обладает большой твердостью и

хручкостью.

ызмерена магнитная восприимчивость ряда сплавов; исследована коррознойная стойкость сплавов системы в растворах HCl, H<sub>2</sub>SO<sub>4</sub> и NaOH [340].

<sup>1</sup> Нестерова О. П. О характере взанмодействия рутения с ниобием и танталом: Автореф. каид. дис. М., 1965.

Ru—Nb—Mo. Исходными материалами для приготовления сыла-

вов служили: Ru 99,92 %, Mo 99,96 %, Nb 99,9 %.

Сплавы готовили в дуговой печи, термообрабатывали при 1500 и 1000 °C. Исследование проводили методами микроструктурного, рент-генофазового, локального рентгеноспектрального анализов, измереннем твердости и микротвердости.

Построены изотермические сечения системы при 1500 и 1000 °C (рис. 5.295). Их строение определяется проникновением в систему областей твердых растворов на основе исходных компонентов и двойных

соединений.

Исследована коррозионная стойкость ряда сплавов в растворах соляной и серной кислот, а также жаростойкость на воздухе при 600 °С. Изучены механические свойства Nb, легированного Ru и Mo. Измерены сверхпроводящие характеристики сплавов в области σ-фазы [340].

Ru-Nb-Ni. Исследовали некоторые сплавы этой системы. Для сплава с 67,5 % (ат.) Ni, 10 % (ат.) Ru, остальное Nb найдена неупорядоченная гексагональная структура; a=0,2617, c=0,4256 нм [340].

Ru-Nb-N. На основе экспериментальных данных проведен термодинамический расчет растворимости N в  $\alpha$ -твердом растворе систем Nb-Re и Nb-Ru при двухфазном ( $\alpha$ +газ) и трехфазном  $\alpha$ + $\beta$ +газ равновесии (где  $\beta$  — Nb<sub>2</sub>N) [589].

Ru—Nb—O. Использовали Nb листовой, содержащий 0,02 % С,

0,03 % O<sub>2</sub>, 0,03 % N и 0,15 % Та.

Сплавы Nb с Ru готовили в дуговой печи. Образцы сплавов определенной массы нагревали в кварцевой трубке в вакууме, а затем трубку заполняли кислородом и проводили нагрев до достижения равновесия кислорода в оксидной пленке на поверхности сплава и в насыщенном твердом растворе кислорода в сплаве. После выдержки образцы закаливали. Оксидную пленку удаляли травлением в смеси 5 г HNO<sub>3</sub> и 1 г HF. Содержание O<sub>2</sub> определяли по методу вакуумного сжигания образца.

Приведен график растворимости O<sub>2</sub> в сплавах Nb—Ru при 1000 °C. Растворимость O<sub>2</sub> в Nb уменьшается с увеличением содержания Ru и

становится примерно равной нулю при 25 % (ат.) Ru [590].

Ru-Ta-Mo. Исходными для приготовления сплавов служили ма-

териалы чистотой: Ru 99,92 %, Mo 99,96 %, Та 99.9 %.

Сплавы готовили в дуговой печи, термообрабатывали при 1500 и 1000 °C. Исследование проводили методами микроструктурного, рент-генофазового, локального рентгеноспектрального анализов, измерением твердости и микротвердости.

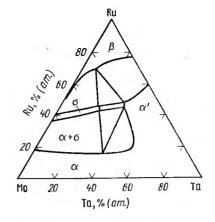
Построены изотермические сечения системы при 1500 и 1000 °C (рис. 5.296). Их строение определяется проникновением в систему областей твердых растворов на основе исходных компонентов и двойных

соединений.

Исследована коррозионная стойкость ряда сплавов в растворах соляной и серной кислот. Измерены сверхпроводящие характеристики

сплавов в области σ-фазы <sup>1</sup>.

Ru—Ta—W. Танталовые сплавы с 10—20 % (ат.) W и 2 % (ат.) Ru при высоких температурах обладают хорошими прочностными свойствами, но малопластичны. Исследовали предел прочности, предел текучести, продольную деформацию и уменьшение поперечного сечения при нормальной температуре, а также между 800 и 1600 °C. Для сплава с 5 % (ат.) W и 2,5 % (ат.) Ru обнаружены при 1950 °C повышение



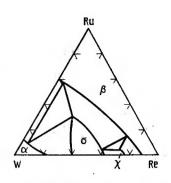


Рис. 5.296. Изотермическое сечение системы Ru—Ta—Мо при 1500 °C

Рис. 5.297. Изотермическое сечение системы Ru-W-Re

прочности по сравнению с чистым Та и ухудшение пластичных свойств при низких температурах [591].

Ru—Bi—Se. Синтезировано соединение RuBiSe типа арсенопирита с моноклинной структурой. Синтез проводили под давлением 4,5·10<sup>6</sup>—

4,6⋅10<sup>6</sup> Па [592].

Ru—Cr—Mo. Исследована пластичность сплава 75 Cr—(0—25) Ru—0,25 Mo % (ат.), приготовленного в дуговой печи. Найдено, что пластичность понижается не менее чем на 50 % после прессования на холоду. С ростом содержания в сплаве Мо пластичность также понижается [340].

Ru—Cr—Co. Температура перехода из хрупкого в пластичное состояние для сплава 7 Ru—12,8 Co—Cr % (ат.) равна 450 °C [340]. Найдено, что сплавы состава 35,5—36 % (ат.) Ru, 38—38,5 % (ат.) Со и 26 % (ат.) Сг хорошо деформируются и обладают высокой коррознон-

ной стойкостью [340, 593].

Ru—Mo—B. Исследовали некоторые сплавы системы. Найдено тройное соединение  $Ru_{0.5}Mo_{0.5}B$  со структурой типа FeB и периодами a=

=0,595, b=0,303, c=0,445 нм. Плотность  $7,74\cdot10^3$  кг/м<sup>3</sup> [340].

Ru—Mo—C. Проводили исследование влияния Ru на ковкость поликристаллического Мо, содержащего С. Исследования проводили на рекристаллизованных образцах (проволока диаметром в 1 мм) испытанием на растяжение. Размер зерна был в пределах 0,013—0,3 мм. Измерения проводили при температурах 76, 25 и 100 °C и скорости растяжения от 10-4 до 10-1 с-1 [594].

Ru—W—Re. Диаграмма состояния системы построена во всем концентрационном интервале. Представлен изотермический разрез при 1500 °C (рис. 5.297). Установлена широкая область существования

твердых растворов на основе системы Ru-Re и о-фаза [377].

Ru-W-Co. Изучены сплавы с содержанием от 90 % (по массе) W и выше с постоянным соотношением Co:Ru=1,5:1. Сплавы имеют

трехфазную структуру, они пористы и легки [595].

Ru-W-Ni. Получен сплав состава 75 % (по массе) Ru. 5 % (по массе) Ni и 20 % (по массе) W, обладающий большой твердостью и высокой устойчивостью к истиранию, используемый для наконечников перьев.

<sup>&</sup>lt;sup>1</sup> Кабанов С. В. Исследование структуры и свойств сплавов систем молибден—рутений—ванадий (ниобий, таитал): Автореф. канд. дис. М., 1979.

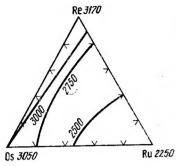


Рис. 5.298. Проекция поверхности ликвидуса на концеитрационный треугольник системы Ru—Re—Os

Описано получеиие методом порошковой металлургии двухфазного сплава, обладающего хорошей пластичностью при 1560°C, состава: 4 % (ат.) Ru, 6 % (ат.) Ni, остальное W [570].

Ru-W-B. Исследовали некоторые сплавы системы. Найдено тройное соединение  $Ru_{0,5}W_{0,5}B$  со структурой типа FeB и периодами a=0.597, b=0.303, c=0.445 нм [340].

Ru—Re—Os. При исследовании были использованы порошки Os и Ru с содержанием примесей: 0,01 % Pt, Ir, Rh, до 0,001 % Al, Pb, Si, Fe, Ni, Cu; порошок Re, содержащий 0,0197 % K, 0,009 % Fe, 0,0082 % Ca, 0,005 % Mo. 0,001 % Al, Ni, Cu, 0,0005 % Na.

Порошки металлов смешивали и спрессовывали в брикеты при давлении 6·10<sup>9</sup> Па, брикеты спекали в вакууме при 1700 °С для дегазации, а затем плавили в дуговой печи. Исследование проводили методами металлографического и рентгеновского апализов, измерением температуры плавления и твердости.

Приведены изотермы поверхности солидуса системы (рис. 5.298). Компоненты образуют непрерывный ряд жидких и твердых растворов. Все сплавы имеют гексагональную кристаллическую решетку. Твердость тройных сплавов возрастает по мере уменьшения содержания Re в сплавах. Максимальная твердость 700 МН/м² обнаружена у сплава, содержащего 60 % (ат.) Os, 20 % (ат.) Re, 20 % (ат.) Ru [596].

Ru-Fe-Co. Исходными материалами для приготовления сплавов

служили: Ru 99,96 %, Fe в Co 99,98 %.

Сплавы готовили в дуговой печи в инертной атмосфере, термообрабатывали при 1200 и 1000 °C с последующей закалкой, исследовали методами микроструктурного, рентгенофазового и термического анали-

зов, измерением твердости и микротвердости.

Построены изотермические сечения системы при 1200 и 1000 °C и даи общий вид строения тройной диаграммы. Система содержит общирные области твердых растворов на основе исходных компонентов. С помощью метода математического планирования эксперимента построены поверхности и изопараметрические линии периодов решетки тройного твердого раствора на основе Ru.

Проведено измерение магнитных характеристик сплавов (магнитной восприимчивости и точек Кюри) и исследована коррозионная стойкость

олнофазных сплавов в 11 %-ном растворе НСІ [340].

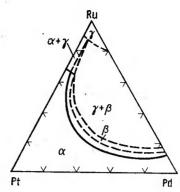
Ru-Fe-Ni. Исходными материалами для приготовления сплавов

служили: Ru 99,96 %, Fe и Ni 99,98 %.

Сплавы готовили в дуговой печи в инертной атмосфере, термообрабатывали при 1200 и 1000 °C с последующей закалкой, исследовали методами микроструктурного, рентгенофазового и термического анали-

зов, измерением твердости и микротвердости.

Построены изотермические сечения системы при 1200 и 1000 °С и дан общий вид тройной диаграммы. Система содержит обширные области твердых растворов на основе исходных компонентов. С помощью метода математического плаиирования эксперимента построены поверхности и изопараметрические линии периодов решетки тройного твердого раствора на основе Ru.



U<sub>2</sub>C<sub>3</sub>
U<sub>2</sub>O<sub>52</sub>+C
U<sub>2</sub>O<sub>52</sub>C<sub>2</sub>
U<sub>2</sub>O<sub>52</sub>C<sub>2</sub>
U<sub>2</sub>O<sub>5</sub>C<sub>2</sub>
U<sub>2</sub>O<sub>5</sub>C<sub>2</sub>
U<sub>2</sub>O<sub>5</sub>C<sub>2</sub>
U<sub>2</sub>O<sub>5</sub>C<sub>2</sub>
U<sub>2</sub>O<sub>5</sub>C<sub>2</sub>
U<sub>3</sub>O<sub>5</sub>C<sub>2</sub>
U<sub>4</sub>O<sub>5</sub>C<sub>2</sub>
U<sub>5</sub>O<sub>5</sub>C<sub>2</sub>
U<sub>5</sub>O<sub>5</sub>C<sub>5</sub>
U<sub>6</sub>O<sub>5</sub>C<sub>2</sub>
U<sub>7</sub>O<sub>5</sub>C<sub>2</sub>
U<sub>8</sub>O<sub>5</sub>C<sub>2</sub>
U<sub>8</sub>O<sub>5</sub>

Рис. 5.299. Изотермическое сечение системы Ru-Pd-Pt

Рис. 5.300. Изотермическое сечение системы Os—U—С

UOs,

Проведено измерение магнитных характеристик сплавов (магнитной восприимчивости и точек Кюри) и исследована коррозиониая стойкость однофазных сплавов в 11 %-иом растворе HCl [340].

Ru-Fe-Pd. Исследовано влияние давления на магнитную воспри-

имчивость сплавов Ru и Pd с Fe [597].

Ru—Co—Ni. Исходными материалами для приготовления сплавов

служили: Ru 99,96 %, Co и Ni 99,98 %.

Сплавы готовили в дуговой печи в инертиой атмосфере, термообрабатывали при 1200 и 1000 °C с последующей закалкой, исследовали методами микроструктурного, рентгенофазового и термического анализов, измерением твердости и микротвердости.

Построены изотермические сечения системы при 1200 и 1000 °С и дан общий вид тройной диаграммы. Система содержит обширные области твердых растворов на основе исходных компонентов. С помощью метода математического планирования эксперимента построены поверхности и изопараметрические линии периодов решетки тройного твердого раствора на основе Ru.

Проведено измерение магнитных характеристик сплавов и исследована коррозионная стойкость однофазных сплавов в 11 % ном раство-

pe HCl [340].

Ru—Pd—Pt. Сплавы готовили с содержанием компонентов, соответствующим разрезам, параллельным стороне Pt—Pd, с постоянным содержанием 5, 10, 20, 30, 40, 50, 60, 70 и 80 % Ru. Сплавы исследовали после закалки 1400 ℃ и после отжига методом микроструктурного анализа, измерением твердости, электросопротивления, температурного коэффициента электросопротивления и т. э. д. с.

Диаграмма состояния представлена в виде изотермических сечений

при 1400 °C и при комнатной температуре (рис. 5.299) і.

Ru—Pd—Pt. Исследование отожженных при 1400°С сплавов методами микроструктурного, рентгенофазового и локального рентгеноспектрального анализов, измерением твердости и микротвердости пока-

Полякова Р. С. Диаграммы состояния систем налладий—рутений и платииа—палладий—рутений: Автореф. каид. дис. М., 1956.

зало, что изотермическое сечение при 1400 °C характернзуется простым замыканием двухфазных областей систем Pd—Ru и Pt—Ru [598].

Ru-Rh-Ir. Методами микроструктурного, рентгенофазового, локального реитгеноспектрального анализов, измерением твердости и микротвердости построено изотермическое сечение системы при 1400 °C. Границы фазовых областей представлены графическим и аналитическим методами [598].

Ru-Rh-Pd. Методами микроструктурного, рентгенофазового, локального рентгеноспектрального анализов, измереннем твердости н микротвердости построено изотермическое сечение системы при 1400 °C. Границы фазовых областей представлены графическим и аналитическим

методами [598].

Ru-Rh-Pt. Методами микроструктурного, рентгенофазового, локального рентгеноспектрального анализов, измерением твердости и микротвердости построеио изотермическое сечение системы при 1400 °C. Границы фазовых областей представлены в графическом и аналитиче-

ском видах [598].

· Ru-Pt-Ir. Методами микроструктурного, рентгенофазового, локального рентгеноспектрального анализов, измерением твердости и микротвердости построено изотермическое сечение системы при 1400 °C. Границы фазовых областей представлены графическим и аналитическим способами [598].

Os-La-В. Исследовано соединение LaOs<sub>4</sub>B<sub>4</sub> со структурой типа

NdCo<sub>4</sub>B<sub>4</sub> [599].

Os-Ce-B. Исследовано соединение CeOs<sub>4</sub>B<sub>4</sub> со структурой типа

NdCo<sub>4</sub>B<sub>4</sub> [599].

Os-Pr-B. Исследовано соединение PrOs<sub>4</sub>B<sub>4</sub> со структурой типа

NdCo<sub>4</sub>B<sub>4</sub> [599]. Os-Nd-В. Исследовано соединение NdOs<sub>4</sub>B<sub>4</sub> со структурой типа

NdCo<sub>4</sub>B<sub>4</sub> [599]. Os-Sm-B. Исследовано соединение SmOs<sub>4</sub>B<sub>4</sub> со структурой типа

NdCo<sub>4</sub>B<sub>4</sub> [599].

 $\hat{Os-U}-\hat{C}$ . Для приготовления сплавов использовали UC, содержащий 4,77 % C, 0,04 % O<sub>2</sub>, <0,001 % N<sub>2</sub>, ураиовую стружку с 0,12 % O<sub>2</sub>, 0,012 % N<sub>2</sub>, 0,0053 % C, Os 99,9 %, спектрально чистый графит.

Пятнадцать образцов различного состава готовили из компонентов прессованием вхолостую с последующим расплавлением в дуговой печи в атмосфере аргона, а затем гомогенизировали при 1500 °C в высоком вакууме. Исследование проводили методами рентгеновского и микро-

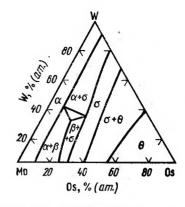
скопического анализов. Представлен изотермический разрез системы при 1500°C (рис. 5.300). При составе 40 % (ат.) U, 20 % (ат.) Os и 40 % (ат.) С найдено соединение U2OsC2, имеющее тетрагональную решетку с пернодами  $a=0,3461\pm0,2,\ c=1,259\pm0,3$  нм. В трехфазиой области  $U_2OsC_2+$ +Os+C найдено отклонение от тетрагональной симметрии, выражающееся в орторомбическом искажении (a=0.3526, c=1.2641 нм) [600].

Os-Mo-W. Были использованы: W с содержанием примесей 0,002 % Fe, 0,001 % Al; (0,001-0,002) % Si, 0,001 % (Mg+Cu), (0,001-0,002) % Mo, 0,0005 % O<sub>2</sub>, 0,0005 % N<sub>2</sub>, 0,0005 % H<sub>2</sub>, (0,002-0,004) С; Мо с содержанием примесей 0,01 % Сг, 0,001 % Fe, 0,003 % Аl, 0,005 % Mg, 0,003 % Cu, 0,005 Mn, 0,008 % Si; Os чистотой 99,99 %.

Сплавы готовили в дуговой печи с вольфрамовым электродом, гомогенизировали в высокочастотной печи при температурах, близких к

солидусу, закаливали в жидком олове.

Построено изотермическое сечение системы при 2375 °C (рис. 5.301). В системе существуют широкие области твердых растворов иа основе



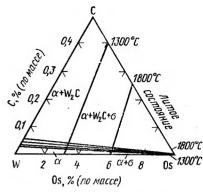


Рис. 5.301. Изотермическое сечение системы Оs-Mo-W

Рис. 5.302. Изотермическое сечение системы Оs--W--С

компонентов и σ-фазы. Приведены также изотермы при 2000 и 1600 °C. При этих температурах в тройную систему распространяются области. содержащие двойное соединение Mo<sub>3</sub>Os [601].

Os-Mo-B. В системе исследовано соединение Os23Mo10B67 со структурой типа  $ReB_2$  и периодами решетки a=0.290, c=0.744 нм.

c/a=2.55. Плотность 11.15·10<sup>3</sup> кг/м<sup>3</sup> [9].

Os-W-Re. В системе были исследованы свойства тройных сплавов 5W—(0—3) Re—Os и 26W—(0—11) Re—Os. Сплавы W—5 % Re и W-26~% Re, содержащие до 1,7 % Os, имеют однофазную структуру а-твердого раствора. Сплавы W—26 % Re, содержащие >1.7 % Os. имеют двухфазную  $(\alpha+\sigma)$ -структуру. Эти сплавы подвержены термическому старению и деформационному двойникованию при комиатной температуре [9].

Os-W-B. В системе исследовано соединение  $Os_{23}W_{10}B_{67}$  со структурой типа  $ReB_2$  и периодами решетки a=0.291, c=0.749 нм, c/a=2.575.

Плотиость 12670 кг/м<sup>3</sup> [377].

Os-W-C. При проведении работы использовали: W монокристаллический плазменной плавки с содержанием примесей 0.002 % С. 0,0001 % H<sub>2</sub>, 0,001 % O<sub>2</sub>; W металлокерамический; Оз чистотой 99,95 %.

Сплавы готовили в дуговой печи в атмосфере очищенного аргона. Углерод вводили в виде WC. Сплавы исследовали в литом состоянии после закалки и отжига при 1800°С 50 ч и 1300°С 150 ч. Исследования проводили методами микроструктуриого и рентгенофазового анализов, измерением твердости и микротвердости.

Построены изотермические сечения системы при 1800 и 1300 °C (рис. 5.302) — вольфрамовый угол с изотермами растворимости С и

Os B W 16021.

Rh—Ag—Dy. Исходными для приготовления сплавов служили ме-

таллы следующей чистоты: Ag 99,9 %, Rh 99,96 %, Dy 99,7 %.

Сплавы готовили в дуговой печи в атмосфере очищениого гелия, гомогенизировали при 600°C и закаливали в воде. Исследование выполняли методами микроструктуриого, рентгенофазового, локального реитгеноспектрального анализов, измерением твердости и микротверлости.

Представлено изотермическое сечение системы при 600°C (рис. 5.303). Обиаружена иовая тройная фаза F при составе 49Ag-26Rh-

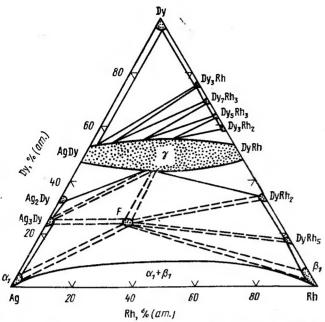


Рис. 5.303. Изотермическое сечение системы Rh-Ag-Dy при 600 °C

25Dy, % (ат.). Соединения AgDy и RhDy, имеющие кристаллическую структуру типа CsCl, образуют квазибинарный разрез с неограниченной взаимиой растворимостью. При содержании в сплавах менее 10 % (ат.) Dy отмечено иаличие несмещиваемости компонентов [603].

Rh—Ap—Pd. При приготовлении сплавов использовали Pd, Rh, и

Ад, содержащие не более 0,01 % примесей.

Сплавы готовили расплавлением в высокочастотной печи в корундизовых тиглях под слоем плавленой буры, отжигали при температурах 1200°C (из областей, богатых Rh и Pd) и 800°C. Время выдержки под закалку в воду составило 24 ч. Исследование проводили методами микроструктуриого анализа, измерением твердости, временного сопротивления на разрыв, удлинения, удельного электросопротивления, температурного коэффициента электросопротивления и интегральной т. э. д. с.

Приведена фазовая диаграмма равновесия системы (рис. 5.304)

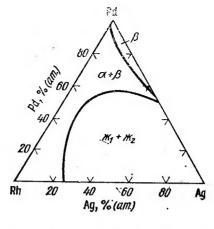
[266].

Rh-Au-Pd. Металлическое Au, полученное восстановлением этиловым спиртом, аффинированные Рd и Rh, содержащие 0,01% примесей.

Сплавы приготовляли расплавлением в высокочастотной печи в корундизовых тиглях под слоем плавленой буры. Исследование проводили методами микроструктуриого анализа, измерением твердости, механических и электрических свойств.

Построена диаграмма равновесия системы. Система характеризуется широкой областью несмешиваемости в жидком состоянии, расположениой в золотом углу концентрационного треугольника (рис.

5.305).



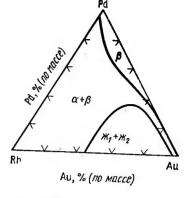


Рис. 5.304. Изотермическое системы Rh-Ag-Pd

Рис. 5.305. Изотермическое сечение системы Rh-Au-Pd

При легировании сплавов Pd—Au до 1 % Rh наблюдается значительное их упрочнение [604].

Rh-Au-Pt. При исследовании использовали металлы высокой чистоты.

G

Сплавы изготовляли в дуговой печи с вольфрамовым электродом. Исследование выполияли методами микроструктурного. рентгеновского и термического анализов. Сплавы отжигали при 600-800 °С в течение 36000 ч.

Построен изотермический разрез системы при 800°C. Области существования тройных твердых растворов на основе Ан и двойных сплавов Rh—Pt весьма **узки [605].** 

Rh-Al-Nb. Исследование системы проводили методом рентгеновского анализа.

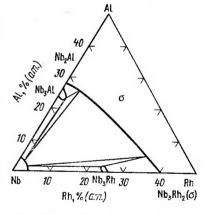


Рис. 5.306. Изотермическое сечение системы Rh-Al-Nb при 925 °C

Построен изотермический разрез системы при 925°C (рис. 5.306). Перноды решетки  $\sigma$ -фазы возрастают от a=0.977, c=0.505 им. c/a==0.517 для Nb<sub>3</sub>Rh<sub>2</sub> до a=0.985, c=0.516 нм, c/a=0.524 для сплава  $Nb_{25}Rh_{10}Al_{25}$  [606]. Rh—Sc—B. Сплавы получали методом дуговой плавки и гомогени-

зировали при 1300 °C. Определен период решетки фазы  $ScRh_3B_{1-x}$  со

структурой перовскита, равиый 0,407 нм [607].

Rh—Sc—C. Сплавы получали методом дуговой плавки и гомогенизировали при 1300 °C. Определен период решетки фазы ScRh<sub>3</sub>C<sub>1-x</sub> со структурой перовскита, равный 0,401 нм [607].

Rh—Sc—Si. Образцы плавили в дуговой печи в атмосфере аргона при давлении 10<sup>6</sup> Па. Потери составляли менее 1 %. Образцы в квар-

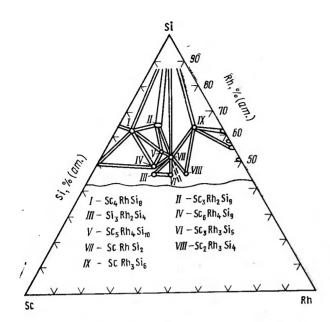


Рис. 5.307. Изотермическое сечение системы Rh-Sc-Si

цевых ампулах подвергали закалке в воду. Исследование проводили методами рентгенофазового, микроструктурного и локального рентгеноспектрального анализов, измерением сверхпроводимости.

Построена частная диаграмма состояния системы при 1000 °C (рис. 5.307). Найдены тройные интерметаллические соединения:  $Rh_4Si_{10}Sc_5$  с тетрагональной решеткой и периодами  $a=1,233,\ c=0,403$  нм, а также  $RhSi_2Sc$ , имеющее орторомбическую решетку с периодами  $a=0,630,\ b=0,954,\ c=0,403$  нм [609].

Rh—Th—C. Использовали: Th, содержащий 0,3 % O, 0,09 % N;

Rh 99,9 %, а также спектрально чистый графит.

Сплавы готовили в дуговой печи в атмосфере аргоиа, исследовали с помощью методов микроструктурного и рентгеновского анализов и рентгеноспектрального микроанализа.

Изучена структура и фазовый состав сплавов. Построено изотермическое сечение системы при 1200 °C. Обнаружено тройное соединение

 $Rh_3ThC_{0.3}$  с неизвестной структурой [578].

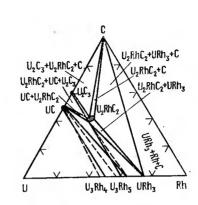
*Rh—U—C*. В работе использовали: U, содержащий 0,012 % O, 0,012 % N, 0,0053 % C; Rh чистотой более 99,9 %, UC с 4,47 % C; 0,04 % O и 0,001 % N; спектрально чистый графит.

Сплавы готовили в дуговой печи в инертной среде, отжигали в вакууме при 1500 и 1300 °С в течение 68 и 63 ч соответственно. Исследовали методами микроструктурного и рентгеновского анализов.

Построено изотермическое сечение системы при 1300°C, найдена

тройная фаза U<sub>2</sub>RhC<sub>2</sub> (рис. 5.308) [610].

Rh—Pu—C. Для проведения исследования использовали Pu, содержащий менее 0.2 % примесей, графит марки EV-9 с примесями менее 0.2 %, Rh 99.9 %.



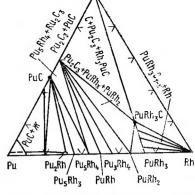


Рис. 5.308. Изотермическое сечение системы Rh—U—C

Рнс. 5.309. Изотермическое сечение системы Rh—Pu--С

Сплавы получали многократным расплавлением в дуговой печи в атмосфере очищенного аргона под давлением 3·106 Па и отжигали при температурах между 800 и 1250 °С с последующим охлаждением с печью. Исследование сплавов проводили методами химического и рентгеновского анализов, керамографии и микроэлектронной спектроскопии.

Представлен предположительный изотермический разрез системы при  $800\,^{\circ}$ С. Найдено соединение  $PuRh_{3}$ С с периодом решетки a=0,4098 нм

(рис. 5.309) [611].

Rh—Zr—Pd. Рентгенографическим исследованием порошковых рентгенограмм, снятых в  $CuK_{\alpha}$ -излучении, изучены сплавы квазибинарной системы  $Pd_3Zr$ — $\mathbf{Rh}_3Zr$ . Наблюдается ряд промежуточных фаз с многослойной г. п. у. структурой при переходе от г. п. у. структуры  $Pd_3Zr$  (типа  $Ni_3Ti$ ) к структуре  $Cu_3Au$  в  $Rh_3Zr$ . Эти фазы представляют собой 7-, 8-, 9-, 10- и 12-слойные упаковки, параллельные оси <0001>. Предполагают, что стабильиость многослойных фаз в системе  $Pd_3Zr$ - $Rh_3Zr$  определяется электронной концентрацией и 4-, 6-, 8-, 9-, 10- и 21-слойным г. п. у структурам должны соответствовать e/a=5/4, 7/6, 11/8, 12/9, 13/10, 30/12 соответственно [377].

Rh-Zr-O. Для приготовления сплавов использовали оксид цир-

кония ZrO<sub>2</sub>.

Сплавы приготавливали расплавлением в дуговой печи. Исследовали методами микроскопического и реитгеновского анализов и изме-

реинем плотности.

Построено изотермическое сечение системы при 950 °C с границами фазы типа  ${\rm Ti_2Ni}$  ( $\epsilon$ ) (рис. 5.310).  $\sigma$ -фаза имеет кубическую решетку  $\epsilon$  параметром:  $a=1,2412\pm0,0002$  нм для сплава с 61 % (ат.) Zr, 28,5 % (ат.) Rh и 10,5 % (ат.) О и  $a=1,2470\pm0,0001$  нм для сплава с 64 % (ат.) Zr, 26,6 % (ат.) Rh и 9,5 % (ат.) О. Плотность фазы для сплава с 63 % (ат.) Zr, 27 % (ат.) Rh и 10 % (ат.) О составляет 7930 кг/м² [595]

Rh-V-Co. В системе обнаружено образование непрерывного ряда твердых растворов между двойными соединениями  $V_3Co$  и  $V_3Rh$ , обладающими структурой типа  $Cr_3Si$ . Периоды кристаллической решетки-

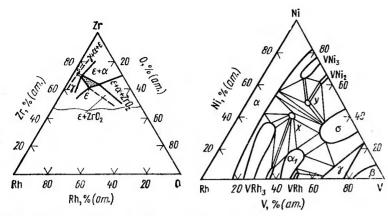


Рис. 5.310. Изотермическое сечение системы Rh-Zr-О при 950 °С

Рис. 5.311. Изотермическое сечение системы Rh-V-Ni при 900°C

увеличиваются по мере увеличения содержания Rh в сплавах [377]. Rh-V-Ni. Исходными материалами для приготовления сплавов служили: Ni, V и Rh чистотой 99,9 %.

Сплавы готовили в дуговой печи в атмосфере гелия. Для приведения в равновесное состояние сплавы подвергали термообработке при температурах 900—1200 и 1300—1500 °C. Исследование проводили методами микроструктурного, рентгенофазового, термического и локального рентгеноспектрального анализов, измерением твердости и микротвердости. Были измерены удельное электросопротивление, магиитные и коррозионные свойства сплавов.

Построено изотермическое сечение системы при 900 °С (рис. 5.311). Двойные фазы VRh3, а и о, имеющие широкие области гомогениости, глубоко проникают в тройную систему. Изоструктурные соединения V<sub>3</sub>Rh и V<sub>3</sub>Ni, имеющие решетку типа Cr<sub>3</sub>Si, образуют непрерывный ряд твердых растворов. В системе образуются новые тройные соединения: х при эквиатомном соотношении компонентов и у при соотношении Rh: V: Ni=1:2:2

Rh—Sb—Mn. Сплавы выплавляли в откачениых кварцевых ампулах при 1150—1350 °C, отжигали при 700—1000 °C и охлаждали со скоростью 100 град/ч.

Исследование проводили на 29 сплавах системы с помощью рентгенографического и магнитометрического методов.

Сплавы от RhMn<sub>0.6</sub>Sb<sub>0.34</sub> до RhMn<sub>0.55</sub>Sb<sub>0,45</sub> имеют кристаллическую

структуру с г. ц. т. решеткой типа  $L1_0$ .

Сплав RhMn<sub>0,55</sub>Sb<sub>0,45</sub> имеет намагниченность насыщения 4,11× X10<sup>4</sup> А/м при 0 K (экстраполированиая величина); магнитиый момент  $3,2\mu$  в /на атом Мп,  $\theta_{\rm K}=330$  К и парамагнитную  $\theta_{\rm K}=286$  К [613].

Rh—Ві—Nі. В системе Ni и Rh образуют с Ві ограниченные твердые растворы (рис. 5.312). Растворимость Ni в RhBi4 и RhBi2 мала и твердые растворы на их основе в тройной системе не образуются. Область твердого раствора RhBi3 и NiBi3 не превышает 65 % (по массе)

RhBiз. При охлаждении из жидкого состояния метастабильные сплавы разреза RhBi<sub>3</sub>—NiBi<sub>3</sub> образуют непрерывный ряд твердых растворов

Rh—Fe—Ni. Исследована компенсация магнитного момента [57Fe] в сплавах  $Ni_xRh_{1-x}$  (Fe) с применением метода Мессбауэровской спектроскопии [615].

Rh-Fe-Pd. Исследована зависимость парамагнитной восприимчивости, эффективиого магиитиого момента, температуры магнитиого упорядочения от восприимчивости матрицы и концентрации примесей. Матрицы Pd<sub>1-v</sub>Rh<sub>v</sub> обладают усиленным взаимодействием. По даиным о зависимости температуры магнитного упорядочения от восприимчи-

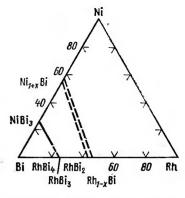


Рис. 5.312. Изотермическое сечение системы Rh-Ві-Nі при 200°С

вости матрицы и момента насыщения на один атом железа рассчитаны коэффициент молекуляриого поля и константа обменного взаимодействия [616].

Rh-Ir-Pd. Методами микроструктурного, рентгенофазового, локального рентгеноспектрального анализов, измерением твердости и микротвердости исследованы сплавы системы и построено изотермическое сечение при 1400 °C [598].

Rh—Pd—Pt. Сплавы системы исследовали методами микроструктурного анализа, измерением твердости, электросопротивления, т. э. д. с. и временного сопротивления разрыву.

Установлено, что сплавы Pd—Pt—Rh кристаллизуются с образова-

нием непрерывных рядов твердых растворов.

Легирование сплавов Pd—Pt—Rh сопровождается их значительным упрочнением [9]. Устаиовлена стабильность т. э. д. с. сплавов после иагревов до 1200 и 1400 °C.

Методами микроструктурного и рентгенофазового анализов сплавов, отожжениых при 1400 °C, установлена иепрерывная взаимная растворимость компонентов [598].

Другие известные даиные о системах, содержащих родий, касаю-

щиеся образования в них соединений, приведены в табл. 5.40. Ir—Ag—Pd. В работе использовали: Ir, содержащий до 0,01 %.

примесей. Ре чистотой 99,99 %, Ад после двойного аффинажа.

Сплавы готовили расплавлением в высокочастотной печи в корундизовых тиглях под слоем буры. Прокатывали с изгревом 1000—1200 °C и без нагрева. Отжигали при 800°C в течение 200 ч и закаливали с 1000 °С в воде. Исследование проводили методом микроскопического аиализа, измерения твердости, прочиости, удлииения, удельного электросопротивления и т. э. д. с.

Построена диаграмма до 50 % Pd. Область несмешиваемости в жидком состоянии проходит от стороны Ir-Ag до разреза с постоян-

ным содержанием 70°% (ат.) Pd [617].

Ir—Au—Pd. Систему исследовали методами микроструктурного анализа, измерением механических, электрических и термоэлектрических свойств.

Представлена фазовая диаграмма системы. Область твердых растворов иевелика. Система характеризуется широкой областью расслое-

<sup>1</sup> Аксенова О. В. Физико-химическое исследование взаимодействия родия с ванадием и инкелем: Автореф. каид. дис. М., 1978.

### КРИСТАЛЛИЧЕСКАЯ СТРУКТУРА СОЕДИНЕНИЙ, ОБРАЗУЮЩИХСЯ В СИСТЕМАХ С РОДИЕМ 19. 6121

Система	Соединеиие	Тип струк- туры	Параметры решетки, нм	<i>V</i> , нм³
Rh—Y—Sn	RhSnY	Fe <sub>2</sub> P	a=0,754, c=0,377, c/a=0,50	0,06189
Rh— $Sm$ — $Sn$	RhSnSm	Fe <sub>2</sub> P	a=0.746, c=0.398,	0,06888
Rh— $Gd$ — $Sn$	RhSnGd	Fe <sub>2</sub> P	c/a=0.53 a=0.752, $c=0.386$ ,	0,06316
Rh—Tb—Sn	RhSnTb	Fe <sub>2</sub> P	c/a=0.51 a=0.754, $c=0.379$ ,	0,06223
Rh—Dy—Sn	RhSnDy	Fe <sub>2</sub> P	c/a=0.50 a=0.752, $c=0.377$ ,	0,06172
Rh—Ho—Sn	RhSnHo		c/a = 0.50	,
•		Fe <sub>2</sub> P	a=0.752, c=0.374, c/a=0.49	0 <b>,0</b> 6130
Rh-Er-Sn	RhSnEr	Fe <sub>2</sub> P	a=0.751, c=0.373, c/a=0.49	0,06088
Rh—Tm—Sn	RhSnTm	Fe <sub>2</sub> P	a=0.753, c=0.369, c/a=0.49	0,06045
Rh—Yb—Sn	RhYbSn	$Fe_2P$	a=0.752, c=0.367,	0,05998
Rh—Lu—Sn	RhSnLu	Fe <sub>2</sub> P	$\begin{vmatrix} c/a = 0.49 \\ a = 0.752, c = 0.364, \end{vmatrix}$	0,05967
Rh-As-S	Rh <sub>33</sub> As <sub>33</sub> S <sub>34</sub>	FeS <sub>2</sub> (B)	c/a = 0.48 a = 0.575	_
	$Rh_{33}As_{12}S_{55}$	FeS <sub>2</sub> (B)	a = 0.572	_
Rh—As—Se	Rh33As33Se34	FeS <sub>2</sub> (B)	a = 0.593	
	Rh33As34Se43	$FeS_2$ (B)	a = 0.594	
	Rh <sub>33</sub> As <sub>33</sub> Se <sub>34</sub>	FeS <sub>2</sub> (B)	a = 0.593	-
Rh—Sb—Te	Rh33As12Se55	FeS <sub>2</sub> (B)	a = 0.595	_
Mi-30-16	Rh33Sb33Te34 Rh33Sb24Te43	FeS <sub>2</sub> (B)	a = 0.639	
= 10	Rh <sub>33</sub> Sb <sub>12</sub> Te <sub>55</sub>	FeS <sub>2</sub> (B)	a = 0.645	
Rh→Bi—Te	Rh <sub>33</sub> Bi <sub>33</sub> Te <sub>34</sub>	FeS <sub>2</sub> (B)	a = 0.639 a = 0.650	
	Rh <sub>33</sub> Bi <sub>24</sub> Te <sub>43</sub>	FeS, (B)	a=0.645	_
	Rh <sub>33</sub> Bi <sub>12</sub> Te <sub>55</sub>	FeS <sub>2</sub> (B)	a=0.645	_
0.00		- " '	,	
ı,				

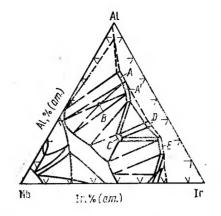
ния в жидком состоянии. Область разрыва растворимости в жидком состоянии от стороны Au-Ir простирается до разреза с постоянным содержанием 70 % (по массе) Рф.

Исследовано влияние 1-2% Іг на микроструктуру, прочиость и

электросопротивление сплавов Ра-Аи [266].

Ir—Al—Nb. Смесь порошков Nb, Al и Ir сплавляли в дуговой печи в атмосфере аргона. Сплавы измельчали и отжигали при 1100°C, а затем выдерживали при 1500 °С иесколько часов в вакууме.

Реитгеновским методом исследовано фазовое равновесие в области состава 55-100 % (ат.) Nb; содержание Ir и AI от 0 до 45 % (ат.) каждого [618]. Изучен изотермический разрез системы при 1100 °C в области 30-50 % (ат.) Nb (рис. 5.313). Исследование проводили на порошковых образцах и отдельных монокристаллических фрагментах



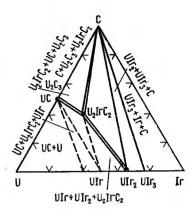


Рис. 5.313. Изотермическое сечение системы Ir-Ai-Nb

Рис. 5.314. Изотермическое сечение системы Іг-U-С

по методу Вейсенберга для определения симметрии и предварительной оценки периодов решетки фаз А, А', В, С, D. Е. Приведены сведения о составе и структуре фаз [619]. С помощью СиК, - и Мог д-излучений на моиокристаллических фрагментах, выделенных из двухфазного сплава Nb-0,394, Al-0,475, Ir-0,131, изучали структуру А-фазы. Эта фаза имеет структуру MgZn<sub>2</sub>, пространственную группу P 6<sub>3</sub>/mmc, a= $=0.5098\pm0.0003$ ,  $c=0.8306\pm0.0003$  HM, c/a=1.629.

Измерена  $T_K$  в области  $\sigma$ -твердых растворов и тройных твердых

растворов фаз типа Cr<sub>3</sub>Si [620].

Ir—Sc—B. Сплавы получали методом дуговой плавки, а затем гомогенизировали при 1300°C. Определен период решетки фазы  $ScIr_3B_{1-x}$  со структурой перовскита, равный 0.3999 нм [607].

Ir-Sc-C. Сплавы получали методом дуговой плавки и гомогенизировали при 1300°С. Определен период решетки фазы ScIr<sub>3</sub>C<sub>1-x</sub> со

структурой перовскита, равный 0,3994 нм [607].

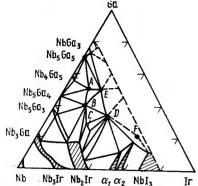
Ir—Gd—Co. Образцы для проведения исследования готовили с помощью дуговой плавки в атмосфере аргона и отжигали при 700— 900 °C.

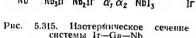
Изучен квазибинарный разрез  $Gd(Co_xIr_{1-x})_2$  между фазами Лавеса C15,  $GdCo_2$  и  $GdIr_2$ . При x=0.4 обиаружено резкое изменение в периодах решетки и магнитных свойствах [621]. При 4,2-300 К и в полях до 7,85 · 105 А/м исследовали магиитиые свойства и структуру сплавов, где  $x=0\div 1.0$ . С увеличением коицентрации Со наблюдается плавное уменьшение периода решетки, неизменность магнитного момента, температуры Кюри и ширины лииии электроиного спинового резонанса [622].

Ir-U-C. Для приготовления сплавов использовали UC, содержащий 4,74 % C, 0,04 % O<sub>2</sub>, <0,001 % N<sub>2</sub>; ураиовую стружку с 0,012 % O<sub>2</sub>, 0,012 % N<sub>2</sub>, 0,0053 % C; Ir 99,98 % и спектрально чистый

графит.

Образны различного состава готовили прессованием вхолодную с последующим расплавлением в дуговой печи в атмосфере аргона и гомогенизировали при 1300 °C в высоком вакууме. Исследование проводили методами реитгеновского и микроскопического анализов.





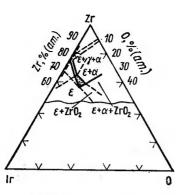


Рис. 5.316. Изотермическое сечение системы Ir-Zr-O при 1100°C

Представлен изотермический разрез системы при  $1300\,^{\circ}$ С. По перитектической реакции образуется тройное соединение  $U_2IrC_2$  (рис. 5.314). Периоды решетки соединения  $a=0,3474\pm0,0002$ ,  $c=1,2483\pm0,0003$  нм [600].

Ir—Ga—Nb. Для приготовления сплавов использовали Nb 99,9 %, Ir 99,9 % и Ga 99,99 %. Сплавы выплавляли в дуговой печи в атмосфере аргона. Сплавы гомогенизировали при 1500—1300 °С и отжигали при 1000 °С. Исследование выполнено методами электронной микроско-

пии, рентгеновского и микрорентгеноспектрального анализов.

Построен изотермический разрез системы при  $1000\,^{\circ}\mathrm{C}$  (рис. 5.315). Все фазы системы имеют узкие области гомогенности, кроме  $\mathrm{Nb_{48}Ga_{22-27}Ir_{30-35}}$ . В системе идеитифицировано шесть тройных соединений: тетрагональная фаза  $\mathrm{Nb_{37}Ga_{50}Ir_{13}}$  ( $a=1,3550\,$  нм,  $c=1,9155\,$  им); гексагональная фаза  $\mathrm{Nb_{30}Ga_{35}Ir_{35}}$  ( $a=0,7439\,$  нм,  $c=0,2892\,$  нм); тетрагональная фаза  $\mathrm{Nb_{25}Ga_{25}Ir_{23}}$  ( $a=0,9667\,$  нм;  $c=1,2268\,$  нм); тетрагональная фаза  $\mathrm{Nb_{48}Ga_{40}Ir_{17}}$  ( $a=1,5154\,$  нм,  $c=1,8970\,$  нм); ромбоэдрическая фаза  $\mathrm{Nb_{46}Ga_{15}Ir_{60}}$  ( $a=1,1831\,$  нм,  $c=2,0717\,$  нм). Структура фазы  $\mathrm{Nb_{25}Ga_{15}Ir_{60}}$  не определена. По разрезу  $\mathrm{Nb_{3}Ga-Nb_{3}Ir}$  с непрерывным рядом твердых растворов определена  $T_{16}$  [623].

Ir—Ti—Re. В системе исследовано влияние электронной концентрации из упорядочение тройных фаз типа CsCl. В квазибинарной системе TiRe—TiIr тетрагональное искажение начинается при отношении

электрон/атом = 6:1 [583].

Ir—Zr—Pd. Ренттенографической съемкой порошковых рентгенограмм в  $CuK_{\alpha}$ -излучении исследованы сплавы квазибинарной системы  $Pd_3Zr$ — $Ir_3Zr$ . Промежуточные фазы не обнаружены [624].

Ir—Zr—O. Для приготовления сплавов использовали ZrO<sub>2</sub>. Сплавы готовили в дуговой печи. Исследование проводили методами микроскопического и рентгеновского анализов и измерением плотности.

Построен изотермический разрез системы Ir—O—Zr при 1100 °C с определением границ существования фазы типа  $Ti_2Ni$  (e) (рис. 5.316). Фаза имеет кубическую решетку с параметром  $a=1,2419\pm0,0001$  нм для сплава с 60,5 % (ат.) Zr, 28,5 % (ат.) Ir и 11 % (ат.) О и  $a=1,2485\pm0,0001$  нм для сплава с 65 % (ат.) Zr, 26,5 % (ат.) Ir и 8,5 % (ат.) О. Плотность  $\epsilon$ -фазы для сплава с 64,5 % (ат.) Zr, 27,5 % (ат.) Ir и 8 % (ат.)  $O_2$  равна 10060 кг/м³ [585].

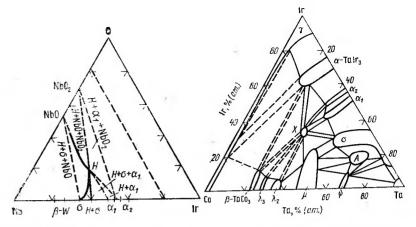


Рис. 5.317. Изотермическое сечение системы Ir--Nb--O

Рис. 5.318. Изотермическое сечение системы Ir—Ta—Co при 950 °C

Ir-V-Nb. В системе иаблюдается иепрерывиая растворимость

между соединениями V<sub>3</sub>Ir—Nb<sub>3</sub>Ir [9].

Ir-V—Cо. При исследовании в системе политермического разреза  $V_3$ Co— $V_3$ Ir не обнаружено тройных фаз. При 1000 °C в системе наблюдается существование двух твердых растворов со структурой

Cr<sub>3</sub>Si на основе V<sub>3</sub>Co и V<sub>3</sub>Ir [9].

Ir-Nb-O. Сплавы для исследования синтезировали методом порошковой металлургии из Nb и Ir чистотой 99,9 % и из Nb<sub>2</sub>O<sub>5</sub>. Содержание Ir в сплавах с 30—50 % (ат.) O<sub>2</sub> меиее 30 % (ат.). Сплавы гомогенизировали при 1600 °C и отжигали при 900 °C. Исследование проводили методом рентгеиовского анализа в  $CuK_{\alpha}$ -излучении.

Построен изотермический разрез системы при 900 °С. В системе образуется H-фаза состава  $\mathrm{Nb_{4,666}Ir_{2,666}O_{1,666}}$  с гексагональной решеткой и периодами a=0,7869+0,0004, c=0,5094+0,0003 нм, c/a=0,674, стабильная до 1700 °С (рис. 5.317). Пикнометрическая плотность H-фазы 11770 кг/м³, число атомов в элементарной ячейке равно двум.  $T_K$  H-фазы 11,0 K [625].

Ir—Ta—Co. В качестве исходных материалов для приготовления

сплавов использовали: Іг 99,9 %, Та 99,7 %, Со 99,99 %.

Сплавы готовили в дуговой печи в ииертной атмосфере. Для приведения в равновесное состояние подвергали термообработке при высоких температурах и закалке с 950 °C. Исследование выполнено методами микроструктурного, рентгенофазового, локального рентгеноспектрального и термического анализов, измерением твердости, микротвердости и магнитиых свойств.

Представлено изотермическое сечение системы при 950 °С. В системе обнаружены тройные соединения, обозначенные как A и X (рис. 5.318). A-фаза, лежащая в области составов  $Ta_{70}Ir_{20}Co_{10}$ , имеет большую область гомогенности и образуется послле длительного отжига. Соединение имеет кубическую решетку типа  $Cr_3Si$  с a=0,519 нм. Соединение X расположено на изоконцентрате 32,5 % (ат.) Та и при содержании Ir 35 % (ат.) I.

<sup>1</sup> Бернар∂ В. Б. Физико-химическое исследование взаимодействия нридия с кобальтом, никелем и танталом: Автореф, канд. дис. М., 1978.

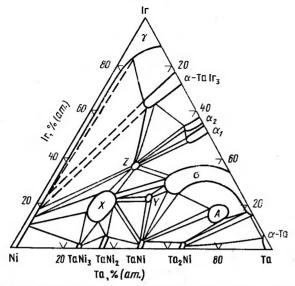


Рис. 5.319. Изотермическое сечение системы Ir-Ta-Ni при 950 °C

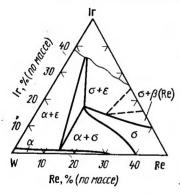


Рис. 5.320 Изотермическое сечение системы Ir—W—Re при 1000 °C

Ir—Ta—Ni. В качестве исходных материалов для приготовления сплавов использовали: Іг 99,9%. Та 99,7%. Ni 99,99 %.

Сплавы готовили в дуговой печи в инертной атмосфере. Для приведения в равновесное состояние подвергали термообработке закалку проводили с 950 °C. Исследование выполнено методами микроструктурного, рентгенофазового, локального рентгеноспектрального и термического анализов, измерением твердости, микротвердости и магнитных свойств,

Представлено изотермическое сечение системы при 950 °С (рис, 5.319). В системе имеющей весьма сложное фазовое строение, обнаружены новые тройные соединения, обозначенные как А, Х, У и Z. А-фаза, лежащая в области состава Та<sub>75</sub>Ir<sub>15</sub>Ni<sub>10</sub>, образу-

ется только после длительного отжига и имеет большую область гомогенности. Фаза имеет кубическую решетку типа  $Cr_3Si$  с периодом a==0.516 нм. Фаза Z расположена на изоконцентрате 25 % (ат.) Та при содержании 37 % (ат.) Ir. Она принадлежит к типу BaPb<sub>3</sub> с периодами решетки: a=0.535, c=1.927 нм, c/a=3.60. Кристаллическая структура соединения X, имеющего большую область гомогенности, и Y, имеющего состав Та<sub>42</sub>Іг<sub>25</sub>Ni<sub>33</sub>, не определена. 1.

Ir-W-Re. Различиыми методами физико-химического анализа построена фазовая диаграмма вольфрамового угла системы и показана схема ориентировочного расположения фазовых областей во всей тройной системе (рис. 5.320). На основе W существует область тройных растворов с о. ц. к. решеткой. Область тройной о-фазы при 2100 °C расширяется от стороны W-Re к стороне W-Ir. При 1500°С и ниже о-фаза со стороны W—Ir распадается на о-твердый раствор и є-фазу. По мере увеличения содержания Іг и Re в W снижается температура плавления сплавов. Максимальная температура плавления в двойной области ( $\sigma$ + $\epsilon$ ). Тройная  $\sigma$ -фаза плавится при 2500 °C. По мере увеличения содержания Іг и Re увеличиваются удельное сопротизление и твердость сплавов. Сплавы в области ствердых растворов технологичны.

Ir-W-B. В системе исследовано соединение  $Ir_{13}W_{18}B_{69}$  со структурой типа ReB<sub>2</sub> и периодами решетки a=0,292, c=0,756 нм, c/a=2,58. Плотность 12380 кг/м3 [9].

Ir-Fe-Rh. Исследование выполнено методами измерения магнит-

ной проницаемости и дифференциального термического анализа.

Представлена Р-Т диаграмма сплава с 50 % (ат.) Fe, 46 % (ат.) Rh и 4 % (ат.) Ir. Тройная точка для ферро-, пара- и антиферромагнитных фаз ( $\dot{\alpha}_{\Phi}$ ,  $\alpha_{\pi}$  и  $\alpha_{\pi\Phi}$ ) расположена при 326,7  $\pm$  3 °C и давлении  $(3,13\pm0,15)\cdot10^3$  M $\Pi$ a [626].

Ir-Pd-Pt. Проведено исследование сплавов Pd-Pt-Ir методами микроструктурного анализа, измерением твердости, удельного электросопротивления и временного сопротивления разрыву. Увеличение содержания Ir в сплавах сопровождается значительным повышением твердости и резким ухудшением их технологичности [61].

На основании результатов микроструктурного и рентгенофазового анализов сделан вывод о непрерывной взаимной растворимости компо-

нентов [9].

Другие известные данные о системах, содержащих иридий, касаю-

щиеся образования в них соединений, приведены в табл. 5.41.

Pd-Cs-S. Рентгеновское исследование монокристалла Сs<sub>2</sub>Pd<sub>3</sub>S<sub>4</sub> показало, что это соединение обладает моноклинной структурой нового типа с периодами: a=0.6275, b=1.402, c=0.616 нм,  $\beta=120.6^{\circ}$  [377].

Pd-Cu-Cr. Использовали: Си электролитическую, Pd, содержа-

щий не менее 0,01 % примесей, Сг электролитический 99,92 %.

Сплавы приготовляли расплавлением в высокочастотной печи под шлаком. Исследовали микроскопическим и термическим анализами, измерением твердости, электросопротивления и температурного коэффициента электросопротивления.

Приведено распределение фазовых областей при различных температурах (рис. 5.321) и политермические сечения диаграммы состояния Pd—Cu—Cr. Область расслаивания, наблюдаемая в двойной системе

Си-Сг, доходит в тройной системе до 35 % Рd [628].

Pd-Cu-Fe. Для приготовления сплавов использовали: электролитическую Си, губчатый аффинированный Pd, армко-Fe, содержащее

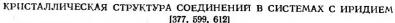
0,06 % Si, 0,03 % С и 0,009 % S.

Отжиг сплавов проводили в вакууме при 1100 и 1050 °C; в конце отжига температуру медленно, через каждые 100°C, снижали до комнатной. Чем ниже была температура, тем продолжительней были выдержки. Исследование проводили методами металлографического и термического анализов, измерением твердости, удельного электросопротивления и температурного коэффициента электросопротивления.

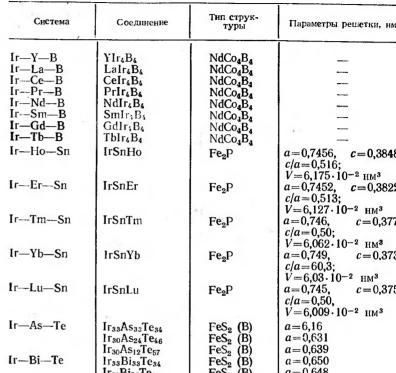
Приведена диаграмма состояния системы (рис. 5.322). Дана пр екция гетерогенной области при температуре солидуса и при комнат-

ной температуре [629].

¹ Бернард В. Б. Физико-химическое исследование взаимодействия иридия с кобальтом, никелем и танталом: Автореф. канд. дис. М., 1978.



[011, 055, 012]						
Система	Соединение	Тип струк- туры	Параметры решетки, нм			
Ir—Y—B Ir—La—B Ir—Ce—B Ir—Pr—B Ir—Nd—B Ir—Sm—B Ir—Gd—B Ir—Tb—B	YIr <sub>4</sub> B <sub>4</sub> LaIr <sub>4</sub> B <sub>4</sub> CeIr <sub>4</sub> B <sub>4</sub> PrIr <sub>4</sub> B <sub>4</sub> NdIr <sub>4</sub> B <sub>4</sub> SmIr <sub>4</sub> B <sub>4</sub> GdIr <sub>4</sub> B <sub>4</sub>	NdCo <sub>4</sub> B <sub>4</sub> NdCo <sub>4</sub> B <sub>4</sub>				
Ir—Ib—B Ir—Ho—Sn	TbIr <sub>4</sub> B <sub>4</sub>	NdCo <sub>4</sub> B <sub>4</sub>	-			
Ir—Er—Sn	IrSnHo IrSnEr	Fe₂P Fe₂P	$a=0.7456, c=0.3848, c/a=0.516; V=6.175 \cdot 10^{-2} \text{ Hm}^3$ $a=0.7452, c=0.3822, c/a=0.513; V=6.127 \cdot 10^{-2} \text{ Hm}^3$			
IrTmSn	IrSnTm	Fe <sub>2</sub> P	$a=0.746, c=0.377, c/a=0.50; V=6.062 \cdot 10^{-2} \text{ HM}^3$			
Ir—Yb—Sn	IrSnYb	Fe₂P	$a=0.749, c=0.373, c/a=60.3; V=6.03 \cdot 10^{-2} \text{ HM}^3$			
Ir—Lu—Sn	IrSnLu	Fe₂P	$a=0.745, c=0.375, c/a=0.50, V=6.009 \cdot 10^{-2} \text{ HM}^3$			
Ir—As—Te	I <sub>Γ33</sub> As <sub>33</sub> Te <sub>34</sub> I <sub>Γ30</sub> As <sub>24</sub> Te <sub>46</sub> I <sub>Γ30</sub> As <sub>12</sub> Te <sub>57</sub>	FeS <sub>2</sub> (B) FeS <sub>2</sub> (B) FeS <sub>2</sub> (B)	a=6.16 $a=0.631$ $a=0.639$			
Ir—Bi—Te	Ir <sub>30</sub> Bi <sub>12</sub> Te <sub>57</sub> Ir <sub>33</sub> Bi <sub>33</sub> Te <sub>34</sub> Ir <sub>30</sub> Bi <sub>12</sub> Te <sub>58</sub>	FeS <sub>2</sub> (B) FeS <sub>2</sub> (B) FeS <sub>2</sub> (B)	a=0,650 a=0,648 a=0,645			



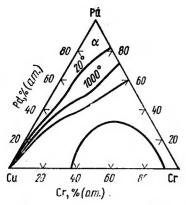
Установлено, что в сплаве состава Pd<sub>72</sub>Cu<sub>7</sub>Te<sub>21</sub> имеется тройная фаза Z в равновесии с палладиевым твердым раствором при 480°C, а в сплаве Pd<sub>70</sub>Cu<sub>7</sub>Te<sub>23</sub> фаза Z иаходится в равновесии с фазой PdCu [634].

Pd—Ag—Cd. Сплавы системы рекомендованы для всесторонних исследований как материал для электродов кардиостимуляторов [635]. Pd—Ag—Al. Для приготовления сплавов использовали Pd чистоты

99,95 %, Ag 99,999 %, Al 99,9 %.

- Плавление проводили в высокочастотиой печи в инертиой атмосфере: полученные образцы отжигали с последующим медленным охлаждением. Исследование проводили методами микроструктурного. рентгенографического и термического анализов, измерением твердости и микротвердости.

Построены политермические разрезы Pd<sub>2</sub>Al—Ag и PdAl—Ag. В системе Pd<sub>2</sub>Al—Ag в области расслаивания в жидком состоянии находятся сплавы с содержанием > 98 % (ат.) Ад. Растворимость Ад



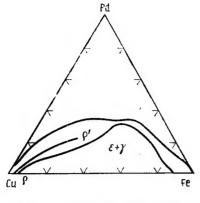


Рис. 5.321. Распределение фазовал областей в системе Рф-Си-Ст при различных температурах

Рчс. 5 322. Проекции гетерогенной обла:ти системы Pd-Сu-Ге при температурах солидуса и комнатной

Обнаружено существование химического соэлипения Pd<sub>2</sub>FeCu. Coединение имеет тетрагональную решетку с гернодами: a=0.02, c==0.437 HM, c/a=0.72 [629].

Pd—Cu—Co. Использовали Pd после двукратного осаждения в виде палладозамина и последующего прокаливания, Си электролитическую, Со, содержащий не более 0,01 % С.

Сплавы готовили в криптольной печи под слоем хлорида бария.

Исследования проводили методами термического и металлографического анализов, измерением твердости, электросопротивления и его температуриого коэффициента.

Исследовано распределение фазовых областей в системе при ком-

натной температуре (рис. 5.323) [630].

Ра-Ni-Си. Исследование системы проводилось различными ав-

торами с использованием металлов высокой степени чистоты.

- Сплавы или готовили методом порошковой металлургии, или выплавляли в дуговой печи и термообрабатывали при высоких температурах. Исследование проводили методами рентгеновского [631, 632]. а также металлографического [266] анализов.

Установлено, что компоненты неограниченно взаимно растворяются [266, 631, 632]. Приведены изотермы части системы (без палладиевого угла) при 650, 600, 550, 450, 400°C и при комнатной температуре. Построены политермические разрезы: Си<sub>0,59</sub>Pd<sub>0,41</sub>—Ni и Си<sub>0,5</sub>Ni<sub>0,5</sub>—Pd.

Pd—Cu—Si. Исследовали электрические и магнитные свойства сплава Рф68,5Си15Si16.5, получениого закалкой капель расплавленного металла. Сплав диамагиитен и характеризуется не зависящей от температуры в интервале 77-300 К магнитной восприимчивостью. Сплав имеет металлический тип проводимости в интервале температур от комнатной до 973 К и температуру кристаллизации 650 К. Сплав не обладает сверхпроводимостью вплоть до 1,2 К даже после наводороживания в 0,1 н. растворе H<sub>2</sub>SO<sub>4</sub> [633].

Pd—Cu—Te. Сплавы готовили из элементов чистотой выше 99,9 % в эвакуированных кварцевых ампулах при температуре на 100° выше температуры ликвидуса. Образцы охлаждали на воздухе, гомогенизировали и закаливали в воду. Исследование проводили методом рент-

геновского анализа.

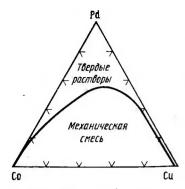


Рис 5.323. Изотермическое сечение системы Pd-Сu-Со при комнатной температуре

в соединении Рф.А1 при температуре взаимодействия монотектического 1255 °C < 2.5 % (ат.). Температура эвтектического взаимодействия 800°C. В системе PdAl—Ag в области расслаивания в жилком состоянии нахолятся сплавы с 37.5-40 и > 98 % (ат.) Ад. Температура монотектического равновесия 1184°C, температура эвтектического равновесия 775 °С1.

Pd—Ag—Y. Пля проведения исследования использовали металлы высокой чистоты.

Сплавы готовили в дуговой печи в инертной атмосфере, термообрабатывали при 600°С. Исследование проводили методами микроструктуриого и рентгенофазового анализов. нзмерением микротвердости и тверлости.

Построено изотермическое сечение системы Pd—Ag—Y при 600°C (рис. 5.324). Обнаружены новые тройные соединения, имеющие следующие составы: A = 23 % (ат.) Ag, 52 % (ат.) Pd, 25 % (ат.) Y; B = 29 % (at.) Ag, 29 % (at.) Pd, 42 % (at.) Y; C = 54 % (at.) Ag, 21 % (at.) Pd, 25 % (at.) Y [636].

Pd—Ag—Dy. Исходными материалами для приготовления сплавов служили металлы следующей чистоты: Ag 99.9 %, Pd 99.95 %, Dy 99.7 %. Сплавы готовили методом дуговой плавки в атмосфере очищенного гелия, отжигали при 600°C и закаливали в воде. Исследование проводили методами микроструктурного, рентгенофазового, локального рентгеноспектрального анализов, измерением твердости и микротвердости.

Построено изотермическое сечение системы при 600°С (рис. 5.325). Обнаружено существование двух промежуточных фаз E и D при следующих составах:  $E - Ag_{47}Pd_{28}Dy_{25}$ ,  $D - Ag_{32}Pd_{43}Dy_{25}$ . Между конгруэнтно плавящимися соединениями AgDv и PdDv образуется широкая область твердых растворов [637].

Pd—Ag—Si. Использовали Pd. содержащий 0.14 % Pt: Si. содер-

жащий 0,29 % Fe.

Сплавы готовили расплавлением в печи Таммана в атмосфере аргона. Исследование проводили методами микроструктурного, рентгеноструктурного и термического анализов.

Приведена диаграмма состояния системы Pd—Ag—Si (рис. 5.326). Обнаружена область несмешиваемостн, простирающаяся от серебряного угла к соединению Pd<sub>2</sub>Si [638].

Pd—Ag—Ti. Исходными материалами для приготовления сплавов

служили: Pd 99,98 %, Ag 99,99 %, иодидный Ті.

Сплавы готовили в дуговой печи с вольфрамовым электродом, гомогенизировали при 700°C в течение 700—900 ч. Исследование проводили методами микроструктурного, рентгенофазового, локального рентгеноспектрального анализов, измерением твердости и микротверпости.

Построено изотермическое сечение системы при 700°C (рис. 5.327). Обнаружена область несмешивання, прилегающая к стороне Ті-Ад.

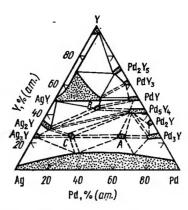


Рис. 5.324. Изотермическое сечение системы Pd-Ag-Y при 600°C

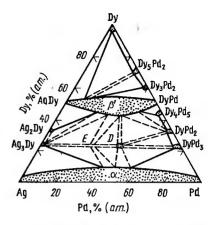


Рис. 5.325. Изотермическое сечение системы Pd-Ag-Dy при 600 °C

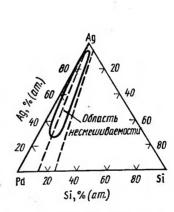


Рис. 5.326. Изотермическое сечение системы Pd-Ag-Si

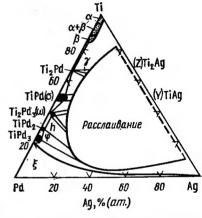


Рис. 5.327. Изотермическое сечение системы Pd-Ag-Ti

Проведено исследование коррозионной стойкости ряда сплавов из области тройного твердого раствора на основе Pd в растворах кислот (H<sub>2</sub>SO<sub>4</sub>, HCl) и солей (Na<sub>2</sub>SO<sub>4</sub>+H<sub>2</sub>SO<sub>4</sub>+H<sub>2</sub>S, FeCl<sub>3</sub>, KCl) [639].

Pd—Ag—Zr. Исходными материалами для приготовления сплавов

служили: Рd 99,98 %, Ag 99,99 % и иодидный Zr.

Сплавы готовили в дуговой печи с вольфрамовым электродом, гомогенизировали при 700°C в течение 700—900 ч. Проводили также ступенчатый отжиг с температуры 750°C до комнатной температуры в течение 324 ч. Исследование проводили методами микроструктурного, рентгенофазового, термического и локального рентгеноспектрального анализов, измерением твердости и микротвердости.

Построены изотермические сечения при 700°C и при комнатной температуре (рис. 5.328). Обнаружена квазибинарность разрезов меж-

<sup>1</sup> Губиева Д. Н. Исследование сплавов Pd с Al, Cu, Ag и элементами группы Fe в области, богатой Pd: Автореф, канд. дис. М., 1970.

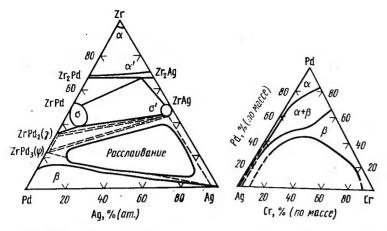


Рис. 5.328. Изотермическое сечение системы Pd-Ag-Zr

Рис. 5.329. Изотермическое сечение системы Рф-Ад-Ст

ду соединениями Zr<sub>2</sub>Pd и Zr<sub>2</sub>Ag (с неограниченной растворимостью) и между ZrPd и ZrAg (перитектического типа). Обнаружена область несмешиваемости, прилегающая к стороне Zr-Ag.

Проведено исследование коррозионной стойкости сплавов из области твердого раствора на основе Р в кислотных и солевых средах [639].

Pd—Ag—Cr. Использовали: Pd и Ag, содержащие менее 0,01 %

примесей, Ст электролитический 99,92 %.

Сплавы готовили в криптольной и частично высокочастотной печи под слоем хлорида бария. Исследовали методами микроскопического и термического анализов, измерением твердости, электросопротивления и температурного коэффициента электросопротивления.

Приведено распределение фазовых областей в системе (рис. 5.329). а также политермические разрезы при содержании 20, 30, 40, 50, 60, 70 и 80 % (ат.) Рф. Область расслаивания, имеющаяся в системе Ад-Сг, широко распространяется в тройную систему, доходя до 42 % Pd [640].

Pd—Ag—Ni. Систему исследовали методами микроструктурного и рентгеновского анализов, измерением твердости, удельного электросопротивления и температурного коэффициента электросопротивления.

Установлено положение фазовых областей в тройной системе (рис. 5.330). Область рассланвания в жидком состоянии, имеющаяся в системе Ag-Ni, широко простирается в тройной системе, доходя до разреза с постоянным содержанием 45 % Рd.

Легирование сплавов Pd—Ag малыми добавками Ni зиачительно

повышает их твердость [266].

Pd—Ag — дейтерий. При исследовании был использован Pd чистотой 99,97 %. Сплавы палладия с серебром изготавливали в высокочастотной печи в тиглях из  $Al_2O_3$ . Слитки деформировали без подогрева до диаметра 0,35-0,40 мм. Исследования проводили волюмометрическим метолом при p = 101325 Па и 30367,5 Па и температурах 200— 800 °C.

Pd и Ag с содержанием менее 0,03 % примесей использовали для приготовления сплавов, содержащих 10, 20, 23, 26, 29 и 40 % Ад. Сплавы готовилн в вакуумной печи. Образцы в виде леит толщиной 0,25 мм

отжигали в вакууме при 850°C 30 мин. Растворимость волорода в интервале 100-500 °C определяли весовым метолом.

Представлены графики растворимости водорода в сплавах PdAg При 300-500°C максимальную растворимость имеет сплав Pd — 40 % Ag. При понижении температуры максимум растворимости смещается в область с меньшим содержанием Ад [641].

Pd-Ni-P. B системе методом быстрой закалки из жидкого состояния получены аморфные сплавы Pd-(13-73) % (ат.) Ni-(15-20) % (ат.) Р и рентгенографически изучена их структура. Наблюдалось линейное соотношение между составом и межатомным расстоянием, подобное закону Ве-

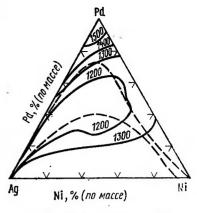


Рис. 5.330. Проекция поверхности ликвидуса системы Pd-Ag-Ni

гарда в кристаллах. Сплавы, вероятно, имеют тетраэдральную ячейку, которая присутствует уже в расплаве [266].

Pd-Ag-Te. При проведении работы использовали: Pd порошко-

вый чистотой 99,98 %, Ад порошковое 99,98 %, Те 99,99 %.

Сплавы готовили в эвакуированных кварцевых ампулах и закаливали в ледяной воде. Исследование проводили методами реитгеновского и термического анализов.

Построен политермический разрез в системе Pd—Ag—Te. Разрез квазибинарный эвтектического типа. Эвтектика кристаллизуется при 500 °C и 30 % Pd. При 430 ±5 °C в интервале (15-55) % Pd существует соединение (AgPd)<sub>2</sub>Te, имеющее тетрагональную решетку типа PbFC1 с периодами a=0.624, c=1.156 нм [642].

Pd—Ag—S. Исследование, проведенное методами термического, микроструктурного и рентгеновского анализов, показало, что квазибинарный разрез Ag<sub>2</sub>S—Pd содержит тройное соединение Pd<sub>2</sub>AgS, которое кристаллизуется с очень сильным переохлаждением и при 700°C образует эвтектику с Ag<sub>2</sub>S [266].

Найдено тройное соединение  $Pd_2AgS$  типа  $\beta$ -Мп, a=0.723 нм [612]. Pd—Au—Zn. Проведено реитгенографическое исследование квазибинарной системы PdZn-AuZn. Использовали также методы термического и металлографического анализов. В сечении 0 ≪ х ≪ 65 большая часть сплавов кристаллизуется по типу CsCl. Растворимость AuZn в

PdZп 11 % (ат.) при 530 °С [643].

Pd—Au—V. Исследовано влияние холодной деформации и различиых видов термообработки на удельное электросопротивление и константу Холла сплавов тройной системы с постоянным содержанием 9 % (ат.) V. Установлено, что в сплавах, лежащих в середине исследуемой концентрационной области, наблюдается упорядочение, которое связывается авторами с сильным К-эффектом. В этих сплавах наблюдается значительное повышение удельного электросопротивления и константы Холла.

Для ряда сплавов исследован температурный коэффициент элек-

тросопротивления [266, 644].

Pd—Au—Te. Методом быстрой закалки из жидкого состояния получены метастабильные сплавы с кубической решеткой, измерены периоды их решеток, а также температуры перехода в сверхпроводящее

состояние в сплавах (AuPd) Te<sub>2</sub>. По мере увеличения содержания Pd  $T_{\rm E}$  проходит через минимум 1,6 K при составе (Au<sub>0,95</sub>Pd<sub>0,05</sub>) Te<sub>2</sub> и возрастает до 4,5 К при составе (Au<sub>0,55</sub>Pd<sub>0,45</sub>) Те<sub>2</sub> [645].

Pd—Mg—C. В спеченном сплаве состава Pd<sub>65</sub>Mg<sub>21</sub>C<sub>4</sub> найдено, кроме фазы PdMg с кубической решеткой, неизвестное соединение [266].

Pd—Mg—Te. Сплавы готовили из элементов чистотой выше 99.9 % в эвакуированных кварцевых ампулах при температуре на 100° выше температуры ликвидуса. Образцы охлаждали на воздухе, гомогенизировали и закаливали в воду. Исследование проводили методом рентгеновского анализа. Найдено, что сплав Рода Рода представляет собой фазу Z, а сплав состава Рф68Мg7Te25 содержит тройную фазу У [634].

Pd—Zn—Ga. Чистота исходных металлов 99.8 %.

Сплавы получали в эвакупрованных кварцевых ампулах при 700°C в течение 3 ч и при 1400°C в течение 0,3 ч, гомогенизировали в течение 10 ч при 500-970 °C и закаливали в воду. Исследования выполняли методами микроструктурного и реитгеновского анализов.

Представлена политерма PdZn—PdGa тройной системы. Разрез квазибинарен. Обнаружена тройная фаза Pd<sub>7</sub>Zn<sub>3</sub>Ga<sub>4</sub>, образующаяся из твердого раствора. При 35 % (ат.) Ga после закалки с 950°C найдена фаза E, эвтектоидно распадающаяся при 900°C. При 800°C по перитектондной реакции образуется фаза D. Структура фазы Pd<sub>7</sub>Zn<sub>3</sub>Ga<sub>4</sub> производная от структуры CsCl [646].

Pd—Zn—Ge. При исследовании системы обнаружено тройное со-

единение Pd<sub>2</sub>ZnGe типа FeSi с a=0.487 нм [612].

Pd—Zn—C. Металлокерамический сплав Pd<sub>68</sub>Zn<sub>22</sub>C<sub>10</sub> и литой сплав состава Pd<sub>3</sub>ZnC<sub>x</sub> содержит фазу Pd<sub>2</sub>Zn, твердый раствор на основе

Pd (a=0,388 нм) н графит [266].

Pd—Zn—Te. Сплавы готовили из элементов чистотой выше 99.9 % в эвакуированных кварцевых ампулах при температуре на 100°C выше температуры ликвидуса. Образцы охлаждали на воздухе, гомогенизировали и закаливали в воду. Исследование проводили методом рентгеновского анализа.

В системе обнаружены тройные соединения: Раза Спа Структурой типа  $Pd_8Sb_3$ , a=0.758, c=4.303 нм, c/a=5.41;  $Pd_{70}Zn_9Te_{21}$  со структурой типа  $Pd_5Sb_2$ , a=0.755, c=1.387 нм, c/a=1.835 и  $Pd_{72}Zn_7Te_{21}$ со структурой типа  $Pd_5Sb_2$ , a=0.761, c=4.192 нм, c/a=5.50 [634].

Pd—Cd—C. Тройной сплав  $Pd_{68}Cd_{23}C_{9}$ , спеченный при 600 °С в течение недели, обнаруживает графит и тетрагональную фазу с a=

=0,426, c=0,357 HM, c/a=0,840 [266].

Pd—Hg—C. Тройной сплав состава Pd<sub>71</sub>Hg<sub>24</sub>C<sub>5</sub> после 100 ч спекания при 500°C содержит упорядоченную гранецентрированную тетрагональную структуру с a=0.426 нм, c=0.365 нм, c/a=0.86 [266].

Pd—Cu—Al. Использовали порошковый Pd чистотой 99,95 %,

Al 99.99 %. Cu 99.99 %.

Плавление проводили в высокочастотной печи в кварцевой ампуле в корундизовых тиглях в атмосфере гелия высокой чистоты. Сплавы отжигали в кварцевых ампулах с последующим медленным охлаждеинем. Исследование проводили методами микроскопического, рентгенофазового, термического анализов, измерением твердости и микротвердости. Диаграмма состояния дана в виде ряда политермических сечений. Установлено существование тройного химического соединения (Pd<sub>2</sub>Al<sub>3</sub>)Си, которое кристаллизуется из расплава при 1320 °С и 25 % Си, имеет ромбическую решетку с периодами a=0.5200, b=0.4036, c==0.776 нм ( $\pm 0.007$  нм). Установлено, что политермический разрез Pd<sub>2</sub>Al—Си является квазибинарным эвтектического типа с эвтектической точкой при (72,5—75) % Си и 1050 °C. Характер взаимодействия между соединением (Pd<sub>2</sub>Al<sub>3</sub>)Си и Pd можно изобразить диаграммой эвтектического типа с точкой эвтектики при 30 % Pd и 1114 °C. Соедииения (Pd<sub>2</sub>Al<sub>3</sub>)Си и PdAl неограниченно растворимы как в жидком, так и в твердом состояниях. Высокотемпературные модификации этих соединений образуют диаграмму эвтектоидного типа с эвтектоидной точкой при 20 % PdAl и 771 °C. Построен также лучевой разрез: Pd<sub>2</sub>Al—PdAl—(Pd<sub>2</sub>Al<sub>3</sub>)Cu. Образцы с содержанием менее 60 % PdAl имеют в составе эвтектику. Построен лучевой разрез Pd<sub>2</sub>Al—Pd— (Pd<sub>2</sub>Al<sub>3</sub>)Си (по данным Д. Н. Губиевой).

Pd—Al—Sc. Чистота использованных металлов составляла:

Al 99.99 %, Pd 99,99 %, Sc 99,6 %.

Сплавы готовили в дуговой печи, отжигали при 800°C в течение 600 ч, закаливали в воду. Исследование проводили методами микроструктурного, рентгеноструктурного, микрорентгеноспектрального анализов, измерением микротвердости и магнитной восприимчивости.

Построено изотермическое сечение системы при 800 °C. Обнаружены тройные фазы: Z[19 % (ат.) Pd, 70 % (ат.) Al, 11 % (ат.) Sc], D [20 % (ат.) Pd, 60 % (ат.) Al, 20 % (ат.) Sc],  $\lambda_1$  на изоконцентрате с 33 % (ат.) Sc, (10—19) % (ат.) Pd, (32—35) % (ат.) Al; решетка гексагонального типа фазы Лавеса, a=0.551, c=0.862 нм, c/a=1.564 [340].

Pd—Al—Fe. Для приготовления сплавов использовали Pd чистотой

99,95 %, А1 99,9 %, Fe карбонильное особо чистое.

Плавление проводили в высокочастотной печи в инертной атмосфере, образцы отжигали с последующим медленным охлаждением. Исследование проводили методами микроструктурного, рентгенографического и термического анализов, измерением твердости и микротвердости.

Исследованы два политермических разреза Pd<sub>2</sub>Al—Fe и PdAl—Fe. В системе Рd<sub>2</sub>Al--Fe обиаружено тройное соединение (Pd<sub>2</sub>Al<sub>5</sub>) Fe, которое образуется из расплава при 1370°C и 16,67 % (ат.) Fé. В системе установлены два эвтектических взаимодействия: при 1255 °C и

15 % (ат.) Fe и 1215 °C и 35 % (ат.) Fe.

PdAl—Fe — система эвтектического типа с точкой эвтектики при

1060 °С и (65—70) % (ат.) Fe (по данным Д. Н. Губиевой).

Pd-Al-Co. Для приготовления сплавов использовали Pd чистотой

99,95 %, A1 99,9 %, Co 99,99 %.

Плавление проводили в высокочастотной печи в инертной атмосфере; образцы отжигали с последующим медленным охлаждением. Исследование проводили методами микроструктурного, рентгенографического и термического аиализов, измерением твердости и микротвердости.

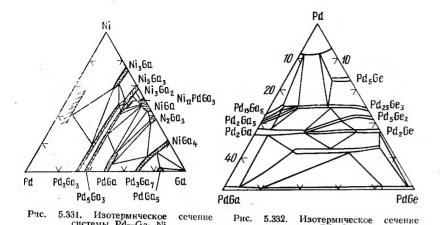
Исследованы политермические разрезы Pd<sub>2</sub>Al—Co и PdAl—Co. Соединение Pd<sub>2</sub>Al и PdAl образуют с Со промежуточные фазы в интервале концентраций (23,68÷24,32) и (66÷80) % (ат.) Со. Обе системы характеризуются эвтектическими взаимодействиями при 20-23 % (ат.) Со и 1200 °С и при 65 % (ат.) Со и 1355 °С. Во взаимодействие вступают исходные интерметаллиды Pd<sub>2</sub>Al и PdAl и промежуточные фазы 1.

Pd-Al-Ni. Для приготовления сплавов использовали: Pd чисто-

той 99,95 %, Al 99,9 %. Ñi 99,99 %.

Плавление проводили в высокочастотной печи в инертной атмосфере; получениые образцы отжигали с последующим медленным охлаждением. Исследование проводили методом микроструктуриого, рентгенографического и термического анализов, измерением твердости и микротвердости.

<sup>1</sup> Гибиева Д. Н. Исследование сплавов палладия с алюминием, медью, серебром и элементами группы железа в области, богатой палладием: Автореф. канд. дисс. М., 1970.



Исследованы политермические разрезы Pd<sub>2</sub>Al—Ni н PdAl—Ni, которые являются диаграммами эвтектического типа с эвтектическими точками при 40 % (ат.) Ni и температурах 1160 и 1138 °C соответственно (по данным Д. Н. Губиевой).

Pd—Al—C. В тройном сплаве Рd₃AlC<sub>ж</sub> были обнаружены твердый раствор на основе Pd (a=0,381 нм), соединение  $Pd_2A1$  и графит.  $\dot{B}$  сплаве  $\mathrm{Pd_9AlC_x}$  обнаружены твердый раствор на основе  $\mathrm{Pd}$  (a==0,390 нм) и графит в виде шаровидных включений [266].

Pd—Al—Te. Сплавы готовили из элементов чистотой выше 99,9 % в эвакунрованных кварцевых ампулах при температуре на 100 °C выше температуры ликвидуса, охлаждали на воздухе, гомогенизировали и закаливали в воду. Исследовали методом рентгеновского анализа.

В сплаве состава Рd<sub>72</sub>Al<sub>5</sub>Te<sub>23</sub> обнаружена тройная фаза типа Pd<sub>8</sub>Sb; сплав  $Pd_{70}Al_5Te_{23}$  содержит фазу X', в сплаве  $Pd_{70}Al_{15}$  Y' фаза находится в равновесии с фазой, обладающей структурой типа NiAs [634].

Pd—Sc—Sn. Исследована структура тройного соединения PdSnSc типа  $Fe_2P$  (a=0.7471, c=0.3537 нм, c/a=0.473, V=0.05699 нм<sup>3</sup>) [9].

Pd—Ga—Ni. Для приготовления сплавов использовали металлы чистотой 99.9 %.

Сплавы готовили расплавлением элементов в эвакуированных кварцевых ампулах с последующей термообработкой при 800 и 1400 °C. Сплавы, богатые Рd, дополнительно переплавляли в дуговой печи. Исследование проводили методом рентгеновского анализа.

Представлены изотермические сечения при 750, 700, 350 и 250 °C (рис. 5.331). Найдены новые тройные соединения: Ni<sub>15</sub>Pd<sub>52</sub>Ga<sub>33</sub> с периодами  $a=0,773\pm0,5$ ,  $b=0,540\pm0,3$ ,  $c=0,403\pm0,3$  нм;  $Ni_{32}Pd_{35}Ga_{33}$  с пернодами  $a=0.864\pm0.6$ ,  $b=0.529\pm0.03$ ,  $c=0.398\pm0.3$  нм;  $Ni_{45}Pd_{20}Ga_{35}$ с периодами  $a=0.749\pm0.6$ ,  $b=0.518\pm0.6$ ,  $c=0.390\pm0.003$  нм. Соединсния имеют структурный тип  $Pd_2Ga$ . Соединения  $Ni_{17}Pd_{55}Ga_{38}$  с периодами  $a=1.058\pm0.3$ ,  $b=0.538\pm0.1$ ,  $c=0.401\pm0.1$  нм;  $Ni_{20}Pd_{40}Ga_{40}$  с периодами a=1,037+0,5, b=0,527+0,3, c=0,396+0,3 нм;  $\mathrm{Ni}_{48}\mathrm{Pd}_{15}\mathrm{Ga}_{37}$  с периодами a=1,012+0.8, b=0,516+0.7, c=0,386 нм. Соединения имеют

Pd—Ga—C. Полученный в графитовом тигле сплав состава Pd<sub>3</sub>Ga содержит твердый раствор на основе Pd (a=0,388 нм) и Pd<sub>2</sub>Ga (орто-

ромбическая структура) [266].

структурный тип Pd<sub>5</sub>Ga<sub>3</sub> [647].

системы Pd--Ga--Ni

Pd-Ga-Ge. Использовали Pd. Ga и Ge чистотой более 99,9 %. Сплавы получали расплавлением исходных компонентов в эвакуированных кварцевых ампулах под давлением аргона 0,3 105 Па, гомогенизировали при 600 и 1350°C, отжигали при 700°C и закаливали в воду. Образцы шлифовали или превращали в порошок. Исследование проводили методом рентгеноструктурного анализа с использованием съемки по Гинье и Вайсенбергу.

Построен изотермический разрез системы при 700°C (рис. 5.332). Найдено соединение Pd<sub>12</sub>Ga<sub>2</sub>Ge<sub>5</sub>, имеющее структуру типа Th<sub>7</sub>Si<sub>12</sub> и тина  $Fe_2P$  с периодами  $a=0,944\pm0,2,\ c=0,368\pm0,1$  нм. Пространственная группа С6h2P63/m. Присутствующие слабые линии на рентгенограмме соединения указывают на существование сверхструктуры [648].

Pd—Ga—Te. Сплавы готовили из элементов чистотой выше 99.9 % в эвакуированных кварцевых ампулах при температуре на 100 °C выше температуры ликвидуса. Образцы охлаждали на воздухе, гомогенизировали при подходящих условиях и закаливали в воду. Исследовали пентгеновским методом.

Обпаружены два соединения: Радз Сав Тезі со структурой типа  $Pd_8Sb_3$  и периодами решетки a=0.756, c=4.287 нм, c/a=5.67 и  $Pd_{70}Ga_{10}Te_{20}$  со структурой типа  $Pd_5Sb_2$  и периодами решетки a=0.759. c = 1.390 нм. c/a = 5.730 [634].

Pd—In—C. В тройном сплаве Pd<sub>6</sub>InC<sub>x</sub> обнаружены твердый раствор Pd (a=0.394 нм) и графит. Сплав Pd<sub>3</sub>IпС<sub>ж</sub> содержит графит и две кубические гранецентрированные фазы (твердый раствор на основе Pd) с a=0,394 нм и фазу с постоянной решетки a=0,397 нм. Данная фаза, преобладающая в сплаве РазІпСх, представляет собой тройное соедипенне [266].

Pd-In-Sn. При проведении исследования использовали металлы

чистотой более 99.5 %.

Сплавы синтезировали в эвакуированных кварцевых ампулах при нагреве на 100° выше предполагаемой температуры плавления и охлаждали на воздухе. Отжигали в интервале 100-900 °C в течение 13-180 ч соответственно. Исследования выполняли методом рентгеновского анализа с использованием камеры Гинье и монохроматического  $CoK_{\alpha}$ -излучения.

Приведен обобщенный изотермический разрез системы Pd—In—Sn для интервала температур 100-900°C (рис. 5.333). Между соединениями Pd<sub>2</sub>In и Pd<sub>2</sub>Sn существуют непрерывные ряды твердых растворов. Приведена также часть обобщенного изотермического разреза системы при 400-900 °C с указанием структурных типов взанмодействующих фаз [649, 650].

Pd—In—As. Для приготовления сплавов использовали исходные

металлы чистотой выше 99,9 %.

Сплавы выплавляли в кварцевых ампулах в атмосфере аргона и при давлении 26344 Па и отжигали при 600°C. Исследование выпол-

нено метолом рентгеновского анализа.

Построено изотермическое сечение системы при 600 °C (рис. 5.334). Найдены новые тройные фазы. Структура соединения Pd<sub>5</sub>InAs относится к структурному типу Pd<sub>5</sub>InAs, пространственная  $D_{ih}$  P4/mmm, гексагональная элементарная ячейка имеет периоды a==0.3966, c=0.6932 нм,  $c/\alpha=1.748$ . Соединение  $Pd_6In_3As$  имеет ромбоэлрическую ячейку с периодами a=0.8842, c=2.1601 нм [651].

Pd — In — Sb. Для приготовления сплавов использовали металлы

чистотой выше 99,9 %.

Исследование проводили методом рентгеновского анализа. В системе паблюдается значительная область тройных твердых растворов на

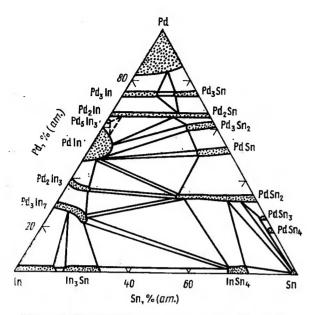


Рис. 5.333. Изотермическое сечение системы Pd-In-Sn

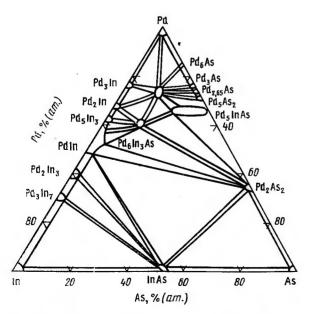


Рис. 5.334. Изотермнческое сечение системы Pd-In-As

основе Рd. Вблизи состава Рd<sub>3</sub>Iп<sub>4</sub>Sb<sub>2</sub> гомогенна тройная фаза со струк-

турой типа PdSn<sub>2</sub> [612].

Ра — In — Te. Сплавы готовили из элементов чистотой выше 99,9 % в эвакуированных кварцевых ампулах при температуре на 100 °С выше температуры ликвидуса. Образцы охлаждали на воздухе, гомогенизировали и закаливали в воду. Исследование проводили методом рентгеновского анализа.

Найдено, что сплав  $Pd_{74}In_5Te_{21}$  содержит гомогениую фазу Z-типа. Сплав, имеющий состав  $Pd_{75}In_{12,5}Te_{12,5}$  наряду с Z-фазой, содержит 10% фазы  $Pd_3In$ . Сплав  $Pd_{70}In_7Te_{23}$  состоит практически из фазы Y

[634].

Pd — Ho — Sn. Исследована структура тройного соединения PdSnHo типа  $Fe_2P$ , a=0,7433, c=0,3979 им, c/a=0,535;  $V=6,346 \times 10^{-2}$  им<sup>3</sup> [377].

Pd - Er - Sn. Исследована структура тройного соединения PdSnEr типа  $Fe_2P$ , a = 0.743, c = 0.394 им, c/a = 0.53;  $V = 6.281 \cdot 10^{-2}$  нм<sup>3</sup>

[377]

Pd-Tm-Sn. Исследована структура тройного соединения PdSnTm типа Fe<sub>2</sub>P, a=0,742, c=0,392 им, c/a=0,53;  $V=6,246\cdot 10^{-2}$  нм<sup>3</sup> [377].

Pd-Lu-Sn. Исследована структура тройного соединення PdSnLu типа  $Fe_2P$ , a=0,7513 нм, c=0,3783 нм, c/a=0,503;  $V=6,164 \times 10^{-2}$ 

 $\times 10^{-2}$  им<sup>3</sup> [377].

Pd-U-Ni. Систему исследовали методом микроскопического,

рентгеновского и дифференциально-термического анализов.

Построена диаграмма состояния Pd угла системы до содержания 76 % (ат.) Pd в части, касающейся превращений в твердом состоянии. Поверхность солидуса имеет минимальную температуру 1180 °C. Область α-твердого раствора при 950 °C, проходящая по линии содержания 15 % (ат.) U, с понижением температуры сокращается до 9 % (ат.) U на стороие Pd — U и до ~2 % (ат.) U вблизи стороны Pd — Ni. При температуре ниже 950 °C вблизи Ni угла происходит распад тройного твердого раствора [652].

Pd - Tl - C. В тройном сплаве состава  $Pd_{74}Tl_{24,5}C_{1,5}$  обнаружена кристаллическая структура типа  $L6_0$ . Прибавка C не вызывает изменений периодов решетки двойной фазы. Сплав однофазен, графита в

ием нет [266].

Pd-Tl-Te. Сплавы готовили из элементов, чистотой выше 99,9%, в эвакуироваиных кварцевых ампулах при температуре на  $100\,^{\circ}\mathrm{C}$  выше температуры ликвидуса. Образцы охлаждали на воздухе, гомогенизировали и закаливали в воду. Исследование проводили методом рентгеновского анализа.

В системе при температуре 480°C найдена гомогеиная фаза при

составе Pd<sub>73</sub>Tl<sub>8</sub>Te<sub>19</sub> [634].

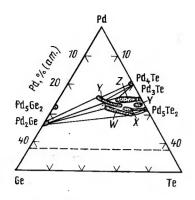
Pd-Si-Sb. Йзучены механические свойства быстро закаленных, частично аморфных (в исходном состоянии) сплавов составов  $\mathrm{Pd}_{82}\mathrm{Si}_{18}\mathrm{Sb}_x$  (8 < x < 15). Высокие свойства сплавов определяются их микроструктурой, состоящей из дисперсных (<1 мкм) дендритов пластичного, сверхпересыщенного раствора Si и Sb в Pd, внедренных в аморфную матрицу [653].

Pd — Si — Te. Сплавы готовили из элементов, чистотой выше 99,9 %, в эвакуированных кварцевых ампулах при температуре из 100° выше температуры ликвидуса. Образцы охлаждали из воздухе, гомогенизировали и закаливали в воду. Исследование проводили методом рентгеновского анализа.

В системе обнаружена область существования тройной Z-фазы

[634].

£



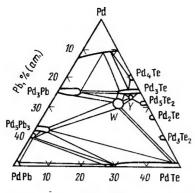


Рис. 5.335. Изотермическое сечение системы Pd—Ge—Te

Рис. 5.336. Изотермическое сеченне системы Pd—Pb—Te

Pd-Ge-Ni. Изучены фазовый состав и структура сплавов системы, а также кристаллическая структура некоторых фаз. NiPdGe (структурный тип PdFCI) исследована ниже 600 °C и имеет параметры:  $a=0.35952,\ b=0.62716$  нм. Ni<sub>2</sub>Pd<sub>4</sub>Ge (структурный тип Fe<sub>2</sub>P) существует ниже 500 °C [634].

Pd-Ge-C. Сплав состава  $Pd_{9}Ge$ , выплавленный в графитовом тигле, содержит соединение  $Pd_{2}Ge$  и неизвестную фазу, наблюдаемую в

двойной системе Pd — Ge [266].

Pd — Ge — Te. Использовали исходные металлы чистотой более

99,9 %.

Сплавы сиитезировали в кварцевых ампулах при температуре на 100°С выше температуры плавления и охлаждали на воздухе. Гомогенизировали при 480°С в течение 12 ч н закаливали в воде. Исследова-

ние проводили рентгеновским методом.

Построено изотермическое сечение системы при 480 °С (рис. 5.335). Найдены три промежуточные фазы: W в интервале  $Pd_{72}Ge_{13}Te_{15}$  —  $Pd_7Ge_{0,4}Te_{26}$ ; Y в интервале  $Pd_{75}Ge_{16}Te_{0,9}$  —  $Pd_{75}Ge_{0,5}Te_{22}$ ; X в интервале  $Pd_{72}Ge_{0,7}Te_{21}$  —  $Pd_7Ge_{0,4}Te_{24}$ . Фаза W обладает структурой типа  $Pd_5Sb_2$ , фаза X —  $Pd_5Sb_5$ , фаза Y —  $Pd_8Sb_3$  [634].

Pd-Sn-C. В тройном сплаве  $Pd_{74,5}Sn_{25}C_{0,5}$  обнаружена тетрагональная фаза, представляющая собой в двойной системе нестабильное соединение. С стабилизирует эту фазу. Периоды решетки фазы:

a=0,408, c=0,380 HM, c/a=0,93 [266].

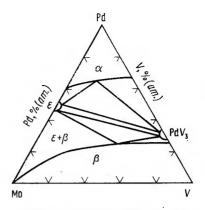
Pd — Sn — Te. Сплавы готовили из элементов, чистотой более 99,9 %, в эвакуированных кварцевых ампулах при температуре на 100 °C выше температуры ликвидуса. Образец охлаждали на воздухе, гомогенизировали и закаливали в воду. Исследование проводили рентгеновским методом.

Обнаружены соединения:  $Pd_{73}Sn_{10}Te_{17}$  со структурой типа  $Pd_3Sn_3$  и периодами решетки a=0.765, c=4.288 нм, c/a=5.70;  $Pd_{70}Sn_7Te_{22}$  со структурой типа  $Pd_5Sb_2$  с периодами решетки a=0.766, c=1.392 нм,

c/a = 1,817 [634].

Pd — Pb — Bi. Методами рентгеновского анализа проведено исследование кристаллических структур тройных интерметаллических соединений Pd₂PbBi и Pd₂PbBi₀.

Фаза Р $d_2$ РbВі собственного типа. Пространственная группа  $C_{2n}^{12}C_{cm}^2$ 1. Периоды решетки равны:  $a=0.7150,\ b=0.868,\ c=1.0531$  нм.



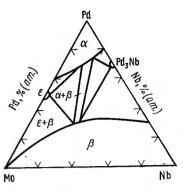


Рис. 5.337. Изотермическое сечение системы Pd—V—Мо

Рис. 5.338. Изотермическое сечение системы Pd—Nb—Mo

Фаза  $Pd_4PbBi_3$  собственного типа. Пространственная группа  $C_s^3$  ст. Периоды решетки равны: a=0.7171, b=0.8674, c=0.5575 нм [655].

Pd-Pb-C. Выплавленный в графитовом тигле сплав  $Pd_3Pb$  не обнаруживает заметного количества C и обладает однофазной струк-

турой двойного сплава с a=0.404 нм [266].

Ра — Ра — Те. Исходные металлы имели чистоту более 99,9 %. Сплавы синтезировали в кварцевых ампулах при температурах на 100 °С выше температур начала плавления. Гомогенизировали при 480 °С в течение 12 ч и закаливали в воде. Исследование проводили рентгеновским методом.

Построена изотерма при 480 °С (рис. 5.336). Найдены тройные фазы: W со структурой типа Pd<sub>5</sub>Sb<sub>2</sub>, X со структурой типа Pd<sub>5</sub>Sb<sub>2</sub> и Y со

структурой типа PdaSb3 [634].

Pd — V — Mo. Исходными металлами для приготовления сплавов

служили: Mo 99,9 %, Pd 99,9 %, V марки ВЭЛ-1.

Сплавы готовили в дуговой печи в инертной атмосфере, гомогенизировалн при 1400°С и отжигали под закалку с 1050, 800 и 600°С. Исследование проводили методами микроструктурного, рентгенофазового, термического анализов, измерением твердости и микротвердости. Проводили потенциодинамическое исследование коррозиоиной стойкости в кислотных и щелочных растворах и исследование жаростойкости по изменению массы.

Построены изотермические сечения системы при 1050, 800 и 600°C (рис. 5,337), ряд политермических сечений и диаграмма плавкости. Расположение фазовых областей диаграммы определяется глубиной проникновения двойных соединений. Найдены широкие области твер-

дых растворов на основе компонентов 1.

Pd — V — Co. Использовали: V чистотой 99,5 % и Co 99,5 %. Сплавы выплавляли в высокочастотной печи в вакууме и отливали в кокиль. Слитки отжигали при 1000 °C, закаливали в воде и проковывали на ротационно-ковочной машиие. Образцы отжигали в кварцевых (или стеклянных) ампулах в интервале 1050—1120 и 300—1000 °C в течение 3—5 ч и 30 мин соответственно. Исследование проводили методами

 $<sup>^1</sup>$  Алиханова А. П. Исследование сплавов Мо с Pd, V и Nb: Автореф. каид. дис. М., 1978.

микроструктурного, рентгеновского и дилатометрического анализов, измерением электросопротивления, твердости и эффекта Холла.

Построена фазовая диаграмма разреза PdsV - Co3V. Эвтектоидиая

точка располагается при ~55 % (ат.) Pd<sub>3</sub>V [656].

Pd - V - Ni. Использовали: V чистотой 99,5 %, Ni 99,9 %.

Сплавы выплавляли в высокочастотной печи в вакууме и отливали в кокиль. Слитки отжигали при 1000°С, закаливали в воде, проковывали на ротационио-ковочной машиие. Отжиг проводили в кварцевых или стеклянных ампулах в интервале 1050-1120 и 300-1000 °C в течение 3-5 ч и 30 мин соответственно. Исследования проводили методом рентгеновского анализа, измерением электросопротивления, твердости и эффекта Холла.

Выявлено снижение температуры упорядочения в решетке у-твердого раствора от 1045 для Ni<sub>8</sub>V до 815 °C для Pd<sub>3</sub>V. Сплавы, закаленные с 1100°C, имеют г. ц. к. решетку с периодом, изменяющимся от 0,356 (Ni<sub>8</sub>V) до 0,385 нм (Pd<sub>3</sub>V). Упорядоченная фаза у" имеет решетку Al<sub>3</sub>Ti, тетрагональность которой уменьшается от Ni<sub>3</sub>V и Pd<sub>3</sub>V [656].

Pd — Nb — Mo. Исходными материалами для приготовления спла-

вов служили: Мо 99,9 %, Рd 99,9 %, Nb 99,85 %.

Сплавы готовили в дуговой печи в инертной атмосфере, гомогеиизировали при 1400 °C и отжигали под закалку с 1050, 800 и 600 °C. Исследование проводили методами микроструктурного, рентгенофазового и термического анализов, измерением твердости и микротвердости. Проводили потенциодинамическое исследование коррозионной стойкости в кислотных и щелочных растворах и жаростойкости по изменению массы.

Диаграмма состояния представлена в виде изотермических сечений при 1050, 800 и 600°C (рис. 5.338), а также диаграммы плавкости, Днаграмма характеризуется наличием рядов непрерывных твердых растворов на основе Рd и двойных сплавов Мо и Nb, а также областями однородиости исходных двойных соединений (по данным А. П. Алихановой).

Pd-As-Sb. При исследовании системы обнаружены тройные интерметаллические соединения со структурами типа FeS2: Pd33As38Sb34  $(a=0.622 \text{ HM}); \text{ Pd}_{33}\text{As}_{28}\text{Sb}_{39} (a=0.624 \text{ HM}); \text{ Pd}_{33}\text{As}_{20}\text{Sb}_{47} (a=0.630 \text{ HM});$  $Pd_{33}As_{14}Sb_{53}$  (a=0.632 HM) [612].

Pd—As—Bi. Для приготовления сплавов использовали металлы чи-

стотой выше 99.9 %.

Исследование проводил методом рентгеновского анализа.

В системе наблюдается образование трех тройных химических соединений: PdAs<sub>0,3</sub>Bi<sub>0,7</sub>, Pd<sub>6</sub>AsBi и А. Соединение PdAs<sub>0,3</sub>Bi<sub>0,7</sub> обладает структурой типа NiAs с a=0,403, c=0,5735 нм (рис. 5.339) [612].

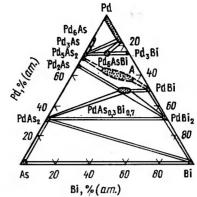
Pd — Sb — Mn. Методом спектроскопии Мессбауэра и дифракции рентгеновских лучей исследовали влияние механических и термических обработок на структуру и свойства сплава Pd<sub>2</sub>MnSb, полученного индукционным сплавлением компонентов [657].

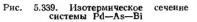
Pd—Sb—Te. Исходные металлы имели чистоту более 99,9 %. Сплавы синтезировали в кварцевых ампулах при температурах на 100 °C выше температуры начала плавления. Гомогенизировали при 480 °С в течение 12 ч и закаливали в воде. Исследование проводили рентгеновским метолом.

Построена изотерма при 480°C (рис. 5.340). Найдены тройные фазы: W со структурой типа Pd<sub>5</sub>Sb<sub>2</sub>, X со структурой типа Pd<sub>5</sub>Sb<sub>2</sub>, Y со структурой типа Pd<sub>8</sub>Sb<sub>3</sub> и Y', расположенная в области составов Pd<sub>73</sub>Sb<sub>4</sub>Te<sub>23</sub> [634]

Pd — Bi — Te. В работе использовали исходиые металлы чистотой

выше 99.9 %.





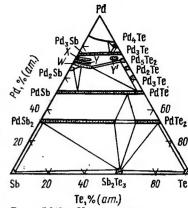


Рис. 5.340. Изотермическое сечение системы Pd-Sb-Te

Сплавы синтезировали при температуре на 100°C выше температуры начала плавления в эвакуированных кварцевых ампулах. Охлаждали на воздухе, гомогенизировали при 480 °С в течение 12 ч и закаливали в воде. Исследование проводили реитгеновским методом.

Построено изотермическое сечение системы при 480 °C (рис. 5.341). Найлены три тройные фазы: W в интервале  $Pd_{70}Bi_{20}Te_{10} - Pd_{72}Bi_{16}Te_{12}; X$ в интервале Pd<sub>72.5</sub>Bi<sub>26</sub>Te<sub>1.5</sub> — Pd<sub>72</sub>Bi<sub>13</sub>Te<sub>10</sub>; У в интервале  $Pd_{73}Bi_{23}Te_4 - Pd_{73}Bi_{17}Te_{10}$ .

Фазы принадлежат следующим структуриым типам:  $W - Pd_5Sb_3$ ;  $X - Pd_5Sb_3$ ; Y -PdaSba.

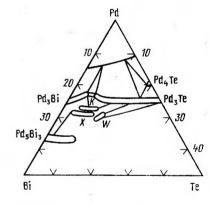
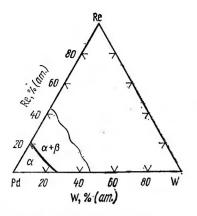


Рис. 5.341. Изотермическое сечение системы Рd-Вi-Те

Найдена широкая область твердых растворов Ві и Те в Рd [634]. Pd-Mo-Ni. С помощью методов физико-химического анализа построены изотермические сечения системы при 1000 и 700 °C. Установлена широкая область твердых растворов, прилегающих к системе Pd — Ni. Растворимость Pd в соединениях Ni с Мо не превышает 5 % (ат.). Новых тройных фаз не обнаружено [658].

Pd — W — Re. Использовали порошки W. Pd и Re чистотой 99,8 %

Сплавы готовили спеканием спрессованных порошков в вакууме при 1400 °С и шестикратным переплавом в дуговой печи в атмосфере гелия. Литые и деформированные холодиой прокаткой образцы, отожженные ступенчато по режиму 1500 °C 6 ч, 1300 °C 6 ч, 1000 °C 20 ч, исследовали методом микроструктуриого анализа, измерением твердости. удельного электросопротивления, абсолютной т. э. д. с. Оптическим методом определяли температуру начала плавления сплавов.



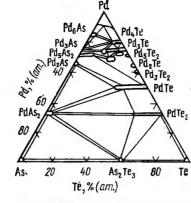


Рис. 5.342. Изотермическое сечение системы Pd-W-Re

Рис. 5.343. Изотермическое сечение системы Pd-As-Te

Систему исследовали по пяти разрезам, параллельным стороне W — Re. с содержанием 95, 90, 85, 80, 75 % (по массе) Pd. Представлена фазовая диаграмма Pd угла тройной системы при 1000 °C (рис. 5.342).

Найдено, что увеличение содержания Re понижает температуру плавления сплавов, увеличивает твердость, понижает удельное элект-

росопротивление (по данным А. П. Алихаиовой).

Pd — W — Ru. С использованием различных методов физико-химического анализа построен Pd угол системы. Изучено влияние легирования Ti, V, W (в области твердого раствора) на электрические и механические свойства коррозионно- и износостойкого сплава Pd — 8 % Ru [266].

Pd—P—Te. Сплавы готовили из элементов, чистотой выше 99,9 %, в эвакуированных кварцевых ампулах при температуре на 100°C выше температуры солидуса. Образцы охлаждали на воздухе, гомогенизировали и закаливали в воде. Исследование проводили методом рентгеновского анализа.

При составе РазР4Те23 обнаружена тройная фаза У, а при составе

Pd<sub>70</sub>P<sub>4</sub>Te<sub>26</sub> — тройная фаза W' [634].

Pd - As - Te. Использовали металлы, чистотой более 99,9 %.

Сплавы синтезировали в кварцевых ампулах при температурах на 100 °C выше температур начала плавления. Гомогенизировали при 480 °C в течение 12 ч и закаливали в воде. Исследование проводили рентгеновским методом.

Построена изотерма при 480°C (рис. 5.343). Найдены тройные фа-

зы: W -структурный тип  $Pd_5Sb_2$ , Y -тип  $Pd_8Sb_3$  и Y' [634].

Pd — S — Te. Сплавы готовили из элементов чистотой выше 99.9 % в эвакуированных кварцевых ампулах при температуре на 100°C выше температуры ликвидуса. Образцы охлаждали на возлухе, гомогенизировали и закаливали в воде. Исследование проводили методом рентгеновского анализа.

Сплав Рd<sub>79</sub>S<sub>9</sub>Te<sub>95</sub> при 480 °C состоит практически из фазы Z. Y'-фаза найдена в сплавах Pd<sub>71</sub>S<sub>3</sub>Te<sub>23</sub> и Pd<sub>70</sub>S<sub>5</sub>Te<sub>25</sub> при 400 °C [634].

Pd—Se—Te. При исследовании системы обнаружены интерметаллические соединения со структурами типа  $CdI_2$ :  $Pd_{33}Se_{33}Te_{34}$  (a=0.39,

c=0.498 HM);  $Pd_{33}Se_{24}Te_{43}$  (a=0.392, c=0.5 HM);  $Pd_{33}Se_{12}Te_{55}$  (a=0.392)

=0.396, c=0.504 HM) [612].

Сплавы готовили из элементов чистотой выше 99,9 % в эвакуированных кварцевых ампулах при температурах на 100 °C выше температуры ликвидуса. Образцы охлаждали на воздухе, гомогенизировали и закаливали в воде. Исследование проводили методом рентгеновского аиализа.

Найдено, что при 400°C сплав Рd<sub>78</sub>Se<sub>3</sub>Te<sub>24</sub> содержит Z-фазу, а сплав Pd<sub>72</sub>Se<sub>2</sub>Te<sub>25</sub> содержит Y'-фазу и 20 % соединения Pd<sub>9</sub>Se<sub>8</sub> [634].

Pd — Fe — Mn. Исследована намагниченность сплава системы, содержащего 0,35 % (ат.) Fe и 0,5 % (ат.) Мп в полях до 117 А/м при 1,5 и 4,2 К. Отмечено, что по сравнению с двойными сплавами Pd-Mn происходит изменение формы кривой намагничивания. Намагниченность уменьшается при увеличении концеитрации Мп [659].

Pd-Mn-Cо. Использовали металлы чистотой: Со 99,5%, Мл

электролитический 99,9 %, Рd 99,8 %.

Сплавы готовили в индукционной печи в атмосфере аргона. Исследование выполняли методами микроструктурного и термического анализов.

Построена поверхиость ликвидуса тройной системы в виде изотермических сечений. Эвтектические линии, выходящие из системы Pd-Mn в тройной системе, имеют минимумы при (30-35) % Со. При увеличении содержания Со наблюдается повышение эвтектической температуры, которая достигает максимума при 1330°С [660].

Pd — Mn — Ni. Использовали: Ni 99,9 %, губку Pd 99,6 %, элект-

ролитический Мп.

Сплавы, богатые Мп, выплавляли в спеченных корундовых тиглях в атмосфере очищениого аргона. Исследование проводили методами ме-

таллографического, рентгеновского и термического анализов.

Представлена проекция поверхности ликвидуса в системе Pd — Mn — Ni. у-фазы систем Pd — Mn, Pd — Ni, Ni — Mn образуют непрерывный ряд твердых растворов:  $E_1 = \gamma_1 + \beta_1$  и  $E_2 = \gamma_4 + \beta_2$ , и соединяются куполообразной поверхиостью, простирающейся по направлению к стороне Ni — Mn. Кривая проходит плоский минимум при 38 % Ni, 9 % Pd и 53 % Mn и температуре 960 °C. Представлены проекции равновесия в жидком и твердом состояниях. Приведены изотермические и политермические разрезы (рис. 5.344).

Для шести тройных сплавов с 10 % Мп измерены электросопротивление, магнитная восприимчивость, модуль упругости, коэрцитивиая

сила, твердость в зависимости от вида термообработки [661].

Pd — Fe — Co. Использовали Fe и Co электролитические, Pd губчатый, аффинированный.

Сплавы готовили в высокочастотной печи под слоем буры с хлоридом бария или в печи ТВВ-2 в атмосфере аргона, отжигали длительное время (порядка 3000 ч) и закаливали с температур 1000, 900, 800. 750, 700 и 600 °C в ледяной воде. Исследование проводили микроструктурным и термическим методами анализа.

Построена диаграмма состояния системы в виде разрезов с постоянным содержанием 2, 5, 10, 20, 30, 40 и 50 % (ат.) Рd [662]. Обнаружены полиморфные асту-превращения.

Построены политермические разрезы: Раз Fe — Со, Раз Fe — Fe Co, PdFe — Co, PdFe — PdCo, FeCo — Pd, а также проекции границ фазовых областей при комиатиой температуре [663].

Приведены изотермы ликвидуса системы (рис. 5.345). Установлено, что компоненты [при содержании от 0 до 90 % (ат.) Pdl образуют между собой непрерывный ряд твердых растворов [664].

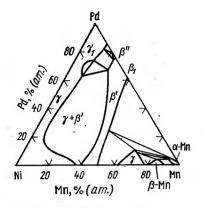


Рис. 5.344. Изотермическое сечение системы Рф---Мп---Ni

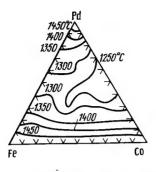


Рис. 5.345. Проекция поверхности ликвилуса системы Pd-Fe-Co

Pd — Fe — Ni. Использовались Fe-армко; Ni электролитический; Рф, полученный восстановлением муравьиной кислотой.

Сплавы получали расплавлением в криптольной печи в корундовых тиглях. под слоем хлорида бария. Исследование проводили методом термического анализа.

Привелены диаграммы плавкости разрезов с постоянным содержанием от 90 до 10 % (ат.) Рd и изотермы поверхности ликвидуса сис-

темы [665].

Рф--Ге--Рт. Рассчитана модель диаграммы состояния псевдобинарных сплавов Fe(PtPd), со структурой типа СизАи. Вычислены свободиая энергия и некоторые магнитные свойства сплавов. Переход из антиферромагнитного состояния в ферромагнитное в сплавах  $Fe(Pd_xPt_{1-x})_3$  происходит при  $x\approx 0.5$  [9]. Измерена т. э. д. с. атомноупорядоченных сплавов (Pd<sub>x</sub>Pt<sub>1-x</sub>)<sub>3</sub>Fe в интервале 20—350 K и при концентрации 0 < x < 1 [666]. Определена зависимость температуры Кюри сплавов  $(Pd_xPt_{1-x})_3$  Fe от концентрации и давления [667]. Исследовано магнитное состояние упорядоченных сплавов системы  $\operatorname{Fe}(\operatorname{Pt}_{\alpha}\operatorname{Pd}_{1-\alpha})_3$ . Проведены нейтронно-дифракционные измерения при 4,2 K на 15 сплавах [668]. Для сплава Pt<sub>12,5</sub>Pd<sub>37,5</sub>Fe<sub>50</sub> в приближении когерентиого потенциала рассчитано электросопротивление, обусловлениое рассеиванием электронов проводимости нерегулярным статическим кулоновским полем и неоднородиостями спиновой системы. Исследовано высокотемпературное электросопротивление [669].

Pd-Fe-H. Исследовано электросопротивление сплавов системы

в области температур 4,2—300 К [670].

Pd — Fe — Si. Исследовали магинтную восприимчивость аморфных

сплавов  $Fe_x Pd_{80-x} Si_{20}$  ( $\chi = 13, 20$ ) [671].

Pd — Fe — P. В системе методом быстрой закалки из жидкого состояния получены аморфные сплавы Рd — (13-44) % (ат.) Fe-(15-22)% (ат.) Р и реитгенографически изучена их структура. Наблюдалось линейное соотношение между составом и межатомиым расстоянием, подобное закону Вегарда в кристаллах. Сплавы, вероятно, имеют тетраэдральную ячейку, которая присутствует уже в расплаве [377].

Pd — Fe — О. Проведено исследование магнитных свойств упоря-

почивающихся сплавов системы [672].

Pd — Co — Ni. Использовали: Ni электролитический; Pd 99,99 %; Со. содержащий не более 0,01 % С.

Сплавы готовили в коруидизовых тиглях в криптольной печи пол слоем хлорида бария. Исследовали методами термического и металлографического анализов, измерением твердости, электросопротивления и температурного коэффициента электросопротивления.

Приведены диаграммы состояния ограничивающих двойных систем и изотермы ликвидуса системы. Установлено образование непрерывного

ряда твердых растворов.

Изменение свойств сплавов в зависимости от состава в разрезах с постоянным содержанием Pd происходит по кривым различной формы, не сходным для двойных систем с непрерывным рядом твердых растворов [673].

Pd-Co-Si. Исследовали магнитную восприимчивость аморфных силавов  $Co_x Pd_{80-x}Si_{20}$  (x=8, 10), а также эффект Холла сплавов

 $Pd_{80-x}Si_{20}Co_x$  (x=2, 4, 6) [674].

Pd - Co - Pt. Рассчитано электросопротивление тройного сплава Pt<sub>37.5</sub>Pd<sub>12.5</sub>Co<sub>50</sub>, обусловленное рассеянием электронов проводимости нерегулярным статическим кулоновским полем и неоднородностями спиновой системы. Приведены результаты измерения высокотемпературного электросопротивления сплава [675].

 $Pd \stackrel{.}{-} Ni \stackrel{.}{-} Pt$ . Систему исследовали методами термического и микроструктуриого анализов, измерением твердости, температурного коэф-

фициента электросопротивления и механических свойств.

Установлено, что сплавы системы представляют собой непрерывный ряд твердых растворов. Температура плавления сплавов повышается со стороны Pd - Ni к Pt углу. Свойства сплавов системы изменяются по отдельным разрезам по плавным кривым, характерным для твердых растворов в двойных системах [266].

Pd - Si - Ni. Использовали металлы чистоты 99,9 %. Сплавы, содержащие менее 40 % (ат.) Si, выплавляли в высокочастотной печи в эвакуированных кварцевых ампулах; отжигали при 800°C в течение 2 сут и закаливали в воде. Сплавы с содержанием более 40 % (ат.) Si выплавляли в дуговой печи. Исследование проводили методом рентгеновского анализа на порошках с применением камеры Гинье. Порошки отжигали при 700 °C в течение одних суток и закаливали в воде.

Построено изотермическое сечение тройной диаграммы при 800°C (рис. 5.346). Установлено существование новой тройной фазы  $Ni_{18}Pd_7Si_9$  (структурный тип  $Pd_{25}Ge_9$ ) с периодами решетки a=0,6835, c=0,9916 нм. Предполагается, что фаза NiPd<sub>2</sub>Si, найденная в системе.

подобна фазе Pd<sub>3</sub>Si (типа Fe<sub>3</sub>C) [676].

Pt — Cu — Zn. На основании рентгеновского исследования отмечается сложный характер взаимодействия в системе. Установлено существование нескольких химических соединений, образование которых определяется концентрацией валентных электронов. Наряду с фазами, известными в двойных системах, обнаружены тройные соединения нового типа [9].

Pt - Cu - Fe. Методами физико-химического анализа установлено, что все сплавы системы с содержанием более 20 % (ат.) Рt являются твердыми растворами. При поиижении температуры наблюдается образование тройного соединения Pt<sub>2</sub>FeCu при 1200 °C [9].

Pt-Cu-Ni. Сплавы системы кристаллизуются с образованием непрерывных рядов твердых растворов. Тройных соединений в системе не обнаружено [9].

Pt - Cu - O. В работе использовали: порошки Cu и Pt чистотой

99,9 % и СиО высокой чистоты.

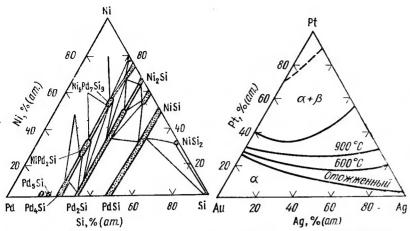


Рис. 5.346. Изотермическое сечение Рис. 5.347. Проекция диаграммы состосистемы Pd—Si—Ni яння Pt—Ag—Au

Спрессованные брикеты из Си и Pt отжигали при  $1100\,^{\circ}$ С  $36\,^{\circ}$  и в тиглях из  $Al_2O_3$  в атмосфере (CO+CO<sub>2</sub>). Образцы использовали как шихтовой материал в смесях с оксидами меди. Оксид меди отжигали на воздухе при  $900\,^{\circ}$  и  $1050\,^{\circ}$ С по  $12\,^{\circ}$  для получения  $Cu_2O$ . Брикеты сплавов с Pt и оксидами Си спекали в вертикальной трубчатой печи и охлаждали при комнатиой температуре. Необходимое давление кислорода в газовой фазе достигали по методу Даркена — Гурри. Исследование проводили методами микроструктурного и рентгеновского анализов.

Построены изотермические сечения системы при 1000 и 1200 °С в области Рt — СиО — Си. Показано смещение фазовых границ в зависимости от равновесного давления кислорода [677].

Pt - Ag - Au. Использовали: Au с содержанием 0,01 % примессй;

Pť аффинированную; Ag, восстановленное глюкозой из AgCl.

Сплавы готовили расплавлением в высокочастотной печи в коруидизовых тиглях. Исследование проводили методами микроскопического и термического анализов, измерением твердости, механических и электрических свойств.

Приведена диаграмма равновесия системы (рис. 5.347). Установлено наличие моновариантной перитектической реакции образования тройного α-твердого раствора, богатого Au и Ag. Растворимость Au и Ag ограничивается при добавлении Pt и при 10 % (ат.) Pt образуется β-твердый раствор. Добавление Ag к сплавам Au с Pt сужает область α-твердого раствора [678].

Pt — Au — Ni. Использовали: Au 99,99 %, Ni 99,998 %, Pt 99,9 %. Сплавы готовили в тиглях из Al₂O₃ в защитной атмосфере (смесь № и 10 % Н₂); отжигали при 1260—812 °C в течение 300—800 ч. Исследование выполняли методами микроструктурного и микрорентгеноспектрального аиализов. Кроме того, проведен расчет ряда изотерм системы. Получено хорошее совпадение экспериментальных и рассчитанных изотермических сечений системы при 812 (рис. 5.348), 950, 1000, 1150 и 1260 °C [679].

Pt-Zn-Cd. В системе было обиаружено существование нескольких электронных соединений. Соединение  $Pt_2ZnCd$  обладает тетраго-

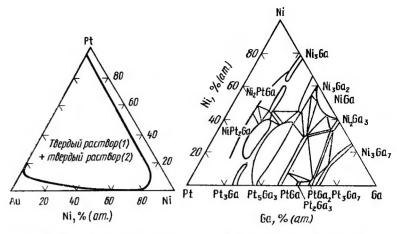


Рис. 5.348. Изотермическое сечение системы Pt—Au—Ni

Рис. 5.349. Изотермическое сечение системы Рі-Ga-Ni

нальной структурой типа CuAu с a=0,290, c=0,724 нм. Соединение  $Pt_3Zn_{4,4}Cd_{0,6}$  обладает гексагональной структурой типа  $Th_3Pd_5$  с a= =0,705, c=0,279 нм. Соединение  $Pt_3Zn_2Cd_4$  обнаружило стабильную структуру  $Ti_2Ni$  в интервале температур 315—750 °C с a=1,186 нм [602].

Pt — Zr — О. Для приготовления сплавов использовали ZrO<sub>2</sub>. Сплавы готовили в дуговой печи. Исследование проводили методами микроскопического и рентгеновского анализов и измерением плотности.

Построен изотермический разрез системы при 600 °C с определением границ существования фазы типа  ${\rm Ti_2Ni}(\epsilon)$  [(61,5—62)% (ат.) Zr, 25% (ат.) Pt, (13,5—13)%  ${\rm O_2}$ ].  $\epsilon$ -фаза имеет кубическую решетку с параметром  $a_0$ =1,2485±0,0006 нм при 13,5% (ат.)  ${\rm O_2}$  и  $a_0$ =1,2509++0,0001 нм при 13% (ат.)  ${\rm O_2}$  [585].

Pt-Y-Fe. На сплавах системы, имеющих составы  $Y(Fe_{1-x}A_x)$ , где A-Pt, Со, Al, измерены сверхтонкие поля  $^{89}Y$ ,  $^{19}Co$ ,  $^{127}$  Al [680].

Pt — Ga — Ge. Смесь компонентов нагревали в кварцевых ампулах в высокочастотной печи, а затем плавили в дуговой печи. Гомогенизировали в течеиие 2 сут при 800°С. Исследования проводили методами рентгеновского и металлографического анализов.

Построены изотермические сечения системы при 800, 700 и 200 °С. При 800 °С найдены тройные фазы:  $Pt_6GaGe$  типа  $U_3Si$ , a=0,549, c=0,787 нм;  $Pt_4GaGe$  типа  $Ni_2Si$ , a=0,790+0,2 нм,  $b=0,552\pm0,2$  нм,  $c=0,405\pm0,1$  нм;  $PtGa_mGe_{1-m}$  периоды изменяются от  $a=0,608\pm0,1$  нм,  $b=0,673\pm0,1$  нм,  $c=0,370\pm0,1$  нм [для 58 % (ат.) Pt+42 % (ат.) Ge] до  $a=0,619\pm0,3$  нм,  $b=0,566\pm0,2$  нм,  $c=0,362\pm0,1$  нм [для 50 % (ат.) Pt, 20 % (ат.) Ge] Ge] Ge]

Pt — Ga — Ni. Для приготовления сплавов использовали металлы

чистотой выше 99,9 %.

Сплавы готовили расплавлением элементов сначала в кварцевой ампуле при 1200 °C, а затем в дуговой печи в атмосфере аргона. Сплавы гомогенизировали при 1200 °C и отжигали при различных температурах. Исследование проводили методом рентгеновского анализа на  $CuK_{\alpha}$ -излучении.

Построено изотермическое сечение при 860°C (рис. 5.349). Найдены тройные фазы Ni<sub>3</sub>PtGa со структурой типа Cu<sub>3</sub>Au и NiPt<sub>2</sub>Ga со

структурой типа СиАи [682].

Pt - Ti - Re. В системе исследовано влияние электронной концентрации на упорядочение тройных фаз типа CsCl. По разрезу TiRe—TiPt при отношении электрон/атом = 6,2 упорядочения обнаружено не было [9].

Pt—Ge—Nb. Измерена  $T_K$  в зависимости от состава и термообработки по разрезу  $Nb_3Ge-Nb_3Pt$ . Кривая зависимости  $T_K$  проходит через минимум при 10 % (ат.) Рt, не опускаясь ниже 4,5 К [683].

Pt = Ge - Ni. Сплавы готовили из элементов, чистотой 99.5 %, сплавлением в электропечи в атмосфере аргона под давлением 0,5.105 Па и термообрабатывали при температурах 750, 600 и 400°C.

Исследование проводили методом рентгенофазового анализа. Построены изотермические сечения системы при 750, 600 и 400 °C. Структуры из области  $Ni_N Pt_N$ ,  $Ge_{<25}[N+N'+(<25)=100]$  принадлежат к типу Си. Фаза Ni<sub>2</sub>PtGe относится к типу Си<sub>3</sub>Au. Соединение NiPt<sub>2</sub>Ge имеет новую структуру, а фаза Ni<sub>0.5</sub>Pt<sub>2.5</sub>Ge относится к структурному типу Zr<sub>3</sub>Si. Соединение Ni<sub>1-N</sub>Pt<sub>N</sub>Ge принадлежит к типу MnP (рис. 5.350-5.352) [684]. Pt-V-Co. Чистота нсходных металлов: V электронио-лучевой

плавки 99,97 %, Со электролитический, Рt 99,9 %.

Предварительно спрессованные под давлением 6·10<sup>13</sup> Па/м<sup>2</sup> образцы сплавляли в дуговой печи. Гомогенизировали при 1000 °C в течение 200 ч и закаливали в воду. Исследование проводили методами микроскопического и рентгеновского анализов, измерением твердости и микротвердости.

Установлен характер фазовых равновесий в системе при 1000 °C

(рис. 5.353) [9, 685].

Pt — Nb — Co. Чистота исходных металлов: Ni электронно-лучевой

плавки: Со электролитический, 99,9 %; Рt 99,9 %.

Сплавы готовили в дуговой печи, изучали в литом, гомогенизированном при 1100°C и закаленном с 1000°C состояниях. Исследования проводили методами микроструктурного и рентгеновского анализов, измерением твердости и микротвердости.

Установлен характер фазовых равновесий в системе при 1000 °C (рис. 5.354). Обнаружено тройное соединение с гранецентрированной кубической структурой.

Pt-Ta-Co. Чистота исходных металлов: Та электронно-лучевой

плавки. 99.9 %; Со электролитический; Рt 99,9 %.

Сплавы готовили в дуговой печи, изучали в литом, гомогенизированном при 1100 °С и закаленном с 1000 °С состояниях. Исследование проводили методами микроструктурного и рентгеновского анализов, измерением твердости и микротвердости.

Установлен характер фазовых равновесий в системе при 1000°C (рис. 5.355). Обнаружены новые тройные соединения Ta<sub>5</sub>Co<sub>2</sub>Pt, TaCoPt, Соединение Та(Со<sub>0,6</sub>Рt<sub>0,4</sub>)3 имеет структурный тип Ta(Coo.6Pto.4)3.

Ni<sub>3</sub>Sn [9, 686].

Pt-Cr-Mn. Сплавы для исследования получали методом дуго-

вой плавки и отжигали при 950 °C.

Рентгеновским методом с использованием Си  $K_{\alpha}$ -излучения были определены периоды решетки в упорядоченных и неупорядоченных сплавах  $Pt_3Mn_xCr_{1-x}$ . Сплавы имеют кубическую, плотноупакованную

Изучалась магнитострикция сплавов, которая меняет знак в области составов 0,5>x>0,3 [687]. Измерена спонтанная намагниченность

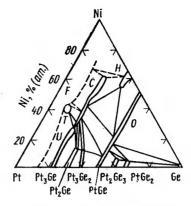


Рис. 5.350. Изотермическое сечение системы Pt-Ge-Ni при 750 °C

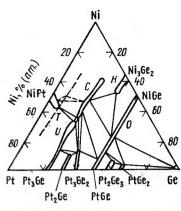


Рис. 5.351. Изотермическое сечение системы Pt-Ge-Ni при 600 °C

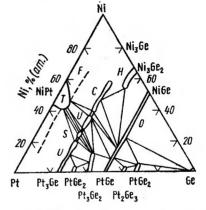


Рис. 5.352. Изотермическое сечение системы Pt-Ge-Ni при 400 °C

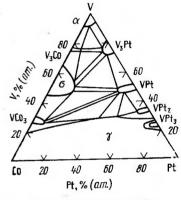


Рис. 5.353. Изотермическое сечение системы Pt-V-Со при 1000°С

сплавов составов  $0 \leqslant x \leqslant 1$ . Средний магнитный момент на атом  $(\mu)$  изменяется от  $\mu_{\rm B} = 5.8 \cdot 10^{-24}$  A/м² (Pt<sub>3</sub>Cr) до  $\mu_{\rm B} = 1.02 \cdot 10^{-23}$  A/м²  $(Pt_3Mn)$ . Температура Кюри  $(T_K)$  растет от x=1 (395 K) до x=0(481 K) и показывает минимум около x=0.8 [688].

Pt - Mo - Re. В системе исследован Мо угол при 1050, 1600 и 1800 °С (рис. 5.356). Определена температура перехода в сверхпрово-

дящее состояние, которая не превышает 6,4 К [9].

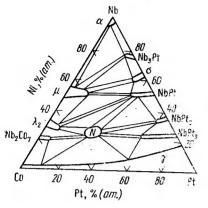
Методом микрорентгеноспектрального анализа исследована взанмная диффузия и определен фазовый состав диффузионных зои [689].

Pt — Fe — Co. Рассчитано электросопротивление тройного сплава PtsoFe<sub>12.5</sub>Co<sub>37.5</sub>. Приведены результаты измерения высокотемпературного сопротивления сплава [6901.

Pt - Fe - Ni. Методами микроскопического и рентгеновского анализов были изучены сплавы системы после термообработок при 1000-1200, 600 н 475 °С.

#### КРИСТАЛЛИЧЕСКАЯ СТРУКТУРА СОЕДИНЕНИЙ, ОБРАЗУЮЩИХСЯ В СИСТЕМАХ С ПЛАТИНОЙ [377]

	в систе	MAX C Hall	ТИНОИ [377]
Система	Соединение	Тип струк- туры	Параметры решетки, мм
Pt—Cu—Al Pt—Cu—Ga Pt—Cu—In Pt—Ag—Mg Pt—Ag—Hg Pt—Ag—Tl Pt—Ag—Tl Pt—Ag—P Pt—Fr—Sn Pt—Zn—Tl Pt—Zn—Ge Pt—Zn—Pd Pt—Sc—Sn Pt—Y—Sn Pt—Gd—Sn Pt—Tb—Sn	Pt <sub>50</sub> Cu <sub>25</sub> Al <sub>25</sub> Pt <sub>50</sub> Cu <sub>25</sub> Ga <sub>25</sub> Pt <sub>50</sub> Cu <sub>25</sub> Ga <sub>25</sub> Pt <sub>50</sub> Ag <sub>25</sub> Mg <sub>25</sub> Pt <sub>50</sub> Ag <sub>25</sub> Mg <sub>25</sub> Pt <sub>50</sub> Ag <sub>25</sub> Al <sub>25</sub> Pt <sub>50</sub> Ag <sub>25</sub> Al <sub>25</sub> Pt <sub>50</sub> Ag <sub>25</sub> Tl <sub>25</sub> Pt <sub>2</sub> AgP PtSnFr Pt <sub>2</sub> ZnTl Pt <sub>2</sub> ZnGe PtSnSc PtSnSC PtSnY PtSnGd PtSnGd	CuAu CuAu CuAu NiAg NiAs NiAs NiAs Fe <sub>2</sub> P FeSi FeSi FeSi Fe2P Fe <sub>2</sub> P Fe <sub>2</sub> P Fe <sub>2</sub> P Fe <sub>2</sub> P	a=0,397, c=0,350 a=0,396, c=0,350 a=0,434, c=0,374 a=0,408, c=0,541 a=0,408, c=0,540 a=0,409, c=0,544 a=0,410, c=0,547 a=0,721 a=0,7406, c=0,3950, c/a=0,533 a=0,486 a=0,489 a=0,489 a=0,743, c=0,392, c/a=0,49 a=0,7433, c=0,3992, c/a=0,537 a=0,7462, c=0,4034, c/a=0,540 a=0,7437, c=0,4001, c/a=0,538
Pt—Dy—Sn Pt—Tm—Sn Pt—Yb—Sn Pt—Lu—Sn	PtSnDy PtSnTm PtSnYb PtSnLu	$Fe_{2}P$ $Fe_{2}P$ $Fe_{2}P$ $Fe_{2}P$	$ \begin{array}{llllllllllllllllllllllllllllllllllll$
Pt—IIo—Sп Pt—As—S	PtSnHo  Pt <sub>33</sub> S <sub>12</sub> As <sub>55</sub> Pt <sub>33</sub> S <sub>24</sub> As <sub>43</sub> Pt <sub>33</sub> S <sub>34</sub> As <sub>33</sub> Pt <sub>33</sub> S <sub>40</sub> As <sub>27</sub>	FeS <sub>2</sub> FeS <sub>2</sub> FeS <sub>2</sub> FeS <sub>2</sub> FeS <sub>2</sub>	a=0,7418, c=0,3986, c/a=0,535 a=0,594 a=0,593 a=0,593 a=0,593 a=0,592
Pt—Sb—Bi	Pt <sub>33</sub> Sb <sub>50</sub> Bi <sub>17</sub> Pt <sub>33</sub> Sb <sub>33</sub> Bi <sub>34</sub> Pt <sub>33</sub> Sb <sub>17</sub> Bi <sub>50</sub>	$FeS_2$ $FeS_2$ $FeS_2$	a=0,648 [9] a=0,657 [9] a=0,659 [9]
Pt—Sb—Te	$\begin{array}{c} Pt_{33}Sb_{60}Te_7 \\ Pt_{33}Sb_{55}Te_{12} \\ Pt_{33}Sb_{43}Te_{24} \\ Pt_{33}Sb_{33}Te_{34} \end{array}$	$FeS_2$ $FeS_2$ $FeS_2$ $FeS_2$	$ \begin{array}{l} a = 0.647 \\ a = 0.647 \\ a = 0.648 \\ a = 0.648 \end{array} $
Pţ-P-As	$\begin{array}{c} Pt_{33}P_{50}As_{17} \\ Pt_{33}P_{30}As_{34} \\ Pt_{33}P_{17}As_{50} \end{array}$	FeS <sub>2</sub> FeS <sub>2</sub> FeS <sub>2</sub>	$ \begin{array}{l}     a = 0,577 \\     a = 0,584 \\     a = 0,589 \end{array} $
Pt-Se-Tl	$\begin{array}{c} Pt_{33}Se_{50}Te_{17} \\ Pt_{33}Se_{33}Te_{34} \\ Pt_{33}Se_{17}Te_{50} \end{array}$	CdF <sub>2</sub> CdF <sub>2</sub> CdI <sub>2</sub>	$ \begin{array}{l}     a = 0,377, c = 0,509 \\     a = 0,38, c = 0,511 \\     a = 0,398, c = 0,513 \end{array} $



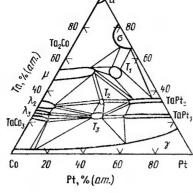


Рис. 5.354. Изотермическое сечение системы Pt-Nb-Со при 1000°C

Рис. 5.355. Изотермическое сечение системы Pt-Та-Со при 1000 °C

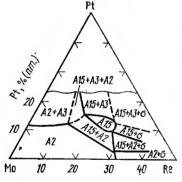


Рис. 5.356. Изотермическое сечение системы Pt-Мо-Re при 1000 °С.

Найдено, что при 600°С между соединениями FePt и NiPt, имеющими упорядоченные тетрагональные структуры типа  $L1_0$  (c/a < 1), наблюдается непрерывная растворимость. При содержании Pt~60 % (ат.) найдены две тетрагональные фазы с близкими значениями с/а. Соединения Fe<sub>3</sub>Pt и FePt<sub>3</sub>, обладающие кубической структурой типа L12, образуют широкие поля тройных твердых растворов. Соединение FeNi<sub>3</sub> с кубической решеткой имеет при 475°C область гомогенности ~20-35 % Fe п растворяет <5 % (ат.) Pt. Приведены периоды решеток всех сплавов, отожженных при 600 и 475°C [691]

Проведено исследование кристалзащии сплава в магнитном поле на

сплавах системы, имеющих составы  $Pt_{1-x}Ni_x$  Fe [692].

Pt-Co-Ni. В данной системе исследовано упорядочение сплавов псевдобинарного разреза PtCo - PtNi. Отмечается линейное синжение температуры упорядочения [9].

Другие известные данные о системах, содержащих платину, касающнеся образования в них соединений, приведены в табл. 5.42.

Ru - Be - Al - Sc. Исследован ряд сплавов Ru с Al, Be u Sc.Найдено, что добавка 0.1 % Ru к Ве, легированному Al и Sc, не оказывает влияния на процесс спекания между 1100 и 1250 °C [374].

Ru—Mg—U—Fe. Изучено распределение Ru в несмешивающихся жидких фазах на основе Ni в U с 11 % (по массе) Fe при 950 °C [69**3**].

Ru-U-Mb-Mo. Производили измерение твердости сплавов с содержанием 1—2 % (по массе) Ru, 7,5—12 % (по массе) Мо, 2—3 % (по массе) Nb (остальное U) при комнатной температуре и между 300 и 900 °С.

Исследовали коррозионную стойкость в гидротермальных условиях

при 260-360 и 410 °C [340].

RuTi-RuZr-RuHf. Чистота металлов, использованных для приготовления сплавов, составляла: Ru 99,82 %; Ti 99,88 %; Zr 99,9 %; Hf 99,2 %.

Сплавы готовили в дуговой печи. Квазитройную систему RuTi-RuZr—RuHf исследовали методом симплекс-решеточного планирования эксперимента. Для получения поверхностей «состав — твердость, пернод решетки, магнитная восприимчивость» при комнатной температуре была выбрана модель четвертой степени приближения. Полученные поверхности соответствуют поверхностям с непрерывной взаимной растворимостью интерметаллических соединений RuTi, RuZr и RuHi [340].

RuNb-W-Re. Изложены результаты экспериментального определения удельной теплопроводности, полной полусферической и монохроматической степенн черноты Re и сплавов тройных систем (W-25Re-

1Ru—1Nb) в интервале 20—2327 °С [694].

Ru—Cr—Fe—Ni. Для сплавов Fe, содержащих 20 % (по массе) Сr и соответственно 29 % (по массе) Ni и 13% (по массе) Ru, подсчитаны частотный фактор и энергня активации диффузии рутения [570].

Ru-Mo-W-Ni. Получены двухфазные сплавы составов: 1 % (по массе) Ru, (5,8-5) % (по массе) Ni, 90 % (по массе) W и (0,5-3,5) % (по массе) Мо, обладающие при обычной температуре хорошими прочностными свойствами, пластичностью и устойчивостью к окислению. Сплавы получены методом порошковой металлургии [374],

Ru-Mo-B-C. Исследовали влияние добавок Pt металлов (среди пнх Ru) на ковкость образцов нз Мо при комиатной температуре. Былн приготовлены образцы с содержанием 0,15 % (по массе) Ru н не-

большого количества С (или В).

Установлено, что при добавлении к Мо (0,1-0,2) % (по массе) Ru твердость уменьшалась на HV 35-40. Образцы были нековкими. Совместные добавки 0,15 % (по массе) Ru и небольшого количества С (или В) делалн образцы мягкимн и ковкими (HV уменьшалась на 30 единиц). Ru повышает прочность сплава при высокой температуре [695].

Ru—W—Fe—Ni. Методом порошковой металлургии получены сплавы составов 1 % (по массе) Ru; (0,9-4,5) % (по массе) Fe; (4,5-8,1) % (по массе) Ni; 90 % (по массе) W. При комнатной температуре

сплавы имеют высокую твердость и ковкость [374].

Ru-Rh-Ir-Pt. По результатам микроструктурного, рентгенофазового и локального рентгеноспектрального апализов, измерения твердостн и мнкротвердости построено изотермическое сечение системы прн 1400 °C. Границы фазовых областей представлены в графическом и аналитическом видах [598].

Ru-Rh-Pd-Pt. Проведено исследование сплавов системы методами микроструктурного, рентгенофазового, локального рентгеноспектрального анализов, измерением твердости и микротвердости. По результатам исследования построено изотермическое сечение при 1400 °С. Границы фазовых областей представлены в виде уравнений второго порядка [598].

Rh—Ir—Pd—Pt. Проведено исследование дислокационной структуры и жаропрочности сплава четверной системы, содержащего 35 % Рd. Показано влияние условий рекристаллизации на технологию изготов-

ления листовых полуфабрикатов [696].

Pt-Pd-Rh-Ir. По результатам микроструктурного, рентгенофазового, локального рентгеноспектрального анализов, измерения твердости и микротвердости построено изотермическое сечение системы при

1400 °C. Область несмешиваемости в твердом состоянии прилегает к стороне Pd—Ir и проникает в концентрационный тетраэдр на 20 % (ат.) [598].

Рd--Cu--Ag--Al. Для приготовления сплавов использовали Рd чи-

стотой 99,95 %; Ад 99,999 %; Си 99,99 %; АІ 99,9 %.

Плавление проводили в высокочастотной печи в инертной атмосфере. Полученные образцы отжигали с последующим медленным охлаждением. Исследование проводили методами микроструктурного. рентгенографического и термического анализов, измереннем твердости и микротвердости.

Установлено, что характер взаимодействия между соединением (Pd₂Al)<sub>3</sub>Cu и Ag изображается диаграммой состояния с ограниченной растворимостью компонентов. Сплавы с содержанием менее 5 и более 95 % (ат.) Ад находятся в области расслаивания в жидком состоянии. Температура монотектического равновесия составляет 1007 °C, эвтектического — 832 °C. Соединение (Pd<sub>2</sub>Al)<sub>3</sub>Cu претерпевает полиморфное превращение при 825 и 335 °C.

Построен лучевой разрез системы  $Pd_2Al-Ag-(Pd_2Al)_3Cu$ , выходящий из Ag угла и проведенный к стороне Pd<sub>2</sub>Al—(Pd<sub>2</sub>Al)<sub>3</sub>Cu в соотношении Pd2Al: (Pd2Al)3Cu=3:2. Найдено, что сплавы с содержанием более 17,5 % (ат.) Ад находятся в области расслаивания в жидком состоянии. Образцы с содержанием (2,5-27,5) % (ат.) Ад состоят из кристаллов твердого раствора Рd2Al и эвтектики, образованной твердыми растворами на основе соединений Pd2Al, (Pd2Al)3Cu и Ag (по данным Д. Н. Губневой).

Pt—Au—Sb—Mn. Исследована структура и магнитные свойства сплавов четверной системы, которые лежат в области составов

 $Pt_{1-x}Au_xMnSb$  при  $0 \le x \le 1$  [697].

Pd—In—Sn—Mn. Методами рентгеновской и нейтронной дифракции и магнитного анализа исследованы структура и свойства сплавов  $Pd_2MnIn_{1-x}Sn_x$  при 0 < x < 1. Все сплавы однофазны и представляют собой упорядоченные интерметаллиды со структурой Гейслера L21. Магнитный момент, локализованный в позициях Mn ~4,3µБ. При увеличении x от 0 до 1 в сплавах  $\mathrm{Pd_2MnIn_{1-x}Sn_x}$  антиферромагнитное упорядочение г. ц. к. (Mn) типа 2 сменяется на антиферромагнитное поле 3А, а затем на ферромагнитное в соответствии с увеличением концентрации электронов.  $\theta_{C\perp}$  меняется от 167 до 189 K,  $\theta_{C\parallel}$  — от 141 до 176 K, T K — от 201 до 52 K Qк [698].

Pd—Sn—Sb—Mn. Методами рентгеновской и нейтронной дифракщии и магнитного анализа исследована структура и свойства сплавов  $Pd_2MnSn_{1-x}Sb \ (0 < x < 1)$ .

Все сплавы однофазны и представляют собой упорядоченные интерметаллиды со структурой Гейслера  $L2_1$ . При увеличении x от 0 до 1 0 с. увеличивается от 189 до 255 K, T<sub>R</sub> — от 201 до 259 K [698].

Pd-V-Nb-Мо. Исходными материалами для приготовления сплавов служили: Мо 99,9 %; Рd 99,9 %; Nb 99,85 %; V марки ВЭЛ-1.

Сплавы готовили в дуговой печи в инертной атмосфере, гомогени-

зировали при 1400 и отжигали при 1050 °C.

С помощью симплекс-решеточного метода планирования Шеффе и совокупности методов физико-химического анализа определены границы растворимости в четверной системе Pd-Mo-V-Nb. Представлены изолинии растворимости при 1050 °C. Установлено, что растворимость носит немонотонный характер. Максимуму на поверхности отклика соответствует вершина, лежащая в Ñb углу. Экстремальная точка минимума локализуется в V углу.

Исследована коррознонная стойкость твердого раствора на основе Мо в кислых и щелочной средах (по данным А. П. Алихановой).

Pd-V-Ni-Pt. Исследованы термоэлектрические свойства сплавов V, легированных (1,5—1,3) % Ni, (0,5—12) % Pd и (1—5) % Pt. Легирование Ni, Pd и Pt повышает т.э.д.с. V на ~3 мВ при 1500 °C. Все исследованные сплавы имеют высокие и довольно близкие значения т.э.д.с. (>30 мВ при 1500°С), а также форму зависимости т. э. д. с. от температуры, которая выше 300 °C с достаточной степенью точности описывается уравнением:  $E = A + Bt + Ct^2$  (A. B и C — постоянные коэффициенты, полученные при обработке экспериментальных данных) [699].

Ru—Ce—Fe—Co—Ni. Исходными материалами служили: Се 99,86 %;

Fe, Co и Ni 99,95 %: Ru 99,82 %.

Сплавы готовили методом дуговой плавки, отжигали при 600°C. Исследование диаграммы состав — свойство квазичетверной системы CeFe<sub>2</sub>—CeCo<sub>2</sub>—CeNi<sub>2</sub>—CeRu<sub>2</sub> выполняли методом симплекс-решеточного планирования эксперимента и следующих методов физико-химического анализа: микроструктурного, рентгенофазового и измерения твердости.

Состав сплава задавали четырьмя параметрами:  $X_1$ ,  $X_2$ ,  $X_3$ ,  $X_4$  (  $\sum X_i =$ 

=1.  $X_i > 0$ ), где  $X_i$  — мольная доля i-того компонента (одной на фаз Лавеса CeMe2). Аппроксимация произведена полиномом неполной четвертой степени. Значения функций просчитывали во всех точках концентрационного тетраэдра с шагом h=0,1.

В работе получены поверхности отклика периода кристаллической решетки и твердости как функции состава. Можно отметить, что периоды решетки и твердость в квазичетверной системе изменяются не-

монотонно [340].

Ru-Sm-Fe-Co-Ni. Для приготовления сплавов использовали:

Sm 99,87 %; Ru 99,98 %; Fe. Co и Ni 99,95 %.

Сплавы готовили в дуговой печи, отжигали при 600°С. Исследование диаграммы состав — свойство квазичетверной системы SmRu<sub>2</sub>— SmFe<sub>2</sub>—SmCo<sub>2</sub>—SmNi<sub>2</sub> выполняли методами симплекс-решеточного планирования эксперимента, рентгенофазового и измерением твердости.

Получены проекции линий равного выхода поверхностей отклика твердости сплавов на некоторые сечения концентрационного тетраэдра

17001.

Ru—Ni—Ta—Cr—W. Получен сплав, используемый для наконечников перьев, с большой твердостью, необычной устойчивостью к исписыванию, легко обрабатываемый и химически устойчивый. Состав сплава, % (по массе): 10Ru, 15Ni, 35W, 35Cr, 5Ta [701].

Ru-Fe-Rh-Pd-Pt. Исследовано влияние примеси Fe на жаропрочность сплава, содержащего, %: 25Pt-10Pd-1Rh-5Ru [588, 696].

Ru-Al-Ti-Fe-C-N. Изучали влияние благородных металловдобавок на улучшение ковкости стали. Изучали сплавы с добавками Ru следующих составов, % (по массе):

Ru	c	N	A1	Ti
$\frac{5,8}{10,2}$	0,076 0,029	0,003 0,001	0,02	0,02

Сплавы гомогенизировали при 1250°C. Образцы механически очищали от поверхностных дефектов плавки и прокатывали при 1050 °C и на холоду до днаметра 0.951 см.

Выяснено, что побавки Ru повышают ударную вязкость стали и существенно понижают температуру перехода. Упрочнение стали добавками Ри объясняется стабилизацией аустенита [702].

Ru-(Hf, Zr)-Nb-Ta-W(C, B). Исследовали влияние добавок металлов VIII группы Ru. Hf. Zr. С и В на поведение сплавов системы W—Та—№ при температурах 1100—1500 °С при механических нагрузках. Ви способствует общему упрочнению сплавов [703].

Ru-Co-Cr-Ni-Mo-V. Сплав состава, % (ат.): 40Ru. 30Co, 23Cr. 5Ni. 1Mo и 1V корошо деформируется и обладает высокой кор-

розионной стойкостью [374].

# применение благородных металлов и сплавов

## 6.1. Материалы для электрических контактов

Общая характеристика

Электрические контакты должны свободно коммутировать токи от  $10^{-9}$  до  $10^{9}$  A при напряжении от  $10^{-7}$  до  $10^{6}$  В. По конструктивному исполнению, если исключить переходные формы, электрические контакты можно разбить на три группы [706]:

подвижные, функция которых замыкать и размыкать цепь при

кратковременной либо длительной коммутации тока;

скользящие, в которых происходит перемещение контактирующих поверхностей относительно друг друга без нарушения электрического контакта:

неразъемные, в которых в процессе работы не происходит разъ-

единения контактирующих поверхностей.

Требования к материалам электрических контактов

Материалы для коммутирующих контактов должны удовлетворять следующим основным требованиям: быть коррозионностойкими, стойкими против электрической эрозии и износа; не свариваться; обладать высокой механической износостойкостью, особенно на истирание; легко обрабатываться давлением и металлорежущим инструментом, а также прирабатываться друг к другу; обладать высокими теплофизическими характеристиками; иметь низкую стоимость.

Контактные сплавы на основе золота

Сплавы на основе золота предназначены для коммутации электрического тока до 5 А (в зависимости от конструкции прибора). Состав и свойства основных контактных золотых сплавов: плотность (d), температура плавления  $(T_{nn})$ , твердость в отожженном состоянии (НВ), удельное электросопротивление, температурный коэффициент электрического сопротивления (т. к. с.) приведены в табл. 6.1.

Контактные сплавы на основе золота отличаются высокой надежностью контактирования при низких электрических нагрузках. Наиболее полно контактные материалы характеризуются испытаниями в смешанной атмосфере, содержащей H2S, SO2 и NO2. При этом наблюдается увеличение контактного сопротивления всех сплавов (рис. 6.1). особенно резкое у сплавов с высоким содержанием Ад. Их не рекомендуется применять при повышенных требованиях к надежности контактирования (табл. 6.2).

Марка или состав	т <sub>пл</sub> , °С	d·10 <sup>—3</sup> , кг/м³	НВ, МПа	ρ, ΜκΟм·м	т. к. с× ×10 <sup>3</sup> град <sup>-1</sup>
3л999,9 3лН5 Au—5 % Co 3лПл—7 3лСр600—400 3лСр750—250 3лСрМ583—80 3лСрМ583—300 Au—20 % Ag—10 % Cu Au—40 % Pd—30 % Ag	1064 - 995 - 1010 1060 1026 1043 878 835 986 1440	19,3 18,3 18,2 19,44 14,65 16,0 13,24 13,92 15,05 12,9	250 950  400 480 380  1250 1140 650	2,3 13,0 6,0 10,2 11,5 10,0 11,5 10,8 14,0 22,0	4,0 0,71 

Контактные сплавы на основе металлов платиновой группы Контакты из чистой платины обладают низким и стабильным переходным сопротивлением, но подвержены мостиковой эрозии. Стойкость к эрозин и свариванию выше у сплавов Pt с Ni и Iг. Вместо сплавов Pt—Iг можно применять более экономичные сплавы Pt—Ru. Pd в качестве контактного материала в основном используют в виде гальванических покрытий и в сплавах с Ag. Rh применяют для покрытий прешизионных контактов. Толщина покрытия зависит от требований к механическому износу и составляет 2,5—50 мкм. Физико-механические свойства контактных материалов на основе металлов платиновой группы приведены в табл. 6.3.

Области применения контактов приведены ниже [716].

Ag—Pd: сигнальная аппаратура, телефонные реле, телефонные номеронабиратели, регуляторы напряжения, управление флюоресцентными лампами, бензино- и маслоизмерители, защитные устройства электродвигателей, органы телевизионного управления, выключатели холодильников и термостатов.

Ag—Pt: радиоаппаратура, приборы автоматики и настройки радно, радиовибраторы и устройства питания от сети радио, электромагнитные

счетчики

Pt—Ir: прецизионные реле, работающие без дуги; кассовые машины, пожарные сигнализаторы, телеграфные реле, малогабаритные и миниатюрные реле радиоэлектроники, регуляторы скорости, магнето авиационные, автомобильные и морские, пирометры, вибропреобразователи, промышленные регуляторы электронапряжения, электробритвы, термостаты и нагреватели, сигнальные реле.

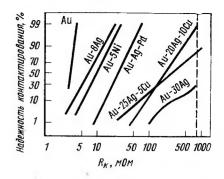
Pt-Rh: магнето постоянного и переменного тока; термопары.

Pt-Ni: телеграфная и телефонная аппаратура.

Рt—Ru: регуляторы скорости, кассовые машины, пожарные сигналнзаторы, бензино- и маслоизмернтели, контрольные реле электрооборудования в авиации, регуляторы напряжения, магнето авиационные и морские, регуляторы освещения, реле железнодорожной сигнализации, термостаты и нагреватели, сигнальные реле.

Pd—Ag: прецизионные реле, сигиальная аппаратура, гнезда телефонных коммутаторов, телефонное оборудование, токосъемники потенциометров, промышленные регуляторы напряження, звуковые реле, реле уличных сигналов.

Рис. 6.1. Надежность контактирования и контактиое сопротивление  $R_{\rm K}$  сплавов на основе Aи после выдержки в атмосфере  $1,6\cdot10^{-4}$  % ( $H_2{\rm S}+{\rm SO}_2+{\rm NO}_2$ ) при влажиости 75 % и выдержке 10 сут, нагрузка на контакт 0,1 Н. Au— $5{\rm Ni}$ , Au— $4{\rm Ng}-{\rm Pd}$ , Au— $20{\rm Ag}-10{\rm Cu}$ , по данным [37]; Au— $4{\rm Ag}$ 20, Au— $4{\rm Ng}$ 30, Au— $4{\rm Ng}$ 40, Au— $4{\rm Ng}$ 40, Au— $4{\rm Ng}$ 40, Au— $4{\rm Ng}$ 40, Au— $4{\rm Ng}$ 40, Au— $4{\rm Ng}$ 40, Au— $4{\rm Ng}$ 40, Au— $4{\rm Ng}$ 40, Au— $4{\rm Ng}$ 40, Au— $4{\rm Ng}$ 40, Au— $4{\rm Ng}$ 40, Au— $4{\rm Ng}$ 50, Au— $4{\rm Ng}$ 60, Au— $4{\rm Ng}$ 60, Au— $4{\rm Ng}$ 60, Au— $4{\rm Ng}$ 60, Au— $4{\rm Ng}$ 60, Au— $4{\rm Ng}$ 60, Au— $4{\rm Ng}$ 60, Au— $4{\rm Ng}$ 60, Au— $4{\rm Ng}$ 60, Au— $4{\rm Ng}$ 60, Au— $4{\rm Ng}$ 60, Au— $4{\rm Ng}$ 60, Au— $4{\rm Ng}$ 60, Au— $4{\rm Ng}$ 60, Au— $4{\rm Ng}$ 60, Au— $4{\rm Ng}$ 60, Au— $4{\rm Ng}$ 60, Au— $4{\rm Ng}$ 60, Au— $4{\rm N$ 



Pd—Ag—Ni: часы, скользящие контакты прецизнонных потенцнометров, термостаты и нагреватели, сигнальные реле.

Pd—Ir; Pd—Ru: звуковое реле, вибрационные регуляторы напряжения и числа оборотов, вибрационные преобразователи, выпрямители.

ТАБЛИЦА 6.2 ОБЛАСТИ ПРИМЕНЕНИЯ ЭЛЕКТРИЧЕСКИХ КОНТАКТОВ НА ОСНОВЕ ЗОЛОТА

Материал	Область применения	Форма применения		
Чистое золото	     Антикоррозионная защи-	Гальванические и на-		
	та серебряных контак-	пыленные покрытия,		
	тов, миниатюрные кон-	металлургическое зо-		
	тактные заклепки, пары	лото		
T	н штеккеры	-		
Твердое золото (0,1—0,15 % Ni	Дорожки контактов	Гальванические по-		
или Co)	скольжения, поворотные переключатели, штеккер-	крытия		
nom co,	ные разъемы			
Au—Ag8;	Слабонагруженные кон-	Цельносплавные н		
AuAg20	такты в телефонной се-	плакированные за-		
	ти, транзисторных цепях,	клепки, контактные		
	контакты штепсельных	шары		
Au Acco Cut.	разъемов	TT		
Au—Ag25—Cu5; Au—Ag20—Cu10	Контактные пружины, подвижные контакты сла-	Цельносплавные и		
All Mg20—Curo	боточных реле	плакированные кон- такты, контактные		
:	COTO-IIIIIX PESIC	шары		
Аи-Соб (гетероген-	Устойчивые к переносу	Заклепки, плакиро-		
ный); Au—Ni5; Au—	материала контакты ре-	ванные контакты		
Ag26—Ni3	ле, датчиков световой	контактные шары		
	сигнализации, измери-			
	тельных приборов, элек-			
AuPt7	трических часов Контакты для специаль-	KOUTSKTULIO SOK BORK		
riui ti	ных реле и измеритель-	Контактные заклепки		
-	ных приборов			

Марка сплава	$T_{\Pi^{\mathcal{H}}}$ , °C	γ·10 <sup>-3</sup> , κг/м <sup>8</sup>	р · 10 <sup>2</sup> <b>,</b> МкОм · м	НВ, МПа	σ <sub>В</sub> , МПа	δ, %
Пл99,9 Рд99,9 Пд99,8 ПлИ—25 ПлРу—10 ПлРд—10 ПлН—4,5 ПдИ—10 ПдИ—18 ПдСр—20 ПдСр—30 ПдСр—30 ПдСр—40 ПдСр—40 ПдСр—40	1773 1966 1554 1794 1875 1780 1840 1700 1565 1580 1425 1357 1330 1350	21,45 12,4 12,16 21,54 21,68 19,95 20,0 20,17 12,74 13,25 11,79 11,61 11,44 11,32	16,5 4,5 10,8 25,0 33,0 43,0 19,2 23,0 26,0 36,0 30,0 35,0 40,8	400 550 320 1260 2460 1900 900 1350 1250 1950 500 560 610	150 560 200 430 900 450 320 450 380 650 380 370 350	50 15 30 25 20 28 35 28 30 15 35 28

Контактные сплавы на основе серебра

Чистое серебро редко используют для коммутирующих контактов. Вместо него в настоящее время применяют сплавы твердого Ag (до 3 % неблагородного легирующего компонента), которые обладают высокой эрозионной стойкостью и стойкостью к свариванию. Реже применяют сплавы Ag с Zn и Cd, а также с высоким содержанием Сu. Вместо них целесообразно использовать гетерогенные материалы, получаемые внутренним окислением (ВО) сплавов Ag. Метод ВО целесообразен также для упрочнения сплавов Ag—Pd [37]. Физико-механические свойства контактных серебряных сплавов приведены в табл. 6.4.

Стойкость к обгоранию серебряных сплавов, являющаяся важной характеристикой контактного материала, приведена в табл. 6.5.

Основным недостатком серебра как контактного материала является образование токонепроводящей пленки из сульфидов серебра в атмосфере, содержащей сернистые соединения. Стойкость серебра к потускнению повыплается при легировании Cd, Sb, Zn, Sn. Однако при инзких электрических нагрузках эти сплавы имеют недопустимо высокое контактное сопротивление и в этих случаях рекомендуется применять сплавы Ag—Pd [710—711]. Контактное сопротивление этих сплавов уменьшается с увеличением содержания Pd (рис. 6.2), а стойкость к эрозии минимальна у сплава Ag—10Pd (рис. 6.3).

Электролитические сплавы Ag с Ni и Co отличаются высокой ме-

электролитические сплавы Ag с Ni и Со отличаются высокой механической износостойкостью и применяются для покрытий скользящих контактов. Покрытия из сплавов Ag—Pd отличаются стабильным и низким переходным сопротивлением во влажной среде и в 4—6 раз более износостойки, чем чистое серебро [712].

При  $I=10\div15$  A, U=380 В хорошие эксплуатационные характеристики у контактов из сплавов Cu—Ag—Cd, содержащих 2—6 % Ag, их рекомендуется использовать вместо материалов с высоким содержанием Ag, например вместо металлокерамнки CH30м. Свойства серебряных бронз приведены в табл. 6.6.

Широко применяют контакты из различных композиций Ag—MeO, получаемых внутренним окислением сплавов. После ВО значительно

ТАБЛИЦА 6.4 ФИЗИКО-МЕХАНИЧЕСКИЕ СВОЙСТВА КОНТАКТНЫХ СЕРЕБРЯНЫХ СПЛАВОВ

Марка сплава	Состав, % (по массе)	<b>d</b> ·10 <sup>—3</sup> , кг/м³	$T_{ m IIJ}$ , °C	нв, мпа	р.10—8, Ом∙м	Т.к.с. 103, град—1
Ср999 СрН—0.1 СрМ960 СрМ916 СрМ900 СрПд20 ————————————————————————————————————	Ag99,9 Ag—0,1Ni—0,15Cu Ag—0,15Ni Ag—1,5Si Ag—4Cu Ag—8,4Cu Ag—10Cu Ag—20Pd Ag—30Pd Ag—30Pd Ag—12Pt Ag—14Cd To же после BO Ag—24, 1Cd—0,4Ni Ag—22Cd—1Ni—0,5Fe Ag—0,25Mg—0,25Ni После BO Ag—2Au—0,3Mg— 0,2Ni После BO	10,5 10,5 10,4 10,4 10,3 10,26 10,79 10,94 11,23 10,2 10,1 9,99 9,8 10,5 10,5 10,6	960,5 960 950 880 790 779 1070 1175 970 895 840 840 960 963	250 380 370 550 430 600 640 300 350 1150 520 700 650 700 — 400 680	1,62 1,75 1,8 2,1 1,9 10,2 15,0 12,0 2,9 2,3 7,3 7,0 2,4 3,0 2,8	4,1 3,5 3,5 3,5 3,5 3,5 0,75 0,24 
СрМНЦр—99 СрМНЦр—99 СрПМ20—0,3 СрПМ20—0,3	Ag0,25Mg0,25Ni 0,274 После ВО Ag20Pd0,3Mg После ВО	10,5 10,5 10,7 10,7	960 960 1070 1070	700 320 820	3,2 12,1 13,0	3,5 — 0,75 —

повышается стойкость к эрозни и свариванию. Контактные характеристики ряда ВО-сплавов приведены на рис. 6.4 — 6.6 [713].

TАБЛИЦА 6.5ОБГОРАНИЕ СЕРЕБРЯНЫХ СПЛАВОВ (I=10 A. U=220 B)

Сплав		обгорания 05 включе- ий	Коэффициент <b>о</b> бгорания 10 <sup>—3</sup>	
	WL	MM <sup>8</sup>	мг/(А·с)	мм <sup>8</sup> /(А·с)
Ag Ag—0,1Ni—(Cu+Be) Ag—0,15Ni Ag—3Cu Ag—10Cu Ag—10Cd Ag—30Pd	36 17 24 23 23,5 17 69	3,43 1,65 2,28 2,22 2,28 1,65 6,33	0,785 0,37 0,525 0,502 0,512 0,37 1,505	0,075 0,036 0,05 0,049 0,041 0,036 0,138

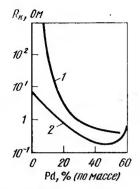


Рис. 6.2. Контактное сопротивление  $R_{\rm R}$  сплавов Ag—Pd прн возр. 620-10  $^{-4}$  %  $\rm H_2S$ , контактное усилие 0.1 H, 10 мВ,  $10^6$  включений;  $2-15\cdot10^{-4}$ %  $\rm H_2S$  (1000 ч), относительная влажность 75 %, 100 мВ, 10 мА, 1000  $\rm \Gamma u$ , контактное усилие 0.5 H

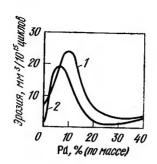


Рис. 6.3. Эрозия сплавов Ag—Pd при напряжении 60 B, контактиом усилии 0,2 H и силе тока, A: 1—0,1; 2—0,05



1 - Ag; 2 - Ag - 0.5La; 3 - Ag - 12CdO; 4 - Ag - 1Mn; 5 - Ag - 1Mg

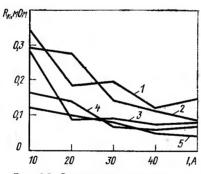


Рис. 6.5. Зависимость контактного сопротивления сплавов от силы тока (U=100 B): I — Ag—12CdO; 2 — Ag—3Mn; 3 — Ag; 4 — Ag—0,5La; 5 — Ag—1Mn

Нанболее широко в электротехнике применяют сплавы Ag—CdO (10—15 % CdO). Эффективность BO повышается при окислении в кислороде при повышенном давлении и в атомарном кислороде (рис. 6.7) [714]. При этом, помимо увеличения производительности процесса, улучшается стойкость к свариванию, уменьшается разрывное усилие при сваривании и обгорание за счет диспергирования оксидных частиц (рис. 6.8) [715].

Добавки Ве, Се, Sc, Ba, Y, In, Ga, Sb, Sn, Те увеличивают стой-кость к электрической эрозии материалов Ag—CdO, кроме того, добав-

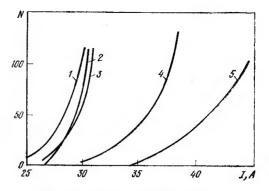


Рис. 6.6. Количество свариваний *N* за 3-10<sup>4</sup> циклов размыкания в зависимости от силы тока для сплавов: *I* — Ag; *2* — Ag—3Mn; *3* — Ag—1Mn; *4* — Ag—12CdO; *5* — Ag—0,5La

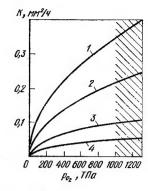


Рис. 6.7. Зависимость константы окисления К сплавов Ад—Сd при 600 С от давления кислорода (заштрикованияя область — окисление в атомарном кислороде при 1.33 ГПа):

1— Ag—1Cd; 2— Ag—2Cd; 3— Ag—5Cd; 4— Ag—10Cd

ки Be, Ce, Sc, La, Y, Ga ускоряют процесс BO [714]. Легирование Co, Ni, Ti применяют для сдерживания роста зерна при BO.

Основные области применения контактных серебряных сплавов пе-

речислены ниже.

Аg: реле, сигнальная аппаратура, контакты вспомогательных цепей, термостаты, бытовые приборы, нагреватели воды, телефонная и телеграфная аппаратура, электроосаждение на контактные детали для электронной техники.

Твердое Ад: реле, магнитные пускатели, бытовые приборы, вспо-

могательные контакты автоматических выключателей.

Ag—Cu: реле, сигнальная аппаратура, светотехнические выключателн.

Ag—Cu—Ni: реле уличных сигналов, автомобильные и железнодорожные сигнальные реле, тепловые выключатели, преобразователи

ТАБЛИЦА 6.6

#### СВОЙСТВА СЕРЕБРЯНЫХ БРОНЗ

Сплав	d · 103	σ, мк См/м	7 <sub>нл</sub> , °С	HV*, МПа	σ <mark>*</mark> , МПа
Cu—6Ag Cu—6Ag—1,5Cd Cu—4Ag—1Cd Cu—5Ag—1,8Cd Cu—2Ag Cu—2Ag Cu—2Ag—1,5Cd	9,0 9,0 9,1 9,1 9,2 9,2	49 43 41 38 38 38	1 <sub>0</sub> 50—1075 970—1055 1010—1065 920—1040 960—1050 880—1040	500/1600 550/1700 550/1650 700/1700 700/1750 700/1800	280/550 300/600 300/560 320/620 320/600 350/650

<sup>\*</sup> В числителе — в отожженном, в знаменателе — в холодно деформированном состоянии.

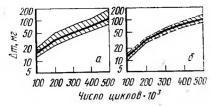


Рис. 6.8. Изменение массы коптактов нз сплава Ag-8.5Cd в зависимости от числа циклов коммутации при I = 100 A: а — окисление на воздухе при t=800 °C н p=1.33 ГПа;  $\delta$  — окисление на воздухе при t = 800 °C и p = 6.74 ГПа

тока, авиационные реле и выключатели, управление флюоресцептными лампами, регуляторы освещения.

Ag-Cd: реле, бензо- и маслоизмерители, выключатели, стартеры, выключатели перегрузки холодильников и термостатов, тепловые выключатели.

Ag-Cd-Ni: Ag-Cd-Ni-Fe: реле - регуляторы напряжения.

Ag-Pd: сигнальная аппаратура, телефонные реле и номеронабиратели, бензо- и маслоизмерители, защитные устройства электродвигателей, органы телевизионного управления, контактные кольца.

Ар-Рт: радиоаппаратура, приборы автоматики, электромагнитные

счетчики.

Ag-Mg-Ni; Ag-Au-Mg-Ni; Ag-Mg-Zr; Ag-Mg-Ni-Zr; Ag-Pd-Mg: заменители контактов из сплавов Pd-Ir, Au-Pd-Pt, Au-Ni, Au-Pt в малогабаритных и миниатюрных электромагнитных реле радиоэлектроники.

Ag-CdO: магнитные пускатели, реле среднего и тяжелого режнма, автоматические терморегуляторы, контролеры электровозов и троллейбусов, концевые выключатели, бытовые приборы, кнопки управ-

ления.

Ад-СиО: сильно нагруженные контакты постоянного и перемениого тока, авиационные реде среднего и тяжелого режима, автоматические предохранители, переключатели тепловозов.

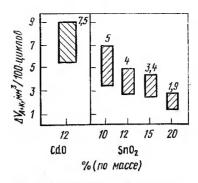
Порошковые контактные материалы

В тех случаях, когда применение метода ВО технически неоправдано для производства гетерогенных материалов Ag-MeO, применяют метод порошковой металлургин. Так же как при ВО, технология производства порсшкового материала оказывает значительное влияние на

ТАБЛИЦА 6,7 ХАРАКТЕРИСТИКИ СВАРИВАНИЯ МАТЕРИАЛОВ

Матернал		S <sub>Cmin</sub> ,	і <sub>н.С</sub> , кА	F <sub>cmax</sub> ,	σ <sub>c</sub> , ΜΠα		
Ag—10 % CdO металлургия)	(порошковая	0,25	4,0	320	250		
Ag—15 % CdO	(порошковая	0,17	2,2	310	170		
металлургия) Ag—10 % CdO ( Ag—15 % CdO (	BO) BO)	0,13 0,28	3,0 3,2	300 240	260 270		

 $\Pi$  римечание.  $S_{\mathbf{C}}$  — площадь сваривания;  $i_{\mathbf{B},\mathbf{C}}$  — начальный ток сваривания;  $F_{\rm c}$  — сила сваривания при I = 9 кA;  $\sigma_{\rm c}$  — времениое сопротивление сварного соединения.



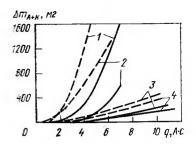


Рис. 6.9. Зависимость суммарного обгорания анода и катода при 100 отключениях от содержания оксида Cd и Sn в материале (I= =1300 A)

Рис. 6.10. Зависимость эрозии контактиых материалов (анод+катод) от количества электричества при иидукции магинтного поля 0.01 Тл (штриховые липии) и 0.1 Тл (сплошные линии): 1 — Ag; 2 — Ag—10NI; 3 — Ag—10Cd (прессованная смесь порошков); 4 — Ag—12CdO (то же)

дисперсность структуры и эксплуатационные характеристики контактного материала. В табл. 6.7 приведены характеристики сваривання ма-

терналов Ag-CdO.

Помимо стандартных материалов Ag-CdO и Ag-CuO, известны материалы с высокой стойкостью к обгоранию и свариванию и со стабильным контактным сопротивлением: Ag-10 % ZnO и Ag-5 % PbO. Очень высокой стойкостью к обгоранию обладает материал Ag-10 % SnO<sub>2</sub> (рис. 6.9). При использовании этого материала вместо Ag-12 % CdO гарантируемый срок службы при I=1000 A обеспечивается при уменьшении объема контакта на ~37,5 %.

Методами порошковой металлургии производят псевдосплавы се-

ребра с W, Mo, Ni, C (графитом, см. табл. 6.7) [716].

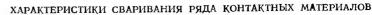
Псевдосплавы Ад-Ni отличаются высокой пластичностью (при 10-20 % Ni), что позволяет плакировать ими медь и медные сплавы. По стойкости к обгоранию они значительно превосходят серебряные сплавы, но уступают материалам Ag-CdO различного состава и спо-

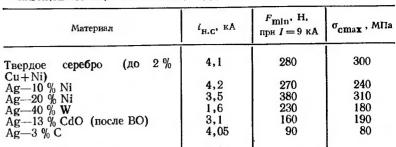
соба производства (рис. 6.10) [717].

На рис. 6.11 приведены данные по обгоранию различных контактных материалов при прохождении через нуль тока силой 1400 А и индукции магнитного поля 0,046 Т. За единицу принято обгорание материала Ag-12 % CdO, изготовленного прессованием смеси порошков. Псевдосплавы Ag-Ni применяют в качестве материала подвижного контакта в паре с неподвижным контактом из Ag—С в автоматических выключателях. Такое сочетание обеспечивает приемлемую эрознонную стойкость и стойкость к свариванию контактной пары.

Контактное сопротивление композиций Ag-W и Ag-WC снижается с увеличением силы тока вследствие разрушения поверхностных пленок. Стойкость к обгоранию композиций Ад-WC несколько выше, чем Ад-W, и часто подвижный контакт из Ад-WC используется в паре с неподвижным контактом из Ag-W при тяжелых режимах работы.

Наиболее высокая стойкость к свариванию у материалов Ад-С, Ag—W н Ag—CdO (табл. 6.9) [718].





П р и м е ч а н и е.  $i_{\text{ H-C}}$  — начальный ток сваривания; F — сила сваривания;  $\sigma_{\text{C}}$  — временное сопротивление сварного соединения.

Рис. 6.11. Относительное обгорание контактных материалов на стенде (a) и в серийном исполнении (б):

I-Ag-12CdO (прессованне смесн порошков с подслоем Ag, размер частиц 3-5 мкм, остаточная пористость <0.7 %); 2-Ag-11.3CdO (спеканне внутреннеокислениого граиулята Ag-Cd, структура смешанная — размер мелких фракций CdO<1.0 мкм, грубых фракций  $\sim 10$  мкм); 3, 4 — то же, с различным соотношеннем мелких и грубых фракций > 10 мкм); > 4 — > 10 си (аналогично > 1); > 4 — > 10 си (аналогично > 1); > 4 — > 10 си (аналогично > 1); > 4 — > 10 си (аналогично > 1); > 4 — > 10 состаточная пористость > 10 (> 10); > 10 — > 10 Ag-> 10 состаточная пористость > 10 (> 10); > 10 — > 10 Ag-> 10 состаточная пористость > 10 — > 10 Ag-> 10 состаточная пористость > 10 — > 10

20 - 5,79 6,49 12,14 1,6 - 1,6 - 1,6 - 1,0 - 1,

Физические и контактные свойства прочих известных порошковых материалов на основе серебра приведены в табл. 6.10 [3].

Переходное сопротивление и величину обгорания определяли при  $I=2\,$  A,  $U=24\,$  B, надавливанин  $F=2H\,$  после  $50\cdot 10^3\,$  включений.

Композицня Ag—MoS<sub>2</sub> обладает высокой изпосостойкостью и инзким коэффициентом трения в паре с бериллиевой бронзой и может использоваться для изготовления скользящих контактов [719]:

Состав, % (объеми.)	Қоэффициент треиия	Износ по от- ношению_к Аg	ρ·10 <sup>8</sup> , Οм·м
Ag	0,17—0,2 0,1—0,2 0,05—0,1	1,0 9,2 6,4 0,4 0,3	1,6 1,6 1,76 1,8 1,86

ТАБЛИЦА 6.8 СВОРІСТВА СТАНДАРТНЫХ СЕРЕБРЯНЫХ ПСЕВДОСПЛАВОВ

Марка сплава	. Состав, % (по массе)	d⋅10 <sup>8</sup> , кг/м <sup>3</sup>	λ, Вт/(м·К)	HV, МПа	р·10 <sup>8</sup> , Ом·м
KMK—A00 KMK—A10M KMK—A30 KMK—A30 KMK—A31 KMK—A31 KMK—A31 KMK—A41 KMK—A40 KMK—A40 KMK—A32 KMK—A33Mg CB50H2 CB70H3	99,9Ag Ag—15CdO Ag—10CuO Ag—30Ni Ag—30Ni Ag—40Ni Ag—40Ni Ag—3C Ag—5C Ag—29Ni—3C Ag—29Ni—2C Ag—50W—2Ni Ag—70W—3Ni	10,2 9,9 9,8 9,8 9,7 9,7 9,8 9,3 8,7 8,9 9,5 13,7	305 255 210 230 240 420 355 — 275 230	500 1050 750 760 1050 800 1150 500 400 650 950 —1600 2100	1,9 2,8 2,4 3,0 2,9 3,5 3,5 2,6 3,7 4,5 3,5

Дисперсноупрочненное золото является перспективным контактным матерналом, так как обладает низким контактным сопротивлением, стойко к обгоранию и свариванию. Материал, содержащий до 1 % (объемн.) дисперсного оксида, обладает высокой прочностью и пластичностью, а электрические свойства его практически соответствуют свойствам чистого золота (табл. 6.11).

При упрочнении золота оксидами значительно возрастает стойкость к механическому износу (табл. 6.12).

Области применения псевдосплавов на основе серебра для контактов приведены ниже.

Ag—Ni: средиенагруженные контакторы и магнитные пускатели, установочные и универсальные автоматические выключатели, реле цепей сигнализации и автоматики железных дорог, реле сварочных машин, контакторы автопогрузчиков, регуляторы напряжения, бытовые автоматические предохранители, светорегуляторы.

ТАБЛИЦА 6.10 СВОИСТВА СЕРЕБРЯНЫХ ПСЕВЛОСПЛАВОВ

Состав, %	o·10 <sup>8</sup> ,	HV.		ное сопро- не, мОм	Измен <b>е</b> ние массы за цикл, 10 <sup>—8</sup> г			
(по массе)	Ôм·м	MIJa	до испы- таиня	после испыта- ния	анод	катод		
Ag — 5Fe Ag — 5Fe Ag — 15Fe Ag — 5Re Ag — 5Re Ag — 30Re Ag — 5Ta Ag — 15Ta Ag — 5Zr	1,6 1,84 2,18 2,85 2,02 2,38 3,55 2,19 2,58 2,28	250 600 650 680 363 497 560 499 736 750	0,7 0,7 1,6 2,2 0,8 1,8 1,9 1,2 2,2	0,8 0,9 1,7 3,2 1,8 2,0 3,0 2,4 6,5 4,0	$\begin{array}{c} +49,0 \\ +5,0 \\ +25,0 \\ +22,0 \\ -5,0 \\ -3,0 \\ -13,0 \\ -0,5 \\ +37,0 \\ +0,2 \end{array}$	-32,0 -12,0 -35,0 -18,0 +1,0 -1,0 +1,0 -23,0		

		ржа <b>иие</b> Сида	ρ	· 10 <sup>—8</sup> •				
Материал	% (по массе)	%(объемн.)	20	100	265	675	965	Т.к.с.·10 <sup>-3</sup> , град <sup>-1</sup>
Au (порошок) Au—ThO <sub>2</sub> Au—Al <sub>2</sub> O <sub>3</sub> Au—Y <sub>2</sub> O <sub>3</sub> Au—TiO <sub>2</sub> Au—CeO <sub>2</sub>	0,2 0,18 0,26 0,24 0,38	- 0,3 1,0 1,0 1,0	2,3 2,35 2,5 2,4 2,27 2,3	2,9 3,0 3,06 3,0 2,9 2,98	4,5 4,8 4,85 4,65 4,3 4,8	9,5 11,3 11,2 10,6 9,1 9,4	11,42 14,84 14,9 14,0 11,9 11,8	3,82 3,83 3,64 3,85 3,95 3,92

Ag—C: установочные и универсальные автоматические выключатели, электроутюги с терморегуляторами, реле сигнализации железных дорог, переключатели диапазонов и выключатели радиоприемников, вспомогательные контакты воздушных выключателей.

Ag-Ni-C: установочные и универсальные автоматические выклю-

чатели (в паре с контактами из AgNi).

Ag—W: магнитные пускатели и контакторы с большой частотой включений, выключатели бытовых электроприборов, барабанные переключатели, кнопки управления, высоковольтные переключатели, центробежные регуляторы оборотов электродвигателей постоянного тока, контакты мощных регулирующих трансформаторов, устройства питания радноприемников, вибраторы, стартеры, кассовые аппараты, тяжелонагруженные реле и выключатели авнационного оборудования.

Контактные материалы с волокнистой структурой

Композиционные материалы с волокнистой структурой являются наиболее современными в технологии изготовления контактных материалов. Значительное упрочнение достигается при армировании серебра волокнами вольфрама, молибдена, никеля, стали. Известны результаты по упрочнению серебра монокристаллическими нитями  $Al_2O_3$  и  $Si_3N_4$ . Степень упрочнения при армировании зависит от параллельности во-

M	Содержан	Изменение мас-			
Материал	% (по массе)	% (объеми.)	сы, кг, после 1000 циклов		
Au $\begin{array}{l} \text{Au-Al}_2\text{O}_3\\ \text{AuY}_2\text{O}_3\\ \text{AuThO}_2\\ \text{AuCeO}_2\\ \text{AuTiO}_2\\ \end{array}$	0,18 0,26 0,2 0,38 0,24	1,0 1,0 0,38 1,0	14 6 8 8 7 8		

ПРОДОЛЖИТЕЛЬНОСТЬ ВОЗДЕЙСТВИЯ ЭЛЕКТРИЧЕСКОЙ ДУГИ ПРИ РАЗМЫКАНИИ КОНТАКТОВ С РАЗЛИЧНОЙ СТРУКТУРОЙ

Материалы	I. A	т горения дуги, мс, прн магнитной индукции, Тл						
-34.	1	1 - 10-2	4,6.10-2	1 · 10 — 1				
Ag/CdO(B)	1000	9,4	9,3	8,8				
Ag/SnO <sub>2</sub> (β) AgIπ <sub>2</sub> O <sub>3</sub> (β)	1000 1000	$9,6 \\ 9,2$	9,2 8,7	8,7 8,0				
$Ag/SnO_2$ (II)	1000	9,7	9,5	8,8				
Ag/In <sub>2</sub> O <sub>3</sub> (n)	1000	9,3	9,1	9,1				
AgZnO (π)	1000	9,8	9,4	9,0				
Ag/CdO (B)	1400	9,9	9,9	9,2				
$Ag/SnO_2$ (B)	1400	10,0	10,0	9,6				
$Ag/M\pi O_2$ (B)	1400	9,7	9,5	9,4				
Ag/CuO (B)	1400	9,4	8,9	7,7				
Ag/In <sub>2</sub> O <sub>3</sub> (в) Ag/ZnO (в)	1400 1400	10,0 9,9	9,9 9,8	9,3 9,6				
Ag/CdO (π)	1400	10,0	10.0	9,7				
$Ag/SnO_2(n)$	1400	10,0	10,0	10,0				
AgMnO <sub>2</sub> (π)	1400	10,0	9,9	9,7				
Ag/CuO (π)	1400	10,0	10,0	9,9				
$Ag/In_2O_3$ ( $\pi$ )	1400	10,0	9,9	9,4				
Ag/ZnO (n)	1400	9,9	9,8	9,7				

Примечание. в — волокнистый, п — порошковый материал.

локон в матрице, расстояння между волокнами, их непрерывности и объемного содержания. Композиционные материалы обладают сильной анизотропией свойств и при ориентации волокон перпендикулярно контактной поверхности можно достичь уменьшения обгорания и сваривання контактных материалов. У серебра, армированного непрерывными волокнами никеля, более чем на 50 % синжается обгорание по сравнению с обычным порошковым материалом. При этом волокнистый материал обладает гораздо большей пластичностью и выдерживает большую степень деформации при высадке заклепок, чем спеченный материал. Существенное улучшение контактных свойств достигается при использовании монокристаллических нитей графита вместо его порошка при производстве материалов на базе Ag—C.

Перспективно применение армированных материалов для контактных пружин. Армированные серебряные материалы обладают наилучшими сочетаниями пружинных свойств и электропроводности среди используемых в настоящее время материалов для контактных пружин.

Материалы, содержащие дисперсные оксиды, после экструзии или волочения также приобретают волокнистую структуру с расположением волокон вдоль продольной оси полуфабриката. Контакты из таких материалов с расположением волокон перпендикулярио поверхности контактирования в зависимости от вида оксида в ряде случаев имеют более высокую стойкость к свариванию и обгоранию, чем порошковые материалы; при этом уменьшается время воздействия электрической дуги на поверхность контактирования (табл. 6.13) [721].

## ХАРАКТЕРИСТИКИ СВАРИВАНИЯ ЭВТЕКТИЧЕСКОГО СПЛАВА Ад-Си

Сплав	1 <sub>с.тіп</sub> , кА	F <sub>c·max</sub> , H	σ <sub>с.тах</sub> , мпа	I <sub>пл.min</sub> , А	<i>U</i> пд, в
1	4,13	560	480	5,0	0,48
2	4,15	580	480	4,8	0,42
3	4,0	660	540	4,4	0,36
4	3,8	780	470	4,3	0,47

П р и м е ч а́ н и е. I — скорость кристализации 12 мм/ч, расстояние между волокнами 1,89 мкм; 2-18 мм/ч; 1,62 мкм; 3-24 мм/ч, 1,38 мкм; 4- литой сплав Ag—28 % Си.  $I_{\rm C}$ — ток сваривания;  $F_{\rm C}$ —сила сваривания;  $\sigma_{\rm C}$ — прочность сваривания;  $I_{\rm ПЛ}$ — ток плавления;  $I_{\rm ПЛ}$ — напряжение плавления.

Направленной кристаллизацией получен сплав Ag—28 % Cu с волокнистой структурой, обладающей высокой стойкостью к свариванию (табл. 6.14) [722].

Преимущество сплавов с волокнистой структурой, особенно сплава *1* с максимальным расстоянием между волокнами, в полной мере проявляется при дребезге контактов (табл. 6.15).

Применение контактных материалов на основе серебра

Выбор контактного материала производится с учетом требований, предъявляемых к электротехническим аппаратам. Ниже приводятся материалы, рекомендуемые для различных нагрузок: номинального тока и напряжения  $I_{\rm H}$ ,  $U_{\rm H}$ ; тока замыкания и размыкания  $I_{\rm 3}$ ,  $I_{\rm p}$ , числа циклов коммутации N.

Осветительная аппаратура:  $I_{\rm H}\!=\!6\!\div\!16$  A,  $U_{\rm H}\!=\!250$  B,  $N\!=\!50000$ . Материалы: при  $I_{\rm H}\!=\!6$  A—Ag, Ag—0,1 % Ni; Ag(3—10) % Cu; при  $I_{\rm H}\!>\!6$  A—Ag, Ag—0,1 % Ni, Ag—(3—10) % Cu, Ag—10 % CdO.

Выключатели бытовых приборов:  $I_{\rm H} = 1,2...63 {\rm A},\ U_{\rm H} = 50,\ 380/220\ {\rm B},\ N = 16^4 - 10^5$ 

, Материалы: Ag—0,1 % Ni, Ag—(10—30) % Ni, Ag—10 % CdO. Защитные автоматы:  $I_{\rm H}$ =6, 10...63 A, U<sub>H</sub> 380/220 B.

Материалы: Ag—3 % С в паре с серебряной бронзой или Ag—

ТАБЛИЦА 6.15 ХАРАКТЕРИСТИКИ СВАРИВАНИЯ ПРИ ДРЕБЕЗГЕ КОНТАКТОВ

Сплав	<i>F</i> <sub>С</sub> эиер	.max <sup>,</sup> Н, гии дуги,	при Вт•с	S <sub>c</sub> , N	σ <sub>с</sub> , МПа			
	0.1	1,0	10	0,1	1,0	10		
1 2 3 4	0 13 50 50	40 120 160 160	480 320 280 270	0,38 0,28 0,40 0,21	1,1 1,0 1,3 0,9	6,2 6,0 5,7 6,2	69 100 180 200	

Примечание. Сплавы те же, что в табл. 6.14.  $F_{\rm C}$  — сила сваривания;  $S_{\rm C}$  — площадь сваривания;  $\sigma_{\rm C}$  — прочность сваривания.

40 % Ni, а также Ag (10—15) % CdO. Основной критерий выбора — стойкость к свариванию.

Автоматические выключатели:  $I_{\rm H}{=}25{\div}100\,$  A,  $U_{\rm H}{=}380/220\,$  B,  $I_{\rm 3}{=}$ 

 $=I_{\rm p}=200, 300, 400 \text{ A}.$ 

Здесь сваривание возможно при подаче тока на замкнутые контакты, поэтому используют материалы с высокой электропроводностью: Ag(10—30) % Ni, Ag—10 % CdO, Ag—(3—5) % С в паре с серебряной бронзой или Ag—30 % Ni, Ag—8 % ZnO.

Кулачковые, программные выключатели, сигнализаторы (вспомогательные контакты):  $I_{\rm H} < 10$  A,  $U_{\rm H} = 220$  B,  $N = 10^4 - 10^6$ . При  $I_{\rm H} < 1$  A, когда необходимо низкое и стабильное переходное сопротивление, используют Ag или Ag= 0.1 % Ni, при  $I_{\rm H} > 1$  A и  $I_{\rm H} < 10$  A используют Ag= 0.1 % Ni, реже Ag= 0.1 % Cu. При повышенной вибрации рекомендуется Ag= 0.1 % CdO.

Выключатели электродвигателей.  $I_{\rm H}\!=\!6,\cdot 10...1000\,$  А,  $N\!=\!10^3\!-\!10^7,$   $U_{\rm H}\!=\!60/60;\,110/125;\,220/220;\,440/380;\,600/500;\,1200/1000\,$  (в числителе—

постоянный ток, в знаменателе — переменный):

I <sub>H</sub> , A	<i>I</i> <sub>3</sub> , A	Материалы
10	10	Ag, Ag-0,1 % Ni
.1	10	Ag—(3—10) % Cu
50	10—56	Ag-10 % Ni
6	16-50	Ag-0,10 Ni, Ag (3-
		10) % Cu
10-100	25-100	Ag-10 % Ni
2-20	25-100	Ag—10 % CdO
100	160	Ag10 % CdO
25	100	Ag—(12—15) % CdO

Что касается материалов Ag—CdO, то при магнитной индукции до  $2 \cdot 10^{-3}$  Тл применяют сплавы после BO, свыше  $3 \cdot 10^{-3}$ — порошковые материалы; в диапазоне  $2 - 3 \cdot 10^{-3}$  Тл и низких скоростях используют BO материалы, при высоких скоростях— порошковые.

Силовые выключатели.  $I_{\rm H}\!=\!25\!\div\!1000$  A,  $N\!=\!3\!\cdot\!10^4$ ,  $U_{\rm H}\!=\!60/60$ ; 125/110; 250/250; 380/440; 506/600; 750/800; 1000/1200 (в числителе — перемен-

ный ток, в знаменателе — постоянный):

$I_{\mathrm{H}}$ , A	$I_{\mathbf{p}}$ , A	Материалы
≪63	≪1000	Ag (10—15) % CdO, Ag—8 % ZπO
100-200	≪10000	Ag-8 % Zn, Ag (50-70) % W, Ag-40 %
250400*	≪20000	Ni в паре с Ag—(<5) % C Ag—(50—70) % W, Ag—(40—70) % WC, Ag—(50—70) % Мо и Ag (30—40) % Ni в паре с Ag (<5) % С
>630*	>25 <b>0</b> 00	Ag—(50—70) % W, Ag (40—70) % WC, Ag—(50—70) % Mo
>250	>15000	Аg; Ag—10 % Ag—10 % CdO [(главные контакты Ag—(70—90) % W, серебряная бронза (предварительные и дугогасящие контакты)]
		, <u>-</u>

<sup>\*</sup> Без предварительных и дугогасящих контактов.

Для  $I_3$  до 3000 предпочтительны материалы Ag—CdO, для  $I_p$ = =2000÷5000 A—Ag—ZnO. Для  $I_3$  до 20000 A применяют пару Ag+C—Ag+Ni, свыше 25000 A преобладают псевдосплавы Ag—W и Ag—Wc.

#### СВОИСТВА СПЛАВОВ ДЛЯ ПОТЕНЦИОМЕТРОВ [9]

Потенциометр — прибор, предназначенный для плавного нли скачкообразного изменения электрического напряжения, т. е. регулируемый делитель напряжения, построенный из активных сопротивлений (проволочных, пленочных, жидкостных н др.).

Основные требования, предъявляемые

к материалам обмотки потенциометров [9]

К сплаву, из которого готовится тонкая резистивная проволока обмотки, предъявляются следующие требования: стабильное удельное электросопротивление; малый (близкий к нулю или с минусовым знаком) т.к.с.; малая т.э.д.с. отиосительно меди; высокая антикоррозионная стойкость; высокая механическая прочность и пластичность; возможность получения тонких проволок микронных размеров; хорошая паяемость.

В приборостроенин для обмотки потенциометров в основном применяют проволоку диаметром 0,02—0,12 мм.

Низкоомные материалы для обмотки потенциометров

К низкоомным потенциометрическим сплавам условно относят сплавы с удельным сопротивлением 0,02—0,2 мкОм м на основе серебра н золота.

Высокоомные материалы для обмотки потенциометров

Высокоомными условно считают сплавы с удельным сопротивлением выше 1,0 мкОм м.

Высокоомные резистивные отечественные и зарубежные сплавы, имеющие удельное сопротивление  $\rho = 1,3 \div 1,8\,$  мкОм м, являются в ос-

новном модифицированными Ni-Сr сплавами.

Сплавы благородных металлов, легнрованные другими компонентами, обладают удельным сопротивлением 1,2-2,3 мкОм м, минимальным т. к. с. и высокой коррозионной стойкостью. Наиболее распространен в последнее время сплав ПдВ-20. Его высокая коррознонная стойкость сочетается со стабильными электрическими характеристиками, высокой технологичностью и износостойкостью. Сплав разработан Инстнтутом металлургии им. Байкова совместно с работниками промышленности и обладает следующими свойствами: 0=1,07÷1,18 мкОм·м; т. к. л. р. —  $\alpha_{270-370}$  к=4,8÷6,9·10<sup>-5</sup> град<sup>-1</sup>;  $\sigma_{\rm B}$ =640÷840 МПа; δ=26÷30 %; переходное сопротивление в паре с Ag 0,006 Ом [9]. При работе в агрессивных средах (морская вода, повышенная влажность, нары аммиака, сернистого газа и т. д.) сплав сохраняет свои электрические характеристики, что обеспечивает бесперебойную работу приборов в этих условиях. Имеются данные, что реохорд с намоткой из сплава ПдВ-20, в агрессивной среде, содержащей 0,05-0,13 мг сероуглерода, работает почти год без зачистки и нарушения контакта. Высокая износостойкость сплава обеспечивает рабочий ресурс прибора 10 млн. циклов, в то время как ресурс приборов со сплавами других марок колебался от 60 тыс. до 3 млн. циклов. С применением этого сплава в прецизионных потенциометрах срок их службы увеличился примерно в 100 раз.

Освоение промышленного выпуска этого сплава полностью обеспечивает потребности народного хозяйства в коррозионностойких по-

тенциометрических материалах.

Хорошей основой для создания высокоомных потенциометрических сплавов являются сплавы системы Fe—Pd, легированные золотом. Кинетике упорядочения и достижению высокого  $\rho$  (2,0 мкОм·м) и низкого т. к. с. ( $10^{-4}$ — $10^{-6}$ ) посвящено много новых работ. Материалы для контактов

Материал токосъемного элемента движка, как и материал резистивно-

Марка сплава	р, мкОм-м	σ <sub>в</sub> , МПа	8, % (после отжига)	т.к.с,Х Х10 <sup>3</sup> (после отжига)
3л91	—/0 <b>,</b> 188	(960—1100)/540	20—30	
ЗлХ—0,5	-/(0,23-0,26)	(920—1100)/ (560—500)	20-28	_
ЗлХ2,8	—/(0,51—0,53)	(920—1300)/	20-28	
ЗлМ800	—/(0 <b>,</b> 041—0 <b>,</b> 137)	(570—500) (800—1040)/550	22	_
ПлИ—10	-/0,24	(550—750)/ (300—400)	5	1,3
ПлИ—20	/0,32	(950—1150)/	_	0,9
ПлИ—25	<b></b> /0 <b>,</b> 33	(600—750) (1000—1250)/	_	0,8
ПлМ—2,5	/0,30	(700—850) (600—900)/		1,0
ПлМ—8,5	<b>/0,56</b>	(400—550) (900—1300)/		0,4
		(500650)		
ПлН4,5	<b>/0,22</b>	(9001300)/ (500650)		2,1
ПдСр—40	<b>/0,42</b>	(750—1000)/ (350—450)	35	0,03
ПдСрМ	/0,42	(800—1100)/		_
ПдВИД—78	0,94/1,10	(500—600) 1266/970	23	0,058
ПдВТ—1 ПдВН—2	1,00/1,15 1,07/1,22	1690/980 1720/970	26 24	0,062
ПдВТ—2	1,09/1,22	1840/1070	23	0,065
			,	

Примечание. В числителе приведены значения для сплава после деформации, а в знаменателе после отжига.

го элемента, должен быть устойчив против электрической эрозии н коррозии, легко обрабатываться, обладать свойствами, препятствующими свариванию контактов, иметь высокую тепло- и электропроводность, высокую износостойкость (табл. 6.16).

Всеми этими свойствами обладают двойные, тройные и многокомпонентные сплавы золота. Сплавы 800, 750, 625, 583 пробы, а также многокомпонентные сплавы, подвернутые дисперсиониому твердению или упорядочению, а в некоторых случаях и сочетанию фазовых превращений, успешно выполняют функции подвижного контакта в потенциометрах. Твердость и прочностные свойства, обусловленные большой суммарной деформацией (без снятия напряжений), неустойчивы при переменных и особенно при повышенных температурах за счет диффузионных и релаксационных процессов. Кроме того, наличие большого количества дефектов, возникших при пластической деформации, увели-

	Характер износа	Схватывание	Схватывание	*	Окислительный	* :	Схватывание	Смешанный	Окислительный	. *	*	*	Схватывание	Окислительный	*	*	K	*	*	*	*	*	*		— усредненное усилие нажатия щетки на кольцо; $v_{ m K}$ — скорость вращения кольца; $L_{ m III}$ — рабочая длина щетлавы за онин оборот кольна.
6-10-9	r	1 [	ı	∞	٥٦٠	٦.	., 1	7	7	2	2,6	1,5	25	0,7	_	2,2	_	2,2	0,18	0,75	0,2	9	25	9,0	цения кольп
g==0,	<sup>с</sup> щ. <sup>10</sup> ' ж	36 45	27	170	26	85	12	36	113	26	36	190	38	170	120	26	26	26	113	113	113	29	29	113	- скорость враі
ним/90 и	'R' 50/	010	10	09	10	10_60	10	10	01	10	10	10—60	9	10	99	10	10	-01	10	10	10	10	10	01	на кольцо; <sub>и к</sub> -
:	Р, н	0,25	0,15	0,25	0,25	0,20	0,7	0,29	0,25	0,25	0,26	0,25	0,25	0,25	0,25	0,25	0,29	0,29	90,0	90,0	90,0	0,25	0,25	0,1	тия щетки
Матернал	щетки	СрИд3 Ср999 *	CpM30	ПдВ20	AСДсм98—2 *	ACACM35—5	June 10	ЗлМИд4	3ACpM583	3.1M800	CpM502*	АПдНС70	ПдИ18	3nW800	3nW800	341142	ЗлИд5	3 <b>л</b> Гл2	ЗлМСрПлПдЦ1	ЗлМСрПлПдЦ1	ПлСрЭлПДМЦ1	3лПл2 *	3nM800	ЗлМСрПлПдЦ1	Примечанне. Р — усредненное усилне нажа ки: G — улельный нанос пары за один оборот кольпа.
V	кольца (диаметр 1 см)	СрИд10 СрНМ2—20	CpHM2-20	All <sub>A</sub> C70	AIIHC70	ACIII317	114B20	ПдЗлРу1—8	ПдСрБ0,08	ПдВИд86	ПлИ25	ПлН4,5	ПлН4,5	34X0,5	3,1X0,5	3,1X0,5	37X0,5	37X0,5	3,1X0,5	3лПл2	3лПл2	3aCp10	34Cp10	3nCp10	Примечанне. <i>F</i> ки: <i>G</i> — упельный износ

чивает каталитическую и химическую активность контактных материалов. Поэтому для таких материалов обычно проводят технологическую операцию — сиятие напряжений.

Сплавы Аи—Си. Вышесказанное наглядно показано на сплаве AuCu25. Высокие прочностные свойства, стабильные в широком интервале температур, получены термообработкой в строго определенном температурном и временном режиме.

Микротвердость  $H_{\mu}$ =2940 МПа;  $\sigma_{\text{в}}$ =1176 МПа;  $\sigma_{\text{т}}$ =335 МПа;  $\delta$ = =20 %;  $\rho$ =0.057 мкОм·м (в деформированном состоянии 0.15).

Сплавы Au—Ag—Cu. Значительные результаты получены на классическом тройном сплаве золота марки ЗлСрМ—583—80. Механические свойства его повышены в три раза за счет старения и упорядочения матрицы.

Свойственный этому сплаву прерывистый распад не позволял упрочнять сплав ни при каких режимах обработки. При температурах ниже 280 °C в сплаве происходит не только распад пересыщенного твердого

ТАБЛИЦА 6.18

КОНТАКТНОЕ СОПРОТИВЛЕНИЕ (10  $^{-3}$  Ом) ПАР В РАЗЛИЧНЫХ СРЕДАХ [377, c. 212—214]

Ma	тернал		Повышеи-	[			
кольца	щетки	Перед испыта- инями	ная влаж- ность	Морской туман	Сернистые соедине- иия		
СрНМ2—20 ПлН4,5 ПлН4,5 СрНМ2—20 ПлН4,5 СрНМ2—20 ЗлХ0,5	Ср999 АПДНС70 ПДИ18 ПДИ18 Ср999 АПДНС70 ЗлМ800	10 6 7 9 5 9	20 10 10 15 15 20 6	$ \begin{array}{c} 20 - 10^{6} \\ 20 \\ 10 \\ 50 - 10^{6} \\ 25 \\ 20 - 10^{6} \\ 6 \end{array} $	$ \begin{array}{c} 10^{6} \\ 10-200 \\ 10-500 \\ 10^{3}-10^{6} \\ 50-10^{6} \\ 10 \end{array} $		

раствора, но и процесс атомного упорядочения. При упорядочении возникает огромное количество дефектов в виде антифазных границ. Обогащение антифазных границ атомами примеси приводит к образованию большого числа зародышей новой фазы, распределенных в объеме зерна. В результате прерывистый распад в сплаве полностью подавляется. Дисперсность выделяющейся фазы столь велика, что заметить распад можно только с помощью электронного микроскопа.

Мелкозернистая структура непрерывного распада очень устойчива к коагуляции при температурах ниже 280 °C, т. е. во всем интервале температур, где сохраняется упорядоченное состояние матрицы. Это объясняется закреплением частиц выделившейся фазы сеткой антифазных частиц [377, с. 159, 160].

Выбор контактной пары

В зоне скольжения контакта происходят сложные явления, поэтому выбор контактной пары всегда представляет значительную трудность и, как правило, осуществляется в результате многочисленных экспериментов. Минимальную т. э. д. с. между обмоткой и подвижным контактом (большую т. э. д. с. считают признаком склонности контактной пары к схватыванию) достигают изготовлением того и другого элемента контактной пары из однородного материала (табл. 6.17, 6.18).

Хорошо зарекомендовали себя сплавы на основе золота 3л-91. ЗлХ-2,8, ЗлХ-0,5 для обмотки потенциометров, работающих с малыми контактными давлениями с проволочной щеткой (мухолапкой). Сплавы используют в паре со щеткой из Аи-Си сплава ЗлМ-800.

В потенциометрах, работающих при контактном усилии от 0.1 до 0,7 Н, что свойственно узлам, подверженным внбрациям, хорошо зарекомендовала себя потенциометрическая пара с обмоткой из палладиевого сплава марки ПдВ-20 н контактом из ЗлМ-800. Эта пара работает без смазки 10000 циклов, обеспечивая высокую износостойкость в условиях абразивного износа в различных агрессивных газах [377, c. 198—200].

## 6.3. Термопары и термометры сопротивления

Области использования и основные требования к материалам Высокая коррозионная стойкость, определяющая стабильность физикохимических свойств платины и металлов платиновой группы, обусловила широкое применение их в качестве материалов термоэлектролов термопар для наиболее точного измерения температур, а также процессов и явлений, протекающих в окислительной атмосфере.

К термоэлектродным материалам предъявляется ряд специфических

требований [723].

1. Температура плавления термоэлектродов должна быть значительно выше измеряемой температуры, что позволит термопаре сохранить стабильность термоэлектрических свойств.

2. Материалы для термоэлектродов должны обладать высокой технологичностью, обеспечивающей возможность получения тонких про-

волок для изготовлення термопар.

3. Термопара должна обладать достаточно высокой т. э. д. с. для достижения высокой точности измерения современными приборами. Т. э. д. с. термопары должна аддитивно возрастать с температурой без скачков, перегибов, максимумов и минимумов. Сложный характер кривой т. э. д. с. — температура затрудняет градуировку термопар и указывает на возможность существования превращений в сплавах. Последнее влечет за собой невоспроизводимость результатов измерений.

4. Термопара должна обладать стабильностью химических и физических свойств в определенном интервале температур и длительного

промежутка времени.

5. Термоэлектродная проволока должна быть физически и химически однородной — это одно из главнейших условий, обеспечивающих точность измерения. При этом следует уделять большое внимание чистоте исходных компонентов для изготовления термоэлектродов, а также их высокому качеству. Если в настоящее время платиновые термоэлектроды из сплавов Pt---Rh обладают достаточной чистотой, технологичностью, высокой стабильностью и воспроизводимостью свойств, то термоэлектроды из Ir и Rh отличаются нестабильностью термоэлектрических свойств и значительной хрупкостью. Причина в первую очередь заключается в значительно меньшей степени чистоты этих металлов. Последнее не позволяет получать высококачественных проволок для термоэлектродов без дополнительной термообработки, а значит без загрязнения кислородом.

Хотя абсолютный предел измерения определяется температурой плавления термоэлектродов, предел устойчивой работы термопары лежит значительно ниже. Это связано с окисляемостью компонентов термоэлектродов, летучестью и диффузией металлов в горячем спае, химическими реакциями между материалом термоэлектродов, окружаю-

щей средой и изолирующей керамикой.

Основные сплавы и их характеристики

Первая Pt/Pt—Rh термопара была предложена Ле Шателье в 1887 г. Впоследствии различные композиции платиновых сплавов и сплавов других металлов платиновой группы рассматривались как возможные термоэлектродные материалы стабильных высокотемпературных термопар [724]. Наибо- 8 лее широко используют Pt-Rh термопары, простые по технологии изготовления термоэлектродов и стабильные по своим термоэлектрическим свойствам. Сочетания и композиций этих сплавов способны устойчиво работать длительное время до температур 1800°C (табл. 6.19).

Необходимость измерения более высоких температур (2000--2500 °C) в окислительной среде и в настоящее время является актуальной. Все известные высокотемпературные термопары на основе W, Ті и Мо не могут работать в воздушной среде. В 1909 г.

T. 3. d. C. MB *500* 1000 t.°C

Рис. 6.12. Т. э. д. с. термоэлектродных сплавов Pt—Rh; цифры на кривых ука-зывают Rh, % (по массе)

для работы до 2000°C Гофманом предложена серия термопар из сплавов Іт. Иридий и его сплавы до сих пор остаются наиболее перспективными для разработки высокотемпературных термопар для воздушной и нейтральной среды [725-728].

Возможность применения платиновых сплавов в качестве компонентов термопар определяется ходом изменения т. э. д. с. с ростом температуры. Наибольшую точность при этом дают термопары, развивающие наиболее высокую т. э. д. с. Градуировочные кривые различных платинородиевых термопар [79] приведены на рис. 6.12. Среди этих термопар самую высокую т. э. д. с. в зависимости от температуры развивает термопара Ле Шателье (Pt/Pt10Rh). По мере увеличения содержания Rh в термоэлектродах снижаются величины т.э. д. с. Однако низкая величина т. э. д. с. от 0 до 200°C в термопарах Pt30Rh/Pt6Rh и Rh/Pt20Rh позволяет применять эти термопары без термостатирования холодного спая. Применение термопары Pt40Rh/Pt20Rh затруднено изза очень малой величины т. э. д. с. и для измерения с ее помощью температур с достаточной точностью требуются специальные усиливающие приборы.

Восстановительная среда (углерод и водород) оказывает вредное влияние на платину и ее сплавы. Они растворяются в платине, изменя-

ют величину т. э. д. с. и охрупчивают термоэлектроды.

При работе в вакууме платина и ее сплавы выступают активными катализаторами, способствующими восстановлению керамики до металлов, которые в свою очередь хорошо растворяются в платине и платиновых сплавах. Исследования взаимодействия керамики из оксида магния, циркония, алюминия и тория в вакууме или в среде с недостаточным притоком кислорода показали, что восстановленные металлы при длительной работе в интервале температур 1200—1600°C растворяются в платине в значительном количестве. Наиболее стойкой к воздействию

СВОЙСТВА НАИБОЛЕЕ ВАСПРОСТРАНЕННЫХ ТЕРМОПАР ПЛАТИНОВЫХ МЕТАЛЛОВ

			Терменара	2		
Свойство	платинель	Pt15Ir/Pd	Pt10Rh/Pt	Pt20Rh/Pt5Rh u Pt30Rh/Pt6Rh	Pt40Rh/Pt20Rh	lr30Rh/1r
Рекомендуе- мый интервал температур, °C	0-1300	0—1450	0—1600	500—1700	1000—1850	1800—2200
Температур- ный коэффи- циент т. э. д. с., мкВ/°С	30 при 0°С; 40—45 при 150—1000°С; 32 при 1300°С	Температур- ный коэффи- икВ/°C.       30 при 0°C; при 1000°C; при 40 при 1000°C; при 1300°C; при	5 при 0 °С; 10— 12 при 500— 1700 °С	0 при 0°С; 9 при 1000°С; 10 (20/5) и 11,5 (30/6) при 1700°С	3 при 1000°С; 4,5 при 1800°С	7,5 при 1400°C; 10,9 при 2000°C
Стабильность и воспроизво- димость	Хорошая	Хорошая	Отличная ниже 1400°С; хоро- шая при 1400— 1600°С; пло- хая при 1600— 1700°С (менее стабильна в нейтральной	Отличная ниже 1500°С; хоро- шая выше 1500°С (воз- можно, менее стабильна в нейтральной ат- мосфере)	Отличная ниже Пли 1500°С; хоро- ворителая выше пли пл 1500°С (возможно, менее стабильна в нейтральной атмосфере)	Или удовлет- ворительная, или плохая
Погрешность, °С	0.1 при темпе- ратурах инже 300°С; 1°С в диапазоне 2°С выше 1100°С	По-видимому, аналогична платинели	алмосфере)  0,3 при темпе- 1 ратурах ниже ту 1100°С; 1 в ди- 11 1500°С; 5 в ди- 11 апазоне 1500— 3 1700°С	при темпера- рах ниже 00°С; 2 в дапазоне 00—1500°С; в диапазоне	2 в диапазоне 1000—1500 °С; 4 в диапазоне 1500—1850 °С	20

_	Нейтральная	1. Термопара, которая может работать в оки-слительной атмосфере выше 1850°				
	или вакуум	1. Более широ- кий диапазон температур, чем у Рt20Rh/Pt5Rh	2. Хорошая ста- бильность при высокой тем- пературе	ко- 3. Поправка на температуру свободного кон- гем- ца мала по- по- по- по- по- по- по- по- по- по-		
	Окислительная, нейтральная или вакуум	<ol> <li>Более широ- 1. Более широ- кий диапазон температур, температур, чем у термопа- у Р†20Rh/Р†5Rh ры Р†10Rh/Р†</li> </ol>	2. Хорошая ста- бильность при плительном при- менении прн высоких темпе- ратурах	3. Низкий ко- эффициент т. э. д. с. при комнатной тем- пературе; по-	мала конца мала мала	
	Окислитель	1. Наиболее точная при температурах выше 300°С	2. Широкий диапазон при- менимости	3. Стабильность		
•	Окислительная	1. Выше 1000 °C коэффициент т.э. д. с. боль- ше, чем у платинеля.	2. Максималь- ная температу- ра выше, чем у платинели			
•	Окислительная, нейтральная или вакуум	1. Значительно стабильнее X/A * термо- пары прн тем- пературах вы- ше 1000°С	2. Максималь- ная темпера- тура выше, чем у X/A тер- мопары	3. Т. э. д. с. приблизитель- но та же, что и у X/A термо- пары	4. При соответ- ствующей за- щите стабиль- иа в востано- вительной ат- мосфере до	1.
	Атмосфера	Достоинства				

- 1
Α.
ų,
- 1
•
<b>`~</b>

- хромельалюмелевая термопара

X/A

reoRh/Ir KOчто и у термо-пары Pt10Rh/Rt. Pt40Rh/Pt20Rh Те же, что и термопары Pt10Rh/Pt Легко за-рязняется па-ами металлов чувствительна к загрязнению KODродирует п загрязнении или D Pt10Rh/Pt Особенно или Р Инзкий Быстро 1. Ле грязня рами т. э.д. с. мень-ше, чем у пла-тинели при тем-пературах ни-же 1000 °С 2. Ра алсорби-рует водород. 3. Коэффициент Me-Pt15Ir/Pd 1. Низкая ханическая прочность 1. Легко за-грязняется па-пами металлов платинель гермопарой Свойство Недостатки

каталитической активности платины является керамика из оксида маг-

Отличия в стабильности работы термопары в вакууме и аргоне не наблюдалось. Т. э. д. с. заметно изменяется в вакууме 665·10<sup>-5</sup> Па при температурах выше 1200°С и продолжительности работы 120 ч. Указано влияние примесей, в частности Fe, находящихся в керамике, на градуировочные параметры термопары. Так, в результате работы при 1600°С в защитной керамике из оксида A1 с содержанием 0,07% Fe отклонения градуировки термопары при 860°С составляют 2000 мкВ. В то время как при содержании в керамике 0,03% Fe эти отклонения составляют лишь 400 мкВ в самых жестких условиях эксплуатации. Отклонения градуировки термопары в вакууме или другой атмосфере из-за испарения платины или родия не отмечалось.

Термопары из иридиевых сплавов. Иридиевые термопары были предложены для измерения температур до 2000 °C [29]. Эти термопары обладают невысокой, плавно изменяющейся т.э.д.с. Термопара Ir/Ir60Rh имеет практически линейную градуировочную характеристику при высоких температурах, термопара Ir50Rh/Ir10Ru обладает высокой чувствительностью. Помимо разработки высокотемпературных термо-электродных материалов на основе только благородных металлов, были предприняты попытки использовать сплавы платиновых металлов с не-

благоролными.

В качестве термопар, работающих при температуре выше 2000 °С, исследовали сплавы Ir—Re во всем интервале концентраций в паре с W и Ir.

Характер изменения т. э. д. с. и рентгеноструктурные исследования позволили рекомендовать в качестве термопар сплавы Ir/Ir60Re и Ir/Ir70Re, пригодные для работы до 2450 °С в защитной атмосфере. Попытки создать подобные термопары для работы на воздухе оказались безуспешиыми.

Для работы в защитной атмосфере (вакуум или гелий) рекомендована комбинированная термопара W/Ir как наиболее устойчнвая и обладающая высокой т. э. д. с. Этой термопарой пользуются до сих пор для точного измерения температур до 2300 °C в вакууме.

Близки к стандартным характеристикам термопары хромель—алю-

мель термопары типа платинель.

Положительный электрод этих термопар состоит из сплавов Au—35 % Pd, отрицательный — из тройного сплава Au—Pd—Pt, состав которого колеблется Pd—(13—14) % Au—(14—31) % Pt. Увеличение содержания Pt в сплаве улучшает механические свойства (виброустойчи-

вость) при высоких температурах.

Платинели обладают высокой стабильностью т. э. д. с. при температурах до 1300 °С. Изменение т. э. д. с. в результате выдержки при температуре 1300 °С в течение 1000—2500 ч на воздухе не превышает 1 %. Примерно такое же изменение т. э. д. с. наблюдается во время длительного отжига при температурах 400—600 °С. Высокая стабильность т. э. д. с. платинелей наблюдается также при эксплуатации их в смеси влажного водяного пара с углекислым газом и в водороде. Максимальное изменение градуировки после 1000 ч нагрева в токе водорода при температурах до 1000 °С равно ±0,75 %. При более высоких температурах срок службы уменьшается и при 1300 ° составляет 200—400 ч.

Температурная зависимость т. э. д. с. термопар из благородных ме-

таллов приведена в табл. 6.20.

Термометры сопротивления

Материалы, используемые для изготовления чувствительных элементов термометров сопротивления, должны отвечать следующим требованиям: иметь наибольший температурный коэффициент сопротивления

ТЕМПЕРАТУРНАЯ ЗАВИСИМОСТЬ Т. Э. Д. С. ТЕРМОПАР ИЗ БЛАГОРОДНЫХ **МЕТАЛЛОВ** 

			Т. э. д. с., м	в, термопар		
Температура, °С	Pt10Rh/ Au30Pd10Pt	Pt10Rh/ Au40Pd	Ir50Rh/ Ir10Ru	Ir/Rh40Ir	Pt30Rh/ Pt6Rh	Rh/Pt20Rl
100 200 300 400 500 600 700 800 900 1000 1100 1200	2,97 6,4 10,6 15,12 19,6 25,00 30,38 35,7 41,0 46,42 51,8 57,1 62,42	4,37 .8,92 13,31 18,64 24,21 29,82 35,55 41,32 46,93 52,57	0,67 1,45 2,33 3,27 4,27 5,29 6,30 7,29 8,26 9,20 10,11 10,99 11,84	0,37 0,80 1,20 1,82 2,38 2,94 3,49 4,05 4,61 5,308 5,72 6,388 6,84	0,03 0,16 0,41 0,75 1,21 1,76 2,43 3,20 4,08 4,98 5,95 7,01 8,11	0,07 0,15 0,27 0,41 0,58 0,81 1,09 1,44 1,83 2,28 2,82 3,39 3,99
1400 1500 1600 1700 1800 1900 2000 2100			12,66 13,45 14,22 14,99 15,79 16,54 17,34	7,461 7,95 8,583 9,06 9,745 10,18 10,995 11,654	9,21 10,33 11,49 12,67 13,85	3,99 4,62 5,30 6,00 6,74 7,51 —

(т. қ. с.); монотонный характер изменения сопротивления в зависимости от температуры; сохранять постоянство химических и термоэлектрических характеристик, иметь возможно более высокую воспроизводимость электрических свойств. Для изготовления термометров сопротивления наиболее часто используют платину. Платиновые термометры сопротивления используют для измерения температур до 1100 °С в промышлеиных и лабораторных условиях и для воспроизведения Международной практической температурной шкалы в диапазоне 70—900 К.

Созданы конструкции платиновых термометров сопротивления для измерения высоких и низких температур, позволяющие с большой достоверностью и высокой воспроизводимостью (до  $\pm 0.05$  °C) измерять температуры (от —263 до 1300°C). Эти термопреобразователи имеют индивидуальную градуировку [29].

В отечественном приборостроении для термометров применяют упрочненную, так называемую волокнистую платину, обладающую повышенной стабильностью характеристик. В отожженном состоянии ее прочность в 1,8 раза выше прочности обычной платины, при этом почти не изменяется величина температурного коэффициента электросопротивления [29, с. 9].

Градуировочные характеристики платиновых термометров сопротивления стандартизованы [729].

СРАВНИТЕЛЬНАЯ ХАРАКТЕРИСТИКА ТЕРМОМЕТРОВ СОПРОТИВЛЕНИЯ

Материал	Пределы из- мерения <i>Т</i> , К	<b>р·1</b> 08, Ом·м, при <b>Т</b> , К	Т.к.с., град—1, при <i>Т</i> , К	Воспро зво- димость при повторных нагревах
Pt	19—923	9,6 (273)	3,9.10-3 (273)	
Cu	13453	0,003 (536) 1,55 (273)	$\begin{array}{c} 0,25 \cdot 10^{-3} (533) \\ 4,2 \cdot 10^{-3} (273) \end{array}$	0,0007 K —
In	3,5-300	0,0002 (15) 8,4 (273)	$6,0\cdot 10^{-5}$ (533) $4,1\cdot 10^{-3}$ (273)	
Ge	1,810	0,0025 (5) 89,0 (273)	$7,0\cdot 10^{-4} 13$ -1,0 (4,2)	0,0015 K
Графит	0,1-80	25006300	-2.8(2) $-0.1(10)$	0,001 K
	-		<b>—1,0</b> (3)	0,1 %

Для замера температур расплавленных металлов в интервале 2940— 2220°C используют термометры сопротивления, чувствительный элемент которых изготовлен из оксида тория, а выводы — из иридиевых или циркониевых стержней. Погрешность измерения такими термометрами составляет 1—2 % в течение 1000 ч, время установления показаний 2-3 c [729].

Для измерения сверхнизких температур пригоден сплав Rh—0,5 % (ат.) Fe; температурный интервал работы 0,35-40 К, изменение сопротивления на градус К иезначительно. В табл. 6.21 приводятся сравнительные характеристики различных термометров сопротивления.

## 6.4. Тензодатчики

Тензодатчики служат для измерения деформаций, вызываемых механическими напряжениями в деталях конструкций или образцах материалов.

Тензодатчики являются наиболее универсальным средством экспериментального исследования напряженного состояния в деталях машин

в рабочем состоянии.

Чувствительные элементы — тончайшие проволоки и ленты микрон ных сечений прецизионных тензодатчиков — изготавливают из сплавов для сопротнвлений. Помимо требований, предъявляемых к резисторам, для тензорезисторов важной характеристикой является тензочувствительность, определяемая по формуле

$$S = \frac{\Delta R/R_{\varepsilon}}{\Delta I/I} .$$

где  $\Delta R/R_{\rm g}$  — относительное приращение электросопротивления;  $\Delta l/l$  относительное удлинение (или сжатие); є — относительная деформация. Тензочувствительность должна быть постоянной в интервале рабочих температур.

Выбор сплавов для тензодатчиков, работающих в диапазоне (270---570) К, не представляет трудностей. К сплавам для высокотемпературных тензодатчиков (ВТД) предъявляют требования малой величины

СПЛАВЫ ПЛАТИНОВЫХ МЕТАЛЛОВ ДЛЯ ЧУВСТВИТЕЛЬНОЙ РЕШЕТКИ проволочных тензометрических датчиков сопротивления [29]

Состав сплава, % (по массе)	ρ·10—8, Ом·м	Т.к.с. • 10 <sup>4</sup> , град—1	σ <sub>в</sub> , ΜΠа	s
Pd—40 % Ag Pd—35 % Ag — 3 % W Pd—36 % Ag — 4 % Cu Pd—10 % W (оптимально 7 %) Pt—8 % W Pt—9 % W ЛС—22 (модифицированный Pt—9 % W) (15—80) % Pt — (15—80) % Pd — (2—12) % Mo 45 % Pt—45 % Pd—10 % Mo (15—65) % Pt — (15—65) % Pd — (2—35) % Ir (5—85) % Pt — 7.0 % Rh — 5—85 % Pd	40 39,7 50 62,5 70 70 57 79 49	0.3 - 5 2,45 2,5 2,2 3,9 1,9 2,5	1350 900 900 1010 3300 1100	1,9 4,5 3,6 3,7 3,5 3,5 4,2 4,0 4,3

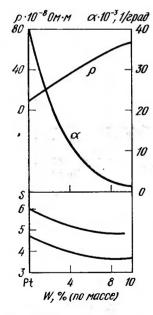


Рис. 6.13. Удельное электросопротивление, его температурный коэффициент и тензочувствительность (S) при 293 и 570 К (верхняя кривая) сплавов Pt-W

температурного коэффициента сопротивления и изменения сопротивления во времени. воспроизводимости температурной характеристики при повторных нагревах. Удовлетворить эти требования трудно вследствие широкого интервала температур и необратимых диффузионных процессов, протекающих в сплавах при повышенных температурах.

В качестве материалов для ВТП разработаны и получили промышленное применение сплавы на основе трех систем благородных металлов Ag-Pt, Pd-W. Pd-Mo-Pt (табл. 6.22).

С целью приближения к нулю т. к. с. в интервале температур (290-820) К пля стандартного сплава РdAg36Сu4 предложен отжиг в интервале температур (670--970) К н охлаждение с печью проволоки и изделий из нее. Отжиг обеспечивает получение из этого сплава прецизионной микропроволоки с близким к нулю т. к. с. в широком интервале температур. Материал вполне удовлетворяет метрологическим требованиям в интервале температур (270-720) К [29, c. 189—194].

При плавке и термообработке сплавов PdAg на температурную характеристику сопротивления и изменение сопротивления во времени влияет газовая среда нз-за сильного газопоглощения и внутреннего окисления сплава. Кислород воздуха, влияя на

упорядочение сплава, обеспечивает термокомпенсированную температурную характеристику сопротивления сплавов PdAg, что позволяет расширнть высокотемпературиую область их применення [730].

Для высокотемпературной области (570-1270 К) самым перспективным материалом для тензодатчиков считались PtW8; PtW9,5 (пред-

почтительнее PtW8) (рис. 6.13).

Тензодатчики из этого материала обладают S=4,45; влияние холодной обработки незначительно, стабильность удовлетворительная вплоть до 1070 К [731].

После намотки проволоки диаметром 0,023 мм ВТД отжигают н стабилизируют при  $870~{\rm K}$  в течение  $100~{\rm y}$ . Их  $S\!=\!3.74\!\pm\!0.008$  при допустимых отклонениях 0,126. При 200 ч выдержке в окислительной атмосфере при температуре 870 К изменение сопротивления во времени составляет 14 (мкОм Ом)/ч без значительного изменения т. к.с. и S [732].

Стабильность сплава PtW9 повышается в области температур (770-970 К) за счет иезначительного легирования одним из переходных элементов. Сплав известен под маркой ЛС-22, т. к. с. такого спла-

ва ниже базового [29].

Установлено, что по тензометрическим характеристикам сплавы Pd---Мо превосходят сплавы Pt---W. Однако сопротивление окислению сплавов Pd-Мо недостаточно. Для улучшения сопротивления окислению в сплавы Pd--Мо введена Pt и получены сплавы, значительно превосходящие Pt-W, в частности сплав 45 % Pd-45 % Pt-10 % Mo.

### 6.5. Магниты

Сплавы системы Со-Рt. Наиболее высокой Нс (до 430 кА/м) обладают Co-Pt сплавы приблизительно стехиометрического состава при  $(BH)_{\text{max}} = 75 \div 90 \text{ к} \hat{\Pi}$ ж/м³, а также монокристаллы  $(H_c = 560 \text{ кA/м}).$ 

В СССР изготавливают сплавы типа ПлК-76 и ПлК-78 в виде прутков и полос. Высокаи пластичность этих сплавов позволяет изготовлять из них детали практически любой конфигурации. Техническими условнями регламентируется состав: (76,5-79,5) % Рt, остальное Со [733—735].

За рубежом готовят сплавы-аналоги: в Англии — марки Плати-

накс П. в Японии — Коплакс 50.

В сплаве Со-Рt, близком эквиатомному составу, максимальные значения  $H_c$  соответствуют состояниям с упорядоченной фазой. Двухступенчатый отжиг по режиму 700°C (10-5) мин+600°C 2 ч или 700°C (3-5) мин+600°С 5 ч улучшает магнитные свойства в большей степени по сравнению с одноступенчатым отпуском за счет получения на первой ступени отпуска однородной структуры и повышения степени дальнего порядка на второй ступени.

Результаты намагничивания приведены в табл. 6.23. Повышение магнитных свойств Co-Pt сплава достигается и при следующем режиме обработки: нагрев сплава до 1000—1200 °C, быстрое охлаждение со скоростью 10—150 °С/мин до 700—750 °С, выдержка при этой температуре 10 мин, дальнейшее охлаждение до комнатной температуры и последующий многоступенчатый отжиг в интервале температур 630-

500 °C.

При такой термообработке достнгаются следующие магнитные свойства:  $B_r = 0.7$  Тл;  $H_c = 434$  кА/м;  $(BH)_{\text{max}} = 104$  кДж/м³ (табл. 6.24).

Высоких магнитных характеристик достигают при сложном легировании сплава Co-Pt с последующей оптимальной термообработкой [734].

*ТАБЛИЦА 6.23* МАГНИТНОМ ПОЛЕ≫1580 КА/м [734, с. 183] .

	20 (101) m					-	
Состав сплава, % (ат.)	( <i>B</i> H) <sub>тах</sub> , кдж/м³	Вг, Тл	$H_c$ , $\kappa A/M$	B <sub>d</sub> . Tn	$H_{d}$ , KA/M $\mu_{r}$	αB,%/°C	<b>T</b> K, °C
Pt—(51—52) Со Близкий к эквиатомному Pt—50Со—(2—5) Pd	80—93,6 73,6 76—84	0,70 <u>0</u> ,79 0,64 0,62 <u>0</u> ,72	221,2—308,1 379,2 316—395	0,34—0,50	$ \begin{array}{c ccccccccccccccccccccccccccccccccccc$	1,2 0,042	520—530 500 550
$^*$ $\alpha$ $_{ m B}$ , $\%$ $^{ m C}$ — среднее значение температурного коэффнцнента магнитной индукцин при нагреве до 100 $^{\circ}$ С.	чение темпе	ратурного коэфф	ицнента магнит	ной индукцин г	гри нагреве до 100°С		
ХИМИЧЕСКИЙ СОСТАВ И МАГНИТНЫЕ СВОЙСТВА СПЛАВОВ НА ОСНОВЕСИСТЕМЫ РІ—С $_0$ ПОСЛЕ ТЕРМИЧЕСКОЙ ОБРАБОТКИ ПРИ $(BH)_{ m max}=72~{ m kJk/m}^3$ [734, с. 188]	МАГНИТНЫ ах =72 кДж/м	E СВОЙСТВА С 1 <sup>3</sup> [734, с. 188]	ллавов на с	основе систе	ЖЫ Рt—С∘ ПОСЛЕ	ТЕРМИЧЕСКОЙ	ЦА 6.24
Состав сплава, % (ат.)		<i>Н<sub>с</sub>,</i> кА/м	В, Тл	( <i>B</i> H) <sub>max</sub> , кДж/м³	Терми	Термическая обработка	
Pt-51,5Co		309	0,79	93,6	Изотермическа	Изотермическая закалка с 1000 до	от 000
Pt-51Co		395—410,8	0,72	96—100	600°С с выдер Изотермическа 630—790°С±0	600°С с выдержкой 15—50 мин Изотермическая закалка с 1000 до 630—790°С додпуск при 690°С 90—	000 Ho
Pt-50Co-(2-5) Pd		316—395	0,62-0,72	76—84	60 мин Охлажление 20°С/мин с 10	60 мин Охлажление со скоростью 15— 20 °C/мин с 1000 до 600 °C, выдерж-	с, 23 15— ыдерж-
Pt-(40-45) Co-(5-10) Fe Pt-(20-50) Co-(5-10) Fe		331—8—379,2 316—347,6	0,74	38—96 84	ка 1—5 ч Изотермическа	ка 1—5 ч — — Наотермическая закадка с 900	900 до
Pt-44,5Co-5,0Fe-1,0-Ni Pt-44,5Co-5,0Fe-1,0Ni и 0,5CuO	0,5CuO	316—347,6	0,77—0,80	108 116	To we	ozo C+onyck npa ovo650°C To жe *	ر

Сплавы системы Fe-Pd. Сплавы Fe-Pd вблизи эквиатомного состава относятся к типу упорядоченных сплавов (CuAu1). Деформация перед отпуском позволяет избежать быстрого роста зерен и получать  $H_c = 63.2 \div 79$  кА/м при  $B_r = 1.0$  Тл и  $(BH)_{\rm max} = 30.4$  кДж/м³. Отпуск для получения оптимальных магиитных свойств проводят при температурах около 400 °C после холодной деформации с обжатиями 40-50 % [734, c. 189].

Задача повышения (ВН) тах состоит в одновременном достижении высоких значений коэрцитивиой силы  $H_c$ , остаточной намагниченности и прямоугольной петли гистерезиса. Поскольку высокую  $H_c$  следует ожндать в порошках сплава при приближении их размера к критическому, получены аэрозольные порошки размером 50, 0-70,0 нм сплава Fe-47 % (ат.) Pd. В оптимальном состоянии удельная магнитная энергия изотропного образца равна 36,0 кДж/м3.

При упорядочении структуры сплава Fe-47Pd из аэрозольного порошка, спрессованного одноосной сжимающей нагрузкой (300 МПа), формируется аксиальная кристаллографическая текстура в направлении [001]

Использование сплава в виде порошка с размером частиц, близким к критическому размеру абсолютной однодоменности, при наличии в нем кристаллографической и связанной с ней магнитной текстуры позволяет получить повышенное по сравнению с изотропным значение остаточной индукции и увеличить максимальную удельную магнитную энергию сплава до 64 кДж/м<sup>3</sup> [733-735].

## 6.6. Упругие элементы

В приборостроении широко используются различные упругие элементы — торсионы, подвесы, растяжки, пружины, вибраторные ленты, большую часть которых изготавливают из тонкой проволоки.

Растяжки, широко применяемые в настоящее время в электроприборостроении в качестве опор подвижной части измерительного механизма приборов, представляют собой тончайшие ленты, сечение которых измеряется в микрометрах. Толщина растяжек составляет 3-10-3- $3 \cdot 10^{-2}$  мм, сечение  $2 \cdot 10^{-4} - 2 \cdot 10^{-2}$  мм<sup>2</sup>.

Растяжки современных приборов в зависимости от условий эксплуатации наряду с высокими значениями прочности и сопротивления малым пластическим деформациям должны обладать стабильностью физико-механических свойств во времени при высоких температурах, высокой динамической прочностью при ударах и вибрациях, иметь низкое удельное электрическое сопротивление или малую т. э. д. с.

Желательно, чтобы перед плющением проволока имела  $\sigma_{\scriptscriptstyle B}$  не менее 2000 МПа, о не более 0,3 мкОм м; для повышения чувствительности прибора желательно малое упругое последействие при кручении (в < ≪0.05 % от угла закручивания).

Область применения растяжек обширна; от гальванометров, пирометров, тахометров до прецизионных приборов и микровесов включи-

Пля прецизионных приборов применяют растяжки из сплава Pt— Ag, обладающие вполне удовлетворительными свойствами:  $\sigma_{\rm B} =$ =2000 MПa;  $\sigma_{n\pi}$ =1600 МПa; E=175000 МПa; G=70000 МПa;  $\alpha$ =2,5×  $\times 10^{-4}$  град<sup>-1</sup>;  $\rho$ =0,3 мкОм·м; т. к. с.= $10 \cdot 10^{-4}$  град<sup>-1</sup>, т. э. д. с. в паре с Си составляет 8 мкВ/°С [29].

В процессе плавки сплавов происходят потери серебра из-за избирательного испарения, а при волочении и плющении проволоки в ленту наблюдается ее расщепление. Эти недостатки уменьшаются за счет

ЛЕГКОПЛАВКИЕ ПРИПОИ, СОДЕРЖАЩИЕ СЕРЕБРО [737]

сужения интервала кристаллизации сплава при его дополнительном легированни [736].

Исследование физико-механических свойств Ni—Pt сплава эквиатомного состава при различых условиях его упорядования положило

Исследование физико-механических свойств Ni—Pt сплава эквиатомного состава при различых условиях его упорядочения позволило установить оптимальный режим обработки и получить материал, удовлетворяющий требованиям, предъявляемым к растяжкам.

Сравнительные характеристики двух сплавов приведены ниже

[736]:

Сплав		<i>М</i> , мН∙м/90°	R.	Ом	Т. э. д. с., мВ/град	β, %	σ <sub>в</sub> , MΠa	$H_{\mu}$ . МПа
Pt—23 % Ni Pt—20 % Ag	•	245 245		2,0 2,0	0,7 8,0	0,04 0,05— 0,08	4812 4900	5390 5390

Примечание. М — противодействующий момент.

Свойства сплава Ni—Pt близки свойствам сплава Pt—Ag, но характеристики упругого последействия и т. э. д. с. в паре с медью зна-

чительно лучше [736].

Поскольку проволока для плющения должна быть не только высокопрочной, но и достаточно пластичной, необходимо получить сплав с мелкозернистой структурой. Это достигается одновременным прохождением процессов рекристаллизации и упорядочения при изотермических выдержках при температуре несколько ниже критической температуры упорядочения.

Свойства сплавов, применяющихся для изготовления растяжек за

рубежом, приведены ниже:

Сплав	d, кг/м³	<b>Е,</b> МПа	ბ, %	$\sigma_{_{\mathbf{B}}}$ , МПа	G. M∏a	о, мкОм м	Т. э. д. с. мкВ/град
Pt—Ni .	19 080	205 800	1,0	1362	73 500	0,28	+7,0
Pt—Ag .	18 450	156 800	2,5	1862	65 080	0,44	+69
Pt—Ir .	21 800	235 200	1,6	2058	83 700	0,35	+4,8
Au—Ni .	15 620	98 000	2,0	1666	39 200	0,34	-66,0

<sup>\*</sup> В паре с медью.

Типы и основные параметры растяжек, изготовляемых в СССР, приведены в ГОСТе.

# **6.7.** Припои

Классификация припоев

Припои или на основе благородных металлов, или содержащие их в своем составе, классифицируют на легкоплавкие ( $T_{n\pi} < 450$  °C), среднеплавкие ( $T_{n\pi} < 1000$  °C) и тугоплавкие ( $T_{n\pi} > 1000$  °C).

Легкоплавкие припои

Припои In—Ag применяют для пайки золота в электронной технике, Sn—Ag — для пайки меди, иикеля, медноникелевых сплавов, Pb—Ag—при ремонте автомобильных кузовов. Легкоплавкие припои, содержащие Ag, приведены в табл. 6.25, а свойства легкоплавких припоев для пайки керамики — в табл. 6.26.

Легкоплавкие припои на основе золота (табл. 6.27) обладают высокой коррозионной стойкостью, и большую их часть применяют для

пайки интегральных схем.

Состав, % (по массе)	Т <sub>пл</sub> , °С	Состав, % (по массе)	Т пл.°С
96Sn—4Ag	221	90In—10Ag	230
97Sn—3Ag	225	80In—15Pb—5Ag	157
94,5Pb—5,5Ag	309	50In—30Sn—19Pb—1Ag	215
10Sn—88Pb—2Ag	265	5In—90Pb—5Ag	292
1Sn—97,5Pb—1,5Ag	309	60Sn—36Pb—4Ag	178
5Sn—90Pb—5Ag	292	50Sn—46Pb—4Ag	178

Среднеплавкие припои

Среднеплавкие серебряные припои предназначены для пайки меди, медноникелевых сплавов, никеля, ковара, нейзильбера, латуней и бронз, а также ковара со сталью, стали с медью и ее сплавами, меди с нике-

СВОИСТВА ЛЕГКОПЛАВКИХ ПРИПОЕВ ДЛЯ ПАЙКИ КЕРАМИКИ [37, 737]

Состав, % (по массе)	<i>T</i> <sub>пл</sub> , °C	d⋅103, Kr/m³	нв, мпа
95Sn—5Ag 96,5Sn—3,5Ag—1Cd 88Sn—10Cd—2Ag 90Sn—10Ag 60Sn—36Pb—4Ag 50Sn—46Pb—4Ag 70Pb—27Sn—3Ag 95Pb—5Ag 97,5Pb—2,5Ag—1,5In 98,5Pb—1,5Ag—1,5Sn 97,3Pb—1,7Ag—1Zn 67Cd—23Zn—10Ag 73Cd—22Zn—5Ag 69Cd—30Zn—1Ag	221—245 221 220 205—250 221—295 178—180 178—210 173—246 304—365 304 304 304—314 304—310 320—350 270—380 270—390	7,3 7,3 7,4 7,5 8,5 8,9 9,7 11,2 11,1 11,0 11,5 11,5 11,3 8,4 8,3 8,3	150 150 170 250 190 160 150 120 100 100 90 110 60 600 600 450

ЛЕГКОПЛАВКИЕ ЗОЛОТЫЕ ПРИПОИ [3, 737]

 $T_{\Pi \Pi}$ , °C Состав, % (по массе) Состав, % (по массе)  $T_{\rm HJI}$ , °C 15Au-85Pb 215 84Au-16Ga 341 10Au-90Sn 217 75Au---25Sn 360 18Au--82Bi 241 94Au--6Si 370 80Au-20Sn 280 17Au-83Te 416 32Au--68Sn 283 88Au-12Ge 356 13Au-87Cd 309 73Au—27S⊓ 451

ТАБЛИЦА 6.27

<sup>&#</sup>x27; Видно, что ни один из сплавов не обладает комплексом свойств, необходимых для растяжек.

тугоплавкие припои

ТАБЛИЦА 6.28 ТЕМПЕРАТУРА ПЛАВЛЕНИЯ И ПАЙКИ СЕРЕБРЯНЫХ ПРИПОЕВ [7, 735]

	$T_{ m sol}$ , °C	Tiig. °C	T <sub>H</sub> , °C	Марка припоя	rsol, °C	Tlig, °C	$T_{\mathrm{H}}^{}$ , °C
ПСp92 ПСp72 ПСp71 ПСpMo68-27,5 ПСp67 ПСp65	779 779 750 655 779 695 650 779	890 779 795 765 805 722 723 860	899— 982 780— 805— 900— 730— 770 870	ПСр50 ПСрКМ50-34-16 ПСрМЦК45-15 ПСр40 ПСр37,5 ПСр25 ПСр25ф ПСр15	779 630 615 590 725 740 645 640 822	860 685 615 610 810 775 725 810 850	870 

лированиым вольфрамом, нержавеющей и жаропрочной сталью. Температуры плавления ( $T_{sol}$ ,  $T_{lig}$ ) и пайки ( $T_{n}$ ) стандартных среднеплавких припоев приведены в табл. 6.28.

припои на основе золота

Содержание, % (по массе)

25

22

35

20

64

62

78

\_\_\_

8,9

3

27

ТАБЛИЦА 6.29

d. 10-3,

\_\_\_

\_\_\_

14.9

15,4

12,5

10,9

1050

955

850

1040

### $T_{\Pi}$ , °C $T_{\Pi\Pi}$ , °C кг/ма прочие Ni Au 18,8 965--970 1030 95 5 18,65 935-940 990 90 10 17.74 910 910 20 80 17,21 920 910-914 75 25 15.1 955-970 1000 50 50 950 16,0 950 17.5 82,5 14,6 1020 950--990 25 75 13,5 965-1075 1090 65 35 18,7 830 647 - 8305 In 95 \_ 630 550-630 20 In 80 925 905-910 1Fe 19 80 930 15,5 885-896 20 5Ag 75 980

5Pd

6Cr

1,0 Cr, 0,1B

5 In

20 Ag

2 In

940-967

975-1038

960-980

860-900

990-1010

973-1029

975 - 1025

**₹** 835—845

		0/ /		IJABKAL III I			
	Содержа	ние. % (	no mace		T <sub>sol</sub> , °C	T <sub>lig</sub> , °C	T <sub>Π</sub> , °C
Ag	Pd	Cu	Λu	прочие			
68.4 65 64 70 —	26,6 15 33 30 36 15 60 21 18 20	5 20  34  82  60	- - 30 51 - - 5	3 Mn — 34 Ni — 40 Ni 31 Mn, 48Ni — 75Pt 40Pt	807 805 1180 1150 1100 998 1237 1120 1080 1645 1200	810 900 1200 1200 1120 1031 1237 1120 1080 1695 1250	815 905 1220 1200 1120 1040 1250 1125 1095 1710 1260
сплав на ос 1000 ° нике	ы Аи—Си нове этил С. Приме для пайки	или А с сист няются детало гали, Паяные	u—Ni ем и в в эле ей из молиб е соеди	а основе Au либо трех- и имеют темпе жтронике, авы меди, никеля дена, вольфр инения отлича	п многокол ратуру г иационной и их спла	плавления и космичавов, углер	от 800 до еской тех- родистой и абл. 6.29)

стойкостью к окислению. Тигоплавкие припои Для пайки жаропрочных сталей, никелевых сплавов, бериллия, молибдена, циркония, вольфрама применяют припои на основе серебра, пал-

ладия, реже золота и платины (табл. 6.30). Эксплуатационные характеристики паяных соединений при повышенных температурах зависят не только от состава припоя и паяемого материала, но определяются также диффузионными процессами в зоне пайки, способными усилить или ослабить паяное соединение.

# 6.8. Материалы для микроэлектроники

Мнкроэлектроника — отрасль науки и техники, изделия которой используются в самых различных областях иародного хозяйства. Прогресс современной микроэлектроники неразрывно связан с прогрессом в получении и применении различных материалов, обладающих широким комплексом разнообразных свойств. Разработка новых изделий микроэлектроиики стимулирует создание материалов с иовыми свойствами, а также разработку новых технологических процессов, позволяющих формировать элементы микронных и субмикронных размеров с толщиной пленок и слоев от  $10^{-2}$  до нескольких десятков микрометров.

Разновидности элементов, выполняемых из благородных металлов и их сплавов

С непользованием благородных металлов в настоящее время серийно или в лабораторных условиях изготавливают различиые элементы интегральных схем (ИС) и полупроводниковых приборов, иначе изделий микроэлектроники (ИМЭ). Кроме того, при производстве ИМЭ используют и вспомогательные элементы. Условно их можио разделить на 5 групп (рис. 6.14).

Контакты класса металл—полупроводник в ИС можио разделить на три группы: выпрямляющие контакты (ВК) или контакты с барь-

70

72

68

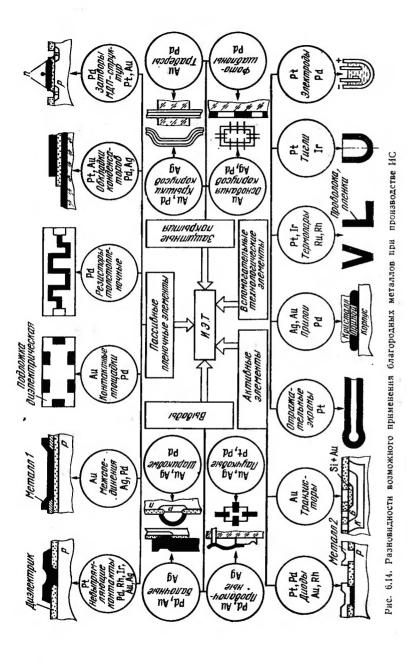
60

60

35

35

20



ером Шоттки, невыпрямляющие контакты (НК) и пассивные контакты (ПК). ВК образуются, если  $\phi_{\rm M} > \phi_{\rm пп}$  n-типа и если  $\phi_{\rm M} < \phi_{\rm пп}$  p-типа, причем по концепции Шоттки высота барьера определяется только как разность абсолютных значений  $\phi_{\rm M}$  и  $\phi_{\rm пп}$ . В реальных же контактах на высоту барьеров ВК оказывают влияние поверхностные состояния полупроводника, наличие в зоне контакта диэлектрической прослойки и силы зеркального изображения, которые определяют механизм прохождения тока через контакт: термоэлектронная эмиссия носителей над барьером, термополевая эмиссия, полевая эмиссия (туннелирование), рекомбинация носителей в области объемного заряда полупроводника или их сочетания.

Создание ВК связано с большими трудностями, прежде всего с выбором металла, подготовкой поверхностн полупроводника, выбором метода нанесения металлической пленки и обеспечением режимов формирования проводящего слоя (ПС) заданной протяженности и состава.

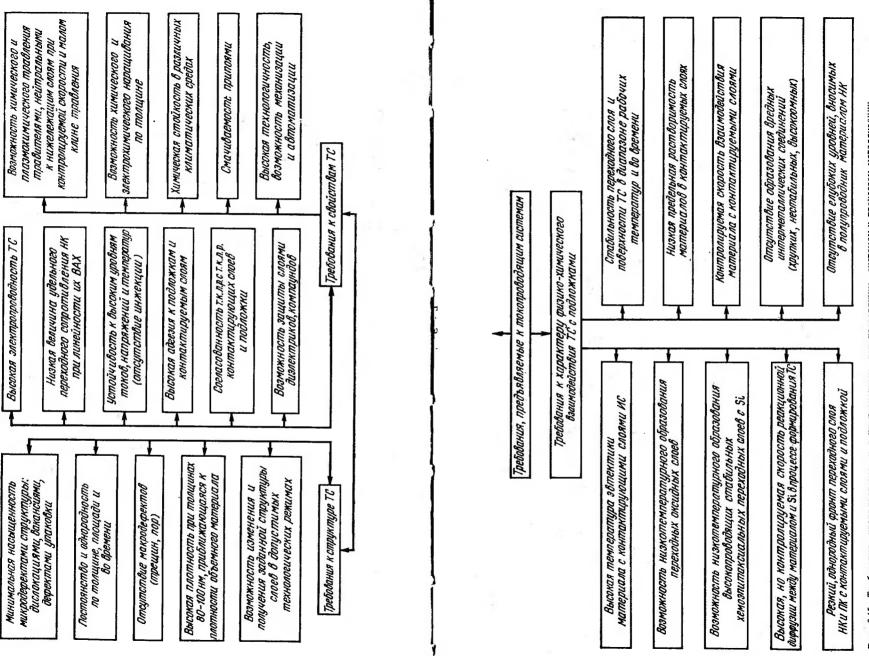
НК — элемент, состоящий из полупроводника (резистора, металла) и слоя металла (сплава, химического соединения) и обеспечивающий прохождение электрического тока без заметного падения напряжения, без эффектов выпрямления и накопления зарядов, а связь между током и напряжением на нем выражается линейным законом и не зависит от полярности приложенного напряжения в широком диапазоне уровней энергии и длительности протекающих токов. Как правило, НК образуется между металлом и полупроводником, если  $\phi_N < \phi_{nm} n$ -типа,  $\phi_N > \phi_{nn} p$ -типа. Необходимо, чтобы удельное переходное сопротивление НК лежало в пределах  $\sim 10^{-9} — 10^{-10}$  Ом·м². Низкоомные НК получают легированием приконтактных областей полупроводника примесями того же типа проводимости до концентрации  $1 \cdot 10^{25} — 1 \cdot 10^{27}$  м<sup>-3</sup>, созданием большого числа рекомбинационных центров в приповерхностном слое полупроводника и подбором металлов с указанными выше соотношениями работ выхода для n- и p-областей.

Помимо ВК и НК, в ИС подавляющую часть площади (~80 %) занимают пассивиые контакты (ПК), образованные между нижним слоем пленочной токопроводящей системы (ТС) и слоем диэлектрика, толщина которого достаточно велика и обеспечивает исчезающе малое действие электрического поля на полупроводник. Электрический ток (кроме тока утечки) через эти контакты не проходит. В процессе эксплуатации ПК должны иметь высокое стабильное электрическое сопротивление, приближающееся по величине к сопротивлению диэлектрика, а также высокие характеристики надежности, определяемые адгезией токопроводящих систем к диэлектрику и характером физико-химического взаимодействия металла с диэлектриком в течение времени

эксплуатации и хранения [751].

По требованиям, предъявляемым к ИМЭ, для тонкопленочных элементов подходят легкоплавкие Al, In, (Al-Si), (Al-Cu), Al-Mg, тугоплавкие переходные Мо, W, Ti, (Ti-W) и другие металлы (сплавы), благородные тугоплавкие металлы, сплавы, твердые растворы и химические соединения на их основе; для НК и ВК—Рd, Pt, Ru, Rh, Ir, Os, (Pd-Ti), (Pd-V), образующие химические соединения с полупроводниками; для межсоединений — высокопроводящие Au, Ag, реже Pd; для резисторов — (Pd-W) и сплавы с химически активными, способными к окислению при невысоких температурах добавками; для кондеисаторов и затворов МДП-структур (металл—диэлектрик—полупроводник)—высокопроводящие, не взаимодействующие с диэлектриками материалы

Благородные металлы находят применение при создании активных высокочастотных элементов ИС, таких как диоды Шоттки и транзисто-



системам и процессам металлизации токопроводящим 6.15. Требования, предъявляемые к тонкопленочным Рис.

ры, при формировании которых в полупроводники вводят, например, атомы Ан с большим радиусом захвата носителей заряда.

Требования, предъявляемые к тонкопленочным

токопроводящим системам и процессам металлизации

Необходимый комплекс свойств, которому должны удовлетворять материалы токопроводящих систем, в общем виде приведен на рис. 6.15. Особенности благородных металлов, определяющие

их применение в микроэлектронике.

Физико-химические основы выбора металлов

Особое место в производстве ИМЭ занимают благородные металлы и их сплавы. Это определяется их свойствами: высокой коррозионной стойкостью в различных условиях изготовления и эксплуатации ИС, высокой прочностью при одновремениой пластичности, хорошей технологичностью при получении элементов в виде микрониых слоев, аномально высокой скоростью диффузии в полупроводники. Теплопроводность, электропроводность и работа выхода благородных металлов и сплавов имеют широкий диапазон значений, определяемый энергетическим состоянием электронов в кристаллической решетке и оцениваемый такими физическими параметрами, как иоиизационный потенциал, температура плавления, температура рекристаллизации, т. к. л. р., модуль упругости, временное сопротивление, энергия активации диффузии и самодиффузии, теплота сублимации и др. Переходные благородные металлы имеют более высокое электрическое сопротивление по сравнению, например, с Ан и Ад. Величину сопротивления благородных металлов возможно изменять путем введения легирующих добавок, что в свою очередь дает возможность управлять их физическими и химическими свойствами [786, 787].

Изменение температуры при изготовлении и эксплуатации элементов ИМЭ (1073—213 К) вызывает изменение термического коэффициента линейного расширения в широких пределах для ряда металлов. Особые трудности при выборе материалов токопроводящих систем с физической точки зрения связаны с получением материалов с заданным соотношением работ выхода полупроводника различной степени легирования и металла. Исходя из этого, такие металлы, как Al, Au, Ag, Cu и др., должны образовывать НК с n-полупроводниками, а металла исходя из этого образовывать на предоставления и металлы образовывать на предоставления и металлы образовывать на предоставления и металлы образовывать на предоставления и металлы исходя из этого образовывать на предоставления и металлы исходя из этого образовывать на предоставления и металлы

таллы Pd, Pt, Ni и др.—с р-полупроводниками.

•Однако экспериментальные результаты для большинства полупроводников как п-, так и р-типа не подтверждают эту простую модель, в которой не учитывается ряд факторов, проявляющихся в реальных структурах [790]. Кроме того, высота барьера от эксперимента к эксперименту изменяется. Таким образом, при выборе металлов необходимо, кроме работ выхода полупроводника и металла, учитывать состоянне поверхности (зеркальность) и свойства материалов в различных средах (газы, кислоты, щелочи, твердые тела при высоких температурах) как в процессе формирования соединений, так и в процессе эксплуатации ИМЭ (колебания температур в диапазоне 213-432 К, взаимодействие с остатками кислот, щелочей, морской туман, высокие уровни электрической энергии и др.). Кроме того, такие благородные металлы, как Pt, Pd, Ir, Rh, Ru, Os, в результате физико-химического взаимодействия с широко распространенными в микроэлектронике полупроводниками Ge и Si образуют стабильные в рабочем диапазоне температур химические соединения — германиды и силициды, обладающие в основном металлическим типом проводимости [785, 790]. Силициды и германиды также выполняют функции буферных слоев, препятствующих диффузии из вышележащих слоев и выводов, например, такнх металлов, как Au, Al. Применение Au и Ag обусловлено их высокой коррозионной стойкостью, теплопроводностью, иизким контактным со-

Силнцид	Температ ура формирова- ния, К	Энергия активации ростав, эВ	Механизы роста сили- цидов	Структура	Температура плавления, К	Прочне свойства	литера- тура
Pd4Si Pd2Si	770 373—973	1,3—1,5	Диффузион- ный	Гекс. Fe2P	1603	Обладает свойствами металлов; $n_e = 4 \cdot 10^{21}$ см $^{-3}$ ;	[816]
PdSi	>573	1,5	Днффузион- ный	Днффузион- Орторомб. МпР ный	1373	$\mu = 50 \text{ cm}^2 \text{ B}^{-1}\text{c}^{-1};$ $\rho = 3.7 \cdot 10^{-3} \text{ OM} \cdot \text{cm};$ $\phi_B = 0.73 \div 0.76 \text{ 9B};$ $\phi = 3.1 \cdot 10^{-5} \text{ OM} \cdot \text{cm};$ $\phi_B = 0.69 \text{ 9B};$	[748]
Pt <sub>2</sub> Si <sub>3</sub>		1	1	Метастабильная фаза	1 5	Может быть получена им- плантацией	[816]
Pt <sub>2</sub> Si PtSi	>973	1, I—1, 6 1, 6	Диффузион- ный Диффузион-	Terparoн. CuAl <sub>2</sub> Орторомб. MnP	1373	$\phi_{B} = 0.75 \div 0.83 \text{ 3B};$ $\phi_{B} = 0.75 \div 0.81 \text{ 3B};$ $\phi_{B} = 0.75 \div 0.85 \text{ 3B};$	[808] [811]
Rh <sub>3</sub> Si <sub>2</sub>	1170—1200	1,73—2,0	ный	1	l	Фаза стабильна до T<	[810]
RhSi IrSi <sub>1,75</sub> IrSi	650 770—1220 570—770	2,1 1,9	111	— — Нарастает неорн-	11.	<ul> <li>(1300 A)</li> <li>(φ<sub>s</sub> = 0,69 3B)</li> <li>(1300 A)</li> </ul>	[816] [814]
IrSi3	1270	ಣ	1	ентированно на подложке Si(100), (111)	ı	1	[816]

противлением, низким модулем нормальной упругости, хорошей смачиваемостью припоями, хорошей способностью к диффузиониой сварке, возможностью химического и электрохимического доращивания по толщине и рядом других свойств [748]. Свойства силицидов большинства благородных металлов, используемых в ИМЭ, приведены в табл. 6.31.

В связи с дефицитностью благородных металлов в последнее время иаметились тенденции сокращения объемов их использования в производстве ИМЭ за счет уменьшения толщины пленок, селективной металлизации, частичной или полной замены сплавами с меньшим содержанием благородных металлов или неблагородиыми металлами [804]. Токопроводящие системы

на основе благородных металлов

Токопроводящие системы в зависимости от функционального назначения ИМЭ изготавливают однослойными, многослойными и многоуровневыми. Каждый слой такой системы выполняет одну или несколько функций. Как правило, нижний слой обеспечивает высокую адгезию к участкам диэлектрика и полупроводника и образует контакт металл—полупроводник с заданными свойствами. В зависимости от природы металла и полупроводника возможно образование широкой гаммы контактиых слоев (рис. 6.16)

Другие слои выполняют фуикции барьеров между легкодиффундирующими материалами и обеспечивают высокую электропроводность, коррозионную стойкость и др. Разновидности токопроводящих систем с использованием благородных металлов и условия их формирования

приведены в табл. 6.32.

Продуктами физико-химического взаимодействия контактирующих материалов являются переходные слои, отличающиеся по составу и свойствам как от подложки, так и от исходной пленки. Структура, протяженность и концентрация примесей переходных слоев и характер их срастания с подложкой и исходной пленкой определяют свойства контактов, а следовательно, и ИМЭ. В современных полупроводниковых приборах и ИС, преобразующих значительные уровии электрической энергии, работающих на высоких частотах и имеющих тонкопленочные элементы микронных и субмкрониых размеров и повышенную надежность, вместо металлов А1, Аg, Аu, ие образующих с Si химических соединений, все чаще используют силицидообразующие материалы Pd, W, Mo, Ti, V, Pt, Zr, Ta, Nb и сплавы на их основе [783, 788, 789]. Защитные покрытия, выводы и вспомогательные элементы интегральных схем на основе благородных металлов

Для механического закрепления кристаллов интегральных схем (ИС) в корпусах и их коммутации с внешними цепями, необходимыми элементами являются выводы, припои, прокладки, пленочные покрытия. Их изготавливают из чистых благородных металлов, сплавов на их ос-

нове в виде тонких или толстых пленок.

Наибольшему числу требований для этой группы элементов отве-

чают Au, Ag, Pd (табл. 6.33).

Ан применяется для защиты от коррозии корпусов ИС и полупроводниковых приборов; создания неразъемных и разъемных электрических контактов; обеспечения теплоотвода; подсоединения выводов пайкой, термокомпрессией или ультразвуковой сваркой; придания ИМЭ декоративного вида. Покрытия из Ан обладают высокой стойкостью в агрессивных средах, не тускнеют и сохраняют блеск, имеют пизкую т.э.д.с., твердость (780—980 МПа) и износостойкость. Однако при толщинах ~6—8 мкм плохо защищают основу корпуса от коррозии из-за пористости. Недостаточна надежиость коитактов Ан—А1 вследствие образования интерметаллических соединений (алюминидов) и растворения Ан в оловянно-свинцовых припоях.

токопроводящие

Токопроводящая снстема	Область примене- ния	Технология получения	Свойства пленок н систем	Лнтера- тура
1	2	ε	4	5
Pt	TIC, AC		$ \phi_B = 0.85 \div 0.87 $ эВ для Pt—n Si. $ \phi_B = 0.25 $ эВ для Pt—p Si.	[743, 744, 780, 784,
		лей. ИР из мншеней, ЭО. Осаж- пение из газовой фазы. ТИ: $v_L \approx 10^{-8} + 10^{-9}$ м/с. $T_I = 498 \div + 673$ К. $p = 10^{-3}$ Па, отжиг в	$\rho_{\rm K} = (0.20 + 0.22) \text{ MKOM} \cdot \text{CM}^2 \text{ LIJR } R.51$ $(N_{\rm D} = 3 \cdot 10^{20} - 1.7 \cdot 10^{21} \text{ cm}^{-3})$ . $\rho_{\rm K} = (0.35 \div + 0.45) \text{ MKOM} \cdot \text{Cm}^2$ $\times 10^{20} \div 1.05 \cdot 10^{21} \text{ cm}^{-3}$ . $\rho_{\rm Pl} = 13 \text{ MKOM} \cdot \text{cm}$	100, 1301
Pt <sub>2</sub> Si	HK	$H_2$ , вакууме $TM: d_{\rm pt} \approx 0,3 \div 0,05$ мкм; О при	$\phi_8 = 0.75 \div 0.85$ эВ для $Pt_2Si - p(n)Si$ .	[747]
PtSi	111K	23 K $\star$ 50 IIM; O IIPH $T=073$ K, $\tau=3.10^{\circ}-$	$E_{\text{Pt}_2 \text{Si}} = 1, 0 \pm 0, 1 \text{ 3.0}$ $\phi_a = 0, 84 \pm 0, 01 \text{ 3B}$ $\pi \pi \text{n} \text{ PtSi} - n \text{ Si}$ $E_{\text{PtSI}} = 1, 5 \pm 0, 1 \text{ 3B}$	[744]
Ρt	ЛП в Si	5,4·10 <sup>3</sup> с Диффузионное насыщение ири 1073—1523 К	Pt создает в Si три акцепториях уровия: $E_{e^{+}}(0.21\pm0.02)$ эВ, $E_{v}+(0.38\pm0.03)$ эВ,	[750]
			$E_v + (0.22 \pm 0.02)$ 35 и один донорный $E_v + (0.27 \pm 0.03)$ 38. $\mu_e \approx 950 (T/300)^{-2}$ ; $\mu_n \approx$	

1 1 4 5

XO: n Si обрабатывается в ф п=0,85±0,03
ЭО: Pt отжнг полученного снлица Pt, ЭЛИ Мо, $p=1,3\times X10^{-5}$ Па, $v_{\rm n}=1\cdot10^{-9}$ м/с, $T_{\rm n}=873~{\rm K}$
HK, IIC, TM: Pt <sub>1</sub> , Ti(Ta), $\dot{p}t_2$ , $d_{pt_4}$ = PtSi—Si — надежный HK; Ti—AДС $\kappa$ SiO <sub>2</sub> ; BB = 10 HM, $d_{pt_2}$ = 500 HM. Au—AC; Pt—BC между Au и Ti(Ta) $7$ = 673 ÷ 1073 K
ЭЛИ: Pt, Mo(W), Au(Al). ЭО: Au, Ag,0 прн T = 623 + 873 К к SiO <sub>2</sub> . При нагреве TC > 1073 К пр дит образование WSis, возникают шенные механнческие напряжения
ИР: Pt, $d_{\rm Pt}=25+50$ нм, $T_{\rm n}=$ PtSi—Si — надежный ннэкоомный = 523 K, 0 при 973 K. ИР: Мо, $d_{\rm Mo}=425$ нм, $A_{\rm u}$ —Pt. Ти: $A_{\rm u}$ , $A_{\rm u}$ —ПС, $A_{\rm C}$ $A_{\rm u}$
ТИ: Ті, Zr, V, Nb, Th, Mo, W, Слой Ті, Та, Nb, W, Mo, Hf, V, Th или Ni Ni и г. д. ТИ или ЭО Pt. образует инзкоомный НК, высокая адге-
О при $T = 573 \div 1073$ К $TM$ : Ti, Pt, Au или TM: Ti, Pt $II$ Ti- $II$ Au или $IM$ : $II$ $II$ $II$ $II$ $II$ $II$ $II$ $I$
ТИ: Ni, Pt, Mo, Au, $d_{\mathbf{Au}} = 100 + 200 \text{ Hm}$ . ЭО: Au, $d_{\mathbf{Au}} = 4200 \text{ Hm}$ .
$\begin{array}{llllllllllllllllllllllllllllllllllll$
ТИ: резистивное испаренне нз $w$ -проволочных испарителей, $w$ -проволочных испарителей, $w$ -проволочных испарителей, $w$ -проволочных испарителей, $w$ -проволочных испарителей, $w$ -проволочных испарителей, $w$ -проволочных испарителей, $w$ -проволочных испарителей, $w$ -проволочных израния $w$ -провольных израния
Диффузионное насыщение при рведичивает $N_p$ . Ра вносит два акценторных уровня: $\Delta E_1 = \Delta E_c - 0.18 \pm 0.02$ эВ и $\Delta E_2 = E_v + 0.34 \pm 0.01$ эВ. После термообработки при $373 \div 1473$ К одновременно с уровнем $E_v = 0.34$ появляется уровень $E_v = -0.17 \pm 0.01$ эВ акцепторного характера.

29\*

te raoa. 6.32	5		, [754, 755, 781, 782, 787, 788]	[377, 794]	[377]	-		*			[757]	[759]	*	[759, 781]	*	
Продолжение	4	Максимальная растворимость Pd в Si составляет $2.9 \cdot 10^{16}$ атомов/см³ при 1473 $K$ . $D_{\rm Pd}$ в Si составляет $10^{-7} \div 10^{-4}$ см²с-1		$\begin{array}{l} V-A \text{MC } \kappa \; \text{SiO}_2, \; (\text{Pd}-\text{V}) - n \text{Si} - \text{HK } \text{c} \; \rho_\kappa = \\ = (4-3) \cdot 10^{-6} \; \text{Om} \cdot \text{cm}^2 \; \text{nph} \; N_D > (1,0+2,5) \times \\ \times 10^{20} \; \text{cm}^{-3}, \; (\text{Pd}-\text{V}) - p \text{Si} - \text{HK } \text{c} \; \rho_\kappa = \\ = (3,5+4,7) \cdot 10^{-4} \; \text{Om} \cdot \text{cm}^2 \; \text{nph} \; N_A > 0,5 \times \\ \times 10^{18} \; \text{cm}^{-3} \cdot 10^{-4} \; \text{Om} \cdot \text{cm}^2 \; \text{nph} \; N_A > 0,5 \times \\ \end{array}$	(Pd—In) — высокая износостойкость (в 14 раз выше, чем у Al), АДС, хорошая смачиваемость припоями, малое рк			Соединение Сг с Рd—Si—HK, Сг—Рd—AДС к SiO <sub>2</sub> и Si. Ag, Au—ПС, AC	Sn(Pd <sub>1</sub> )Si—HK, Pd актнвирует поверх- ность, ПС, АС	- Take	Pd <sub>2</sub> Si—Si—HK, Ті и W—БС между Pd <sub>2</sub> Si и Al, препятствует, образованню интерме-	таллилов типа PdA <sub>13</sub> . 1С стаонлен до 8/3 К Образованне PdSi начналось при облуче- нии ионами Xe+ на границе Pd <sub>2</sub> Si—Si. От- жит при 770+670 К приводит к росту слоя PdSi. р <sub>ръст</sub> ≈ 18 мкОм⋅см	$Cr$ — $A$ ДС $\kappa$ SiO <sub>2</sub> , $R$ ( $Cr$ — $pd$ ) = 0,2 Oм/ $\kappa$ вад-	ПС с <i>K</i> =0,09 ÷ 0,12 Ом/квадрат Сг и V—АДС к Si и SiO <sub>2</sub> , Al стабилизиру- ет леткоокнсляющиеся нижележащие слон и облегчает фотолитографию. Au—ПС, Ni разделяет Au и Al, Pd разделяет Ni и Al пля исключения облазования интермерат.	TI(Cr)—AAC K Si H SiO <sub>2</sub> , Pd—HK N BC	JV JL V. T. T
	ć,		ТИ: Рd, ·d <sub>Pd</sub> = 50 нм. О при Т=473 ¬973 К. ТИ: Al(Au, Pt, Pd, Ni, Ag, Cu). ЭО нли XO: Au, Pt, Pd, Cu, Ni, Ag. ИР: Pd₂Si	ГИ: сплав Рd—V из W тнглей с покрытием из (ТіСг)В2. ЭЛИ, ИПР мншеней. ТИ: Al(Pd)	MP: сплава Pd—In в среде Ar, $p=(1,5+2)\cdot 10^{-2}$ Πa, $v_{\rm H}=3$ HM/c, $T_{\rm Ll}<263$ K		in indefendentementer	TM: Cr, $d_{Cr} = (3+5) \cdot 10^{-8}$ M, $T_{\pi=373} + 473$ K, Pd, $d_{Pd} = 10^{-8}$ M,	= (0.5 + 1.10° м. ЭС: Ag, Au. О при Т=623 К. т=1.8·10° с ЭО: Sn на поверхность Si— SiO <sub>2</sub> , Pd <sub>1</sub> ; удаление Sn н Pd с SiO <sub>2</sub>	3O: Ni на структуру (Sn—Pd), Ο при T=1023 K, τ=240 с в су- хом Ng.	ЭО: РФ», Аg, Кп TИ: Рф, Тi, W, Al, О при <i>T</i> = =573÷673 К	ЭЛИ: Рd на (100) $p$ Si ( $\rho_{S1}$ = = 10 Ом·см). О при $T$ = 523 $K$ , $\tau$ = 1,8·10° с для образования $\rho_{AS}$ ; Имплантания нонов $\chi_{C}$ +	от 4.10 <sup>14</sup> до 3.10 <sup>15</sup> см <sup>-2</sup> ТИ: Сг и Рd, d <sub>(ClPd)</sub> =0,15÷ ÷2,0 мкм	TK: Cr, V, Al, Pd, Ni, Au	TM: Ti(Cr), Pd. Au. $T = 673 \text{ K}$ .	1 0 103 7
	2		HK, IIC, BK c bШ	ПС	HK			110	ПС		ПС	НК	ПС	ПС	11	
52	1		Pd <sub>2</sub> Si — Al(Au, Pt, Pd, Ni, Ag, Cu)	(Pd-V)-AI(Pd)	(Pd—In)		\$	Cr(Ti)—Pd— Ag—Au	Sn—Pd <sub>1</sub> —Ni— Pd <sub>2</sub> (Ag, Rh)		Pd <sub>2</sub> Si—Ti—W—Al	PdSi	(Cr—Pd)	Cr-V-Al-Pd-Ni-Au	Ti (Cr)—Pd—Au	

454				Продолжение	табл. 6.32
4	1	7	, e	4	ro
	SO	ВК с	ЭЛИ: Os, $v_{\rm H}$ =2 нм/с, $p$ ==1·10-4 Па· $d_{\rm Os}$ =200 нм. $T$ ==473 К	Пленки Оs на $n$ Si с ориентацней (111) и (100), $\rho_{S1}$ =0,1÷20 Ом·см нмеют $\phi_{\rm b}$ ==0,790+0,841 эВ. $\phi_{\rm b}$ не зависит от кристаллографической ориентации Si и незначительно увеличивается с увеличением удельного сопротивления Si. Os — ннэкая адгезия к SiO <sub>2</sub>	[792]
	Снлицид Os	ВК с	XO: Оs на Si осаждается в НF с добавлением НСI и OsCl4. Снлнцид Оs образуется при Т≥Ткомн	Фазовый состав пленки силицида Оs не оп- ределен	
	Ru	ВК с БШ	ЭЛИ: Ru, $v_{\rm m} = 2$ нм/с, $p < 1 \times 10^{-4}$ Па, $d_{\rm Ru} = 25$ нм	Пленки Ru на $n$ Si с ориентацией (111) и (100) с $\rho$ =0,1+20 Oм·см ( $N_D$ =9·10 <sup>16</sup> + $\div$ 2,3·10 <sup>14</sup> см <sup>-3</sup> ) имеот $\phi_B$ =0,813+0,866 эВ на $n$ Si с ориентацией (111) и $\phi_B$ =796+ $\div$ 0,867 эВ на $n$ Si с орнентацией (100). Пленки Ru имеют няжую адгезию к SiO <sub>2</sub> , трудно травятся	[160]
	Ru	JITI B Si	Диффузионное насыщенне при 1273÷1553 К	Примесь Ru в Si образует акцепторный уровень $E_c = 0.24 \pm 0.01$ эВ н допориый	
	Rh	ПС, АС, ВК с БШ	ТИ: $T \approx 2303$ К, нз W спиралн, тигли ThO <sub>2</sub> , ZdO <sub>2</sub> , сублимация Rh ленты. $v_{\rm H} = 0.1 + 5.0$ нм/с. ЭЛИ: $0.1 + 10$ нм/с, $p = 10^{-4} \div 10^{-2}$ Па	уровень $E_c = 0,45 \pm 0,02$ эВ $\mathrm{Rh-}n\mathrm{Si}$ с орнентациями (111), (100) и $\rho_{\mathrm{SI}} \approx 2 + 50$ Ом см имеют $\phi_{\mathrm{B}} \approx 780 \div 0,847$ эВ; $\rho_{\mathrm{Rh}} = 4,9$ мкОм см. Пленкн Rh трудно травятся, ннэкая адгезия Rh к SiO <sub>2</sub>	[743, 761, 762]
	í				
	Rh	ЛП в Si	Диффузнонное насыщение при 1273÷1523К	Донорный уровень Rh лежит на $0,3\pm\pm0,03$ ${}_{3}$ а акцепторный — на $0,55\pm\pm0,03$ ${}_{3}$ в ниже дна зоны проводимости. $D_{\rm Rh}$ в Si прн $1273\div1523$ К составляет	[763]
	RhSi	BK c	ТИ: Rh, d <sub>Rh</sub> =225 нм. О при	$10^{-4} + 10^{-6} \text{ cm}^2 \cdot \text{c}^{-1}$ $\text{RhnSi}$ c ophertaunen (111) wheet $\phi_{\text{B}} =$	[762]
	RhSi	BK c BIII	/ = 2/3 К, т = 1,2·10° с ЭЛИ: Rh, d <sub>Rh</sub> = 300 им. О при Т = 550 + 783 К	$=0.70\pm0.01$ 35 Rh—nSi имеет $q_{\rm B}=0.78\pm0.03$ 3B, а Rh <sub>3</sub> Si <sub>4</sub> — $n$ Si— $q_{\rm B}=0.74\pm0.02$ 3B (для $\rho_{\rm SI}=50$ Oм $\times$	[761]
	kh <sub>3</sub> Si <sub>4</sub>	ВК с БШ	ЭЛИ: Rh, $d_{Rh}$ = 300 нм, О при $T = 1179 \cdot 1101$ г	<sup>r</sup> <sub>RhSi</sub> = r <sub>0</sub> exp(—E/kT) E <sub>RhSi</sub> = 1,87±0,14 эВ Rh <sub>3</sub> Si <sub>4</sub> устойчнв до 1309 K	[192]
	Ti(Zr, Nb, Ta, V)— Rh(Ag, Au, Pt, Ni,		HP: Ti(Zr, Nb, Ta, V). HP: HI(Zr, Nb, Ta, V). HP: HH TM: Rh(Ag, Mu, Pt, Ni, C, Mu, Pt,	Ті, Zr, Nb, Та, V—АДС к SiO <sub>2</sub> с ннэкнм рк	[792]
	PCu) Ir	ПС	×	Ir—AC, устойчив к окисленню при повы- шенных Т. Невысокая адгезия Ir к SiO <sub>2</sub> ,	[764]
	IrSi	ВК с БШ	3.7 II. $n$ , $n=2$ HM/c, $p=1 \times 10^{-6}$ Ha, $d_{11} = 200$ HM. O $np$	ірудно приваривать Ан выводы ІгЅі—ст. — 0,93±0,03 эВ. Теплота образования ІгЅі~69 кДж/моль. Фактор ие-илеальностн ВАХ = 1,02+1,03	[764]
	Ir <sub>2</sub> Si <sub>3</sub>	ВК с БШ	$I = 575 \text{ K}, T = 2.1 \cdot 10^{\circ} \text{ C}$ $= 3.71 \text{ H};  \text{Ir},  v_{\text{H}} = 2  \text{HM/C},  p = 1 \cdot 10^{\circ} \text{ Ha},  d_{\text{Ir}} = 200  \text{HM},  T = 775 \text{ V}.$	$[\Gamma_2S_{13} - S_1 - \varphi_{18} \approx 0.85 \text{ 3B. Фактор неидеаль-}$ ности BAX $n = 1.03 \div 1.21$ на $nS_1$ с ориентацией (111) н (100) и $\rho_{S_1} = 10$ Ом.см	[292]
	IrSi <sub>3</sub>	BK c BIII	I = I + I + I + I + I + I + I + I + I +	lrSi <sub>3</sub> —Si ( $\rho_{Si}$ = 10 Om·cm) — $\phi_{s}$ = 0,91÷ +0,94 3B, параметры решеткн IrSi <sub>3</sub> : $a$ = 0,426, $c$ = 0,643 нм, $c/a$ = 1,51,	[765]
45	Ag	ПС, АС	ТИ: $T_{uen} = 1903$ К, испарнтели из W, Mo, C ИР, $T_{uen} = 1903$ К, испарнтели $T_{uen} = 1.5 + 15$ нм/с, $T_{uen} = 1.5 + 15$ нм/с,	структура гексагональная $Ag$ —ПС, инжая адгезия к Si и SiO <sub>2</sub> . В $Ag$ —Si не образуются химические со-сдинения. $D \approx 5.0 \cdot 10^{-7}$ — $5.0 \cdot 10^{-6}$ см <sup>2</sup> C <sup>-1</sup>	[743, 792*³]
5	Ī	_	1 =3/3÷0/3 N	npH 12/3÷1553 N	

TUOA. 0.02	29	[792]	<b>4</b> *	*6 [768]	[766]	* * *	[287]	₩ *			[767]	769, 774, 779]	[770]	[773]	[775]	[793]	[793]	
проотиськие	4	Ті(Zr. Mo, Nb. Ta, Th. W. V) реагирует с SiO <sub>2</sub> с образованием оксида или силицида металла. Ag—ПС обеспечивает сборочные		Сплав имеет ТКЛР=9,6·10-6÷1,04X X10-5 см/град, хорошо паяется $\rho_{\kappa}$ =6,56·10-3 Ом·см-2 на GaAs, $\rho$ GaAs== =1,85 Ом·см	ТС обеспечивает неинжектирующий НК к $n\mathrm{Si},  \rho \!$		51—(М0—5—50 % NI)—НК за счет образо- вания силнцида Ni при вжигании. Аg—ПС	Si(NiСг) обеспечивает НК, (NiСгАg) увеличивает адгезию Ag, AgПС и AC		_		кн. $\rho_{Au} = 2,44$ мкОм.см, ТКЛР = 14 X X10-6 град-1. Ап—Si: $\phi_B^n = 0,34$ эВ н $\phi_B^n = -0.81$ эВ. Пленкн Аи имеот нняхую адгелно к Si н SiO <sub>2</sub> , образуют интерметаллятесткие соединения Au <sub>2</sub> Al, AuAl, Au <sub>5</sub> Al <sub>2</sub> , Au <sub>4</sub> Al		рассасывання заряда Ст.—АДС к Si н SiO <sub>2</sub> , Au.—ПС, АС. При термообработке (Т≈520 К) происходит		Au, образует НК прн образовании эвтекти- ки с Si, слой Al—AДС к SiO <sub>2</sub> , Au <sub>2</sub> —ПС и облегчает пайку припоямн Au—Sn или Au—Sb	Та <sub>1</sub> —БС между Ац н Si, ПС. Та <sub>2</sub> препятствует электромитрации н коррозни. ТС в <b>ы</b> -	Aephabaet j≈0:10' A/cm'
,	, es	ЭЛИ или ИР: Ті(Zr, Nb, Та, Mo, Th, W, V), $d_{Mt} = 25 \text{ нм.}$ ТИ и ЭЭ: Ag, $d_{Ag} \approx 1 \text{ мкм.}$	U uph $A > 473$ K, Ho HHWE $I_{abr}$ TII: Al, Ag, Cr, $T_{m} = 423$ K, $d_{A1} = 20$ HW, $d_{Ag} = 300$ HW, $d_{Gr} = 150$ HW.	БН: стекло «Цирекс», Ст. Ni Вплавление таблетки сплава Ag—Si—Mo в Si XO: Ag, Sn. In. О при <i>T</i> ≈ 673÷873 К	TK: $(Au-Sb)$ , Ag, Au, O $nph$ $T=923$ K, $\tau=30$ c TK: V $\mu$ Ag, $\rho \simeq 1 \cdot 10^{-3}$ $\Pi a$ ,	TM: Fe, Ag, d Fe = 25 HM, dAg ≈ ≈ 250 HM	$T=823 \text{ K}$ , $\tau=300 \text{ c}$ . TM- $\tau=100 \text{ c}$ .	TM: (Ni—Cr), (Ni—Cr—Ag), Ag; $d_{\text{Ni}—Cr} = 50+100 \text{ HM},$ $d_{\text{Ni}—Cr}Ag = 50+100 \text{ HM}, d_{Ag} =$ = 1,0+1,0  MKM.  O IDH  T = 823  K, $\tau = 1,8\cdot 10^3 \text{ c}$			TИ: Ti, Ag, Cr TИ; испарнтели нз W, Mo, C.	$v_{\rm H} = 0.1 + 5.0   {\rm Hm/c},  p = 1 \cdot 10^{-3}  {\rm Hz}.$ $V_{\rm H} = 0.1 + 1.0   {\rm Hm/c},   p \approx 1 \times 10^{-3}  {\rm Hz}.$ $\times 10^{-3}   {\rm Hz},   v_{\rm H} = 0.1 + 1.0   {\rm Hm/c},   p \approx 10^{-3} + 10^{-6}  {\rm Hz}.$ $+ 10   {\rm Hm/c},   p = 10^{-3} + 10^{-6}  {\rm Hz}.$ $> 0.   {\rm XO},  {\rm coa}  {\rm x}  {\rm mehhe}   {\rm Hz}   {\rm rasobo}  i                  $	Диффузионное насыщение прн 1173+1473 К	ТИ: Сг. Ац; $d_{Cr} = 45,0 \div 80,0$ нм, $d_{Au} = 25 \div 230$ нм	MP: Pt, Ta, Au; $d_{Pt}$ = 20,0÷ +30,0 HM, $d_{Ta}$ =100 HM, $d_{Au}$ $\approx$ 1.0 MKM	TM: Au <sub>1</sub> , Al, Au <sub>2</sub> ; $d_{Au_1} = 200 + +600$ HM, $T_{II} > 633$ K, $d_{AI} = 50 + 300$ HM, $T_{II} = 573$ K, $d_{Au_2} = -900 + 600$ HM,	ИР: $Ta_1$ , Au, $Ta_2$ ; $d_{Ta} > 20$ нм, $d_{Au} = 200 \div 300$ нм	
	2	ПС	НК	BK c BIII HK K . n GaAs p(n) GaSb	HK ĸ Si HK		HK, 11C	HK	-	_	ПС, AC,	BK c bill	JIII B SI	ПС	ПС	НК	ПС	
456	1	Ti(Zr, Nb, Ta, Mo, Th, W, V)—Ag	Al-Cr-Ag-Cr crek.no-Cr-Ni	(0,1—0,5) % Ag— (0,1—0,4) % SiMo In—Ag Sn—Ag	(Au—Sb)—Ag—Au V—Ag		(Mo—5—50 % Ni)—Ag	(NiCr) — (Ni— Cr—Ag)—Ag	•		Ti—Ag—Cr Au		Au	Cr—Au	Pt—Ta—Au	Auı—Al—Au <sub>2</sub>	Ta <sub>1</sub> (Mo)—Au— Ta <sub>2</sub> (Mo)	A57

140%. 0:02	ro.	[792]	[772]	[793]	[793]
11 poo Oumerute 140%, 0.55	4	PtSi—Si—HK, Мо—БС между Ац и Si, (Au—5 % Pt) — АДС к Мо, АДС, ПС, АС обеспечивает подсоединение выводов	Ni(Mo, W, Zr, Ti, Ta)—АДС к Si и SiO <sub>2</sub> , НК к Si за счет силицидов. Au—ПС, AC.	Мо—ВК, Ст—АС к Мо, Аш—ПС, АС	Слой силицида Ni обеспечнвает НК, Ап— ПС, АС, возможность подсоединения вы- водов
	8	TH: Pt; $d_{\text{pt}} = 25 \div 50 \text{ HM}.$ O $\text{npg}$ $T = 973 \text{ K}.$ MITP: Mo, $d_{\text{Mo}} = 250 \text{ HM};$ MITP: $(A_{\text{H}} - 5Pt),$ $d_{(A_{\text{H}} - Pt)} = 50 \text{ HM}.$ TH: $(A_{\text{L}} - 5Pt),$ $5Pt),$ Au; $d_{\text{Au}} = 0.65 \text{ MKM}$	ТИ: Ni(Mo, W, Zr, Ti, Ta), Ан илн ЭО: Ан. О при T=673+ +1073 К	ТИ: Мо, сплав Ап—Сг (Сг—3— $-10~\%$ ); $d_{\rm Mo}=300~{\rm Hm},~d_{\rm (Au-Cr)}=500~{\rm нm}$	ИР: (Мо—5—50 % Ni). О при T=923÷973 K, т=300 с. ТИ, ЭО: Аи
	62	НК	НК	ВК с БШ	НК
	1	PtSi—Mo (Au— 5Pt) —Au	Ni (Mo, W, Zr, Ti, Ta) — Au	Mo(A11Cr)	(Mo—5—50 % Ni)—Au
4	8				

[692]		[795]	[771]	[777]	[177]
$\Gamma i$ — адгезия к Si и SiO <sub>2</sub> и низкое $ ho_{\kappa}$ , Pt— $ ho_{\kappa}$ в $ ho_{\kappa}$		Ті—адгезия к Si и SiO <sub>2</sub> , низкое р <sub>к</sub> , Pt—БС между Au и Ti, Au — шариковый вывод	Сплав Ап—Ѕb обеспечивает НК с Si. Co- держит 0,1—1 % (по массе) Sb	Прн выжнгании образуется НК с $n$ GaAs $(N_D\!>\!10^{14}~{ m cm}^{-3}),~ ho_{ m K}\!pprox\!10^{-4}~{ m OM}\cdot{ m cm}^2$	ЭО: Аи и Zn. О при $T=748$ K, При вжигании Au—Zn oбразует HK с $p$ InP $c$ $p_{\rm K}=15$ с
TM: Ti, Pt, $d_{Tl} = d_{Pt} = 50 \div$	т100 нм. ЭО: Au; а Au = 10÷ +15 мкм	ТИ: Ті н Рt; $d_{\text{Ti}} = 100$ нм, $d_{\text{pt}} = 150$ нм. ЭО: Аu; $d_{\text{Au}} = 12 \div 13$ мкм	ВН сплава Ац—Sb. О при <b>7</b> >>633 К	BH: сплава Au—Ge—Ni, соот- ношение 88: 12: 5 % (по мас- се); $d=500$ нм, $T_{\rm n}=523$ K, O прн $T=723$ K, $\tau=300$ c	ЭО: Ац и Zn. О при T=748 K, т=15 с
ПС, БВ		OB	НК	HK c n GaAs	HK c p InP
Ti-Pt-Au		Ti—Pt—Au	(Au—Sb)	(AuGeNi)	Au—Zu

•

<sup>\*\*</sup> Inar. No 3290127 (CIIIA), 1965; \*\* Har. No 3415679 (CIIIA), 1968; \*\* Har. No 3365628 (CIIIA), 1968; \*\* Har. No 3290565 (CIIIA), 1966; CIIIA), 1966;

ЗАЩИТНЫЕ ПОКРЫТИЯ, ВЫВОДЫ И ВСПОМОГАТЕЛЬНЫЕ ЭЛЕМЕНТЫ НА ОСНОВЕ БЛАГОРОДНЫХ МЕГАЛЛОВ условные обозначения те же, что в табл. 6.32

условные обозначен	условные обозначения те же, что в табл. 6.32			
Матернал	Область применения	Технология формироваиия элемента	Свойства	<b>Лите</b> - ратура
1	2	3	4	2
Пористый Мо, W, Ст, пропи- таниый Аu, Ag, ПСр—72	Компенсирующая прокладка между кристаллом и корпу- сом	Спекание порошков Мо, W, Сг при $T \sim 1673$ К. Заполнение пор прокладки припоем, включающим Au, Cu, Ag. Прокладки из Мо или W предварительно металлизируют Au	Прокладка имеет т. к. л. р., близ- кий к т. к. л. р. Si; $d=0,8+1,2$ мм. Уменьшает напряжения в крис- галле и повышает долговечность соединений. Пористость $10-30\%$ ,	[795]
Перфорирован- ный Мо, про- питанный Рb Ag	То же	Перфорирование Мо прокладки. Заполнение отверстий припоем Pb—Ag	$d_{Mo} = 0,05 + 0,2$ мм; диаметр отверстий $0,2 + 0,8$ мм. Увеличивает толщину паяного шва, повышает устойчивость к многократному циклическому изменению температур	[795]
Au—Ge, Au—Si	Посадка кристалла на корпус	Прокладка припоя помещается между кристаллом и корпусом. Нагрев до 673+723 К. Воздействие ультразвука частогой 59 кГч, $\tau=1,3\pm0,16$ с, $p=0,4$ МПа	Высокая надежность контакта. $\rho_{\rm K} = (1,4+1,5) \cdot 10^{-7} - (8,0+8,3) \times \times 10^{-8}  {\rm Om} \cdot {\rm M}^2$ . При легировании фосфором $\rho_{\rm K} = 5 \cdot 10^{-8}  {\rm Om} \cdot {\rm M}^2$ . Легирование сурьмой $\sim 0,1  \%$ (по массе) дает $\rho_{\rm K} = 3 \cdot 10^{-8}  {\rm Om} \cdot {\rm M}^2$	[796]
Pd — Ag — SiO <sub>2</sub> — органи- ческое связую- щсе	Толстопленочные резисторы, $d = 20 \div + 50$ мкм	Нанесение резистивиой пасты на подложку. Вжигание. Лазерная подгонка	$R=33 \text{ OM}+1 \text{ MOM}; \ \Delta R=\pm 2+5 \%; \ p_{\text{Row}}=0,3+0,5 \text{ BT Ha pesucrop;} \ TKG=200\cdot10^{-6} \text{ rpag}^{-1}$	[797]
,		•		
Au	Выводы проволочные	ЭО наносят слой Au c $d=0,8+$ Г $\div 1,6$ мкм. Термокомпрессия Au проволоки диаметром 30—60 мкм при 573+773 К или ультразвуковяя сварка при частоте 50 кГи, $p=0,35$ МПа, $\tau=1$ c, $T=473+$ $\div 673$ К	При нспытании на отрыв усилие составляет 0,09÷0,11 Н для Ац—Аи н 0,15—0,16 Н для Ац—Когезионная прочность Ац—Аu	[196]
Au	ОВ	Цианистый щелочной электролит: 2—3 г/л Au; 10—50 г/л цианит стого калия; 30—50 г/л углетикислого калия. $D_{\kappa}=0,13+$ + 0,14 $A/\mu M^2$ ; $D_{\mathbf{A}}=0,2$ $A/\mu M^2$ ; $T=333+443$ К	Получают эластичные матовые покрытия высокой чистоты. Электролит обладает высокой рассе <u>и</u> вающей способиостью, токсичеи, используются растворимые аподы	[798]
Au	Корпуса ИМЭ	Цитратный электролит: 1—3 г/л дицианоаурата калия (в пересчете на металл); 90+ +110 г/л лимоннокиолого калия; 90+110 г/л лимоннокиолого калоты; рН= $34\div4.5$ ; $T=313\div5.28$ ; $D_{\kappa}=1,0$ $A/\chi m^2$ ; анолы цлатиновые	Плотные низкопористые покрытия на корпусах ИС. Электролит не содержит токсичных веществ	[799]
γı	Локальное золочение корпусов ИМЭ для носадки кристалла	Фосфатный электролит: 1—100 г/л дицианоаурата калия (в перссиете на металл); 5—500 г/л вторичного фосфата аммония; 5—500 г/л вторичного фосфата калия; $pH=5,2+5,8$ ; $T=343+348$ K	Низкая пористость, малое контакт- ное сопротивление, невысокая тчердость. Применяется для ло- кального золочения	[799]

2	[798]	[800]	[801]		[802]	[803]	1	1
4	Мелкокристаллические покрытия, обладающие повышенной твер- достью и отражающей способно- стыо	Блестящее покрытие, имеет хоро- плую адгезию с основой, твер- дость составляст 1170 МПа	Плотные коррозионностойкие по- крытия		Электролит очень токсичен. Низ- кое контактиое сопротивление, хорошая равномерность покрытия	Электролит не токснчен, обладает высокой рассеивающей способно-	Беспористые полублестящие по- крытия с тверлостью 2150— 2450 МПа	Коррозионностойкие блестящие покрытия с твердостью 3230—3330 МПа. Электролит отличается высокой стабильностью
8	Железнетосинеродистый электролит: 2,65 г/л хлорного золота; 15 г/л железистосинеродистого калия; 15 г/л углекислого натрия; $T = 300 \div 307 \text{ K}$ , $D_{\rm R} \sim 0,1 \text{ A}/{\rm д}{\rm M}^2$	Этилендиаминовый электролит: $3-5$ г/л золота (в виде сульфитного комплекса); $30-90$ мл/л этилендиамина ( $20$ %-ный раствор); $10$ г/л сернокислого аммония; $10$ г/л сернокислого аммония; $D_{\kappa}=0$ ,8 $A/\mu m^2$ , $D_{\alpha}=0$ ,5 $A/\mu m^2$ , $T=313$ K. Ckopocts вращения катода $0$ ,7 $0$ ,7 $0$	Иммерснонное серебрение: 15—17 г/л серебра; 40—50 г/л железнстосинеродистого калия; 45—55 г/л роданистого калия; 4—6 г/л тиосульфата натрия	Bn—3	Цианистый электролит: $20-30$ г/л азотнокислого серебра; $20-40$ г/л цианистого калия; $20-30$ г/л углекислого калия; $T=291+303$ К; $D_{\rm K}=0,3+1,5$ А/д ${\rm M}^2$	Железистосинеродистый электролит: $30-40$ г/л хлористого серебра; $60-80$ г/л железистосинеродистого калия; $30-35$ г/л углекислого калия; $150$ г/л роданистого калия; $D_{\rm K}=0.5+1.0$ $A/{\rm J}{\rm M}^2$	$35$ —45 г/л тетрааминохлорида палладия; $18$ —25 г/л хлористого аммония; $0.1$ — $0.15$ г/л маленового ангидрита; $5$ — $10$ г/л гидроокиси аммония (своб.); $pH$ = $8,5$ + $+9,5$ ; $T$ = $291$ + $298$ K; $D_{\kappa}$ = $2$ + $3$ $A$ /д $\kappa$ <sup>2</sup>	30—40 г/л хлористого палладия; 20—40 г/л сернокислого аммония; 80—150 г/л карбамида; 0,3—0,8 г/л сахарина; 0,02—0,03 г/л с, α'-дипиридила
2	ТС, корпуса ИМЭ	Корпуса ИС, ТС	Тонкопленочиые ИС	,	Электрические разъ- емные контакты, от- ражающие рефлекто- ры	Корпуса ИМЭ, устройства СВЧ-диапа-	Электрические кон- такты, ТС	Корпуса ИМЭ
-		Au	Ag		Ag	Ag	Pd	Pd

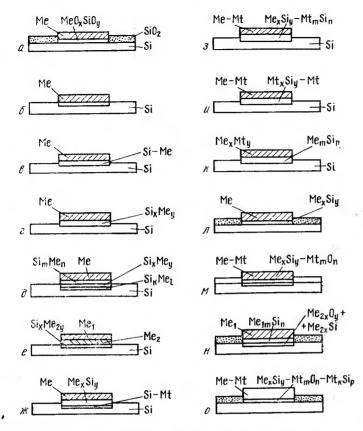


Рис. 6.16. Возможные варианты структур контактов Me—Si (Me и Mt — разнородные металлы):

a — между металяом (Me) н Si имеется прослойка диэлектрика; b — Me пе взанмодействует с Si; b — Me образует твердый раствор с Si; b — Me образует силициды различных порядков; b — Me нижнего слоя образует силициды; b — Me ебразует силициды раствор; b — me еврхнего слоя образует силицид, b имжнего — твердый раствор; b — me образует силицид, b — me собой химическое соединение; b — me образует силициды, b взаимодействия с пленкой промежуточного диэлектрика; b — me образует силициды, b взаимодействия с пленкой промежуточного диэлектрика; b — me образует силициды; b — me образует новый оксидиый слой и силицид, b верхний — me силицидов; b — me сплава образует оксид и силицид, b верхний — me силицидов; b — me сплава образует оксид и силицид из остаточного слоя оксида, b второй — силицид

Серебряные покрытия широко используют для повышения поверхностной электропроводности токонесущих деталей СВЧ-аппаратуры и уменьшения переходного сопротивления разъемных электрических коптактов, изготовления рефлекторов. Они отличаются хорошей термо- и электропроводностью и химической устойчивостью, легко полируются и обладают высокой отражательной способностью.

Недостатком серебряных покрытий является потускнение в серово-дородсодержащей среде.

В последние годы появился интерес к использованию палладия для формирования разъемных электрических коитактов, корпусов ИС те СВЧ-приборов, создания невыпрямляющих контактов к полупроводникам. Палладиевые покрытия отличаются высокой химической устойчивостью, износостойкостью и твердостью (2200—3700 МПа), низким переходным сопротивленнем за счет образования силицидов, хорошей смачиваемостью припоями, допускают термокомпрессионное подсоединение выводов нз Ац, Al, Pd.

# 6.9. Жаропрочные конструкционные материалы

Требования, предъявляемые к жаропрочным материалам Металлы платиновой группы (Pt, Rh, Pd, Ir, Ru), их сплавы и композиционные материалы на их основе представляют особую категорию жаропрочных конструкционных материалов [9 с. 386—390, 396—397; 34; 38 с. 170-172, 202-2151. При нагреве выше 1000 °C эти материалы остаются прочными, пластичными, термо- и коррознонностойкими. Сочетание указанных свойств и высокие температуры плавления позволяют использовать платиновые металлы, их сплавы и композиции в тех случаях, когда другие металлические и неметаллические материалы не выдерживают условий высокотемпературной эксплуатации. Хорошие технологические свойства (обрабатываемость давлением, свариваемость) многих важиых в практическом отношении платиновых металлов и сплавов дают возможность изготавливать из этих жаропрочных материалов изделия сложной формы. Выбор металла платиновой группы, состава сплава или композиции на основе платиновых металлов определяется конкретными условиями работы изготавливаемых изделни в интервале температур от 900 до 2200 °С. В табл. 6.34 представлены наиболее распространенные виды изделий, для изготовления которых иеобходимо использовать жаропрочные конструкционные материалы на базе металлов платиновой группы. Указанные в табл. 6.34 изделия являются металлоемкими штампосварными коиструкциями и на их производство в народном хозяйстве используются значительные количества платиновых металлов. Жаропрочность и коррозионная стойкость ряда платиновых металлов и сплавов позволяют также успешно применять их в качестве электронагревателей в печах сопротивления, в виде электродов для термопар и в других ответственных изделиях.

ТАБЛИЦА 6.34 ОСНОВНЫЕ ВИДЫ ИЗДЕЛИЙ ИЗ ЖАРОПРОЧНЫХ КОНСТРУКЦИОННЫХ МАТЕРИАЛОВ НА ОСНОВЕ МЕТАЛЛОВ ПЛАТИНОВОЙ ГРУППЫ

Изделия и детали	Материалы	Интервал рабочих тем- ператур, °C
Аппараты для производства различных видов стеклянных волокон — стеклоплавильные сосуды и фильерные питатели; тигли для варки оптических и других стекол; тигли для выращивания монокристаллов из оксидов, мешалки, контейнеры, капсулы, экраны и т. д.	Рd и сплавы на его основе  Рt и материалы на ее основе Rh, Ir, Ru и материалы на нх основе	900—1500 1000—1800 1800—2200

Pt, Rd, Ir и Rh в виде листовых полуфабрикатов, проволоки и изделий выпускаются промышленностью в соответствии с требованиями FOCT 13498—79, FOCT 13462—79, FOCT 13099—67, FOCT 13098—67, Рутений по ГОСТ 12343—79 выпускается в виде порошка и возможность изготовления из него отдельных деталей или изделий должна определяться потребителем. Номенклатура жаропрочных сплавов платиновых металлов, предусмотренных ГОСТ 13498-79 ограничена. К этим сплавам можно отнести ПлРд7, ПлРд10, ПлРд15, ПлРд20, ПлРд30, ПлРд40, ПлПд10, ПлПд20; ПлРу10; ПлИ5; ПлИ10, ПлИ30. Практическое применение в качестве жаропрочных материалов обычно нмеют сплавы ПлРд7, ПлРд10, ПлРд20 и ПлРд30. Кроме указанных стандартных двухкомпонентных платиновых сплавов, существуют и широко применяются в качестве жаропрочных материалов более сложные (трех-, четырех-, пяти- и шестикомпонентные) сплавы платиновых металлов и золота и слоевые композиции на их основе. Указанные материалы выпускаются по ведомственной технической документации, что в значительной мере связано с многообразием температурных режимов и других факторов (среда, нагрузки и т.д.), определяющих условия у эксплуатации изготавливаемых изделий.

Установлено, что основными критериями, определяющими эксплуатационную надежность платиновых сплавов при высоких температурах, являются характеристики жаропрочности (получести), пределяющими пределяющими эксплуатурах, являются характеристики жаропрочности (получести), пределяющими пределяющими пределяющими пределяющими пределяющими пределяющими пределяющими пределяющими пределяющими пределяющими пределяющими пределяющими пределяющими эксплуатурах пределяющими пределяющими пределяющими эксплуатурах пределяющ

ратурах, являются характеристики жаропрочности (ползучести) в воздушной атмосфере и в силикатном расплаве. Значения этих характеристик (скорости ползучести на установившейся стадии, времени до разрушения и относительного удлинения) сильно зависят от состава платиновых сплавов, равномерности распределения легирующих элементов в микрообъемах этих сплавов, содержания в сплавах примесей неблагородных элементов и от структуры, формируемой в процессе предварительной обработки. Так как платиновые сплавы одного и тото же состава в состоянии поставки могут отличаться по химической микронеоднородности, содержанию вредных примесей и структуре, то всегда следует иметь в виду возможность значительных колебаний характеристик жаропрочности и пластичности. Важной особенностью высокотемпературной ползучести ряда платиновых сплавов является их склонность к изменению состава и растраву границ зерна при длительной эксплуатации, что обусловлено преимущественной возгонкой на

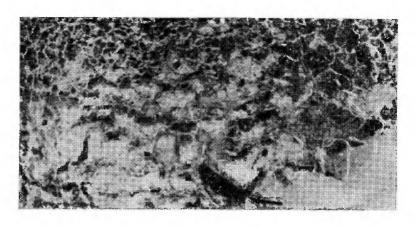
щего элемента. Результатом этого может быть снижение пластичности п долговечности платиновых сплавов.

Установлено, что в условиях ползучести под действием растягивающих напряжений скорость возгонки и растворения в силикатном расплаве у платиновых металлов и сплавов выше, чем в ненапряженном состоянии. Большей скорости ползучести соответствуют большие ускорения возгонки на воздухе и растворения в расплаве стекла под действием растягивающих напряжений. Снижение скорости ползучести платиновых сплавов упрочняющим легированием приводит к уменьшению ускорения атмосферной и силикатной коррозии при растяжении и к повышению эксплуатационной надежности. Поэтому важно подходить к оценке жаропрочности платиновых сплавов на основе понимания закономерностей влияния ряда факторов на сопротивление этих материалов высокотемпературной ползучести и разрушению.

воздухе или растворением в расплаве стекла того или иного легирую-

Влияние легирования на жаропрочность платиновых сплавов [34; 377 с. 51; 29 с. 284—292, 323—329; 487 с. 252]

Платиновые металлы и материалы на их основе используют в качестве жаропрочных при необычно высоких гомологических температурах, составляющих  $0.70-0.95\,T_{\pi\pi}$ . При таких температурах даже небольшие напряжения, возникающие в отдельных элементах изделий в процессе



Рнс. 6.17. Разрушенный участок изделня из сплава ПлРд10 после эксплуатации при 1400 °C в течение 150 сут (видна «апельсиновая корка», стрелкой указав разрыв).  $\times 2$ 

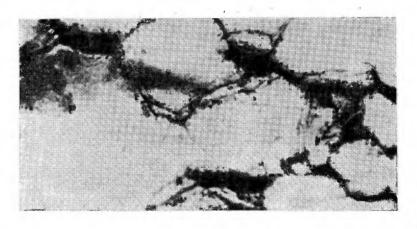


Рис. 6.18. Межкрнсталлитное разрушение сплава ПлРд10 после эксплуатации при 1400 °C в течение 150 сут.  $\times 300$ 

эксплуатации и соизмеримые с десятыми долями или целыми МПа, могут вызывать высокотемпературную ползучесть и последующее раз-

рушение.

В результате ползучести при 0,70—0,95  $T_{\rm п,n}$  происходит деформация деталей из платиновых металлов и материалов на их основе. Поверхность таких деталей напоминает «апельсиновую корку». На рис. 6.17 в качестве примера показана «апельсиновая корка», образование которой связано с развитием межзеренной деформации сплава ПлРд10, а на рис. 6.18 представлен межкристаллитный характер разрушения этого сплава в результате высокотемпературной ползучести. Межзеренной деформации при ползучести может способствовать циклическое изме-

нение температуры. При высокотемпературной эксплуатации изделий из платиновых металлов и сплавов известны случаи как межкристаллитного, так и внутрикристаллитного разрушения. Характер разрушения того или иного материала зависит от его состава, температуры, приложенного напряжения и коррозионного воздействия среды.

Условия эксплуатации изделий исключают, как правило, возможность легировать платиновые сплавы — твердые растворы—неблагородными металлами ввиду сильного окисления последних при нагреве из воздухе или их растворения в расплаве стекла. Поэтому в большинстве случаев применяют сплавы, содержащие металлы платиновой группы и золото.

Наиболее широкое применение имеют сплавы на основе платины. Упрочнение платины при легировании, сохраняющееся при высоких температурах, зависит от ряда факторов, важнейшими из которых являются: температура плавления и модуль упругости легирующего элемента; различие значений атомных радиусов, упругих постоянных и энергив дефекта упаковки металла—основы и легирующего элемента.

Уменьшение энергии дефекта упаковки платины при легировании, обусловленное «химическим» блокированием дислокаций, приводит к снижнию скорости высокотемпературной ползучести согласно уравнению Шерби:

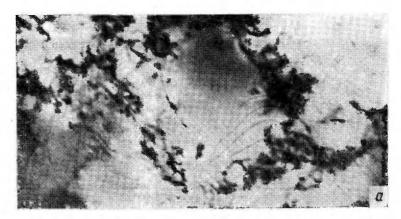
$$\dot{\varepsilon} = A \gamma^m D \left( \sigma / E \right)^n,$$

A — постоянная, зависящая от температуры;  $\gamma$  — энергия дефекта упаковки: n=4.7: m=2.3.

Уменьшение энергии дефекта упаковки при легировании можно качественно оценить по формируемой прокаткой дислокацнонной структуре Pt ее сплавов с Pd, Rh, Ir и Ru. Чем менее ярко выражена ячеистая структура и более ярко выражена структура с равномерным распределением дислокаций, тем меньше должно быть значение энергии дефекта упаковки твердого раствора. В табл. 6.35 показано изменение дислокационной структуры и скорости ползучести платины при ее легировании другими металлами платиновой группы. Результаты, характеризующие скорость ползучести сплавов, получены на образцах с размерами рабочей части 40×5×0,5 мм. В качестве примера на рис. 6.19

ТАБЛИЦА 6.35 СКОРОСТЬ ПОЛЗУЧЕСТИ И ХАРАКТЕРИСТИКИ ДИСЛОКАЦИОННОЙ СТРУКТУРЫ ПЛАТИНЫ И ЕЕ СПЛАВОВ

		Характеристика дис	локационної	структуры
сплав	8, %/ч, при σ <sub>нач</sub> =5 МПа н 1400 °С	вид	размер ячейки, мкм	плотность ди- слокаций р, см <sup>2</sup>
(ат.)	72±12 51±10	Ячеистая »	0,8±0,2 0,8±0,2	=
(ат.)	0,43±0,04	Несовершенная	0,4±0,1	(8±2)·10 <sup>7</sup>
(ат.)	0,29±0,04	Равномерное рас- пределение дисло-		(12±2)·10 <sup>7</sup>
(ат.)	0,1±0,01	кации То же	_	(17±3)·107
	(ат.) (ат.) (ат.)	(at.) 72±12 51±10 (at.) 0,43±0,04 (at.) 0,29±0,04	сплав	сплае         б <sub>нач</sub> =5 МПа н (400 °C)         вид         размер ячейки, мкм           (ат.)         72±12 51±10         Ячеистая »         0,8±0,2 0



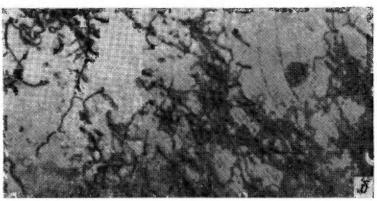


Рис. 6.19. Дислокационная структура после деформации на 6 % сплавов:  $a-{\rm Pt}-17$  % (ат.) Pd.  $\times 48100$ ;  $6-{\rm Pt}-17$  % (ат.) Ru.  $\times 47000$ 

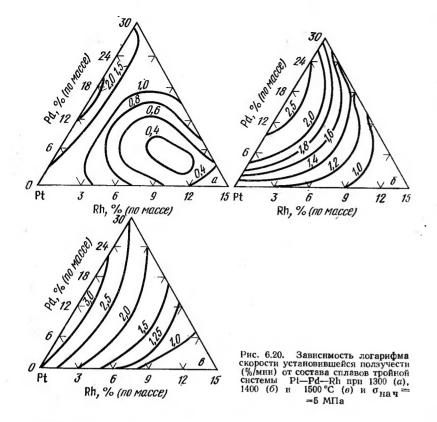
показана дислокационная структура двойных сплавов Pt—Pd и Pt—Ru. Представленные в табл. 6.35 характеристики дислокационной структуры платины и ее двойных сплавов, сформированной при 6 % ной деформации прокаткой, позволяют дать сравнительную качественную оценку энергии дефекта упаковки:

$$\gamma_{Pt} \approx \gamma_{Pt-Pd} > \gamma_{Pt-Rh} > \gamma_{Pt-Ir} > \gamma_{Pt-Ru}$$
.

Указанному ряду  $\gamma$  платины и ее сплавов соответствует ряд скоростей ползучести:

$$\dot{\epsilon}_{\mathrm{Pt}} \approx \dot{\epsilon}_{\mathrm{Pt-Pd}} > \dot{\epsilon}_{\mathrm{Pt-Rh}} > \dot{\epsilon}_{\mathrm{Pt-Ir}} > \dot{\epsilon}_{\mathrm{Pt-Ru}}$$

Кроме легирующих элементов, из числа металлов платиновой группы существенное упрочнение твердого раствора на основе платины при  $\sim 0.8~T_{\rm п.л}$  может вызывать золото. Например, легирование 5 % (ат.) Ан снижает скорость ползучести Pt прн 1400 °C и  $\sigma_{\rm нач} = 5~M\Pi a$  с 72 до 12 %/ч.

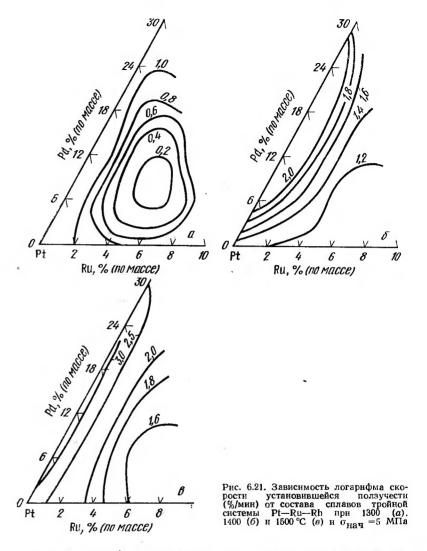


Эффективность упрочняющего действия легирующего элемента в твердом растворе Pt при высоких гомологических температурах, показанная на примере двойных платиновых сплавов, в полной мере проявляется при испытаниях сплавов многокомпонентных систем (рис. 6.20—6.23).

Скорость ползучести двойных платинородиевых и платинорутениевых сплавов снижается непрерывно по мере повышения концентрации в сплаве Rh или Ru. Скорость ползучести двойных платинопалладиевых сплавов имеет более сложную зависимость от состава, выражающуюся в том, что вначале скорость ползучести возрастает по мере увеличения содержания Pd. а затем начинает уменьшаться.

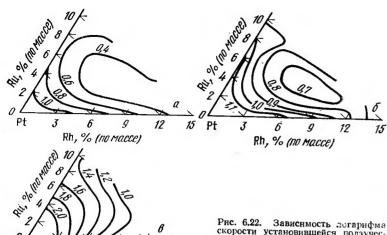
Отмеченные закономерности изменения скорости ползучести при изменении состава двойных платиновых сплавов в полной мере сохраняются при всех температурах испытания. Скорость ползучести многих сплавов тройных систем ниже, чем сплавов двойных систем Рt—Rh и Pt—Ru и тем более системы Pt—Pd. Особенно сильио снижается скорость ползучести платины при одновременном легировании Rh и Ru. По данным рис. 6.22, можно выделить группу тройных Pt—Pd—Rh сплавов, которые по сопротивлению ползучести не уступают или не-

ки сплавов, которые по сопротивлению ползучести не уступают или незначительно уступают известным двойным Pt—Rh сплавам. Например, ряд сплавов Pt, содержащих 5—10 % Rh и более 10—15 % Pd, имеют



скорость ползучести не выше, чем двойные сплавы Pt с 5—10 % Rh. Следовательно, можно подобрать такую группу тройных платиновых сплавов, которые по сопротивлению ползучести не уступают двойным платинородиевым, выгодно отличаясь от последних меньшей плотностью и пониженной стоимостью за счет использования более дешевого и менее дефицитного Pd.

Из рис. 6.23 следует, что сопротивление ползучести тройных сплавов Pt—Pd—Rh может быть повышено при легированин их Ru. Зависимость логарифма скорости ползучести от состава сплавов системы Pt—Pd—Rh—Ru при 1300, 1400 и 1500 °C и начальном напряжении



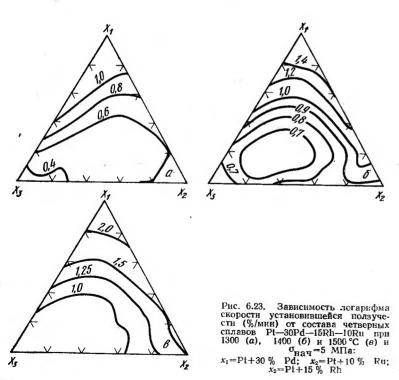
6

9

Rh, % (no macce)

12

Рис. 6.22. Зависимость догарифма скорости установившейся ползучести (%/мин) от состава сплавов тройной системы Pt—Ru—Rh при 1300 (a), 1400 (б) и 1500 °C (в) и от 1500 °C (в)



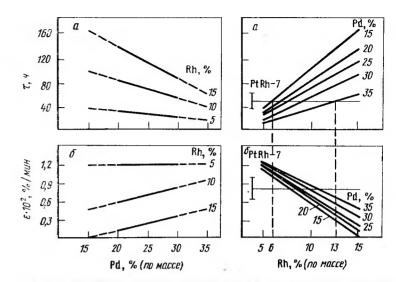


Рис. 6.24. Зависнмость времени до разрушения (a) и скорости установившейся ползучести (б) от содержания Pd и Rh в тройных платиновых сплавах при  $1400\,^{\circ}\mathrm{C}$  и  $\sigma_{\mathrm{Ha\, q}} = 5\,$  МПа

5 МПа показывает, что эти сплавы в общем случае характеризуются повышенным сопротивлением ползучести по сравнению с тройными сплавами Pt—Pd—Rh.

Чем меньше скорость ползучести, тем, как правило, выше значение времени до разрушения. Такая закономерность характерна главным образом для сплавов, имеющих большой запас пластичности, когда относительное удлинение за время ползучести превышает 20—25 %.

На рис. 6.24 представлены графики зависимости характеристик жаропрочности от состава тройных сплавов платины с палладием и родием. Как и следовало ожидать, время до разрушения и скорость ползучести в сильной степени зависят от концентрации родия в тройном сплаве. Существенное влияние концентрации Pd (в пределах 20-30 %) на характеристики жаропрочности тройных сплавов наблюдается лишь при содержании в них 10-15 % Rh. При малом содержании в тройном сплаве Rh (5 %) влияние концентрации палладия на характеристики жаропрочности проявляется очень слабо. Тройные платиновые сплавы, содержащие 15-35 % Рd, при определениой концентрацин Rh (8-13%) имеют практически такие же характеристики жаропрочности, как и двойной дефицитный сплав Pt-7 % Rh. Достаточно близок к этому сплаву по характеристикам жаропрочности сплав Pt-15 % Pd-5 % Rh, что позволяет широко использовать его в промышленности. Тройные сплавы с такой же жаропрочностью, как у сплава Pt-7 % Rh, характеризуются примерным соотношением содержания Pd:Rh=(2.0— 3.0):1.

При таком подходе к оценке жаропрочности в качестве основы промышленных сплавов представляют интерес композиции на основе платины с содержанием 25 % Pd и 10 % Rh (ПлПдРд25—10) и с 35 % Pd и 13 % Rh (ПлПдРд35—13). Однако сплавы, содержащие 25—35 % Pd, имеют повышенную склонность к коррозии в условиях ползучести при

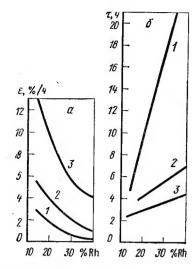


Рис. 6.25. Зависимость скорости ползучести (а) и времени до разрушения (б) сплавов Pt—Rh от содержания Rh при 1500 (1), 1600 (2), 1700 °C (3) и напряжении 10 МПа

1400 °C, что вызывает их ускоренное разрушение. Для торможения процесса разрушения сплавов платины с 25—35 % Pd и Rh необходимо повысить их сопротивление ползучести, что может быть достигнуто при легировании Ru или Ir.

Среди четверных сплавов с рутением заслуживает внимания платиновый сплав, содержащий 25 % Рd, 10 % Rh и 1,0—1,5 % Ru (ПлПдРдРу 25-10-1,5). Этот сплав выгодно отличается от тройного сплава ПлПлРл 25-10 значительно меньшей скоростью ползучести (в 2,5 раза) и увеличенным временем до разрушения при 1400 °С. По характеристикам жаропрочности при 1400 °С и начальном напряжении 5 МПа сплав ПлПдРдРу 25-10-1,5, не уступает известному двойному сплаву ПлРд 7, обладая значительно меньшей плотностью, стоимостью и дефицитностью.

Ниже приведены справочные данные о жаропрочности наиболее известных промышленных сплавов ПлРд7 и ПлРд10 при 1400 °С и онач = 5 МПа

С увеличением содержания Rh и Ru в четырехкомпонентном платиновом сплаве концентрация Pd может быть повышена до  $40-60\,\%$  при сохранении характеристик жаропрочности на уровне, соответствующем сплаву ПлРд7.

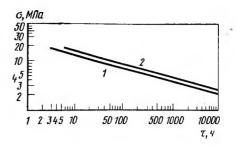
Легирование тройных сплавов Pt—Pd—Rh Ir приводит практически к таким же результатам, как и легирование Ru: снижается скорость

ползучести, увеличивается время до разрушения.

Упрочняющее действие Ru и Ir позволило широко использовать четырехкомпонентные платиновые сплавы в составе многослойных композиционных материалов. Например, характеристики жаропрочности материалов иа основе четырехкомпонентных сплавов с двусторонней плакировкой платиной выше, чем у сплава ПлРд7 (при 1400°С и онач = 5 МПа):

Матернал	έ, %/4	т до разру- шення, ч
Пл— ПлПдРдИ — 35 — 13 — 1,0—Пл	0.25	145
Пл—ПлПдРдРу—40—14— 1,5—Пл	0,25	130

Особенно эффективно использование Ru и Iг для легирования сплавов Pt—Rh. На рис. 6.25 показаны характеристики жаропрочности сплавов Pt—Rh при 1500—1700 °C. Введение Iг или Ru в платиновые сплавы с 20—40 % Rh приводит к их сильному упрочнению и расширяет температурную область практического применения до 1750—1800 °C.



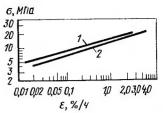


Рис. 6.26. Зависимость времени до разрушения при 1200°С сплавов ПлРдЗл5—4 (1) и ПлРд10 (2) от начального напряжения

Рис. 6.27. Зависимость скорости ползучести при 1200°С сплавов ПлРДЗл5—4 (1) и ПлРД10 (2) от начального напряжения

Легирование сплавов Pt—Rh золотом наиболее целесообразио для уменьщения их смачивания силикатными расплавами. При этом концентрации легирующих элементов, как правило, не превышают 5—10%. На рис. 6.26 и 6.27 приведены характеристики жаропрочности сплава ПлРдЗл5—4 и ПлРд10.

Повышение жаропрочности сплавов платиновых металлов может быть также достигнуто при их микролегировании. Введение в сплавы системы Pt—Rh, Pt—Rh—Pd и других микродобавок Iг, Ru и Au способствует стабилизации их структуры, повышению характеристик жаропрочности. Ниже представлены характеристики жаропрочности при 1400 °C и онач=5 МПа сплава системы Pt—Rh—Pd, в который введены микродобавки Iг и Au:

Сплав	ε, %/4	т, до разру- шения, ч	δ, %
ПлРдПд 20—10		195	62
ПлРдПдИЗл 20—10—0.1—0.1	0,10	275	42

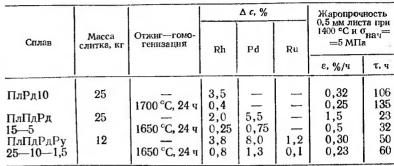
Одним из новых направлений повышения жаропрочности платиновых сплавов является легирование их в небольших количествах (0,05—0,5%) добавками редких элементов (Zr, Y и др.). Эти добавки после окисления в виде равномерно распределенных дисперсных частиц могут в несколько и даже в десятки раз повышать сопротивление ползучести и разрушению платины и ее сплавов при  $\sim$  0,8  $T_{\rm пл}$ . Влияние химической микронеоднородности

на жаропрочность платиновых сплавов [377 с. 251—253; 818;819]

Химическая микропеоднородность, возникающая в слитке при кристаллизации, сохраняется в листовом полуфабрикате и оказывает существенное влияние на жаропрочность платиновых сплавов при  $\sim 0.8\,T_{\rm n.s.}$ 

За показатель химической микронеоднородности слитков принимается разность средних значений концентрации легирующих элементов в центре и на периферии дендритной ячейки. Показатель химической микронеоднородности листовых полуфабрикатов определяется по разности усредненных максимальных и минимальных значений концентрации легирующих элементов. С увеличением показателя химической микронеоднородности скорость ползучести платиновых сплавов возрастает, а время до разрушения уменьшается (рис. 6.28, 6.29). Химическая микронеоднородиость свидетельствует о наличии микроучастков, обедненных Rh (в сплавах ПлРд10 и ПлПдРд15—5) и обогащенных Pd (в

### химическая микронеоднородность и жаропрочность платиновых сплавов



вклад в общее загрязнение платиновых сплавов. Содержание Fe обусловлено, скорее всего, загрязнением сплавов в процессе обработки. Загрязнение платиновых сплавов магнием происходит при плавке в магнезитовых тиглях. Содержание других примесных элементов обычно не превышает тысячных долей процента. Однако в отдельных случаях концентрация рассматриваемых примесей в платиновых сплавах оказывается достаточной для снижения их жаропрочности и разрушения в условиях эксплуатации при высоких температурах. Так как в сплавах платиновых металлов может содержаться ряд примесных элементов, то установить действие на характеристики жаропрочности каждого из них в отдельности весьма трудно. Однако вполне возможно и с практической точки зрения очень важно иметь представление о суммарном действии всех содержащихся примесей на сопротивление ползучести и разрушению того или иного платинового сплава. В качестве примера можно рассмотреть влияние суммы примесей, содержащихся во всевозможных сочетаниях в одних и тех же платиновых сплавах разных плавок, на характеристики их жаропрочности.

Влияние примесных элементов на скорость ползучести (є) и время до разрушения (т) сплава ПлРд 7 при 1300 и 1400°C и начальном напряжении 5 МПа показано в табл. 6.38. Аналогичное влияние примссей на характеристики жаропрочных сплавов ПлРд 10, ПлПдРд 15—5 и ПлПдРдРу 25—10—1,5 при 1400°С и начальном напряжении 5 МПа приведено в табл. 6.39-6.41. Из табл. 6.38 следует, что даже при суммарном солержании вредных примесей менее 0,05 % (плавка № 1) сопротивление ползучести и разрушению сплава ПлРд7 может быть почти в 2 раза ниже, чем в случае, когда те же примеси отсутствуют или имеются только их следы (плавка № 7).

Соответствующее заключение можно сделать по характеристикам жаропрочности различных плавок сплавов ПлРд 10, ПлПдРд 15—5 и ПлПпРпРv25—10—1,5. Рассмотренные примеры показывают, что примеси неблагородных элементов, содержащиеся в промышленных платиновых сплавах, снижают их сопротивление ползучести и разрушению. В то же время данные спектрального анализа платиновых сплавов после их длительного контакта в процессе эксплуатации с расплавом стекла и огнеупорными керамическими материалами показывают возможность перехода неблагородных элементов из силикатных материалов на поверхность или в объем сплавов платиновых металлов. В табл. 6.42

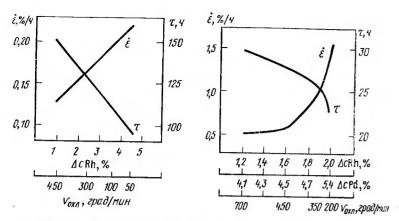


Рис. 6.28. Зависимость скорости ползучести  $\dot{\epsilon}$  и времени до разрушения  $\tau$  листовых образцов сплава ПлРд10 от показателя химнческой микронеоднороднотовых образцов силава тытило от показателя интервале кристаллизации при скорости охлаждения от 50 до 450 град/мии ( $t_{\rm MCR}=1400\,^{\circ}{\rm C},~\sigma_{\rm Haq}=5~{\rm MHa})$ 

Рис. 6.29. Зависимость скорости ползучести (є) и времени до разрушення (т) листовых образцов сплава ПлПдрд15—5 от показателя химической микронеоднородности ( $\Delta c$ ) Rh и Pd в 3,0 кг слнтках, полученных в интервале кристализации при скоростях охлаждения от 200 до 700 град/мни ( $t_{\rm HCH}=1400\,^{\circ}{\rm C}$  $\sigma_{\text{Hay}} = 5 \text{ M}\Pi \text{a}$ 

сплаве ПлПдРд 15-5). Эти микроучастки являются слабым звеном при испытании сплавов на ползучесть и жаропрочность сплавов в значительной мере определяется жаропрочностью этих участков. С увеличением показателя  $\Delta c$  должна возрастать также диффузионная подвижность атомов, контролирующая высокотемпературную ползучесть. Поэтому с увеличением показателя  $\Delta c$  скорость ползучести сплавов должна возрастать, а время до разрушения уменьшаться. Рассмотренная зависимость жаропрочности от показателя  $\Delta c$  сплавов ПлРд10 и ПлПдРд 15-5 характерна также для сплавов ПлРд7, ПлРд30, ПлПдРдРу 25—15—1,5 и др.

В табл. 6.36 представлены данные о влиянии гомогенизационного отжига на химическую микронеоднородность и жаропрочность платиновых сплавов.

Влияние примесей [377 с. 174—177; 29 с. 337—338].

Влияние примесей на жаропрочность платиновых сплавов зависит от природы примесных элементов, их концентрации и распределения в объеме металла, от характера взаимодействия с основными и легирующими компонентами. Многие химические элементы, которые могут входить в состав платиновых сплавов в виде примесей (в количестве сотых долей процента и менее), образуют с металлами платиновой группы твердые растворы с пониженной температурой плавления (примесн Fe, Ni, Cu и др.) или легкоплавкие и хрупкие составляющие (примеси Pb, Sn, Si, Sb, Bi, P, S, Se, Te, As, Mg, Zn, Ba, Al и др.).

В условиях промышленного производства в платиновых сплавах контролируется содержание 10—12 примесей неблагородных элементов. В табл. 6.37 приведено максимальное содержание примесей, обнаруженных в платиновых сплавах. Видно, что Мg и Fe вносят основной

%. ВРЕДІНЫХ ПРИМЕСЕЙ В ПЛАТИНОВЫХ СПЛАВАХ, ПО ДАННЫМ СПЕКТРАЛЬНОГО АНАЛИЗА максимальное содержание,

	Сплав		Fe	Mg	Ag	пO	ž	ЬÞ	A1	Si	uZ		Sp	Ŋ
ПлРд7 ПлРд 10 ПлПдРд ПлПдРу	лРд7 глРд 10 глПдРд 15—5 глПдРд Ру25—10—1,5	)—1,5	0,01 0,03 0,015 0,01	0,025	0,003 0,003 0,003 0,003	0,001 0,001 0,003 0,003	<0,003 <0,003 0,003 Следы	<0,003 <0,003 0,003 Следы	0,005 0,006 0,002 0,003	C0,002 0,003 0,003 0,002		VVVV 0,005 VVVV 0,005 VVVVV	70,005 0,01 70,005 70,005	0,04 0,10 0,07 0,03
влияп	ив вредн	ных пр	имесей	IIA XAP	АКТЕРИ	776 ВЛИЯНИЕ ВРЕДНЫХ ПРИМЕСЕЙ НА ХАРАКТЕРИСТИКИ ЖАРОПРОЧНОСТИ СПЛАВА ПЛРД7 ПРИ 1300 в 1400°C н была в 1400°C н была	Ньопрод	ости сп.	TABA IIJ	19д1 Грр	4 1300 и	1400 °C	<i>ТАБЛИЦА 6.38</i> п <b>о<sub>нач</sub></b> «5 МПа	74 6.38 5 MHa
Плав-			700	цержание з	элементон	Содержание элементов в сплаве ПлРд7, % (по массе)	пРд7, % (по	массе)						
Ka, Ne	Pt	Rh	Ьd	Si	qs	Fe	CI	Pb		A1	Mg	Е, %/ч	b.	र, म
-	93,02	6,92	6,92 0,02	0,013	0,007		1 0,0073	3 0,005		0,002 0,006 0,42/1,14	900,	0,42/1		55/28
23	93,07	6,89	0,02	0,007	0,004	4 <0,01		0,003		<0,002 0,003	,003	0,18/0,96		88/38
_			_							-	_		_	

68/38 56/40 104/34 86/46 85/47 103/54

0,18/0,96 0,13/0,58 0,15/0,55 0,20/0,90 0,20/1,14 0,08/0,58

0,003 0,013

<0,002 < 0,002<0,002 <0,002 <0,002 <0,002

0,003 0,004 0,001

<0,01 <0,07 <0,01 <0,01 <0,01 <0,07

0,004 0,006 0,003

0,02 0,02 0,02

6,83 6,97 6,92 6,93 6,93 6,91

95,98 93,00 93,06 93,05

3 2

0,008 0,01

> 0,02 0,02

4 5 9 7

0,04

93,05

0,005

<0,001 <0,001 <0,001

0,005

римечание. В числителе приведены значения при температуре 1300°С, в знаменателе — при 1400°С. Ц ТАБЛИЦА 6.39 о нач =5 мПа И ВЛИЯНИЕ ВРЕДНЫХ ПРИМЕСЕЙ НА ХАРАКТЕРИСТИКИ ЖАРОПРОЧНОСТИ СПЛАВА ПлРд10 ПРИ 1400 °С

	% ,%	44,0 44,5 34,0 34,0 42,0 43,0
	е, %/ч	0,122 0,440 0,350 0,350 0,350 0,470 0,182 0,182
	f, 4	217 83 79 88 85 71 70 69 97
	Cu, Ni, Pb, Sb, Zn	Crephi
	Ca	0,030 0,033 0,024 0,024 0,024
	ΣFe. Al. Si. Mg	0,015 0,095 0,095 0,097 0,105 0,105 0,132
по массе)	Mg	0,001 0,003 0,003 0,003 0,003 0,003 0,003 0,003
Содержание элементов в сплаве ПлРд 10, % (по массе)	Si	0 0 0 0 0 0 0 0 0 0 0 0 0 0 0 0 0 0 0
Содержание элементов в сплаве ПлРд 10, %	A1	<pre></pre>
пементов	Fe	0,004 0,060 0,060 0,040 0,040 0,070 0,070
жание э.	Ag	0,
Содер	Pd	0,010 0,025 0,018 0,010 0,010 0,011 0,011
	Ŀ	0,010 0,018 0,010 0,010 0,012 0,011 0,001 0,009
	Rh	9,98 10,52 10,53 10,53 9,98 9,98 10,58 10,58
	Þŧ	89 90 99 89 99 89 99 99 99 99 99 99 99 99 99
δN	Плавка	100450786

ТАБЛИЦА 6.40 ВЛИЯНИЕ ВРЕДНЫХ ПРИМЕСЕЙ НА ХАРАКТЕРИСТИКИ ЖАРОПРОЧНОСТИ СПЛАВА ПлПдРд15—5 ПРИ 1400°С и бявч ≈5 МПа

0,022 0,036	9 0,017	0,00	<0,01		0,001	5,30 0,001 5,30 0,001	15,03     5,30     0,001       15,03     5,30     0,001	79,64         15,03         5,30         0,001         <0,01         0,009         0,017         <0,003         0,026           79,63         15,03         5,30         0,001         <0,01         <0,014         <0,002         0,036
0,003 0,051 <0,001	0,002	<u></u>	0,00	0,040 0,009 0,002				3 79,72 15,16 5,07 0,01 0,040 0,009

ВЛІЯНИЕ ВРЕДНЫХ ПРИМЕСЕЙ НА ХАРАКТБРИСТИКИ ЖАРОПРОЧНОСТИ СПЛАВА П⊐ПдРдРу25-10-1,5 ПРИ 1400 °С

						_		
	%	31,0 11,5 10,0 16,0	(A 6.43	H	r 3	61	66 82	69 69
	в, %/ч	0,39 0,43 0,48 0,48	<i>таБлица</i> 6.43 ЖАРОПРОЧНОСТЬ	ຄູ່	ь/%	0,61	0,53	0,52
	r f	53,0 28,5 24,0 29,0	ЖАР		_	ован-	ован-	<u> </u>
	Zn, Ni, Pb, Au	Следы "	жига на ТлРд10	r.v.n.a	nd fr	полигоннзован-	анная полигонизован-	анная
	ΣFe, Cu, Al, Si	0,014 0,087 0,056 0,057 0,066	ы 2-ч отжига сплава плрд10	Структура	· falso	пенная нная	иллизов нная	пенная пллнзова
% (no Macce)	Mg	0,003 0,003 0,003 0,003	тЕМПЕРАТУРЫ 2-4 ОТЖИГА СПЛ <b>АВА</b> ПЛРА10			Несовершенная Совершенная	ная Рекристаллизованная Совершенная полиг	ная Несовершенная Рекристаллнзованная
10-1.5. % (	SIS	0,002 0,019 0,019 0,019 0,010	ние тем	J	W.10	1450 1550	1650 1450	1550 1650
Содержание элементов в сплаве ПлПпрпру 25-10-1.5.	Al	<pre></pre> <pre>&lt; 0,002 <pre></pre> <pre></pre> <pre></pre> <pre></pre> <pre></pre> <pre></pre> <pre></pre> <pre></pre> <pre></pre> <pre></pre> <pre></pre> <pre></pre> <pre></pre> <pre></pre> <pre></pre> <pre></pre> <pre></pre> <pre></pre> <pre></pre> <pre></pre> <pre></pre> <pre></pre> <pre></pre> <pre></pre> <pre></pre> <pre></pre> <pre></pre> <pre></pre> <pre></pre> <pre></pre> <pre></pre> <pre></pre> <pre></pre> <pre></pre> <pre></pre> <pre></pre> <pre></pre> <pre></pre> <pre></pre> <pre></pre> <pre></pre> <pre></pre> <pre></pre> <pre></pre> <pre></pre> <pre></pre> <pre></pre> <pre></pre> <pre></pre> <pre></pre> <pre></pre> <pre></pre> <pre></pre> <pre></pre> <pre></pre> <pre></pre> <pre></pre> <pre></pre> <pre></pre> <pre></pre> <pre></pre> <pre></pre> <pre></pre> <pre></pre> <pre></pre> <pre></pre> <pre></pre> <pre></pre> <pre></pre> <pre></pre> <pre></pre> <pre></pre> <pre></pre> <pre></pre> <pre></pre> <pre></pre> <pre></pre> <pre></pre> <pre></pre> <pre></pre> <pre></pre> <pre></pre> <pre></pre> <pre></pre> <pre></pre> <pre></pre> <pre></pre> <pre></pre> <pre></pre> <pre></pre> <pre></pre> <pre></pre> <pre></pre> <pre></pre> <pre></pre> <pre></pre> <pre></pre> <pre></pre> <pre></pre> <pre></pre> <pre></pre> <pre></pre> <pre></pre> <pre></pre> <pre></pre> <pre></pre> <pre></pre> <pre></pre> <pre></pre> <pre></pre> <pre></pre> <pre></pre> <pre></pre> <pre></pre> <pre></pre> <pre></pre> <pre></pre> <pre></pre> <pre></pre> <pre></pre> <pre></pre> <pre></pre> <pre></pre> <pre></pre> <pre></pre> <pre></pre> <pre></pre> <pre></pre> <pre></pre> <pre></pre> <pre></pre> <pre></pre> <pre></pre> <pre></pre> <pre></pre> <pre></pre> <pre></pre> <pre></pre> <pre></pre> <pre></pre> <pre></pre> <pre></pre> <pre></pre> <pre></pre> <pre></pre> <pre></pre> <pre></pre> <pre></pre> <pre></pre> <pre></pre> <pre></pre> <pre></pre> <pre></pre> <pre></pre> <pre></pre> <pre></pre> <pre></pre> <pre></pre> <pre></pre> <pre></pre> <pre></pre> <pre></pre> <pre></pre> <pre></pre> <pre></pre> <pre></pre> <pre></pre> <pre></pre> <pre></pre></pre>	влияние	%	2	9	80	
паве ПлП	Cr	0,004 0,003 0,006 0,004 0,003	6.42 O MI	acce)		ще- пом	03	8 8
ов в спл	Fe	0,010 0,065 0,013 0,053 0,040	<i>ТАБЛИЦА 6.42</i> ТИНОВОГО НАГРЕВЕ ТЕРИАЛАМИ	<b>М</b> (по м		в бесще- лочном стекле	0,0	0,05
е элемент	Ir	0,01 0,01 0,01 0,01 0,01	ТАБЛИЦА 6. СПЛАВНИЕ ПОВЕРХНОСТИ ПЛАТИНОВОГО СПЛАВА ПЛПДРДРУЗБ-10-1,5 ПРИ НАГРЕВЕ КОНТАКТЕ С СИЛИКАТНЫМИ МАТЕРИАЛАМИ	Концентрация примесных элементов, % (по массе)		в глино- шамотной смеси	0,06	0,002
цержани	Ru	1,39 1,36 1,49 1,38	XHOCTI -10-1,5 ATHЫM	эсных эл	-	ин- иной и		ତ୍ୟ
ပိ	Pd	25,10 25,02 25,06 25,06 25,11 25,11	повер; прару25- силик	ия прим		в каолин- глиноземной смеси	0,01	0,002
	Rh	9,77 9,87 9,79 9,74 9,76	НЕНИЕ И ПЛПУ КТЕ С	центрац		на воздухе	0,01	0,001
	Pt	63,72 63,66 63,72 63,72 63,72	АГРЯЗЕ СПЛАВ КОНТАІ	Kor				
	Tusbks,	-00.40	37 B 1		T	нэмэке	¤ ಪ	M Sig

приведены в качестве примера данные спектрального анализа по содержанию некоторых примесных элементов в сплаве ПлПдРдРу25—10—1,5 после 200-ч выдержки образцов этого сплава при 1400 °C на воздухе и в контакте с расплавом стекла и керамическими материалами.

Испытания на ползучесть платиновых сплавов при 1400 °С в возлушной среде после высокотемпературной выдержки в стекле и в контакте с керамикой показывают, что сопротивление ползучести и разрушению после длительного взаимодействия с силикатиыми материалами может понижаться. Одной из причин этого можно считать загрязнение платиновых сплавов примесями иеблагородных элементов. Независимо от источиика загрязиения сплавов платиновых металлов (в процессе их изготовления и эксплуатации) примесями неблагородных элементов, последине оказывают вредное влияние из характеристики жаропрочности платиновых сплавов и снижают долговечность изготавливаемых из них изделий.

Влияние режимов деформации и отжига [34 с. 85—90; 487 с. 246—249; 817 с. 88—107]

Режимы деформации и последующего отжига оказывают влияние на структуру и жаропрочность платиновых сплавов при температуре испытания  $\sim 0.8~T_{\rm п.л.}$ . На рис. 6.30—6.32 представлены диаграммы рекристаллизации сплавов ПлРд7, ПлРд10 и ПлПдРдРу25—10—1,5, характеризующие зависимость размера зерна от степени предварительной леформации и температуры отжига. Наибольший размер зерна платиновых сплавов наблюдается после относительно небольших степеней деформации (до 10—20 %) и высоких температур отжига (выше 1300 °C).

Режимы деформации и отжига оказывают влияние как на размер зерна, так и на дислокационную структуру платиновых сплавов. После соответствующей деформации и отжига может быть создана дислокационная структура, при которой достигается максимум жаропрочности.

Известей способ субструктурного упрочнения платийовых сплавов, предусматривающий формирование дислокационной структуры в виде сетки полигональных границ. Образование такой структуры возможно в процессе отжига после деформации платиновых сплавов в докритической области. Например, сплав системы Pt—Pd—Rh—Ir с 35 % Pd после определенной степени деформации и последующего отжига имеет совершенную полигонизованную структуру в виде гексагональной сетки дислокаций (рис. 6.33, a); после больщей степени деформации и отжига сплав имеет рекристаллизованную структуру (рис. 6.33, б). Образцы указаиного сплава с полигонизованной структурой более жаропрочиы, учем образцы с рекристаллизованной структурой после отжига при 1450 °C, 2 ч:

ε, %	Структура	ε, %/4	τ, 4
9	Полигонизованная	0,12	120
40	Рекристаллизованная	0,17	100

Температура отжига оказывает существениое влияние на характер формируемой структуры и жаропрочность сплава ПлРд10 (табл. 6.43). Влияние высокотемпературной коррозии

на жаропрочность платиновых сплавов [29 с. 243—245; 377 с. 86, 164—166; 817 с. 49—50, 116—124]

Длительная эксплуатация изделий из платиновых сплавов при высокой температуре  $(0.70-0.95\,T_{\rm ил})$  вызывает их атмосферную и силикатную коррозию и изменение химического состава, что обусловлено возгонкой на воздухе и растворением в расплаве стекла металла-основы и легирующих элементов.

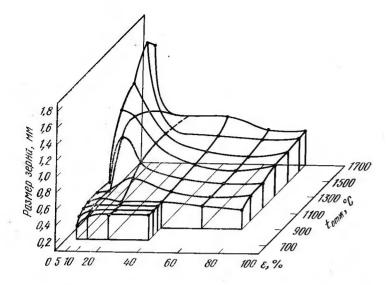


Рис. 6.30. Днаграмма рекристаллизации сплава ПлРд7 ( $\tau_{OTJK}$  2 ч)

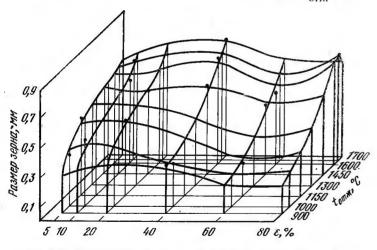


Рис. 6.31. Диаграмма рекристаллизации сплава ПлРд10 ( $\tau_{OTH}$  2 ч)

В табл. 6.44, 6.45 и на рис. 6.34—6.37 представлены данные о скоростях общей коррозии платины, палладия и некоторых их сплавов на

воздухе и в расплаве стекла при 1400 °C.

Общая коррозия ряда платиновых сплавов, фиксируемая по скорости возгонки на воздухе и скорости растворения в расплаве стекла, в значительной мере отражает склоиность этих сплавов к межкристаллитной коррозни, которую можно наблюдать по величине растрава

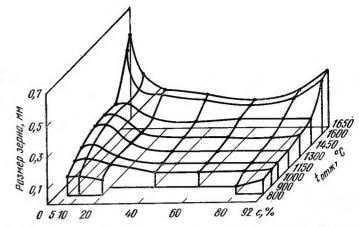
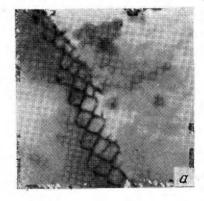


Рис. 6.32. Диаграмма рекристаллизации сплава ПлПдРдРу 25—10—1,5 ( $\tau$  <sub>ОТЖ</sub> 2 ч)



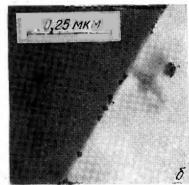


Рис. 6.33. Дислокационная структура сплава системы Pt—Pd—Rh—Ir с 35 % Pd после деформации и отжига: a — деформация прокаткой иа 9 % + отжиг 1450 °C, 2 ч.  $\times$ 68000;  $\delta$  — деформация прокаткой на 40 % + отжиг 1450 °C, 2 ч.  $\times$ 29000

границ зерен. На рис. 6.38 показана межкристаллитная коррозия на поверхности образцов сплавов ПлРд10, ПлПдРд25—10 и ПлПдРдРу25—10—1,5 после 100-ч нагрева в воздушной атмосфере и в расплаве стекла при 1400 °C.

В табл. 6.46 приведены значения ширины растрава границ зерен на поверхности образцов платины, палладия и их сплавов до и после на-

грева в стекле и на воздухе при 1400 °C.

Из представленных данных следует, что в ненапряженном состоянин ( $\sigma$ =0) Ru (см. табл. 6.44) интенсифицирует атмосферную возгонку платиновых сплавов и не оказывает существенного влияния на растворение их в расплаве стекла; Pd заметно увеличивает склоиность платиновых сплавов к растворению в стекле, а при температуре 1400 °C и выше интенсифицирует и возгонку на воздухе. Различная склонность

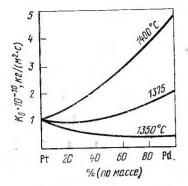


Рис. 6.34. Зависимость скорости возгонки  $K_{\rm E}$  от состава сплавов  ${\rm Pt-Pd}$ 

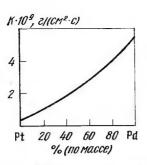


Рис. 6.35. Зависимость растворения K от состава сплавов Pt—Pd в бесщелочном стекле при 1400 °C

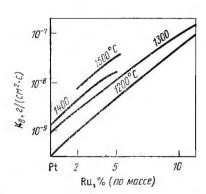


Рис. 6.36. Зависимость скорости возгонки  $K_{\rm B}$  от состава сплавов Рt—Ru при различных температурах

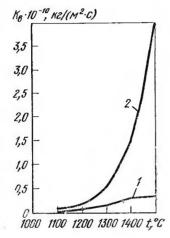


Рис. 6.37. Температурная зависимость скорости возгонки  $K_{\rm B}$  чистотой платины (1) и сплава Пл3л5 (2)

платиновых металлов к возгонке в воздушной атмосфере и к растворению в расплаве в значительной степени оказывает влияние на возможное различие жаропрочности металлов и сплавов в этих средах (табл. 6.47).

Развитие процессов возгоики и растворения в расплаве стекла (по данным химического анализа) сопровождается снижением в платиновых сплавах концентрации Pd, Ir и Ru. После 100-ч нагрева в ненапряжениом состоянии при 1400 °С на воздухе концентрация Pd в сплавах ПлПд25, ПлПд35, ПлПдРдРу25—10—1,5 и ПлПдРдЗ5—13 понизилась соответствено на 1,0; 2,4; 1,8 и 2,5 %; концентрация Ru в сплаве

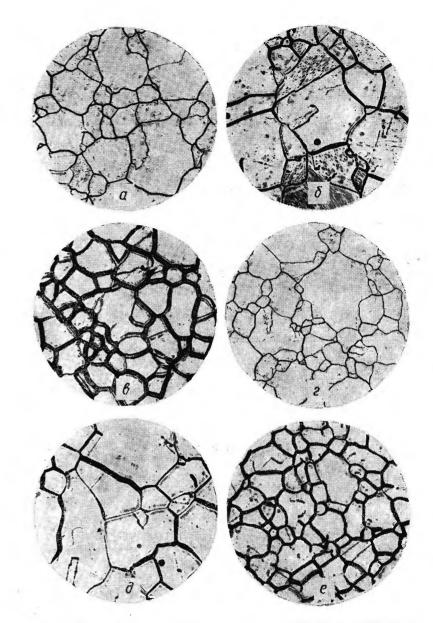


Рис. 638. Структура поверхиости образцов сплавов ПлРд10 (a, a), ПлПдРд25—10 (b, b), ПлПдРдРу 25—10—1,5 (b, b) после 100-ч нагрева при 1400 °C на воздухе (a, b, b), в расплаве стекла (b, a, a). a100

ТАБЛИЦА 6.44

АТМОСФЕРНАЯ И СИЛИКАТНАЯ КОРРОЗИЯ Pt, Pd И ПЛАТИНОВЫХ СПЛАВОВ ПРИ 1400 °C,  $\cdot$ 10  $^{-10}$  кг/(м²·с)

Металл или сплав	Скорос	ть возгонки при		ь растворения вве стекла при
	<b>σ</b> =0	σ <sub>нач</sub> =5 МПа	<b>σ</b> =0	σ <sub>нач</sub> =5 МПа
Pt Pd ПлРд10 ПлПд25 ПлПдРд25—10 ПлПдРдРу25—10—1,5 ПлПд35 ПлПд7235—13	0,8 4,6 0,4 — 0,4 4,4 — 0,9	36 192 2,5 1,7 4,2 7,2 2,8 5,6	0,4 6,0 0,08 1,00 0,80 1,60 1,80	4,3 16 0,32 5,40 7,80 5,40 7,90 13,60

Примечание. При испытанни Рt и Рd  $\sigma_{\text{нач}}$  =2 МПа (скорость возгонки),  $\sigma_{\text{нач}}$  =2,5 МПа (скорость растворення); при испытании сплавов ПлПд25 и ПлПд35  $\sigma_{\text{нач}}$  =2,5 МПа.

 $\Pi$ л $\Pi$ д $\Pi$ д $\Pi$ д $\Pi$ 25—10—1,5 — на 0,7 %, а концентрация  $\Pi$  в сплаве  $\Pi$ 4— $\Pi$ 5 — на 0,5 %.

Возгонка, растворение в стекле и избирательное удаление из платиновых сплавов легирующих элементов— упрочнителей твердого раствора — ухудшает характеристики жаропрочности. Например, предварительный 100-ч нагрев в ненапряженном состоянии на воздухе при 1400 °C сплава ПлПдРдРу25—10—1,5 и сплава системы Pt—Pd—Rh—Ir, вызывая возгонку и уменьшение коицентрации Ru и Ir, снижает время до разрушения при последующих испытаниях на ползучесть при 1300—1400 °C и от вта в 1,5—1,7 раза при одновременном уменьшении относительного удлинения на 20—50 % (табл. 6.48).

В связи с этим для практического использования платиновых сплавов, содержащих Pd, Ru и Ir, целесообразно ограничить развитие процессов возгонки и растворения в стекле и их влияние на жаропрочность и соответственно на стойкость сплавов при их длительной эксплуатации. С этой целью можно использовать качественно новое явление, заключающееся в том, что в условиях ползучести платиновых спла-

 ${\it TAEJIUЦA} \ \ 6.45 \\ {\it CUJIUKATHAS} \ {\it KOPPOSUS} \ {\it Pt} \ {\it U} \ {\it EE} \ {\it CIIJIABOB} \ {\it C} \ {\it Au}$ 

Металл или сплав	τ, ч, при 1200 °C	Скорость растворе- ния, · 10 <sup>-12</sup> ,		растворени, в стекле к сплава	
		KI/(M2·C)	Pt	Au	Rh
Рt ПлЗл5 ПлРдЗл5—5 ПлРдЗл5—5	200 200 200 400	1,15 2,14 2,61 1,46	1,15 0,99 0,66 0,56	1,15 1,88 0,86	0,074 0,041

МЕЖКРИСТАЛЛИЧЕСКАЯ КОРРОЗИЯ ПЛАТИНОВЫХ МЕТАЛЛОВ И СПЛАВОВ

		Ширина	растрава гран	иц зерен
Металл или сплав	τ <sub>отж</sub> , ч		после нагре	ева до 1400 °C
	· · · · · · · · · · · · · · · · · · ·	до нагрева	в стекле	на воздухе
Pt Pd ПлРд10 ПлПд25 ПлПдРд25—10 ПлПд35	35 35 100 70 100 70	0,18 0,31 0,25 0,32 0,30 0,33	0,40 3,9 0,56 0,73 1,26 0,92	0,39 2,5 0,70 0,55 0,79 0,68

Примечание. За исходное состояние (до нагрева) принято отожженное при 1400 °C, 2 ч.

вов их возгонка на воздухе и растворение в расплаве стекла ускоряются; это ускорение тем больше, чем меньше сопротивление сплава ползучести. Например, при 1400 °С растворение платины в расплаве

Металл или сплав	ε, %/ч	т, ч	δ, %	Среда
Pt	0,83	18 10	23	Воздух
Pd	1,50 0,57 0,72	31 16	23 27 19	Стекло Воздух Стекло
ПлПд25	0,17 0,23	82 62	21 20	Воздух Стекло

стекла при ползучести возрастает на порядок, а жаропрочного сплава ПлРд10 — только в три раза. Скорость возгонки этих материалов при ползучести возрастает соответственно на два порядка и в шесть раз.

СВОЙСТВА ПЛАТИНОВЫХ СПЛАВОВ ПРИ  $\sigma_{
m Haq}$  =5 МПа ДО И ПОСЛЕ 100-ч ВЫДЕРЖКИ НА ВОЗДУХЕ ПРИ 1400 °C

C	4 00	Дов	ы <b>держки</b>	После в	ыдержки
Сплав	t <sub>BCH</sub> , °C	т, ч	δ, %	т, ч	ð, %
ПлПдРдРу25—10—1,5 Pt—Pd—Rh—Ir	1300 1300 1400	211 142 55	9,5 19,0 20,0	120 95 34	8,0 13,0 16,5

с) со скоростью ползучести
ဗ
(ПРИ 1400°C)
идп)
Коррозии
PATYPHON
ВЫСОКОТЕМПЕРАТУРНОЙ КОРРОЗИИ (
связь скорости вы
СВЯЗР

СВЯЗЬ СКОРОСТИ ВЫСОКОТЕМПЕРАТУРНОЙ КОРРОЗИИ (ПРИ 1400°С) СО СКОРОСТЫО ПОЛЬЗУЧЕСТИ  На воздуже  В расциаве	TEPATY	РНОЙ	KOPPO3	На воздухе	PM 1400	3	CKOPOCII	POIL OIG	распла	ызучьсти В расплаве стекла		
	еПМ č =	Скорос гонкн, кт/(м	Скорость воз- гонкн, · 10 <sup>1</sup> , кг/(м² · с), при	Ускорен	Ускорение возгонки,	нки, %	ьПМ <b>д</b> ==	Скорость растворе- ния, 10—11, кг/(м² · с), при	Скорость растворе- ная, 10 <sup>-11</sup> , кг/(м² · с), при	Ускорение растворения, %	раствор	ения, %
Сплав	PaH <sup>D</sup>		ьПМ	-эжвд	за счет леги- рования	счет леги- рования	р <sub>вн</sub> о і		ьПМ	-Rqi	за счет леги- рования	счет леги- рования
	нди .Р/% ,з	$\mathbf{o}_{\mathbf{H}\mathbf{g}\mathbf{H}} = 0$	о <sub>нач</sub> — 5 И	ээ САСТ НЭП ИНЯ	0 = PRHO	= <b>Р<sub>БН</sub>о</b> вПМ д =	ıdu 'ь/% 'з	$a_{HgH} = 0$	л с <b>— г.вн</b> о	за Счет наг жения	0 = P.BH	<b>= <sub>Рвн</sub>о</b> вПМ д =
	0,2	4,8	25	525	I	ŀ	6,0	8,0	3,2	300	١	i
ПлПдРд25—10	8,0	ა, დ	42	1005	-5*1	68*1	9,0	7,3	78	980	810*1	2340*1
ПлПдРдРу25—10—1,5	0,5	27	09	122	ź*019	43*2	0,2	91	54	240	119*2	31*2
ПлПдРд35—13	0,5	7,0	26	200	١	ı	0,5	81	135	650		ł
Сплав Pt—Pd—Rh—Ir	0,4	0,6	62	290	28*3	10*3	0,4	20	110	450	10*3	20*3

\*! Легирование сплава Рt—Rh 25 % Pd. \*? Легирование сплава Рt—Pd—Rh 1,5 % Ru. \*3 Легирование сплава Pt—Pd—Rh 1,0 % Ir.

Рис. 6.39. Зависимость скорости возгонки  $K_{\rm B}$  сплевов Рt—Rh от их скорости полячести при 1400  $^{\circ}$ С ( $^{\circ}$ 6) и  $^{\circ}$ 6 мПа

Одной из возможных причин ускорения возгонки на воздухе и растворения в расплаве стекла при ползучести может быть нарушение сплошности защитного оксидного слоя на поверхности. Следует также принять во внимание, что при 0,7— $0,9\,T_{\pi\pi}$  может развиваться диффузионная ползучесть, сопровождающаяся повышением коицентрации вакансий на поверхности и соответственно увеличением вероятности отрыва атомов от кристалла. Ускорение возгонки на воздухе и растворения в расплаве стекла при ползучести может быть также следствием повышения плотности дислокаций (выходы дислокаций на поверхность кристалла являются центрами испарения на воздухе и растворения в расплаве стекла).

На рис. 6.39 показано, что при 1400 и 1700 °С с уменьшением скорости ползучести двойных сплавов Pt—Rh скорость возгонки уменьшается. Это снижение скорости возгонки связано только с уменьшением скорости ползучести при увеличении концентрации Rh, так как сам Rh сравнительно мало изменяет показатели возгонки платиновых сплавов в иенапряженном состоянии.

Следовательно, уменьшая скорость ползучести платиновых сплавов за счет упрочияющего легирования, можно снизить развитие коррозии

и повысить эксплуатационную стойкость.

Сопоставление данных по скорости ползучести платиновых сплавов с ускорением их возгонки на воздухе и растворения в расплаве стекла при ползучести (табл. 6.49) показывает, что при легировании платинового сплава новым компонентом, уменьшающим или увеличивающим скорость ползучести, соответственно уменьшается или увеличивается показатель ускорения возгонки и растворения в стекломассе при ползучести.

Таким образом, легирование платиновых сплавов Ru или Ir ведет к повышению их жаропрочности и одновременному снижению возгонки на воздухе и скорости растворения в расплаве стекла при ползучести.

### 6.10. Коррозионностойкие материалы

Применение благородных металлов и их сплавов в качестве материала для лабораторной посуды, принадлежностей и аппаратов для химической промышленности является традиционным. Еще в начале XIX века из платины изготавливали аппараты для выпаривания серной кислоты.

Использование их в этих областях определяется высокой коррознонной стойкостью при комиатной и повышенных температурах, высокой температурой плавления, иизким давлением пара, а также хорошей жаропрочностью и обрабатываемостью.

Области применения изделий на основе благородных металлов и ус-

ловия их работы приведены ниже.

Материалы на основе платины и ее сплавов:

— посуда из платины для химического анализа (чашки, лодочки, тигли, трубки и т. д.); при этом не рекомендуется плавление или нагрев соединений As, B, P, Si, Pb, Sn, Zn, Sb, Se, Te, C, S, нагрев посуды на железных подставках; нельзя производить работу с расплавленными питратами в присутствии щелочных гидроксидов или карбонатов, проводить опыты с царской водкой или смесями соляной кислоты и окисляющихся веществ, плавку на воздухе щелочей, щелочных оксидов или перекисей, или (в меньшей степени) щелочных гидроксидов, плавку с доступом воздуха цианидов или щелочных хлоридов при высоких температурах (около 1000 °C), длительный иагрев фосфорной кислоты [29]; для повышения формоустойчивости Рt легируют добавками Au, Rh или Ir [264], а также используют спеченный материал, который получают смешением порошка Рt и сотых долей процента тугоплавких оксидов (ZrO<sub>2</sub>, Cr<sub>2</sub>O<sub>2</sub>):

— тигли из плакированных материалов (из окалино- и коррозионностойких сталей с внутренним платиновым покрытием) используют

без нагрева выше 900 °С [264];

— тигли из платинооксидоспечениого материала, покрытые с обеих сторон платиной, используют в производстве стекла до 1100°C [264];

- тигли из платины для производства оптического стекла при

температурах 1100—1400 °С [29, 264];

— облицовка и плакировка платиной аппаратов, работающих под давлением (автоклавов) в условиях агрессивной среды при повышенных температурах [264, 822];

— сосуды из платины для компактирования радиоактивных отхо-

дов при температурах 1000—1200 °С [264];

-- покрытия из платины циркония и его сплавов в атомных реак-

торах [38];

— фильеры для производства искусственных и синтетических волокон при  $100-400\,^{\circ}\mathrm{C}$  в 7.%-ном растворе NaOH и  $10\,^{\circ}$ -ном растворе  $H_2\mathrm{SO}_4$  из сплавов  $Pt-7.5\,^{\circ}$  Au,  $Pt-25\,^{\circ}$  Pd,  $Pt-10\,^{\circ}$  Rh,  $Au-50\,^{\circ}$  Pt,  $Au-30\,^{\circ}$  Pt [264, 821].

Материалы на основе металлов платиновой группы:

- тигли для выращивания синтетических кристаллов из расплавов щелочных и щелочноземельных галогенидов или оксидов для изготовления призм для ультрафиолетовой и инфракрасной спектроскопии, лазерной и мазерной техинки; в зависимости от температуры плавления оксидов и вида процесса используют тигли из Pt,Rh, Ir или из сплава Pt—Ir [264, 822];
- реторты и трубы из палладия в аппаратах перегонки плавиковой кислоты [822];
- тигли из иридия для изучения химических реакций при температурах 2000—2300 °C [9];

 покрытия из родия и палладия в прецизнонных приборах для измерения физических констант в агрессивных средах [9]:

- тигли из сплава Pd—Ag для исследования легкоплавких силикатов при 1250 °C [29];
- лабораториая посуда из серебра в химическом анализе; при этом иельзя производить работу с коицентрированными растворами, например бисульфата щелочи; с растворами солей аммония при 20 °С, щелочных цианидов при 20 °С и плавиковой кислоты при 100 °С при достаточном доступе воздуха, а также с расплавами щелочиых цианидов; то же самое относится к действию галогенидов и элементарной серы [264];

— автоклавы, дистилляционные аппараты, баки из серебра для содержания агрессивных растворов, паров или газов в химической промышленности; для этой цели применяют как изделия из серебра, так и покрытия; применяют также серебро с добавками 0,15 % Ni для измельчения зерна или 5 % Cd для повышения хлорустойчивости; при рабочей температуре выше 200 °C применяют вкладываемые серебряные обкладки; если требуется высокая термопрочность серебра, то аппараты изготавливают из виутрениеокисленных серебряных материалов [264];

— трубопроводы, нагревательные и охлаждающие элементы— змеевики из серебра для химической аппаратуры, работающей в агрессивных средах [264]; для трубопроводов применяют также сплав Pallacid (Au—40 Ag—30 Pd), разработанный фирмой «Дегусса», который устойчив при доступе воздуха против действия концентрированной

соляной кислоты [264];

— сосуды для хранения дистиллированной воды и бродильные чаны из серебра для приготовления фруктовых соков в пищевой промыш-

ленности [264];

— предохранительные мембраны из серебра в резервуарах высокого давления, содержащих агрессивные жидкости и газы при 120°C [264]; применяют также платину при 450°C, палладий или сплавы на основе золота (Au—30 Ag, Au—40 Ag—30 Pd) [264];

пористые фильтры (дозиметры) из серебра для работы в условиях агрессивных жидкостей или газов [264]; применяют также плати-

ну и палладий [264]. 6.11. Катализаторы

Благородные металлы являются основными, а в некоторых случаях единственными катализаторами многих важнейших промышленных процессов, включая производство высокооктанового бензина путем дегидрогенизации нафтенов, изомеризации и дегидроциклизации парафинов (риформинг), окисления аммиака при получении азотной кислоты, окисления этилена в оксид этилена, разнообразных процессов гидрирования в химической, нефтехимической, медицииской промышленности. Платина и палладий — основные компоненты катализаторов обезвреживания выхлопных газов двигателей внутреннего сторания, отходящих газов предприятий нефтепереработки и нефтехимии, некоторых химических производств. О масштабах использования благородных металлов для производства катализаторов можно судить по приведенным в табл. 6.50 данным [823] о промышленности США за 1978 г.

ТАБЛИЦА 6.50 ИСПОЛЬЗОВАНИЕ БЛАГОРОДНЫХ МЕТАЛЛОВ ДЛЯ ПРОИЗВОДСТВА КАТАЛИЗАТОРОВ В США В 1978 г.

Процесс	Катализатор	Количество благород- ного металла, т/год		
Обезвреживание выхлопных	Pt; Pd	Pt12; Pd4		
Раформинг Окисление аммиака при произ- водстве азотной кислоты	Pt; Pt—Re Pt—Rh; Pt—Rh— Pd	Pt3,4 Pt1,6; Rh0,2; Pd0,1		
Окисление этилена в оксид этилена	Ag	Agl26		
Гндрирование	Pd; Pt	Pd4,3; Pt0,5		

Цифры, приведенные в табл. 6.50, характеризуют только количество катализаторов, производимых в течение года для расширения производства, а также для восполнения потерь эксплуатируемых катализаторов и снижения их активиости. Общие количества Pt, Pd, Rh и Ag в работающих катализаторах гораздо больше. Например, по оценкам [823] в процессах гидрирования в промышленности США в 1978 г. применялн катализаторы, на которые было использовано 43,5 т Pd и 5 т Pt. В подобных масштабах эти металлы используются как катализаторы и промышленностью других развитых страи. В меньших количествах для тех же целей применяют Ru, Ir, Au.

Использование благородиых металлов в качестве катализаторов рентабельно, несмотря на их высокие цены, так как иет других материалов, обладающих такой же совокупностью каталитических свойств, химической устойчивостью, высокими температурами плавления и ки-

пения.

В процессах дожигания вредных примесей и окисления аммиака платина и ее сплавы с палладием и роднем месяцами сохраняют каталитическую активность и механическую прочность в кислородсодержащей среде при температурах до 1170 К. Катализаторы риформинга, содержащие платину, способствуют специфическим превращениям углеводородов при температурах до 720 К и не образуют объемных карбидов, что для других металлов приводит к потере каталитической активности. Серебро является единственным катализатором, позволяющим получать более 70 % оксида этилена в продуктах окисления этилена. Еще более высокая избирательность действия достигнута при гидрировании широкого круга соединений на палладиевых катализаторах. Например, углеводороды с двумя двойными связями (диолефины), которые вызывают осмоление бензина при хранении, могут быть на 99 % прогидрированы в моноолефины, что устраняет осмоление бензина.

Некоторые соединения палладия позволяют в растворе при температуре, близкой к комнатной, с высокими выходами получать ацетальдегид из этилена, винилацетат из этилена и уксусной кислоты, а последняя производится на родиевом катализаторе из метанола и оксида углерода с селективностью 99 %. Для сравнения следует отметить, что на других катализаторах, например кобальтовом, наряду с уксусной кислотой получается ряд побочных продуктов, что затрудияет ее

очистку.

Для пара-ортопревращения водорода при температуре жидкого азота рутениевый катализатор в 60 раз более активеи, чем оксиды железа или хрома, и позволяет работать с объемной скоростью порядка

 $10^6 \text{ u}^{-1}$ , легко комбниируется с теплообменником [824].

Особенностью платиновых металлов является усиление их каталитического действия при совместном воздействии по сравнению с раздельным или последовательным использованием тех же катализаторов. Это явление, иазываемое синергизмом, наблюдается как для смесей двух катализаторов, так и для биметаллических катализаторов на одиом иосителе. Например, со смесью в соотношении 1:3 катализаторов рутеини на активном угле и палладий на активном угле, содержавших 5 % металла, выход трансдиметилциклогексана при гидрировании о-ксилола при 298 К оказался в 2,5 раза выше, чем иад одним рутениевым катализатором, котя на палладиевом катализаторе при тех же условиях гидрирование вообще не происходило. Действие палладия было объясиено восстановлением на нем промежуточного продукта (1,2-диметняциклогексана), десорбирующегося с рутениевого катализатора [825]. Особенно эффективными являются добавки нескольких процентов платины или родия к палладиевым катализаторам гидрирования [826].

Подробные сведения о реакциях, катализируемых благородными металлами и их соединениями, появившнеся в мнровой литературе с 1940 по 1969 г., представлены в справочиике [827].

Формы применения благородных металлов для катализаторов

Известны следующие формы применения металлов:

1) массивный, компактный металл в виде сетки, фольги; 2) губчатый металл, полученный разложением соли соответствующего металла;

3) чериь, получаемая при действии восстановителей на соль металла:

4) коллоидные металлы, получаемые восстановлением солей в присутствии защитных коллоидов:

5) катализаторы на носителях:

6) сплавиые скелетные катализаторы, получаемые выщелачивани-

ем более активного компонента (Al, Mg и др.) из сплава.

Массивные, компактные катализаторы получают из металлов; они пе требуют предварительной обработки, кроме очистки поверхности химическим путем или прокаливанием, и в таком виде их используют в ряде производств. Это сетки с большой поверхностью, которые используются в основном в реакциях окисления, в электросинтезе в качестве электродов.

В СССР разработан сплав для катализаторных сеток, содержащий Pt, Pd, Rh (ПлПдРд4—3,5), применяющийся наряду с известным сплавом ПлРд7,5.

Впервые Тенар в 1813 г. открыл каталитическое действие Pt, а также Ag и Au при разложении аммиака. Деви обиаружил каталитический эффект Pt при беспламенном горении углеводородов и на этой основе

создал свою знаменитую «рудничную лампу Деви».

Губчатая платина была получена Волластоном в 1813 г. разложением  $NH_4PtCl_6$ . Доберейнер нашел, что губчатая платина катализирует взаимодействие  $H_2$  и  $O_2$  уже при комнатиой температуре, н использовал это свойство для создания своего так называемого гидропневматического огнива.

В настоящее время губчатую платину получают разложением солей Pt или H<sub>2</sub>PtCl<sub>6</sub> в токе водорода. Полученный рыхлый серый металл используют для катализирования реакций окисления, гидро- и дегидрогенизации. Активность ее ииже, чем Pt-черии, однако катализатор менее чувствителен к высокой температуре реакции.

Платиновая чернь — наиболее активный катализатор, хотя его активность существенно зависит от природы восстанавливаемой соли и от условий проведения реакции. Восстановление соли при получении катализатора проводится на холоду или при нагревании. Следует иметь в виду, что черни весьма чувствительны к нагреванию (спекаются и теряют активность). Сухое восстановление солей Pt, например, может быть осуществлено в токе водорода при нагревании, однако полученный этим способом катализатор обычио менее активен, чем при мокром способе получения. Мокрый способ состоит в восстановлении растворов солей Pt действием Zn, Mg, гидроксиламином, гидразингидратом, формальдегидом в щелочной среде. Последним методом, известиым как метод Лёва, получают наиболее активный катализатор. Так, 50 г H<sub>2</sub>PtCl<sub>6</sub> в 50 мл воды смешивают с 70 мл формалииа и при охлаждении добавляют раствор 50 г NaOH в 50 мл воды. Хорошо промытый катализатор сушат в эксикаторе над серной кислотой. Ро-чернь получается действием на соли Pd этих же восстановителей, а также формната натрия.

Катализатор Адамса — коричневый оксил платииы — получается сплавлением H<sub>2</sub>PtCl<sub>5</sub> с NaNO<sub>3</sub> при 500 °C. Массу вышелачивают водой и промывают. Катализатор особенно активен для реакций гидрогени-

зации. Аналогично получают Pd катализатор.

Pt, Pd и Ru — катализаторы на носителях получают пропиткой раствором соли иосителя и восстановлением в токе водорода при нагревании или мокрым путем восстановлением формальдегидом в шелочной среде. В качестве носителей применяют Al<sub>2</sub>O<sub>3</sub>, уголь, алюмосиликаты, асбест.

По Зелинскому Pt и Pd. нанесенные на асбест, восстанавливают формалином в присутствии полуторного количества NaOH, Широко применяют катализаторы на угле. Катализатор получают пропиткой березового активированного угля раствором соли и востановлением в токе водорода при 100—150 °C. Особенно пригоден для стереоспецифического восстановления бензильных производных (гидрогенолиз С-С связи) катализатор Pd(OH), на угле. Зелинский применял для гидрогенолиза С—С1 связи в циклических галоидпроизводных катализатор Pd/Zn, полученный осаждением Pd на Zn. В кислой среде Zn растворяется и служит источником водорода.

Коллоидальные катализаторы получаются восстановлением солей металлов в присутствии защитных коллоидов, препятствующих выпадению мелкораздробленных металлов в осалок. Мелкораздробленные металлы, так называемые катализаторы Бредига, полученные распылением металла в дуговом разряде — малостабильные катализаторы. В качестве защитных коллоидов используют растворы протальбината или лизальбината натрия, выделяемого из янчиого белка (катализаторы Пааля), или раствор гуммиарабика (катализатор Скита). Активность катализатора зависит от способа получения и свойств защитного коллоида: чем стабильнее коллоид, тем менее активеи катализатор.

Скелетные катализаторы были получены впервые Ренеем в 1924 г. путем вышелачивания сплавов каталитически активного металла с каталитически неактивиым металлом, способиым частично или полностью удаляться при обработке сплава растворами сильных электролитов. Это главным образом сплавы с АІ, Мд, Zn. Сплавы получают обычно сплавлением компонентов или совместным электроосаждением на металличе-

ских или графитовых электродах.

Скелетные Pt, Pd, Rh получают вышелачиванием сплавов, содержащих свыше 50 % АІ. Полученные катализаторы обладают высокой активностью в аиодном окислении водорода и метанола. Скелетную Pt готовят также из сплавов с шелочными металлами. Расплавленный Li при 450 °C реагирует с Pt, образуя фазу Лавеса состава LiPt<sub>2</sub>. С натрием взаимодействие протекает при 650°C. После удаления щелочного металла гидролизом получают активный Pt-катализатор. Значительный

интерес представляют бинарные скелетные катализаторы.

Металлические катализаторы, обработанные предварительно растворами хирального комплексообразующего органического соединения, например аминокислоты или оксикислоты, так называемого модификатора, приобретают способиость проводить реакции, главным образом гидрогенизации С=С и С=О связей в прохиральных соединениях энаитиоселективно, т. е. приводить к оптически активным продуктам (Р). Реакция протекает через образование хирального комплекса, находящегося на поверхности катализатора К, субстрата S и модификатора M:

 $MK \rightarrow [MKS] \rightarrow P$ .

Наиболее энантиоселективным катализатором оказался Ni с добавками благородных металлов VIII группы, модифицированный (+)-вин-

МЕТАЛЛИЧЕСКИЕ КАТАЛИЗАТОРЫ ГИДРОГЕНИЗАНИИ МОДИФИЦИРОВАННЫЕ ХИРАЛЬНЫМИ СОЕДИНЕНИЯМИ

	моди-	Услог реак			Оптически активныі продукт	
Қатализатор	Хиральный агент, фикатор	давлеине водо- рода, МПа	t, °C	Субстрат	названис	оптический вы- ход, %
Рd-чернь (или комплекс)	Фенил- этиламин	0,1	20	Азлактон	Фенилала- нин	4010
Pd-чериь (или комплекс)	»	0,1	20	Ацето- феноксим	Фенилэти- ламин	3,5
(1 % Pd—Ni)/ кизельгур	(+)-вин- ная кис- лота	5,5	110	Метил- ацето- ацетат	Метил-β- оксибутират	90
(1 % Ru—Ni)/ кизельгур	То же	5,5	110	То же	То же	90
Ru скелетный	. »	10	80	Этилаце- тоацетат	Этил-β- оксибутират	5

ной кислотой. Гидрогенизация на таком катализаторе, например эфиров ацетоуксусной кислоты или ацетилацетона, протекает с высокой энантиоселективностью, близкой к 100 %. Благородные металлы в чистом виде, например Ru, уступают по энантиоселективности Ni и Cu-катализаторам, хотя и обнаруживают высокую общую активность в гидрировании С=О связи в кетоэфирах и β-дикетонах.

В восстановительном аминолизе азлактонов Рd-катализатор проявляет высокую энантноселективность. Некоторые наиболее характерные

данные приведены в табл. 6.51.

Применение металлических катализаторов в производстве многооб-

Производство серной кислоты — окисление SO<sub>2</sub> в SO<sub>2</sub> — осуществляется путем применения тонкоизмельчениой Pt, Pt/асбест или Pt, нанесенный на другие носители (силикагель, MgSO<sub>4</sub>). Относительная активность катализаторов в окислении SO<sub>2</sub> убывает в ряду Pt>Ir>Pd.

Окисление аммиака осуществляется на Pt сетках или фольге. Окис-

ление высших парафинов — на OsO<sub>4</sub>.

В общем в реакциях окисления металлы VIII группы не находят широкого применения и в ряде случаев заменяются более дешевыми и активными катализаторами.

Гораздо большее значение благородиые металлы VIII группы име-

ют в процессах гидрирования — дегидрирования.

Применение Pt, Pd и других металлов для дегидрогенизации циклических углеводородов (реакцин, открытой Зелинским) позволило обогащать нефтяные фракции ароматическими углеводородами.

Зелинский открыл также, что Pt и Pd являются активными катализаторами гидрогенизации олефиновой связи и ароматических углеводородов при 150 °C в паровой и жидкой фазах. Повышение температуры до 250—300 °C усиливает обратный процесс — дегидрогенизацию. Реакция характеризуется тем, что сразу отщепляются три молекулы  $H_2$ , а молекула, например, циклогексана превращается в бензол. Оказалось, что этой реакции на Pt, Pd и других металлах VIII группы подвергаются только 6-члениые цикланы, что позволило А. А. Баландниу в рамках созданной им «мультиплетной теории катализа» сформулировать принципы структурного и энергетического соответствия в гетерогениом катализе.

По А. А. Баландину, каталитическая активность металлов VIII группы в гидро- и дегидрогенизации 6-членных циклических углеводородов связывается с геометрическими факторами — соответствием параметров кристаллической решетки металла межатомиым расстояниям в реагирующей молекуле органического соединения. Наиболее наглядной моделью служит дегидрогенизация молекулы циклогексана, плоско располагающаяся на грани (111) кристалла Рt, содержащей 6 атомов металла. Только металлы с решеткой типа A1 и со следующими параметрами, нм, способны к этой реакции: Pt — 0,2746; Pd — 0,27511; Ir — 0,2714; Rh — 0,26901; Os — 0,26754; 0,27354; Ru — 0,26502; 0,27058.

Ад и Аи имеют параметры кристаллической решетки, далеко превосходящие указанные, поэтому они не являются катализаторами превращения цикланов. Помимо геометрических, важны и энергетические факторы, связывающие каталитическую активность металлов с величинами энергий связей, например металл — углерод, металл — водород и металл — кислород в случае реакции органических молекул, содержащих реагирующие атомы: С. Н. и О.

Согласио А. А. Баландину между катализатором и реакцией сушествует и энергетическое соответствие. Например, для реакции дегидрогенизации этилового спирта на Pt

энергетический барьер E реакции изобразится секущей на так называемых вулканообразных кривых в координатах E-q, где q — адсорбционный потенциал катализатора, равный сумме энергий связей реагирующих атомов с катализатором:  $\hat{q} = Q_{Pt-C} + Q_{Pt-O} + 2Q_{Pt-H}$  . Зиая величины энергий связей, можно теоретически вычислить энергетический барьер реакцин, а отсюда и энергию активацин  $\varepsilon = -3/4 E$ , и таким образом предсказать оптимальный катализатор для данной реакции. На основании этих даиных теоретически рассчитывают, например, последовательность насыщения связей С=С, С=О, С=N, содержащихся в даиной молекуле на Pt-, Pd-, Ru-металлических катализаторах. Большое число экспериментальных данных в области гидрогенизационного катализа на металлах подтверждает теоретические расчеты. Кроме того, на основе мультиплетной теории были предприняты исследования установить связь каталитической активности металлических катализаторов, учитывая характеристики объемных соединений, например теплоты сублимации металлов. Так, оказалось, что зависимость активности металлов в реакции гидрирования олефинов, разложения муравыной икслоты и других реакциях от теплот сублимации описывается также «вулканообразной кривой».

Закономерности связи каталитической активности металлов с их электронным строением и энергетическими характеристиками промежуточных каталитических комплексов установлены для ряда каталитических систем.

Каталитическая активность металлов сопоставлена с их электронным строением, с недостроенностью d-электронной оболочки. Оказалось, что каталитическую активность в реакциях гидро- и дегидрогенизации проявляют металлы, содержащие 2-4 несвязанных электрона в заполняющихся d-подуровнях и 1-2- в s-подуровнях:  $Ru4d^75s^1$ ;  $Rh4d^85s^1$ ;  $Pd4d^{10}5s^0 = 4d^95s^1$ :  $Os5d^66s^2$ :  $Ir5d^76s^2$ :  $Pt5d^96s^4$ .

Увеличение *d*-вакансий в электроиной оболочке металла должно повышать прочность адсорбционных связей, а следовательно, и каталитическую активность. Так, при гидрогенолизе этана каталитическая активность растет от Pd к Rh и Ru и от Pt к Ir и Os. В реакциях с участием водорода (гидрогенизация, дейтерообмен) удельная каталитическая активность растет с заполнением *d*-подуровня, достигая максимума при почти полиом заполнением *d*-подуровня, достигая максимума при добавлении в бинарных сплавах Ag или Au к Pt, Pd постепенно заполняются *d*-подуровни и при содержании 60 % Ag (Au) каталитическая активность становится минимальной.

Теоретически наиболее обоснованиым методом, подтверждающим прямое участие *d*-электронов, должен быть катализ на сплавах металлов VIII группы с металлами I группы: Ag, Au (и Cu). Эти металлы образуют твердые растворы без существенного изменения параметров кристаллической решетки, поэтому пзменение каталитической активности при введении, например, Ag в Pd можно отнести целиком за счет заполиення *d*-подуровня в Pd. В ряде случаев наблюдаемая зависимость каталитической активности от состава сплава отвечает теоретически ожидаемой. Так, при реакциях на Pd—Ag сплавах, включающих водород, энергия активации остается постоянной, резко увеличнваясь при достижении содержання Ag, отвечающего заполнению *d*-подуровня в Pd. Однако в некоторых случаях, например при гидрогенизации ацетилена, такой связи не прослеживается.

Мембранные катализаторы Типы мембранных катализаторов. Мембранный катализатор отличается от других катализаторов тем, что сочетает каталитическую активность с избирательной проницаемостью для одного из участинков ускоряемой реакции. Например, реакции с присоединением водорода (гидрирование, гидродеалкилирование и др.) могут быть проведены с более высокой скоростью и селективностью за счет подачи водорода не в смеси с другим реагентом, а через мембранный катализатор. Реакции с выделением водорода (дегидрирование, дегидроциклизация и др.) ускоряются благодаря удалению образующегося водорода через катализатор. Проницаемыми для водорода мембранными катализатороми являются палладий и некоторые сплавы на его основе\*1. Мембранным катализатором, проницаемым для кислорода, может служить серебро, каталитически активное в отношении реакций окисления.

Мембранные катализаторы делятся на два типа, к одному из которых принадлежат вещества, обладающие как избирательной газопроницаемостью, так и каталитической активностью. Другой тип мембранных катализаторов составляют системы, в которых функцию избирательной газопроницаемости выполняет один компонент, а каталитиче-

<sup>\*1</sup> Пат. № 4132660 (США), 1979.

НА ЕГО ОСНОВЕ

HA ETO OCHOBE					
Состав катализатора, % (по массе)	Реакция	Темпера- тура ре- акции, К	Литература		
Pd Pd Pd	Гидрирование этилеиа Гидрирование хииоиа $H_2$ -D <sub>2</sub> -обмен, гидрирование этилеиа	423 375 423—573	[828] [832] [833]		
Pd Pd—35Ag Pd Pd—23Ag *	Гидрирование этилена То же Гидрирование ацетилена Гидрирование циклогек-	293—448 327 373—413 343—473	[834] [835] [836] [837]		
Pd—25Ag	сена Сопряжение дегидрировання этана и окисления водорода	725	*1		
Pd, Pd—5Ni, Pd— 10Ni, Pd—20Ag, Pd— 40Ag, Pd—50Ag	Дегидрирование цикло- гексана	473—760	[828]		
Pd—23Ag	Попименторонно мин по	398	10001		
S	Дегидрирование цикло- гексана в циклогексен	396	[838]		
Pd5,5Ni	Дегидрированне 2-метил- бутена-1	402—560	[839]		
Pd—10Rh Pd—5,5Ni	То же Дегидроциклизация н- гексана, н-гептана и н-	413—758 700—860	[839] [840]		
Pd—10Rh	октана Дегидроциклизация н-гептана	673—820	[840]		
Pd—23Ag; Pd—60Au	Изомеризация бутеиа-1	573—603	[841]		
Pd	и траисбутена-2 Сопряжение дегидриро- вания циклогексана и деметилировання о-кси-	703	[842]		
Pd; Pd—20Ag	лола Сопряжение дегидрирования трансбутена-2 с гидродеметилированием толуола или с гидриро-	653—713	[843]		
Pd—25Ag	ванием бензола Гидрирование изопрена в 2-метилбутен-1, гекса- диена-2,4 и гексадиена- 1,5 в гексен, стирола в	523	[844]		
.1 .1	этилбензол, акролениа в пропионовый альдегид, метилвинилкетона в ме- тилэтилкетон				
Pd—25Ag	Дегидрирование цикло- гексанола с образова- нием пиклогексанона и фенола	625	[844]		

МЕМБРАННЫЕ КАТАЛИЗАТОРЫ ИЗ ПАЛЛАДИЯ И СПЛАВОВ

скую активность обеспечивает другой компонент [829]. В более общем
случае [830] используется третий компонент, являющийся механически
прочным каркасом этой системы. Мембраниые катализаторы, состоящие
из иескольких слоев, называют композитными. К композитиым мембран-
ным катализаторам принадлежат: трехслойная система (металлокера-
мический лист, слой креминиорганического полимера, пленка надлалия
или сплава на его основе*1, пятислойная система (с обенх поверхно-
стей находятся пленки палладия или его сплава, наиесенные на
слои полимера, покрывающие металлокерамический лист).
KONGTOOLIMITATO AVOITO DATE OF THE PROPERTY OF

Композитиые мембранные катализаторы, проиицаемые для водорода, содержат в сотни раз меньше благородного металла на единицу поверхности, чем мембранные катализаторы в виде фольги из палладиевого сплава, и имеют более высокую механическую прочность. Но однослойные мембранные катализаторы в виде фольги или трубки более термостойки, устойчивы в химически агрессивных средах и менее слож-

ны в изготовлении.

В табл. 6.52 указаны реакции, осуществленные на проиицаемых для водорода катализаторах из палладия и его сплавов, чаще всего в

виде фольги или тонкостенных трубок.

Композитный мембранный катализатор, проинцаемый для водорода\*1, был приготовлен из медного или никелевого металлокерамического листа толщиной 0,2-1,0 мм, покрытого слоем полимера на основе полидиметилсилоксанового каучука толщиной 0,2-0,5 мм, который вулканизировали при 293 К в течение 2 сут. После 4-ч вакуумирования при 343 К на слой полимера в вакууме возгоняли плеику палладия или сплава палладия эффективной толщиной 0,01-0,1 мкм. Лист катализатора разделял реактор из нержавеющей стали на две камеры. В камеру, к которой был обращен металлокерамический лист, подавали водород, а в камеру с пленкой палладия или палладиевого сплава — пары гидрируемого вещества, например циклопеитадиена при температурах 366-423 К. Достигалось полное превращение циклопентадиена в смесь из 92 % циклопентена (мономера синтетического каучука) и 8 % циклопентана. Аналогичиые результаты были получены [858] на мембраином катализаторе в виде фольги из палладиевого сплава, содержавшей на единицу поверхиости в 100 раз больше драгоценных металлов, чем композитиый мембраиный катализатор.

 Зависимость каталитических свойств сплавов на основе палладия от их состава и термообработки. Бинарные сплавы Pd с Ni, Rh, Ru, Ag, Рt, полученные в вакуумной дуговой печи с нерасходуемым вольфрамовым электродом, после отжига в вакууме при 1273 К и проката в фольгу толщиной 0,1 мм испытывали на каталитическую активиость в отношении дегидрирования циклогексана [29, 828, 850]. С увеличением содержания второго компонента каталитическая активность всех упомянутых сплавов, кроме сплавов с Ад, проходит через максимум. Более активными, чем Рd, оказались, в частности, сплавы с 5-6 % (по массе) Ni и 6-9 % (по массе) Ru, а сплавы Pd-Ag - менее активными, чем Pd. Ниже даны для некоторых из этих сплавов температуры, соответствующие 33 % ной глубине дегидрирования циклогексана:

Состав катализатора, % (по массе)	Состав катализа- Т, К тора, % (по мас- се)	Состав катализа- Т. I тора, % (по мас- се)	
Pd 593	Pd—0,1Pt 630	Pd—20Ag 630	
Pd—5Ni 528	Pd—0,5Pt 545	Pd—40Ag 695	
Pd—10Ni 620	Pd—1,5Pt 555	Pd—50Ag 705	

<sup>\*1</sup> Пат. № 4132660 (США), 1979.

Состав катализатора, % (по массе)	Реакция	Темпера- тура ре- акции, Қ	Литература
Pd-5,5Ni; Pd-10Rh	Гидродеалкилирование	743870	[29]
Pd—23Ag **	толуола Гидрированне бутена-1	383	[845]
Pd—5,5Ni; Pd—10Rh; Pd—10Ru	и циклогексена Дегидрирование изопен- тана в изопрен и изопен-	743—870	*2
Pd—25Ag	тен Дегидрирование н-бута- на преимущественно в бутен-1 и изобутана в изобутен	603	*3
Pd—5,5Ni	Гидродеалкилирование этилбензола с образова-	800870	[846]
Pd—5Ru	нием толуола и бензола Дегидроциклизация н-гексана	608—848	[847]
Pd—5Ni; Pd—5; 15Mo; Pd—5Re	Гидродеалкилирование α- и β-метилнафталииов, 1,3-; 1,4-; 1,5-; 1,6-; 2,3-;	733—873	[848]
?d—25Ag	2,6-диметилнафталинов Гидрирование бутадиена-1,3 и бутена-1 в бутан, метилметакрилата в метилизобутират, дитретбутилэтилена в ди-	298—573	[849]
Pd—Ru (4,5; 5; 6; 7;	третбутилэтан Дегидрирование шикло-	623	[850, 851]
7,5; 8,5; 9) Pd—5,9Ni	гексана Гидрирование бензола в циклогексан и циклогек-	373473	[852, 853]
Pd; Pd—10Ru Pd—5,9Ni	Гидрирование хинона Сопряжение дегидроцик- лизации ундекана с гид- родеметилированием ди-	403 860	[853] [854]
Pd6Ni	метилнафталина Дегидрирование изоами- ленов	600—753	[855]
Pd—2Al	Перемещение двойной связи в пентене-1	508608	[856]
Pd—15Mo	Дегидроциклизация и-гексана	700—788	[856]
Pd-5Re	Дегидроциклизация	822—878	[856]
Pd—Rh (7; 10; 15; 20)	н-гептана Дегидрирование цикло-	400780	[857]
Pd-2Mo	гексана Гидродеалкилирование	753—859	*4, 5
<b>P</b> d—Ru (4,36; 9,78)	толуола Гидрирование циклопен- тадиена	300395	[858]

Состав катализатора, % (по массе)	Реакция	Темпера- тура ре- акции, К	Литература
Pd—Rh (2; 5)	Гидрирование циклопен- тадиена	371—511	[858]
Pd—5Ni	Гидрирование фурана, 2,3-дигидрофурана и сильвана	325—573	[859, 860]
Pd—5Ni	Гидрирование фурфурола	373—523	[861]
Pd5,9Ni	Сопряжение дегидроге- низации изоамиленов с гидродеметилировани- ем толуола или окислени-	723	[862]
Pd—5W—1Ru	ем водорода Дегидрирование 2-метил- бутена-1	573—771	*5
Pd—5W—1Ru	Дегидроциклизация н-гептана	723—863	*5
Pd—5Re	Дегидроциклизация н-гептана и н-октана	773—873	*5
Pd—W (5; 10; 15)	Дегидрирование 2-метил- бутена-1	818	*5
Pd—10Rh	Гидродеалкилирование толуола и о-ксилола	758—823	*6
Pd5Ni	Гидрирование фурфурилового спирта	373—500	[863]
Pd5,5Ni	Гидрирование 2-метил- иафтохинона-1,4 в рас- творе уксусного ангид- рида с этерификацией образующегося 2-метил- нафтогидрохииона-1,4 в 2-метил-1,4-диацетокси-	405—408	[864]
	нафталин		
Pd—2; 15Mo Pd—4,36Ru	Гидрирование бензола Гидрирование циклооктадиена-1,5	370—518 303—339	*7 *8
Pd—Ru (2; 5; 10)	Дегидрирование циклогексана	603—713	*9
Pd—5Ru	Дегидроциклизация н-гексана	738—848	*9
Pd—5Ti; Pd—7; 15Rh		503—773	[865]
Pd—Cu (37; 39; 42) Pd—5,9Ni **		523—673 433—574	[866] [867]
Pd Pd—5,5NiPd—Ru (6; 8; 10)	Гидрирование бутадиена Дегидрирование изопро- пилового спирта	323—373 473	[868] [869]
Pd—10Ru	Сопряжение дегидирования изопропилового спирта и гидрирования диклопентаднена		[870]

Pd—10Ru;         Pd—Rh         Дегидрирование циклогексана         623         [871, 872]           Pd—5,9Ni         Гидрирование ацетилена         373—453         [873]           Pd—5,9Ni         Гидрирование этилена         293—463         [874]           Pd—9,8Ru         Гидрирование циклопентациена         343—393         [875]           Pd—Ru (6; 10)         Гидрирование нитробензола         303—473         [876]           Pd—15Rh         Гидрирование нафталина в тетралин гидрирование этилена         353—423         [877]           Pd         Гидрирование этилена         373         [878]	Состав катализатора, % (по массе)	Реакция	Темпера- тура ре- акции, К	Литература
	(2; 5; 10) Pd—5,9Ni Pd—5,9Ni Pd—9,8Ru Pd—Ru (6; 10) Pd—15Rh	гексана Гидрирование ацетилена Гидрирование тадиена Гидрирование нитробен- зола Гидрирование нафтали- на в тетралин	373—453 293—463 343—393 303—473 353—423	[873] [874] [875] [876]

\* На реакционную поверхность наиесен слой золота.

\* На реакционную поверхность наиесен слой золота толщиной 25 мкм.

\*\* На гидиррующую поверхность ианесен слой золота толщиной 25 мкм.

\*\* Пат. № 3290406 (США), 1967; \*² Пат. № 3562346 (США), 1971; \*³ Пат.

№ 3702876 (США), 1971; \*⁴ Пат. № 3799889 (США), 1974; \*⁵ Пат. № 3865891 (США), 1975; \*6 Пат. № 3876555 (США), 1975; \*7 Пат. № 3931345 (США), 1976; \*8 Пат. № 3949011 (США), 1976; \*8 Пат. № 4026958 (США), 1977.

Каталитическая активность тем выше, чем ниже указанная температура. Каталитическая активность сплавов Pd-Ru и Pd-Rh увеличивается после термообработки на воздухе при 923 К, а затем в водороде при 523 К по сравнению с аналогичными обработками при 523 К. Электронно-микроскопическим исследованием выявлено увеличение шероховатости поверхности сплавов после высокотемпературной обработки. Изучение состава поверхностного слоя толщиной 200-500 нм фольги из сплава Pd-Ru и Pd-Rh методом рентгеновской фотоэлектронной спектроскопии позволило установить [871, 872, 879], что при обработке на воздухе при 673-773 К возникают оксиды металлов, но соотношение концентраций металлов в поверхностном слое остается близким к среднему по объему сплава. Последнее имело место и после 14-ч обработки сплавов парами бензола при 623 К. Но если при той же температуре сплав контактирует с парами циклогексана, который подвергается дегидрированию, то поверхностиый слой сплава постепенно обогащается Ru или Rh. Для сплава Pd-5 Pd за 21 ч контакта с парами циклогексана содержание Rh в поверхностном слое достигло 29 % (по массе) и при этом превращение циклогексана в бензол постепенно возросло до 96 %.

Выдерживание палладия или его сплава в инертном газе при температуре 973 К и быстрое охлаждение (закалка) повышают каталитическую активность для ряда реакций [29]. На незакаленной фольге из сплава Pd—5 Ni выход бензола при гидродеметилировании толуола при 841 К был равен 13 %, а после закалки фольги увеличился до 36 %. На фольге из сплава Pd-10 Rh при 783 K выход ароматических углеводородов при дегидроциклизации н-гептана возрос от 29 до 69 % в результате закалки катализатора. Это позволяет повысить эффективность мембранных катализаторов в виде фольги или тонкостенных трубок из палладиевых сплавов.

Преимущества гидрогенизации водородом, поступающим через мембранный катализатор по сравнению с подачей его вместе с гидрируемым веществом. При обычно используемом в промышленности способе подачи водорода в смеси с гидрируемым соединением эти два вещества конкурируют при адсорбции на поверхности катализатора, что уменьшает скорость реакции. Такой способ подачи водорода не позволяет поддерживать на всей длине слоя катализатора постоянную и низкую концентрацию адсорбированного водорода, что необходимо для получения ценных продуктов неполного гидрирования, которые термодинамически неустойчивы в присутствии избытка водорода. Для гидрирования в жидкой фазе скорость поступления водорода к поверхности катализатора определяется его растворимостью и коэффициентом диффузии в жидкости.

Все эти ограничения снимаются при подаче водорода через мембранный катализатор, вдоль другой поверхности которого поступает гидрируемое вещество [829]. Концентрация водорода на гидрирующей поверхности мембранного катализатора может регулироваться в известных пределах независимо от коицентрации гидрируемого вещества путем изменения парциального давления водорода в зоне его подачи. При этих условиях в зоне гидрирования равновесие газообразного и алсорбированного вещества не устанавливается. Например, при одинаковом давлении водорода в зоне гидрирования бензола на внешней поверхности трубки из сплава Pd-5.9 Ni скорость гидрирования оказалась разной при подаче водорода с парами бензола и через стенку трубки [852]. Поддержание низкой концеитрации адсорбированного водорода на всей поверхности мембранного катализатора дает возможность остановить гидрирование на стадии получения продукта неполного гидрирования. На трубке из того же сплава ацетилен гидрируется в этилен без образования продукта полного гидрирования — этана [873]. При переносе водорода через фольгу из сплава Pd-9,8 Ru гидрирование циклопентадиена в циклопентен идет с вдвое меньшим выходом продукта полного гидрирования (циклопентана), чем при подаче водорода в смеси с углеводородом [880]. Повышение селективности является одним из важнейших технико-экономических преимуществ мембранных катализаторов гидрогенизации перед обычными.

Скорость переноса водорода через мембранные катализаторы из палладиевых сплавов в сотни раз выше, чем через воду или органические жидкости, в среде которых ведется гидрирование во многих пронессах производства витаминов, лекарств, химических реактивов. Это обусловлено тем, что растворимость водорода в палладии и его сплавах в 104-105 раз больше, чем в жидкостях, а коэффициент диффузии — только в 100 раз меньше.

Производительность единицы поверхности палладиевого сплава, через который на поверхность выступает водород в высокоактивном атомарном состоянии, выше производительности, наблюдаемой при подаче на тот же сплав смеси гидрируемого вещества с водородом. Выход циклопентена при гидрировании циклопентадиена на фольге из сплава Pd—10 Ru на 10 % увеличивается при переходе к подаче водорода через катализатор [870].

Повышение выхода и селективности реакций с выделением водорода за счет его удаления через мембранный катализатор. Многие промышленно важные реакции идут с выделением водорода, повышение давление которого уменьшает скорость процесса и вызывает вредные побочные реакции. Удаление водорода, образующегося при дегидрировании изоамиленов, через мембранный катализатор из сплава Pd—5,9 Ni позволяет в полтора раза увеличить выход мономера синтетического каучука — изопрена по сравнению с достигаемым на лучших промышленных катализаторах при более высокой температуре. На мембранном катализаторе не обнаружены побочные продукты (пиперилен, циклопентадиен), образующиеся на промышленном катализаторе. Эти результаты были воспроизведены в укрупненных реакторах с мембранными катализаторами на Стерлитамакском опытно-промышленном нефтехимическом заволе [855].

Пирокатехин в настоящее время получают с выходом 80 % дегидрированием циклогександиола-1,2, который при этом частичио преврашается в побочный пролукт — фенол. На мембранном катализаторе из сплава Pd-15 Rh выход пирокатехина составляет 95 % и фенола не

образуется.

Преимущества мембранных катализаторов перед обычными в реакциях с выделением водорода обусловлены тем, что отщепляемые от реагирующих молекул атомы водорода могут сразу проникать в палладиевый сплав. Так как концентрация водорода у другой поверхности мембранного катализатора поддерживается низкой путем подачи газаносителя, то происходит перенос атомарного водорода из зоны реакнии его образования. Таким образом устраняются термодинамические и кинетические ограничения реакции с выделением водорода и подавляются побочные процессы, для которых необходима определенная концентрация водорода на поверхности катализатора.

Явление сопряжения реакций на мембранном катализаторе. Указанные в двух предыдущих разделах преимущества мембранных катализаторов усиливаются при одновременном проведении на одной поверхности мембранного катализатора реакции с выделением водорода, а на другой — реакции с его присоединением. Такое сопряжение реакций на мембранном катализаторе было обнаружено и описано в работе!, а также в работе [843]. От известного ранее сопряжения реакций дегидрирования и гидрирования, идущих в одной фазе, сопряжение реакций на мембранных катализаторах выгодно отличается тем, что не образуется смесь из всех компонентов обенх реакций.

На мембранном катализаторе осуществляются следующие виды со-

пряжения [829, 881]:

1. Энергетическое — за счет переноса тепла экзотермической реакцни присоединения водорода через обладающий высокой теплопроводностью катализатор к его поверхиости, на которой осуществляется эн-

дотермическая реакция с отщеплением водорода.

2. Термодинамическое -- увеличение глубины протекання как реакпии с выделением водорода, так и реакции с присоединением водорода в результате переноса образующегося при первой реакции водорода через мембранный катализатор в зону протекания второй реакции. Реакцию, не идущую самопроизвольно ( $\Delta G_1^0 > 0$ ), можно осуществить за счет убыли энергии Гиббса другой реакции ( $\Delta G_2^0 < 0$ ) при условии  $|\Delta G_2^0| > |\Delta G_1^0|$ .

3. Кинетическое — за счет переноса общего компонента обенх реакций через мембранный катализатор в активном (атомарном) со-

стоянин.

Экспериментальные доказательства эффективности сопряжения реакций на мембранных катализаторах были получены для иескольких пар реакций. На внешней поверхности палладиевой трубки при гидрировании бензола водородом, образующимся на внутренней поверхности в результате дегидрирования трансбутена-2 в бутадиен, получено [843] последнего в 2 тыс. раз больше с единицы поверхности, чем для промышленного катализатора К-16 [882], и без образования побочных продуктов.

При сопряжении дегидрирования изопропанола с гидрированием

циклопентадиена степень превращения изопропанола достигает 39 % против 20 % без сопряжения, выход циклопентена 95 % против 72 % без сопряжения. Из зоны дегидрирования изопропанола при сопряжении удаляется 49 % от количества выделившегося водорода, а при продувании инертного газа вдоль другой поверхности мембранного катализатора — только 20 % [870]. Это характеризует эффективность проведения обеих реакций, как и повышение селективности получения циклопентена — продукта неполного гидрирования циклопентаднена.

Для осуществления сопряжения реакций на мембранных катализаторах разработаны конструкции реакторов , которые отличаются от аппаратов для выделения водорода из газовых смесей диффузией через палладиевые сплавы тем, что обеспечен проток реагентов без застойных зон по обе стороны катализатора, объемы этих двух зон соизмеримы и свободны от деталей, на поверхности которых могут происходить ие-

желательные побочные процессы.

От реакторов с гранулированным катализатором реакторы с мембранным катализатором выгодно отличаются постоянством во времени газодинамического сопротивления, так как не происходит изменения формы или усадки гранул. Механическому износу мембранный катализатор в виде фольги или трубки подвержен гораздо меньше, чем палладиевые катализаторы на носителях (активный уголь, оксид алюминия и др.). Поэтому при переходе к мембранным катализаторам потерн благородного металла сократятся и будут устранены загрязнения продуктов мельчайшими частицами активного угля или другого носителя.

Кроме отмеченных выше преимуществ мембранных катализаторов из палладневых сплавов, следует указать их устойчивость ко многим химически агрессивным средам, в том числе к уксусному ангидриду. На этом основано объединение в одну стадию и проведение в одном реакторе двух процессов: гидрирования, иапример 2-метилнафтохинона-1.4 в соответствующий гидрохинон, и его ацетилирования уксусным ангидридом, который служит растворителем исходного вещества, с образованием витамина К [864]. В настоящее время эти две стадии проводятся в разных аппаратах, причем гидрирование осуществляется в автоклаве. Использование мембранного катализатора в виде трубки из палладиевого сплава позволяет отказаться от аппаратуры высокого давления н трудоемкого отфильтровывания дисперсного катализатора от продуктов реакции гидрирования. Все это обеспечивает не только удешевление производства, но и повышение чистоты получаемого витамина К4.

Высокая селективность мембранных катализаторов и их устойчивость к износу позволяют использовать их при создании безотходных

технологических процессов.

# 6.12. Сплавы для стоматологии

Классификация и требования

Сплавы с благородными металлами, применяющиеся в ортопедической стоматологии, классифицируются в зависимости от назначения по группам:

1. Для отливки зубных протезов и деталей. 2. Для штамповки коронок и других деталей.

3. Для зубных протезов с керамическими покрытиями.

4. Для различных промежуточных назначений.

<sup>1</sup> Пат. 3290406 (США), 1966.

<sup>&</sup>lt;sup>1</sup> Пат. № 3779711 (США), 1973; Пат. № 3849076 (США), 1974; Пат. № 4014657 (США), 1977.

К группе 4 здесь отнесены сплавы, по химическому составу входящие в группы 1, 2, 3, предназначенные для изготовления замковых крепленни, штифтов, бюгельных протезов, пломбировочных вкладок и др.

Сплавы для отливки зубных протезов. К этим сплавам предъявляются следующие требования: жидкотекучесть и малый коэффициент усадки при кристаллизации; высокие прочностные свойства и износоустойчивость; минимальная разница электрических потенциалов с материалами других элементов зубного протеза и биологическая совместимость с тканями полости рта; минимальное содержание примесей неблагородных металлов.

Типы литейных сплавов

Литейные сплавы золота для зубоврачебной техники подразделяют на четыре типа в соответствии с нх твердостью или механической прочностью. Сплавы типа 1 являются относительно мягкими, однофазными, не упрочняемыми термической обработкой и используемыми при минимальных напряжениях.

Сплавы типа 2 более твердые, используются для рабочих прокладок среднего сечения, в то время как материалы типа 3 применяют для высоконапряженных коронок и мостов. Экстратвердые золотые сплавы типа 4 пригодны для реставраторов и применяются для тонких вставок, которые должны противостоять высоким нагрузкам.

Литейные сплавы — это в основном сплавы системы Ан-Ас-Си с добавками Pd, Pt, состав которых, % (по массе, приведен ниже [883]:

Тип сплава	Au	Ag	Cu	Pd	Pt	Zn
<b>2</b> 3	80,2—95,8 73,0—83,0 71,0—79,8 62,4—71,9	6,9-14,6 5,2-13,4	7.1 - 12.6	0-5,6 0-6,5	0-4,2 0-7,5	0-1,4

# Механические свойства литейных сплавов:

Тип	Состояние	$\sigma_{_{\rm B}}$ , МПа	δ, %	нв, мпа
1 2 3	Мягкое » Мягкое, упроч- ненное То же	208—310 310—380 330—395 410—565 410—520 690—830	20—35 20—35 20—25 6—20 4—25 1—6	450—700 800—900 950—1150 1150—1650 1300—1600 2100—2350

Известны сплавы, содержащие до 50 % Ан. Эти сплавы, используемые для изготовлення коронок и мостов, можно разделить на две группы: содержащие менее 10 % Au и 20—30 % Pd, 50—70 % Ag, Cu и Zn; содержащие 50 % Аи н 5-10 % Рd, а также добавки Ag, Си и Zn.

Среди литейных сплавов белого золота выделяют три типа сплавов: твердый и два особо твердых. Состав литейных сплавов белого золота, % (по массе), приведен ниже [3]:

Тип сплава	Au	Ag	Cu	Pd	Pt	Zn
Твердый	6065	10 - 15	9-12	6-10	4—8	1_9

Механические свойства литейных сплавов белого золота:

нв, мпа	σ <sub>в</sub> , МПа
1050-1165/1200-1700 1300-1800/2250-2600	350-400/420-530 460-530/770-840
1600-1800/2200-2800	580-610/810-910
	1050-1165/1200-1700 1300-1800/2250-2600

		Продолжение
Тип сплава	σ <sub>ω1</sub> , МПа	δ, %
Твердый Особо твер-	170-210/200-320 280-320/530-580	9-18/2-12 9-15/1-3
дый То же	350-390/460-700	9-12/2-3

Примечание. В числителе — значения после закалки, в знаменателе после закалки и старения.

В СССР используют сплавы марки ЗлСрМ900-40 и Пд 190 (Ад-19 % Pd-0,7 % Cd, 1,2 % Zn), обладающие высокой пластичностью. Их поставляют в виде дисков и используют для изготовления штампованных деталей. Свойства этих сплавов приведены ниже:

Сплав	<i>d</i> • 10 ← 3, KΓ/M <sup>3</sup>	<i>t</i> <sub>пл</sub> , °C	$\sigma_{\mathbf{B}}$ , МПа	ну, мпа	δ, %
ЗлСрМ900—	17,5	963995	300/570	860/1820	<b>27/1</b> 3
40 Пд190	10,6	1040—1100	<u>-</u>	780/1630	_

Примечание. В числителе - в отожженном, в знаменателе - в деформированном состоянии.

Сплавы для штамповки

К сплавам для изготовления штампованных деталей зубных протезов предъявляются в осиовном те же требования, что и к литейным сплавам. Близость свойств сплавов, предназначенных для отливки и штамповки, является очень важным условием для создання и нормального функционирования комплексного зубного протеза. Более высокие требования к сплавам для изготовления штампованных деталей предъявляются в отношении пластичности.

В СССР для изготовления штампованных коронок и других деталей протезов применяют уже упоминавшийся сплав маркн ЗлСрМ900-40 н сплав маркн Пд 250 (Ag-25 % Pd-1,4 Zn), имеющего следуюшие свойства: HV 75 МПа,  $\sigma_{\rm B} = 30$  МПа,  $\delta_{\rm min} = 15$  %,  $t_{\rm п.n} = 1100 \div$ 

 $\pm 1160$  °C,  $d = 10.7 \cdot 10^3$  Kr/M<sup>3</sup>.

Сплавы для изготовления зубных протезов

с керамическими покрытиями

В медицинской практике одним из важнейших направлений является создание оптимальных составов сплавов для высококачественных зуб-

ных протезов с керамическими покрытиями.

Такие сплавы должны удовлетворять ряду требований, основными из которых являются [884, 885]: близкие значения термической деформации и коэффициента линейного расширення сплава и керамики в пределах температур от комнатной до 600°C; образование адгезионных оксидов, обеспечивающих надежное и длительное соединение сплава и керамнки; неизмениость цвета керамики; температура плавления сплава должна быть на 150°С выше температуры вжигания керамической массы в сплав.

Состав, % (по массе), таких сплавов на основе золота приведен

ниже [884]:

Сплав	Au	Ag	Pd	Pt	Įn	Ir	Sn	Zn
1	82,6	2,4	0,8	12,4	_	-		1.8
$\frac{2}{2}$	87,7	1,0	4,6	6, 1	0,6			_
$\frac{3}{4}$	84,8 51.5	1,3	4,6	7,9	1,26	0,15		
5	54.9	15.7				_		
0	01,2	10,1	20,4	_			4,6	

Прочность сплавов с высоким содержанием золота соответствует прочностн литейных сплавов 3 и 4 типов. Более высокой прочностью обладают сплавы с иизким содержанием Au, но они меньше упрочняются термообработкой. In или Sn присутствуют в этих сплавах для снижения высокой температуры плавления, связанной с большим содержаннем Pd.

Сплавы различных промежуточных назначений

в зубном протезировании

К таким сплавам предъявляются те же требования, что и к сплавам

групп 1, 2, 3 в зависимости от назначения.

По химическому составу и физико-механическим свойствам онн в значительной мере совпадают со свойствами сплавов указанных выше групп. Однако ряд из них имеет самостоятельное значение, например сплав ЗлПлСрМ750—90—80 для изготовления кламмеров в пластинчатых бюгельных протезах, штифтов и вкладок.

В зубопротезнрованин для изготовления пломб все большее при-

менение находят сплавы различных металлов.

Для отливки вкладок, применяющихся прн пломбированин зубов, используют сплавы с Au. Ag и Pd.

используют сплавы с Au, Ag и Ро Амальгамы

Амальгамы преимущественно состоят из Ag н Sn в отношении, приблизительно соответствующем соединению  $Ag_3Sn$ , с добавками до 6% Cu и 0.2% Zn.

Амальгамные сплавы обычно смешивают с Hg в отношении при-

мерно 1:1.

# 6.13. Материалы для ювелирного производства

Технические требования к ювелирным сплавам

Ювелирными наделиями называют предметы украшения человека и окружающей его обстановки, изготовленные с использованием благородных металлов и драгоценных камней, а также других долговечных материалов при условии их высокохудожественной обработки.

Сплавы благородных металлов, применяемые для наготовления ювелирных наделий, должны удовлетворять эстетическим, эксплуатационным и техиологическим требованням, а также соответствовать требованиям Госсаиинспекции Министерства здравоохранения СССР.

Цвет сплавов. Ювелирные сплавы должны обладать определенным ярким устойчивым цветом. Они делятся на цветные и белые (ахроматичные). Для каждого ювелирного сплава должно быть разработано несколько припоев, удовлетворнтельно совпадающих по цвету с основным металлом.

Пробность сплавов. Для изготовления ювелириых изделий применяют сплавы с определенным содержанием благородного металла—пробой. Проба сплава ювелирного изделия удостоверяется клеймом Инспекции пробирного надзора Миифина СССР.

Коррозионная стойкость ювелириых сплавов должиа обеспечивать устойчивость поверхности ювелирных изделий к воздействию внешней среды в нормальных (бытовых) условиях эксплуатации. Наиболее ус-

тойчивы ювелирные сплавы золота и платины высоких проб.

Износостойкость ювелирных сплавов должна быть достаточной для сохранения качества поверхности изделий при механических воздействиях в условиях эксплуатации, т. е. обеспечивать устойчивость против образования рисок и царапин на поверхности. Износостойкость ювелириых изделий обеспечивается определенным уровнем твердости сплава. Из-за иизкой твердости не получили практического применения чистые благородные металлы. Легирование их неблагородными металлами позволяет повысить твердость и другие механические характеристики.

Прочностные характеристики. Механическая прочность ювелириых сплавов должна обеспечивать цельность и неизменность формы ювелирного изделия, отсутствие деформации отдельных частей в процессе носки. Наиболее высокие требования по механической прочности предъявляются к элементам ювелирных изделий, обеспечивающим крепление ювелирных камней. Помимо значения временного сопротивления, важное значение имеет величина предела пропорциональности сплава. При высоких значениях предела пропорциональности требуются большие усилия при закрепленин, что приводит к повышенному

браку вставок по сколам.

Технологичность сплавов. Технологические особенности конкретных ювелирных изделий определяют требования к технологичности сплавов на различных операциях, которые в общем внде можно сформулировать так: плотный однородный слиток при литье в изложницу с равномерным распределением компонентов по высоте; пригодность к пластической деформации со значительными степенями обжатия; мелкозернистая структура при точном литье; отсутствие красноломкости при пайке; возможность переработки оборотного металла без заметного ухудшения прочности и пластичности сплава.

Пробность сплавов благородных металлов

и клеймение ювелирных изделий

Важнейшей характеристнкой ювелирных изделий является их проба. В иашей стране с 1927 г. установлена метрическая система проб, в которой содержание осиовного металла выражается в тысячных долях или количеством граммов благородного металла в одном килограмме сплава. Чистые металлы — Ап, Аg, Рt—имеют условную (расчетную) пробу 1000°. Реальные металлы из-за наличня примесей имеют пробу ис выше 999,9°—999,99°. Для определения пробности сплава известиого состава содержание благородного металла, выраженное в процентах, нужию умножить на 10.

Для ювелирных изделий предусмотрены следующие пробы: для золотых изделий — 375°, 500°, 583°, 750°, 958°;

для серебряных изделий — 750°, 800°, 875°, 916°, 925°;

для изделий из платииы—950°;

для изделий из палладия — 500°, 850°.

До 1927 г. в нашей стране применялась русская золотииковая проба, выражавшая содержание благородиого металла его массой в золотниках, приходящейся на 1 фунт сплава (в фунте содержалось 96 золотников). По содержанию золота 56 проба в золотниковой системе эквивалентна 583 пробе метрической системы.

В Англии и США применяют систему проб в каратах, при которой чистому металлу соответствует проба в 24 карата.

Ниже приведены пробности сплавов в разных системах:

Метрическая	Золотнико- вая	Қаратная	Метри <b>ч</b> ес- кая	Золотни- ковая	Қаратная
1000 958 916 875	96 92 88 84	24 23 22 21	583 (585) 500 375 333	56 48 36	14 12 9 8
750	<b>7</b> 2	18			

Все ювелирные нэделия, изготовляемые как промышленными предприятнями, так и в системе бытового обслуживания иаселения, предъявляют для опробирования и клеймения в соответствующую территориальную инспекцию пробирного надзора. Ииспекции проверяют соответствие изделий заявляемой пробе и ставят клеймо, удостоверяющее эту пробу.

Клейма делятся на две группы — основные и дополнительные (рис.

6.40, 6.41).

Основные пробирные клейма имеют самостоятельное значение и удостоверяют соответствие изделня указанной на клейме пробе. Дополнительные клейма применяют только в сочетании с одним из основных пробирных клейм.

Клейма литера Е предназначены для клеймення изделий, не соответствующих заявленной пробе (выходящих за пределы допустимого отклонения), и для изделий, после реставрации оказавшихся ниже обо-

значенной пробы.
Все второстепенные и дополнительные части нзделий должны быть заклеймены клеймом литера Д.

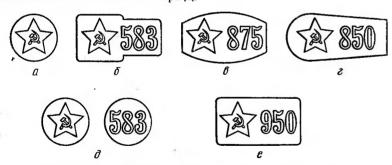


Рис. 6.40. Основные клейма Инспекции пробирного надзора СССР: a— знак удостоверения;  $\delta$ — для изделий из золота и платины;  $\delta$ — для изделий из серебра;  $\epsilon$ — для изделий на палладия;  $\delta$ — клеймо литера В ставится на пломбах;  $\epsilon$ — клеймо литера  $\Gamma$  (для сусального золота)

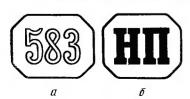


Рис. 6.41. Дополнительные клейма:  $a \leftarrow$  для отъемных частей (литер Д);  $6 \leftarrow$  для изделий, не соответствующих ааявленной пробе (литер E)

Клеймение изделий из благородных металлов пронзводится, исходя из результатов опробирования их на пробирном камие и контрольного апализа.

Допускаемые отклонения фактической пробы от номинальной (не более):

C	±3 пробы
Сплавов золота в полуфабрикатах	
Сплавов серебра, платины, палладия	$\pm 5$ проб
Изделий из золота	$\pm 5^{\circ}$ »
Изделни из серебра по основному металлу	±5 »
Изделий из серебра с припоем	±15 »
Филигранных мелких нзделий из серебра вместе с при-	
поем	$\pm 20$ »
Изделий на платины	±10 »
Изделий из сплавов палладия	$\pm 15$ »
- 10/2011111 IIO CINIADOD HAVIOLO,	

Цветовые характеристики золотых сплавов

Цветовая диаграмма системы Au—Ag—Cu была разработана Й. Лейзером [886] на основе визуальной оценки образцов сплавов этой системы. Было изготовлено 1089 составов сплавов, позволивших выделить цветовые области методом сплошного сканирования.

В последние годы для объективной оценки цвета золотых сплавов применяют методы колориметрии по системе МКО (Междуиародной

комиссии по освещению) [887].

В табл. 6.53 приведены цветовые характеристики ряда золотых сплавов, полученные по результатам измерения спектральных коэффи-

TAБЛИЦЛ~6.53 КОЛОРИМЕТРИЧЕСКИЕ ХАРАКТЕРИСТИКИ СПЛАВОВ ЗОЛОТА (ДЛЯ ИСТОЧНИКА СВЕТА C)

Ž	Содержание, % (по массе)			иассе)	ra		цинаты ности	ой тон	цвета,
Сплав,	Au	Ag	Cu	Pd	Светлота	x	y	Цветовой	Насыщен- ность цвет- %
	100				60.7	0.204	0.300	F70	42.
1	100	100	_		69,7	0,394 0,316	0,389 0,323	579	43,5
2 3 4 5 6 7 8 9	=	100	100		58,3	0,356	0,335	589	18,3
4	85,8	4,2	_		72,2	0,382	0,392	576,5	41,
5	95,8		4,2	_	67,6	0,379	0,367	581	33,
6	75,0	25,0			82,4	0,347	0,375	571	26,
7	75,0	21,3	3,7	—	76,8	0,354	0,374	574	29,
8	75,0	15,0	10,0		75,6	0,358	0,364	577	27,3
9	75,0	5,0	20,0		68,5	0,358	0,347	583	22,1
10	75,0	'	25,0	_	66,2	0,354	0,338	586	18,2
11	58,3	41,7	- 7		85,1	0,326	0,345	570	12,6
12	58,3	35,0	6,7	_	86,2	0,341	0,359	572	20,9
13	58,3	20,0	21,7 33,7		78,0	0,348	0,348	579 584	19,8
14 15	58,3 58,3	8,0	41,7		73,6	0,356 0,352	0,345 0,335	588	20,5 18,2
16	37,5	62,5	-TI,/	_	64,4 86,5	0,332	0,330	574	7,0
17	37,5	10,0	48,7	3,8	63.5	0,348	0,339	584,5	17,0

лиентов отражения образцов [888]. Представлены координаты цвета в системе ХҮХ, рассчитанные для источника света С. Цвет карактеризуется величиной У - коэффициентом яркости или светлоты цвета и цветностью, задаваемой коорлинатами цветности х и у. Помимо этих независимых характеристик, для наглядного представления цвета применяются производные понятия: цветовой тон, соответствующий длине волны чистого спектрального цвета; насышениость, отражающая соотношение спектрального н ахроматического пветов (рис. 6.42).

Из представленных в табл. 6.53 данных следует, что наиболее насышенным цветом обладает золо0,36 0,36 0,36 0,36 0,36 0,37 0,30 0,32 0,30 0,32 0,30 0,32 0,30 0,32 0,36 

Рис. 6.42. Цветовые области сплавов золота в системе Au—Ag—Cu

то. Насыщениость цвета золота при его легировании быстро падает, особенно при введении меди. Гораздо меньше падение насыщенности цвета при легировании серебром, что явно проявляется при сравнении сплавов 958 пробы. Можно отметить падение насыщениости цвета со снижением пробы сплавов золота, хотя бинарные сплавы Au—Cu 750, 853, 375 и 333 проб очнь близки по цветности. Разница в цвете становится заметной при легированни их серебром.

По цветовому тону все сплавы тройной системы располагаются в интервале от 589 нм (желто-оранжевый цветовой тон меди) до 570 им (бинариые сплавы 750 и 583 проб с серебром зеленовато-желтого тона). На сплавах 750 пробы удается получить ианболее необычные тона зеленоватого оттенка. С уменьшением пробы резко снижается насыщенность в области бинариых сплавов Au—Ag, что приводит к получению обесцвеченых сплавов при содержании свыше 60 % Ag. Сплавы золота в ювелирном производстве

Состав и свойства сплавов золота, применяемых ювелирной промышленностью, приведены в табл. 6.54—6.56.

ТАБЛИЦА 6.54

#### литейные сплавы белого золота

Jikii					(030)		т	к
:Марка сплава	Содержание, % (г		Zn			ликвидуса	солидуса	
ЗлМНЦ750—15—7,5 ЗлМНЦ750—12,5—10 ЗлМНЦ583—25—12,5 ЗлМНЦ583—16—17 ЗлМНЦ583—22—15		15,0 12,5 25.0 16,2 22,0	7,5 10,0 12,5 17,0 14,7	2,5 Ост. 4,2 8,5 4,8	0,03 Re  0,2 M <sub>Π</sub>	14,8 14,8 12,8 12,6 12,8	1218 1223 1258 1298 1263	1188 1183 1208 1178 1173

	Механические свойства в литом состоянии					
Марка сплава	σ <sub>в</sub> , МПа	о <sub>о, I</sub> , МПа	δ, %	ну, мпа	Насыщенность	
ЗлМНЦ750—15—7,5 ЗлМНЦ750—12,5—10 ЗлМНЦ583—25—12,5 ЗлМНЦ583—16—17 ЗлМНЦ583—22—15	450—500 460—510 450—500 550—615 490—530	390—440 390—440 265—295 390—420 300—340	20—30 20—30 37—48 25—35 40—50	1470—1960 1760—2060 1420—1570 1470—1960 1420—1570	0,13 0,11 0,10 0,08 0,10	

Сплавы золота 958 пробы имеют наиболее высокую химическую стойкость, но из-за ннзких механических свойств используются только для изготовления обручальных колец. Сплавы 750 пробы химически устойчнвы против действия сильных кислот. Мехаинческие и технологические характеристики сплавов типа ЗлСрМ750—150 удовлетворяют всем требованиям ювелирного производства. Применяются для изготовлення индивидуальных ювелирных изделий с драгоценными камнями. Сплав ЗлСр750—250, имеющий пониженную прочность, используют для закреплення нзумрудов, так как последние требуют особо бережной закрепки во избежание сколов. Сплавы 583 пробы — материал массовых ювелириых изделий. По химической стойкости они относятся к группе растворимых в минеральных кислотах сплавов. По механическим и технологическим характеристикам сплав ЗлСрМ583-80 удовлетворяет требованиям ювелирного производства на всех операциях, применяется для изготовления всех видов ювелириых изделий Механические свойства этого сплава считаются эталонными для оценки всех применяемых в ювелириом произволстве. Сплав ЗлСрМ583—300 обладает зеленоватым цветом и используется в сочетании со сплавом ЗлСрМ583-80 для создания полихромных изделий.

Сплавы золота 375 пробы относятся к тускнеющим на воздухе сплавам, что ограничнвает нх применение в ювелириом производстве. Современные сплавы 375 пробы легированы палладием, что иесколько повышает их коррозионную стойкость. Сплав ЗлСрПдМ375 используется для изготовлення обручальных колец, так как при хороших механических свойствах имеет широкнй интервал кристаллизации и склонеи к красноломкости при пайке. Для фасонных ювелириых изделий осванвают сплавы ЗлСрПд375—30—20 (желтого цвета) и ЗлСрПдГрК375—20—25 (желто-оранжевый, аналогичен по цвету ЗлСрМ583—80).

Сплавы золота белого цвета предназначены для изготовлення изделий с бриллиантами и изумрудами. Используют сплавы белого золота двух типов:

пластически деформируемые сплавы на основе системы Au—Ag—Pd марок ЗлСрПд 583—257, ЗлПдСрН 750—140; применяются для изготовлення заготовок методом листовой штамповки или ручной обработки;

литейные сплавы системы Au—Cu—Ni—Zn (см. табл. 6.56), пригодные для изготовлення заготовок методом точного литья.

				Содержа	Содержание, % (по массе)	Содержание, % (по массе)			4.10-3.
Марка сплава	Αu	Ag	þd	တ	Zn	Cu	In	другие	KT/M <sup>3</sup>
3 "C" MOE8.90	95.9	0 6	I	l	ı	2.2	1	1	18,52
3.1K6958	95,00	îl	1	2,0	1	Oct.	0,4	0,05 Be	18,5
3.1Cn750-250	75.0	25.0	1		1	l	1	i	15,9
3.4CpM750-150	75.0	15,0	1	I	l	10,0	1	ì	15,2
3aCp750-150	75.0	15.0	l	9,0	l	Oct.	0,4	ı	15,2
3. J.Co.M.583-80	58.3	8,0	l		1	^	1	[	13,24
37CpM583-300	58,3	30,0	!	1	!	^	ı	}	13,9
3.1Cp [[1,1M375	37.5	10,0	လ ထ	1	1	^	l	1	11,55
ЗлСрПл375-30-20	37.5	3,0	2,0	1	3,0	^	3,0	1	11,26
3лСрПдГрК375-	37,5	2,0	2,5	0,5	2,0	*	2,0	0,5 Ge	11,35

20-25						
					I.	Продолжение табл. 6.55
	T,	7, K	W E	о мпа	6	ну мп.
Марка сплава	ликвидуса	солидуса	В, тите	0,1	0, 70	117, 11114
3"CnM958-90	1303	1278	-/157	ı	-/22	-/490
3.1K6958	1285	1253	-/245	ì	-/15	/735
3.1Cp.750-250	1311	1301	981/-	l	98/-	—/ (HRB 32)
3. CpM 750-150	1193	1173	-/390	1	45	(HKC 100)
3AC5750-150	1200	1167	/540	-	-/35	1/50/1580-1640
3.nCpM583-80	1178	1151	290-390/440-510	-/350	32-44/38-51	0861-0871/—
3ACpM583-300	1173	1123	-/490	/294	/32	1330
3.1CpПлМ375	1223	1053	354/440	235/265	28/35	1300/1420
ЗлСрПд375-30-20	1218	1138	254/390	138/166	38/50	930/930
ЗлСрПдГрК375- 20-25	1238	1173	314/390	176/176	42/50	1030/930
Примечание	В числителе	е приведены	значения в литом с	примечанне. В числителе приведены значения в литом состоянии, а взнаменателе — после деформации и отжита.	теле — после деформал	ции и отжига.

ТАБЛИЦА 6.56

1	% %		68	42	٠ ئ	45	747		27.0	70	33	000	9	+ •	48	37	66	40	45	25	77	33	24		25	
	0,1	МПа	127	506	[	717	352	324	917 004	707	304	234	0 0 1 1	999	355	347	392	3/2	277	216	330	Ì	370	343	1	
	g,	МПа	275	362	410	9/0	480	26.5	220	242	392	010	000	ევი	220	540	510	480	440	420	392	470	480	510	1	
	2	gri	. 65	97	200	22	125	046		45	95	3;	25	22	136	140	125	121	109	63	96	116	108	105	84	
1688	<i>T</i> , K	ликвидуса	1298	1241	1298	1178	1166	6/11	1/11	1303	1253	8/1:	114/	1130	1118	1126	1140	1158	1180	1218	1139	1096	1129	1177	1063	
ЗАРУБЕЖНЫХ ФИРМ [889]	T,	солидуса	1263	1212	1213	1265	1155	1153	1163	1288	1213	1130	1106	1106	1100	1119	1126	1145	1162	. 1198	1053	1052	1052	1052	1050	
БЕЖНЫ	× 4×	Kr/M²	15,8	15,6	5,5	15,4	15,2	0,0	δ,	14,4	14,0	Σ. Σ.	13,7	13,7	13,6	13,4	13,3	13,2	13,1	13,1	12,0	11,5	11,3	11,1	10,9	
цветные сплавы золота зар		. Цвет, стандартные названия	Светлий желто-зеленый	Зеленовато-желтый	Средний зеленый	Светло-желтый	Красновато-желтый	Оранжево-красный	Интенсивно-красный	Бледно-зеленый	Светло-зеленый	Светло-зеленый	Светлый желто-зеленый	Светло-желтый	Желтый	Темно-желтый	Оранжево-желтый	Красновато-желтый	Опанжево-желтый	Ярко-красный	Бледио-зеленый	Светло-желтый	Соломенно-желтый	Красновато-желтый		
	% (no macce)	другие	I	1	8,3 Cd	1	l	Ì	1	l	l	l	l	i	1	i	1	1	İ	1	i	l	ļ	I	6,2 Cd; 1,5 Zn	
		రె	3.6	တိ	1	12,5	16,7	21,4	25,0	l	5,9	10,5	13,8	16,6	20.7	24.9	27,7	31,1	35.5	41.5	13,4	33,3	40.0	50.0	47,0	-   -
	Содержание,	Ag	21.4	16,7	16,7	12,5	8,3	3,6	1	41,5	35,6	31,0	27,7	24,9	20.8	16,6	13,8	10,4	9	; ;	53,3	33,4	26.7	16.7	12,0	
	O	Αu	75.0	75.0	75,0	75,0	75,0	75,0	75,0	58,5	58,5	58,5	58,5	58,5	58.5	58.5	58,5	58,5	oc oc	280	33.3	33,3	33.3	33,3	33,3	

В ряде стран применяют сплавы 333 пробы. В последнее время заметен интерес к низкопробным сплавам золота, несколько фирм выпустили на рынок кольца 250 пробы.

Особенности изготовления ювелирных изделий

из сплавов благородных металлов

Основные технологические операции. Технологический процесс изготовления ювелирных изделий состоит из следующих основных этапов:

заготовительные операции (изготовление деталей ювелирных изделий методами пластической деформацин—60-65 % от всего количества заготовок; точного литья—30 % заготовок; ручной обработки,

например выпиливание — 5—10 % заготовок);

монтировка ювелирных изделий, в процессе которой производится соединение деталей в единое изделие и подготовка поверхности под последующую отделочную операцию; производится опиловка, подгонка, пайка деталей, отбел и зачистка изделня после пайки, калибровка посадочного места под камень, шабровка поверхностн кругом; отделочные операции.

Шероховатость поверхности изделнй перед шлифованием должна соответствовать параметру  $R_a$  ие более 2,5 мкм на базовой длине 0,8 мм по ГОСТ 2789—73; шероховатость поверхности перед полированием должиа соответствовать параметру  $R_a$  не более 0,63 мкм на

базовой длине 0,8 мм;

опробирование и клеймение изделий в Инспекции пробирного надзора Минфииа СССР;

закрепление камней.

Отходы производства, получаемые при перечисленных операциях, переплавляются на ювелирных предприятиях в слитки. Особенности технологии плавки и литья слитков благородных металлов подробно описаны в работе В. П. Андронова [30]; учитывая, что этот технологический процесс не специфичен для ювелирной промышленности, в настоящем разделе он не рассматривается. Слитки прокатывают на листы или протягнвают в проволоку.

Литье ювелирных изделий по выплавляемым моделям. Технология литья по выправляемым моделям, применяемая в ювелирном пронзводстве, по составу оборудования н применяемым материалам отличается от процесса точного литья, известного в общем машиностроенин. Режимы литья ювелирных изделий регламентированы стандартом.

Высокое качество, чистота поверхности и точность воспронзведения ажурного рисунка обеспечиваются: использованием эластичных резиновых прессформ; тонкодисперсными формовочными смесями на гипсовом связующем; принудительным заполнением керамической формы ме-

таллом (центробежиое литье).

Плавку металла и заливку опок производят на центробежных установках фирмы «Арно Линдер» (ФРГ) [890]. Средняя скорость движения металла при заполнении литейных форм на этих установках составляет 0,60—1,20 м/с. Заполнение литейных форм для отливок с модулями охлаждения от 0,25 до 1,0 мм, характерными для ювелириых изделий, происходит в течение времеии, не превышающем 2,0—0,12 с, а затвердевание отливок происходит соответственно за 19—1,3 с [891].

Ряд зарубежиых фирм выпускает высокочастотные установки центробежного литья с вертикальной осью вращения, в которых металл заполняет форму без поворота опоки и тигля, а только за счет небольшого наклона стенки тигля, по которой металл поднимается под действием центробежных сил. Интерес представляет новое оборудование для плавки и литья фирмы «Лейбольд Хераус» (ФРГ), обеспечивающее заполнение литейиой формы за счет перепада давления в плавильной и заливочной камерах (рис. 6.43).

Для изготовления литейных форм используются формовочные смеси типа «Керр-90» (США) или «Инвестрайт» (Англия), состоящне из 65—70 % огнеупорного изполнителя и 30—35 % высокопрочного гипса. Технические характеристики формовочной смеси «Инвестрайт»:

Расход воды на затворение 1 кг смеси, см <sup>3</sup>	380—400
Гарантируемое время жидкоподвижности смеси от момента введения воды (не менее), мин	8—9
Начало схватывания смеси, мин	<b>142</b> 0
Прочность на сжатие после 2-ч выдержки, МПа	200
Прочность после прокалки, МПа	111,0
Максимально допустнмая температура заливае-	
мого металла, К	1430
Гранулометрический состав, мм	0,02-0,09
Данные химического анализа, % (по массе)	77 SiO <sub>2</sub> , 20 CaSO <sub>4</sub> 3—сумма примесей
Данные рентгеноструктурного анализа	$\alpha$ -кв $lpha$ рц $+lpha$ -кристо- балит $+$ полуводный
	гипе

В СССР в небольших количествах производится формовочная смесь «Ювелирная», состоящая нз 85 % динаса и 15 % гипса. Минералогический состав динаса: α-кварц+α-кристобалит+γ-тридимит.

После литья отливки подвергают анодной обработке, которая снимает литейную корочку с отливок и повышает чистоту поверхности.

Термообработка ювелирных сплавов. В ювелирном производстве основным видом термообработки является отжиг для снятия виутренних напряжений полуфабрикатов, заготовок и изделий. Сплавы золота на всех стадиях ювелирного производства отжигают в конвейсрных печах с защитной атмосферой (типа «Соло»). В качестве защитной среды используют диссоциированный аммиак. Температура отжига 980-1013 К, скорость движения ленты 0,0042-0.0125 м/с. В канале печи происходит восстановление оксидного слоя на поверхности заготовок и изделий из сплавов золота. Поэтому через печи «Соло» пропускают и изделия, окислившиеся в процессе производства (иапример, после пайки газовыми горелками).

Достоинством печей указаиного типа является быстрое охлажденне после отжига в зоне водоохлаждаемого холодильника, чем предотвращается выделение второй фазы при пониженных температурах. плавильная сторов с термопарой Тигель новом

Рис. 6.43. Схема плавильно-заливочного узла установки JSG-0,5 фирмы «Лейбольд Хераус» (ФРГ)

Пайка новелирных изделий. Пайка — основной технологический процесс соединения деталей ювелирного изделня. Применяют два вида пайки — ручную с помощью газовых (или бензиновых) горелок и механизированную — с нспользованием конвейерных печей «Соло» с

			Ковелирные при Содержание, % (по массе)	ювелирные припои из золота жание, % (по массе)	е)	SOJIOTA		
	Αu	Ag	Сп	υZ	Cd	Ni	$r_{ m nn}$ , K	Назначение
7.	75,0	5,0	14,2	8,0	5,0	I	1113	Твердый
7	75,0	6,2	10,4	1,5	6,9	1	1073	Средний желтого для
~	75,0	3,0	10,0	l	12,0	1	1058	Мягкий )
(-	75,0	7,0	0,0	8,0	1	4,0	1103	Твердый Припон для
7	75,0	0,6	0,0	0,01	l	l	1053	} белого золо- Мягкий
E)	58,3	14,5	25,4	1,8	l	l	1133	Твердый припой для пайки обручальных ко- лец 583°
гO	58,3	12,5	Oct.	3,0	ì	1	1129	Стандартиые припои 583°
ro	58,3	12,5	*	8,5	1	1	1093	для пайки ювелирных
ro	58,3	16,5	*	4,5	ı	1	1095	
īŎ	58,3	16,0	*	3,0	2,0	1	1068	
ro	58,3	13,2	18,5	1	10,0	1	1032	Мягкий припой для жел- того золота 583°
	_		_					

защитной атмосферой. При реставрации и ремонтных работах применяют специальные горелки (типа Гарбо), работающие на смеси водорода с воздухом. При этом водород вырабатывается в этой же установке путем разложения воды с целью обеспечения требований техники безопасности. Факел пламени такого устройства имеет длину до 40 мм, максимальный диаметр 2 мм, температура 2770 К. Температура пайки изделий из сплава ЗлСрМ 583—80 не должна превышать 1200 К. В качестве флюса используют обычно смесь борной кислоты и буры в соотношении 1:3. Остатки флюса после пайки растворяют, погружая изделия в раствор кислого сернокислого калия концентрацией 100 г на 1 л и температурой 320—340 К. Время обработки составляет 60—180 с. Составы ювелирных припоев приведены в табл. 6.57.

Специфичен процесс мехаинзированной пайки золотых цепочек, примеияемый в ювелирной промышлеиности. Он основан на использовании термореактивных порошкообразных припоев состава: 60—77 % Zn, 11—15 % борной кислоты, 3—6 % P [892]. Припой за счет сгорания фосфора и цинка развивает высокую температуру в зоне шва, достаточную для того, чтобы торцы фуги расплавнлись и соединились. Этому процессу способствует и диффузия цинка, приводящая к снижению температуры плавления металла в зоне фуги. В результате этих двух процессов сплавление распространяется только на узкую зону шва, ие затрагивая основную часть металла в звеньях цепочек.

Сплавы серебра в ювелирном производстве

Для изготовлення ювелириых изделий из серебра наша промышленность применяет сплавы марок CpM875, CpM916, CpM925 (табл. 6.58).

Ассортимент изделий из серебра включает, помимо украшений (кольца, серьги, броши и прочее), и изделия посудной группы, в том числе декоратнвные наборы (кувшнны, чарки, подносы) с эмалью. Этн изделия, характерные для русского ювелирного искусства, пользуются спросом на зарубежных рынках. При их изготовлении используется серебро 916 и 925 проб. Посуда из сплава 925 пробы (так называемый стерлииговый стандарт) поставляется в Великобританию и Канаду. В Западную Европу поставляется посуда 916 пробы. Для внутреннего рынка наиболее шнроко используется сплав СрМ875.

При пайке серебряных изделий используют стандартные припои ПСр65, ПСр70 и ПСр72, так как для серебряных изделий не требуется соответствия пробиостей припоя и основного металла. При пайке рекомендуется использовать спиртовой флюс № 209 (36 % борного ангидрида, 42 % фтористого калня, 23 % тетрафторбората калия).

Серебряные заготовки отжигают в соляной ванне при температуре

		H	овелирны	и спл	авы сн	ЕРЕБРА		ТАБЛИІ	ЦА 6.58
BR		жание, массе),		Т,	K		ические отожже		
Марка сплава	Ag	Cu	d ⋅ 10 <sup>3</sup>	ликвиду- са	солидуса	о <sub>в</sub> , МПа	о₀,₂, мпа	6, %	ну, мпа
СрМ925 СрМ916 СрМ875	92,5 91,6 87,5	7,5 8,4 12,5	10,36 10,34 10,28	1169 1161 1128	1052 1052 1052	250— 280 260— 300 260— 350	- - 180- 200	35— 29 32— 27 30— 24	780 790 740— 1160
				1	l	330	200	44	1100

870—920 К, отбеливают изделия в 1—2 %-ной НС1 при температуре

303—313 К либо в 5 %-ном серном отбеле при 313—323 К.

Особым технологическим приемом, характерным для изделий из серебра, является техника филиграни. Филигрань -- сложный кружевной рисунок, изготовленный из тонкой проволоки (гладкой, скрученной, вальцованной). Для филигранных работ необходима мягкая, тонкая проволока, хорошо паяемая, не пружинящая, с относительно высокой температурой плавления. Поэтому классическим материалом для изготовления основных элементов филигранного узора (скани) является чистое серебро и его сплавы не ниже 875 пробы.

Иногда для изготовления скани применяют чистые металлы — 30лото, медь, однако для золотых и медных украшений эти приемы ие характерны. Следующим элементом филиграни является зернь-мелкие шарики, напанваемые на изделие для дополнения и обогащения линейного сканного рисунка. Зернь готовят, оплавляя кусочки проволоки, разложенные на поддонах и пересыпанные древесным углем.

Другим специальным приемом при изготовлении преимущественно серебряных изделий является чернение поверхности. Процесс заключается в наложенни на поверхность изделий легкоплавкого сплава черного цвета (чернн), который при прокаливанни прочно вплавляется в основной металл. В состав черни входят серебро, медь, свинец и сера. Чернь в виде тонкоизмельченного порошка в смеси с нашатырным спиртом наносится на поверхность изделия, заполняя специально подготовленные канавки глубиной 0,3 мм. При нагревании в печи чернь расплавляется, заполняет рисунок и спекается с основным материалом. Наиболее известными центрами, сохранившими традиционную технику изготовлення черненого серебра, являются завод «Северная чернь» (г. Великий Устюг) и местные промыслы Дагестана (с. Кубачн) [893]. Сплавы платины и палладия в ювелирном производстве

Сплавы платины используют в ювелирном производстве со второй половины XIX в. преимущественно для изготовления дорогих ювелирных украшений с бриллиантами. Чистую платнну в ювелирном деле не при-

меняют из-за низкой прочности и недостаточной твердости.

В СССР используют сплав платины 950 пробы ПлИ-5, содержащий 5 % Іг. Иридни наиболее эффективен для повышения твердости платины. Свойства сплава в отожженном состоянии:  $\sigma_n = 196 \div 294$  МПа:

 $\sigma = 22 \div 32$  %; HV=780÷880 MПa;  $T_{\pi\pi} = 2063$  K.

Сплав быстро теряет полировку и блеск, цвет его имеет сероватый оттенок. Небольшие добавки палладия заметно улучшают цвет сплавов платины, повышают их пластичность и снижают температуру плавлення. В ювелирном производстве ГДР считается оптимальным

сплав состава: 95 % Pt; 4,5 Pd; 0,5 % Ir [894].

Для плавлення платины применяют высокочастотные установки с тиглями из окиси кальция, окиси циркония или силиката циркония. Графитовые тигли и графитовую оснастку не применяют, так как углерод растворяется в жидкой платине и выделяется при кристаллизации по границам зерен, снижая пластичность металла. Не рекомендуется применять тигли из кварца и корунда, т.к. кремний и алюминий образуют с платиной хрупкие легкоплавкие соединения, резко снижающие пластичность сплавов.

Сплавы палладия только в последнее время получают некоторое распространение в ювелирном производстве. По устойчивости к потускнению на воздухе палладий практически не уступает платине и имеет ряд преимуществ: более интеисивный белый цвет, лучшую обрабатываемость давлением, значительно более низкую стоимость. В СССР предусмотрены два сплава палладия: 500 пробы (50 % Pd, 45 % Ag и 5 % Ni) и 850 пробы (85 % Pd, 13 % Ag и 2 % Ni) [895].

#### приложения

# 1. Стандартизованные благородные металлы, сплавы и изпелия из них

Химический состав золота и сплавов

Химический состав золота в слитках (ОСТ 48-79-83) для промышленных целей приведен в табл. П.1.

Золото с содержанием основного вещества 99,999 % и 99,9999 % поставляется по отдельным ТУ.

TABILUIA II 1

	Au,			Примеси,	, % (по массе), не более	
Марка	%, не менее	Ag	Pt	Pd	Cu, Pb, Fe, Zn, Bi, Sb, Sn, Rh, Мп (каждого)	всего
ЗлА-1п ЗлА-2	99,99 99,98	0,005	0,0005 0,005	0,0005 0,005	0,0005	0,01 0,02

Химический состав золота (ГОСТ 6835-80), поставляемого промышленности в виде полос, лент, проволоки, фольги, прутков, трубок и других изделий, приведен в табл. П.2.

ТАБЛИНА П 2

Марка	Au,		П	оимеси, %	(по масс	се), не бо	лее	
марка	%, не менее	Fe	Pb	Ag	Sb	Cu	Bi	Bcero
Зл999,9 <b>З</b> л999	99,99 99,90	0,004 0,035		0,008 0,020	0,001 0,002	0,607 0,012	0,002 0,002	0,01 0,10

Химический состав основных сплавов золога (ГОСТ 6835-80), которые поставляются промышленности в внде полос, ленты, фольги, проволоки, трубок, прутков н другнх изделий, приводится в табл. П.З. Химический состав серебра и сплавов

Химический состав серебра (ОСТ 48-78-83), поставляемого в слитках, приведен в табл. П.4. Химический состав серебра (ГОСТ 6836-80), поставляемого про-

мышленности в внде полос, лент, проволоки, фольги, прутков, труб и других изделий, приведен в табл. П.5.

Сплавы на основе серебра, широко применяемые в промышленности в виде полос, лент, фольги, проволоки, труб, прутков, н нх химический состав (ГОСТ 6836—80) приводятся в табл. П.б. Химический состав серебряных припоев

Серебряные припон поставляют в виде проволоки, полос, ленты, а также в виде гранул и порошка.

Химический состав серебряных припоев (ГОСТ 19738-74) приведен в табл П.7.

$\subseteq$
5
$\circ$
ñ
•
r.1
-
Щ.
0
-
=
$\simeq$
O
~
₩.
_
m
0
ā
=
$\simeq$
-
ᆮ
( )
_
, состав сплавов на основе золоти
백
Η.
O
0
Õ
_
_
52
z
v
73
$\approx$
쁘
5
z
≂
<-
$\mathbf{z}$
химический

		Компс	Компоненты, 9	%			При	имеси, %	Примеси, %, не более	<b>a</b>	
Марка	Au	A Pú		Pt	Þď	Pb	년 9	sp	Bi	ድ ኮቲ, የስ ይ ኮተ, የስ	русмых норми- примесей
3.JCp990—10	8,0±0,66	1±0,3	1	1	1	0,003	0,05	0,05 0.005 0,005	0,005	1	0,1
3лCp750—250	75,04:0,3	$25\pm0,3$	١	1	ı	0,005	0,18	0,005 0 005	0 005	1	0,16
3aCp600-400	60,0±0,3	40±0,3	١	ı	١	0,005	0,18	0,005 0,005	0,005		0,16
3лCp583417	58,3±0,3	$41,7\pm0,3$	١	-	١	0,005	0,18	0,005 0,005	0,005	١	0,16
3лCpM990—5	8,0±0,66	$0,5\pm 0,2$	Oct.	١	I	0,003	0,05	0,003 0,003	0,003	1	90,0
3лCpM980—15	8,0±0,3	$1,5\pm 0,3$	*	١	1	0,003	80,0	0,003 0,003	0,003	ı	0,09
ЗлСрМ970—20	87,0±0,3	$2,0\pm 0,3$	*	1	I	0,003	80,0	0,003	0,003	1	0,09
3.7CpM960-30	6,0±0,9	$3,0\pm0.5$	*	1	!	0,003	0,08	0,003	0,003	١	0,09
ЗлСрМ958—20	£,8±0,3	$2,0\pm 0,5$	*	1	1	0,003	80,0	0,003	0,003 0,003	١	0,09
3nCpM950-25	95,0±0,3	$2,5\pm0,5$	*	١	1	0,003	80,0	0,003	0,003 0,003	1	0,09
3aCpM930-45	93,0±0,3	4,5±0,5	^		1	0,003	0,08	0,003	0,003 0,003		0,09
3лCpM900-40	80,0±0,3	$4,0\pm 0,5$	*	١	1	0,003	0,08	0,003	0,003 0,003	ı	0,09
3aCpM750-125	75,0±0,3	$12,5\pm0,5$	*	1	1	0,005	0,15	0,005	0,005 0,005	1	0,16
3лCpM750—150	75,0±0,5	$15,0\pm0,5$	*	1		0,005	0,15	0,002	0,005 0,005	1	0,17
3лCpM58380	58,3±0,3	8,0±0,5	^	1	1	0,005	0,15		0,005 0,005	1	0,16

_	0,16	0,16	0,16	0,16	0,16	0,16	0,16	0,16	0,11	0,16	0,16	0,28	0,11	0,11	0,11	0,11	0,13	0,13	0,13	0,18	0,11	0,11	
	ı	١	1	I	ł	İ	1	1	1	ı	1	ļ	0,08	0,08	0,08	0,08	01,0	0,10	0,10	0,15	1	I	
_	0,005 0,005	0,005 0,005	0,005	0,005 0,005	0,002	0,005 0,005	0,005 0,005	0,005 0,005	0,005 0,005	0,005 0,005	0,005 0,005	0,005	ı	1	I	I	1	1	1	ı	0,005	0,005	
_			0,005	0,005	0,005	0,005	0,005	0,005	0,005	0,005	0,005	0,005	١	١	1	i	i	I	1	1	0,005 0,005	0,005 0,10 0,005 0,005	
	0.15	0,15	0,15	0,15	0,15	0,15	0,15	0,15	0,1	0,15	0,15	0,15	0,03	0,03	0,03	0,03	0,03	0,03	0,03	0,03	0,10	0,10	
	0,005	0,005	0,005	0,005	0,005	0,005	0,005	0,005	0,005	0,005	0,005	0,005	v,003	0,003	0,003	0,003	0,003	0,003	0,003	0,003	0,002	0,005	% 500
	ł.	1	1	ı	I	I	ı	I	-1	1	ı	. 1-	1	-	I	-	16±0,5	20∓0,2	40∓0,5	30,0±0,5		1	превышать 0,0
-	ł	l	ı	ı	1	1	1	ı	j	1	ľ	ا	2,0±0,3	£±0,3	7±0,4	10±0,4	ı			10±0,5	- I	2,5±0,5	не должна
																							-
_	*	*	*	, «	*	~	*	^	*	*	, «	*	*	*	*	~	^	<b>≈</b>	*	*	*	<b>*</b>	имесь
-	20,0±0,5	30,0±0,5 »	10,0土0,01	20,0土0,5。	2,0土0,5 »	° 2,0±0,01	16,0±0,5 »	33,0±0,5 »	<u>*</u>	* 	1	*		*	, , , , , , , , , , , , , , , , , , ,		*	* i	*	*	Oct. *	10±0,5	СрМ750-150 примесь
	58,3±0,3 20,0±0,5 »	58,3±0,3 30,0±0,5 »	50,0±0,3   10,0±0,5   »	50,0±0,3 20,0±0,5 »	37,5±0,3 2,0±0,5 »	37,5±6,3   10,0±0,5   »	37,5±0,3 16,0±0,5 »	33,3±0,3 33,0±0,5 »	98,0±0,3	· 91,6±0,3 — »	· 80±0,3	58,3±0,3	. 98,0±0,3 ···· »	95,0±0,3	93,0±0,4	90,0±0,4	84,0±0,5	80,0±0,5	60,0±0,5	° 0,0±0,00 ° ° ° ° ° ° ° ° ° ° ° ° ° ° ° ° ° °	95,0±0,5 ©cr. »	75±0,5 10±0,5   »	Примечанне. В сплаве марки ЗлСрМ750-150 примесь Р не должна превышать 0,005 %.

9.11

ТАБЛИЦА

					<i>ТАБЛИЦ</i> .
M	Ад, %, не _		Примеси, % (по	массе), не боле	e
Марка	менее	Au	Σ Pt, Pd	Fe	Pb
CpA-1 CpA-2	99,99 99,98	0,0006 0,0006	0,001 0,001	0,001 0,002	0,00

# Продолжение табл. П.4

	Ag, %,	При	месн, % (по	массе), не (	более	<b>D</b>
Марка	не менее	Bi	Sb	Те	Zn	Всего
CpA-1 CpA-2.	99,99 99,98	0,001 0,002	0,001 0,002	0,002 0,004	0,002 0,003	0,01 0,02

Примечания: Графа «Всего» включает сумму примесей, указанных в таблице, и примесей Сu, Rh, Ni.

Ад в слитках с содержанием основного вещества 99,999; 99,9999 % и более поставляются по отдельным техническим условиям.

Химический состав материалов порошковой металлургии,

содержащих серебро

Химический состав серебросодержащих материалов порошковой металлургии приведен в табл. П.8 (ГОСТ 19725—74, ГОСТ 13333—83).

Эти материалы, как правило, применяются для изготовления элект-

рических контактов.

Химический состав платины и сплавов

Химический состав Pt в порошке (ГОСТ 14837—79) приведен в табл. П.9.

Химический состав платины, поставляемой в слитках (ГОСТ 12341-81), приведен в табл. П.10.

ТАБЛИЦА П.5

	Ag. %.	l	Примеси, 9	6 (по масс	е), не бол	ee	
Марка	не менее	Pb	Fe	Sb	ВІ	Cu	Всего
Cp999,9 Cp999	99.99 99.9	0,003 0,003	0,004 0,035	0,001 0,002	0,002 0,002	0,008 0,015	0.01 0,1

Платина с более низким содержанием отдельных примесей поставляется по согласованию с потребителем.

В табл. П. 11 приведен химический состав изделий из платины (ГОСТ 13498-79). Поставляется в виде полос, леиты, фольгн, проволоки, прутков, труб и других изделий.

Sb Bi EPH, Ir. Co. O. O. O. O. O. O. O. O. O. O. O. O. O.	Manka		Компоиенты, %				Примес	Примеси, %, не более	тее	
97,0±0,3 — Oct. 0,004 0,08 06,0±0,3 — % 0,004 0,004 0,10 094,0±0,3 — % 0,004 0,10 0,004 0,10 0,00±0,3 — % 0,004 0,10 0,10 0,00±0,3 — % 0,004 0,10 0,10 0,0±0,3 — % 0,004 0,10 0,10 0,0±0,3 — % 0,004 0,10 0,10 0,10 0,10 0,10 0,10 0,1		Ag	Pt, Pd	Cu	Pb	Fe	qs	Bi	ΣPt, Ir, ΣRh, Au	нормируемых примесей
96,0±0,3 97,0±0,3 97,0±0,3 97,0±0,3 97,5±0,3 97,5±0,3 97,5±0,3 97,5±0,3 97,5±0,3 97,5±0,3 97,5±0,3 97,0±0,5 97,0±0	020840	27 0±0 3	J	OST.	0.004	0,08	0,005	0,002	!	60'0
95,0±0,3 —	CpWaC CpM960	96,0十0,3	1	; ) «	0,004	0,08	0,005	0,005	1	60,0
94,0±0,3 —	CnM950	95,0±0,3	1	*	0,004	0,10	0,005	0,005	1	0,50
92,5±0,3 91,6±0,3 90,0±0,3 87,5±0,3 80,0±0,5 77,0±0,5 50,0±0,4 80,0±0,4 80,0±0,4 80,0±0,4 80,0±0,4 80,0±0,4 80,0±0,4 80,0±0,4 80,0±0,5 80,0±0,4 80,0±0,5 80,0±0,4 80,0±0,5 80,0±0,4 80,0±0,5 80,0±0,5 80,0±0,5 80,0±0,5 80,0±0,5 80,0±0,5 80,0±0,5 80,0±0,5 80,0±0,5 80,0±0,5 80,0±0,5 80,004	CpM940	$94,0\pm0,3$	1	*	0,004	0,10	0,005	0,002	1	0,20
91,6±0,3 90,0±0,3 87,5±0,3 80,0±0,3 77,0±0,5 50,0±0,5 80,0±0,4 12±0,4 Pt 80,0±0,4 20±0,5 Pd 80,0±0,4 20±0,4 Pd 80,0±0,5 Pd 80,0±0,5 Pd 80,0±0,5 Pd 80,0±0,6 Pd 80,0±0,5 Rough 80,0±0,5 Rough 80,0±0,6 Pd 80,0±0,5 Rough 80,0±0,5 Rough 80,0±0,5 Rough 80,0±0,5 Rough 80,0±0,6 Rough 80,0±0,5 Rough	CpM925	$92,5\pm0,3$	1	*	0,004	0,10	0,005	0,005	1	0,50 8,50
90,0±0,3 87,5±0,3 80,0±0,3 77,0±0,5 50,0±0,5 80,0±0,4 80,0±0,4 80,0±0,4 80,0±0,4 80,0±0,4 80,0±0,4 80,0±0,5 80,0±0,4 80,0±0,5 80,0±0,4 80,0±0,5 80,0±0,4 80,0±0,5 80,0±0,5 80,0±0,5 80,0±0,5 80,0±0,5 80,0±0,5 80,0±0,5 80,0±0,5 80,004	CpM916	$91,6\pm0,3$	J	*	0,004	.01.0	0,002	0,007	l	0,40
87,5±0,3 80,0±0,3 77,0±0,5 50,0±0,5 60,0±0,4 88,0±0,4 70,0±0,5 80,0±0,4 70,0±0,5 80,0±0,4 70,0±0,5 80,0±0,4 70,0±0,5 80,0±0,4 70,0±0,5 80,0±0,4 80,0±0,4 80,0±0,4 80,0±0,4 80,0±0,4 80,0±0,4 80,0±0,4 80,0±0,5 80,004	CpM900	90,0±0,3	1	*	0,004	0,10	0,005	0,002	1 1	0,25
80,0±0,3 77,0±0,5 50,0±0,5 50,0±0,5 60,0±0,4 88,0±0,4 12±0,4 Pt 80,0±0,5 12±0,4 Pt 80,0±0,5 12±0,4 Pt 12±0,4 Pd 10±0,004 10±0,0	CpM875	87,5±0,3	1	^	10,004	0,10	700,0	700.0		
75,0±0,5 50,0±0,5 60,0±0,4 88,0±0,4 12±0,4Pt 80,0±0,4 20±0,4 Pt 80,0±0,4 70,0±0,5 60,0±0,5 70,0±0,5 80,0±0,5 80,0±0,5 80,0±0,5 80,0±0,5 80,0±0,5 80,0±0,5 80,0±0,5 80,004 8	CpM800 #	80,0±0,3		~ ~	0,005	0.13	0,002	0,002	1 1	0°,0
75,0±0,5 50,0±0,5 86,0±0,4 88,0±0,4 12±0,4 pt 80,0±0,4 70,0±0,5 80,0±0,5 80,0±0,5 80,0±0,5 80,0±0,5 80,0±0,5 80,0±0,5 80,0±0,5 80,0±0,5 80,0±0,5 80,004 80,00		0,010,0			100		000	000	1	0.30
96,0±0,4 12±0,4 Pt — 0,005 0,03 88,0±0,4 12±0,4 Pt — 0,005 0,03 0,03 80,0±0,4 20±0,4 Pd » 0,004 0,004 0,04 70,0±0,5 Pd » 0,004 0,004 0,004 50,0±0,5 30±0,6 Pd » 0,004 0,	CpM750	75,0年0,5	1 !	« »	9,0	0,13	0,007	0,007	1	0,30
88,0±0,4 12±0,4 Pt	chiwaco	2,0-0,0	‡C 7 0 - 7	: []	00.0	0.03	1	1	0,15	0,25
80,0±0,4 70,0±0,5 60,0±0,5 50,0±0,8 30±0,6 Pd 30±0,6 Pd 30±0,6 Pd 30±0,6 Pd 30±0,6 Pd 30±0,6 Pd 30±0,6 Pd 30±0,6 Pd 30±0,6 Pd 30±0,004 30±	Cp114-4	88.0+0.4	12+0,4 Pt		0,005	0,03	1	1	0,15	0,25
70,0±0,5 30±0,5 Pd	21-100 21-100	80 0+0 4	90+0 4 Dd	*	0.004	0,04	I	0,005	0,15	0,19
60,0±0,5 40±0,5 Pd	CPIT4-20	70.0+0.5	30±0,5 Pd	: *	0,004	0,04	١	0,005	0,15	0,19
50,0±0,8 30±0,6 Pd	Child So	60 0+0 5	40±0.5 Pd	*	0,004	0,04	1	0,002	0,15	0,19
	CpIIA-30-20	50,0±0,8	30±0,6 Pd	*	0,004	0,04	1	0.002	0,15	61,0
	ob tite ido				_		_	_ ;	3	

<del></del>				Компо	
Марка	Ag	Си	Zn	Sn	
ПСp72 ПСp71	72,0±0,5 71,0±0,5	Ост. »	_	<u> </u>	
ПСр70 ПСрМО68—27—5 ПСр65 ПСр62 ПСр50 ПСр50Кд ПСрКдМ50—34—16	70,0±0,5 68,0±0,5 65,0±0,5 62,0±0,5 50,0±0,5 50,0±0,5 50,0±0,5	26,0±0,5 Oct. 20,0±0,5 28,0±1,0 Oct. 16,0±0,1 Oct.	Ост. — Ост. — — 16,0±1,0		
ПСр45 ПСрМЦКд45—15— 16—24	45,0±0,5 45,0±0,5	30,0±0,5 Ост.	Ост. 16,0±1,0	_	
ПСр40	$40,0\pm1,0$ $37,5\pm0,5$	16,7±0,7 Ост.	$17,0\pm0,8$ $5,5\pm0,5$		
ПСр37,5 ПСр25 ПСр25Ф	25,0±0,3 25,0±0,5	001. 40,0±1,0 Ост.	Ост. —		
ПСр15	15,0±0,5	»	T 6		
ПСр12М ПСр10 ПСрО10—90 ПСрОСу8(ВПр—6)	12,0±0,3 10,0±0,3 10,0±0,5 8,0±0,5	52,0±1,0 53,0±1,0 — —	Ост. » —	— — Ост. »	
ПСрМО5(ВПр9)	5,0±0,5	2,0±0,5	- V <u></u>		
ПСрОС3,5—95 ПСр3 ПСрО3—97 ПСрОС3—58	3,5±0,4 3,0±0,3 3,0±0,3 3,0±0,4	<u>-</u> - -	<del>-</del>	— Ост. 57,8±1,0	
ПСр3Кд ПСр2,5 ПСр2,5С ПСр2	$3,0\pm0,5$ $2,5\pm0,3$ $2,5\pm0,2$ $2,0\pm0,3$	=	1,0±0,5 — — —	5,5±0,5 - 30,0±1,0	
ПСрОС2—58	2,0±0,3		_	58,8±1,0	
ПСр1,5 ПСр1	1,5±0,3 1,0±0,2	<del>-</del>	_	15,0±1,0 35,0±1,0	

Примечание. Содержание Zn в сплавах ПСр 72 и ПСр 50 должно быть

ненты,	%					Прі	імеси, %	, не бол	iee
Mn	Sb	P	Cd	Ni	Pb	Pb	Fe	Ві	2 определяе- мых примесей
_		1,0±		_	= -	0,005 0,005	0,15 0,15	0,005 0,005	0,15 0,15
-  -  -  -  -  -  -	-	±0,2 - - - - - - - -	— — — Ост. 34,0±	1 1 1 1		0,100 0,005 0,120 0,005 0,005 0,120 0,005	0,15 0,15 0,15 0,15 0,15 0,15 0,15	0,005 0,005 0,005 0,005 0,005 0,005 0,005	0,20 0,15 0,20 0,15 0,15 0,15 0,20 0,15
-	_	_	±1,0  24,0± ±1,0	<u>-</u>	× =	0,100 0,150	0,15 0,15	0,005 0,005	0,30 0,30
-∹	_		Ост.	0,3± ±0,2	-	0,150	0,15	0,005	0,30
8,2± ±0,3	_			±0,2	_	0,150	0,20	0,010	0,30
	_	5,0±	_	_	_	0,150 0,010	0,15 <b>0,</b> 15	0,010 0,010	0,30 0,15
-		±0,5 4,8±		_	_	0,200	0,15	0,010	0,30
- - -	7,5± ±0,5	±0,3	  	_ _ _ _	_ _ _ _	0,150 0,150 0,200 0,200	0,15 0,15 0,15 0,20	0,010 0,010 0,010 0,015	0,30 0,30 0,30 0,40
	$1,0\pm \\ \pm 0,2$	_	_		_	0,200	0,20	0,015	0,40
- - - -	0,5± ±0,3	  -	_ _ _ _		1,0±0,3 Ост. — Ост.	 0,200 	0,15 0,15 0,15 0,15	0,010 0,010 0,010 0,010	0,15 0,15 0,30 0,15
-  -  -		<u>-</u>	Ост. — 5,0± ±0,5		Ост. » »	0,200 — — —	0,15 0,15 0,15 0,15	0,010 0,010 0,010 0,010	0,30 0,15 0,15 0,15
-	0,5± ±0,3	_		_	»		0,20	0,015	0,20
— —	0,9± ±0,4	-	2,5± ±0,5		» »	_	0,15 0,20	0, <b>0</b> 10 <b>0,</b> 015	0,15 0,20
- 10 00/10									

PEE
CE
ИХ
Į
×
ЦEI
00
Ш,
PIV
J.Y.
A.II
КИЙ СОСТАВ СПЛАВОВ ПОРОШКОВОЙ МЕТАЛЛУРГИИ, СОДЕРЖАЩИХ СЕРЕЕ
ŭ
OBC
Ħ
PO
сплавов порошковои
OB
ě
H
<u>а</u>
CTA
ö
ИЕСКИЙ СОСТАВ С
<b>ІЧЕСКИЙ</b>
4EC
berri

				Компоненты, %	ты, %			
Марка	Ag	OPO	СиО	ï	С (графит)	Cd	Fe	w
KMK-A00	99, 9, не менее	ı	1	ļ	1	I	I	I
КМК-А10м	85,0±0,5	Oct.	I	l	1	1	ı	1
КМК-А20м	90,0±0,5		Oct.	1	l	l	1	I
KMK-A30	70,0±0,5	l	1	Ост.	1	I	1	1
КМК-А30м	70,0±0,5	I	1	*	1	1	1	1
KMK-A31	60,0±0,09	1	ļ	*	1	l	1	1
КМК-А31м	60,0±0,5	1	I	*	1	1	1	1
KMK-A32	68,0±0,5	ı	1	*	3,0±0,3	1	1	I
KMK-A40	95,0±0,5	1	1	*	Oct.	ļ	ı	I
KMK-A50	76,5±0,5	I	I	0,8±0,1	ı	Ocr.	0,4±0,1	1
KMK-A45	45,0±3,0	I	1	2,5±1,0	ı	1	1	Oct.
KMK-A25	26,0±3,0	1	1	2,7±0,5	ı	1	1	*

—6					Примесн	Примесн, %, не более	بو			
<b>88</b> Марка	Рt, % не менее	ΣPd, Ir, Rh, Ru	Au	Pb	Fe	SI	Sn	Al	Sb	всего
ПлАП—0 ПлАП—1 ПлАП—2	99,98 99,95 99,90	0,15 0,025 0,050	0,005	0,005 0,005	0,003 0,011 0,01	0,002 0,005 0,005	0,001 0,005	0,005	0,001 0,005	0,02 0,05 0,10
Примеч	ание. Гра	Примечание. Графа «всего» включает сумму примесей, указанных в таблице, и примесей Ag, Mg, Cu, Ni и летучих.	ает сумму	примесей,	указаиных	в таблице, н	и примесей	Ag, Mg, C	Cu, Ni Bac	этучих.

					Примесн,	Примесн, %, не более	ė			
Марка	Рt, %, не менее	Σ Pd. Ir, Rh, Ru	Au	РÞ	Fe	Si	Sn	Al	SP	всего
ПлА-0	86*66	0,015	0,002	0,005	0,003	0,002	0,001	0,005	0,001	0,05
ПлА-1	96,95	0,025	0,005	0,005	0,01	0,005	0,001	0,005	0,001	0,05
ПлА-2	99,90	0,050	0,005	0,005	0,01	0,005	0,005	0,005	0,005	0,10

	+	[	При	меси, %,	не боле	e	
Марка	Рt, %, не менее	Σ Pd, %, не менее	Au	Pb	Si	Fe	всего
Пл99,93 Пл99,9 Пл99,8	99,93 99,9 99,8	0,04 0,07 0,13	0,008 0,01 0,01	0,006	0,005 0,006 0,006	0,010	0,07 0,10 0,20

Примечание. Графа «всего» включает сумму примесей, указанных в таблице, и примесей Ni, Al, Sb, Zn, Sn и Ag.

Химический состав основных сплавов на основе платины (ГОСТ 13498-79), которые поставляются промышленности в виде полос, лент, фольги, проволоки, прутков, труб и других изделий, приведен в табл.  $\Pi.12$ 

Химический состав палладия и сплавов

Химический состав палладия, поставляемого в порошке (ГОСТ

14836—82), приведен в табл. П.13.

Химический состав Pd, поставляемого в слитках (ГОСТ 12340—81), приведен в табл. П.14.

Палладий с более низким содержанием отдельных примесей по-

ставляется по согласованию с потребителем.

Химический состав палладия (ГОСТ 13462—79), поставляемого промышленности в виде полос, ленты, проволоки, фольги, прутков,

трубок и других изделий, приведен в табл. П.15.

Химический состав основных сплавов на основе палладия (ГОСТ 13462—79), которые поставляются промышленности в виде полос, ленты, проволоки, фольги, прутков, трубок и других изделий, приведен в табл. П.16.

Химический состав родия

Химический состав родия в порошке (ГОСТ 12342-81) приведен в

табл. П.17.

Химический состав родия в полуфабрикатах (ГОСТ 13096—67) в виде проволоки, прутков, полос, фольги и других изделий приведен в табл. П.18.

Химический состав иридия

Химический состав иридия в порошке (ГОСТ 12338-81) приведен в

табл. II.19.

Химический состав иридия в полуфабрикатах (ГОСТ 13099—67) в внде полос, фольги, проволоки, прутка и других изделий приведен в табл. П.20.

Химический состав рутения, осмия

Рутений и осмий применяются в промышленности в виде порошка. Химический состав рутения (ГОСТ 12343—79) приведен в табл.

Химический состав осмия в порошке (ГОСТ 12339—79) приведен в табл. П.22.

Определение химического состава благородных металлов и сплавов проводится методами, предусмотрениыми государственными стандартамн и заводскими методиками, утвержденными в установленном

Продукция из благородных металлов и сплавов

Порошки из Pt, Pd, Rh, Ir, Ru, Os выпускаются по ГОСТ 14837—79, TOCT 14836-82, FOCT 12342-82, FOCT 12338-81, FOCT 12343-79 и ГОСТ 12339-79 соответственно. Размер частиц порошка Pt и Pd не превышает 1,6 мм, Rh и Ir-0,8 мм, Ru и Os-1 мм. Порошки из Au н Ад поставляются по отдельным ТУ.

Слитки из Au, Ag, Pt н Pd поставляют по ОСТ 48-79-83, ОСТ 48-78-83, ГОСТ 12341-81 и ГОСТ 12340-81 соответственно. Форма слнтка из Ан и Ад трапецендального сечения; масса 11—13,3 и 28— 32 кг соответственно. Слитки из Pt и Pd прямоугольного сечения:

масса 5,5 и 3,5 кг соответственно.

Полосы и листы из Au, Ag, Pt, Pd, Ir и сплавов поставляются промышленности по ГОСТ 7221-80, ГОСТ 24718-81 толщиной от 0,1 до 10 мм в твердом (иагартованном) и мягком (отожженном) состоя-

Полосы из припоев, содержащих Ад, выпускаются по ГОСТ 19739—74 толщиной от 0,10 до 5.0 мм.

Фольга из Au, Ag, Pt, Pd, Rh, Ir и сплавов поставляется по ГОСТ

24552—81 и ГОСТ 24353—80 толщиной от 0,003 до 0,090 мм.

Аноды нз Аи и Ад выпускаются по ГОСТ 25475—82 и ГОСТ 25474—82 соответственно. Толщина анодов из Au от 0,1 до 5,0 мм, из Ад от 2 до 10 мм.

Сусальное золото и серебро выпускают по ГОСТ 6902-75.

Проволока из Au, Ag, Pt, Pd, Rh, Ir и сплавов общего назначення выпускается по ГОСТ 7222-75, ГОСТ 18389-73, ГОСТ 18390-73. ГОСТ 19351-74 соответственно. Проволоку из Аи, Ад и сплавов выпускают диаметром от 0,02 до 10,0 мм, из Рt, Рd и сплавов — от 0,02 до 6,0 мм, нз Rh — от 0,06 до 3,0 мм, нз Ir — от 0,1 до 3,0 мм.

Проволоку из Pt и сплавов Pt с Rh для термоэлектрических термометров изготавливают по ГОСТ 10821-75 диаметром от 0,1 до

1.0 мм и поставляют комплектно.

Проволоку из Рt марок Пл0, Пл1, Пл2, Пл2А, Пл3 для термометров сопротивления и другнх целей поставляют по ГОСТ 21007-75 диаметром от 0,02 до 6,0 мм.

Проволоку из припоев, содержащих Ад. поставляют по ГОСТ

19746-74 диаметром от 0,15 до 6,0 мм.

Электрические контакты из благородных металлов и сплавов, в том числе нз материалов порошковой металлургни, поставляют по FOCT 21932—76, FOCT 25852—83, FOCT 19725—74, FOCT 3884—77, ГОСТ 13333—83.

Катализаторные сетки из сплавов, содержащих Pt, выпускают по

ГОСТ 3193—74 с количеством ячеек на 1 см<sup>2</sup> 1024 шт.

Технические изделия из благородных металлов и сплавов в виде лабораторной аппаратуры, принадлежностей, посуды поставляются промышленности по ГОСТ 6563—75.

					Компо	
Марка	Pt	Ιr	Rh	Pd	Ru	
ПлИ-5 ПлИ-10 ПлИ-15 ПлИ-17,5 ПлИ-20 ПлИ-25 ПлИ-30 ПлРд-5 ПлРд-7 ПлРд-10 ПлРд-20 ПлРд-30 ПлРд-30 ПлПд-10 ПлПд-15 ПлПд-15 ПлПд-20 ПлРу-8 ПлРу-10 ПлМ-2,5	94,7-95,3 89,7-90,3 84,6-85,4 82,1-82,9 79,5-80,5 74,0-76,0 69,0-71,0 94,7-95,3 92,7-93,3 89,7-90,3 79,6-80,4 69,5-70,5 59,5-60,5 89,6-90,4 84,5-85,5 79,5-80,5 91,6-92,4 89,5-90,5 97,2-97,8	4,7-5,3 9,7-10,3 14,6-15,4 17,1-17,9 19,5-20,5 24,0-26,0 29,0-31,0 ————————————————————————————————————		9,6-10,4 14,5-15,5 19,5-20,5		
ПлН-4,5	95,1-95,9		_	_		
ПлПдРд—4 — 3,5	92,2-92,8	-		3,8-4,2	3,3-3,7	
5,3 ПлРд-7,5 ПлПдРдРу- 15-3,5-0,5	92,2-92,8 80,3-81,7		7,3-7,7 3,1-3,9		0,2-0,8	

### ТАБЛИЦА П.13

				Пр	нмеси, 🤈	<b>%</b> , не бо.	лее		
Марка	Ра, %, ие менее	<u>ջ</u> թ <b>t, Ir,</b> Rh, Ru	Λи	Pb	Fe	Si	Sn	Al	Bcero
ПдАП-0 ПдАП-1 ПдАП-2			0,005	0,002 0,005 0,010	0,001		0,001	0,005	0,02 0,05 0,10

Примечание. Графа «всего» включает сумму примесей, указанных в таблице, и примесей Ag. Cu, Ni, Mg, Zn и летучих.

ненты,	%				Γ	римеси,	%, не б	олее			
Cu	Ni	2 Pd, Ir, Rh, <b>A</b> u	ΣPd, Ir, Au	ΣRh, Ir Au	Σ Ir, Au	Fe	Pb	Sp	Si	Zn	∑ норми• руемых
		0,15 0,15 0,15 0,15 0,15 0,15 0,15 0,15	- 0,15 0,15 0,15 0,15 0,15 0,15 0,15 	-   -   -   -     -     -		0,04 0,04 0,04 0,04 0,04 0,04 0,04 0,04					0,19 0,19 0,19 0,19 0,19 0,19 0,19 0,19
<u>'</u>			0,12	  -  -	0,05	0,03 0,03 0,03	0,013 0,013 0,013	0,005 0,005 0,005	0,007 0,007 0,007	0,01 0,01 0,01	0,11 0,18 0,11

# ТАБЛИЦА П.14

		- 11	***************************************	Пр	римесн, 9	<b>6.</b> не бо.	лее		<del></del>
Марка	Рd, %, не менее	2 Pt, Ir, Rh, Ru	Aυ	Pb	Si	Fe	Sn	Ai	всего
ПдА—0 ПдА—1 ПдА—2	99,95	0,025	0,005	0.005	0,002 0,005 0,005	0.01	0,001 0,001 0,005	0,002 0,005 0,005	0,02 0,05 0,10

Примечание. Графа «всего» включает сумму примесей, указанных в таблице, и примесей Ag, Cu, Ni, Mg.

				Компоненты,	%				d'L	нжеси,	Примеси, %, не более	лее	
Марка		Pđ	Ŀ	Ag	Co		Cu	Σ ይቲ, Rh,	Σ Ρŧ, Ιτ, Rh, Au	F.P.	Pb	BI	∑ норми- руемых примесей
ПДИ—10 ПДИ—18 ПДСР—20 ПДСР—30 ПДСР—40 ПДСРК—		89,7—90,4 15,5—80,5 179,5—80,5 69,5—70,5 59,5—60,5	9,6—10,3 17,5—18,4 —	19,5—20,5 29,5—20,5 39,5—40,5 34,4—35,6	4,5-5,5		11111	0,18	1,0 0,19 0,19 0,19	0,000,0 0,00,00,00,00,00,00,00,00,00,00,	0,004	1,000	0,0,0,0,0 8,2,2,3,2,0,0,0,0,0,0,0,0,0,0,0,0,0,0,0,0
ПдСрм— 36—4	59,2-	59,2—60,8	İ	35,4—36,6	I	<del></del>	3,5—4,5		0,19	0,04	0,003 0,002	0,002	0,23
				,							I	ТАБЛИЦА П.17	A 11.17
						Примесн,	, %, не более		-			-	
Марка	Rh, %, не менее	Z Pt, Pd, Ir, Ru, Os	s Au	Ag	Pb	Fe	Ba			Mg	летучие		Bcero
РдА-0 РдА-1 РдА-2	. 99,97- 99,95 99,90	0,01 0,02 0,03	0,002 0,002 0,002	0,002 0,003 0,003	0,004 0,005 0,005	0,01 0,01 0,02	0,004 0,005 0,005	0,004 0,005 0,005		0,001 0,001 0,003	0,01 0,01 0,02		0,03 0,05 0,10
A M M C II.	2 2 2 2 2	Fracha «BC	Примечание Графа «посто» включает сумих примесей чизоранити	TO VAMAY TOE	- goodmin				- :	i		-	

-			Прі	имеси, %,	не боле	e	
Марка	Рd, %, не менее	ΣPt, Ir, Rh	Au	Pb	Si	Fe	всего
Пд99,9 Пд99,8	99,90 99,80	0,06 0,13	0,006 0,01		0,005 0,006	0,03 0,04	0,10 0,20

Примечание. Графа «всего» включает сумму примесей, указанных в таблице, а также примеси Ni и Sn.

### ТАБЛИЦА П.18

				Примеси	, %, ие	более		
Марка	Rh, %, не менее	Σ Pt, Pđ, Ir	Au [	Fe	Pb	Si	Ва	всего
Рд99,9 Рд99,8	99,90 99,80	0,05 0,09	0,01 0,03	0,02 0,02	0,01 0,02	0,01 0,03	0,005 0,01	0,10 0,20

Примечание. Графа «Всего» включает сумму примесей, указанных в таблице, и примесей Ni, Cu н Al.

## ТАБЛИЦА П.19

			Примес	:н, %, не бо	лее	
Марка ′	Ir, %, не менее	Σ Pt, Pđ, Ru, Rh, Os	Au	Pb	Fe	Si
ИА-0 ИА-1 ИА-2	99,97 99,95 99,90	0,010 0,020 0,045	0,002 0,002 0,002	0,004 0,005 0,010	0,002 0,01 0,02	0,002 0,002 0,005

# Продолжение

			Пр	имеси, %, и	е более	
Марка	іг, %, не менее	Ва	Mg	AI	летучне	всего
ИА-0 ИА-1 ИА-2	99,97 99,95 99,90	0,002 0,002 0,005	0,001 0,001 0,003	0,004 0,004 0,005	0,01 0,01 0,01	0.03 0.05 0.10

Примечание. Графа «всего» включает сумму примесей, указанных в таблице, и примесей Ag, Ni, Cu.

				Примеси	, %, не	более		
Марка	Ir, %, не менее	Σ Pt, Pd, Rh	_Au	Fe	Pb	Si	Ва	всето
И99,9 И99,8	99,90 99,80	0,05 0,09	0,01 0,03	0,02 0,03	0,01	0,01	0,005 0,01	0,10 0,20

Примечание. Графа «всего» включает сумму примесей, указанных в таблице, и примеси Ni, Cu, Al.

#### ТАБЛИЦА П.21

Monar	Ru, %,			Примеси	, %, не	более		
Марка	не менее	Au	Fe	Pb	Ba	Si	Al	всего
PyA-0 PyA-1 PyA-2	99,97 99,95 99,90	0,002 0,002 0,002	0,01	0,005	0,005	0.005	0,002 0,005 0,005	0.05

Примечание. Графа «всего» включает сумму примесей, указанных в таблице, и примесей Ag, Cu, Ni, Mg, Pt, Pd, Rh, Ir,  $O_2$  и летучих примесей.

# ТАБЛИЦА П.22

Марка	0. %	Пр	имесн, %, не бо	лее
	Оѕ, %, ие менее	Au	Fe	всего
OcA-0 OcA-1 OcA-2	99,97 99,95 99,90	0,002 0,002 0,002	0,01 0,01 0,03	0,03 0,05 0,10

Примечание. Графа «Всего» включает сумму примесей, указанных в таблице, и примесей Pt, Pd, Ir, Rh, Ag, Cu, Ni, Si, Al, Mg, Ba, Na.

# 2. Электролиты и реактивы для выявления структуры благородных металлов и их полировки

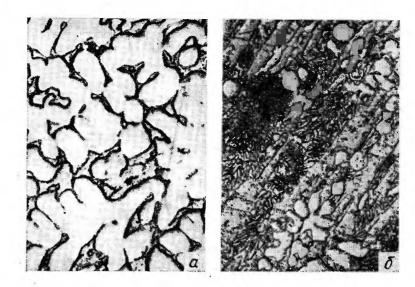
## 2.1. Выявление структуры благородиых металлов

Выявление структуры благородных металлов химическим методом

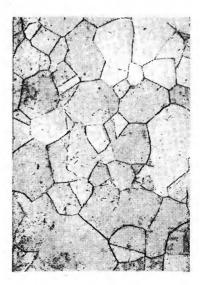
Благородные металлы обладают высокой коррозионной стойкостью, поэтому выявление нх структуры представляет собой в **ря**де случаев непростую задачу.

Химический метод выявления структуры наиболее прост и доступеи для исследователей и в ряде случаев имеет высокую ценность при прямом изучении макро- и микроструктуры.

Данным способом успешно решаются вопросы по изучению структуры литых металлов и их сплавов, распределению фаз и включений,



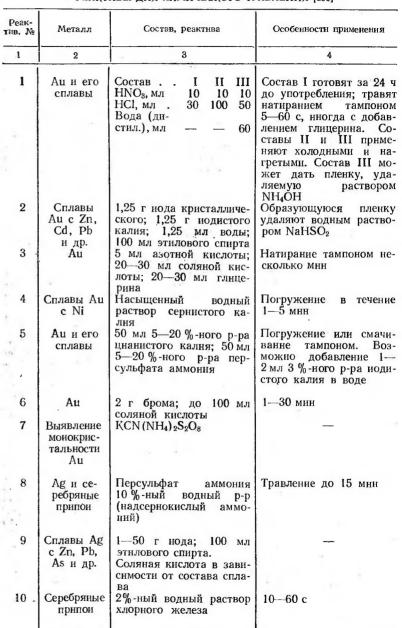
П.1. Микроструктура сплавов Pt—Gd с 31,3 % (по массе) Gd (a) и 33,7 % (по массе) Gd (b), литое состояние, реактив для электротравления № 7. ×630



П.2. Микроструктура отожженного при 850 °С сплава РФ—5РЬ. Реактив для химического травления № 27. ×100

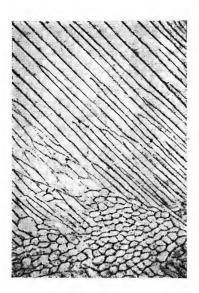


П.3. Микроструктура закаленного с 1000 °C силава РdTi. Реактив для химического травления № 27. ×200

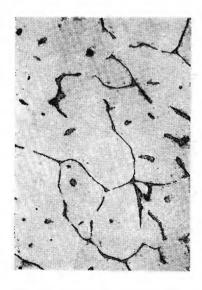




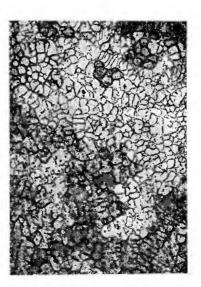
П.4. Микроструктура отожженного после деформации на 10 % сплава Pd—6Ru. Реактив для химического травления № 27. ×100



П.5. Микроструктура литого силава Pd—In—Ru. Реактив для химического травления № 27. ×200



П.6. Микроструктура отожженного при 1000 °C сплава Ru — i % (ат.). Реактив для электротравлення № 14. ×340



П.7. Микроструктура сплава. Реактив для химического травления № 27. ×125

1	2	3	4
11	Сплавы Ag с Cu	2%-ный водный раствор хлорного железа; 20—	Непосредственно перед употреблением
12	Сплавы Ад	30 мл перекиси водоро- да. 5—20 г трехокиси хрома; до 100 мл воды	Травление погружением 1—30 с
13	Ag и спла- вы (поли- роваиие)	10 г трехокиси хрома; 10 мл соляной кислоты; 100 мл воды	Соляную кислоту добавлять перед употреблени-
14	Сплавы Ag с Zn, Cd	3 г трехокиси хрома; 2,5—5 мл серной кисло- ты; 75 мл воды	ем Для выявления фигур травления на Ag следу- ет травление чередовать с полировкой
15	Сплавы Ag	5 мл уксусной кислоты; до 100 мл этилового спирта	Погружение или натирание
16	Ад плоскости (100) и (111)	5 г азотнокислого серебра; до 100 мл воды	Натирание тампоном
17	Ад и сплавы с Pd, Ni	100 мл 25%-ного раствора гидроксида аммония; до 100 мл перекиси водорода; 100 мл во-	Погружение в свежепри- готовленный раствор до 1 мин и более; кол-во воды можно уменьшить
18	Ад и его сплавы	А. 100 мл воды; 100 мл фосфорной кислоты Б. 10 мл насыщенного раствора трехокиси хрома; 5 мл солячой кислоти: 80 мл россий	Перед употреблением к раствору А добавляют 1—2 мл раствора Б. Травят погружением до 2 мин. Предварительно
,		ты; 80 мл воды	полируют в растворе хромовой кислоты.
19	Ад, плос- кости (100); (110) и (111)		Применяют для изучения дислокационной структуры
20	Ag и его сплавы	А. 50 мл азотной кислоты; 2 г двухромовокислого калия; 50 мл воды; Б. 1,5 г сернокислого натрия; 20 г оксида хрома; 100 мл воды	20 %-ный водный раствор A и Б в равных объемах наносят на шлиф тампоном до образования пленки, которую смывают водой. Если пленка пристает плотно к поверхности шлифа, добавить р-р A, если ее нет — p-р Б
21	Ад, плос- кости (100), (110), (111)	1 г брома; 15 мл уксус- ной к-ты ледяной; 25 мл соляной кислоты; 90 мл воды	

1	2	3	4
22	Ад и его сплавы	100 мл двухромовокислого калия; 2 мл хлористого натрия; 10 мл серной кислоты; 1000 мл воды	
23	Ag, моно- кристаллы	Концентрированная сер- ная кислота	t=50−60 °C
24	Ад, моно- кристаллы	ная кислота Насыщенный р-р дву- хромовокислого калия в 50 %-иой серной кислоте	
25	Рt и ее сплавы	100 г гидроксида калия; 10 г азотнокислого ка- лия; сернокислый калий; а также реактивы № 1, 3,6	Травление несколько мин. в расплаве
-26	Рd и сплавы	Азотная кислота	Подогреть и травить 2—3 мин
27	Рd и сплавы	Насыщенный раствор брома в спирте	Натирание тампоном
28	Сплавы Рф	3 г брома; до 100 мл	_
<b>2</b> 9	Рd и сплавы	48 % азотной кислоты; 2 % соляной кислоты; 50 % воды; а также реактивы № 3, 5, 17	Натирание тампоном
30	Сплавы иридия	Реактив № 5	\ _
31	Сплавы осмия	Реактив № 3, 5	

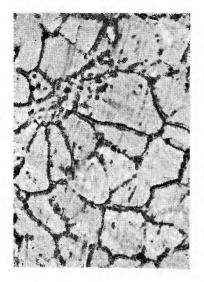
диффузионных процессов, полноты превращений при термической обработке, фрактографии. Ниже приводятся реактивы для химического травления структуры благородных металлов, состав которых опубликован в научно-технической литературе (табл. П. 23). Необходимо отметить, что структура тугоплавких благородных металлов химическим методом практически не выявляется.

# 2.2. Электролитическое полирование и травление благородных металлов

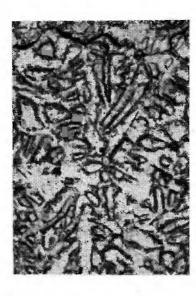
Электролитические методы обработки металлографических шлифов включают операции электротравления н электрополирования. Электролиты, в которых проводится электрополирование, могут быть использованы и для электротравления (как правило, при меньших значениях плотиостей тока). Электрополирование находит все большее применение в промышленности для получения блестящей, полированиой поверхности изделий.

Факторы, влияющие на процесс электролитической обработки.

Процесс электролитической обработки включает ряд этапов: подготовку исходной поверхности методом полирования или тонкого шлифова-



П.8. Микроструктура литого Ir с 0,05 % ZrC. Реактив для электротравления № 7. ×500



П.9. Микроструктура литого сплава Rh—5Os. Реактив для электротравления № 7. ×200



П.10 Микроструктура сплава RuAt. Реактив для электротравления № 15. ×200



П.11. Микроструктура сплава Ru—0.5С. Реактнв для электротравления № 7. ×200

ния; подбор состава электролита; подбор режима работы, т. е. температуры, времени электрического режима; выполнение операций по прекращению действия электролита.

Электрополирование применяют обычно для повышения чистоты обработки поверхности на 2—3 класса. Для промышлениых изделий предварительно обработаниая поверхность должна соответствовать 7—9 классу. Для изучения металлографических шлифов достаточен более низкий класс обработки поверхности, так как сохраняющийся рельеф не мешает проведению исследований.

Для электрополирования листового материала, подвергавшегося предварительной деформации, механическую подготовку поверхности можно не проводить. При изучении неметаллических включений необходимо проводить довольно тонкую предварительную механическую полировку образцов с последующим кратковременным электрополированием для предотвращения выкрашивания хрупкой фазы.

Важное значение имеет тепловой и электрический режим работы. При низкой температуре обычно увеличивается вязкость электролита, процесс растворения замедляется и начинает проявляться травящее действие электролита. При высокой температуре резко возрастает скорость растворения, а перегрев прианодного слоя вызывает газообразование и ухудшение полирующей способности электролита.

Для каждой системы металл — электролит существует оптимальиая плотность тока, обеспечивающая получение поверхности требуемого качества. Если плотность тока ниже или выше оптимальной, то происходит процесс травления с выявлением или без выявления структуры соответственно.

Реактивы для электрополирования

благородных металлов

Благородные металлы не полируются в большинстве общеизвестных электролитов; количество электролитов для них весьма ограничено.

Ниже приводятся электролиты для электрополирования благородных металлов (табл. П.24).

Реактивы для электротравления благородных металлов и сплавов Для выявления структуры чистых металлов, сплавов, соединений, тонкой структуры монокристаллов платиновой подгруппы в основиом применяются методы электротравления, так как химическими методами выявить структуру затруднительно (рис. П.1 — П.21). В табл. П.25 приводятся составы электролитов и режимы электротравления.



П.12. Микроструктуры Ru после горячей деформации. Реактив для электротравления № 15. ×150

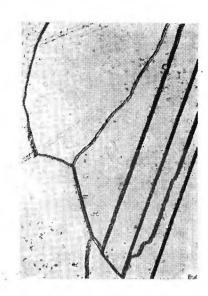
	Soleni Folini H FEMINE COLLIN CENTRAL COLLINS	I OHIONIH CEL			100	
				Режим работы	rbi	
п/п •М	Состав электролита	иапряжение, В	плотиость тока, А/дм²	2° '7	время, мин	Катод
-	2	3	4	5	9	7
	es ·	Золого и его сплавы	วทาสธย			_
<del>-</del> :	Хлорид золота (или соляная кислота) — 0,5 %; цианистый калий 10 %; ост. вода	1,5	15—20	25—30	1—4	Медъ
2.	(образцы движущиеся)  Циаиистый калий — $67,5$ г/л; сегнетова соль — $15$ г/л; фосфорная кислота ( $d=1.69$ ) — $18.5$ г/л; аммиак ( $d=0.9$ ) — $2.5$ г/л	5—10	100—150	09	1-3	Графит
က်	(перемешивание электролита) Планистый калий—(4—8) % (по массе); желтая кровяная соль—(4—20) % (по массе); лифосфат натрия—(4—20) % (по массе); елкое кали—(0.2—1.5) % (по массе); елкое кали—(0.2—1.5) % (по массе)	50—150	50—150	60-95	Неск.	1
4.	се); ост. вода Хлорнстое золото — 2,5 г; цианнстый ка- лий — 4 г; углекислый калий — 2 г; вода —	7,5	120	20—30	2-4	Тантал
5.		1,9—10	150 10—50	60 40—50	$\frac{1-2}{2-4}$	Графит »
	Биннокислый калий или 15 16 натрий, г					
	Фосфорная кислота (твер- дая), г 22,5 16 Аммиак, раствор, мл 2,5 3,5					

Графит	*	Графит	[868]	[668]		Cepebpo	*
1—5	2—2	ı	0,5	1-2		1560	3—4
20—45	20—60	I	570	22—50		20	18-25
1,5-3,5	3,5-6,5	ı	34	6,530	сплавы	3,3	1—1,2
6-12	6—12	6—12	ı		Серебро и его сплавы	ري تن	1,2—1,3
Цианистая медь, г	=1,84) — 3 г; уксусная кислота (ледя- ная) — 10 г Гимочевина — 50 г/л; серная кислота —	Тиомочевина — 25 г/л; серная кислота $(d=1,84)$ — 3 мл/л; винная кислота — 10 г/л (для повышения растворимости гио-	мочевииы добавляют антипиен ) Сернокислая медь — (10—20) г; тиомоче- вина — (30—80) г; лимонная или уксусная кислота — (100—150) г; ортофосфорная	кислота — (300—800) г/л Сериая кислота — (10—75) г/л; тиомоче- вина — (60—95) г/л; роданистый аммо- ний — (2,5—250) г/л; молочная кислота — (2,5—10,0) г/л	20	Цианистосеребряный калий— 32,4 г; цпа- пистый калий—— 19,5 г; углекнелый калий— 41,5 г; вода— 1000 мм (образец равномер-	ло доплистия терез раствор со спородны 50—100 см/мин) Планистое серебро — 20 г/л; планистый калий — 30 г/л,
ى 35688	7.	φ.	.6	10.		=	<sup>2</sup> 7 54

11.24	7						æ		а или сви-	на	1				или сви-			или плати-			
ение табл.		*	*	*	1	_	Платина	*	Платина	Платина	_ t	*	* *		Платина или	нец Платина		Родий ил иа			
Продолжение	9	Неск.	1-2	10	0,31	_	ок	1	ОК	<b>TOK</b>	4	3—6	3—6		м	-	-	က			
	2	20	20	20	20	_	Переменный ток	35—45	Переменный ток	Перемеиный т То же		<b>0</b> 09—099	440		Переменный ток	То же		20—60	_	Переменный ток	20—30   Переменный ток
	4	0,5-3,0	200	1-2	150	- 8		က	П	H		10—15	10—15	его сплавы	Пе		с индием	0,1		Пере	— — Пер
	င	2,5	40—60	2,5-3	45—70	Платина	ო	10	3,6	3 3		1-3	2—3	Палладий и его	3,6	က	ы палладия с индием	_1	Иридий		  
	2	Планистый патрий — 100 г. желтая кровя-	ная соль — 100 г; вода — 100 мл Цианистый калий — $9\%$ ; вода — $91\%$ (ин-	тенсивное движение образца) Цианистое серебро — 35 г; цианистый ка- лий — 37 г; углекислый калий — 38 г; во-	да — 1000 мл $(d=1,2)$ — 200 см³; этихорый спирт — 700 см³; глицерии — 100 см³ (интенсивное перемешивание электролита)		Водный р-р хлористого калия — 120 ч. (по массе); соляная кислота — 1 ч. (по массе); хлористый аммоний — (10—20) ч. (по массе)		Соляная кислота, 35%-н	Циаинстый калий — 1 г.; водный р-р аммиака — 5 мл; глицерин — 5 мл Цианистый калий, 20 %-ный р-р		Хлористый натрий — $50\%$ (по массе); хлористый калий — $50\%$ (по массе)	Хлористый магиий—52% (по массе); хлористый калий—48% (по массе) Фтористый калий—83% (по массе); фто- ристый натрий—17% (по массе)	Пал	Соляная кислота, 10 %-ный р-р	Соляная кислота — $3$ ч. (по массе); азотная кислота — $7$ ч. (по массе)	Canabu	Хлорная кислота (57 % -ная) — 4 ч. (по массе); соляная кислота конц. — 1 ч. (по массе); вода — 5 ч. (по массе)		Насыщенный водный р-р хлорида калия 100 ч. (по массе); соляная кислота — 6 ч.	(по массе); вода — /3 ч. (по массе) Последовательное полирование в насыщен- ном растворе: хлори натрия — 80 % содя.
540	⊷   6	13.	14.	15.	16.		17.	18.	19.	20.		35*	23.	•	25.	26.		27.	_	- 28.	29.

	2	က	4	ъ.	9	7	
30.	Насыщенный р-р хлорида кальция Углекислый аммоний, насыщенный р-р	30	1	20—30		[902] Иридий [903]	
33.	Цианистый калий, 20 %-ный водиый р-р Соляная кислота—1 ч.; азотная кислота—	2—15 5—15		і Переменный ток » »		[9] Иридий [9]	
34.	1 ч.; ортофосфорная кислота — 2 ч. Электролит № 22	ಬ	0,05	1	800	(6) «	
_		Родий		-			
35.	Азотнокислый натрий—1 ч.; хлорид натрия—1 ч.			Переменный ток			
		Ругений					
36.	Хлориая кислота, 10 %-иый раствор Хлорид калия или едкое кали, 25 %-ный	24	Переменный     Переменный	Переменный ток 20—60   Переменный ток	10	Нержавеющая сталь [904] [9]	
38.	раствор Реактив 18	10—7	20—10	0	l	[602]	
39.	Ортофосфорная кислота, 20 %-ный р-р; перекись водорода (несколько капель), а также реактив № 19	24	İ	5060	10	Тантал [906]	

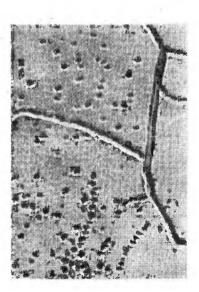




П.13. Микроструктуры Rh, отожженного после деформации. Реактив для электротравления № 8. ×100



П.14. Микроструктура литого Ru после бестигельной плавки. Реактив для электротравления № 14. ×150



П.15. Субструктура монокристалла Pd, выявленная в 10 %-ном растворе (1 ч. HNO<sub>3</sub>+1 ч. HCl) при постоянном токе. ×200

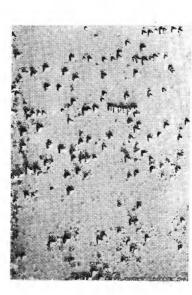
							ı
				Режим работы	Th		1
M n/n	Состав электролита	напряжение. В	плотность тока, 102, А/м²	температура, °С	время, мин	Катод	
-	83	89	4	2	9	7	
	,	Золото и его сплавы	nassi			4.	
-:	Соляная кислота — (10—30) %-ный растрор или 5 %-ный раствор цианистого ка-	9	2—10	2030	0,5	Графит	
63	лал Цианистый калий — 100 г/л	24	Переменный ток	ый ток		Графит	
	, , , , , , , , , , , , , , , , , , ,	Серебро и его сплавы	cnaasы				
	Пиросериистокислый калий 40 г/л; серно- ватистокислый иатрий 80 г/л	-	Постояиный ток	ый ток   20	0,5-1	[264]	
		Платина и ее сплавы	сплавы	1 6			
4.5	Соляная кислота $(d=1,19)$ конц. Соляная кислота — $20$ мл; вода — $80$ мл;	6—12 4—8	50 2—20	15—20 20—25	0,1 - 0,2	Графит	
ي.	Насышенный р-р цианистого калия		Переменный ток	ій ток			
•		10	1	20-30	0,5	Графит	
7.	Соляная кислота 25 %-ный раствор Па	   Палладий и его сплавы	Переменный ток . <i>сплавы</i>	ный ток		*	
	Реактив № 12						
				_	_	_	

801-4

	d.	Родий и его сплавы		
œ.	10 %-ный р-р соляной кислоты; Несколько капель перекиси водорода (тон-	Переменный ток 10—20   20—30	1 1 - 2	Платина
6	кая структура монокристалла родия) Соляная кислота—1 ч.; насыщенный р-р хлорида натрия—4 ч. (выявление моно-	Переменный ток При токе 5 А	10	*
10.	кристальности и границ зерен чистого ро- дия) Железосинеродистый калий—1 ч.; едкое	Переменный ток	2	Платина гот
11.	кали — 10 ч. Хлорное железо — 1 ч.; соляная кислота 4 ч.	При 10ке СА ТОСТО	3	[5] Платуна гол
12.	Бромистоводородная кислота или ее вод- ный раствор (перед травлением образец прогревают в кипяще воде); (определяют микроструктуру родия и его сплавов)	0,41	2—2	Платина [907]
13.	Едкий натр, 10%-ный р-р; реактив № 1 и 11	Иридий и его сплавы  Переменный ток  Б—6   Б—6   Ритений и его сплавы	_	
14.	Реактив № 9, 10, 11, 13 Насыщенный р-р щавелевой кислоты	Переменный ток	<u></u>	Нержавеющая стап.
15.	Хлорная кислота 10 %		0,5	То же [904]
,		Осмий и его сплавы		10001
.91	Ортофосфориая кислота, 15 %-иый р-р	11еременный ток 10   — 1 20—50	0,5-1	таптал (906)
17.	Азотная кислота, 15%-ный р-р; реактив № 1	Переменный ток 5—10 — — 20—50	0,1-1	1



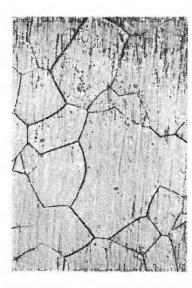
П.16. Фигуры травления на плоскости (100) монокристалла Pd. Реактив для электрополировки № 27. ×800



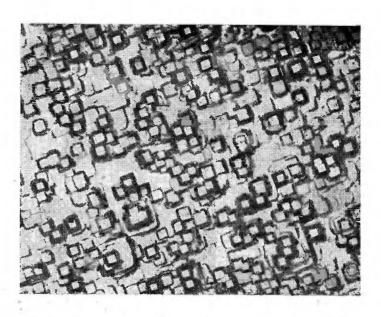
П.17. Фигуры травления на монокристалле сплава РФ—51п. Реактив для электрополировки № 27. ×500



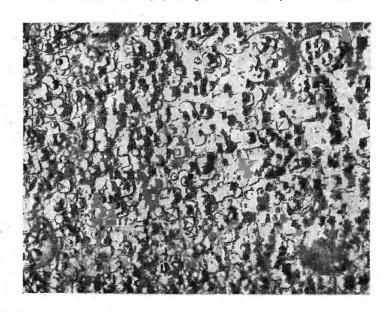
П.18. Фигуры травления на плоскости (100) монокристалла Rh. Реактив для электротравления № 8. ×200



П.19. Микроструктура поликристаллического Іг. Травление в 10 %-иом растворе НСІ. Постоянный ток. ×500



П.20. Фигуры травления на плоскости (100) монокристалла. Травление в 10 %-ной НСі катод—графит; пе́ременный ток 5 A, U=40 B.  $\times 1000$ 



П.21. Фигуры травления монокристалла Ir, выявленные в 10 %-ном растворе (1 ч.  $\text{HNO}_3 + 1$  ч. HCI) при постоянном токе.  $\times 500$ 

## БИБЛИОГРАФИЧЕСКИЙ СПИСОК

1. Healy J. F. — J. Metals, 1979, v. 31, № 8, p. 11—13.

2. Аникин А. В. Желтый дьявол. М.: Молодая Гвардия. 1978. 207 с. 3. Малышев В. М., Румяниев Д. В. Золото. М.: Металлургия. 1979.

4. Локерман А. А. Загадка русского золота. М.: Наука, 1978. 142 с.

5. Петровская Н. В. Самородное золото. М.: Наука, 1973. 330 с.

6. Плаксия И. Н. Металлургия благородных металлов. М.: Металлургиздат, 1958. с. 7-19.

7. Мальшев В. М., Румянцев Д. В. Серебро. М.: Металлургия, 1976.

8. Казаков Б. И. Благородные металлы служат человеку. М.: Металлургия, 1973. 166 с.

9. Металловедение платиновых металлов/Савиикий Е. М., Полякова В. П., Горина Н. Б., Рошан Н. Р. М.: Металлургия, 1975, 423 с.

10. Соболевский В. И., Генкин А. Д. Благородные металлы. Платина. М.: Знание. 1973. 61 с.

11. Chaston J. C. — Plat. Met. Rev., 1980, v. 24, № 2, p. 70—79.

12. Федоров И. А. Родий. М.: Наука, 1960. 375 с.

13. Ушакова Н. Н., Клаус К. К. М.: Наука, 1972. 150 с.

14. Соболевский П. Г. Горный журнал, 1827, ч. 2, кн. 4, с. 84—109.

15. Клаус К. К. Избранные труды о химии платиновых металлов: Серия Классики науки. М.: Изд-во АН СССР, 1954, с. 8—22.

16. Звягинцев О. Е. История уральской платины: Труды Института истории естествознания и техники. М.-Л.: Изд-во АН СССР, 1950, т. 6. с. 160—204.

17. Курнаков Н. С., Немилов В. А. — Изв. Института по изучению

платины, 1926, вып. 4, с. 306-314.

- 18. Генкин А. Д. Минералы платиновых металлов и их ассоциации в медно-никелевых рудах Норильского месторождения. М.: Наука, 1968, 105 c.
- 19. Генкин А. Д., Евстигнеева Т. Л., Коваленкер В. А. Сульфосоли, платиновые: Труды XI съезда Международной минералогической ассоциацин. М.: Наука, 1980, с. 185—172.

20. Кузнецов К. Ф., Панфилов Р. В. — В кн.: Рудные месторождения СССР/Под ред. Смирнова В. И. М.: Наука, 1974, т. 3, с. 78—95.

21. Петровская Н. В. Самородное золото. М.: Наука, 1973. 347 с.

22. Петровская Н. В., Сафонов Ю. Г., Шер С. Д. — В кн.: Рудные формации эндогенных месторождений. М.: Наука, 1976, т. 2, c. 3—110.

23. Cabri L. J. - Glossary of Platinum-Group Minerals. Econ. Geol.,

v. 71, № 7, 1976, p. 1476—1480.

24. Масленицкий И. Н., Чугаев Л. В. Металлургия благородных ме-

таллов. М.: Металлургия, 1972. 366 с.

25. Лодейщиков В. В., Стахеев И. С., Васильева М. А. Техника и технология извлечения золота из руд за рубежом. М.: Металлургия, 1973, 288 c.

26. Гидрометаллургия золота/Под ред. акад. Ласкорина Б. Н. М.: Наука, 1980, 180 с.

27. Лодейщиков В. В., Игнатьева К. Д. Рациональное использование серебросодержащих руд. М.: Недра, 1973. 112 с.

28. Berry R. J. — Chem. Eng., 1979, v. 86, № 13, p. 90—91.

29. Благородные металлы и их применение: Науч. тр./ИФМ УНЦ АН СССР. Свердловск: Кн. изд-во. 1971, вып. 28. 360 с.

30. Андронов В. П. Плавильно-литейное производство драгоценных

металлов и сплавов. М.: Металлургия, 1974. 320 с.

31. Savitskii E. M., Polyakova V. P., Gorina N. B. (Савинкий Е. М., Полякова В. П., Горина Н. Б.)— Plat. Met. Rev., 1979, v. 23, № 2,

32. Андронов В. П., Головин В. П. Производство полуфабрикатов из драгоценных металлов и сплавов. М.: Металлургия, 1965. 404 с.

33. Степанов В. В., Чернышева Т. А., Шевелев В. В. — ФММ, 1975, т. 39, вып. 1, с. 182.

34. Рытвин Е. И. Платиновые металлы и сплавы в производстве стекловолокиа. М.: Химия, 1974. 261 с.

35. Справочник по сварке, пайке, склейке и резке металлов и пластмасс: Пер. с нем./Под ред. Ноймана А., Рихтера Е. М.: Металлургия, 1980, 462 с.

36. Шнайдер Б. И., Погребисский Д. М. — Автоматическая сварка,

1971, № 4, c. 47.

37. Мастеров В. А., Саксонов Ю. В. Серебро. Сплавы и биметаллы на его основе. М.: Металлургия, 1979. 295 с.

38. Васильева Е. В., Волкова Р. М., Захарова М. И. Платина, ее сплавы и композиционные матерналы. М.: Металлургия, 1980.

39. Vlazly S. D., Roe W. C. - J. Mat. Sci., 1972, v. 7, № 4, p. 445-

- 40. Ниженко В. И. В кн.: Методы исследования и свойства границ раздела контактирующих фаз. Киев: Наукова думка, 1977, с. 125-
- 41. Хиля Г. П., Иващенко Ю. Н., Еременко В. Н. Изв. АН СССР. Металлы, 1975, № 6, с. 87-93.

42. Nakajima H. — Trans. Jap. Inst. Met., 1974. v. 15. № 4. p. 301—303. 43. Митько М. М., Дубинин Э. Л., Тимофеев А. И., Чегодаев А. И. Изв. вузов. Цветная металлургия, 1978, № 3, с. 84—88.

44. Марценюк П. С., Иващенко Ю. Н. — Укр. хим. журн., 1974, т. 60. № 4, c. 431—433.

45. Андреев А. П., Измайлов В. А., Ивахненко И. С., Кашин В. И.-Изв. АН СССР. Металлы, 1974, № 2, с. 69—71.

46. Gebhardt E., Dorner S. - Z. Metalk., 1951, Bd 42, № 11, S. 353-361. 47. Ватолин Н. А., Есин О. А., Дубинин Э. А. — ЖФХ, 1967, т. 41,

№ 7. c. 1813—1815.

48. Сергин В. И, Ватолин Н. А., Мень А. Н. — В кн.: Физическая химия металлургических расплавов. Вып. 27. Свердловск: Изл-во УНЦ АН СССР, 1972, с. 45—52.

49. Nagamori M. — Trans. Met. Soc. AIME, 1969, v. 245, № 9, p. 1897—

50. Физическая химия поверхности расплавов. Тбилиси: Мицииереба. 1977. 121 c.

51. Физика поверхностных явлений в расплавах. Грозный: Изл-во Чеч. Иигуш. гос. уииверситета, 1977, ч. І. 172 с.; ч. ІІ. 190 с.

52. Митько М. М., Серган Б. И., Тимофеев Н. И., Дубинин Э. Л. — Изв. вузов. Цветная металлургия, 1979, № 2, с. 86-90.

53. Митько М. М., Дубинин Э. Л., Тимофеев Н. И., Чегодаев А. И. — Изв. вузов. Цветная металлургия, 1979, № 1, с. 91—94.

54. Дубинин Э. Л., Чегодаев А. И., Власов В. Н., Тимофеев Н. И. —

Изв. вузов. Цветная металлургия, 1975, № 5, с. 156—158. 55. Найдич Ю. В., Перевертайло В. М., Логинова О. Б.—Изв. АН СССР. Металлы, 1979, № 4, с. 37—41.

56. Физическая химия металлургических расплавов. Вып. 18. Свердловск: Изд-во УНЦ АН СССР, 1969. 150 с.

57. Дубинин Э. Л., Власов В. М., Ватолин Н. А. — Изв. АН СССР. Металлы, 1976, № 2, с. 94—97.

 Физическая химия границ раздела контактирующих фаз. Киев: Наукова думка, 1976. 123 с.

59. Lucas L. D. — Compt. Rend., 1961, v. 253C, № 22, p. 2526—2528.

- 60. Ватолин Н. А., Тимофеев А. И., Дубинин Э. Л.—В кн.: Термодинамические свойства металлических сплавов. Баку: ЭЛМ, 1975, с. 66—69.
- 61. *Захарова В. Т., Попель С. И., Гаврилова А. В.* Изв. вузов. Цветная металлургия, 1979, № 1, с. 86—90.

62. Семенченко В. К. Поверхностные явления в металлах и сплавах. М.: Гостехиздат, 1957, 491 с.

63. Физическая химия металлургических расплавов. Вып. 25. Свердловск: Изд-во УНЦ АН СССР, 1971. 120 с.

64. Дубинин Э. Л., Власов В. М., Тимофеев Н. И. — Изв. вузов. Цвет-

ная металлургня, 1975, № 4, с. 160—161.

65. Ватолин Н. А., Ухов В. Ф., Ченцов В. П.—В кн.: Физическая химия металлургических расплавов. Вып. 27. Свердловск: изд-во УНЦ АН СССР, 1972, с. 86—91.

66. Desre P. — J. Less-Comm. Metalls, 1977, v. 51, p. 69—77.

- 67. Kasama A., Inui T., Morita Z. J. Jap. Inst. Met., 1978, v. 42, № 12, p. 1206—1212.
- 68. Bricard A., Eustathopoulos N., Jous J., Desre P. Compt. Rend, 1973, v. 276, № 22, p. 1613—1616.

69. Физическая химия металлургических расплавов. Вып. 20. Свердловск: Изд-во УНЦ АН СССР, 1969. 160 с.

70. Lauermann 1., Sauerwald F. — Z. Metalk., 1964, Bd 55, № 10, S. 605—612.

71. Марценюк Ц. С., Иващенко Ю. Н., Еременко В. Н.— В кн.: Тезисы научных совещаний III Всесоюзной конференции по строенню и свойствам металлических и шлаковых расплавов. Ч. 2. Свердловск: Изд-во УНЦ АН СССР, 1978. с. 485—488.

72. Ухов В. Х., Дубинин Э. Л., Есин О. А., Ватолин Н. А. — ЖФХ, 1968, т. 42, № 10, с. 2631—2634.

73. Андронов В. Н., Чекин Б. В., Нестеренко С. В.— В кн.: Жидкие металлы и шлаки. М.: Металлургия, 1977. с. 59.

74. Дубинин Э. Л., Ватолин Н. А.—ЖФХ, 1969, т. 43, № 10, с. 2611—2613.

75. Uemura O., Ikeda S. — Trans. Jap. Inst. Met., 1973, v. 14, № 5, p. 351—354.

- Howe R. A., Enderby J. E. Phil. Mag., 1967, v. 16, № 141, p. 467—476.
- 77. Ватолин Н. А., Есин О. А., Дубинин Э. Л. ЖФХ, 1967, т. 41, № 7, с. 1813—1815.
- 78. Roll A., Motz H. Z. Metalk., 1957, Bd. 48, № 8, S. 435—444. 79. Требухов А. А., Козин Л. Ф., Хобдабергенов Р. Ж. и др. — Изв. АН Каз. ССР. Химия, 1974. № 6, с. 17—21.

80. Хобдабергенов Р. Ж., Козин Л. Ф., Требухов А. А., Нигметова Р. Ж.—Вести. АН Қаз. ССР, 1975, № 2, с. 41—46.

81. Daney E. A., Derge G. J. — J. Trans. Met. Soc. AIME, 1963, v. 227, № 10. p. 1034—1038.

82. Романова А. В., Павлова Э. Л. — УФЖ, 1972, т. 17, № 8, с. 1239—1244.

83. Монькин В. Д., Ухов В. Ф., Ватолин Н. А., Гальчинский Б. Р.— НЗВ. АН СССР. Металлы, 1978, № 6, с. 53—57.

84 Davies H. A., Leach J. S. L.—Phil. Mag., 1969, v. 19, No. 162, p. 1271—1283.

85. Martin-Garin L., Martin-Garin R., Deasre P. — J. Less. Comm. Metals, 1978, v. 59, p. P1—P15.

86. Ofte D. — J. Nucl. Mater., 1967, v. 22, № 1, p. 28—32.

87. Демидович О. В., Жученко А. А., Дубинин Э. Л. и др. — Изв. АН СССР. Металлы, 1979, № 1, с. 73—77.

88. Жученко А. А., Дубинин Э. Л., Тимофеев А. И.—Изв. вузов. Цветная металлургия, 1977, № 4, с. 142—144.

89. Nakajima H.—Trans. Jap. Inst. Met., 1976, v. 17, № 7, p. 403—407.

90. Дубинин Э. Л., Есин О. А., Ватолин Н. А., Куранов А. А. — ЖНХ, 1967, т. 12, № 11, с. 3156—3158.

91. Жученко А. А., Дубинин Э. Л., Тимофеев А. И. — Деп. НИИТЭХим, Черкассы, 1979, № 2254/78.

92. Жученко А. А., Дубинин З. Л., Тимофеев А. И. — Деп. НИИТЭХим. Черкассы, 1979. № 2253/78.

93. Hultgren R., Tesai P. D., Hawkins D. T. — Selected values of the thermodynamic properties of elements. Metals Park, Ohio, 1973, v. 1, 2, 888 p.

94. Tarby S. K., Robinson V. S.—Trans. Met. Soc. AIME, 1968, v. 242, No. 4, p. 719—721.

95. *Каи С. А., Березинь Б. Я., Горина Н. Б.* и др. — Изв. АН СССР.

Металлы, 1974, № 6, с. 87—89. 96. *Itagaki K., Yazama A.*— J. Jap. Inst. Met., 1968, v. 32, № 12,

p. 1294—1300; 1969, v. 10, № 4, p. 259—266.

97. Betton G. R., Fruehan R. — Trans. Met. Soc. AIME, 1969, v. 245, № 1, p. 113—117.

98. Predel B., Emam A — Z. Metalk., 1973, Bd. 64, № 7, S. 496—501. 99. Predel B., Stein D. W — Z. Naturforsch., 1971, Bd. 26A, S. 722—

99. Predet B., Stein D. W.— Z. Naturioiscii., 1971, Bd. 20A, S. 722—734.

100. Itagaki K., Yazawa A. — J. Jap. Inst. Met., 1971, v. 36, № 4, p. 383—394.

101. Hager J. P., Lambrano A. R. — Trans. Met. Soc. AIME, 1969, v. 245, № 10, p. 2313—2318.

102. Nozaki T., Shimozi M., Nima K.—J. Jap. Inst. Met., 1966, v. 30, № 1, p. 7—10.

103. Detcet J., Egan J. I.—J. Less-Comm. Metals, 1978, v. 59, № 2, p. 229—236.

104. Robinson V. C., Tarby S. K. — Metall Trans., 1971, v. 2, № 5, p. 1347—1352.

Predel B., Oehme G., Vogelbein W. — Z. Metalk., 1978, Bd. 69, № 3,
 S. 163—166.

106. *Itagaki K., Yazawa A.* — J. Jap. Inst. Met., 1971, v. 35, № 4, p. 383—388.

107. Nakamura S., Yamaji T., Kato E. — Metall Trans., 1970, v. 1, № 9, p. 2645—2646.

108. Roy P. J., Ghosh A. — Metall Trans., 1971, v. 2, No 8, p. 2171—2174.

109. Okajima K., Sakao H. — Trans. Jap. Inst. Met., 1974, v. 15, № 1, p. 51—56.

110. Ватолин Н. А., Тимофеев А. И., Дубинин Э. Л. — ЖФХ, 1971, т. 45, № 8, с. 2027—2029.

111. Fujinurak, Morit. — J. Jap. Inst. Met., 1975, v. 39, № 11, p. 1118—1127.

112. Jakob K. T., Jeffes J. H. E. — J. Chem. Thermod., 1971, v. 3, № 4, p. 433—443.

113. Hino M., Azakami T., Kameda M. J. — J. Jap. Inst. Met., 1975, v. 39, № 11, p. 1175—1181.

114. Desre P. J., Havkins D. T., Haltgren — Trans. Met. Soc. AIME, 1968, v. 242, № 7, p. 1231—1232.

115. Predel B., Piehl J. — Z. Metalk., 1975, Bd. 66, № 1, S. 33—38.

116. Yazawa A., Gubkova A. - Trans. Jap. Inst. Met., 1970, v. 11, № 6, p. 417—423.

117. Yazawa A., Lee Y. K. — Trans. Jap. Inst. Met., 1970, v. 11, № 6,

p. 411-418.

118. Itagaki K. — J. Jap. Inst. Met., 1976, v. 40, № 10, p. 1038—1046. 119. Hager P. J., Howard S. M., Jones J. H. - Metall Trans., 1973, v. 4,

№ 10, p. 2383—2388.

120. Березуцкий В. В., Еременко В. Н., Лукашенко Г. М. — УХЖ, 1977, т. 43, № 6, с. 590—593.

121. Nagamori M., Kameda M. — Trans. Jap. Inst. Met., 1968, v. 9, № 3, p. 181-187.

- 122. Filby J. D., Pratt J. N. Trans. Farad. Soc., 1964, v. 60, № 503, p. 1935-40.
- 123. Березуцкий В. В., Еременко В. Н., Лукашенко Г. М. Изв. АН СССР. Металлы, 1975, № 2, с. 54—56.

124. Tomiska J., Erdelyi L., Neskel A., Novotny H. - Z. Metalk., 1977, Bd. 68, № 11, S. 734—739

125. Howard S. M., Hager J. P. - Metall. Trans., 1978, v. 9B, No 1, p. 51-59.

126. Hager P. J., Walker R. A. - Trans. Met. Soc. AIME, 1969, v. 245, № 10, p. 2307—2312

127. Новоселов Б. М., Дубинин Э. Л., Тимофеев А. И. и др. — В кн.: Тезисы научных сообщений III Всесоюзной конференции по строению и свойствам металлических и шлаковых расплавов. Ч. 2. Свердловск: Изд-во УНЦ АН СССР, 1978, с. 5-8.

128. Miner R. V., Spencer J. P. J., Pool M. - Trans. Met. Soc. AIME, 1968, v. 242, № 8, p. 1553—1554.

129. Рожков С. Е., Култашев О. К. — В кн.: Термодинамические свойства металлических расплавов. Баку: ЭЛМ, 1975, с. 95-98.

130. Ватолин Н. А., Козлов Ю. С., Есин О. А.—Изв. АН СССР. Металлы, 1974, № 3, с. 107—109.

131. Ватолин Н. А., Тимофеев А. И., Дубинин Э. Л. — ЖФХ, 1971, T. 45, № 8, c. 2027—2029.

132. Ватолин Н. А., Козлов Ю. С., Пастухов Э. А. — Изв. АН СССР. Металлы, 1977, № 5, с. 226—227.

133. Sommer F., Suh Y. H., Predel B. - Z. Metalk., 1978, Bd. 69, No 6, S. 401-404.

134. Predel B., Piehl J., Pool M. J. - Z. Metalk., 1978, Bd. 69, № 5, S. 293—295.

135. Alcock C. B., Kubik A. - Trans. Inst. Mining and Metall., 1968. v. 77C (Dec.), p. 220—224. 136. McCormack J. M., Myers J. P., Saxer R. K. — Trans. Met Soc. AIME,

1966, v. 236, № 11, p. 1635—1637.

137. Чегодаев А. И., Дубинин Э. Л., Ватолин Н. А., Тимофеев А. И.— ЖФХ, 1977, т. 51, № 6, с. 1493—1495.

138. Бокий Г. Б. Кристаллохимия. М.: Наука, 1971. 400 с.

139. Metal progress, 1977, v. 112, № 1, p. 94.

140. Colin Rolfe. — J. Inst. Metals, 1966, v. 94, № 4, p. 148.

141. Schröder R. H., Schmitz N., Kohlhaas R. - Z. Metallk., 1972, v. 63, № 1, S. 12—16.

142. Crabtree R. H. - J. Less-Comm. Metals, 1979, v. 64, № 1, p. 7-9. 143. Крекнелл А., Уонг К. Поверхность Ферми. М.: Атомиздат, 1978.

144. Болотин Г. А., Волкенштейн Н. В., Новоселов В. А. и др. — ФММ,

1972, т. 33, № 4, с. 740—745.

145. Болотин Г. А., Кириллова М. М., Номерованная Л. В. и др. — ФММ, 1967, т. 23, № 3, с. 463—471.

146. Справочник по ядерной физике/Под ред. Арцимовича Л. А. М.: Физматгиз. 1963. с. 29—129.

147. Гордеев И. В., Кардашев Д. А., Малышев А. В. Ядернофизические константы. М.: Госатомиздат, 1963. 321 с.

148. Selected constants metals. Thermal and mechanical dates. N-Y-L., Pergamon Press, 1969, 310 p.

149. Selected values of the thermodynamic properties of elements. Ohio, Amer., Soc. Metal, 1975, 256 p.

. 150. Свойства элементов. Ч. І. Физические свойства: Справочник/Под ред. Самсонова Г. В. М.: Металлургия, 1976. 599 с.

151. Кац С. А., Чеховской В. Я., Горина Н. Б. и др. — ТВТ, 1977. т. 15, № 6, с. 1309—1310.

152. Кай С. А. Березин Б. Я., Горина Н. Б. и др. — Изв. АН СССР. Металлы, 1974, № 6, с. 87—89.

153. Таблины физических величин: Справочник/Пол ред. Кикоина И. К.

М.: Атомиздат, 1976, 1006 с.

154. Vollmer P., Kohlhaas R. – Z. Metallkünd., 1968. Bd 59. S. 273–277. 155. Kelsky D. S., Van den Supe J. - J. Appl. Phys., 1970, v. 41,

p. 4750-4756.

156. Gordoba G., Brooks C. R. — Phys. stat. sol., a. 1971, v. 6, p. 581—

157. Савицкий Е. М., Гельд П. В., Зиновьев В. Е. и др. — ДАН СССР, 1976, т. 229, с. 841—844.

158. Vollmer O., Kohlhaas R. - Z. Naturf. 1969, Bd. 24a., S. 1669-1670.

159. Зиновьев В. Е., Коршунов И. Г. Теплопроводность и температуропроводность переходных металлов при высоких температурах. Ч. 1. Обзор экспериментальных данных. Обзоры по теплофизическим свойствам веществ. Обзорная информация. М.: ИВТАН, 1978,

160. Seville A. H. — Plat. Met. Rev., 1975, v. 19, p. 96—99.

161. Крафтмахер Я. А., Сишкова Г. Г. — ФТТ, 1974, т. 16, с. 138—142. 162. Thermophisical properties of matter. Thermal diffusi vity/Ed. by

Touloukian Y. S. N.-Y. W.: IFI Plenum, 1973, v. 10, p. 649. 163. Powell R. W., Tyo R. P., Woodman M. J. - J. cess. Comm. Met., 1967, v. 12, p. 1—19.

164. Зиновьев В. Е., Савицкий Е. М., Гельд П. В. и пр. — ТВТ, 1978. т. 16. с. 971—977.

165. Laubitz M. J., Matsumura T. - J. Phys., 1972, v. 50, p. 196-204.

166. Вертоградский В. А. — ТВТ, 1977, т. 15, с. 208—209.

167. Филиппов Л. П., Юрчак Р. П. — ИФЖ, 1971, т. 11, с. 561—577.

168. Laubitz M. J. — J. Phys., 1969, v. 47, p. 2633—2644.

169. TPRC Data Book Series on Themophysical Properties, v. 1—5. Thermal conductivity. N.-Y.: Plenum Pub. Corp., 1969. 421 p.

170. Новикова С. И. Тепловое расширение твердых тел. М.: Наука, 1974, 291 c.

171. Wimber R. T. — J. Appl. Phys., 1976, v. 47, p. 5115—5117.

172. Cooper R. F. - Phys. Educ., 1976, v. 11, p. 284-290.

173. Hahn T. A., Kuby R. K.—Thermal Expansion, 1971, 3rd AIP Symp. Corn., 1972, p. 87-95.

174. Таблицы физических величин: Справочник/Под ред. Кикоина И.К. М.: Атомиздат, 1976. 1006 с.

175. Laubitz M. J. - Canad. J. Phys., 1970, v. 48, p. 1499-1503.

176. Волкенштейн Н. В., Новоселов В. А., Старцев В. Е., Романов Е. П. — ФММ, 1972, т. 33, с. 1233—1238.

177. Powell R. W., Tyo R. P., Woodman M. J. - J. Less.-Comm. Met., 1967, v. 12, p. 1—19.

178. Вертоградский В. А. — ТВТ, 1977, т. 15, с. 208—209.

- 179. Савицкий Е. М., Гельд П. В., Зиновьев В. Е. и др. ДАН СССР, 1976, т. 229, с. 841—844.
- 180. Ажажа В. М., Ковтун Г. П., Еленский В. А. н др. ФММ, 1976, т. 41, с. 888—890.

181. Hurd C. M. — Adv. in Phys., 1974, v. 23, p. 374—433.

- 182. Филиппов Л. П., Юрчак Р. П.—ИФЖ, 1971, т. 11, с. 561—577.
- 183. Laubitz M. J., Matsumura T.—Сапад. J. Phys., 1972, v. 50. p. 196—204.
- 184. Крафтмахер Я. А., Сушкова Г. Г. ФТТ, 1974, т. 16, с. 138—142.
- 185. *Орлова М. П.* Низкотемпературная термометрия. М.: Изд-во Стандартов, 1975. 156 с.
- 186. Blatt F. J., Schroeder P. A., Foils C. L., Greig D. Thermoelectric power of metals. N. Y.—London, Plenum Press. 1976, 266 p.
- 187. Huebner R. P. Solid State Phys., 1972, № 27, p. 63-134.
- 188. Займан Дж. Электроны и фононы. М.: ИЛ, 1962. с. 488.

189. Roberts R. B. — Phil. Mag., 1977, № 36, p. 91—107.

- 190. Barnard R. D. Thermoelectricity in metals and alloys. Taylor & Francis, LTD, 1972, 210 p.
- 191. Zytveld J. B. Proceedings of the Fierst international conference of thermoelectricity properties of metallic conductor. N.-Y., Michigan, August 10—12, 1977. 1978, p. 203—217.
- 192. Jun J. P., Pearson W. B. Can. J. Phys., 1958, № 36, p. 627—631.
- 193. Rumbo E. R. J. Phys. F: Met. Phys., 1976, No 6, p. 85-89.
- 194. Ewbank M., Imes J. L., Pratt W. P. a. o. Phys. Letters, 1976, № 59A, p. 316—318.
- 195. Guenault A. M., Hawksworth D. G. J. Phys. F: Met. Phys., 1977, № 7, p. L219—L222.
- 196. Uher C., Lee C. W., Bass I. Phys. Letters, 1977, № 61A. p. 344—347.
- 197. Uher C., Schroeder P. A. J. Phys. F: Met. Phys., 1978, № 8, p. 865—871.
- 198. Volkensthein N. V., Startzev V. E., Dyakina V. P., Cherepanow A. N. (Волкенштейн Н. В., Старцев В. Е., Дякина В. П., Черепанов А. Н.) J. Phys., 1978, № 39, C6—1112—14.
- 199. Cusack N., Kendall P. Proc. Phys. Society, 1958, № 72, p. 898—901.
- 200. Crisp R. S., Rungis J. Phil. Mag., 1970, № 22, p. 217-236.
- 201. Fletcher R., Greig D. Phil. Mag., 1968, № 17, p. 21-35.
- 202. Vedernikow M. N. (Ведерников M. H.) Advances Phys., 1969, № 18, р. 337—370.
- 203. Sellmuer D. J., Franz J. M. J. Phys., 1974, № 52, p. 2060-2061.
- 204. Huntley D. J. Can. J. Phys., 1971, No. 49, p. 2610—2612.
- 205. Савицкий Е. М., Буров И. В., Пирогова С. В., Литвак Л. Н. Электролитические и эмиссионные свойства сплавов. М.: Наука, 1978. 264 с.
- 206. Merz H. Phys. Stat. Solid. (a), 1970, v. 1, p. 707.
- 207. Фоменко В. С., Подчерняева И. А. Эмиссионные и адсорбционные свойства веществ и материалов. М.: Атомиздат, 1975. 320 с.
- 208. Савицкий Е. М., Буров И. В., Литвак Л. Н.— Изв. АН СССР. Металлы, 1970, № 2, с. 57—71.
- 209. Савицкий Е. М., Литвак Л. Н., Буров И. В. и др. ДАН СССР, 1970, т. 192, с. 783—786.
- 210. Пришивалко А. П. В ки.: Отражение света от поглощающих сред. Минск: Изд-во АН БССР, 1963, с. 82—140.
- 211. *Уханов Ю. И.* В кн.: Оптические свойства полупроводинков. М.: Наука, 1977, с. 81—83.

- 212. Излучательные свойства твердых материалов: Справочник/Под ред. Шейндлина А. Е. Латырев Л. Н., Петров В. А., Чеховский В. Я., Шестаков Е. Н. М.: Энергня, 1974, с. 261—291.
- 213. Irani G. B., Huen T., Wooten F. J. Opt. Sos. Amer., 1971, v. 61, № 1, p. 128—129.
- 214. Падалка В. Г., Шкляревский И. Н.— Оптика и спектроскопия, 1961, т. 11, вып. 4, с. 527—535.
- 215. Johnson P. B., Christy R. W.—Phys. Rev., 1972, v. 6B, № 12, p. 4370—4379.
- 216. Мотулевич Г. П., Шубин А. А. ЖЭТФ, 1964, т. 47, № 3, вып. 9, с. 840—847.
- 217. Дуйсебаева Ж., Корсунский М. И., Мотулевич Г. П.— Оптика и спектроскопия, 1973, т. 34, вып. 3, с. 535—538.
- 218. *Кириллова М. М., Номерованная Л. В., Носков М. М.* ФММ, 1972, т. 34. вып. 1, с. 60—66.
- 219. *Кириллова М. М., Номерованная Л. В., Носков М. М.* Тезнсы 17 Всесоюзного съезда по спектроскопин. Минск: Изд-во АН БССР, 1971. с. 105—106.
- 220. Кириллова М. М., Номерованная Л. В., Носков М. М. ФММ, 1972, т. 34, вып. 2, с. 291—296.
- 221. Кириллова М. М., Номерованная Л. В., Носков М. М. и др. ФТТ, 1978, т. 20, вып. 6, с. 1718—1724.
- 222. Кириллова М. М., Номерованная Л. В., Ковтун Г. П., Еленский В. А. Оптика и спектроскопия, 1982, т. 52, вып. 4, с. 682—685
- 223. Сасовская И. И., Лифшиц В. А.—ФММ, 1978, т. 45, вып. 4, с. 859—862.
- 224. Номерованная Л. В., Кириллова М. М., Савицкий Е. М. н др. ДАН СССР, 1979, т. 246, вып. 3, с. 585—588.
- 225. Сасовская И. И., Носков М. М., Тимофеев Н. И. ФММ, 1972, т. 34, вып. 5, с. 995—1003.
- Weaver J. H., Olson C. G., Lunch D. W. Phys. Rev., 1977, v. 15B, p. 4115—4118.
- 227. McRay Jack A., Rayne John A. Phys. Rev., 1976, v. B13, № 2, p. 673—685.
- 228. Ferraton J. P., Leveque G., Robin-Kandore S.— J. Phys. F.: Metal Phys., 1975, v. 5, № 7, p. 1433—1438.
- 229. Кинджери В. Д. Измерения при высоких температурах. М.: Металлургиздат, 1963. 466 с.
- 230. Bidwell C. C. Phys. Rev., 1914, v. 3, № 2, p. 439—449.
- 231. Schley U., Tingwaldt C., Verch J. Naturwissenschaften, 1960, Bd 47, № 10, S. 222—223.
- 232. Stephens R. E. J. Opt. Sos. Amer., 1939, v. 29, № 4, p. 158—161. 233. Сорокин А. Г., Труханова Л. Н., Филиппов Л. П. ТВТ, 1969,
- 233. Сорокин А. 1., Труханова Л. Н., Филиппов Л. П. ТВТ, 1969 т. 7, № 2, с. 372—374.
- 234. Труханова Л. Н., Филиппов Л. П. ТВТ, 1970, т. 8, № 4, с. 919—920.
- 235. Barnes B. T. J. Opt. Sos. Amer., 1966, v. 56, № 11, p. 1546—1550.
- 236. Dougiass R. W., Adkins E. F. Trans. met. soc. AIME, 1961, v. 221, № 2, p. 248—249.
- 237. Вонсовский С. В.— В кн.: Магнетизм. М.: Наука, 1971, с. 166—228.
- 238. Чечерников В. И.— В кн.: Магнитные измерения. М.: Нзд-во МГУ, 1963, с. 87—110. 239. Hurd C. M.— J. Phys. Chem. Solids, 1966, v. 27, p. 1371—1374.

561

240. Garber M., Henry W. G., Hoeve H. G.—Canad. J. Phys., 1960, v. 38, p. 1595—1612.

241. Hoare F. E., Mattheus J. C.—Proc. Roy. Soc. (London), 1952, v. A212, p. 137—148.

242. Weiss W. D., Kohlhaas R. — Z. angew. Phys., 1967, Bd 23, S. 175—179.

243. Müller M., Beck H., Güntherodt H. I. — Phys. Rev. Let., 1978, v. 41, p. 893—897.

244. Волкенштейн Н. В., Галошина Э. В., Романов Е. П., Щеголихина Н. И.— ЖЭТФ, 1971, т. 61, с. 1506—1510.

245. Galoshina É. V., Gorina N. B., Polyakova V. P. (Галошина Э. В., Горина Н. Б., Полякова В. П.) — Phys. Stat. Sol., 1973, v. b58, p. K45—K48.

246. Hurd C. M. — The Hall effect in Metals and Alloys. Plenum Press,

N.-Y.—L., 1972, p. 11—17.

247. *Кучис Е. В.* — В кн.: Методы исследования эффекта Холла. М.: Советское радио, 1974, с. 139—230.

248. Alderson J. E. A., Farell T., Hurd C. M. — Phys. Rev., 1968, v. 174, p. 729—736.

249. Koster W., Hagman D., Saeger K. E. — Z. Metallkunde, 1963, Bd 54, S. 619—622.

 Busch G., Guntherodt H. J. — Phys. Kondens. Materie, 1967, Bd. 6, S. 325—62.

251. Barnard R. D. — J. Phys. F, 1977, v. 7, p. 673—691. 252. Shacle P. W. — Phil. Mag., 1970, v. 21, p. 987—1002.

253. Koster W., Gmöhling W., Hagman D.—Z. Metallkunde, 1963, Bd 54, S. 325—30.

254. Frank V. — Appl. Sci. Res., 1957, v. 6, p. 379—387. 255. Wilding M. D. — Phys. Soc., 1967, v. 90, p. 801—809.

256. Justy E. — Z. Naturforsch., 1949, Bd 4a, S. 472—474.

257. Васильева Р. П., Черемушкина А. В., Иванова Н. И.— ФММ, 1973, т. 35, с. 872—875.

258. Волкенштейн Н. В., Старцев В. Е., Черепанов В. И. и др. — ФНТ., 1980. т. 6. № 7, с. 890—894.

259. Gehlhoff P. O., Justi E., Kohler M. — Z. Naturforsch., 1950, Bd 5a, S. 1698.

260. Волкенштейн Н. В., Новоселов В. А., Старцев В. Е. — ЖЭТФ, 1970, т. 58, с. 1609—1611.

Справочник по машиностроительным материалам/Под ред. Бочвара А. А. М.: Машгиз, 1959, т. 2, с. 396—445.

 Свойства элементов: Справочник/Под ред. Самсонова Г. В., М.: Металлургия, 1976, т. 1, 2. 865 с.

263. *Славинский М. П.* Физико-химические свойства элементов. М.: Металлургиздат, 1952. 763 с.

264. Edelmetall-Tuschenouch. Degussa, Frankfurtam Mein: 1967. 190 S.
 265. Андронов В. П., Головин В. П. Производство полуфабрикатов из драгоценных металлов и сплавов. М.: Металлургия, 1965. 404 с.

 Савицкий Е. М., Полякова В. П., Тылкина М. А. Сплавы палладия. М.: Наука, 1967. 212 с.

267. *Новиков И. И., Новик Ф. С., Рытвин Е. И.* и др. — Изв. вузов. Цветная металлургия, 1967, № 4, с. 132—135.

268. Raub E. — Z. Metallkunde, 1964, № 9, S. 512—514.

269. Джаффи Р., Майкат Д. Дж., Дуглас Р. У. Рений и тугоплавкие металлы платиновой группы: Пер. с англ. М.: ИЛ, 1963. 115 с.

 Brookes C., Greenwood J., Routbort J. — J. Inst. Met., 1970, v. 98, p. 27—31. 271. *Турова Н. Я.* Справочные таблицы по неорганической химни. М.—Л.: Химия, 1979. 116 с.

272. Ливингстон С. Химия рутения, родия, палладия, осмия, иридия, платины: Пер. с англ./Под ред. докт. хим. наук *Щелокова Р. Н.* М.: Мир, 1976. 366 с.

273. Аналитическая химия платиновых металлов/Гинсбург С. И., Езерская Н. А., Прокофьева И. В. и др. М.: Наука, 1972. 616 с.

274. Синтез комплексных соединений металлов платиновой группы: Справочник/Под ред. акад. *Черняева И. И.* М.: Наука, 1964. 339 с.

275. Желиговская Н. Н., Черняев И. И. Химия комплексных соединений. М.: Высшая школа, 1966. 388 с.

276. Металлургия осмия/Синицын Н. М., Кунаев А. М., Пономарева Е. И. и др. Алма-Ата: Наука, 1981. 186 с.

277. Лазарев В. Б., Красов В. Г., Шаплыгин И. С. Электропроводность окисных систем и пленочных структур. М.: Наука, 1979. 168 с.

278. Синицын Н. М., Козлов А. С., Борисов В. В. — ЖНХ, 1982, т. 27, № 9, с. 2320—2328.

279. Синицын Н. М., Козлов А. С., Борисов В. В. — ЖНХ, 1982, т. 27, № 11, с. 2450—2459.

280. *Тодт* Ф. — В кн.: Коррозия и защита от коррозии. М.—Л.: Химия, 1966. с. 465—503.

281. Коровин Н. В. — В кн.: Коррозионные и электрохимические свойства палладия. М.: Металлургия, 1976, с. 43—80.

282. Гинсбург С. И. Руководство по химическому анализу платиновых металлов и золота. М.: Наука, 1972. 224 с.

283. Каданер Л. И. Электроосаждение благородных и редких металлов. Киев. Техніка, 1968. 113 с.

284. *Антропов Л. И.* Теоретическая электрохимия. М.: Высшая школа, 1975. 568 с.

285. Pourbaix M. Atlas d'équilibres électrochimiques, Paris: Gautier-Villars, 1963. 644 p.

286. Encyclopedia of Electrochemistry of the Elements/Ed. Bard A., v. 4, 6, 8, N.-Y., Marcel Dekker, 1975—1978 p.

287. *Фрумкин А. Н.* Потенциалы нулевого заряда. М.: Наука, 1979. 259 с.

288. Дамаскин Б. Б., Петрий О. А. Введение в электрохимическую кинетику. М.: Высшая школа, 1975. 416 с.

289. *Dobos D.* Electrochemical Data. Budapest: Akad. Kiado, 1975. 339 s. 290. *Петрий О. А.* — В кн.: Электрохимия: Итоги науки и техники. Вып. 12, М.: ВИНИТИ, 1977, с. 56—98.

291. Феттер К. Электрохимическая кинетика: Пер. с нем. М.: Химия, 1967. 856 с.

292. Trasafti S. — J. Electroanal. Chem., 1972, v. 39, p. 163—184.

293. Kita H., Kurisu T. — J. Res. Inst. Catalysis, Hokkaido, Uпiv., 1974, v. 21, p. 200—246.

294. Bockris J. O. 'M., Srinivasan S. Fuel Cells: Their Electrochemistry, M. Y.: McGraw-Hill, 1969, p. 659.

295. Galizzioli D., Trasatti S.— J. Electroanal. Chem., 1973, v. 44, p. 367—388.

296. Bockris J. O' M., Mannan R. J., Damjanovic A. — J. Chem. Phys., 1968, v. 48, p. 1898.

297. Rand D. A. J.—Proc. Roy. Australian Chem. Inst., 1974. v. 41, p. 8—12.

298. Raynor G. V. — Gold Bull., 1976, v. 9, № 1, p. 12.

299. Shulke A., Lucke K. — Acta Metallurgica, 1972, № 4, p. 529.

300. Lucke K., Haas H. — Scr. Met., 1973, v. 7, № 7, p. 781.

301. *Хант А., Пашли Д.* — В кн.: Строение металлических твердых растворов: Пер. с англ. и франц./Под ред. *Ларикова Л. Н. М.*: Металлургиздат, 1966, с. 457—467.

302. Nagy E., Petö G. - Phys. Status solidi, 1969, v. 34, № 1, p. K91.

- 303. Warlimont H., Delay L. Martensitic Transformation in copper, silver and gold-base alloys. Oxford: Pergumon Press, 1974. 157 p.
- 304. Jovanovič B., Brook G. B., Smith R. W. Met. Sci. J., 1971, v. 5, № 7, p. 230.
- 305. Brook G. B. Gold Bull., 1973, v. 6, № 1, p. 8.
- 306. *Гавзе М. Н.* Взаимодействие ртути с металлами и сплавами. М.: Наука, 1966. 158 с.
- 307. Rofte C., Hume-Rothery W. J. Less-Comm. Metals, 1967, v. 13, № 1, p. 1—10.
- 308. Никитина В. К., Бабицина А. А., Лобанова Ю. К.—Изв. АН СССР. Неорганические материалы, 1971, т. 7, № 3, с. 421—427.
- 309. Терехова В. Ф., Савицкий Е. М. Иттрий. М.: Hayka, 1967. 158 с.
- 310. Mc Masters O. D., Gschneider K. A. J. Less-Comm. Metals, 1971, v. 25, № 2, p. 135.
- 311. Mc Masters O. D., Gschneider K. A. J. Less-Comm. Metals, 1973, v. 30, № 3, p. 325.
- 312. Osada K., Yameguchi S., Hirabayaschi M. Trans. Japan Inst. Metals, 1974. v. 15, № 4, p. 256.
- 313. Корнилов И. И. Титан. М.: Наука, 1975. 307 с.
- 314. Flukiger R., Susz C. H., Heiniger F. J. Less-Comm. Metals, 1975, v. 40, № 2, p. 103.
- 315. Roschel E., Loebick O., Raub C. J. Z. Metallkunde, 1973, Bd 64, № 5. S. 359.
- 316. Моргунова Н. Н., Клышин Б. А., Бояршинов В. А. Сплавы молибдена. М.: Металлургия, 1975. 390 с.
- 317. Sahm P. R., Killeas H. R. Metal Sci. J., 1971, v. 5, № 12, p. 1027.
- 318. Livingston J. D. J. Appl. Phys., 1970, v. 41, № 1, p. 197.
- 319. Clinton J. R., Tyller E. H., Luo H. L. J. Phys. F. Metall. Phys., 1977, v. 1, № 8, p. 1162.
- 320. *Рудницкий Н. А.* Термоэлектрические свойства благородных металлов и сплавов. М.: Изд-во АН СССР, 1956. 148 с.
- 321. Reinacher G. Metall, 1967, Bd 21, № 7, S. 717.
- 322. Cornelis J., Wayman C. Scr. Met., 1 4, v. 8, № 11, p. 1321.
- 323. Вол А. Е., Каган И. К. Строение и свойства двойных металлических систем. Т. 4, М.: Наука, 1979. 576 с.
- 324. Masson D. B. Acta Metallurgica, 1960, v. 8, p. 71.
- 325. Nagasawa A. J. Phys. Soc. Japan, 1972, v. 32, p. 864.
- 326. Jongg G., Palman H. Z. Metall., 1963, Bd 54m, S. 364.
- 327. Staff 1., Kiessler G., Gebhardt E. J. Less-Comm. Metals, 1975, v. 39, № 12, p. 219.
- 328. Gebhardt E. Nucl. Metallurgy, 1964, v. 10, p. 303.
- 329. Gschneidner K. A., Mc Masters O. D. et al. Metallurg. Trans., 1970, v. 1, p. 1961.
- 330. *Савицкий Е. М., Терехова В. Ф.* Металловедение редкоземельных металлов. М.: Наука, 1975. 272 с.
- 331. Mc Masters O. D., Gschneidner K. A., Venteicher R. F. Acta crystallogr., 1970, v. 24B, № 9, p. 1224.
- 332. Шанк Ф. Структуры двойных сплавов. М.: Металлургия, 1973.
- 333. Tsumuraya K., Ohno Y., Nishikawa S. Mater. Sci. and Eng., 1975, v. 17, № 1, p. 169.
- 334. Kieffer R., Nowotny H. Metall, 1963, Bd 17, S. 663.
- Эллиот Р. П. Структуры двойных сплавов. Т. 1. М.: Металлургия, 1970. 450 с.

- 336. Борухин Л. М., Коряеина М. В., Хаютин С. Г. и др.— Науч. тр./ ГИПРОЦМО, М.: Металлургия, 1974, вып. 41, с. 89.
- 337. Pawle F., Reichel K. Z. Metallkunde, 1956, Bd 47, S. 347.
- 338. Рудницкий А. А., Новикова О. А.— ЖНХ, 1959, т. 4, с. 1596—1601.
- 339. Obrowski W. Metall, 1963, Bd 17, № 2, S. 108.
- 340. Раевская М. В., Соколовская Е. М. Физикохимня рутения и его сплавов. М.: Изл-во МГУ, 1979. 230 с.
- 341. Sands D. E., Jolmson Q. C., Krikoriau O. H. Astra Crystal, 1962, v. 5, p. 1191.
- 342. Веркоробин Л. Ф., Ковтун Г. П., Круглин А. А.— Изв. АН СССР. Металлы, 1971. т. 6, с. 168.
- 343. Palenzona A. J. Less-Comm. Metals, 1979, v. 66, p. 27-33.
- 344. Савицкий Е. М., Полякова В. П., Горина Н. Б.— Изв. АН СССР. Металлы, 1971, № 6, с. 161.
- 345. *Савицкий Е. М., Полякова В. П., Рошан Н. Р.* Изв. АН СССР. Металлы, 1972, № 5, с. 129.
- 346. Obrowski W. Z. Metallkunde, 1962, Bd 53, S. 736.
- 347. Гинейднер К. Сплавы редкоземельных металлов. М.: Мир, 1965.
- 348. O. Loebich Jr. and E. Raub. J. Less-Comm. Metals, 1976, v. 46, № 1, p. 7—15.
- 349. Berndt A. F., Dwight A. E. Trans. Met. Soc. AIME, 1963, v. 242, p. 340.
- 350. Thomson J. R. J. Less.-Comm. Metals, 1973, v. 5, p. 437.
- 351. *Кутайцев В. И., Чебаторев Н. Т.* Атомная энергия, 1967, т. 23, № 6.
- 352. Aselins J. Acta Chem. Scand., 1960, v. 14, p. 2169.
- 353. Aronsson B. Acta Chem. Scand., 1959, v. 13, p. 109; 1963, v. 17, p. 2036
- 354. Schwomma O., Nowotny H., Wittman A. Monatsh. Chem., 1963, Bd 94, S. 924.
- 355. Edschammar L. E. Acta Chem. Scand., 1961, v. 20, p. 427; 1965, v. 19, p. 2124; 1968, v. 22, p. 2374.
- 356. Shubert K., Lukas H. L., Meibner H. G. J. Metallkunde, 1969, Bd 50, S. 534.
- 357. Sietschko W., Hollek H., Nowotny H. Monatsh. Chem., 1963, Bd 94. S. 838.
- 358. *Holleck H., Nowotny H., Benesowsky F.* Monatsh. Chem., 1964, Bd 95, S. 1386.
- 359. Raub E., Röschel E. Z. Metallkunde, 1963, Bd 54, № 8, S. 455—
- 360. Еременко В. Н., Штепа Т. Д., Хоружая В. Г.— Изв. АН СССР. Металлы, 1973, № 2, с. 204—206.
- 361. *Борискина Н. Г., Корнилов И. И.*—Изв. АН СССР. Металлы, 1976, № 2. с. 214—217.
- 362. Еременко В. Н., Семенова Е. Л., Штепа Т. Д.— Изв. АН СССР. Металлы, 1980, № 2, с. 212—214.
- 363. *Савицкий Е. М., Полякова В. П., Рошан Н. Р.* В кн.: Диаграммы состояния металлических систем. М.: Наука, 1971, с. 190—196.
- 364. Молчанов Б. М., Глазунов М. П., Синицын В. И. Изв. АН СССР. Химия, 1973, т. 7, № 3, с. 660.
- 365. Obrowski W. Metall, 1965. Bd 19, S. 745.
- 366. Raub E., Fritzsche W. Z. Metallkunde, 1962, Bd 53, S. 779.
- 367. Schwomma O., Nowotny H., Wiltmann A. Monatsch. Chem., 1964, Bd 95, S. 1538.

368. Hurley G. E., Brophy J. H. — J. Less-Comm. Metals, 1964, № 7, p. 267—277.

369. *Егизбаева К. Е.*—В кн.: Анализ и технология благородных металлов. М.: Металлургия, 1971, с. 235—237.

370. Das B. K., Schmerling M. A., Lieberman D. S. — Mater. Sci. Eng., 1970, v. 6, p. 248.

371. Greenfield P., Beck P. A. - J. Metals, 1956, v. 8, p. 265.

372. Raub E., Fritzsche W. - Z. Metallkunde, 1963, Bd. 54, S. 317-319.

373. Пантелеймонов А. Л., Ахметзянов К. Г., Соколов И. Г. — Вестник МГУ. Химия, 1957, № 6, с. 57.

374. Kaufman A. R. et al. — WADD Tech. Rept., 1960, p. 181/Gmelins Handbuch der Anorgan. Chemie, 8 Auflage, Ruthenium, 1970, Bd 63, S. 195

375. Schmerling M. A., Das B. K., Lieberman D. C. — Met. Trans., 1970, v. 1, p. 3273.

376. Пантелеймонов А. Л., Нестерова О. П., Ахметзенов К. Г. — Вестник МГУ. Химия, 1965, № 6, с. 20.

377. Тищенко Г. С., Кулик Л. Я., Черногоренко В. Б. — В кн.: Сплавы благородных металлов. М.: Наука, 1977.

378. Rundgwist S. - Acta Chem. Scand., 1962, v. 16, p. 287.

379. Hegding R. D., Colvert L. D. — Can. J. Chem., 1971, v. 39, p. 955.

380. Holseth H., Kseushus A. — J. Less. Comm. Metals, 1968, v. 16, p. 479.

381. *Кузьмин Р. Н., Журавлев Н. Н.*— Кристаллография, 1960, т. 5, с. 218.

382. Журавлев Н. Н., Кертес А. Ж. — Экспериментальная и теоретическая физика, 1957, т. 32, с. 1313.

383. Савицкий Е. М., Терехова В. Ф., Бирун Н. А. — ЖНХ, 1961, т. 6, с. 1960—1962.

384. Raub E., Mahler W. — Z. Metallkunde, 1955, Bd. 46, № 3, S. 210.

385. Wopersnow W., Raub Ch. - Metall, 1979, H. 12, S. 1261.

386. Anderson E., Hume-Rothery W. — J. Less-Comm. Metals, 1960, v. 2, p. 443—450.

387. Flewitt P., Tate A. - J. Less-Comm. Metals, 1972, v. 27, p. 339.

388. Rapperport E. J., Smith M. F. — Trans. Met. Soc. AIME, 1964, v. 230, № 1, p. 6—11.

389. Raub E., Mahler W. — Z. Metallkunde, 1955, Bd. 46, № 4, S. 282—290.

390. Hellawell A. — J. Less-Comm. Metals, 1959, v. 1, p. 343—347.

391. Тылкина М. А., Полякова В. П., Савицкий Е. М. — ЖНХ, 1962, т. VII, № 2, с. 439—441.

392. Raub E., Menzel D. — Z. Metallkunde, 1961, Bd 52, S. 831—833.

393. *Корнилов И. И., Мясникова К. П.* — Изв. АН СССР. Металлургия и горное дело, 1964, № 4, с. 159.

394. *Раевская М. В., Соколовская Е. М.* и др. — Вестник МГУ. Химия, 1974, № 4, с. 467.

395. Тылкина М. А., Полякова В. П., Савицкий Е. М.—ЖНХ, 1962, т. VII, в. 6, с. 1467—1478, 1469—1470.

396. Рошан Н. Р., Полякова В. П., Савицкий Е. М.— В кн.: Новые методы построения диаграмм состояния. М.: Наука, 1972, с. 89— 99

397. Hutchinson T. — Plat. Met. Rev., 1972, v. 16, No 3, p. 88—90.

398. Raub Cu., Röschel E., Menzel D., Gadnof M. — Metall, 1971, v. 25, № 7, p. 761—762.

399. Loelich O., Raub E. — J. Less-Comm. Metals, 1976, v. 46, № 1, p. 1—6.

400. *Tandelli A., Palenzona A.* — Revue de Chimie Minerale, 1976, v. 13, № 1, p. 54—61.

401. Spear Kare E. — U. S. Dep. Commer. Nat. Bur. Stand. Spec., Publ., 1978, № 496/2, p. 744—762.

402. Еременко В. Н., Семенова Е. Л., Штепа Т. Т. Металлофизика. Киев: Наукова думка, 1974, вып. 52, с. 112—116.

Семенова Б. Л. Получение и исследование свойств новых материалов. Киев: Наукова думка, 1978, с. 40—45.

404. *Хансен М., Андерко К.* Структура двойных сплавов: Пер. с англ. Т. I, II. М.: Металлургиздат, 1962. 607 с., 1487 с.

405. Ghassem H., Raman A. — Metall Trans., 1973, v. 4, № 3, p. 745—

406. Raman A. — J. Less-Comm. Metals, 1976, v. 48, № 1, p. 111—117.

407. Park John. — J. Res. Nat. Bur. Standards, 1968, A72, № 1, p. 11—17.

408. Штепа Т. Д. Физическая химия конденсированных фаз сверхтвердых материалов и их границ раздела. Киев: Наукова думка, 1975, с. 175—191.

409. Raub E., Roschel E. — Z. Metallkunde, 1966, Bd 57, № 7, S. 546—551.

410. Raman A., Schubert K. — Z. Metalik., 1964, Bd 55, № 11, S. 704—707.

411. El—Boragy M., Jain K. C., Mayer H. W., Schubert K. — J. Metallk., 1972, Bd 63, № 11, p. 751—753.

412. Waterstrat R. M., Manuszewski R. C. — J. Less-Comm. Metals, 1977, v. 52, № 2, p. 293—305.

413. Rummery T. E., Heyding R. D. — Canad. J. Chem., 1967, v. 45, № 2, p. 131—137.

414. Cao Clinton C., Duwez Pol, Tsueichaug C. — J. Appl. Phys., 1971, v. 42, № 11, p. 4282—4284.

415. Raub E., Roschel E. — Z. Metallk., 1969, Bd 60, № 2, S. 142—144. 416. Jangg Gerhard, Dörtbudak Tarran. — Z. Metallk., 1973, Bd 64, № 10,

S. 715—719.

17. Portugation of the first state of

417. Редкоземельные металлы, сплавы и соединения/Дмитриева В. Н., Резухина Т. Н., Вареха А. М. и др. М.: Наука, 1973, с. 185—186.

418. Griffin R. B., Gschneider K. A. — Met. Trans., 1971, v. 2, № 9, p. 2517—2521.

419. Le Roy J., Moreau I. M., Paccard D., Parthe E. — Acta Crystallogr., 1979, № 35, p. 1437—1439.

420. Le Roy J., Paccard D., Moreau J. M. — J. Less-Comm. Metals, 1980, v. 72, № 1, p. 11—15.

421. Olcese G. L. - J. Less-Comm. Metals, 1973, v. 33, № 1, p. 71.

422. Rogl P., Nowotny H., Benesovsky F. — J. Monatsh. Chenue, 1971, Bd 102, No 3, S. 678—686.

423. Ferro R., Capelli R., Marazza R. e. a. — Atti Accad. πaz. Lincei. Rend. Cl. sci. fis. mat. e. natur., 1968 (1—69), v. 45, № 6, p. 556—563.

424. O' Connor G. P., Ralph B. A. — Phil. Mag., 1972, v. 26, № 1, p. 113—142.

425. Borchers H., Saur G., Lehmann W. — Metall, 1969, v. 26, № 23, p. 543.

426. Copeland M. I., Goodrich D. — J. Less-Comm. Metals, 1969, v. 18, No. 4, p. 347—355.

427. Giessen B. C., Dangel P. N., Grant N. J. — J. Less-Comm. Metals, 1967. v. 13. p. 62—70.

428. Журавлев Н. Н., Смирнова Е. М. — Кристаллография, 1965, т. 10, вып. 6, с.828—832.

429. Waterstrat R., Manuszewski R. — J. Less-Comm. Metals, 1973, v. 32. p. 79—89, 331, 343.

- 430. Thomson J. J. Less-Comm. Metals, 1972, v. 27, № 3, p. 293—296.
- 431. Тылкина М. А., Полякова В. П., Шехтман В. С. ЖНХ, 1963, т. VIII, вып. 11, с. 2549—2555.
- 432. Тылкина М. А., Цыганова И. А., Савицкий Е. М.—ЖНХ, 1962, т. VII, вып. 7, с. 1917— 1927.
- 433. Плеханова Э. А., Курумчина С. Х., Еголев В. Ф. ФММ, 1969, т. 27, вып. 3, с. 473—477.
- 434. Bucher E., Brinkman W. F. Phys. Rev., 1970, v. 1, p. 35-39.
- 435. Raub E., Roschel E. Z. Metallk., 1970, Bd 61, № 2, S. 113-115.
- 436. Raub E. Z. Metallk., 1964, Bd 55, № 6, S. 18—21.
- 437. Тылкина М. А., Полякова В. П., Савицкий Е. М.—ЖНХ, 1962, т. VII, вып. 6, с. 1471—1473.
- 438. Рудницкий А. А., Полякова В. П. ЖНХ, 1962, т. VII, вып. 10, с. 2361—2366.
- 439. Park J. J. J. Res. Nat. Bur. Standards, 1968, A72, № 1, p. 11-17.
- 440. Loebich O., Raub Ch. J. J. Less-Comm. Metals, 1977, v. 55, № 1, p. 67—86.
- 441. Riccardo F., Renzo C., Stefano D., Gabriele C. Atti Accad. naz. Lincei, Rend. Cl. sci. fis., mat. e πatur., 1968 (1969), 45, № 6, p. 564—566.
- 442. Vucht J. H. N., Buschow K. H. J. J. Less-Comm. Metals, 1976, v. 48, № 2, p. 345—347.
- 443. Sato Y., Sivertsen J. M., Toth L. E. Phys. Rev., 1970, Bd 1, № 4, S. 1402—1410
- 444. Угодникова Л. А., Волкенштейн Н. В., Циовкин Ю. Н.— ФММ, 1971, т. 31, вып. 3, с. 543—547.
- 445. Мищенко А. П., Сарычева М. Е., Грязнов В. С. и др. Изв. АН СССР. Химия, 1977, № 7, с. 1620—1622.
- 446. Савицкий Е. М., Правоверов Н. Л.—ЖНХ, 1961, т. V, вып. 2, с. 499—501.
- 447. Чупина Л. И., Зиновьев В. Е., Полякова В. П. и др. ФММ, 1979, т. 48, вып. 3, с. 476—483.
- 448. Иверонова В. И., Кацнельсон А. А., Попова И. И. и др. УФЖ, 1969, т. 14, № 10, с. 1647—1949.
- 449. Wen L., Spruiell J., Williams R. J. Appl. Cryst., 1970, v. 3, № 5, p. 297—299.
- 450. Hass H., Lucke K. Scr. Met., 1972, v. 6, № 8, p. 715—720.
- 451. Mendelsohn M. H., Manaka J. A. J. Less-Comm. Metals, 1973, v. 32. № 2, p. 314—316.
- 452. *Jandelli A.*, *Palenzona A.* J. Less-Comm. Metals, 1974, v. 38, № 1, p. 1—7.
- 453. Дмитриева В. Н., Есаулов Н. П., Журавлев Н. Н. и др.—Труды/ИФМ УНЦ АН СССР, 1971, вып. 28, с. 58—68.
- 454. Neumann J. P., Ipser H., Chang Y. A. J. Less-Comm. Metals, 1978, № 1, p. 29—31.
- 455. Kou S., Chang Y. A. Acta met., 1975, v. 23, № 10, p. 1185—1190.
- 456. Tien-Hong C., Herbert I., Chang Y. Z. Metallk., 1977, Bd. 68, № 2, S. 141—147.
- 457. Hiroshi J. Acta crystallogr., 1980, A36, № 2, p. 299—303.
- 458. Alasafi K. M., Chattopadhyay T., Schubert K.—J. Less-Comm. Metals, 1978, v. 59, № 1, p. 41—50.
- 459. Pratt J. I., Myles K. M., Darby J. B., Mueller M. J. Less-Comm. Metals, 1968, v. 14, № 4, p. 427—433.
- 460. Шурин А. К., Петьков В. В.—Изв. АН СССР. Металлы, 1972, № 2, с. 166—168.
- 461. Loebich O., Raub E. J. Less-Comm. Metals, 1973, v. 30, № 1, p. 47—62.

- 462. Joël Le R., Jean-Michel M., Dominique P., Erwin P. Acta crystallogr., 1977, Bd 33, No 8, p. 2414—2417.
- 463. *Palenzona A., Iandelli A.* J. Less-Comm. Metals, 1974, v. 34, № 1, p. 121—125.
- 464. Longworth G., Harris L. K.—J. Less-Comm. Metals, 1973, v. 33, № 1, p. 83—90.
- 465. Moreanu J. M., Parthe E. J. Less-Comm. Metals, 1973, v. 32, № 1, p. 91—96.
- 466. Olcese G. L. J. Less-Comm. Metals, 1973, v. 33, № 1, p. 71—81.
- 467. Thomson J. R. J. Less-Comm. Metals, 1967, v. 13, № 3, p. 307—312.
- 468. Savitskii E. M., Polakova V. P. J. Less-Comm. Metals, 1975, v. 43, № 2, p. 169—177.
- 469. Fornasini M. L., Mugnoli A., Palenzona A. Acta crystallogr, 1979, B35, № 9, p. 1950—1953.
- 470. *Tandelli A.*, *Palenrona A.* Revue de Chimie minerale, t. 10, 1973, № 1—2, p. 303—308.
- Сплавы редких металлов с особыми физико-химическими свойствами/Савицкий Е. М., Полякова В. П., Рошан Н. Р. и др. М.: Наука, 1975. с. 102—104.
- 472. Mydosh J. A. J. Low. Temp. Phys., LT 13, v. 2, N-V—L.: 1974, p. 506—509.
- 473. Loebich O., Ir. Raub E. J. Less-Comm. Metals, 1973, v. 31, № 1, p. 111—118.
- 474. Yakinthos J. K., Gamari-Seale H., La Forest J. Phys. status solidi (a), 1977, v. 40, № 2, K105—K108.
- 475. Machado da Silva J. M. J. Phys., 1979, v. 40, № 5, p. 152—153. 476. Jordan R. G., Loebich O. J. Less-Comm. Metals, 1975, v. 39,
- № 1, p. 55—62. 477. *Mafhovic T., Schubert K.* — J. Less-Comm. Metals, 1977, v. 55, № 1, p. 45—52.
- 478. Zwigmann G. Z. Metallkunde, 1963, Bd 54, № 5, S. 517—521.
- 479. Khalaff K., Schubert K.—J. Less-Comm. Metals, 1974, v. 37, № 1, p. 129—140.
- 480. Neumann J. P., Chang Y. A. Met. Trans., 1976, A7, № 9, p. 1291—1293.
- 481. *Tidman J. P., Hedgcoek F. T.*—Indian J. Materials, 1973, v. 4, № 2, p. 175—177.
- 482. Harris T. R., Norman M., Bryant A. W. J. Less-Comm. Metals, 1968, v. 16, № 4, p. 427—440.
- 483. Bryant A. W., Bird J. M., Prott J. N. J. Less-Comm. Metals, 1975, v. 42, № 2, p. 249—253.
- 484. Anontatmula R. P. Acta met., 1975, v. 23, № 10, p. 1205—1209. 485. Fort D., Smallman R. E., Harris I. R. J. Less-Comm. Metals.
- 1973, v. 31, № 2, p. 263—279. 486. Металлические монокристаллы/Савицкий Е. М., Полякова В. П., Горина Н. Б. и др. М.: Наука, 1976, с. 127—132.
- 487. Сплавы редких и тугоплавких металлов с особыми физическими свойствами/Кириллова М. М., Номерованная Л. В., Носков М. М. М.: Наука, 1979, с. 254—259.
- 488. Bhan S., Gödecke T., Panday R. K., Schubert K. J. Less-Comm. Metals, 1968, v. 16, № 4, p. 415—425.
- 489. Гузей Л. С., Эванс Дж., Харрис И. Р. Титан. Металловеденне и технология. Труды 3-й международной конференции по титану. М.: 1978, т. 3, с. 393—399.
- 490. Röschel E., Raub C. Z. Metalik., 1971, Bd 62, № 11, S. 840—842.

- 491. Khalaff K., Schubert K. Z. Metallk., 1974, Bd 65, № 5, S. 379—382
- 492. Matkovic P., Wopersnow W., Schubert K.— J. Less-Comm. Metals, 1977. v. 56. No. 1, p. 69—75.
- 493. Majni G., Ottaviani G., Zani A. Non-Cryst. Solids, 1978, v. 29 (3), p. 301—309.
- 494. Ellner M., Gödecke T., Schubert K. Z. Metallk., 1973, № 8, S. 566—568.
- 495. Marcotte V. C. Metall Trans., 1977, B 8, № 1, p. 185-188.
- 496. Gissen B. S., Grant N. J., Parker D. P., Manuszewski R. C., Waterstrat R. M. Metall Trans., 1980, A11, № 5, p. 709—715.
- 497. Waterstrat R. M., Giessen C., Kosh Rosemarie Manuszewski R. C. Metall Trans., 1978, A9, № 5, p. 643—648.
- 498. *Matkovic T., Schubert K.*—J. Less-Comm. Metals, 1977, v. 55, № 2, p. 177—184.
- 499. Wopersnow W., Schubert K.—J. Less-Comm. Metals, 1976, v. 48, № 1. p. 79—87.
- 500. Ман Л. И., Имамов Р. М. Кристаллография, 1979, т. 24, № 3, с. 632—635.
- 501. Wopersnow W., Schubert K. J. Less-Comm. Metals, 1977, v. 51, № 1. p. 35—44.
- 502. *Mdrkovic P., Schubert K.* J. Less-Comm. Metals, 1977, v. 52, № 2, p. 217—220.
- 503. Бабанова Е. Н., Чемеринская Л. С., Обласов А. К. и др. Физика металлов и их соединений, 1978, № 6, с. 3—8.
- 504. Пальгуев Е. В., Куранов А. А., Сюткин П. Н. и др. ФММ, 1976, т. 42. № 1. с. 57—62.
- 505. Пынько В. Г., Живаева Л. В., Энономов Н. А. и др. ФММ, 1978, т. 45, № 4, с. 879—881.
- 506. *Терехов Г. И., Тагирова Р. Х., Иванов О. С.* В кн.: Сплавы для атомной энергетики. М.: Наука, 1979, с. 119—123.
- 507. Диаграммы состояния металлических систем, М.: ВИНИТИ, 1968, вып. XIV, с. 95.
- 508. *Nellis W. J., Brodsky M. H.*—J. Appl. Phys., 1970, v. 41, № 3, p. 1007—1008.
- 509. Терехов Г. И., Синякова С. И., Ведерников М. В. и др. В кн. Физхимия сплавов и тугоплавких соединений с торием и ураном. М.: Наука, 1968. с. 103—106.
- 510. Ведерников М. В., Терехов Г. И., Синякова С. И. и др. Изв. АН СССР. Металлы, 1969, № 4, с. 191—199.
- 511. Cromer Don T., Larson Allen C., Roof R. B. Acta crystallorg., 1973, Bd 29, № 3, p. 564—567.
- 512. Безносикова А. В., Смотрицкая Е. С., Чеботарев Н. Т. Атомная энергия, 1968, т. 25, № 5, с. 430—431.
- 513. Gromer Don T. Acta crystallogr., 1975, Bd 31, № 6, p. 1760—1761.
- 514. Irani R., Cahn R. Nature, 1970, v. 226, № 5250, р. 1045—1046. 515. Карпенюк А. М., Пресняков А. А., Джанбусинов Е. А., Мели-
- 515. Карпенюк А. М., Пресняков А. А., Джанбусинов Е. А., Мелихов В. Д. УФЖ, 1970, т. 15, № 1, с. 139—141.
- 516. Гейченко В. В., Конюка А. К. УФЖ, 1976, т. 21, № 10, с. 1648—1653.
- 517. *Chang Y. A., Hsioa Y., Kau S.* 4 ème Conf. thermodyn. chim., Montpellier, 1975, v. 3, S. 1., s. a. 241—247.
- 518. Srikrishnan V., Ficalora P. J. Metal Trans., 1974, v. 5, № 6, p. 1471—1475.
- 519. Jandelli A., Palenzona A. J. Less-Comm. Metals, 1975, v. 43, № 4, p. 205—209.

- 520. Harris J. R., Gardner W. E., Taulor R. H. J. Less-Comm. Metals, 1973, v. 31, № 1, p. 151—158.
- 521. Wald F., Rosenberg A. Trans. AIME, 1965, v. 233, № 4, p. 796—
- 522. Bronger W., Klemm W.—Z. Aпorg. Allgem. Chem., 1962, Bd 319, S. 58—71.
- 523. Jain K. C., Bhan S. Trans. Ind. Inst. Met., 1973, v. 25, № 3, p. 100—102.
- 524. *Tisone T., Drobek J.* J. Vacuum Sci. and Techn., 1972, v. 9, № 1, p. 271.
- 525. Савицкий Е. М., Полякова В. П., Воронова Л. И.— Изв. АН СССР. Металлы, 1983, № 3, с. 19—21.
- 526. Gold W., Schubert K. J. Kristallogr., 1969, v. 128, № 3—6, p. 406—413.
- 527. Jain K., Bhan S. Trans. Ind. Inst. Met., 1966, v. 19, p. 49—52.
- 528. Waterstaat R. W. Met. Trans., 1973, v. 4, № 2, p. 355—466; № 6, p. 1585—1592.
- 529. Giessen B., Koch R., Grant N. Trans. AIME, 1965, v. 233, № 5, p. 855—859.
- 530. Giessen B., Grant N., Parker D. a. a. Trans. AIME, 2980, v. 11A, № 5, p. 709—715.
- 531. Waterstrat R. M. Met. Trans., 1973, v. 4, № 2, p. 455—466; № 6, p. 1585—1592.
- 532. Ocken H., Vucht J. J. Less-Comm. Metals, 1968, v. 15, № 2, p. 193—199.
- 533. Knapton A. G. Plat. Met. Rev., 1980, v. 24, № 2, p. 64—69.
- 534. Левин М. М., Жорова Л. П. Изв. вузов. Цветиая металлургия, 1966, № 6, с. 146—149.
- 535. Власова Е. Н., Сапожникова Т. П.— ФММ, 1970, т. 30, вып. 5, с. 980—985.
- 536. Darling A. Plat. Met. Rev., 1963, v. 7, № 7, p. 96—103.
- 537. Rand C. C., Peterson D. E., Roof R. B. J. of Nucelar Materials, 75 (1978), № 2, p. 261—273.
- 538. Kitchingman W., Rickwick K.—J. Nucelar Materials, 1966, v. 18, № 2, p. 219.
- 539. Lawson A. Phys. Letters, 1970, A33, № 4, p. 231—232.
- 540. Wise E. M. Gold Recovery, Properties and Applications. D. Van Nostrand. Co. Juc., 1964. 367 p.
- 541. Micme J. M., Gaun-Escard M., Bros I. P. High. Temp. Press, 1977, v. 9, № 4, p. 465—469.
- 542. Shan I. D., Parlee N. A. D. Trans. Met. Soc. AIME, 1968, v. 242, № 5, p. 869—872.
- 543. Raub E., Wörwag G. Z. Metallkunde, 1955, Bd. 46, № 2, S. 119—128.
- 544. Григорьев А. Т., Соколовская Е. М., Буденная Л. Д. и др. ЖНХ, 1956, т. 1, № 5, с. 1052—1063.
- 545. Правоверов Н. Л., Бегетова И. С. Изв. АН СССР. Металлы, 1969, № 6, с. 177—180.
- 546. Меньшикова А. З., Дорофеев Ю. А., Тасникова Г. П. и др. ФММ, 1979, т. 47, № 6, с. 1185—1189.
- 547. Карпов Ю. Г., Сидоренко Ф. А., Верещагин Ю. А. и др. ФММ, 1978, т. 45, № 2, с. 294—297.
- 548. Карпов Ю. Г., Сидоренко Ф. А., Верещагин Ю. А. и др. ФММ, 1979, т. 47, № 2, с. 279—283.
- 549. Пальцев Е. В., Куранов А. А., Стюткин П. Н., Сидоренко Ф. А.— ФММ, 1976, т. 41, № 3, с. 549—552.

550. Григорьев А. Т., Пантелеймонов Л. А., Куприна В. В. и др. — ЖНХ, 1962, т. 7, № 5, с. 1110—1116.

551. Raub E., Wörwag G. - Z. Metallkunde, 1955, Bd. 46, № 7, S. 513-

515

552. Рогельберг И. Л., Тарасова Т. Ф., Пальцев Е. В., Карболин В. М.— Научн. тр. ГИПРОЦМО. М.: Металлургия, 1976, вып. 51, с. 43— 52.

553. Raub E., Wörwag G. — Z. Metallkunde, 1955, Bd. 46, № 1, S. 52—57

554. Григорьев А. Т., Пантелеймонов Л. А., Озерова З. П., Акатова Е. В. — ЖНХ, 1960, т. 5, № 11, с. 2395—2402.

555. Muan Arnulf.—Trans. Met. Soc. AIME, 1962, v. 224, Oct., p. 1081. 556. Hines W. A., Budnick J. G., Menotti A. H., Paulino R. N., Burch

T. I. — Phys. Rev., 1979, Bd 19, № 1, S. 338—339.

557. Rao K. V., Rapp O., Lohannesson Ch. et al. — Physica, 1977, BC86—BC88, Part 2, p. 831—832.
558. Mc. Canl C., Krohn R., Autonio C. D.—Trans. Met. Soc. AIME.

1969, v. 245, № 2, p. 432.

- 559. Butts A. Silver Economics, Metallurgy and Use. New-Jersey: D. Van Nostrand, Com. Inc., 1967. 448 p.
- 560. Gebhart E., Petzow G. Z. Metallkunde, 1962, Bd 53, Ne 6, S. 373. 561. Petzow G., Wagner E. Z. Metallkunde, 1961, Bd 52, Ne 11, Part 1,
- 562. *Petzow G.*, *Wagner E.* Z. Metallkunde, 1962, Bd 53, № 3, Part 2, S 189.
- 563. Gebradt E., Petzow E. Z. Metallkunde, 1959, Bd 50, № 12, S. 693.
- 564. Knotek O., Lugschneider E., Frings P. Metall. 1977, Bd 31, № 12, S. 1305.
- 565. Knotek O., Lugschneider E., Frings P.— Metall, 1978, Bd 32, № 1, S. 33.
- 566. Tutanso to nezy sory. Cast and Heat Treat., 1979, v. 32, № 2, p. 76.
- 567. Новикова О. А. Труды ин-та металлургии АН СССР. М.: Металлургия, 1962, т. 11, с. 148—151.
- 568. Mallory P. L., Hensel F. R., Wiggs J. et al. Chem. Abstr., 1949, v. 43, p. 5357.

569. Egan T. E. — Chem. Abstr., 1958, v. 52, p. 934.

- 570. Knigton I. B., Burries L., Feder H. M. Nucl. Sci. Abstr., 1961, v. 15, p. 12991.
- 571. Messing A. G., Dean O. S.—Nucl. sci. Abstr., 1960, v. 14, p. 17931. 572. Каратыгина Е. П., Бурнашова В. В., Раевская М. В., Соколовская Е. М.— Металлофизика. Вып. 52, Киев: Наукова думка, 1974, с. 105
- 573. Berndt A. F., Dwight A. E. Trans. AIME, 1968, c. 242, p. 340.
- 574. Hollec H. J. Less-Comm. Metals., 1977, v. 52, № 1, p. 167—172.

575. Bozorth R. M. - Phys. Rev., 1959, v. 115, p. 1595.

- 576. Shaltiel D., Wrnick I. H., Jaccarino V. J. Appl. Phys., 1964, v. 35, p. 979.
- 577. Kumagai Ken-Ichi, Asayama Kunisuke. J. Phys. Sci. Jap., 1975, v. 39, № 2, p. 543.

578. Holleck H. - J. Nucl. Mater., 1977, v. 66, № 3, p. 273-282.

- 579. Dwight A. E., Darby I. B., Lam D. L. Nucl. Sci. Abstr., 1964, v. 18, p. 25970.
- 580. Holleck H., Kleykamp H. J. Nucl. Mater., 1970, v. 35, p. 158. 581. Гусева Л. Н., Долинская Л. К., Борискина Н. Г. Изв. АН СССР. Металлы, 1976, № 5, с. 209—219.

- 582. Vollenkle H., Wittman A., Novotny H. Monatch. Chem., 1966, Bd. 64. S. 506.
- 583. Dwight A. E., Beck P. A. Trans. AIME, 1969, v. 245, p. 389.
- 584. Holleck H., Tuemmler T.—J. Nucl. Mater., 1967, Bd 23, S. 88.
- 585. Nevitt M. V., Downey J. W., Morris R. A. Trans. AIME, 1961, v. 218, p. 1019.
- 586. Matthias B. T., Geball T. H., Compton V. B.—Rev. Mod. Phys., 1963, v. 3, p. 1.
- 587. Pillay R. G., Nagarajan R., Tandon P. N. J. Phys., 1979, v. 40, № 3, p. 218—220.
- 588. Clogston A. M., Matthias B. T., Williams H. I. Phys. Rev., 1962, v. 125, p. 541.
- 589. *Hörz G., Ziedorf R.* Z. Metallkunde, 1976, Bd 67, № 11, S. 758—765.
- 590. Bryant R. T. J. Less-Comm. Metals., 1962, v. 4, № 1, p. 62—68. 591. Schmidt E. F., Barlett M. C., Orgeb H. R. Nucl. Sci. Abstr., 1963,
- v. 17, p. 29312. 592. Banus M. D., Lavine M. C. — Mater. Res. Bull., 1966, v. 1, p. 6.
- 593. Grant N. I., Abrohamson E. P. Chem Abstr., 1962, v. 56, p. 3252.
- 594. Aritomi N., Nikada H. J. Japan Inst. Met., 1973, v. 37, p. 127. 595. Holz F. C., van Thyne R. I. Nucl. Sci. Abstr., 1963, v. 17, p. 14827.
- 596. Савицкий Е. М., Тылкина М. А., Полякова В. П. ЖНХ, 1963, т. 8, № 1, с. 146—148.
- 597. Панфилов А. С., Свечкарев И. В.— В кн.: Материалы 2-го Укр. респ. семинара. Киев: Наукова думка, 1978, с. 3—6.
- 598. Раевская М. В., Васекин В. В., Чемлева Т. А., Конобас Ю. И.— Вестник МГУ: Химия, 1984, т. 25, № 1, с. 107—109.
- 599. Rogl P. Moπatch. Chem., 1979, v. 110, № 1, p. 235—243.
- 600. Holleck H., Kleykamp H., Franco J. J. Z. Metallkunde, 1975, Bd 66. № 5, S. 298—302.
- 601. Doyle N. 1., Taylor A. J. Les-Comm. Metals, 1965, v. 9, № 3, p. 190—205.
- 602. Савицкий Е. М., Поварова К. Б., Кондахчан И. Г. В кн.: Структура фаз, фазовые превращения и диаграммы состояния металлических систем. М.: Наука, 1974, с. 123—126.
- 603. Славев А. Г., Портной В. К., Раевская М. В., Соколовская Е. М. Изотермическое сечение диаграммы состояния Ag—Rh—Dy при 600 °C. Леп. ВИНИТИ, 3. III. 77, № 906—77.
- 604. Рудницкий А. А., Хотинская А. Н.—ЖНХ, 1960, т. 5, № 12, с. 2781—2784.
- 605. Raub E., Falkenburg G. Z. Metallkunde, 1964, Bd 55, № 7, S. 392—397.
- 606. Hansen R. C., Raman Arvamudhan. Z. Metalikunde, 1970, Bd 61, № 2, S. 115—120.
- 607. Holleck H. J. Less-Comm. Metals., 1977, v. 52, № 1, p. 167—172.
- 608. Holleck H. J. Nucl. Mater., 1977, v. 66, № 3, p. 273—282.
- 609. Braun H. F., Berry G., Rindserer L. J. Less-Comm. Metals, 1974, v. 68, № 1, p. 1.
- 610. Holleck H., Kleykamp H. J. Nucl. Mater., 1972, Bd 54, № 1, S. 47—54.
- 611. *Haines H. R., Potter P. E.*—Thermodun. Nucl. Mater., Proc. Symp. Vienna, 1974, v. 2, Vienna, 1975, p. 145—172. Discuss. 172—173.
- 612. El-Boragy M., Scubert K.—Z. Metallkunde, 1971, Bd 62, № 9, S. 667—675.
- 613. Masumota Hakaru, Watanabu Kioyshi. J. Jap. Inst. Metals, 1975, v. 39, № 10, p. 1005—1009.

- 614. Кузьмин Р. Н., Никитина С. В. Изв. АН СССР. Металлы, 1960, № 4, c. 215—217.
- 615. Seidel E. R., Litterst F. J., Kalvios G. M. J. Magn. and Magn. Mater., 1975, v. 1, № 1, p. 19—22.
- 616. Hines W. A., Budnick J. J., Menotti A. H., Paolino R. N., Burch T. H. — Phys. Rev., 1979, v. B19, № 1, p. 338—347.
- 617. Ридницкий А. А., Полякова В. П.—ЖНХ, 1962. т. 7. № 1. c. 151-156.
- 618. Horyn R. J. Less-Comm. Metals., 1976, v. 44, p. 221—227.
- 619. Horyn R. J. Less-Comm. Metals., 1976, v. 45, p. 315—321. 620. Horun R. - J. Less-Comm. Metals., 1976, v. 50, № 1, p. 7-14.
- 621. Chiu L. B., Elliston P. R., Steward A. M., Taylor K. N. R. -J. Less-Comm. Metals., 1979, v. 65, № 1, p. 59—66.
- 622. Chiu L. B., Elliston P. R., Steward A. M., Taylor K. N. R. J. Phys. 1979, v. F9, № 5, p. 955—965.
- 623. Drys M. J. Less-Comm. Metals., 1977, v. 52, № 1, p. 81—85.
- 624. Panda S. C., Phal Ram Bhaus. Proc. Symp. Phase Transform. and Phase Equilibria, Bangalore, 1975, Bd. 1, 1977, S. 352—358.
- 625. Horyn R., Folick-Kokot L., Iliev N. J. Less-Comm. Metals, 1978, v. 57, № 2, p. 69—74.
- 626. Leger J. M., Susse C., Mele B. Vodar. C. r. Acad. Sci., 1967. v. C165, № 17, p. 892—895.
- 627. Григорьев А. Т., Соколовская Е. М., Алтунина Л. Н., Максимова М. В.— ЖНХ, 1960, т. 5, № 5, с. 1112—1118.
- 628. Григорьев А. Т., Пожарская Г. В.—ЖНХ, 1963, т. 8, № 1, c. 141—145.
- 629. Григорьев А. Т., Пожарская Г. В. ЖНХ, 1963. т. 8. № 12. c. 2694—2699.
- 630. Григорьев А. Т., Пантелеймонов Л. А., Куприна В. В., Рыбакова Л. И. — ЖНХ, 1956, т. 1, № 5, с. 1067—1073.
- 631. Krishna R. K. J. Less-Comm. Metals, 1965, v. 9, № 1, p. 70—75.
- 632. Raub E., Loebich O., Plate W., Krill H. Z. Metallkunde, 1971, Bd 62, № 11, S. 826—830.
- 633. Khan H. R., Raub Ch. J. J. Less-Comm. Metals, 1979, v. 64, № 1, p. 1---5.
- 634. *El-Boragy M.*, *Schubert K.* Z. Metallkunde, 1971, Bd 62, № 4, **S.** 314—322.
- 635. Правоверов Н. Л., Бегетова И. С. Труды/ВНИИЭМ. М.: Отделение ВНИИЭ по стандартизации и нормализации в электротехнике, 1978, т. 57, с. 102—104.
- 636. Славев А. Г., Портной В. К., Раевская М. В., Соколовская Е. М. Вестник МГУ. Химия, 1978, т. 19, № 3, с. 289—292.
- 637. Славев А. Г., Портной В. К., Раевская М. В., Соколовская Е. М. Вестник МГУ. Химия, 1977, т. 18, № 6, с. 695—698.
- 638. Rao N. Kondal., Winterhager H. Trans. Ind. Inst. Metals, 1956— 1957, v. 10, p. 139—148.
- 639. Лобода Т. П., Раевская М. В., Соколовская Е. М. Исследование взаимодействия палладия с серебром, титаном и цирконием. — Деп. ВИНИТИ, 31.01.75, № 273—75. 10 с.
- 640. Григорьев А. Т., Соколовская Е. М., Захарова М. И., Максимова М. В. — ЖНХ, 1960, т. 5, № 4, с. 894—901.
- 641. Пугачев В. А., Николаев Е. И., Бусол Ф. И., Нам Б. П., Шабалин И. Н. — ЖФХ, 1973, т. 47, № 1, с. 36—40.
- 642. Черняев И. И., Желиговская Н. Н., Борисенкова М. К., Субботина Н. А. — ЖНХ, 1968, т. 13, № 6, с. 1620—1625.
- 643. Krompbolz K., Weiss Abarich. J. Less-Comm. Metals, 1967, v. 50, № 2, p. 213—222.

- 644. Köster W., Rawe H. R., Tackenchi J.-Z. Metallkunde. 1962. Bd. 53. № 12, S. 749-754.
- 645. Chen W., Tsuei C. Phys. Rev., 1972, v. 5, № 3, p. 901—904.
- 646. Subrachnayan A. V., Schubert K. J. Less-Comm. Metals. 1973. v. 32, № 2, p. 199--206.
- 647. Bhesgava M. K., Schubert K. Z. Metallkunde, 1975, Bd 66, № 9, S. 542—545.
- 648. Schubert K., Heinzich S. Z. Metallkunde, 1975, Bd 66, № 6, S. 353—355.
- 649. Kosovink J., El-Boragy M., Schubert K. Metall, 1972, Bd 26, № 9. S. 917—920.
- 650. Kosovink J., Grgasovic T. Z. Rud. Metal, 1972, № 1, S. 65-77. 651. El-Boragu M., Schubert K. - Z. Metallkunde, 1970, Bd 61, № 8,
- S. 579—584. 652. Терехов Г. И., Синякова С. И., Тагирова Р. Х., Иванов О. С. —
- Реакторное материаловедение: Труды конф. по реакториому материаловедению. М.: Наука, 1978, т. 4, с. 256, 257-275. 653. Marcus M. A. — Acta Met., 1979, v. 27, № 5, p. 891—902.
- 654. Woperanow W., Schubert K. J. Less-Comm. Metals, 1977, v. 52, № 1, p. 1—12.
- 655. Mayer H. W., Bhatt J. S., Schubert K. J. Less-Comm. Metals, 1979, v. 66, № 1, p. 1—9.
- 656. Кестер В., Гмелинг В. В. Тонкая структура и свойства твердых растворов. М.: Металлургия, 1968, с. 83-98.
- 657. Blissard M., Boolchand P., Longouche G. J. Appl. Phys., 1979, v. 50, № 3, Part 2, p. 2075—2077.
- 658. Лашук Е. П. Фазовые равновесия в системе никель-палладиймолибдеи. — Деп. ВИНИТИ, 1983.
- 659. Modosh L. A., Roth S. -- Phys. Letters, 1979, v. A69, № 5, p. 350-
- 660. Zwingmann G. Metall, 1964, Bd 18, № 7, S. 708-710.
- 661. Köster W., Aallam M. Z. Metallkunde, 1958, Bd 49, № 5, S. 140-
- 662. Киприна В. В., Григорьев А. Т. Изв. вузов. Химия и хим. технология, 1961, т. 4, № 1, с. 7—10.
- 663: Григорьев А. Т., Куприна В. В. ЖНХ, 1961, т. 6, № 8, с. 1891—
- 664. Куприна В. В., Григорьев А. Т. ЖНХ, 1958, т 3, № 12, с. 2736—
- 665. Пантелеймонов Л. А., Бирун Н. А., Губиева Д. Н. ЖНХ, 1960, т. 5, № 7, с. 1635—1637.
- 666. Коуров Н. И., Циовкин Ю. Н., Волкенштейн Н. В. ФТТ, 1979, т. 21, № 5, с. 1511—1514.
- 667. Циовкин Ю. Н., Коуров Н. И., Волкенштейн Н. В. ФММ. 1976. T. 42′, № 2, c. 406—408.
- 668. Келарев В. В., Вохмянин А. П., Пирогов А. Н., Сидоров С. К. Труды ин-та физики металлов АН СССР. Свердловск: Изд-во ин-та физики металлов, 1977, вып. 35, с. 34-40.
- 669. Волков В. А., Куранов А. А., Машаров С. И., Сюткин П. Н. ФММ, 1979, т. 47, № 3, с. 516—523.
- 670. Дехтяр И. Н., Нищенко М. М., Шевченко В. И. Физика низких температур, 1978, т. 4, № 8, с. 1068—1071.
- 671. Zentkova A., Duhaj P., Zentko A., Tima T. Phisica. 1977, BC86-BC88, Part 2, p. 787-789.
- 672. Карпов Ю. Г., Сидоренко Ф. А. ФММ, 1979, т. 47, № 2, с. 279—

- 673. Григорьев А. Т., Пантелеймонов Л. А., Соколовская Е. М., Бинина Т. В., Мастюгина М. В. — Изв. сектора физ.-хим. анализа ИОНХ АН СССР, 1956, т. 27, с. 185-197.
- 674. Butoin P., Duhaj P. Crehost J. Phis., 1976, v. B26, № 2, p. 208-
- 675. Волков В. А., Куранов А. А., Сюткин П. А., Машаров С. И. ФММ, 1979, т. 47, № 3, с. 617—621.

676. Wopersnow W., Schubert K. - Z. Metallkunde, 1976. Bd 67. № 12.

- 677. Landolt C., Muan A. Trans. Met. Soc. AIME, 1969, v. 245, № 4, p. 891—796.
- 678. Новикова О. А., Рудницкий А. А. ЖНХ, 1958, т. 3, с. 729—
- 679. Carmio S. M., Meijering J. L. Z. Metallkunde, 1973, Bd 64, № 3, S. 170—175.
- 680. Oppelt A., Bushow K. H. Phys. Rev. Solid State, 1976, v. 13, № 11. p. 4698—4704.
- 681. Chattopodhyay T., Khalaff K., Schubert K. Metall, 1974, Bd 28, № 12. S. 1160—1168.
- 682. Gadella A. A., Schubert K. Z. Metallkunde. 1975. Bd 66. № 5. S. 307—310.
- 683. Копецкий И. В., Павлюченко А. В. ФММ, 1976, т. 42, № 2, c. 296—299.
- 684. Khaldoun M., Alasafi, Schubert K. Z. Metallkunde, 1979, Bd 70, № 11, S. 746—749.
- 685. Статнова Е. А., Куприна В. В. Вестник МГУ. Химия, 1974, т. 15, № 2, c. 243—245.
- 686. Статнова Е. А., Куприна В. В. Вестник МГУ. Химия, 1974, T. 15, № 3, c. 373—374.
- 687. Lewis B. G., Williams D. E. G. J. Less-Comm. Metals, 1976, v. 44, p. 337—339.
- 688. Williams D. E. G., Lewis B. G. Z. Metallkunde, 1979, Bd 70, № 7, S. 386—389.
- 689. Матвеева М. П., Волкова Р. М., Марчукова И. Д. ФММ, 1977. т. 43, № 3, с. 657—660.
- 690. Волков В. А., Куранов А. А., Машаров С. И., Сюткин П. Н.— ФММ, 1979, т. 47, № 3, с. 516—523.
- 691. Stevens G. T., Hartherly M., Bowles J. S. J. Mater. Sci., 1978, v. 13, p. 499—504.
- 692. Hadjipanayis G., Geunt P. IEEE Trans. Mag., 1976, v. 12, No 4, p. 393—395,
- 693. Elliot G. Nucl. Sci. Abstr., 1957, v. 11, p. 9581.
- 694. Логунов А. В., Петрушин Н. В., Тылкина М. А., Жданова Л. Л. --В ки.: Физико-химические свойства сплавов рения. М.: Наука, 1979, c. 98—103.
- 695. Aritomi N. J. Japan Inst. Metals, 1973, v. 37, p. 118.
- 696. Рытвин Е. И., Кузнецов Г. М., Руденко А. И., Мещанинов Б. А.— В кн.: Платиновые сплавы для стеклоплавильных аппаратов. М.: Химия, 1977, с. 82-85.
- 697. Masumoto Hakaru, Watanabe Kiyoshi. J. Japan Inst. Met., 1976, v. 40, № 2, p. 133—135.
- 698. Webster P. J., Ramadan M. R. I.- J. Magn. and Magn. Maler., 1977, v. 5, № 1, p. 51--59.
- 699. Дружинина И. П., Фраковникова А. А., Владимирская Т. М. --Науч. тр./ГИРЕДМЕТ. М.: ОНТИ ГИРЕДМЕТ, 1978, т. 85, с. 51-

- 700. Ярополова Е. И., Татаркина А. Л., Раевская М. В., Соколовская Е. М. Исследование квазичетверной системы SmRu<sub>2</sub>—SmFe<sub>2</sub>— SmCo<sub>2</sub>—SmNi<sub>2</sub>. — Деп. ВИНИТИ, 10.01.78, № 147—78.
- 701. Heraus W. C., Raucker H. G. Chem. Abstr., 1958, v. 52, p. 8028. 702. Floreen S., Hayden H. W. - Trans. AIME, 1967, v. 239, p. 1405.
- 703. Birmingham Small Arms. Co. Chem. Abstr., 1967, v. 66, p. 68540. 704. Raub E., Falkenburg G. Z. Metallkunde, 1964, Bd 55, № 7,
- 705. Жмурко Г. П., Соколовская Е. М., Раевская М. В., Брауэр Ю. А., Приставко В. В. Вестник МГУ. Химия, 1983, т. 24.
- 706. Spengler H. Schweiz. Maschinenmarkt, 1972, № 33, S. 54-59.
- 707. Wise E. M. Gold Recovery, Properties and Applications. D. Van Nostrand Co. Inc., 1964. 367 p.
- 708. Dekany Y., Mayer U. Metallwiss. und Technik, 1977, Bd 31, № 7, S. 718—720.
- 709. Schift K.-L., Harmsen N. Metall, 1976, Br 33, № 7, S. 620-624.
- 710. Schnable R., Schift K.-L. Metall. 1978, Bd 32, № 7, S. 662-665. 711. Rühlicke D. - Neue Hütte, 1977, Bd. 22, No 7, S. 361-365.
- 712. Крамер Б. М. В кн.: Покрытия драгоценными и редкими металлами. М.: МДНТП, 1968. 101 с.
- 713. Сато М. Нихон киндзоку чаккайси, 1972, т. 36, № 8, с. 765—768.
- 714. Stöckel D., Dihlmann M. Z. Werkstoffentechn., 1973, Bd 4, No 3, S. 121—124
- 715. Häussler G. Neue Hütte, 1973, Bd 18, № 6, S. 322.
- 716. Мелашенко И. П. Электрические коммутирующие контакты и материалы из них. М.: Информэлектро, 1976. 68 с.
- 717. Schröder K. H., Schulz E. D. Metallwiss, und Technik, 1979, No 5, S. 463-466.
- 718. Waeczuk E. Metall, 1977, Bd 31, № 4, S. 381-389.
- 719. Теодорович О. К., Братерская Г. Н., Костецкая Л. И.—В кн.: Сильноточные электрические контакты. Киев: Наукова Думка, 1976, c. 5—10.
- 720. Братерская Г. Н., Костецкая Л. И., Теодорович О. К. В ки.: Электрические контакты. М.: Энергия, 1972, с. 183-189.
- 721. Poniatowski M., Schröder K. N., Schulz E. D. Metall, 1977, Bd. 31, № 12, S. 1338.
- 722. Waeczuk E. Metall, 1978. Bd 32, No 12, S. 1264.
- 723. Точность контактных методов измерения температуры/Гордов А. Н., Малков Я. В., Эргарт Н. Н., Ярышев Н. Я. — М.: Изд-во стандартов. 1976. 236 с.
- 724. Данишевский С. К., Сведе-Швец Н. И. Высокотемпературные термопары. М.: Металлургия, 1977. 232 с.
- 725. Таблицы физических величин: Справочник/Под ред. акад. Кикоина И. К. М.: Атомиздат, 1976. 1008 с.
- 726. Линевег Ф. Измерение температур в технике: Справочник: Пер. с нем./Под ред. Чарихова Л. А. М.: Металлургия, 1980. 544 с.
- 727. Блатт Ф. Дж., Шредер П. А., Фоил К. Л., Грейг Д. Термоэлектродвижущая сила металлов: Пер. с англ./Под ред. Белащенко Т. Н. М.: Металлургия, 1980. 248 с.
- 728. Куритнык И. П., Стаднык Б. И. Термонзмерения. Серия радиоэлектроника и связь. М.: Знание, 1979, № 7. 64 с.
- 729. Правоверов Н. Л., Савицкий Е. М.—ЖНХ, 1962, VII, № 6, c. 1336-1338.
- 730. Нехензи Е. Ю., Адаховский А. П., Титова Т. Н., Агушевич Н. С.— Изв. АН СССР. Металлы, 1979, № 4, с. 224—228.
- 731. Platinum Metals Rev., 1963, v. 7, № 2, p. 53.
- 732. Bertodo. Platinum Metals Rev., 1964, v. 8, № 4, p. 128-130.

733. Электротехнический справочник. Т. І/Под ред. *Герасимова В. Т.,* Жукова Л. А., Грудинского П. Г. и др. М.: Энергия, 1980, 519 с.

Прецизионные сплавы: Справочник/Под ред. Молотилова Б. В. М.: Металлургия, 1983. 437 с.

735. Ермаков Л. Е., Соколовская Н. И., Цурин В. А., Иванова Г. В., Магат Л. М.— ФММ, 1978, т. 46, вып. 4, с. 733—740.

736. Саханская И. Н., Тейтель Е. И., Тимофеев Н. И. и др. — ФММ, 1980. т. 40, вып. 2, с. 363—370.

737. Zarabi M. J. — Electromics Information, 1974, v. 2, № 3, p. 213.

738. *Лашко Н. Ф., Лашко С. В.* Пайка металлов. Изд. 3-е, М.: Машиностроение, 1977. 328 с.

739. Chaston J. C. — Intern. Metals Rev., 1977, v. 22, p. 25.

740. Sloboda M. H. — Gold Bull., 1971, v. 4, № 1, p. 2.

741. Pattee H. E. — High Temperature Brasing, W. R. C. Bull., Columbus, Ohio, 1975, № 187, p. 3.

742. Walen S. J. — Weld. Eng., 1968, v. 53, № 3, p. 62.

743. Техиология тонких пленок. Т. І: Пер. с англ./Под ред. Майселла Л., Глэнга Р. М.: Советское радно, 1977, с. 50—55.

744. Чистяков Ю. Д., Райкова Ю. П. Физико-химические основы технологии микроэлектроники. М.: Металлургия, 1979. 408 с.

- 745. Достанко А. П. Техиология интегральных схем. Минск: Высшая школа, 1982, с. 153—166.
- 746. Sinha A. K., Read M. H., Smith T. E. J. Electrochem. Soc., 1973, v. 120. № 12, p. 1775—1778.
- 747. Poate J. M., Tisome T. C. Appl. Phys. Lett., 1974, v. 24, № 8, p. 391—393.
- 748. Тонкие пленки, взаимная диффузия и реакции. Пер. с англ./Под ред. В. Ф. Киселева и В. В. Поспелова. М.: Мир, 1982. 576 с.
- 749. Giuliano M. N., Natale M. R.—IEEE Conf. Rec., Conf. Electron. Device Techn. N.-Y. 1973, p. 182.
- 750. Lisiak K. O., Milnes A. G.—Sol. St. Electron., 1975, v. 18, № 6, p. 533.—540
- 751. Плазменная металлизация в вакууме/Достанко А. П., Грушецкий С. В., Киселевский Л. И., Пикуль М. И., Ширипов В. Я. Минск: Наука и техника, 1983, с. 183—189.

752. Terry L., Wilson E. — TIHER, 1969, № 9, p. 57.

758. *Procop G. S., Joseph K. K.*— Appl. Phys., 1972, v. 43, № 6, p. 2595. 754. *Вихрова С. Б., Виноградов С. Н.*— В кн.: Обзоры по электронной технике. Серия 2. М.: ШНИИэлектроники вып. 12 (579), 1978,

технике. Серия 2. М.: ЦНИИэлектроники вып. 12 (579), 1978 с. 1—38.

755. Caaali C., Campisano S. U., Lau S. S. — J. Appl. Phys., 1—75, v. 46, № 7, p. 2831—2836.

756. Tertig D. J., Robinson G. J.— Sol. St. Electron., 1976, v. 19, p. 407.

757. Parekh P. C., Sirrine R. C., Lemieux P. - Sol. St. Electron., 1976,

v. 19, № 5, p. 493.

- 758. Лебедев А. А., Юнусов М. С., Мамадалимов А. Г., Турнусов Н. А.— Физика и технология полупроводников, 1974, т. 8, № 4, с. 691— 693.
- 759. Дорфман В. Ф. Микрометаллургия в микроэлектронике. М.: Металлургия, 1978, с. 52—59.
- 760. Юнусов М. С., Турсунов Н. А. Физика и технология полупроводников, 1974, т. 8, № 6, с. 1145—1150.
- 761. Coe D. J., Rhoderich E. H., Gerzon P. H., Tinsley A. W. Institute of Physics conf., 1975, № 22, p. 74—83.
- 762. Sundström K. E., Petersson S., Tove P. A. Phys. Stat. Sol., 1973, v. 20, № 2, p. 653—668.

763. Азимов С. А., Юнусов М. С., Каримов Ф. К., Хатамкулов Г. — В кн.: Легированные полупроводники. М.: Наука, 1975, с. 21—23.

764. Ohdomari J., Tu K. N., D'Heurle F. M., Kuan T. S., Petersson S. Appl. Phys. Lett., 1978, v. 33 (12), № 15, p. 1028—1030.

765. Ohdomari J., Kuan T. S., Tu K. N.— J. Appl. Phys., 1979, v. 50, p. 7020—7029.

766. Freyer J., Harth W. - AEU, 1974, v. 28, № 11, p. 482-483.

767. Vossen J. J., Schable C. J., Kern L. — J. Vac. Sci. ans Technol., 1974, v. 11, № 1, p. 60—70.

768. Комашко В. А., Мословский Ф. Н., Туз В. Ф. — В кн.: Полупроводниковая техника и электроника, 1974, вып. 14, с. 98—101.

769. *Del-Monte L. A.* — Compon. Conf. Washington D. C. N-Y, 1973, № 4, p. 21—25.

770. Интегральные схемы. Принципы конструирования и производства/Под ред. Колосова А. А. М.: Советское радио, 1978, 231 с.

771. Джунаидов С. С., Книгин П. И., Урманов Н. А., Шопен В. И.— Физ. и технология полупроводников, 1974, т. 8, № 3, с. 602—604 772. Кумая Фуминора, Кикути Эй Ота Масая—1973, вып. 12, № 6, р. 96—100.

773. Kallfass T. - NTG-Fachber, 1977, v. 60, p. 219-222.

774. Смирнов В. И., Матта Ф. Ю.— В кн.: Теория конструкций контактов в электронной аппаратуре. М.: Советское радио, 1974, с. 106—118.

775. Aristotelis C., Howard D. — J. Electron. Mater., 1974, v. 3, p. 25—35.

776. Schiavone L. M., Pritchard A. A. - J. Appl. Phys., 1975, v. 46, p. 452-453.

777. *Kellner W.* — Simens Forsch- und Entwicklungsber., 1975, v. 4, № 3, p. 137—140.

778. Лобанов В. В., Каган Г. Е., Гук Ю. Н. — ЖФХ, 1980, т. 54, № 11, с. 2819—2821.

779 Gillet E. Gruzza B. — Surface Sci., 1980, v. 97, № 2—3, p. 553—563.

780. Allmen M., Lau S. S., Mäenpää M., Tsaur B. Y. — Appl. Phys., Lett., 1980, v. 37, № 1, p. 84—86.

781. Grinolds H., Robinson G. Y. — J. Vac. Sci. and Technol., 1—77, v. 14, № 1, p. 75—78.

782. Tsaur B. Y., Lau S. S., Mayer J. W. — Appl. Phys. Lett., 1979, v. 35, p. 225.

783. А. с. 572539 (СССР)/Достанко А. П., Гойденко П. П., Кушнер Л. К., Чистяков Ю. Д. Опубл. в Б. И., 1974, № 34, 70 с.

784. Достанко А. П., Путилин В. П., Шавикова О. А. и др. — Электронная промышленность, вып. 6, 1972, с. 311.

785. Достанко А. П., Чистяков Ю. Д., Шавикова О. А. и др. — Электронная техника. Материалы, вып. 4, 1972, с. 128.

786. Достанко А. П. — Изв. АН БССР. Сер. физико-технич. наук, № 4, 1976, с. 101—107.

787. Достанко А. П. — Электронная обработка материалов, 1976, № 6 (72), с. 66—70.

788. Баранов В. В., Достанко А. П. и др. — Электронная промышленность, 1975, № 2, с. 45.

789. Баранов В. В., Достанко А. П., Мурашкин В. П., Цуканов Л. Н. — Электронная техника, сер. 3, вып. 6 (60), 1975, с. 13.

790. Достанко А. П. — ДАН БССР. Радиоэлектроника, 1977, т. XXI, № 1, с. 24—26.

791. *Лапина Л. Н., Попова Г. Е., Трубачева Г. А.* — Обзоры по электронной технике, сер. 6, вып. 6 (745), 1980, с. 76.

792. Достанко А. П., Шаталов В. В. Анализ систем металлизации интегральных схем. Учебное пособие. Минск: МРТИ, 1975, с. 1-34.

793. Руднев В. В., Лаврентьев К. М., Аигина Н. Р., Белова Н. С. — Зарубежная электронная техника, 1974, вып. 10, с. 42-54.

794. Достанко А. П., Ивкин В. М., Баранов В. В., Портнов Л. Я. — Электронная техника, 1980, сер. 8, вып. 4 (82), с. 51—62.

795. Чистяков Ю. Д., Яковлев Г. А. — Обзоры по электронной технике.

сер. 7, вып. 2 (625), 1979, с. 14—34.

796. Клименская Д. А., Афанасьева М. А., Глозман А. А., Александрова И. Н. — Обзоры по электронной технике, сер. 5, вып. 4 (753), 1980, c. 17,

797. Колешко В. М. — В кн.: Ультразвуковая микросварка. Минск: Наука и техника, 1977, с. 179-184, 284-289.

798. Вячеславов П. М., Гриликес С. Я., Буркат Г. К., Круглова Е. Г. Гальванотехника благородных и редких металлов. Л.: Машиностроение, 1970, 145 с.

799. Локгитанова О. Г., Налитова Г. А., Камышина А. Л. — Электрон-

ная техника, 1980, сер. 7, вып. 5(102), с. 11-17.

800. Гаврилова И. П., Юдина А. К. — В кн.: Покрытия драгоценными и редкими металлами. М.: МДКТП, 1968, 123 с.

801. Вайнштейн М. З., Зимина И. С. — Электронная техника, 1978, сер. 7. вып. 3 (88), с. 23—25.

802. Инженерная гальванотехника в приборостроении/Под ред. Гинберга М. М.: Машиностроение, 1977, с. 192—216.

- 803. Прикладная электрохимия/Под ред. Ротиняна А. Л. Л.: Химия. 1974, 291 c.
- 804. Гершинский А. Е., Ржанов А. В., Черепов Е. К. В кн.: Микроэлектроника, т. II, вып. 2, 1982, с. 83-92.

805. Wittmer M., Smith D. L., Lew P. W., Nicolet M.-A. - Solid-State Electronics, 1978, № 21, p. 573-580.

806. Pellegrini B. — Solid-State Electronics, 1975, № 18, p. 417—426.

- 807. Вихрова С. Б., Виноградов Р. Н. Обзоры по электронной технике. Серия полупроводниковые приборы: М.: ЦНИИ Электроника, 1978, вып. 12 (579), 42 с.
- 808. Canali C., Catellani C., Prudenzetl M., Wadlin W. H., Evans C. A. Appl. Phys. Lett., 1977, v. 31, № 1, p. 43—45.
- 809. Hiroshi I., Kohki H., Masao N., Seijiro F. Surface Sci. 1979. v. 86, p. 711—717.

810. Coe D. J., Rhoderich E. H. - Institute of Physics conf. Cer., 1978, № 22. p. 74—83.

- 811. Daniluk S., Mequire G. F. J. Appl. Phys., 1974, v. 45, № 12, p. 5141-5144.
- 812. Canali C., Silvestri L., Gelotty G. J. Appl. Phys., 1979, v. 50, № 9, p. 5768—5772.
- 813. Bower R. W., Sigurd D., Scott R. E. Solid-State Electronics, 1973, v. 16, № 12, p. 1461.
- 814. Ohdomari T. S., Tu K. N., d'Heurie F. M., Kuan T. S. Appl. Phys. Lett., 1978, v. 33, № 12, p. 1028—1030.
- 815. Ohdomari T. S., Kuan, Tu K. N. J. Appl. Phys., 1979, v. 50, № 11, p. 7020—7029.
- 816. Tsaur B. Y., Liau Z. L., Mayer J. W. Appl. Phys. Lett., 1979, v. A71, № 2—3, p. 270—272.
- 817. Свойства и применение платиновых металлов и сплавов в производстве стекловолокна. М.: ВНИИСПВ, 1973. 156 с.
- 818. Новиков И. И., Рытвин Е. И., Слотинцев Н. М. МИТОМ, № 4, 1974.

819. Новиков И. И., Рытвин Е. И., Слотиниев Н. М. — Изв. вузов. Цветная металлургия. № 3. 1976. с. 117—121.

820. Васильева Е. В., Лазарева И. Ю., Угасте Ю. Э., Скотников С. А. — Зашита металлов, 1974, вып. 10, № 3, с. 349—350.

- 821. Егорова Р. В., Серков А. Т., Фингер Т. Т., Тельшева А. Ф. Химические волокиа, 1977, № 3, с. 70—71.
- 822. Редкие металлы: Справочник: Пер. с англ. М.: Мир. 1965, 320 с. 823. Burke D. P. — Chemical Week, 1979, March 28, p. 42—54; April 4. p. 46—64.
- 824. Cohn J. G. Engelhard Industries Technical Bull., 1968. v. 9. № 1, p. 5—9.
- 825. Hartog F., Zwietering P. J. Catalysis, 1963, v. 2, № 1, p. 79-86. 826. Harting W. H., Chaug J.-T. — J. Am. Chem. Soc., 1952. v. 74. № 12. р. 5927—5931.
- 827. Каталитические свойства веществ: Справочник/Под ред. Рейтера В. А. Киев: Наукова думка, 1968, 1564 с.: 1975, т 2. кн. 1 н 2. 1623 с.; 1976, т. 3, 1031 с.

828. Грязнов В. М., Полякова В. П., Савицкий Е. М. и др. — Изв. АН СССР. Серия химическая, 1970, № 11, с. 2520-2524.

- 829. Грязнов В. М. ДАН СССР, 1969, т. 189, № 4, с. 794—796. 830. Грязнов В. М. — Вестник АН СССР, 1975, № 8, с. 34—39.
- 831. Wagner C., Hauffe K. Z. Elektrochem., 1939. B1. 45, S. 409-416.

832. Ubellohde A. R. — Journ. Chem. Soc. 1949, p. 2008—2013.

- 833. Казанский В. Б., Воеводский В. В. ДАН СССР, 1957, т. 116. c. 633.
- 834. Темкин М. И., Аппельбаим Л. О. В кн.: Проблемы физической химии. М.: Госхимиздат, 1958, с. 94-100.
- 835. Kowaka M. J. Japan Inst. Metals, 1959, v. 23, p. 655—659.
- 836. Kowaka M., Joncich M. J. Mem. Inst. Scient and Industr. Res.
- Osaka Univ., 1959, v. 16, p. 113—117. 837. Wood B. J., Wise H.— J. Catalysis, 1966, v. 5, p. 135—145.
- 838. Wood B. J. J. Catalysis, 1968, v. 11, № 1, p. 30—34.
- 839. А. с. 256735 (СССР)/Смирнов В. С., Грязнов В. М., Мишенко А. П. Опубл. в Б. И., 1969, № 35, 20 с.
- 840. А. с. 256745 (СССР)/Смирнов В. С., Грязнов В. М., Мишенко А. П. Опубл. в Б. И., 1969, № 35, 22 с.
- 841. inami S. H., Wood B. J., Wise H. J. Catalysis, 1969, v. 13. p. 397-403.
- 842. А. с. 274092 (СССР)/Грязнов В. М. Опубл. в Б. И., 1970. № 21.
- 843. Грязнов В. М., Смирнов В. С., Иванова Л. К., Мищенко А. П. ДАН СССР, 1970, т. 190, № 1, с. 144—147.
- 844. Simmonds P. G., Shoemake G. R., Lovelock J. E. Analit. Chem., 1970, v. 42, № 8, p. 881—885.
- 845. Yolles R. S., Wood B. J., Wise H. J. Catalysis, 1971, v. 21, p. 66—
- 846. А. с. 321277 (СССР)/Смирнов В. С., Грязнов В. М., Мишенко А. П., Родина А. А. Опубл. в Б. И., 1971, № 35, 36 с.
- 847. А. с. 333963 (СССР)/Грязнов В. М., Храпова Е. В. Опубл. в Б. И., 1972, № 12, 22 c.
- 848. Смирнов В. С., Лебедева В. И., Грязнов В. М.— ПАН СССР. 1972, T. 205, № 4, C. 891—894.
- 849. Simmonds P. G., Smith C. F. Analit. Chem., 1972, v. 44, № 8, p. 1548-1550.
- 850. Грязнов В. М., Мищенко А. П., Полякова В. П. и др. ДАН СССР, 1973, т. 211, № 3, с. 624—627.
- 851. Храпова Е. В., Грязнов В. М., Калуга В. И., Рошан Н. Р. и др. Изв. АН СССР. Серия химическая, 1973, № 11, с. 2431—2436.

852. Gryaznov V. M., Pavlova L. F., Khlebnikov V. B. (Грязнов В. М., Павлова Л. Ф., Хлебников В. Б.) — Mechanisms of Hydrocarbon Reactions Symposium (1973). Budapest: Academiai Kiado, 1975, p. 107—115.

853. Хлебников В. Б., Феррари Р., Грязнов В. М., Павлова Л. Ф. — В кн.: Анализ современных задач в точных науках. М.: 1973.

854. Gryaznov V. M., Smirnov V. S., Slin'ko M. G. (Грязнов В. М., Смирнов В. С., Слинько М. Ж.) — Catalysis, Proceedings of the Fifth Intern. Congress on Catalysis, 1973, v. 2, p. 1147.

855. Смирнов В. С., Грязнов В. М., Лиакумович А. Г. и др. — Нефте-

химия, 1974, т. 14. № 1. с. 29—35.

856. Грязнов В. М., Смирнов В. С., Мищенко А. П., Орехова Н. В. — В кн.: Сплавы редких металлов с особыми физическими свойствами. М.: Наука, 1974, с. 131-133.

857. Храпова Е. В., Грязнов В. М., Рошан Н. Р. и др. — Изв. АН СССР.

Серия химическая, 1974, № 10, с. 2182—2188.

858. Смирнов В. С., Ермилова М. М., Кокорева Н. В., Грязнов В. М. — ЛАН СССР, 1975, т. 220, № 3, с. 647—650.

859. Гиллер С. А., Грязнов В. М., Павлова Л. Ф. и др. — Химия гетероциклических соединений, 1975, № 5, с. 599-601. 860. Буленкова Л. Ф., Грязнов В. М., Ошис Я. Ф. и др. — Изв. АН

Латв. ССР. Серия химическая, 1975, № 6, с. 696—700.

861. Буленкова Л. Ф., Грязнов В. М., Павлова Л. Ф., Шиманская М. В. — Изв. АН Латв. ССР. Серия химическая, 1975, № 6. c. 701—704.

862. Смирнов В. С., Грязнов В. М., Орехова Н. В. и др. — ДАН СССР, 1975, T. 224, № 2, c. 391—393.

- 863. Буленкова Л. Ф., Ошис Я. Ф., Шиманская М. В. и др. В кн.: Использование пентозансодержащего сырья. Рига: Зинатне, 1976, c. 74--75.
- 864. А. с. 540859 (СССР)/Грязнов В. М., Маганюк А. П., Костоглодов П. В. н др. Опубл. в Б. И., 1976, № 48, 69 с.
- 865. Сарылова М. Е., Мищенко А. П., Грязнов В. М., Смирнов В. С. Изв. АН СССР. Серия химическая, 1977, № 2, с. 430—432.

866. Мищенко А. П., Сарылова М. Е., Грязнов В. М. и др.— Изв. АН .СССР. Серия химическая, 1977, № 7, с. 1620—1622.

867. Aguilar G., Gryaznov V. M., Pavlova L. F., Yagodovsky V. D. -React. Kinet. Catal. Lett., 1977, v. 7, № 2 p. 181-186.

868. Inoue H., Nagamoto H., Shinkai M. - Asahi Garasu Kogyo Gijutsu Shoreikai Kenkyu Hokoku, 1977, v. 31, p. 277-294.

869. Михаленко Н. Н., Храпова Е. В., Грязнов В. М. — Нефтехимия. 1978, № 2, c. 189—192.

870. Михаленко Н. Н., Храпова Е. В., Грязнов В. М. — Нефтехимия. 1978, № 3, c. 354—357.

- 871. Шпиро Е. С., Устинова Т. С., Смирнов В. С. и др. Изв. АН СССР. Серия химическая, 1978, № 4, с. 763-767.
- 872. Ustinova T. S., Smirnov V. S., Gryaznov V. M. et. al. React. Kinet. Catal. Lett., 1978, v. 9, № 2, p. 227-232.
- 873. Зеляева Е. А., Грязнов В. М. Изв. вузов. Химия н химическая технология, 1979, т. 22, № 6, с. 684-687.
- 874. Грязнов В. М., Зеляева Е. А., Гульянова С. Г., Филиппов А. М. Изв. вузов. Химия и химическая технология, 1979, т. 22, № 8, c. 911—914.
- 875. Ермилова М. М., Басов Н. Л., Смирнов В. С. и др. Изв. АН СССР. Серия химическая, 1979, № 8, с. 1773—1775.

876. А. с. 685661 (СССР)/Мищенко А. П., Грязнов В. М., Смирнов В. С. и др. Опубл. в Б. И., 1979, № 34, 120 с.

877. А. с. № 704936 (СССР)/Грязнов В. М., Смирнов В. С., Дюмаев К. М. и др. Опубл. в Б. И., 1979, № 47, 103 с.

878. Nagamoto H., Inoue H. - Nippon Kagaku Kaishi, 1979, No 12,

p. 1629—1635. 879. Устинова Т. С., Шпиро Е. С., Смирнов В. С. и др. — Изв. АН

СССР. Серня химическая, 1976, № 2. с. 441—444.

880. Грязнов В. М., Смирнов В. С., Ермилова М. М. и др. — Нефтехимия, 1979, т. 19, № 5, с. 662-666.

881. Грязнов В. М. — Кинетика и катализ, 1971, т. 12, № 3, с. 640-645.

882. Тюряев И. Я., Колобихин В. А. — Кинетнка и катализ, 1961, т. 2, № 3. c. 429—434.

883. Eick J. D. — J. Dental Res., 1969, v. 48, № 6, p. 1284.

884. Bates J. F. - Intern. Metals Rev., 1977, v. 22, march, p. 39.

885. Spengler F. — Z. Metallk., 1976, Bd 67, № 5, S. 289.

886. Leuse J. — Metall, 1949, № 3, p. 105—110, 128.

887. Джадд Д., Вышецки Г. Цвет в науке и технике. М.: Мир, 1978.

888. Лифшиц В. А., Старченко И. П. — Возможности спектрофотометрирования для определения цвета сплавов золота. Науч. тр./ /ВНИИЮвелирпром. Л.: ВНИИЮвелирпром, 1973, вып. 2, с. 104—

889. Hamburg J. W. Das Gold. Joldschmiede Zeitung, 1976, № 5, S. 63-

890. Селиванкин С. А., Власов И. И., Никитин М. К. Технология ювелирного производства. Л.: Машиностроение, 1978. 320 с.

891. Старченко И. П., Лифшиц В. А. — Исследование параметров заполнения керамических форм при литье ювелирных изделий. Науч. тр./ВНИИЮвелириром. Л.: ВНИИЮвелириром, 1979, вып. 19, c. 5—13.

892. Лифшиц В. А. Особенности пайкн золотых ценочек термореактивными припоями. Науч. тр./ВНИИювелирпром. Л.: ВНИИЮвелирпром. 1974. вып. 5, с. 58-68.

893. Изабакаров Г. Б. Основы кубачинского искусства. Махачкала. Дагучпедгиз, 1979. 62 с.

894. Бреполь Э. Теория и практика ювелирного дела: Пер. с нем. Л.: Машиностроение, 1975. 383 с.

895. Головин В. А., Ульянова Э. Х. Палладиевые сплавы для изготовления ювелирных изделий. Сб. тр./ВНИИГосзнак. М.: В 1959. вып. 2, с. 112—130.

896. Коваленко В. С. Металлографические реактивы. М.: Металлургия, 1973. 107 c.

- 897. Попилов Л. Я., Зайцев Л. П. Электрополирование и электротравление металлографических шлифов. М.: Металлургиздат, 1963.
- 898. А. с. 533624 (СССР)/Гудов Л. А., Агапова Е. Я. Опубл. в Б. И., 1976, № 40, c. 69.
- 899. А. с. 652201 (СССР)/Гаврилов В. Г., Стрюк В. В. Опубл. в Б. И., 1976, № 10, c. 109.
- 900. Ahlers C. T. V., Balluffi R. W. J. Appl. Phys., 1967, v. 38, № 2,
- 901. Rohr D. L., Murz L. E., Hecker S. S. Metallurgical Trans., 1979, v. 10, № 4, p. 399—405.

902. Prakt. Metallographie, 1969, № 4, S. 228-231.

903. Brookes C. A., Greenwood V. H., Roatloort V. L. — J. Inst. Metals, 1970, v. 98, p. 27.

904. А. с. 244839 (СССР)/Савицкий Е. М., Полякова В. П., Горина Н. Б. Опубл. в Б. И., 1969, № 18, с. 155.

905. Snow D. B., Breedis V. F. — Acta Metallurg., 1974, v. 22, p. 418—419.

906. A. c. 268112 (СССР)/Полякова В. П., Савицкий Е. М., Горина Н. Б. Опубл. в Б. И., 1970, № 13, с. 122.

907. Зеленин В. И., Делогишин А. В.— Заводская лаборатория, 1973, т. 39, № 7, с. 826—827.

# УКАЗАТЕЛЬ 1 ДВУХ-, ТРЕХ- И МНОГОКОМПОНЕНТНЫХ ДИАГРАММ СОСТОЯНИЯ БЛАГОРОДНЫХ МЕТАЛЛОВ С ЭЛЕМЕНТАМИ ПЕРИОДИЧЕСКОЙ СИСТЕМЫ

Ag—Al 204, 205 Ag—Au—Pd 333, 334 Ag—Au, Cu 199, 200 Ag—B 204 Ag—Be 201, 203 Ag—Bi 209 Ag—Ca, Ba, Sr, Ra 202, 204 Ag—Cd—203, 204 Ag—Cd—Sn 341, 342 Ag—Cd—Zn 342 Ag—Cr 209, 210 Ag—Cu—Cd 339, 340 Ag—Cu—Ni 339 Ag—Cu—Sn 340, 342 Ag—Cu—Zn 339, 341 Ag—Cu—Zn 339, 341 Ag—Cu—Zn—Si 342	Ag—Pd—Cu 338 Ag—Pd—Fe 338 Ag—Pt 211, 212 Ag—Re 209 Ag—P3M 206 Ag—S 209 Ag—Sb 209 Ag—Sc 204 Ag—Se 209 Ag—Si 206, 207 Ag—Te, Po 209 Ag—Ti 206—208 Ag—Th, U, Pu 206 Ag—V, Nb, Ta 209 Ag—Y 204, 206, 207
Ag—Fe, Co, Ni 209  Ag—Ga 204  Ag—Ge 206  Ag—H 199  Ag—Hf 208  Ag—Hg 203, 204  Ag—In 204, 205  Ag—Ir, Rh, Ru 212, 213  Ag—La 207  Ag—Li 199, 200  Ag—Mg 201, 204  Ag—Mn 209, 210  Ag—Mn 209, 210  Ag—No, W 209  Ag—N 209  Ag—Na 199, 200  Ag—P 208, 209  Ag—P 208, 209  Ag—P 206  Ag—Pd 210—212	Ag—Zn 202, 204 Ag—Zr 207  Au—Ag 185, 188 Au—Ag—Cu 333, 334 Au—Cu—Ni 334 Au—Ag—Cu—Zn 339 Au—Ag—Q 333, 334 Au—Ag—Pd 333, 334 Au—Al 190, 191, 193 Au—B 190 Au—Be 186, 188 Au—C 192 Au—Cd 187, 190 Au—Co 196, 198 Au—Cr 195, 196 Au—Cu 185, 186, 188 Au—Cu, Sr, Ba 186, 187, 189 Au—Fe 196, 197 Au—Ga 191

<sup>1</sup> Элементы следуют в порядке латинского алфавита.

Au—Hf 194	Ir—Fe 276, 277
Au—Hg 190	Ir—F <b>e</b> —Rh 377
Au—In 191	IrGa 267
Au—Ir, Os 197, 198	Ir—Ga—Nb 374
Au 1: 10E 10E	I. Go 971
Au—Li 185, 186	Ir—Ge 271 Ir—Gd—Co 373
Au-Mg 186, 189	IrGdCo 3/3
AuMn 197	Ir—Hf 268, 269
Au—Mo, W 196	Ir—H <b>g, Z</b> n, Cd 263
AuNa, K. Rb, Cr, Fr 185, 187	Ir—In <b>2</b> 67
Au—Nb 194, 195 Au—Ni 196, 198	lr—La 262
Att-Ni 196 198	Ir—Mg 262, 263
Au-O 194	
	Ir—Mn 275, 276
AuP 194	lr—Mo 272, 274
Au—Pb 194	Ir—Nb 270, 271
Au—Pd 197—199	IrNbO 375
Au—Pd—Ag 337	Ir—Ni 277 Ir—P 271, 272 Ir—Pb 271
Au—Pd—Co 336 Au—Pd—Cu 334, 335, 337 Au—Pd—Fe 336	Ir—P 271, 272
Au—Pd—Cu 334 335 337	Ir—Pb 971
Au_Dd_Fe 336	Ir—Pd 277—279
A. Dd N: 227	
Au—Pu—N 557	Ir—Pd—Pt 377 Ir—Pr 263
Au—Pd—Pt 337, 338	Ir—Pr 263
Au—Pd—Ni 337 Au—Pd—Pt 337, 338 Au—Pd—W 336 Au—Po 195	Ir—Pt 278, 279
Au—Po 195	Ir—Pu 280
Au—Pt 197, 198	Ir—Re 276, 277
Au—Rh 196, 198	Ir—S, Se, Te 275
Au—Rh—Pt 338	Ir—Sc—B 373
Au—P3M 192, 193	, Ir—Sc—C 373
Au—Ru 199	Ir—Sc, Y, P3M 263
Au—Sb, Bi 194	Ir—Si 269, 271
Au—Sc 191	Ir—Sc, Y, P3M 263 Ir—Si 269, 271 Ir—Sn 271
Au—Se 194, 195	Ir-Zr-O 374
Au—Si 194	Ir—Zr—O 374 Ir—Zr—Pd 374 Ir—Sr 263 Ir—Ta 271, 272
	Ir Sr 963
Au Sn 102 103	I. To 071 070
Au To 104	11—1a 2/1, 2/2
Au—S1, Ge 192 Au—Sn 192, 193 Au—Ta 194 Au—Th; U, Pu 192 Au—Ti 194 Au—T1 191 Au—V 194, 195 Au—Y 192	Ir—Ta—Co 375 Ir—Ta—Ni 376 Ir—Tc 276
Au—1e 195	Ir—Ta—Ni 376
Au—Th, U, Pu 192	Ir—Tc 276
Au—Ti 194	Ir-Th 278, 279
AuT1 191	Ir—Ti 267 268
A11-V 194, 195	Ir_Ti_De 374
ΔιV 192	Ir 11970 980
Au 7n 187 100 101	Ir—Th 278, 279 Ir—Ti 267, 268 Ir—Ti—Re 374 Ir—U 279, 280 Ir—U—C 373, 374
Au—Zn 187, 190, 191 Au—Zr 194	11-0-0 373, 374
Au—Zr 194	Ir—V 270, 271 Ir—V—Co 375 Ir—V—Nb 375
Ir—Ag—Pd—371	lrVCo 375
Ir—Al 266, 267	IrVNb 375
In A1 NIL 270 272	Ir—W 274, 275
Ir—Al—Nb 372, 373 Ir—As, Sb 272	Ir—W—B 377
II-AS, SD 2/2	Ir-W-Re 376, 377
Ir-Au, Ag 261	Ir—Zr 268
Ir—Au—Pd 371, 372	11Z1 200
Ir—B 263, 266	Os—B, Al, Ga 231, 233
Ir—Be 261, 262	Os—Be 231
Ir—Bi 272, 273	OsCeB 364
Ir—Ca 263	Os Co 920 940
Ir—Ca 263 Ir—Ce 262	Os—Co 239, 240
	OsCr 236, 237
Ir—Co 277	Os-Cu 231
Ir—Cr 272, 273	Os—Fe 239, 240
Ir—Cu 261	OsGe 235

Os—Hf 234	Dd A., T. 200 001
Oc 1: 220 040	PdAuTe 383, 384
05-11 239, 240	Pa-Au-Y 383
Os—Ir 239, 240 Os—La—B 364	PdAuZn 383
OsMg 231	Dd R 990, 902, 904
Os-Mg 231 Os-Mg 237, 238	Pd-B 289, 293, 294
05-110 231, 230	Pd—Ba 283 Pd—Be 281, 282 Pd—Bi 301, 306
OsMoB 365 OsMoW 364, 365	Pd-Be 281 282
Os-MoW 364 365	Dd D: 201 200
Oc NIL 925 926	Fu-B1301, 300
Os-Nb 235, 236	Pa-Bi-Te 392, 393
OS-NU-D 304	Pd—Ca 282
Os—Ni 240 Os—P, As, Sb, Bi 236 Os—Pd 240	Pd—Cd 284—286
Oc. D Ac Sh D: 996	Fu-Cu 204-200
O3-1, A3, 30, D1 230	Pd—Cd—C 384
Os—Pd 240	Pd—Ce 286
Os—Pr 231, 232	Pd—Co 308, 309
OsPrB 364	Fu-C0 306, 309
O311D 304	PdCoPt 397
Os-Pt 240, 241	PdCoNi 397
OsRe 239	Pd—Co—Pt 397 Pd—Co—Ni 397 Pd—Co—Si 397
Oc. S So To 939	DI C. 201 391
Os—S, Se, Te 238 Os—Sc, Y, P3M 233	Pd—Cr 301, 306
Us—Sc, Y, P3M 233	PdCs <b>S</b> 377
Os-Si 235	Pd—Cu 280—282
Os-Sm-B 364	P.1 C 200-202
Os C 000	Pa-Cu-Ag-Al 405
Os—Sn 235	Pd—Cu—Al 384, 385
Os—Ta 236	PdCuCo 378 380
Os—Ta 236 Os—Th 231, 234 Os—Ti 232, 234	Pd—Cu—Ag—Al 405 Pd—Cu—Al 384, 385 Pd—Cu—Co 378, 380 Pd—Cu—Cr 277, 378
Oc Ti 929 924	Fu-Cu-Cr 311, 318
O- 11202, 204	Pd—Cu—Fe 377, 378
OS—U 231, 232, 234	PdCuSi 378
Os—U 231, 232, 234 Os—U—C 363, 364	Pd—Cu—Cr 377, 378 Pd—Cu—Fe 377, 378 Pd—Cu—Fe 377, 378 Pd—Cu—Fe 378, 379
Os-V 235	Dd Dy 997
Os—W 238	Pu-Dy 201
Os—W 200	Pd—Er 288
Os-W-B 365	Pd—Er—Sn 289
Os—W—B 365 Os—W—C 365 Os—W—Re 365 Os—Y 230—232 Os—Yb 231, 232	Pd—Cti—Te 3/8, 3/9 Pd—Dy 287 Pd—Er 288 Pd—Er—Sn 289 Pd—Eu 287 Pd—Fe 308, 309
Os-W-De 365	Pd—Fe 308, 309
Oc V 020 020	
OS—1 230—232	Pd—Fe—Co 395, 396
Os—Yb 231, 232	Pd—Fe—H 396
Os—Zr 233, 235	Pd—Fe—Mg 395
	D. T. N. OOO
Pd-Ag-Al 379, 380	Pd—Fe—Ni 396
PdAgCd 379	Pd—Fe—O 396 Pd—Fe—P 396 Pd—Fe—Pt 396 Pd—Fe—S 396
Pd—Ag—Cr 382	Pd—Fe—P 396
Dd 4Ag D., 200 201	Dd Ec Dt 206
Pd—Ag—Dy 380, 381 Pd—Ag—S 383	D 1 F 0 000
PaAgS 383	PaFeS 396
Pd—Ag—Si 380, 381 Pd—Ag—Te—383 Pd—Ag—Ti 380, 381	Pd—Ga 292, 294
Pd-Ag-Te-383	Pd—Ga—C 386
Dd Ag Ti 200 201	Pd—Ga—Ge 386, 387
Dd - Ag11 300, 381	D.1. C. N. 000
Pu-Ag-Ni 382, 383	Pd—Ga—Ni 386
PdAgY 380, 381	Pd—Ga—Te 387
Pd—Ag—Ni 382, 383 Pd—Ag—Y 380, 381 Pd—Ag—Zr 381, 382	PdGd 285
Pd—Al 292, 294	
1 u—A) 292, 294	PdGe 298, 299
FU	PdGeC 390
Pd-Al-Co 385	Pd-Ge-Ni 300
PdAlFe 385	Pd—Ge—Ni 390 Pd—Ge—Te 390
Dd Al Ni oor ooo	Pu-Ge-1e 390
Pd—Al—Ni 385, 386	Pd—Hf 295, 298
PdAlSc 385	Pd—Hg 284, 286, 293
Pd-Al-Te 386	PdHgC 384
Pd-As 301 304	D4 He ood
Pd—Al—Sc 385 Pd—Al—Te 386 Pd—As 301, 304 Pd—As Bi 300, 202	PdHo 288
* U - NS DI 392 393	Pd—Ho—Sn 389
PdAsSb 392	Pd_In 202 204 one
Pd—As—Sb 392 Pd—As—Te 394	Pd—In 292, 294—296
Pd-Ag Houman 2000 000	Pd—In—As 387, 388
PdAgдейтерий 382, 383	Pd—In—C 387
586	
DOD	

Pd—In—Sb 387, 389 Pd—In—Sn 387, 388
Pd—In—Sn—Mn 405 Pd—In—Te 389 Pd—Li 280, 281 Pd—Lu—Sn 389 Pd—Lu—Sn 389
Pd—Li 280, 281 Pd—Lu—Sn 389
PdMg 281, 282 PdMgC 384
Pd—Mg—1e 364 Pd—Mn 305, 307 Pd—Mn—Co 395
Pd—Mn—Ni 395, 396 Pd—Mo 302, 306
Pd—Lu—Sn 389 Pd—Mg 281, 282 Pd—Mg—C 384 Pd—Mg—Te 384 Pd—Mn 305, 307 Pd—Mn—Co 395 Pd—Mn—Ni 395, 396 Pd—Mo—Ni 393 Pd—Mo—Ni 393 Pd—Na 280 Pd—Nb 301, 302 Pd—Nb 301, 302 Pd—Nb—Mo 391, 392
Pd—Nb 301, 302 Pd—Nb—Mo 391, 392
Pd—N1 308, 309 Pd—Ni—Cu 378 Pd—Nn 310
Pd—Ni—P 383 Pd—Ni—Pt 397
Pd—P 301, 304 Pd—P—Te 394
Pd—Nb 301, 302 Pd—Nb—Mo 391, 392 Pd—Ni 308, 309 Pd—Ni—Cu 378 Pd—Np 310 Pd—Ni—P 383 Pd—Ni—Pt 397 Pd—P 301, 304 Pd—P—Te 394 Pd—Pb—Bi 390, 391 Pd—Pb—C 391 Pd—Pb—C 391 Pd—Pb—Te 391 Pd—Pb—Te 391 Pd—Pb—Te 391 Pd—Pb—Te 391
Pd—Pb—Te 391 Pd—Pt 308—310
Pd—Pt 308—310 Pd—Pu 310, 311 Pd—P3M 290, 291, 293 Pd—S 305, 307
Pd—5—1e 394 Pd—Sb 301_304
Pd-Sb-Mn 392 Pd-Sb-Te 392, 393 Pd-Sc 285, 293 Pd-Sc -Sn 386
1 u3t-3ti 360
Pd—Se 305 Pd—Se—Te 394, 395 Pd—Si 298, 299
Pd—Si 298, 299 Pd—Si 298, 299 Pd—Si—Ni 397, 398 Pd—Si—Sb 389 Pd—Si—Te 389 Pd—Sm 286 Pd—Sn 299, 300 Pd—Sn—C 390
Pd—Si—Te 389 Pd—Sm 286
Pd—Sn—C 390 Pd—Sn—C 390 Pd—Sn—Sb—Mn 405 Pd—Sn—Te 390
Pd—Sn—Te 390 Pd—Sr 282, 283 Pd—Ta 301—303
Pd—Ta 301—303 Pd—Tc, Re 305, 307, 308 Pd—Te 305, 307
Pd—Th 308—310
Pd—Th 308—310 Pd—Ti 295—297 Pd—Ti 294, 295 Pd—Ti—C 389

Pd—Tl—Te 389 Pd—Tm—Sn 389 Pd—U 310, 311	
Pd—U—Ni 389 Pd—V 300, 302 Pd—V—Co 391, 302	
Pd—Tm—Sn 389 Pd—U 310, 311 Pd—U—Ni 389 Pd—V 300, 302 Pd—V—Co 391. 392 Pd—V—Mo 391 Pd—V—Nb—Mo 405, Pd—V—Ni 392 Pd—V—Ni—Pt 406 Pd—W 302, 305, 306	<b>40</b> 6
Pd—V—Ni 392 Pd—V—Ni—Pt 406 Pd—W 302, 305, 306	
Pd—W 302, 305, 306 Pd—W—Re 393, 394 Pd—W—Ru 394 Pd—Y 287, 293	
PdYb 288 Pd7n 283 284	
Pd — Zn — C 384 Pd — Zn — G 384 Pd — Zn — Ge 384 Pd — Zn — Te 384 Pd — Zn — Te 384	
PdZnTe 384 PdZr 295, 297, 298 PtAg cm. Ag	
Pt—Ag—Au 398 Pt—Al 318, 321	
Pt—Ag cm. Ag Pt—Ag cm. Ag Pt—Ag—Au 398 Pt—Al 318, 321 Pt—Au cm. Au Pt—Au—Ni 398, 399 Pt—Au—Sb—Mn 405 Pt—As 325, 328 Pt—B 318, 321	
Pt—B 318, 321 Pt—B 312 Pt—Bi 326, 328	
Pt—Co-331 Pt—Co—Ni 402 Pt—Cr 327—329 Pt—Cr—Mn 400, 401 Pt—Cu 312 Pt—Cu—Fe 397 Pt—Cu—Ni 397	
Pt—Cu—O 397, 398 Pt—Cu—Zn 397 Pt—Er 320 Pt—Fe 330, 331	
Pt—Fe—Co 401 Pt—Fe—Ni 401, 402	
Pt—Ga 319, 321 Pt—Ga—Ge 399 Pt—Ga—Ni 399, 400	
Pt—Ge 324	
Pt—Ge—Nb 400 Pt—Ge—Ni 400, 401 Pt—Hf 324 Pt—Hg 318, 319	
Pt—Iп 320, 322 Pt—Mg 312	
PtMn 328330 PtMo 327, 329 Pt	

Pt—Nb 325, 326 Pt—Nb—Co 400, 401 Pt—Nd 318, 320 Pt—Ni 331 Pt—P 325, 327, 328 Pt—Pd—Rh—Ir 404, 405 Pt—Po 329 Pt—Po 329 Pt—Pr 320 Pt—Pr 320 Pt—S, Se 329 Pt—S, Se 329 Pt—S, Se 329 Pt—Sb 326, 328 Pt—Si 323, 324 Pt—Si, Pb 323—325 Pt—Ta 325, 327 Pt—Ta 325, 327 Pt—Ta 325, 327 Pt—Ta 326, 329 Pt—Th 331 Pt—Ti 321, 322, 324 Pt—Ti 321, 322, 324 Pt—Ti 320, 322 Pt—U 332, 333 Pt—V 325, 326 Pt—V—Co 400, 401 Pt—W 327, 329 Pt—V—Fe 399 Pt—V—Fe 399 Pt—Zn, Cd 312, 318, 319 Pt—Zn, Cd 312, 318, 319 Pt—Zr, 323, 324 Pt—Zr—O 399 Rh—Ag—Pd 366, 367 Rh—Ag—Pd 366, 367 Rh—Al—Nb 367 Rh—Ag—Pd 366, 367 Rh—Al—Nb 367 Rh—Au—Pd 366, 367 Rh—Au—Pd 366, 367 Rh—Au—Pd 366, 367 Rh—Au—Pd 366, 367 Rh—Au—Pd 366, 367 Rh—Au—Pd 366, 367 Rh—Be 241 Rh—Be 241 Rh—Be 241 Rh—Be 241 Rh—Be 241 Rh—Co 261 Rh—Cr 255, 257 Rh—Cu 241 Rh—Fe—Pd 371 Rh—Fe—Pd 371 Rh—Fe—Pd 371 Rh—Fe—Pd 371 Rh—Fe—Pd 371 Rh—Fe—Pd 371 Rh—Fe—Pd 371 Rh—Ca, In 246	Rh—Ir 260, 261 Rh—Ir—Pd 371 Rh—Ir—Pd 371 Rh—Ir—Pd—Pt 404 Rh—La 241, 242 Rh—Li 241 Rh—Mg 241 Rh—Mn 258, 259 Rh—Mn 256, 257 Rh—Nb 251—253, 254 Rh—Ni 261 Rh—P 252 Rh—Pb 251 Rh—Pd 260, 261 Rh—Pt 261 Rh—Pt 261 Rh—Pu 246, 248, 249 Rh—Pu—C 368, 369 Rh—Re 259, 260 Rh—P3M 241—244 Rh—Sb 255, 257 Rh—Sb—Mn 370 Rh—Sc—B 367 Rh—Sc—C 368 Rh—Ti 246, 247 Rh—Th—C 368 Rh—Ti 248, 249 Rh—U 246, 247 Rh—U—C 368, 269 Rh—V—C 369 Rh—V—D 369 Rh—V—D 370 Rh—W 256, 257 Rh—W 256, 257 Rh—W 242 Rh—Zr—O 369, 370 Rh—Zr—O 369, 370 Rh—Zr—O 369 Ru—Ag—Ti 342 Ru—Al—II 344, 345 Ru—Al—II 346, 347 Ru—Al—II 346, 347 Ru—Al—II 346, 347 Ru—Al—Ti—Fe—C—N 406 Ru—Al—Ti—Fe—C—N 406 Ru—Al—Ti 344, 345 Ru—Al—Ti 345, 344 Ru—Al—Ti 345, 346 Ru—As 225
Rh—Er 242, 246 Rh—Fe 259—261 Rh—Fe—Ni 371	Ru—Al—Ti 344, 345 Ru—Al—Ti—Fe—C— N 406
Rh—Ca, In 246 Rh—Gd 242, 245 Rh—Ge 250 Rh—Hg 241 Rh—Hf 250	Ru—As 225 Ru—Au—Co 342 Ru—Au—Ni 342 Ru—B 217, 218 Ru—Be 213, 214
588	Au—De 210, 214

Ru—Be—Al—Sc 402 Ru—Bi 225	Ru-Ni-Ta -Cr-W 406	
Ru—Bi—Se 361	Ru—O 227	
Ru—C 221	Ru—Os 228, 230 Ru—P 225	
RuCd 214	Ru—Pb 223	
Ru—Ce 214	Ru—Pd 230, 231	
Ru—Ce—Dy 348	Ru—Pd—Pt 363, 364	
Ru—Ce—Fe—Co—Ni 406	Ru-Pr, Nd, Sm, Eu. Tb.	Ho,
Ru—Ce—Cd 348	Er, Tm, Yb, Lu 215, 216	,
Ru—Ce—Ho 348	Ru—Pt 230, 231	
Ru—Ce—Tb 348 Ru—Co 228, 229	Ru—Pt—Ir 364	
Ru-Co-Cr-Ni-Mo-V 407	Ru—Pu 216—218	
RuCoNi 363	Ru—Pu—C 353, 354	
RuCoY 347, 348	Ru—Re 229 Ru—Re—Os 362	
Ru—Cr 225, 226	Ru—Rh 229, 230	
RuCrCo 361	Ru—Rh—Ir 364	
Ru-Cr-Fe-Ni 404	Ru—Rh—Ir—Pt 404	
Ru-Cr-Mo 361	Ru-Rh-Pd 364	
Ru—Cu 213	Ru—Rh—Pd—Pt 404	
Ru—F 229 Ru—Fe—Co 362	Ru—Rh—Pt 364	
Ru—Fe—Ni 362	Ru—P3M 214, 215	
Ru—Fe—Pd 363	Ru—Sb 225	
Ru—Fe—Rh—Pd—Pt 406	Ru—S 227	
Ru—Fe—Y 347, 348	Ru—Sc 214 Ru—Sc—Al 343	
Ru—Ga 220		
Ru—Ga—Ge 353	Ru—Sc—C 346 Ru—Se 227	
Ru—Gd, Dy 215, 217	Ru—Si 221, 222	
Ru—Ge 222, 223	Ru—Sm—Co 349, 350	
Ru—Hf 220, 221	Ru—Sm—Fe 349, 350	
Ru—Hf—Nb 357, 358 Ru—Hf—Ni 358	Ru—Sm—Fe—Co—Ni 406	
Ru—Hf—V 357	Ru—Sm—Mn 348, 349	
Ru—(Hf, Zr)—Nb—Ta—W	Ru—Sın—Ni 350, 351 Ru—Sn <b>2</b> 23	
(C, B) 407	Ru—Sn—Fe 358	
Ru—Hg—U 343	Ru—Ta 224, 225	
Ru—In 220	Ru—Ta—Mo 360, 361	
Ru—Ir 229, 230	Ru—Ta—W 360	
Ru—La 214, 215	Ru—Tc 228	
Ru—La—Th 348 Ru—Mg 213	Ru—Te 227	
Ru-Mg-U-Fe 402	Ru—Th 216, 217	
Ru—Mn 227, 228	Ru—Th—C 351 Ru—Ti 220, 221	
RuMo 226	Ru—Ti—Hf 352, 353	
Ru—Mo—B 361	Ru—Ti—Ir 355	
Ru—Mo—B—C 404	Ru-Ti-Nb 354, 355	
Ru—Mo—C 361	Ru—Ti—Re 355	
Ru—Mo—W—Ni 404	RuTiRh 354, 355	
Ru—Nb 223, 224	Ru—Ti—V 353	
Ru—Nb—Mo 359, 360 Ru—Nb—N 360	Ru—Ti—Zr 352	
Ru—Nb—Ni 360	Ru—U 215, 217	
Ru—Nb—O 360	Ru-U-AÍ 344	
Ru—Nb—Ta 359	Ru—U—C 352	
RuNb—W—Re 404	Ru—U—Co 351 Ru—U—Cr 351	
Ru—Ni 228—230	Ru—U—Mo 351	
	-/- 0 1/10/001	

Ru—U—Nb 351 Ru—U—Nb—Mo 402, 404 Ru—U—Ni 351 Ru—U—Ti 351 Ru—U—Zr 351 Ru—V 223, 224 Ru—V 26, 227 Ru—V—Re 358 Ru—V—Re 359 Ru—V—Re 359 Ru—V—Zr 356 Ru—W 226, 227 Ru—W—B 362 Ru—W—Co 361	Ru—W—Fe—Ni 404 Ru—W—Ni 361, 362 Ru—W—Re 361 Ru—Y 214 Ru—Y—Ni 348, 349 Ru—Y—Zr 347 Ru—Zn 213 Ru—Zn—U 342 Ru—Zr 220, 221 Ru—Zr—Hf 355, 356 Ru—Zr—Mo 357 Ru—Zr—N 357 Ru—Zr—Nb 356, 357 RuTi—RuZr—RuHf 404

# предметный указатель

Абсолютно черное тело 120 Амальгамы 508 Аммиакаты комплексные платиновых металлов 151, 166, 167 Биметаллы, способы производства 41, 42 Бриллюэна зоны 83 Вторичноэмиссионные свойства 117-119 Вязкость 62-66 Галогениды простые 150 Гидроксиды 146, 147 Гидростатическое прессование 38, 39 Дегидрогенизация 496 Диамагнетики 129 Жаропрочные конструкционные матерналы: понятие 465, 466 виды изделий 465 влияние высокотемпературной коррозии 481--489 – легирования 466—469, 473—475 - микролегирования 475 примесей 476—481 режимов деформации и отжига 481-483 химической микронеоднородностн 475-477 Зеебека эффект 110 Золото дисперсноупрочненное 417, 418 - извлечение, сорбционная технология - историческая справка 8, 9 колориметрические характеристики - растворимость РЗМ 192 сусальное 35, 36 Излучательная способность интегральная 120, 126 — спектральная 120, 126—128 Изотопы 90-95 Интегральные схемы: выводы, вспомогательные элементы 448, 460—463 защитиые покрытия из золота 448 — — палладня 465 — — серебра 464 Капилляриые трубки тонкостенные, производство 38 Карбонилы платиновых металлов 151. 168, 169 Катализаторы: Адамса 494 Брелига 494

из палладия и его сплавов 498-502,

```
- платиновой черни 493

    платины губчатой 493

  — и ее сплавов 492
  — рутения 492
  - серебра 492
  коллоидальные 494
  массивные, компактные 493
  мембранные 497

    для гидрогенизации водорода 502.

  — композитные 498
  - типы 497

    явления сопряжения 504

  металлические 494, 495
  на носителях 494
  Пааля 494
  скелетные 494
  Скита 494
Каталитическая активность металлов
Клейма 510
Комплексные соединения, классы 150
Композиты, способы произволства 41.
Контактная пара 424, 425
Контактиые материалы:
 металл-кремний 448-464
 металл-полупроволник 443
 на основе золота 407-409
 -- металлов платиновой группы
 408-410
  — серебра 410—414
  — — применение 420, 421
 порошковые, обгорание 415, 416
 — области применения 417, 418
— сваривание 414, 417
 с волокнистой структурой, армирова-
 ние 419, 420
  — — обгорание 419
  — — сваривание 419, 420
Коррозионная стойкость 171-173
Коррознонностойкие материалы 490, 491
Литье металлов и сплавов 29, 32, 33
Лоренца сила 137
Магнитная восприимчивость:
 понятие 129
 влияющие факторы 129
 удельная 129-137
Месторождения:
 золота экзогенные 13, 11
— метаморфизованные 14
— эпдогенные 12, 13
```

```
платиновых металлов экзогенные 20.
  -- энлогенные комплексные 19, 20
  — — самостоятельные 19
  серебра 16, 17
Механические свойства:
  влияние степени деформации 141-143

    температуры 141, 143

  металлов технической чистоты 139, 140
Минералы золота 14, 15
- платиновых металлов 21-24
серебра 17—19
Модуль упругости, влияние температу-
. ры 142
 — монокристаллов 140
Монокристаллы металлов и их сплавов
Микроэлектроника, выбор металлов 446
Нитрозокомплексы рутення н осмия
  151, 169, 170
Нитрокомплексы платиновых металлог
  151, 165, 166
Обработка давленнем 34
— резанием 39, 40
Оксиды 146, 148, 149
Онзагера, соотпошения 110
Оптические постоянные 121-125
Отражательная способность 120-125
Парамагнетики 129
Пельтье эффект 110
Период решетки 82, 83
Плавка вакуумно-индукционная 29-33
- электронно-лучевая 33
Платинели 431
Платиновые металлы, справка 10. 11
                         историческая
— — полученне 28—31
Плотность:
  жидких металлов 49

    — сплавов золота 45. 46.

 — палладня 48, 49
 — платины 49, 50
  — серебра 43—45
  методы измерения 43
 твердых металлов 83, 85
Поверхностное натяжение сплавос:
 золота 53--55
  паллапня 56-58
 платины 58
 родия 54-57
  серебра 51-53
Поглощательная способность 120, 125
Показатель поглощения 120-125

    преломления 120—125

— комплексный 120
Ползучесть 466-474, 488
Потенциалы:
 в хлоридиых расплавах 181
 нулевых зарялов 181, 182
 — полных зарядов металлов платино-
 вой группы 182
 стандартные в системах с образова-
 нием комплексных соединений 179,
Потенциометров обмотка, материалы:
высокоомные 422
 на основе золота 426
 низкоомные 422
Припон 438-441
Проба золота 14
Пробность сплавов 509, 510
Проволоки производство 37, 38
Прокатка 35
Псевдосплавы серебряные 415-417
Пурбе днаграммы:
```

```
золота 174, 175
  ирилия 178, 179
  осмия 176, 177
  палладия 179
  платины 179
  родия 177, 178
рутения 175, 176
  серебра, 173, 174
Работа выхода электронов:
  методы определення 114, 115
  монокристаллов 115-117
  поликристаллов 115
  сплавов и соединений 117, 118
 Распад ядер, схемы 96, 97
Растворение, способы 144—146
Растяжки 437, 438
Реактивы для химического травления 
структуры 541—543

— электрополирование 544, 546—550
— электротравление 544, 552, 553

Реакции взаимолействия схемы:
  иридия и его соединений 155
  осмия и его соединений 153
  палладня и его соединений 156
  платнны и ее соединений 157
  родия и его соединений 154
  рутения и его соединений 152
Рекристаллизация 144
Сварка плавлением, виды 40, 41 Селениды 146, 150
Серебро, историческая справка 9, 10 — получение 27, 28
Силициды, свойства 447
Синергизм 492
Сплавы:
  для потенциометров 423-425
  - стоматологии 506-508
  - ювелирной техники золота литей-
  ные 512, 513
  — — — цветные 514, 515
  -- - износостойкость 509
  — — коррозионная стойкость 509
  ——— пробность 509—511
  ——— прочность 509
——— технологичность 509
  — — цвет 508, 511, 512
  золото-палладий, свойства 198, 199
  золото-серебро,, механические свой-
  ства 188
 магнитные системы железо-палладий

    — кобальт—платина 435, 436

  палладия 293, 296, 308, 310
  ПлВ-20 422
Степени окисления характерные 144, 145
Структура дислокационная платины и
  ее сплавов 468-473, 483

    кристаллическая металлов 82, 84

Сульфатокомплексы 151, 164, 165
Сульфиды 146, 150
Теллурнды 146, 150
Температура, кнпения 99

    перехода на пластичного состояния

 в хрупкое 144
плавления 99
Температурный коэффициент линейного
 расширения 105
— объемного расширения 50
Температуропроводность 100-102
Тензодатчики 433
-- высокотемпературные 433-435

    сопротивления 434, 435

Тензочувствительность 433
Тепловые нейтроны, сечения взаимолей-
 ствия 98
```

Теплоемкость 99, 100 Теплопроводности коэффициент 103, 104 Теплота плавления 99 - сублимация 99 Термодинамические свойства: золота 66 рутения 67 сплавов золота 73-77 ирндия 77 палладня 78—81 — платины 81, 82 — родия 77 серебра 67—73 чистых металлов 67 Термометры сопротнвления 431-433 Термопары: из иридиевых сплавов 431 — платинели 431 изатиновых металлов 428—430 Ле Шателье 427 платинородиевые, градунровочные кривые 427 температурная зависимость т. э. д. с 432 термоэлектролы 426-431 Термоэлектродвижущая сила 119-1; 4 Токи обмена реакции водородной 183, — — кислородиой 183, 184 Токопроводящие системы 448-159 — тонкопленочные 444, 445 Томсона эффект 110 Трансвлияния закономерность 151 Упругие свойства 139, 140 — элементы 437, 438 Ферми поверхность: определение 83 золота 83, 86 иридия 88 меди 86 осмия 87 палладия 88, 89 платины 88 родия 88, 89 рутення 87, 88 серебра 83, 86 Филнграни техника 520

Химический состав: золота и его сплавов 532, 534 -537 иридия 538, 539 осмия 539 палладия и его сплавов 526, 531, 532, 534, 535 родия 536, 538 рутения 539 серебра и его сплавов 522, 526, 527 серебряных припоев 528, 529 Хлориды бинарные 160, 161 Хлорокомплексы 150, 162, 163 Холла эффект 137—139 Цианокомплексы 151, 167, 168 чериение поверхности серебряных изделий 520 Шерби уравнение 468 Штамповка 39 Электрическая проводимость удельная 109 эрозня 412 Электрические контакты 407 Электролитическая обработка 543, 544 Электронная структура 83, 85 Электронное строение атома 144, 145 Электросопротивление удельное: золота 105, 106 ирндия 107 осмия 107 палладия 105, 106 платины 105, 106 родня 105, 106 рутения 107 серебра 105, 106 сплавов золота 60, 61, 188 — палладия 61, 108, 109 серебра 59, 60 чистых металлов 59 Энергетический барьер реакций 496 Энергия дефекта упаковки 468, 469 Ювелириые изделия: из серебра 519, 520 сплавов платины и палладия 520 клеймение 509-511 литье по выплавляемым молелям 516. 517 пайка 516, 517 термообработка 517

технологические операции 516

# Под редакцией Савицкого Е. М. БЛАГОРОДНЫЕ МЕТАЛЛЫ

# Справочник

ИБ № 2049

Редактор издательства  $\Gamma$ . А. Карцева Художествениый редактор H. А. Смурыгин Техинческий редактор H. А. Спераксая Корректоры  $\Gamma$ . T. Петрова,  $\Gamma$ .  $\Phi$ . Любанова

Сдано в набор 28.12.83. Подписано в печать 12.04.84. Т-07578. Формат бумаги 84×1081/<sub>82</sub>. Вумага типографская № 1. Гарнитура литературная. Печать высокая. Усл. печ. л. 37,0. Усл. кр.-отт. 31,08. Уч.-изд. л. 41,76. Тираж 10 000 экз. Заказ № 688. Цена 2 р. 70 к. Изд. № 0460

Ордена Трудового Красного Знамени издательство «Металлургия», 119857, ГСП, Москва, Г-34, 2-й Обыденский пер., д. 14

Владимирская типография \*Союзполнграфпрома при Государственном комитете СССР по делам издательств, полиграфии и киижной торговли

600000, г. Владимир, Октябрьский проспект, д. 7



Фториды бинарные 158, 159 Халькогениды 146, 150